

Marius-Nicușor Grigore  
Constantin Toma

# HALOFITELE

ASPECTE DE ANATOMIE ECOLOGICĂ



Editura Universității „Alexandru Ioan Cuza” Iași



MARIUS-NICUȘOR GRIGORE

CONSTANTIN TOMA

**HALOFITELE**  
Aspecte de anatomie ecologică

**Referenți științifici:**

Dr. Monica Tereza Boșcaiu Neagu  
Universidad Politecnica de Valencia  
Prof. univ. dr. Maria-Magdalena Zamfirache  
Universitatea „Alexandru Ioan Cuza” Iași, Facultatea de Biologie  
Conf. univ. dr. Lăcrămioara Ivănescu  
Universitatea „Alexandru Ioan Cuza” Iași, Facultatea de Biologie

**Redactor:** Oana Bilan

**Tehnoredactare:** Marius-Nicușor Grigore, Luminița Răducanu

**Coperta:** Manuela Oboroceanu

(pe copertă: *Camphorosma annua* – secțiuni transversale prin limbul foliar și  
*Aster tripolium* – vedere de ansamblu)

**ISBN 978-973-703-542-4**

© Editura Universității „Alexandru Ioan Cuza”, 2010

700109 – Iași, str. Pinului, nr. 1A, tel./fax: (0232) 314947

[http:// www.editura.uaic.ro](http://www.editura.uaic.ro) e-mail: [editura@uaic.ro](mailto:editura@uaic.ro)

MARIUS-NICUȘOR GRIGORE

CONSTANTIN TOMA

# **HALOFITELE**

## **Aspecte de anatomie ecologică**

Cuvânt înainte de T. J. Flowers



Editura Universității „Alexandru Ioan Cuza” Iași  
2010



**Descrierea CIP a Bibliotecii Naționale a României**  
**GRIGORE, MARIUS-NICUȘOR**

**Halofitele : aspecte de anatomie ecologică** / Marius-Nicușor  
Grigore, Constantin Toma ; cuv. înainte de Timothy Flowers. - Iași :  
Editura Universității "Alexandru Ioan Cuza", 2010

Bibliogr.

ISBN 978-973-703-542-4

- I. Toma, Constantin, biologie
- II. Flowers, Timothy (pref.)

581.526.52

## CUPRINS

FOREWORD .....	7
CUVÂNT ÎNAINTE .....	9
INTRODUCERE .....	11

### PARTEA I

#### CONSIDERAȚII TEORETICE

1. Definiția și clasificarea halofitelor. Dificultăți inerente .....	13
2. Halofitele și mediile lor de viață. Locul halofitelor în clasificarea ecologică a plantelor .....	26
3. Adaptări morfo-anatomice generale ale halofitelor .....	30
4. Halofitele și stresul salin. Trăsăturile histo-anatomice ale halofitelor: efect formativ, adaptare sau răspuns la un factor abiotic exagerat? .....	34

### PARTEA A II-A

#### STUDIUL HISTO-ANATOMIC AL UNOR SPECII DE HALOFITE DIN FLORA MOLDOVEI

1. Material și metodă de lucru .....	37
2. Caracterizarea ecologică și clasificarea halofitelor luate în studiu ....	40
3. Rezultate și discuții .....	43
<i>Artemisia santonicum</i> L. ....	43
<i>Aster tripolium</i> L. ssp. <i>pannonicus</i> (Jacq.) Soo .....	54
<i>Lactuca saligna</i> L. ....	69
<i>Scorzonera cana</i> (C. A. Mey.) O. Hoffm. ....	80
<i>Lepidium cartilagineum</i> (J. C. Mayer) Thell. ssp. <i>crassifolium</i> (Waldst. & Kit.) Thell. ...	92
<i>Lepidium latifolium</i> L. ....	100
<i>Lepidium perfoliatum</i> L. ....	109
<i>Spergularia media</i> (L.) C. Presl .....	117
<i>Atriplex littoralis</i> L. ....	126
<i>Atriplex prostrata</i> Boucher ex DC .....	139
<i>Atriplex tatarica</i> L. ....	152
<i>Bassia hirsuta</i> (L.) Asch. ....	163
<i>Camphorosma annua</i> Pall. ....	172
<i>Halimione verrucifera</i> (M. Bieb.) Aellen .....	180
<i>Petrosimonia oppositifolia</i> (Pall.) Litv. ....	193

<i>Petrosimonia triandra</i> (Pall.) Simonk. ....	202
<i>Salicornia europaea</i> L. ....	211
<i>Suaeda maritima</i> (L.) Dumort. ....	223
<i>Bolboschoenus maritimus</i> (L.) Palla ssp. <i>compactus</i> (Hoffm.) Drobow ....	229
<i>Carex distans</i> L. ....	234
<i>Iris halophila</i> Pall. ....	241
<i>Juncus gerardi</i> Loisel. ....	250
<i>Trifolium fragiferum</i> L. ....	261
<i>Puccinellia distans</i> (L.) Parl. ssp. <i>limosa</i> (Schur) Jáv. ....	269
<i>Plantago schwarzenbergiana</i> Schur ....	273
<i>Polygonum patulum</i> M. Bieb. ....	284
 CONCLUZII .....	 293
 ENGLISH ABSTRACT .....	 300
 BIBLIOGRAFIE .....	 304



## FOREWORD

Most of water on the earth is salty and yet most of the land is not. Over the millennia, salts have been washed from rocks and soils into the oceans where they have accumulated. Where the oceans meet the land then saline areas can form that have an unusual flora, one that tolerates salt concentrations lethal to most of our plant species. These salt-tolerant plants are called halophytes. Halophytes were recognised in the late 1700s, but it took a further hundred years or so before their scientific study began. Since then, there has been a small but steady increase in the numbers of scientific publications on the biochemistry, physiology, ecology and potential economic uses of halophytes. In recent years, the need to feed a burgeoning world population has focussed attention on limitations to agricultural production and the part halophytes might play in our ability to raise crops on saline soils.

The saline fringes of the oceans constitute a small proportion of the world's land surface and are not particularly important agriculturally. However, these saline fringes are not the only salt-affected soils on the world's land surface. Saline soils can also be found in other, often arid, areas – sometimes as a result of the presence of underlying ancient oceans. Yet other saline areas are the consequence of human activity and have been created either through irrigation or forest clearance. The continuous application of irrigation water with small concentrations of dissolved salts can, over time, lead to the build-up of salts in the soil as the water is transpired or evaporated; furthermore, water is often left in the soil creating saline water-logging. Secondary salinisation can also arise through forest clearance, which brings saline water tables into the root zone. It has proven difficult to assess the extent of primary and of secondary salinisation, because measuring the salinity of a soil has been a slow process. Nevertheless, estimates abound in the literature, with values for the area of salt-affected soils in the world ranging from about 350 to 1000 million hectares: at maximum this is about 6% of the world's land surface. However, as far as agricultural production is concerned, it is not the majority of this land that is important, but that part which is irrigated, since salinisation reduces crop yields and irrigated farmland can be the most productive on earth.

The effect of salinity on plants is generally described in terms of growth, using words such as sensitive, resistant or tolerant. Those plants that survive in seawater are clearly halophytes and 'tolerant'; those that are killed by one tenth the salt concentrations found in seawater are clearly sensitive (and called glycophytes, plants of sweet – or fresh – water).

However, there is no clear demarcation between halophytes and glycophytes; salt sensitivity/tolerance varies continuously amongst plant species. Drawing a dividing line in any continuous distribution is somewhat arbitrary and so it is not surprising that different authors have separated halophytes from glycophytes at different salt concentrations. Describing the response of plants is also made complex by variation not only between, but within species. This can lead to semantic problems with terms such as resistant or tolerant glycophytes. However, what is clear is that there is a small group of plants that are highly tolerant of salts around their roots. The number of these halophytic species is not known with certainty because of lack of data, but is likely to be about 500 – of the approximately 250,000 plant species. This makes halophytes relatively rare amongst flowering plants. However, it is the study of these species that will, in my view, inform us of the nature of salt tolerance and help us in our quest to increase the tolerance of existing crops – for it has not proven easy to change the tolerance of any crop species. Not only can the study of halophytes enlighten our understanding of what makes one species salt tolerant and another salt sensitive, but halophytes have their own potential as crops and as a resource in the management and reclamation of saline land.

So, I warmly welcome this book and the scientific study of halophytes.

T. J. Flowers, University of Sussex  
March 2010

## CUVÂNT ÎNAINTE

Cea mai mare parte a apei de pe suprafața Pământului este sărată, în vreme ce cea de pe suprafața uscatului este apă dulce. De-a lungul timpului, sărurile au fost spălate din roci și soluri în ocean, acolo unde s-au acumulat. La interfața dintre oceane și uscat, se formează suprafețe saline, care prezintă o floră particulară, și anume, una care poate tolera concentrații de săruri care sunt letale pentru majoritatea speciilor obișnuite. Aceste plante tolerante la săruri sunt numite halofite. Ele au fost recunoscute încă de la sfârșitul anului 1700; cu toate acestea, a trebuit să treacă o sută de ani sau chiar mai mult până ce halofitele au început să fie supuse studiului. De atunci a existat o creștere mică, dar constantă, în ceea ce privește numărul publicațiilor referitoare la biochimia, fiziologia, ecologia și posibilele utilizări ale halofitelor. În ultimii ani, nevoia de a hrăni o populație mondială în continuă creștere a impus îndreptarea atenției asupra factorilor care limitează producția agricolă și asupra rolului pe care halofitele l-ar putea avea în capacitatea noastră de a cultiva cereale pe soluri saline.

Țărmurile saline ale oceanelor reprezintă o mică proporție din suprafața uscatului și nu prezintă un interes deosebit din punct de vedere agricol. Cu toate acestea, aceste coaste saline ale oceanelor nu sunt singurele soluri afectate de salinitate, de pe suprafața uscatului. Solurile saline apar, de asemenea, și pe alte suprafețe, adesea aridizate, uneori ca rezultat al prezenței, ca substrat, a unor foste oceane. Însă alte suprafețe saline reprezintă consecința activității umane, fiind rezultatul irigațiilor sau al defrișărilor. Utilizarea continuă a irigațiilor cu apă ce conține concentrații mici de săruri dizolvate în ea poate conduce, în timp, la fixarea sării în sol, pe măsură ce apa este transpirată sau evaporată. În plus, apa este adesea depozitată în sol, conducând la băltirea cu apă sărată. Salinizarea secundară poate să apară, de asemenea, în urma defrișărilor, fenomen care favorizează ridicarea pânzei de apă freatică sărată în rizosferă. S-a demonstrat că este dificil de precizat proporția salinizării primare și a celei secundare, deoarece măsurarea salinității solului a reprezentat un proces lent. Totuși, în literatura de specialitate există multe informații estimative referitoare la suprafața mondială a solurilor afectate de salinitate; aceste valori sunt cuprinse între 350 și 1000 milioane hectare. Valoarea maximă se referă la 6% din suprafața totală a uscatului. Oricum, în ceea ce privește producția agricolă, cea mai mare parte a acestei suprafețe nu este semnificativă, ci acea suprafață irigată, de vreme ce salinizarea reduce producția cerealelor, iar sistemele irigate pot fi cele mai productive de pe suprafața pământului.

Efectele salinității asupra plantelor sunt în general descrise cu referire la fenomenul de creștere, folosindu-se cuvinte ca plante sensibile,



rezistente sau tolerante. Acele plante care pot supraviețui în apa de mare sunt considerate în mod cert halofite sau „tolerante”. Speciile care sunt omorâte de o zecime din concentrația salină a apei de mare sunt considerate sensibile (acestea sunt numite glicofite sau plante de apă dulce). În orice caz, nu există o limită de demarcație exactă între halofite și glicofite, sensibilitatea/toleranța la salinitate variind continuu în cadrul speciilor de plante. Trasarea oricărei linii de separație într-o distribuție continuă a speciilor este oarecum arbitrară, așa încât nu este surprinzător că autori diferiți au separat glicofitele de halofite ținând cont de concentrații diferite de săruri. Descrierea răspunsului plantelor la salinitate devine complexă, atât la nivel interspecific, cât și intraspecific. Acest aspect poate conduce la probleme semantice, vorbind de glicofite rezistente sau tolerante. În tot cazul, indiscutabil este că există un grup restrâns de plante care sunt foarte tolerante la concentrația de săruri din zona rădăcinilor lor. Numărul acestor specii nu este cunoscut cu exactitate, din cauza lipsei de informații, dar se pare că este în jur de 500 de specii, din cele aproximativ 250.000 cunoscute. Această estimare face din halofite un grup relativ restrâns în cadrul plantelor vasculare. În ceea ce mă privește, studiul acestor specii va aduce informații în ceea ce privește natura toleranței la săruri și ne va ajuta în încercarea de a spori toleranța speciilor deja cultivate, câtă vreme s-a demonstrat că nu este ușor să se modifice toleranța nici unei specii de cultură. Nu numai că studiul halofitelor ne va facilita înțelegerea a ceea ce face o specie să fie tolerantă, și alta, sensibilă la săruri, dar halofitele însele au un potențial intrinsec ca plante de cultură și ca resurse în managementul și remedierea suprafețelor salinizate.

În acest context, salut călduros apariția acestei cărți și studiul științific al halofitelor.

T. J. Flowers, Universitatea din Sussex  
Martie 2010

## INTRODUCERE

Populația actuală a Globului numără aproximativ 6,7 miliarde de locuitori; după anumite estimări, în anul 2050 ar putea să atingă valoarea de 9,5 miliarde. Conform unui raport publicat de FAO în 2007, în ciuda creșterii economice globale fără precedent, 1,1 miliarde de oameni trăiesc încă în condiții de sărăcie extremă („*extreme poverty*”), iar aproximativ 850 de milioane sunt înfometate („*chronic hunger*”), în vreme ce ecosistemele sunt exploatate mai intens ca niciodată. Nu întâmplător, obiectivul numărul unu într-un raport publicat în 2008 de ONU (*The Millennium Development Goals Report*) este chiar eradicarea sărăciei extreme și a foametei.

Însă agricultura modernă se confruntă de multă vreme cu anumite probleme stringente, printre care **salinizarea suprafețelor agricole** este un fenomen foarte frecvent, greu de controlat și de ameliorat. Conform unor estimări, între 7% (însemnând aproximativ 930 milioane hectare) (Munns, 2002) și aproximativ 10% (însumând circa 954 milioane hectare) (Marcum, 2001) din suprafața uscatului sunt afectate de salinitate. Din aceste suprafețe, aproximativ 60-100 milioane hectare sunt rezultatul activității umane. Irigațiile defectuoase, în special, măresc salinitatea terenurilor agricole. Aproape jumătate din sistemele mondiale de irigații sunt afectate de salinizare, alcalinizare și băltire. Deși sistemele de irigații ocupă aproximativ 15% în sistemul agricol mondial, productivitatea asigurată de aceste suprafețe este de cel puțin două ori mai mare față de terenurile neirigate.

Este ușor de înțeles, din datele prezentate până aici, că în problemele globale ale omenirii, întotdeauna este vorba despre un lanț închis, fiecare verigă fiind un factor care, deși mărunț dacă îl privim izolat, este vital în înțelegerea și rezolvarea acestor probleme. În acest context se impun, pe de o parte, reducerea salinizării solurilor, iar pe de altă parte mărirea rezistenței la săruri a plantelor de cultură „convenționale”.

Este firesc, așadar, ca **halofitele**, plantele care vegetează pe soluri sărate, să trezească un interes deosebit. Acest interes a condus și la individualizarea unei științe noi, **Halofitologia**, știință dedicată studiului interdisciplinar al plantelor care sunt legate, într-un fel sau altul, de salinitatea ridicată a mediilor în care ele vegetează.

Halofitele au fost luate în studiu de mult timp, au fost definite în maniere diferite, unele controversate chiar și astăzi; nici la nivelul anului 2010 nu există încă o definiție unică, unanim acceptată. Pentru noi, această lipsă de unitate nu este eterogenă în sens negativ, ci plină de noi posibilități. Un domeniu complex și complicat poate avea mereu ceva nou de oferit.

Înțelegerea adaptărilor anatomice și, mai ales, interpretarea lor în sens ecologic nu este întotdeauna facilă sau accesibilă; în natură nu există forme pure, stricte, adaptări perfecte, ci numai forme intermediare și variații ale factorilor de mediu care modelează trăsăturile anatomice. Întotdeauna, o anumită interpretare trebuie făcută cu prudență și nimic nu este sub semnul afirmațiilor absolute și exhaustive. Asemenea pretenții au fost departe de intenția noastră, deși tentația formulării unor ipoteze noi, acolo unde nu mai există altele, este deosebit de atrăgătoare.

Se vorbește din ce în ce mai mult de degradarea ecosistemelor, de exploatarea rațională a acestora, de reconstrucție ecologică; poate mai mult ca niciodată, cunoașterea relațiilor intime dintre factorii de mediu și adaptările plantelor se impune ca un factor esențial în vederea găsirii unor soluții la problemele enumerate mai sus.

Dacă viitorul agriculturii va sta sub semnul salinității, atunci este nevoie de o abordare integrată și interdisciplinară a halofitelor, pe de o parte, dar și a glicofitelor care pot manifesta o rezistență crescută la salinitate, sau care pot, prin diverse mijloace, să devină mai rezistente la acest factor abiotic.

Pe baza investigațiilor făcute și a interpretărilor oferite, am fost în măsură să propunem, la finalul lucrării, un nou sistem de clasificare a halofitelor, și, totodată, un limbaj nou și un sistem integrat de abordare a acestui grup de plante.

Suntem recunoscători profesorului **Timothy Flowers**, de la Universitatea din Sussex (U. K.), pentru *Cuvântul Înainte* pe care a avut amabilitatea să-l scrie pentru lucrarea de față. Îi mulțumim pe această cale, în speranța că discuțiile îndelungate despre biologia halofitelor, pe care le-am purtat cu dânsul, vor fi la fel de interesante și fructuoase, ca și până acum.

Sincere mulțumiri aducem și referenților științifici ai acestei cărți, **Dr. Monica Tereza Boșcaiu Neagu**, de la Universitatea Politehnică din Valencia, **prof. univ. Dr. Maria-Magdalena Zamfirache** și **conf. univ. Dr. Lăcrămioara Ivănescu**, de la Facultatea de Biologie a Universității Alexandru Ioan Cuza, Iași. Sugestiile, comentariile și aprecierile pe care le-au făcut pe baza manuscrisului ne-au fost de un real ajutor și le-am primit cu bucurie și cu un mare interes științific.



# PARTEA I

## CONSIDERAȚII TEORETICE

### *1. Definiția și clasificarea halofitelor. Dificultăți inerente*

Deși recunoscute cu certitudine încă de pe vremea lui Goethe (1790) (cf. Flowers et al., 1986), halofitele au fost luate în studiu mai ales în lucrările lui Schimper (1891; 1898), care a deschis, practic, calea unor preocupări diverse în ceea ce privește biologia plantelor de sărătură. În ciuda faptului că s-au scurs mai bine de 100 de ani de atunci, nici astăzi nu s-a ajuns la un consens în ceea ce privește o definiție unică și satisfăcătoare a termenului de halofită.

Această realitate se poate explica, totuși, prin următoarele considerente:

- a. Halofitele reprezintă un grup ecologic heterogen, la *modelarea* căruia participă, de fapt, și alți factori, în afara salinității crescute a solului. Cercetătorii care au investigat diverse aspecte ale halofitelor le-au abordat de fapt unilateral, ceea ce este firesc dacă ne gândim la orientarea lor „profesională”; o abordare care ține cont de un singur criteriu conduce adesea la acceptarea și însușirea unei singure definiții-etalon, de care specialiștii au ținut cont în cercetările lor. Acesta este unul din motivele pentru care fiecare autor a formulat o anumită definiție, ce a constituit un reper „personal” în investigarea plantelor de sărătură.
- b. Conceptul de *salinitate* și, implicit, cel de habitate saline (hipersaline) sunt, de asemenea, sub semnul unei relativități și ambiguități, care țin de faptul că primul termen nu aparține neapărat biologiei, ceea ce complică puțin lucrurile atunci când este preluat și adoptat de o altă disciplină. Din perspectivă ecologică, halofitele trebuie privite ca fiind acele specii care vegetează în habitate saline. Definiția pare simplă și accesibilă, numai că termenul de habitate saline este din nou unul imprecis definit.
- c. Pe măsură ce s-au acumulat cunoștințele despre halofite, s-au extins și aprofundat și direcțiile de cercetare în ceea ce le privește. Dacă inițial era vorba de ecologia și de răspândirea lor, care, pe baza unei intuiții fine, impuneau corelații cu

adaptări morfo-anatomice, treptat s-au adus în discuție elemente de fiziologie vegetală, toleranță la săruri, aspecte de biologie celulară și moleculară, la nivel membranar sau la nivel de genă. Acest context nu a oferit premise ideale pentru a realiza o unificare a definițiilor și aducerea lor la un numitor comun, ci a amplificat gradul de disjunctie din acest punct de vedere. În plus, ca o lege nescrisă a științei, noile decoperiri nu fac altceva decât să pună, uneori, sub semnul întrebării vechile cunoștințe, să le conteste, ceea ce constituie prilej de noi structurări și restructurări.

- d. O altă problemă derivă din faptul că există un câmp semantic legat de halofite (în special de clasificarea acestora), alcătuit din termeni diferiți, formulați de diverși autori, care uneori sunt sinonimi între ei; preluarea unora dintre aceștia și, eventual, modificarea terminologiei nu aduce neapărat ordine în limbajul de specialitate.
- e. Mai trebuie spus că există întotdeauna dificultăți atunci când se lucrează în condiții experimentale, încercându-se, de pildă, să se stabilească intervale de toleranță la salinitate pentru unele specii de halofite, ba chiar și pentru glicofite. Contextul experimental nu reproduce niciodată fidel condițiile naturale unde, cum bine se știe, există permanent variații de intensitate a unor factori ecologici, greu de decelat și de anticipat rolul lor în desfășurarea unor procese fiziologice. Fără a intra prea mult în detalii, amintim în acest sens numai de regimul hidric al solului și, implicit, al sărurilor, care reprezintă un fenomen foarte complex și dinamic.

În unele lucrări publicate anterior (Grigore, 2008a; 2008b) am pus în discuție unele aspecte legate de definiția și clasificarea halofitelor. În această parte a lucrării încercăm să supunem atenției câteva definiții și abordări pe care nu le-am inclus și comentat în lucrările sus amintite.

Stocker (1928) definește halofitele ca fiind acele plante care sunt expuse în oricare din stadiile lor de viață unei concentrații de săruri, care este mai mare decât pot să suporte glicofitele (plantele „normale”), fără a muri. Reamintim cu această ocazie faptul că termenul de „glicofită” este unul mai degrabă convențional, aplicându-se tuturor plantelor care nu pot trăi în medii a căror concentrație de NaCl în soluția solului este mai mare de 0,5%. Dacă este relativ simplu de făcut distincția între halofite obligatorii și glicofite, nu la fel de simplu este să se încadreze o specie oarecare într-o categorie de halofite, la concentrații reduse de NaCl. Chapman (1942) era de

păreră că, în conformitate cu observațiile pe teren și cu datele experimentale, granița între halofite și glicofite ar trebui să ia în calcul o concentrație de aproximativ 0,5% NaCl în soluția solului.

Autorul sus citat definește, în consecință, *halofitele* ca fiind speciile capabile să crească într-un habitat care are o concentrație a soluției solului mai mare de 0,5% NaCl. Totodată, folosirea termenului nu presupune că speciile sunt obișnuite sau rare pentru asemenea habitate; în plus, utilizarea termenului nu implică și presupunerea faptului că aceste specii nu pot crește și în oricare alte condiții<sup>1</sup>. Mai mult decât atât, Chapman recomandă ca în categoria halofitelor să nu fie incluse decât speciile care vegetează pe soluri care se caracterizează printr-un exces de NaCl, nu și de alte săruri, cum ar fi cele de magneziu, de exemplu<sup>2</sup>.

Menționăm în rândurile de mai sus de crearea, de-a lungul vremii, a unui câmp semantic ce cuprinde termeni care se referă la halofite; uneori, ei sunt formulați cu scopul de a face unele deosebiri de nuanță în diferite aspecte legate de biologia halofitelor; alteori, însă, pot deveni ei înșiși termeni ce delimitează categorii de halofite, în sine.

Conform opiniilor lui Chapman (1942), termenul de *euhalofită* trebuie limitat doar la acele specii a căror creștere optimă<sup>3</sup> are loc în orice habitat care conține cel puțin 0,5% NaCl. Conform acestei definiții, euhalofitele nu vor crește decât dacă există o concentrație ridicată („abnormal”, orig.) de NaCl în habitat. În această categorie s-ar putea enumera: *Salicornia*, *Rhizophora* și specii submerse de halofite, cum ar fi *Zostera*, *Cymodocea*, *Posidonia*.

Termenul de *miohalofite* ar trebui aplicat acelor plante care se găsesc, în mod obișnuit sau rar, în medii a căror concentrație de NaCl este mai mare decât 0,5%; dezvoltarea lor optimă (considerată naturală sau experimentală) are loc însă într-un mediu cu o concentrație mai mică de 0,5% NaCl.

<sup>1</sup> Aceasta este o observație foarte interesantă a lui Chapman (1942); este o remarcă ce se leagă de multe alte discuții, referitoare în special la caracterul de „obligativitate” al multor specii de halofite, pentru care se admite că o concentrație ridicată de săruri este benefică, având caracter stimulator asupra proceselor de creștere și dezvoltare. Pentru celelalte categorii de halofite trebuie mai multă prudență în acest sens; fiind specii eurihaline, este plauzibil ca astfel de specii să poată vegeta și în medii slab salinizate.

<sup>2</sup> În realitate, soluția solului poate cuprinde și alte săruri în afara celor de NaCl; este drept că „istoria” halofitelor este legată mai mult de influența clorurilor asupra halofitelor, în special în inducerea suculenței, dar și celelalte săruri ar trebui luate în considerație. În acest sens nu amintim decât de cercetările lui Șerbănescu (1965), care împarte chiar asociațiile de halofite în asociații clorurice, sulfatice, carbonatice, deci în corelație cu tipul de săruri predominant.

<sup>3</sup> Sintagma de creștere optimă este, de asemenea, destul de greu de definit (!).

Cu toate acestea, autorul însuși recunoaște dificultatea practică în a deosebi o specie euhalofită de una miohalofită.

Această diferențiere a unor grupe de halofite se suprapune oarecum peste cea realizată de Van Eijk (1939). Acesta deosebea:

- a. Plante care cresc în mod normal în condiții glicofitice, dar care au, totuși, o rezistență la concentrații mai mari de 0,5% NaCl; afirmația se bazează fie pe plante cultivate experimental în soluții saline, fie pe plante observate sporadic în condiții saline naturale. Acest grup formează așa-numitele *haloglicofite*.
- b. Plante care vegetează în mod normal pe soluri saline, dar a căror dezvoltare optimă se desfășoară în condiții glicofitice. Această categorie cuprinde specii precum: *Aster tripolium*, *Triglochin maritima*, *Plantago maritima*.

Din ce observăm până aici, putem deduce că majoritatea halofitelor fac parte din grupa miohalofitelor și că puține specii sunt veritabile euhalofite.

O constatare foarte importantă este aceea că halofitele pot crește la fel de bine și în condiții glicofitice. Excepție fac, în lumina celor afirmate până acum, euhalofitele.

De fapt, n-ar fi exclus ca numărul mare de miohalofite ce apare în habitate saline să se datoreze faptului că acestea sunt incapabile de a concura cu succes cu glicofitele în habitate nesaline.

Controversele legate de definirea și clasificarea halofitelor se datorează, printre altele, și complexității ecologice a acestora, ca grup polimorf distinct. Asta și din cauza faptului că percepția noastră aparentă și imediată corelează adesea „cauza” de „efect”, adică salinitatea de halofite, și invers; dar, de multe ori, un plus de profunzime și discernământ poate integra problema într-un context mai complex.

De pildă, este vorba despre plantele care vegetează pe dunele maritime. Acestea ar trebui privite oare ca halofite? Este o întrebare pe care și-au pus-o mai ales cercetătorii străini, care au studiat vegetația din asemenea ecosisteme; studiile lor au arătat că sistemul radicular al acestor specii se găsește adesea plasat în stratul freatic cu apă dulce din dunele maritime (Hill și Hanley, 1914; Chapman, 1937). Această problemă, pusă inițial sub forma unei întrebări retorice (Kearney, 1904), a luat în calcul și alți factori ecologici care își dau concursul în asemenea habitate (vânturi puternice ce pot vehicula și impolverizații saline din direcția mării, iluminare puternică, supraîncălzire datorată reflectării radiațiilor solare de către nisip).

Concluzia studiului lui Kearney (1904) este că aceste plante de plaje și dune maritime nu sunt în general halofite, ci mai degrabă xerofile<sup>4</sup>.

Oricum, dacă ținem cont de faptul că unele părți ale plantelor de dune maritime pot fi expuse totuși impulverizațiilor sărate aduse de vânt, atunci influența salinității nu poate fi total eliminată, deși numai anumite organe ale corpului plantei sunt afectate de aceasta.

Stocker (1928) a sugerat ca termenul de *xero-halofite* să se aplice numai speciilor de deșerturi sărate, iar termenul de *aero-halofite* să fie rezervat speciilor afectate de salinitate produsă de impulverizații sărate sau de praf sărat.

Pe de altă parte, Schratz (1934) considera dunele ca fiind habitate xero-haline, în contrast cu cele higo-haline, unde există un substrat de apă sărată.

Iversen (1936) a propus o schemă de clasificare a halofitelor pe baza cantității de NaCl din soluția solului; cum însă rădăcinile multor specii nu ajung la această adâncime a solului, mai relevantă ar fi poate cantitatea de clor din regiunea rizosferică.

În acest sens, Chapman (1942), plecând de la clasificarea lui Iversen, propune următorul sistem de clasificare a halofitelor:

#### Miohalofite

1. Glico-mezohalofite: plante care cresc în habitate cu un conținut de 0.01-1,0% NaCl.
2. Eurihalofite: plante care vegetează în habitate cu 0,1<1,0% NaCl;

#### Euhalofite

3. Mezohalofite: plante care cresc în habitate cu un conținut de 0,5-1,0% NaCl.
4. Mezo-euhalofite: plante care cresc în habitate cu 0,5-<1,0% NaCl.
5. Euhalofite: plante care cresc în habitate ce au o concentrație mai mare de 1.0% NaCl.

Euhalofitele (în sens larg) sunt, deci, speciile de halofite care cresc sau își dobândesc dezvoltarea optimă în medii ce conțin mai mult de 0,5% NaCl (mezohalofitele, mezo-euhalofitele și euhalofitele din clasificarea de mai sus).

---

<sup>4</sup> Că acestea sunt mai curând xerofile și nu halofite deschide o altă discuție provocatoare, referitoare la substratul „fiziologic uscat” în care vegetează halofitele, așa cum vom vedea în rândurile următoare (!).

Din analiza clasificărilor pe care le-am trecut în revistă, în lucrarea de față sau în lucrările publicate anterior (Grigore, 2008a; 2008b), am putut constata că, în unele cazuri, criteriul care stă la baza unui sistem de clasificare este bine definit (deși în sine poate fi, totuși, relativ); alteori, însă, criteriul pare mai degrabă vag și intuitiv, bazat pe elemente care nu sunt în mod necesar strict cuantificabile<sup>5</sup>. În fine, în unele situații, anumite sisteme de clasificare sunt preluate de la alți autori și, eventual, limbajul este puțin adaptat.

Breckle (1995) definește halofitele ca fiind acele specii de plante care cresc și își definitivează întregul ciclu biologic în habitate saline.

Este foarte bine de știut și de înțeles că „lupta” cu salinitatea necesită adaptări la toate nivelurile, pornind de la cel ecosistemic până la cele tisular, celular, subcelular și biochimic (tabelul nr. 1). Nu putem vorbi despre toate acestea într-o singură frază, deoarece înțelegerea fiecărui nivel ține mereu de o altă disciplină, o abordare interdisciplinară a salinității și efectelor ei asupra fiecărui nivel în parte, putând oferi o imagine unitară, de ansamblu asupra halofitelor.

Breckle (1995) clasifică plantele dintr-o perspectivă ecofiziologică, luând drept criteriu absorbția sărurilor de către plante, precum și transportul acestora prin corpul plantei sau chiar îndepărtarea lor la exteriorul plantei. Astfel, autorul delimitează:

1. Plante care sunt foarte selective la nivelul membranelor celulare radiculare și pot astfel să împiedice absorbția ionilor de NaCl; acestea pot fi numite generic *non-halofite*. Majoritatea plantelor sunt non-halofite, vegetând în regiuni terestre, în condiții de salinitate scăzută.
2. Plante care pot rezista unor salinități ridicate, fără să posede adaptări speciale, în afara unei selectivități foarte bune la nivelul membranelor celulare ale rădăcinii și ale altor organe ale plantei. Cel mai adesea, ele au tendința de a acumula NaCl în rădăcini și în părțile superioare ale tulpinii (în celulele parenchimului lemnos). Aceste plante pot fi numite pseudo-halofite.

---

<sup>5</sup> Ne gândim la clasificări precum cea a lui Gușuleac (1933), care se referă la „colonizarea naturală a sărăturilor cu plante”, la cea a lui Prodan (1939), care folosește drept criteriu „felul cum pot (plantele, n. n.) suporta sarea”, sau chiar cea a lui Țopa (1939), care ia drept criteriu „modul de comportare a plantelor față de mediul arătat (sărat, n.n.). Chiar și așa, surprinde în mod plăcut că astfel de sisteme de clasificare sunt „confirmate”, în timp, de altele, bazate pe date mai complete și mai elaborate. În spiritul acestei idei putem menționa sistemul lui Bucur și colab. (1957), care se bazează pe date cuantificabile, măsurabile, și anume salinitatea solului din stratul rizosferic, în legătură cu dezvoltarea plantelor.

3. *Euhaloфіtele suculente* reprezintă alt grup de plante, la care are loc o absorbție intensă a sărurilor și transportul lor către părțile supraterane. La acestea, frunzele și/sau tulpinile devin suculente.
4. Alte grupe de halofite au ca principală strategie eliminarea sărurilor de către structuri speciale, localizate la nivelul organelor aeriene. Această eliminare este numită *recreție*<sup>6</sup> și poate fi observată la un număr ridicat de specii posesoare de structuri secretoare de săruri.

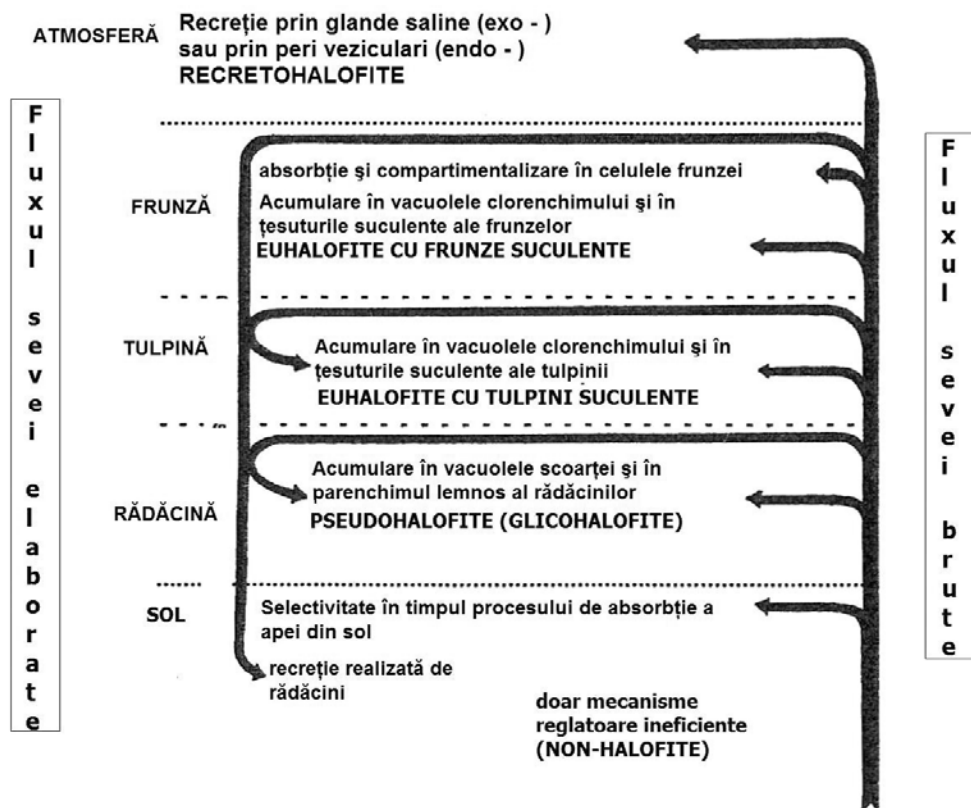
Tabelul nr. 1 (preluare și adaptare după Breckle, 1995)

Nivelul vizat	Exemple de răspunsuri
Biochimic	Reglare genetică, activități enzimatice, modificări în structura ADN
Membrantar	Permeabilitate, potențial electric
Subcelular (organite celulare)	Respirație, fotosinteză, compuși secundari
Celular	Efecte formative, perturbări
Tisular	Efecte formative, alterarea diferențierii
Interacțiuni la nivelul întregii plante	Echilibru hormonal, metabolism mineral, bilanț hidric, adaptare și modificare, creștere, stadii de dezvoltare
Populațional	Reproducere, distribuție pe vârste, competiție, selecție
Ecosistemic	Ciclul sărurilor și nutrienților, acumulare, biomasă, compoziție pe specii, flux energetic
Biom, Biosferă	Ciclul sărurilor, flux energetic, sedimentare, acumulare în bazine de eroziune

În schema de mai jos, sistematizăm și noi sistemul de clasificare al lui Breckle (1995).

<sup>6</sup> Am păstrat termenul original din limba engleză: „recretion”, care este mai puțin familiar limbajului românesc de specialitate; în accepțiunea lui Frey-Wyssling (1935), *rekrete* se referă la transportul la exterior al sărurilor care nu sunt asimilate de plantă.





Tipurile de halofite după locul de absorbție a sărurilor, după locul de depozitare și eliminarea lor (preluare și adaptare după Breckle, 1995)

Altă clasificare a halofitelor, rezultată în urma unor cercetări complexe, este cea oferită de Pătruț, Pop și Ioan (2005). Aceștia, investigând biodiversitatea halofitelor din Câmpia Banatului, au delimitat halofitele în funcție de reacția solului, cantitatea de humus, proporția diferiților ioni minerali la nivelul rizosferei, precum și după cantitatea de apă din sol de-a lungul perioadei de vegetație, în următoarele categorii:

1. Specii adaptate unor biotopuri accentuat sărăturate, cu sărăturare de tip carbonato-sodic, sulfato-sodic, cu un conținut ridicat de  $\text{CaCO}_3$ ,  $\text{HCO}_3^-$ ,  $\text{CO}_3^{2-}$  și  $\text{Na}^+$ , reacție puternic alcalină și conținut mic de humus. În funcție de factorul hidric, aceste specii se grupează în două categorii:
  - a. specii xeromezofile, care vegetează în biotopuri cu umiditate moderată primăvara și accentuat uscate vara și toamna, cum sunt: *Camphorosma annua*, *Artemisia santonicum*;

- b. specii mezofile, care vegetează în biotopuri cu umiditate pronunțată primăvara și uscate în timpul verii, cum ar fi: *Puccinellia distans* ssp. *limosa*, *Limonium gmelini*, *Chamomilla recutita*.
2. Specii adaptate biotopurilor moderat sărăturate, cu sărăturare de tip carbonato-sodic și sulfato-sodic, conținut ridicat de  $\text{CaCO}_3$ ,  $\text{HCO}_3^-$ ,  $\text{CO}_3^{2-}$  și  $\text{Na}^+$ , reacție puternic alcalină și conținut ridicat de humus, care ocupă biotopuri moderat până la accentuat umede primăvara și relativ uscate vara și toamna, cum sunt: *Ranunculus pedatus*, *Plantago maritima*, *Aster tripolium*, *Plantago tenuiflora*.
3. Specii adaptate unor biotopuri cu grad variat de sărăturare, de natură sulfato-sodică și carbonato-sodică, conținut variabil de  $\text{CaCO}_3$ ,  $\text{HCO}_3^-$ ,  $\text{CO}_3^{2-}$  și  $\text{Na}^+$ , reacție slab acidă până la puternic alcalină și cantitate mare de humus. Aceste specii se grupează în două categorii:
  - a. specii care vegetează în biotopuri moderat umede primăvara și accentuat uscate vara și toamna, cu un conținut ridicat de  $\text{CaCO}_3$ ,  $\text{HCO}_3^-$ ,  $\text{CO}_3^{2-}$  și  $\text{Na}^+$ , cum sunt: *Festuca pseudovina*, *Plantago schwarzenbergiana*, *Scorzonera cana*;
  - b. specii care vegetează în biotopuri umede primăvara și moderat umede vara și toamna, cu un conținut moderat de  $\text{CaCO}_3$ ,  $\text{HCO}_3^-$ ,  $\text{CO}_3^{2-}$  și  $\text{Na}^+$ , cum ar fi: *Hordeum hystrix*, *Pholiurus pannonicus*, *Lotus tenuis*, *Taraxacum bessarabicum*, *Rorippa sylvestris* ssp. *kernerii*, *Juncus gerardi*.
4. Specii adaptate biotopurilor slab sărăturate, de natură sulfato-sodică (slab carbonato-sodică), conținut scăzut de  $\text{CaCO}_3$ ,  $\text{HCO}_3^-$ ,  $\text{CO}_3^{2-}$  și  $\text{Na}^+$ , reacție slab acidă până la slab alcalină. Aceste specii pot fi grupate în două categorii, în raport cu factorul hidric:
  - a. specii care vegetează în biotopuri cu umiditate mare primăvara și uscate vara și toamna, cum sunt: *Achillea setacea*, *Crypsis alopecuroides*;
  - b. specii care vegetează în biotopuri bălțite, înmlăștinite în timpul primăverii și uscate vara și toamna, cum sunt: *Beckmania eruciformis*.

În plus, în același studiu (Pătruț, Pop Adelina, Ioan, 2005), corelația între adaptările fenologice ale halofitelor investigate și condițiile pedo-climatice particulare din Câmpia Banatului a permis stabilirea a patru categorii de halofite (direcții de adaptare):

1. specii anuale cu ciclu biologic scurt (efemere), cum sunt: *Plantago tenuiflora* și *Myosurus minimus*, care cresc, înfloresc și fructifică în prima parte a primăverii, ocupând microdepresiunile cu apă stagnantă, adesea inundate, slab săratate; aceste specii evită perioadele nefavorabile de vegetație, rezistând în sol sub formă de semințe;
2. speciile anuale sau perene cu ciclu biologic scurt, cum sunt: *Hordeum hystrix*, *Rorippa sylvestris* ssp. *kernerii*, *Chamomilla recutita*, *Ranunculus pedatus* și *Festuca pseudovina*, care ocupă biotopuri diferite sub raport hidro-salin, de la cele excesiv de umede, până la cele accentuat uscate, de la slab până la puternic alcaline; aceste specii înfloresc și fructifică tot în prima parte a primăverii, trecând peste condițiile nefavorabile fie sub formă de semințe, fie prezentând organe subterane de rezistență; excepție face *Festuca pseudovina*, care în timpul verii se găsește în repaus vegetativ, urmând ca toamna, când crește umiditatea solului, să intre din nou în faza vegetativă;
3. specii perene, rar anuale, cu ciclu biologic lung, cum sunt: *Beckmannia eruciformis*, *Juncus gerardi*, *Puccinellia distans* ssp. *limosa*, *Lotus tenuis*, *Rorippa sylvestris* ssp. *kernerii*, *Aster tripolium*, *Crypsis alopecuroides*, *Crypsis schoenoides*, *Achillea setacea*, *Taraxacum bessarabicum*, *Scorzonera cana*, *Plantago schwarzenbergiana*, ce ocupă habitate cu salinitate slabă până la puternică, dar cu aport hidric ridicat, înfloresc și fructifică în timpul verii; aceste specii vegetează în microdepresiuni bălțite primăvara, unde umiditatea solului se menține până în timpul verii; excepție fac: *Scorzonera cana* și *Achillea setacea*, care ocupă biotopuri plane cu salinizare și umiditate moderată, dar care prezintă caractere xeromorfe;
4. specii perene, rar anuale, cu ciclu biologic lung, ce ocupă biotopuri cu salinizare excesivă, de obicei uscate în timpul verii, cum sunt: *Camphorosma annua*, *Plantago maritima*, *Atriplex littoralis*, *Limonium gmelini*, *Artemisia santonicum*, care înfloresc și fructifică în timpul verii; aceste specii și-au dezvoltat mecanisme proprii, fie de reținere a apei la nivelul parenchimurilor acvifere, fie de eliminare a surplusului de săruri minerale.

În fine, tot în cadrul aceluiași studiu sus-menționat, halofitele mai sunt împărțite, pe baza trăsăturilor morfo-anatomice, în:

- a. halosuculente, cum sunt: *Camphorosma annua*, *Plantago maritima*, *Aster tripolium* și *Atriplex littoralis*, ce vegetează în

condiții de sărăturare și uscăciune accentuate, mai ales în a doua jumătate a perioadei de vegetație; acestea au evoluat în direcția menținerii apei la nivelul frunzelor, din cauza regimului hidric deficitar;

- b. halomezomorfe, situate din punct de vedere morfo-anatomic între halosuculente și haloxerofite: *Taraxacum bessarabicum*, *Scorzonera cana*, *Lotus tennuis*, *Ranunculus pedatus*, *Hordeum hystris*, *Crypsis alopecuroides*;
- c. haloxerofite, ce cuprind specii care vegetează în biotopuri cu umiditate moderată primăvara și accentuat uscate vara și toamna, cel mai adesea excesiv sărăturate: *Achillea setacea*, *Artemisia santonicum*, *Limonium gmelini*, *Festuca pseudovina*, *Juncus gerardi*.

Am amintit la începutul capitolului de dificultățile inerente ce pot surveni în definirea halofitelor și, implicit, în clasificarea acestora. Se cunoaște faptul că cea mai importantă proprietate a halofitelor este toleranța la salinitate (săruri). Însă trebuie spus că există multe accepțiuni ale termenului de toleranță la săruri sau prag de salinitate, ceea ce împiedică, în consecință, o abordare uniformă a halofitelor, complicând totodată eventualele comparații între specii (Koyro et al., 2006). Iată care sunt aceste modalități de definire a termenului de toleranță la săruri (prag al salinității):

- a. Fitosociologii folosesc termenul de halofite pentru a se referi doar la speciile care vegetează în mod natural în habitate saline; firește că pentru a avea o imagine expeditivă asupra toleranței la salinitate, analiza fitosociologică este foarte utilă, iar „valorile” toleranței la săruri pot fi aplicate pe scară largă pentru aproximări calitative (Ellenberg, 1974).
- b. Alți cercetători descriu toleranța la salinitate prin diagrame poligonale ale compoziției minerale a plantelor.
- c. Pragul (nivelul) de salinitate este caracterizat ca fiind punctul (concentrația sărurilor) la care abilitatea plantelor de a supraviețui și de a se reproduce nu mai este asigurată (Pasternak, 1990). Oricum, trebuie ținut seama și de faptul că supraviețuirea și reproducerea unei specii nu sunt întotdeauna împiedicate la același nivel al salinității (Tazuke, 1997). Definiția lui Pasternak (1990) este totuși importantă pentru interpretarea răspândirii ecologice și poate fi folosită ca punct de plecare pentru studii fiziologice referitoare la strategiile de supraviețuire a plantelor.
- d. În general, clasificarea toleranței la salinitate a speciilor de cultură se bazează pe pragul conductivității electrice și pe procentajul de productivitate care scade sub nivelul acestui prag (Greenway și

Munns, 1980). Uneori, toleranța la săruri este privită ca procentaj al producției de biomasă în condiții saline, comparativ cu cele de control, pentru o perioadă îndelungată de timp (Munns, 2002). Concentrația substratului care are ca efect reducerea cu 50% a creșterii (raportată la greutate proaspătă, comparativ cu plantele neexpuse salinității) este folosită de ecofiziologi ca definiție pentru toleranța la salinitate. Și această definiție are un caracter relativ arbitrar, dar poate conduce la o precizare mai exactă a unei valori comparative pentru speciile de halofite și poate avea relevanță pentru aspecte aplicative, cum ar fi potențialul economic al unora dintre aceste plante;

- e. O altă definiție poate fi folosită și aplicată pentru speciile de glicofite. Mai ales în agricultură, este obișnuit să se vorbească despre toleranța la salinitate dacă o varietate de glicofită, cum ar fi una de *Hordeum vulgare* supraviețuiește la un nivel crescut al salinității, în comparație cu altă varietate a aceleiași specii. Oricum, substratele saline cu NaCl tolerate de aceste varietăți sunt cu mult sub concentrația apei de mare (Amzallag, 1994; Jeschke et al., 1995).

În ultima vreme, foarte mult se vorbește despre salinizarea secundară (antropogenă) a suprafețelor agricole și, implicit, de criza agriculturii, de necesitatea stringentă de a exploata potențialul imens pe care îl pot oferi apa sărată, ca apă de irigații, și plantele de cultură care pot manifesta un oarecare grad de toleranță la săruri.

În acest sens, de mare actualitate este și remedierea solurilor afectate de salinitate; se știe, chiar și din experiența românească (mai ales din anii anteriori lui 1990) că ameliorarea acestor suprafețe prin mijloace mecanice, chimice, spălări în vederea îndepărtării sărurilor este relativ complicată, costisitoare și uneori imprevizibilă. De aceea, un mare accent se pune pe remedierea pe cale naturală a acestor terenuri salinizate, cu ajutorul unor specii care sunt tolerante la săruri și pe care le pot acumula și îndepărta apoi.

Și mai puțină atenție s-a acordat clasificării plantelor, în funcție de capacitatea lor de a îndepărta sărurile din sol. Mai mult decât atât, s-a introdus și un nou concept, cel de *haloconducție*, care se referă la capacitatea unei plante de a absorbi sărurile din sol, de a le vehicula prin corpul ei și, eventual, de a le elimina în atmosferă.

În concordanță cu aceste aspecte s-a încercat clasificarea plantelor în raport cu abilitatea (capacitatea) lor de a ameliora solurile saline (Yensen și Biel, 2006):

1. *Excluders*<sup>7</sup> sunt speciile care exclud (împiedică) la nivelul rădăcinilor pătrunderea sărurilor în țesuturi. Majoritatea speciilor terestre intră în această categorie, deși multe din ele pot avea capacități limitate de a exclude sărurile, dovadă că ele pot muri, dacă sărurile pătrund în cantități foarte mari în țesuturi. Unele plante din această categorie pot fi euhalofite (*Rhizophora*). Acest grup de plante are capacități reduse sau chiar absente de a remedia solurile sărate. Deoarece absorb apa în mod selectiv, dar exclud sărurile la nivelul rădăcinii, ele au tendința de a acumula sărurile în sol până la punctul în care toleranța la salinitate a plantei este depășită. Această realitate s-ar traduce prin faptul că ar fi vorba, de fapt, de o salinizare a solului indusă chiar de plantă.
2. *Plante-acumulative*, care absorb sărurile și le acumulează în vacuolele celulelor. Acestea pot fi glicofite, tolerante la săruri sau euhalofite, cu sau fără suculență. În general, aceste plante au valoare fitoameliorativă numai dacă ele întregi sau părți din corpul lor sunt îndepărtate de pe terenurile respective. Cu unele excepții, asemenea plante „încărcate” cu săruri nu au adesea o valoare de producție ridicată; din acest motiv nu sunt acoperite costurile îndepărtării sărurilor de pe astfel de terenuri. De asemeni, fiind prea sărate, nu pot fi folosite nici ca nutreț.
3. *Conductings*<sup>8</sup> includ speciile care absorb sărurile din sol, le transportă în părțile aeriene și le dispersează, cu ajutorul vântului, departe de locul de „cultivare”. În mod ipotetic, aceste plante au o mare capacitate de a îndepărta sărurile din sol și de a le dispersa cu ajutorul vântului. Firește, aceasta implică automat existența unor curenți aerieni puternici pentru a asigura o răspândire eficientă a sărurilor; ca un „contraexemplu”, se cunoaște că 80% din totalul sărurilor de pe suprafața continentală sunt aduse dinspre ocean de către curenții oceanici. După cum se poate observa cu ușurință, avantajul speciilor din această categorie este că sărurile sunt îndepărtate din sol fără acumularea lor în corpul plantelor.

Dacă este să sintetizăm, pe scurt, cele discutate în această parte a lucrării, ne putem hazarda să afirmăm că definiția halofitelor (și, implicit, clasificarea lor) nu a evoluat radical și substanțial în ultimul secol. Dacă Schimper (1891/1903) le definea ca fiind plante capabile să-și definească ciclul biologic pe un substrat bogat în NaCl, Khan și Duke (2001) le

<sup>7, 8</sup> Păstrăm pentru aceste grupe denumirea din limba engleză, deoarece este foarte dificil de echivalat în limba română printr-un singur cuvânt (n. n.).

caracterizau ca organisme bine dezvoltate și specializate, având trăsături morfologice și fiziologice care le permit să se reproducă pe soluri cu mari concentrații de săruri.

În fine, la nivelul anului 2008, halofitele au fost definite ca acele specii care supraviețuiesc și se reproduc în medii a căror concentrație este de aproximativ 200 mM NaCl, sau mai mare decât această valoare (Flowers și Colmer, 2008).

Păreră noastră este că, în definitiv, nici nu-i atât de important să se definească unitar halofitele; mai important este ca din multitudinea de definiții și abordări ale acestui grup de plante, să se nască ipoteze, soluții la problemele agriculturii și, implicit, ale omenirii.

## ***2. Halofitele și mediile lor de viață. Locul halofitelor în clasificarea ecologică a plantelor***

Atunci când am ridicat problema controverselor ce pot să apară în definirea și clasificarea halofitelor (Grigore, 2008a; 2008b), ca și în rândurile de mai sus, am menționat și pe cele care derivă din complexitatea și polimorfismul habitatelor saline. Firește, am avut în minte mai ales aspecte de nuanță terminologică, de inconstanță și vagă delimitare a unor termeni.

În rândurile ce urmează, intenția noastră este de a aduce în discuție un concept mai vechi, care credem că poate constitui o joncțiune consistentă între adaptările histo-anatomice ale halofitelor și factorii ecologici, priviți ca un întreg. Totul însă într-o abordare profund stilizată.

De multă vreme s-a observat că halofitele prezintă adaptări de tipul xeromorfozelor, în legătură cu habitatele în care vegetează, deci multe din adaptările întâlnite la halofite se găsesc și la xerofite. Este de înțeles că în astfel de condiții a apărut, logic, întrebarea dacă și ce au în comun aceste două categorii ecologice de plante. Răspunsul nu părea foarte greu de dat, mai ales dacă se comparau trăsăturile histo-anatomice ale unor specii diferite, ce erau catalogate „a priori” ca făcând parte din grupa halofitelor, respectiv a xerofitelor.

Schimper, însă, (1898/1903) a avut inspirația de a pune problema oarecum invers, adică luând în calcul nu atât trăsăturile de structură ale halofitelor sau xerofitelor, ci particularitățile factorilor de mediu (apa și solul, mai ales) care „dictează” aceste adaptări și le modelează în consecință.

Acest fiziolog a arătat că în mod obișnuit plantele din stațiuni umede sunt catalogate ca *higrofite*, iar cele din stațiuni uscate, drept *xerofite*; însă, așa cum atrage el atenția, caracteristicile organismelor sunt fiziologice, iar

cele ale habitatelor sunt fizice, deci nu există o legătură neapărat obligatorie între aceste două grupe de caracteristici. În realitate (și aparent paradoxal), un substrat foarte umed poate fi uscat pentru o plantă dacă aceasta nu poate absorbi apa din el, în vreme ce un sol, care ne apare ca fiind uscat, poate asigura suficientă apă pentru multe plante care au adaptări în acest sens. Așadar, trebuie făcută deosebirea între uscăciunea fizică și cea fiziologică, respectiv între umezeala (solului) fizică și cea fiziologică. În tot acest context, Schimper a făcut o observație foarte interesantă: pentru viața plantei și implicit pentru geografia botanică, numai caracteristicile fiziologice trebuie luate în considerație. Deci, vegetația higrofilă este legată de umezeala fiziologică a solului, iar cea xerofilă, de uscăciunea fiziologică.

Cu timpul, s-a observat că solurile saline sunt, practic, afectate de o *secetă fiziologică*. Aceasta se datorează unor factori externi, care fie reduc absorbția, fie favorizează transpirația; sau, cel mai adesea, este vorba despre o combinație a acestor factori.

Dintre factorii enumerați de Schimper, și care pe noi ne interesează cel mai mult, este amintită abundența sărurilor solubile din sol. În timp ce o cantitate mică favorizează absorbția, o cantitate (concentrație) ridicată o împiedică. Conform aceluiași autor, pragul concentrației la care începe inhibarea creșterii depășește rareori valoarea de 0,5%.

O analiză preliminară a celor enumerate până aici oferă motive pentru a privi halofitele ca un caz particular de xerofite. De altfel, habitatele afectate de uscăciune fiziologică sunt foarte diverse; pentru a ne forma o imagine, iată care sunt cele mai importante regiuni naturale afectate de acest fenomen (Schimper, 1903):

a. deșerturile, stepele, caracterizate de un substrat uscat, aer uscat, precum și de temperaturi foarte ridicate, sporadice sau permanente, deci cu iluminare intensă;

b. scoarța copacilor, stâncile, unde are loc o uscare rapidă la suprafață, din cauză că nu există un substrat profund;

c. solurile nisipoase, pietrișul, care se usucă rapid la suprafață, datorită permeabilității ridicate;

d. țărmurile maritime, suprafețe de natură vulcanică, care conțin o cantitate ridicată de săruri solubile;

e. turbăriile, din cauza acizilor humici din sol;

f. zone polare, sau din apropierea ghețarilor din munții înalți, unde temperatura solului este foarte scăzută;

g. piscuri alpine, unde aerul este rarefiat, insolația este puternică, caracteristice climatului alpin.

Am enumerat toate aceste tipuri de habitate pentru a înțelege mai bine cum una și aceeași caracteristică a mediului (seceta fiziologică) poate



imprima trăsături de xerofism comune la plante care vegetează habitate atât de diferite, cel puțin la prima vedere.

Toate aceste precizări, alături de unele experimente care au vizat comportamentul plantelor în soluții saline, l-au determinat pe Schimper să concluzioneze că trăsăturile morfologice ale halofitelor sunt în concordanță cu cele ale xerofitelor.

Altfel spus, halofitele sunt, în realitate, o formă specială de xerofite (Warming, 1909; Wiesner, 1889). Această afirmație, susținută atât de analiza caracteristicilor habitatelor (afectate de seceta fiziologică), cât mai ales de trăsăturile histo-anatomice ale halofitelor, pare destul de solidă. Mai mult decât atât, în acest context se pare că și considerarea halofitelor ca grup ecologic distinct (în relație cu xerofitele și hidrofitele) poate fi pusă sub semnul întrebării (Kearney, 1904). Ultimul autor este chiar de părere că halofitele ar trebui privite ca o subdiviziune a xerofitelor (referindu-se mai ales la succulență, acesta considera că la grupul pe care îl studiem, aspectul general este extrem xerofit). Henslow (1895 a,b), în importante sale lucrări referitoare la adaptările plantelor la mediile de viață, a subliniat, de asemenea, apropierea dintre caracteristicile anatomice ale xerofitelor și halofitelor.

Această ipoteză a uscăciunii fiziologice (secetă fiziologică) a fost preluată de mai mulți cercetători, care au studiat ecologia plantelor.

McDougall (1941) tratează halofitele în categoria plantelor de habitate fiziologic uscate și le definește ca fiind plantele care cresc pe soluri saline sau în apă sărată, având trăsături asemănătoare xerofitelor. Succulența este considerată și de acest autor ca fiind cea mai definitorie trăsătură a halofitelor, însoțită de o presiune osmotică ridicată a celulelor.

Oosting (1948) definea halofitele ca fiind plante ce pot tolera concentrațiile de săruri din soluri; aceste habitate pot fi catalogate ca fiziologic uscate din cauza conținutului ridicat de săruri, care limitează activitatea osmotică și, în consecință, absorbția apei de către plante.

De altfel, intuiția genială a lui Warming (1895, 1909), Schimper (1898/1903) și Clements (1921) referitoare la uscăciunea fiziologică a solului complică un pic lucrurile când vine vorba de clasificarea plantelor, deci și a halofitelor, din punct de vedere *ecologic*.

Cităm și lucrarea de *pionierat* în domeniul ecologiei plantelor a lui Warming (1895), apărută în limba daneză, lucrare de mare răsunet internațional, deși noi nu am consultat-o în original; această lucrare are însă numeroase traduceri și ediții, în limba germană (1896; 1902; 1914) și engleză (1909). Traducerile ulterioare aduc totodată și revizuirii ale ediției daneze din 1895, ceea ce este foarte important, deoarece am putut urmări, astfel, și evoluția clasificărilor despre care vorbim în rândurile de față. Noi am consultat lucrările în limba germană (ed. 1902, 1914), dar mai ales

traducerea în engleză din 1909, pe care am considerat-o, de altfel, reperul principal. Astfel, până la ediția tradusă în engleză din 1909 sistemul de clasificare în clase ecologice (*vereinsklasse*, *formationklasse*, în germană; (o) *ecological class* sau *class*, în engleză, termeni pe care noi îi foloim cu sensul de *clasă ecologică* sau, simplu, *grup ecologic* de plante) cuprindea următoarele comunități de plante: hidrofitе, xerofite, halofite și mezofite. Schimper (1903) împărțea plantele în terestre și acvaticе; cele terestre cuprind: xerofitele, higrofitеle și tropofitele.

Warming (1909), pe baza uscăciunii fizice și/sau fiziologice a solului și luând în considerație și factorii climatici, a inclus halofite, ca clasă ecologică, în rândul formațiunilor vegetale xerofile, alături de *oxilofite* (plante de soluri acide – turbării) și *psichrofite* (plante de soluri reci, înghețate) pe baza faptului că *solul este fiziologic uscat, deoarece apa conținută este disponibilă plantei numai într-o mică măsură; din acest motiv, formațiunile cuprinse aici sunt în mod esențial* (subl. n.) *formate din specii xerofile* (op. cit., p. 136). Tot printre formațiunile xerofile (dar datorită uscăciunii *fizice* a solului sau a factorilor climatici), mai sunt incluse următoarele clase ecologice: *litofitеle*, *psamofite*, *chersofite* (grup eterogen, cuprinzând specii ce vegetează în habitate aride, rezultate, în principal, în urma defrișărilor), *eremofite* (specii deșertice sau stepice), *psilofite*<sup>9</sup> (specii ce vegetează în savane), *sclerofite* (formate din arbuști și păduri, în regiunile cu climat foarte uscat) și *coniferele*. Observăm, așa cum am afirmat și în rândurile de mai sus, că, față de edițiile precedente, halofite nu mai sunt tratate ca un grup principal, dintre cele patru menționate. Această distincție apărută în abordarea grupelor de plante este motivată în mod explicit de Warming însuși, în prefața ediției engleze din 1909, prin faptul că au fost luate în considerare deosebirile edafice și climatice care intervin în modelarea adaptărilor plantelor.

Clements (1920, mai ales pe baza publicațiilor anterioare) a inclus halofite în categoria xerofitelor, caracterizate prin faptul că pânza de apă freatică este joasă, solul este fizic sau fiziologic uscat, climatul de regulă uscat sau variabil, transpirația scăzută. Halofite sunt caracterizate de *habitate cu pânza freatică joasă, datorită* (subl. n.) *unui exces de săruri*. Relația cauzală de mai sus, subliniată de noi, corespunde doar parțial realității; din contră, se știe că în unele situații, salinitatea ridicată a solului se datorează tocmai ridicării nivelului freatic al apei, care ulterior, datorită evaporăției intense de la suprafață, concentrează sărurile în orizonturile superioare ale solului.

<sup>9</sup> *Psilophytes*, în original (p. 293, lucrarea citată), un termen care ar putea produce confuzie, deoarece *Psilophyta* reprezintă un grup de ferigi primitive (n. n.).

Asemenea probleme legate de clasificarea în grupe ecologice a plantelor ne pot oferi informații importante referitoare la evoluția și dezvoltarea unor concepte de ecologie a plantelor, așa cum au fost vehiculate de *pionierii* acestei discipline (Warming, Schimper, Clements).

La acest tip de ecologie vegetală subscriem și noi, autorii acestei lucrări, care avem preocupări de anatomie vegetală; mai mult decât atât, poate că și sintagma de *Ecologie a plantelor* ar trebui redusă numai la acest gen de abordare, anatomo-ecologică, deoarece aceasta a fost și intenția autorilor sus-citați. În zilele noastre, ecologia plantelor sună destul de vag, datorită faptului că știința plantelor a cunoscut o dezvoltare amplă în ultimele decenii, existând și tendința de a subscrie în această disciplină preocupări de *fitocenologie*, *ecofiziologie*, *taxonomie*, însă Ecologia plantelor ar trebui să redevină o morfologie și o anatomie ecologică a plantelor.

Din cele discutate până aici se poate ridica și un semn de întrebare: dacă halofitele vegetează în habitate uscate fiziologic (și trebuie privite ca pe un grup particular al xerofitelor), atunci utilizarea unor termeni ca: *xerohalofite*, *hidrohalofite*, *higrohalofite* ar putea fi cumva incorectă sau tautologică? În plus, dacă halofitele au mecanisme eficiente de absorbție a apei din sol, indiferent dacă acesta este umed sau uscat, atunci ele mai sunt afectate, în realitate, de secetă fiziologică?

Pentru prima întrebare credem că folosirea unor termeni compuși, precum cei enumerați, nu este greșită; este vorba mai degrabă de asocieri de cuvinte care oferă mai multe informații expeditiv despre habitatul concret în care vegetează o specie sau alta, referindu-ne deci la halofite care pot crește în habitate uscate, respectiv umede. Cei doi factori ecologici, salinitatea și umiditatea solului, sunt de fapt definatorii atunci când vorbim de halofite ca grup ecologic. Și, oricum, când vorbim de un grup ecologic oarecare, trebuie să luăm în calcul toți factorii de mediu.

Cât privește cea de-a doua întrebare pe care am adresat-o, este clar că un sol afectat de uscăciune fiziologică impune adaptări de xerofitism; dar, dacă o halofită are mecanisme capabile să asigure o bună aprovizionare cu apă, atunci ea ar mai trebui privită ca o specie „însetată”, deci ca o xerofită?

### ***3. Adaptări morfo-anatomice generale ale halofitelor***

Mare parte din adaptările morfo-anatomice ale halofitelor sunt de tip xeromorfic, întâlnindu-se deci și la xerofite. În spiritul ipotezei lui Schimper, privind „uscăciunea fiziologică”, reîntărim ideea că, cel puțin parțial, halofitele ar trebui privite ca un grup particular în cadrul xerofitelor.

Aceasta este o idee vehiculată de mulți autori, care au „subscris” la ipoteza schimperiană; comparând adaptările xerofitelor cu cele ale halofitelor, ei au înțeles că poate fi vorba, de fapt, de un fenomen de convergență: același factor de mediu, privit fiziologic, și nu strict din punct de vedere fizic, determină existența unor trăsături comune, deși plantele pot vegeta în medii foarte diverse și heterogene, cel puțin la prima vedere.

Warming (1909) considera că principalele adaptări morfo-anatomice ale halofitelor sunt reprezentate de<sup>10</sup>:

### Suculența

Cea mai evidentă caracteristică a halofitelor este că majoritatea sunt plante suculente: frunzele sunt groase, cărnoase, mai mult sau mai puțin transparente. Aceasta se datorează parțial abundenței celulelor acvifere și numărului redus de cloroplaste, iar parțial spațiilor intercelulare mici. S-a demonstrat de mult timp că unele specii se caracterizează prin dimorfism, prezentând o formă maritimă sau halofitică, cu frunze groase, suculente, și o formă obișnuită, de interior (continentală), cu frunze subțiri: *Lotus corniculatus*, *Geranium robertianum*, *Convolvulus arvensis*, *Matricaria inodora*, *Hieracium umbellatum*, *Solanum dulcamara*. Experimentele cu soluții saline au arătat că anumite halofite crescute într-un sol obișnuit, sărac în săruri, dobândesc frunze mai subțiri și pierd alte caracteristici, cum ar fi cazul speciilor: *Cakile maritima*, *Cochlearia officinalis*, *Salicornia europaea*, *Spergularia media*, *Salsola soda* (Batalin, 1884; Lesage, 1890; Boodle, 1904), în vreme ce alte specii rămân nemodificate. Din contră, anumite specii de interior, atunci când sunt cultivate pe un substrat îmbogățit cu sare obișnuită, dobândesc frunze mai groase, cum ar fi *Lotus corniculatus* și *Plantago major*. Această îngroșare a frunzei se datorează alungirii celulelor din mezofil, care devin astfel mai mari și rotunjite, spre interiorul frunzei, sărace în cloroplaste, așa încât devin hialine, formând un adevărat țesut acvifer. În anumite situații putem vorbi de un țesut acvifer tipic, înconjurat de țesut palisadic, cum ar fi la *Salsola kali* (Areschoug, 1878), *Batis maritima*, *Salicornia* (Warming, 1906).

### Celulele mucilaginoase

Sunt prezente și frecvente ca și la xerofite. Țesutul hipodermic acvifer se întâlnește mai mult la plantele care au frunze coriacee, cum ar fi speciile

<sup>10</sup> Le prezentăm „didactic”, ca pe un *background* general în spiritul discuțiilor detaliate pe care le vom face în partea a II-a lucrării, când ne vom referi la fiecare specie în parte, pe care am supus-o investigațiilor.

de mangrove (care au, de asemenea, celule mucilaginoase mari) aparținând genului *Sonneratia* și *Spinifex squarrosus*.

### Sucul vacuolar

Cantități mari de săruri pot să apară în sucul vacuolar, ceea ce determină ca această soluție să fie mai concentrată decât cea a solului.

### Țesutul palisadic

Este bine dezvoltat la halofite. Lesage (1890) a demonstrat experimental că celulele devin mai înalte și se divid adesea transversal; sărurile obișnuite acționează din punct de vedere morfologic aproximativ în aceeași manieră ca și lumina. Conform opiniei lui Schimper (1891), frunzele plantelor care vegetează aproape de mare, în formațiunile de tip *Barringtonia* sunt mai groase decât cele ale plantelor depărtate de mare, datorită țesutului palisadic mai dezvoltat.

### Ceara

Învelișurile de ceară, determinând o suprafață glaucă și mată a organelor supraterane, caracterizează multe specii, cum ar fi: *Eryngium maritimum*, *Triticum junceum*, *Elymus arenarius*, *Crambe maritima*, *Martensia maritima*, *Glaucium flavum*, *Spinifex squarrosus*.

### Învelișul de peri

Majoritatea halofitelor sunt glabre. Deși unele specii au peri, totuși aceștia sunt subțiri sau închiși la culoare, ca la *Senecio candicans*, *Tournefortia gnaphalodes*. Speciile care au peri sunt în general plante de nisip; unele au peri speciali, acviferi, ale căror celule terminale sunt mari, sferice, cu pereți subțiri, cu suc celular concentrat și sunt îndepărtate sau mor, formând un înveliș cenușiu la suprafața plantei, ca la: *Atriplex*, *Obione*, *Mesembryanthemum*.

### Frunzele coriacee și lucioase

Apar la arborii și arbuștii din mlaștinile de mangrove și la vegetația învecinată, cum ar fi: *Rhizophora*, *Bruguiera*, *Nipa fruticans*, ca și la pădurile de nisipuri litorale.

### Stomatele

La speciile de euhalofite, suculente, de litoral, stomatele nu sunt de regulă afundate, fiind localizate la nivelul epidermei. Îngroșarea și cuticularizarea pereților epidermici sunt reduse la speciile suculente; aceasta poate sugera că atmosfera habitatului nu este foarte uscată, dar probabil ar trebui corelat cu faptul că protecția împotriva transpirației excesive este dobândită prin alte mijloace. Excepție de la această regulă fac speciile lemnoase înalte, din pădurile de mangrove, dar și saxaulul (*Haloxylon ammodendron*), *Niederleinia juniperoides*, *Acantholippia riojana* și altele.

### Traheidele

În completarea a ceea ce s-a spus despre corelațiile histologice ale țesutului acvifer trebuie menționat că, la anumite specii, traheidele se găsesc la capătul nervurilor (la anumite specii din mlaștinile de mangrove), iar la alte specii (*Salicornia*) sunt izolate în parenchimul, relativ depărtat de nervuri (Duval-Jouve, 1868).

### Lignificarea

Cu excepția cazului particular al mangrovelor, lignificarea apare numai într-o mică măsură<sup>11</sup>, din acest punct de vedere halofitele diferind de celelalte xerofite. Există, oricum, câteva specii spinoase, la multe dintre ele spinii aparținând frunzelor, ca la: *Salsola kali*, *Eryngium maritimum*, *Echinophora spinosa*, *Carthamus lanatus* și altele; dar aceste specii sunt concentrate în habitatele nisipoase, ceea ce poate explica producerea spinilor.

### Idioblastele

Sub forma celulelor bogate în amidon, idioblastele pot să apară în țesutul palisadic sau în cel acvifer, ca la: *Sonneratia*, *Rhizophora*, *Carapa* și alte specii de mangrove, precum și la *Scaevola koenigii*.

---

<sup>11</sup> Cu toate acestea, la speciile din familia *Chenopodiaceae*, ale căror organe vegetative sunt afectate de policambie, se întâlnește o cantitate foarte ridicată de lignină, așa cum vom putea constata în paginile următoare (n. n.).

#### ***4. Halofitele și stresul salin. Trăsăturile histo-anatomice ale halofitelor: efect formativ, adaptare sau răspuns la un factor abiotic exagerat?***

Este foarte dificil de răspuns la o asemenea întrebare. Această realitate are, credem, legătură tot cu unele dificultăți izvorâte din complexitatea și abordarea atât de diversă a unor aspecte legate de biologia halofitelor.

Stresul ambiental a fost definit în diverse moduri; cel mai adesea este privit ca orice modificare în cadrul condițiilor de creștere din habitatul natural al plantei, modificare ce perturbă sau întrerupe starea de homeostazie metabolică (Shulaev et al., 2008). Asemenea modificare/modificări în timpul creșterii necesită o reglare a căilor metabolice, care are ca scop dobândirea unei noi stări de homeostazie (Mittler, 2006; Suzuki și Mittler, 2006).

Salinitatea crescută induce un stres atât hiperionic, cât și hiperosmotic, care pot avea drept consecință moartea plantei (Glenn et al, 1999; Niu et al., 1995; Yeo, 1998). În mod obișnuit, stresul este cauzat de concentrațiile ridicate de  $\text{Na}^+$  și  $\text{Cl}^-$  din soluția solului (Hasegawa et al., 2000).

Au existat și există încă foarte multe preocupări legate de toleranța la săruri a plantelor, de răspunsul acestora la salinitatea ridicată, de diferitele aspecte legate de stresul salin. Practic, putem afirma, fără riscul de a greși prea mult, că stresul salin este cel mai intens studiat tip de stres abiotic la plante.

Mare parte din aceste lucrări tratează în principal procesele și fenomenele celulare, metabolice, moleculare și genetice, asociate cu răspunsul la stresul salin, unele dintre acestea având probabil funcție în medierea toleranței la săruri (Bohnert și Jensen, 1996; Bohnert et al., 1995; Bohnert și Bo, 1999; Bressan et al., 1998; Flowers, 1995; Glenn et al., 1999; Holmberg și Bulow, 1998; Nuccio et al., 1999; Serrano et al., 1999; Shinozaki și Yamaguchi-Shinozaki, 1996, 1997; Yeo, 1998; Munns, 2002, 2005; Sairam și Tyagi, 2004; Munns și Tester, 2008; Bartels Dorothea și Sunkar, 2005; Zhu, 2001, 2002, 2003; Flowers și Colmer, 2008). Aceasta pentru a enumera doar câteva din lucrările de acest gen; numărul lucrărilor care pun în discuție aspecte de toleranță la săruri sau răspunsuri la stresul salin la anumite specii este practic extrem de mare.

Una din întrebările care se poate pune este dacă halofitele sunt cu adevărat afectate de stresul salin. Conform definiției pe care am enunțat-o în rândurile de mai sus, cel puțin pentru categoria halofitelor obligatorii ar însemna că salinitatea ridicată a soluției solului să nu constituie un factor stresant, ci mai degrabă unul stimulator. De altfel, chiar și sintagma de plante *halofile* exprimă, etimologic, afinitatea față de săruri și nu implică nuanța existenței unui factor perturbator în creșterea și dezvoltarea

halofitelor. Însă, poate că pentru celelalte categorii de halofite, conceptul de stres salin să fie mai apropiat de realitățile din teren.

Glicofitele pot fi puse mai ușor în relație cu stresul salin; ele sunt într-adevăr afectate de concentrații ridicate ale salinității, ceea ce ne îndreptățește să considerăm modificările fiziologice, metabolice și chiar structurale ale acestora ca un răspuns la stresul salin.

Acțiunea sărurilor asupra halofitelor, cel puțin histo-anatomic vorbind, ar trebui considerată mai curând ca având un efect formativ, în sens ecologic-adaptativ. Este clar că adaptările histo-anatomice ale halofitelor au apărut și s-au perfecționat de-a lungul timpului ca necesitate vitală de a supraviețui în medii hipersaline, acolo unde alte specii, lipsite de astfel de mecanisme, nu au rezistat.

De altfel, comparațiile între halofite și glicofite scot în evidență diferențe și mai subtile. Se știe că halofitele (privite în sens larg) necesită pentru o creștere optimă electroliți (de regulă  $\text{Na}^+$  și  $\text{Cl}^-$ ) în concentrații mai ridicate sau foarte ridicate față de speciile care vegetează pe soluri nesaline. Oricum, valoarea sau intervalul de salinitate la care halofitele răspund optim reprezintă momentan un aspect incomplet elucidat; în general, se consideră că acesta se plasează între 20-500 mM NaCl.

De fapt, plantele pot supraviețui și crește în soluri saline datorită reglării osmotice prin compartimentare intracelulară, care sechestrează în vacuolă ioni toxici, departe de citoplasmă, printr-un transport dependent de energie (Binzel et al., 1988; Glenn et al., 1999; Hajibagheri et al., 1987; Niu et al., 1995; Storey et al., 1983; Yeo, 1998). Alte specii de halofite elimină acești ioni prin intermediul glandelor și al perilor, care constituie structuri specializate ce par să fie achiziții evolutive relativ târzii, prin care halofitele au câștigat un pas înaintea glicofitelor.

Reglarea osmotică este dobândită, atât la halofite, cât și la glicofite, prin acumularea osmoliților în citosolul, lumenul, matricea sau stroma organitelor (Yeo, 1998; Niu et al., 1995).

O diferență majoră între halofite și glicofite este reprezentată de capacitatea primelor de a face față șocului salin (osmotic). Această abilitate crescută a halofitelor le permite să-și dobândească mult mai repede starea metabolică permanentă când cresc în medii salinizate (Braun et al., 1986; Casas et al., 1991; Hassidim et al., 1990; Niu et al., 1993). Această capacitate de a răspunde la salinitate și, într-o oarecare măsură, abilitatea de a redobândi starea metabolică nu sunt limitate numai la halofite; celulele glicofitelor manifestă și ele capacitatea de a tolera sărurile, demonstrând faptul că impunerea stresului este graduală (Amzallag et al., 1990). Întrebarea care persistă este dacă mecanismele biochimice ale halofitelor



sunt mai bine activate, permițând un răspuns mai rapid și mai eficient la stresul salin.

Glicofitele restricționează migrarea ionilor către părțile aeriene printr-un control al influxului de ioni în xilemul rădăcinii, în vreme ce halofitele tind mai degrabă să absoarbă  $\text{Na}^+$ , ceea ce explică de ce rădăcinile au de obicei concentrații mult mai scăzute de NaCl decât restul organelor plantei (Adams et al., 1992).

Se pare că un mare avantaj pe care îl au halofitele față de glicofite nu constă doar într-o partiționare mai ridicată a  $\text{Na}^+$ , dar și într-o capacitate de a coordona această partiționare cu procese care controlează creșterea și fluxul de ioni de-a lungul plasmalemei.

Într-un mediu salin, abilitatea de a absorbi și limita  $\text{Na}^+$  la nivelul frunzelor micșorează potențialul osmotice al părților aeriene ale plantei; în acest mod, absorbția și transportul apei sunt facilitate, iar costul metabolic pentru producerea osmoliților este micșorat. Din contră, necesitatea unei depozitări vacuolare eficiente a  $\text{Na}^+$  cere un cost mai ridicat pentru pomparea  $\text{H}^+$  și, eventual, implică mecanisme suplimentare pentru obținerea nutrienților ionici (în special  $\text{K}^+$ ).

## PARTEA A II-A

### STUDIUL HISTO-ANATOMIC AL UNOR SPECII DE HALOFITE DIN FLORA MOLDOVEI

#### *1. Material și metodă de lucru*

Materialul biologic luat de noi în studiu este reprezentat de organele vegetative axiale (rădăcină, rizom, tulpină aeriană) și laterale (frunze) colectate de la plante aflate la deplina maturitate, aparținând la 26 specii<sup>12</sup>:

	Taxon	Familia	Locul și data recoltării
1	<i>Artemisia santonicum</i> L.	<i>Asteraceae</i>	Valea Ilenei (județul Iași), septembrie 2005
2	<i>Aster tripolium</i> L. ssp. <i>pannonicus</i> (Jacq.) Soó	<i>Asteraceae</i>	Cotnari (județul Iași), august 2005
3	<i>Lactuca saligna</i> L.	<i>Asteraceae</i>	Crasna (județul Vaslui), august 2005
4	<i>Scorzonera cana</i> (C. A. Mey.) O. Hoffm.	<i>Asteraceae</i>	Valea lui David, (județul Iași), august 2006
5	<i>Lepidium cartilagineum</i> (J. C. Mayer) Thell. ssp. <i>crassifolium</i> (Waldst. & Kit.) Thell.	<i>Brassicaceae</i>	Valea Ilenei (județul Iași), iunie 2007
6	<i>Lepidium latifolium</i> L.	<i>Brassicaceae</i>	Valea Ilenei (județul Iași), august 2007
7	<i>Lepidium perfoliatum</i> L.	<i>Brassicaceae</i>	Valea Ilenei (județul Iași), iunie 2007
8	<i>Spergularia media</i> (L.) C. Presl	<i>Caryophyllaceae</i>	Cotnari (județul Iași), august 2005
9	<i>Atriplex littoralis</i> L.	<i>Chenopodiaceae</i>	Cotnari (județul Iași), august 2005
10	<i>Atriplex prostrata</i> Boucher ex DC	<i>Chenopodiaceae</i>	Valea Ilenei (județul Iași), septembrie 2005
11	<i>Atriplex tatarica</i> L.	<i>Chenopodiaceae</i>	Cotnari (județul Iași), august 2005
12	<i>Bassia hirsuta</i> (L.) Asch.	<i>Chenopodiaceae</i>	Valea Ilenei (județul Iași), iulie 2006
13	<i>Camphorosma annua</i> Pall.	<i>Chenopodiaceae</i>	Valea lui David (județul Iași), august 2006

<sup>12</sup> Mulțumim și pe această cale domnului prof. dr. Nicolae Ștefan, domnului cercetător științific dr. Adrian Oprea și domnului șef de lucrări dr. Ciprian Mânzu pentru ajutorul oferit în colectarea și determinarea speciilor investigate.

14	<b><i>Halimione verrucifera</i> (M. Bieb.) Aellen</b>	<i>Chenopodiaceae</i>	Valea Ilenei (județul Iași), septembrie 2005
15	<b><i>Petrosimonia oppositifolia</i> (Pall.) Litv.</b>	<i>Chenopodiaceae</i>	Valea lui David (județul Iași), august 2005
16	<b><i>Petrosimonia triandra</i> (Pall.) Simonk.</b>	<i>Chenopodiaceae</i>	Belcești (județul Iași), august 2006
17	<b><i>Salicornia europaea</i> L.</b>	<i>Chenopodiaceae</i>	Valea Ilenei (județul Iași), iulie 2006
18	<b><i>Suaeda maritima</i> (L.) Dumort.</b>	<i>Chenopodiaceae</i>	Valea Ilenei (județul Iași), iulie 2006
19	<b><i>Bolboschoenus maritimus</i> (L.) Palla ssp. <i>compactus</i> (Hoffm.) Drobow</b>	<i>Cyperaceae</i>	Valea lui David (județul Iași), mai 2007
20	<b><i>Carex distans</i> L.</b>	<i>Cyperaceae</i>	Valea Ilenei (județul Iași), mai 2006
21	<b><i>Iris halophila</i> Pall.</b>	<i>Iridaceae</i>	Cârnicieni- Iași (județul Iași), iunie 2006
22	<b><i>Juncus gerardi</i> Loisel.</b>	<i>Juncaceae</i>	Valea lui David (județul Iași), august 2005
23	<b><i>Trifolium fragiferum</i> L.</b>	<i>Fabaceae</i>	Mârzești (județul Iași), iulie 2006
24	<b><i>Puccinellia distans</i> (L.) Parl. ssp. <i>limosa</i> (Schur) Jáv.</b>	<i>Poaceae</i>	Valea Ilenei (județul Iași), iulie 2006
25	<b><i>Plantago schwarzenbergiana</i> Schur</b>	<i>Plantaginaceae</i>	Valea Ilenei (județul Iași), septembrie 2005
26	<b><i>Polygonum patulum</i> M. Bieb.</b>	<i>Polygonaceae</i>	Valea lui David (județul Iași), septembrie 2006

În vederea investigării din punct de vedere histo-anatomic, materialul colectat a fost fixat și conservat în alcool etilic 70°.

Secționarea organelor vegetative s-a realizat manual, folosind microtomul de mână și briciul botanic. Secțiunile astfel obținute au fost supuse ulterior etapelor „clasice” utilizate pentru investigațiile de histo-anatomie, adică: au fost javelizate cu hipoclorit de sodiu, 20-30 minute, după care s-au spălat cu apă acetică și apă de robinet; apoi au fost colorate mai întâi cu verde iod (1 minut), spălate într-o baie de alcool etilic 90°, iar apoi cu roșu carmin alaunat (20 minute)<sup>13</sup>, spălate cu apă și, în cele din urmă, fixate în glicerogelatină.

În majoritatea situațiilor am realizat secțiuni transversale prin organele vegetative, la trei niveluri<sup>14</sup>: inferior, mijlociu și superior; în alte situații, unde materialul vegetal nu a impus, sau unde am considerat ca fiind nerelevant, am realizat secțiuni doar la un singur nivel, și anume, cel mijlociu.

<sup>13</sup> În anumite situații, în loc de roșu carmin, am folosit roșu Rutheniu.

<sup>14</sup> Cât privește utilitatea efectuării secțiunilor transversale la trei niveluri diferite ale aceluiași organ vegetativ, aceasta a fost relevantă mai ales în cazul organelor afectate de policambie (n. n.).

După obținerea preparatelor permanente s-au realizat fotografii la microscopul fonic NOVEX (HOLLAND), cu o cameră foto digitală Canon A 95, iar acolo unde a fost necesar s-au efectuat desene la microscopul fonic românesc MC1, cu oglindă de proiecție (Projektionszeichenspiegel).

Pentru a avea o imagine de ansamblu asupra trăsăturilor histo-anatomice ale halofitelor pe care le-am investigat, am tratat și discutat adaptările caracteristice ca pe un tot unitar: mai întâi organele vegetative subterane, apoi pe cele supraterane, la aceeași specie, făcând de fiecare dată trimitere la fotografii și desene.

Menționăm, cu această ocazie, că întregul material ilustrativ al acestei cărți (imagini color, desene la camera clară) este original.

Am tratat speciile de halofite în ordinea alfabetică a familiilor din care fac parte, neținând cont de criteriul taxonomic (evolutiv) al acestora.

În lista de mai jos, prezentăm și abrevierile pe care le-am folosit în planșele cu desene (scheme și detalii).

- b.p. – baza părului tector
- c.a – celule anexe
- c.ep – celulă epidermică
- cl. int – clorenchim intern
- c.st – celule stomatice
- ct – cuticulă
- col – colenchim
- el. vasc – elemente vasculare
- end – endodermă
- ep – epidermă
- ep. sup. – epidermă superioară
- ep.inf. – epidermă inferioară
- fd – feloderm
- fg – felogen
- f.d. – fața dorsală
- f.v. – fața ventrală
- lb – liber
- lc.md – lacună medulară
- lm – lemn
- mdv – măduvă
- mz – mezofil
- ost – ostiolă
- par – parenchim
- par. asim. – parenchim asimilator
- par. cort – parenchim cortical
- per – periciclu
- p. scr – păr secretor

prd – peridermă  
rtd – ritidomă  
rzd –rizodermă  
sb – suber  
sc – scoarță  
scl – sclerenchim  
st – stomată  
tr. – traheide  
țs. acv – țesut acvifer  
țs.lac. – țesut lacunos  
țs.psd. – țesut palisadic  
urs – ursini de oxalat de calciu

## ***2. Caracterizarea ecologică și clasificarea halofitelor luate în studiu***

După cum am arătat în paginile anterioare, halofitele reprezintă un grup ecologic heterogen de plante, în care pot fi încadrate mai multe specii, aparținând la familii botanice diferite, și adesea populând habitate diverse. Dincolo de aceasta, factorul principal care apropie toate speciile de halofite este salinitatea solului; însoțită cel mai adesea, așa cum este firesc, și de alți factori, dintre care cel mai important ni se pare umiditatea solului; aceste plante caută strategii de adaptare particulare, unele evidente și relativ facil de interpretat, altele mai puțin expresive din punct de vedere anatomic, pe care nu le putem corela în mod foarte clar cu acești factori de mediu.

Problemele legate de definiția, taxonomia și, mai ales, clasificarea halofitelor sunt dificile, deoarece implică multe variabile și paliere complicate ale discuției, iar un numitor comun lipsește actualmente; am pus în discuție aceste aspecte în lucrările noastre apărute recent (Grigore, 2008a; 2008b).

Este util, totuși, dincolo de divergențele de opinie și de idei care pot să apară, să avem o imagine de ansamblu asupra categoriei ecologice în care pot fi încadrate speciile pe care noi le-am luat în studiu; nu putem oferi caracterizări ecologice largi, exhaustive, deoarece nu este subiectul lucrării de față. Am fost mai mulți interesați de două aspecte:

1. să „confirmăm”, cu ajutorul adaptărilor hist-anatomice, anumite caracterizări ecologice făcute de alți autori; în majoritatea cazurilor, cel puțin acolo unde am avut astfel de precizări, am putut face corelații logice cu acestea;
2. să facem noi înșine interpretări de natură ecologică, acolo unde relevanța și claritatea unor structuri ne-au permis, și să ne raportăm ulterior la anumite discuții făcute mai ales de cercetători străini.

Am încercat să reunim aceste aspecte în tabelul de mai jos, în care am inclus, unde a fost posibil, aceste caracterizări, destul de succinte, precum și clasificarea speciilor luate de noi în atenție.

Intenția noastră a fost, deci, de a caracteriza speciile din punct de vedere anatomo-ecologic; după cum se va putea observa, relevanța unor adaptări este mai ridicată în raport cu factorii de mediu, în timp ce alte trăsături histo-anatomice nu par să fie, cel puțin la prima vedere, asociate în mod clar cu factorul salinitate. Așa cum se va constata în paginile următoare, aceasta corespunde, de fapt, și unei păreri pe care am exprimat-o, sub forma unei ipoteze, referitor la adaptările halofitelor: speciile halofile *obligate* (deci adaptate la o salinitate foarte ridicată) prezintă trăsături mai evidente și mai ușor de corelat cu factorii de mediu, comparativ cu speciile din celelalte grupe de halofite. Considerăm că adaptările halofitelor aparținând celorlalte categorii pot fi decelate mai clar îndeosebi la nivel celular, metabolic, membranar decât la nivel morfo-anatomic.

	Taxon	Prodan, 1939	Țopa, 1954	Bucur, 1960-1961	Ciocârlan, 2000
1	<i>Artemisia santonicum</i> L.	I categ.		euhal <sup>15</sup> .	xeromez. – mez., hal.
2	<i>Aster tripolium</i> L. ssp. <i>pannonicus</i> (Jacq.) Soó	I categ.	hal. obl.	euhal.	mezohigrohal. – higrhal.
3	<i>Lactuca saligna</i> L.	II categ.	hal.sup.	euhal.	xeromez., subterm., hal. fac.
4	<i>Scorzonera cana</i> (C. A. Mey.) O. Hoffm.	I categ.	hal. obl.	euhal.	xeromez. – mezohigr., hal.
5	<i>Lepidium cartilagineum</i> (J. C. Mayer) Thell. ssp. <i>crassifolium</i> (Waldst. & Kit.) Thell.	I categ.	hal. obl.	euhal.	mez. – mezohigr., hal. fac
6	<i>Lepidium latifolium</i> L.	I categ.	hal. pref.	euhal.	mezohal. – higrhal.
7	<i>Lepidium perfoliatum</i> L.	III categ.	-	-	hal. fac.
8	<i>Spergularia media</i> (L.) C. Presl	I categ.	-	euhal.	hal., mezohigr.
9	<i>Atriplex littoralis</i> L.	I categ.		euhal.	-
10	<i>Atriplex prostrata</i> Boucher ex DC	I categ.	hal. sup.	euhal.	-
11	<i>Atriplex tatarica</i> L.	I categ.	hal. pref.	neohal.	-
12	<i>Bassia hirsuta</i> (L.) Asch.	I categ.	hal. obl.		-

<sup>15</sup> Am folosit abrevierile: I categ. – prima categorie; II categ. – a doua categorie; III categ. – a treia categorie; hal. obl. – halofită obligatorie; hal. pref. – halofită preferantă; hal. sup. – halofită suportantă; euhal. – euhalofită; neohal. – neohalofită; hal. – halofită; xer. – xerofită; mez. – mezofită; higr. – higrifită; mezohal. – mezohalofită; mezohigrohal. – mezohigrohalofită; xerohal. – xerohalofită; xeromez. – xeromezofită.

13	<i>Camphorosma annua</i> Pall.	I categ.	hal. obl.	euhal.	-
14	<i>Halimione verrucifera</i> (M. Bieb.) Aellen	I categ.	hal. obl.	euhal.	-
15	<i>Petrosimonia oppositifolia</i> (Pall.) Litv.	I categ.	hal. obl.		-
16	<i>Petrosimonia triandra</i> (Pall.) Simonk.	I categ.	hal. obl.	euhal.	-
17	<i>Salicornia europaea</i> L.	I categ.	hal. obl.	euhal.	mezohal.
18	<i>Suaeda maritima</i> (L.) Dumort.	I categ.	hal. obl.	euhal.	mezohigrohal.
19	<i>Bolboschoenus maritimus</i> (L.) Palla ssp. <i>compactus</i> (Hoffm.) Drobow	II categ.	hal. pref.	neohal.	taxon hal.
20	<i>Carex distans</i> L.	II categ.	hal. pref.	-	mezohigr. hal. fac.
21	<i>Iris halophila</i> Pall.	II categ.	hal. obl.	euhal.	mezohal. – mezohigrohal.
22	<i>Juncus gerardi</i> Loisel.	I categ.	hal. pref.	euhal.	mezohigrohal.
23	<i>Trifolium fragiferum</i> L.	II categ.	hal. pref.	neohal.	-
24	<i>Puccinellia distans</i> (L.) Parl. ssp. <i>limosa</i> (Schur) Jáv.	I categ.	hal. pref.	euhal.	-
25	<i>Plantago schwarzenbergiana</i> Schur	I categ.	hal. obl.	euhal.	mezohal.
26	<i>Polygonum patulum</i> M. Bieb.	II categ.	-	-	-

După cum putem observa din acest tabel, speciile pe care le-am supus investigației sunt diferite în ceea ce privește spectrul ecologic, demonstrând abilități halofilice diverse față de salinitate, dar și față de umiditate.

Mai mult decât atât, în unele situații (mai ales în cazul speciilor din familia *Chenopodiaceae*), am introdus, pe parcursul lucrării, și unele aspecte legate de funcționalitatea fotosintetică a unor țesuturi (*Kranz anatomy*), referindu-ne la fotosinteza de tip C<sub>3</sub> sau C<sub>4</sub>. Aceste observații, reduse, desigur, la „simple” observații anatomice sunt foarte interesante și fascinante, studiul unor asemenea căi metabolice ale fotosintezei fiind în zilele noastre unul din subiectele de avangardă ale biologiei vegetale. Criteriul anatomic este totuși primul din cele patru care trebuie îndeplinite, pentru a pune „diagnosticul” de plantă având fotosinteza de tip C<sub>4</sub> (Sage, Li și Monson, 1999).

Din câte cunoaștem, ceea ce am afirmat într-o serie de articole publicate recent (Grigore, 2008b; Grigore și Toma, 2007a, 2007b, 2008b, 2008c), o facem și în această carte, în literatura anatomică românească nu s-au făcut până acum referiri asupra structurii de tip *Kranz anatomy*, o problemă deopotrivă importantă și delicat de abordat în domeniul anatomiei vegetale.

### **3. Rezultate și discuții**

#### **Familia Asteraceae**

##### ***Artemisia santonicum* L.**

###### **Rădăcină, treime inferioară (Fig. 1, 10)**

La acest nivel, structura este tipic secundară, rezultată însă numai din activitatea cambiului.

Rizoderma prezintă celule mici și de forme diferite (Fig. 1), cu peri absorbănți rari.

Scoarța este diferențiată în cele 3 subzone:

- exoderma, unistratificată, cu celule foarte mari, având pereții subțiri, dar suberificați;
- parenchimul cortical, celulozic, cu multe lacune aerifere (Fig. 1);
- endoderma, de tip primar, cu celule mult alungite tangențial, având vizibile îngroșările Caspary în pereții radiari.

Așa cum am arătat într-un articol publicat deja (Grigore, Toma, 2006a), prezența endodermei bine dezvoltate la nivelul organelor vegetative axiale, în special la nivelul rădăcinii, are o valoare adaptativă specială. Fahn (1964) și Ginzburg (1966), studiind în mod special acest aspect la halofitele deșertice, au găsit în rădăcina acestor specii benzile Caspary largi și îngroșate. S-a sugerat în acest caz, că la plantele care vegetează în habitate unde pătrunderea sărurilor în corpul plantei este facilă, putând periclita existența organismului vegetal, „bariera” endodermică este bine conturată. Numai în treacăt menționăm că unele ipoteze plasează sediul transportului activ de ioni chiar în endodermă (Van Andel, 1953; Steward and Sutcliffe, 1959; Weigl and Luttge, 1962). Nu insistăm asupra rolului global și complex pe care rădăcina îl joacă în procesele generale ale adaptării plantelor la medii particulare. Am amintit aceste aspecte când am trecut în revistă adaptările halofitelor și implicațiile lor ecologice (Grigore, 2008b). Revenind, spunem doar că, atunci când s-a încercat să se compare caracteristicile anatomice ale plantelor care cresc în medii aride sau saline cu cele ale glicofitelor, unul din parametri urmăriți, și cel mai semnificativ, a fost grosimea benzilor caspariene (Poljakkof-Mayber, Gale, 1975). Raportul dintre grosimea benzilor caspariene și cea a pereților tangențiali din celulele endodermei a variat de la 1 la hidrohalofite, la 0,9-0,8 la xerohalofite, 0,6-0,5 la plantele de dune; la glicofite (plante cultivate) acest raport variază între 0,33 la 0,27. Benzile caspariene din rădăcini conțin



suberine alifatică și aromatice (Schreiber, 1999), ceea ce face ca endoderma să fie impermeabilă pentru ioni și soluții cu o greutate moleculară mare, dar permite o anumită trecere a apei și a soluțiilor cu greutate moleculară mică. La anumite specii, benzile caspariene acoperă aproape în întregime pereții radiari ai endodermei, comparativ cu mai puțin de  $\frac{1}{4}$  acoperire a acestor pereți la glicofitele dicotiledonate (Waisel, 1972).

Așadar, datorită diferențierii particulare a peretelui celular și a trăsăturilor lui ultrastructurale, endoderma caspariană (numită și de tip primar) este în general privită ca fiind principala barieră a transportului apoplastic pentru absorbția pasivă a apei și dizolvarea ionilor din soluția solului în vasele de lemn localizate în cilindrul central al rădăcinii (van Fleet, 1961). Se știe că apa cu ionii, care pătrund pasiv din soluția solului prin pereții celulari ai scoarței radiculare către endodermă, trebuie să treacă prin protoplastul celulelor endodermice pentru a ajunge la cilindrul central al rădăcinii (Clarkson și Robards, 1975). Se creează, practic, o selectivitate la acest nivel, fiind posibilă o separare între nutrienți și substanțele nocive (Marschner, 2002). Alte aspecte de microscopie electronică demonstrează caracterul de barieră al endodermei. Astfel, s-a arătat că plasmalema este strâns alipită de pereții radiari în regiunea benzilor caspariene (Bonnett, 1968; Karahara și Shibaoka, 1992). Atunci când aceste benzi sunt plasmolizate, protoplastul nu se detașează de această zonă, unde benzile caspariene sunt bine dezvoltate (Bonnett, 1968; Enstone și Peterson, 1997).

De fapt, implicațiile endodermei în asigurarea unei toleranțe sporite la săruri sunt mult mai complexe. Aceste modificări ale endodermei sunt în legătură cu ionii, cu absorbția lor. Se știe că  $K^+$  joacă un rol cheie în toleranța plantelor la săruri. Schema „ideală” de rezistență la săruri a halofitelor ar fi menținerea unei concentrații ridicate de  $K^+$  și scăzute de  $Na^+$  în celule, numai că acești doi ioni sunt în competiție. Dincolo de multe alte aspecte de biologie moleculară, mai reținem doar că soluții cum ar fi cele de  $Na^+$ ,  $K^+$ ,  $Ca^{2+}$ ,  $Mg^{2+}$  și ABA (acid abscisic) se mișcă liber în apoplastul celulelor radiculare și trebuie să treacă, să străbată benzile caspariene ale endodermei pentru a atinge apoplastul vaselor de xilem.

Și exodermei, care prezintă, la specia investigată de noi, celule ușor suberificate, i s-a acordat un rol de barieră selectivă în trecerea soluției solului prin pereții celulelor sale. Se pare că celulele straturilor hipodermice (exoderma, în terminologia pe care o folosim noi) pot fi impregnate cu anumiți compuși lipofilici și aromatici. Mai mult, ca răspuns față de anumiți stimuli ambientali, aceste benzi caspariene, de care am amintit mai sus, se pot forma în exodermă, așa cum apar și în primul stadiu de dezvoltare a endodermei (Reinhardt și Rost, 1995; Enstone și Peterson, 1998). Date suplimentare din literatura de specialitate întăresc ideea că endoderma și

exoderma joacă rol de barieră în difuzia pasivă a coloranților fluorescenți, a ionilor, a izotopilor și a markerilor radioactivi (Nagahashi et al., 1974; du Pont și Leonard, 1977; Sanderson, 1983; Clarkson et al., 1978, 1987; Peterson et al., 1993).

Firește că semnificația ecologică a acestor structuri funcționale nu este ușor de descris. Aceasta ar trebui evaluată comparativ cu alte specii (ideal ar fi cu ecotipuri ale aceleiași specii, unul sensibil, iar altul rezistent la săruri), și în cadrul aceleiași specii, supusă la salinități diferite; analize chimice ale acestor formațiuni ar putea să certifice, în plus, predominanța substanțelor lipofilice în defavoarea altora.

Cilindrul central începe cu un periciclu unistratificat, parenchimatic, pe care se sprijină 4 fascicule de liber, ce au la exterior (deci în contact direct cu periciclu) câte un cordon relativ gros de fibre sclerenchimatice; lemnul are formă pentagonală în secțiune transversală, de unde rezultă că structura primară a stelului este de tip pentarh (Fig. 1).

Lemnul este masiv, compact, intens lignificat, cu vase atât de origine primară (se observă 4 lame radiare), cât și de origine secundară, acestea din urmă având diametrul diferit și fiind dispuse neregulat, între ele aflându-se elemente de libriiform (Fig. 1) cu pereți puternic îngroșați și lignificați; acest lemn secundar a rezultat din activitatea cambiului, care este încă vizibil la fața internă a celor 4 fascicule de liber primar.

### **Rădăcină – treime mijlocie (Fig. 2, 11)**

Aspectul general al structurii rădăcinii rămâne același, cu deosebirea că cilindrul central este mai gros, cu mai mult lemn secundar, având numeroase vase dispersate neregulat (Fig. 2).

Cordoanele perifloemice de fibre sclerenchimatice sunt groase și intens lignificate. Endoderma se păstrează de tip casparian.

La periferia scoarței s-a diferențiat deja felogenul, care a format câteva straturi de suber spre exterior și de feloderm spre interior.

În paralel, pe cea mai mare parte din circumferința rădăcinii se păstrează încă rizoderma și exoderma, iar pe alocuri se schițează chiar lenticele; din loc în loc se observă încă grupe de peri absorbantți.

### **Rădăcină – treime superioară (Fig. 3, 12)**

La acest nivel rădăcina este mult mai groasă, având mai multe straturi de suber și lacune aerifere în parenchimul cortical; corpul lemnos este mai gros și se observă cordoane foarte groase de fibre sclerenchimatice perifloemice (Fig. 3).

Liberul a luat deja forma unui inel sinuos, dar subțire, în secțiune transversală, iar pe alocuri se observă formarea de rădăcini laterale pe cale endogenă.

Endoderma, deși greu vizibilă, se menține tot de tip casparian, celulele fiind vizibil turtite radial și mult alungite tangențial.

Gradul de sclerificare și lignificare a vaselor de lemn, fibrelor libriforme și a elementelor ce formează cordoanele de sclerenchim perifloemic este mult mai puternic decât la nivelurile anterior analizate.

### **Tulpină – treime superioară (Fig. 4, 5, 13)**

Structura se caracterizează prin următoarele trăsături:

- epiderma s-a exfoliat în cea mai mare parte (Fig. 4);
- inelul de suber este gros (Fig. 4 și 5);
- endoderma este de tip casparian;
- cordoanele perifloemice de fibre sclerenchimatice s-au fragmentat, având formă și mărime diferite; în grosimea liberului secundar se observă multe fibre sclerenchimatice, inelul de lemn secundar este foarte gros, cu foarte mult libriform și fragmentat pe alocuri de raze parenchimatic-celulozice;
- măduva este subțire, unele din celule având pereți lignificați, ca și cele ale zonei perimedulare.

### **Tulpină – treime mijlocie (Fig. 6, 7, 14)**

Conturul secțiunii transversale este circular.

Epiderma prezintă celule alungite tangențial, cu peretele extern mai gros decât ceilalți și cutinizat (Fig. 7).

Pe seama unui strat cortical hipodermic se diferențiază felogenul, care formează câteva (2-4) straturi de suber tipic și mai puține (1-2) straturi de feloderm (Fig. 6).

Colenchimul este redus la câteva cordoane hipodermice subțiri.

Endoderma se menține de tip casparian, atât între fascicule, cât și la fața lor externă (Fig. 7).

Cordoanele mecanice perifloemice sunt foarte groase, având fibre puternic sclerificate și intens lignificate (Fig. 7).

Țesuturile conducătoare sunt de tip inelar: un inel extern subțire și sinuos de liber secundar și un inel mult mai gros intern de lemn secundar, în care vasele sunt dispersate neregulat și au diametru diferit, fiind separate de o cantitate mare de elemente libriforme, cu peretele gros și intens lignificat.

Lemnul primar este încă vizibil și proemină adânc în măduvă.

**Tulpină – treime inferioară (Fig. 8, 9)**

Conturul secțiunii transversale este circular-costat, cu coaste proeminente.

Epiderma prezintă celule izodiametrice, mai mici în coaste, unde au și peretele extern mai gros, acoperit de o cuticulă groasă. Din loc în loc se observă stomate.

Scoarța este relativ subțire, cuprinzând cordoane de colenchim în coastele mai proeminente și zone de parenchim asimilator în rest.

Cilindrul central este foarte gros și are deja structură secundară, rezultată din activitatea cambiumului.

Țesuturile conducătoare formează mai multe (8-10) fascicule libero-lemnoase de tip colateral, toate având câte un cordon foarte gros de fibre sclerenchimatice la periferia liberului (Fig. 8). Aceste fibre au pereții extrem de groși și intens lignificați.

Liberul cuprinde tuburi ciuruite, celule anexe și celule de parenchim liberian, toate cu pereții vizibil colenchimatizați; în plus, în grosimea liberului se observă și puține elemente sclerenchimatice cu pereții lignificați, dar slab îngroșați.

Lemnul primar proemină în măduvă și are șirurile de vase separate de puține celule de parenchim celulozic.

Lemnul secundar cuprinde vase dispersate neregulat și separate de mult libriform, ale cărui elemente au pereții puternic îngroșați și lignificați.

Razele medulare dintre fascicule sunt sclerificate și lignificate, astfel încât împreună cu lemnul fasciculelor conducătoare formează un inel continuu, sinuos, inel care la fața externă vine în contact și cu cordoanele perifloemice de fibre sclerenchimatice, doar că are elemente cu pereți moderat îngroșați și lignificați.

Măduva este relativ subțire, parenchimatice-celulozică, de tip meatic (Fig. 9).

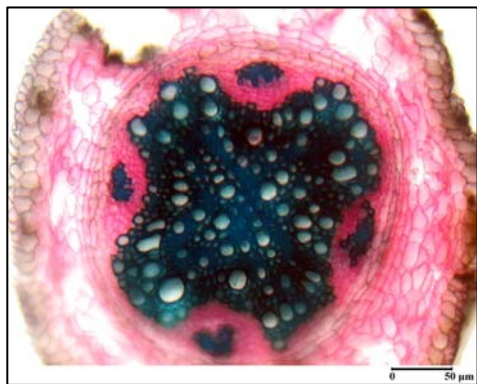


Fig. 1



Fig. 2



Fig. 3



Fig. 4

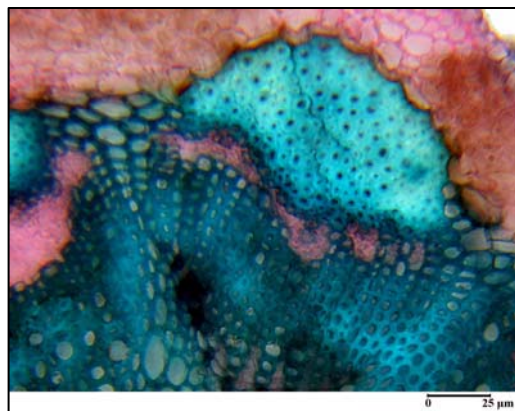


Fig. 5

*Artemisia santonicum*. Secțiuni transversale prin rădăcină – treime inferioară (Fig. 1), treime mijlocie (Fig. 2) și treime superioară (Fig. 3) și prin tulpină, treime superioară (Fig. 4,5).



Fig. 6

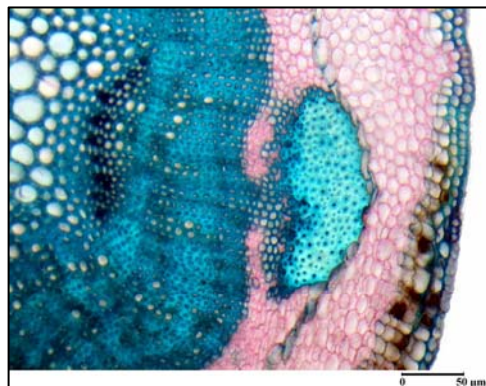


Fig. 7



Fig. 8

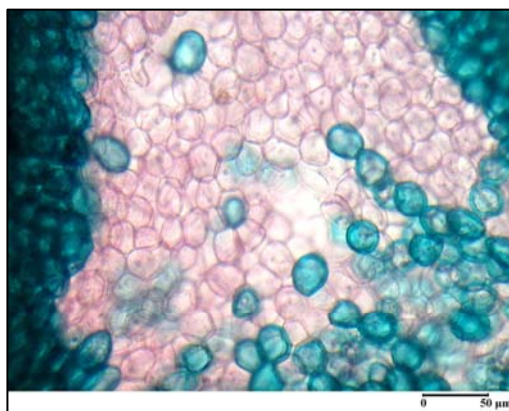
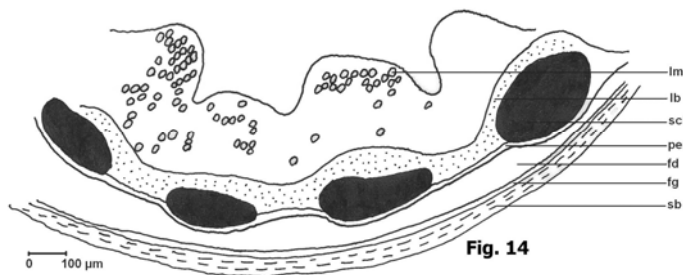
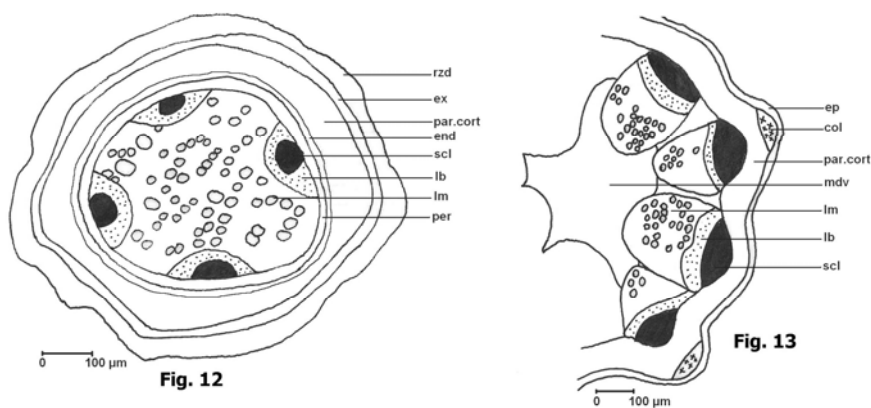
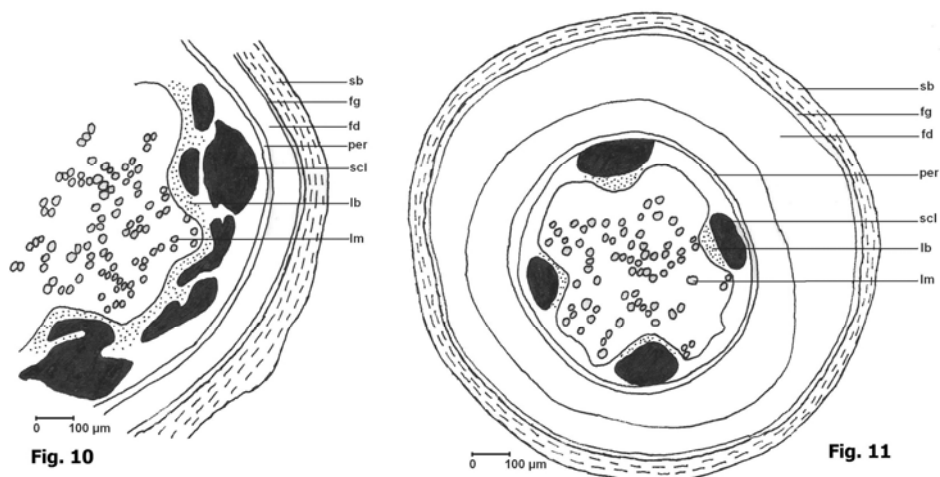


Fig. 9

*Artemisia santonicum*. Secțiuni transversale prin tulpină, treime mijlocie (Fig. 6, 7) și treime inferioară (Fig. 8, 9).



*Artemisia santonicum* Secţiuni transversale prin rădăcină – treime inferioară (Fig. 10), treime mijlocie (Fig. 11), treime superioară (Fig. 12) şi prin tulpină, treime superioară (Fig. 13) şi treime mijlocie (Fig. 14) (scheme).

**Frunza (Fig. 15-19)**

Conturul secțiunii transversale prin limb este eliptic-lobat (Fig. 17).

Epiderma prezintă celule izodiametrice, cu peretele extern foarte gros, dar acoperit de o cuticulă subțire (Fig. 15). Din loc în loc se observă stomate, localizate la același nivel cu celulele epidermice.

Mezofilul este în totalitate de tip palisadic, format din 2 (3) straturi de celule înalte și foarte apropiate între ele (Fig. 15 și 18). Țesuturile conducătoare formează 4-5 fascicule libero-lemnoase, dintre care cel median este foarte mare și se sprijină de cele două epiderme prin intermediul unor stâlpi de celule parenchimaticice incolore; alte două laterale sunt mai mici, iar cele intermediare, foarte mici (adesea numai cu elemente liberiene). Toate fasciculele sunt înconjurate de câte o teacă parenchimatice formată din celule mari, izodiametrice, incolore. Fasciculul median prezintă liberul format din tuburi ciuruite și celule anexe cu pereții mai mult sau mai puțin colenchimatizați, iar lemnul alcătuit din șiruri radiare de vase, separate de celule de parenchim lemnos celulozic (Fig. 16 și 17).

Toate celulele parenchimaticice ale stâlpilor hipodermici din dreptul fasciculului median și ale tecilor perifasciculare reprezintă tot atâtea elemente acvifere caracteristice unor plante de sărătură (Chermeson, 1910) (Fig. 16). Planta a fost, într-adevăr, colectată de pe un ochi de sărătură uscat. De altfel, și reducerea suprafeței foliare, în vederea micșorării intensității transpirației, este tot o xeromorfoză (Șennikov, 1950). Această structură foliară corespunde tipului fotosintetic  $C_3$  (Frey și Kürschner, 1983).

Această specie este în general mezo- către xerofilă, mezotermă, heliofilă, puternic și foarte puternic euhalofilă (Bucur și colab., 1960); poate vegeta pe soluri salifere și sărături care se usucă vara la suprafață. Șerbănescu (1965) apreciază că specia este legată de soluri cu o salinizare medie până la slabă, și anume de soluri care fac tranziția de la solonceacuri la solonețuri; același autor încadrează specia în asociații vegetale de tip sulfatic.

Este interesant de subliniat, de altfel, că s-a făcut legătura între sărurile de sulf și halofite care acumulează sulfati, numite sulfato-halofite, la care este mai bine exprimată o haloxeromorfie (Atanasiu, 1984).

Prodan (1922) afirma că, pe lângă factorul sol, și razele solare influențează dezvoltarea și „întreținerea” acestei specii; ele au un efect favorabil, facilitându-i dezvoltarea. Acesta este motivul pentru care planta este răspândită în terenuri libere.



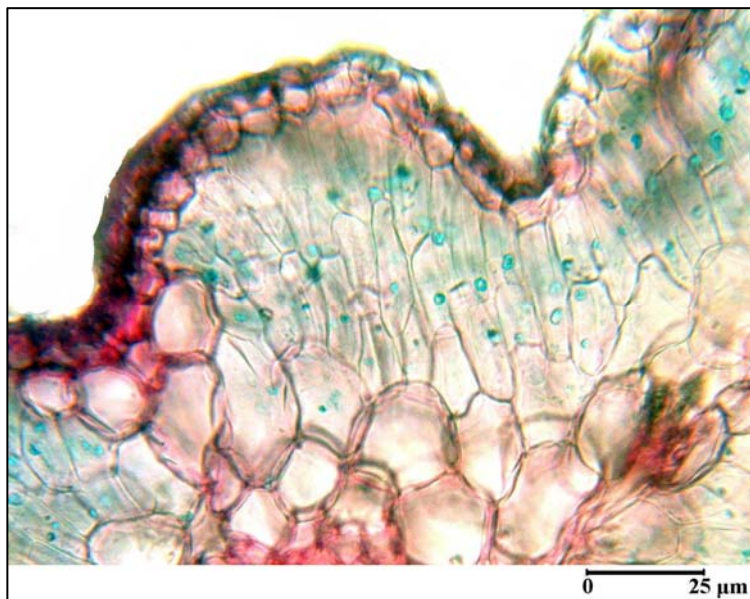


Fig. 15



Fig. 16

*Artemisia santonicum*. Secțiuni transversale prin limbul foliar (Fig. 15-16).

Fig. 17

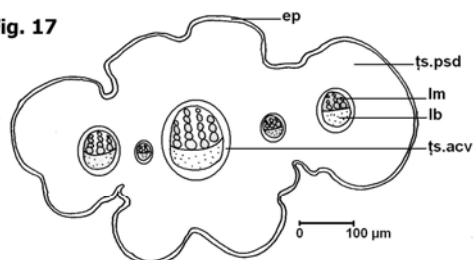


Fig. 18

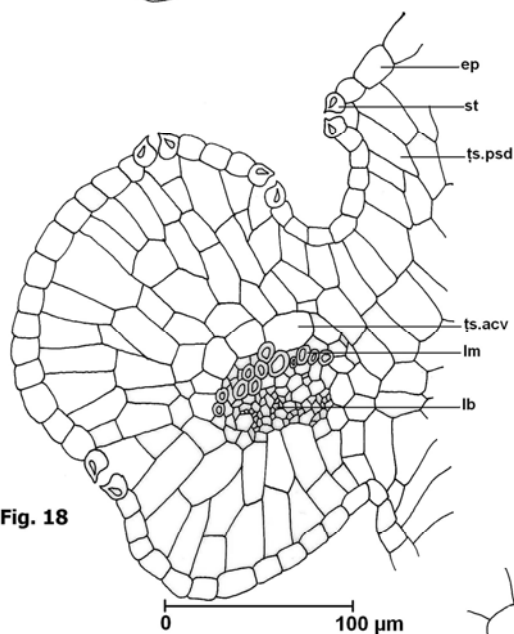
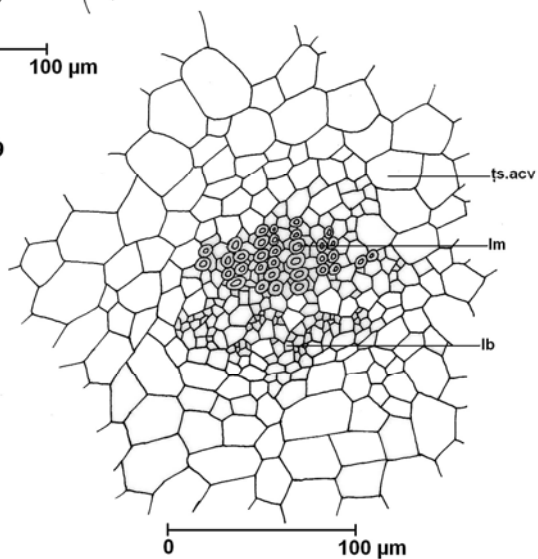


Fig. 19



*Artemisia santonicum*. Secțiuni transversale prin limbul foliar, schemă (Fig. 17) și detalii (Fig. 18, 19).

***Aster tripolium* L. ssp. *pannonicus* (Jacq.) Soo****Rădăcină – treime inferioară**

În treimea inferioară a rădăcinii putem evidenția următoarele caracteristici:

- în scoarța primară sunt prezente numeroase și foarte mari cavități aerifere;
- fibrele sclerenchimatice din grosimea inelului de liber secundar au pereții foarte puternic îngroșați și intens lignificați.

Corpul lemnos central are vase mai numeroase pe unitatea de suprafață și libriform mai puternic sclerificat; în zona axială a corpului lemnos central se observă 4 fascicule de lemn primar, unite la centru prin vase de metaxilem și separate de câteva celule mari de parenchim lemnos celulozic; așadar, structura primară a stelului este de tip tetrahedru.

**Rădăcină – treime superioară**

Structura secundară rezultă din activitatea ambelor meristeme laterale: cambiul și felogenul.

Scoarța secundară și cea primară sunt asemănătoare cu cele din rizom.

Cilindrul central cuprinde:

- un inel subțire de liber secundar, având structura celui din rizom;
- un corp lemnos central compact (deci lipsit de măduvă), în care vasele sunt de diametru diferit și dispersate neregulat în masa fundamentală de libriform (cu fibre având pereții îngroșați, dar slab lignificați).

În grosimea corpului lemnos central se observă numeroase raze medulare, mai adesea uniseriate, parenchimatice-lignificate, cu celule alungite radiale.

**Rizomul (Fig. 20, 21, 26)**

Structura este tipică secundară, rezultată din activitatea ambelor meristeme laterale: felogenul și cambiul.

Felogenul se diferențiază pe seama unui strat cortical extern, producând un mare număr de straturi de suber (Fig. 26), ce se exfoliază treptat și un număr mai mic de straturi de feloderm, care reprezintă un parenchim celulozic tipic. Celulele de suber au pereții subțiri, dar intens suberificați. Pe alocuri sunt vizibile lenticele, cu un bogat țesut de umplutură.

Scoarța primară este parenchimatic-celulozică, cu celule mari, ce lasă între ele meaturi și lacune aerifere (Fig. 20); acestea din urmă sunt o trăsătură comună și altor halofite, cum ar fi speciile de *Juncus*, una investigată și de noi, dar și speciile de *Spartina* (Waisel, 1972). Într-un studiu anterior (Grigore și Toma, 2006a) am discutat valoarea adaptativă a aerenchimului la unele specii de halofite; unii autori sunt de părere că ar fi

o caracteristică a scoarței plantelor mai în vârstă. O situație similară este sugerată și în cazul plantelor din pădurile numite mangrove, la care scoarța tulpinilor bătrâne devine lacunară, servind ca țesut aerifer, iar asemenea țesuturi devin mult dezvoltate în părțile inferioare ale tulpinii (Mullan, 1932, cit. de Waisel, 1972). S-ar putea să fie vorba de un fenomen de convergență, în sensul că plante având conjugați, în acest caz, ca factori ecologici salinitatea și umiditatea să dezvolte, firește, strategii adaptative comune.

Existența și rolul acestor lacune aerifere credem că sunt în concordanță cu factorii locali de mediu. Se știe că un sol salin este unul cu un regim defectuos în ceea ce privește circulația aerului și a apei; când este umed devine mocirlos, iar când se usucă crapă (Davidescu et al., 1981). Fie că este uscat sau umed, un sol sărăturat oferă condiții aproximativ similare prin efectele lor asupra plantelor. În ambele cazuri plantele suferă de „secetă fiziologică”, deoarece  $\text{Na}^+$  are o capacitate de hidratare mai mare decât a altor ioni, ceea ce explică faptul că reținerea apei este mai mare, chiar dacă sărătura este umedă. De aceea, întotdeauna, cel puțin parțial, un stress salin este și un stress hidric, și invers. În plus, sodiul și clorul sunt, din punct de vedere biologic, „osmoliți agresivi”, inducând concomitent, prin trăsăturile lor, un stress salin, unul ionic și unul de deshidratare (Schulze, 2001). Dar, prezența bine conturată a aerenchimului, cel puțin la *Aster tripolium*, se poate explica prin faptul că este o halofită de sărături umede (Prodan, 1922; Prodan, 1939; Bucur și colab., 1960; Șerbănescu, 1965), unde se poate produce chiar o oarecare băltire, ceea ce atrage după sine o altă componentă a stressului global, și anume condițiile de hipoxie care pot să se exprime la nivelul părților subterane ale plantei. Aerenchimul este mai dezvoltat la plantele care cresc în locuri inundate decât la cele care cresc în habitate mai bine aerate (Waisel, 1972). Plantele afectate de băltire sunt supuse deci hipoxiei sau chiar anoxiei și stochează oxigen în aerenchimul din rădăcini sau din tulpini (Kozłowski, 1997; Schulze, 2001). Hipoxia produce un potențial redox negativ al solului și poate provoca, în final, modificarea pH-ului către alcalin (Schulze, 2001). În toată această înlanțuire de procese intervine și etilena, ca fitohormon implicat în reacția plantei la stres. Etilena induce, prin intermediul așa-numitelor „programmed cell death” (PCD) (Schulze, 2001) și formarea aerenchimului, care din punct de vedere histologic se traduce prin separarea și dezintegrarea celulelor, urmată de lărgirea spațiilor între celulele colapsate (Esau, 1965). Firește, întregul mecanism, complex și subtil, nu este încă pe deplin înțeles. Aceasta este o dovadă în plus că influența factorilor de mediu asupra plantelor este plurifactorială, conjugată și foarte greu de surprins în complexitatea ei.

Oricum, formarea aerenchimului este o adaptare generală la plantele ale căror organe subterane, mai ales, sunt supuse unor condiții de umiditate

sporită, ceea ce poate însemna, adesea, condiții de băltire (inundare temporară). Această adaptare a fost pusă uneori în discuție de anumiți autori (Cooper, 1982; Justin și Armstrong, 1987). Un studiu foarte recent (Colmer și Flowers, 2008) arată că băltirea este un factor de mediu variabil, care însoțește salinitatea. Organele supuse acestui tip de stres suferă ca urmare a reducerii oxigenului și deficitul de energie rezultat de aici poate compromite procesele esențiale implicate în toleranța la salinitate. Toleranța halofitelor (ca și a glicofitelor) este adesea asociată cu formarea rădăcinilor adventive, cu formarea aerenchimului, combinate cu trăsături care contribuie la aerarea internă (Armstrong, 1979; Colmer, 2003), corelate și cu toleranța la anoxie în țesuturi (Gibbs și Greenway, 2003). Deși s-a demonstrat că formarea aerenchimului la halofite este asemănătoare cu cea a glicofitelor, este clar că această capacitate de a dezvolta spații aerifere largi este mai ridicată la speciile din regiunile inundate. Studiul extensiv al lui Justin și Armstrong (1987) a evidențiat faptul că la halofitele din habitate lipsite de umiditate pronunțată („non-wetland”, orig.), porozitatea rădăcinii<sup>16</sup> a fost de circa 2-4%; la halofite intermediare („intermediate”, orig.) a fost de circa 2-23%, iar la higro-halofite („wetland” halophytes) a fost de circa 3-33%, în vreme ce la *Phragmites australis*, de circa 52%.

Mecanismul adaptării plantelor la condiții de băltire este deosebit de complex și de interesant. Suntem interesați să punem în relație spectrul ecologic al unei halofite cu adaptările acesteia, și invers. Iar dacă mai mulți factori sunt corelați și reclamă adaptări convergent-corelate ale plantelor, atunci lucrurile se complică și mai mult. Am prezentat cu altă ocazie viziunea noastră asupra adaptărilor polimorfe ale halofitelor, ca urmare a acțiunii mai multor factori ecologici (Grigore și Toma, 2008c).

Mai trebuie spus că, pe lângă formarea aerenchimului, mai există și alte trăsături care sporesc capacitatea pentru difuzia longitudinală a oxigenului în rădăcină (diametrul rădăcinii, numărul rădăcinilor laterale, volumul relativ al cilindrului central și *bariera împotriva pierderii radiare a oxigenului*<sup>17</sup>). De mare actualitate este ultimul aspect enunțat, și anume bariera împotriva pierderii radiare a oxigenului, care se referă, în linii mari, la trecerea oxigenului din aerenchim înapoi în sol. Fără a intra în alte detalii, spunem doar că ROL (radial oxygen loss) poate reduce substanțial aprovizionarea cu O<sub>2</sub> la nivelul vârfului rădăcinii, estimându-se chiar pierderi de 30-40% din oxigenul stocat în aerenchimul rădăcinii.

---

<sup>16</sup> Aerenchimul este definit ca volum de gaz/unitate de volum a rădăcinii (Colmer și Flowers, 2008).

<sup>17</sup> Barrier to radial O<sub>2</sub> loss (ROL) (engl.).

Bariere împotriva acestui fenomen (ROL) sunt prezente în straturile exterioare aerenchimului radicular, la nivelul zonelor bazale ale rădăcinilor multor specii ce vegetează în habitate cu umiditate sporită. De pildă, o specie de halofite, tolerantă și la condițiile de băltire, cum este *Hordeum marinum*, formează o barieră împotriva ROL atunci când vegetează în medii stagnante, deficitare în  $O_2$  (Garthwaite et al., 2003); în rădăcinile sus-amintitei specii, această barieră este constituită din depozite de suberină în pereții celulelor stratului hipodermic (exoderma) (Garthwaite et al., 2008); asemenea depozite se pare că sunt implicate și în formarea unei bariere împotriva ROL la *Phragmites australis* (Soukup et al., 2007).

Pentru noi, asemenea observații sunt deosebit de utile și de interesante. Dacă mai sus vorbeam despre endodermă, pe care am evidențiat-o și am pus-o în discuție, iată că acum vorbim despre alt tip de barieră, în alt context și în corelație cu alt factor ecologic, umiditatea solului. Și, ca o constantă comună, impregnările cu suberină.

Stratul cel mai intern al scoarței reprezintă o endodermă de tip primar, cu celule alungite tangențial, având vizibile îngroșările Caspary în pereții lor radiari.

Cambiul produce un inel extern subțire de liber secundar și un inel foarte gros de lemn secundar; ambele inele sunt străbătute de raze medulare parenchimatic-lignificate, de lărgime diferită, cele mai multe fiind pluriseriate.

Inelul de liber secundar (Fig. 21) cuprinde o zonă internă subțire cu elemente conducătoare (tuburi ciuruite și celule anexe) și o zonă externă mult mai groasă, în care predomină parenchimul liberian și în care se află dispersate numeroase grupe (cordoane) de elemente sclerenchimatice cu pereții îngroșați și intens lignificați, care susțin această scoarță lacunară, cum se poate întâlni și la *Rhizophora*, plantă tipică de mangrove (Waisel, 1972).

Inelul de lemn secundar este complet lignificat, în grosimea lui fiind dispersate vase de diametru diferit, solitare sau grupate în șiruri radiare, continue sau discontinue. Masa principală a lemnului secundar este reprezentată de libriform (fibre lemnoase cu peretele moderat îngroșat și lignificat). Razele medulare au celule mult mai mari decât fibrele lemnoase (pe secțiuni transversale), sunt alungite radiar și au pereții puțin îngroșați și lignificați; aceste raze rămân parenchimatic-celulozice în partea internă a inelului de lemn secundar.

La fața internă a inelului de lemn secundar se observă bine lemnul primar, de tip fascicular, ale cărui vase sunt separate de celule de parenchim lemnos celulozic.

Măduva este groasă, parenchimatic-celulozică, cele mai multe celule conținând ursini de oxalat de calciu.

**Tulpină aeriană – treime superioară (Fig. 22, 27)**

Conturul secțiunii transversale este circular-costat, cu coaste rotunjite, separând valecule largi și puțin adânci.

La acest nivel al tulpinii, structura este tipic primară.

Epiderma prezintă celule izodiametrice (Fig. 22), cu pereții intern și, mai ales, extern puternic îngroșați; peretele extern este acoperit de o cuticulă relativ groasă și crenelată; din loc în loc se observă stomate. Chermezon (1910) semnală, din contră, prezența unei cuticule fine la indivizi de la plante laterale.

Scoarța primară este parenchimatic-celulozică (Fig. 22), cu celulele straturilor externe (1-2) de tip palisadic. În dreptul unor valecule se observă cordoane de colenchim angular, care se întind de la epidermă până la fasciculele conducătoare.

În grosimea scoarței primare sunt vizibile atât meaturi, cât și lacune aerifere mari. Prezența acestor lacune aerifere a fost pusă în evidență și de Chermezon (1910), ca o caracteristică a speciei care vegetează în locuri mai umede și sărate, fiind considerată totodată și o trăsătură de plantă palustră, spre deosebire de indivizii mai mici, de mlaștini sărate, la care aceste canale aerifere lipsesc.

Trăsături similare (țesut palisadic în stratul hipodermic, lacune aerifere în scoarță) au fost evidențiate și la o altă specie de halofite, de mlaștini sărate, și anume la *Aster tenuifolius* (Anderson, 1975).

Scoarța nu se termină cu o endodermă de tip special.

De altfel, trebuie spus că trăsăturile anatomice ale acestei specii atestă intima corelație a acestora cu factorii staționali de mediu. Vorbim de o higrohalofită, fiind o specie de la net la puternic alcalinofilă și de la potrivit la foarte puternic euhalofită (Bucur și colab., 1960). Reprezintă, conform aceluiași autor, un ecotip de fâneață și de pășune de sărătură umedă, de luncă, rar de coastă; indică lăcoviști salinizate, permanent sau temporar umede și pe cale de salinizare continuă de la suprafață înspre adâncime. Din activitatea pe care am desfășurat-o pe teren nu am întâlnit-o decât în habitate umede.

Șerbănescu (1965) a încadrat-o în asociațiile clorurice, fiind legată de o salinitate moderată și de un pH de aproximativ 6,5; este, cu alte cuvinte, o specie de mlaștini sărate.

Prodan (1922) afirma că este cea mai comună specie de *Aster* care apare în terenuri umede sărate. „Înconjură mocirlele și bălțile permanente și provine mai mult numai pe marginea aceloră”.

Cilindrul central cuprinde un număr de 15-16 fascicule conducătoare libero-lemnoase de tip colateral deschis, unele mai mici, dar cele mai multe

mari, toate având la periferia liberului câte un cordon gros de fibre sclerenchimatice cu pereții moderat îngroșați și slab lignificați (Fig. 22).

Fasciculele conducătoare prezintă liberul format din tuburi ciuruite și celule anexe și lemnul având vase dispuse adesea în șiruri radiare, separate de celule de parenchim lemnos celulozic.

Razele medulare dintre fascicule sunt largi, celulele lor având pereții ușor îngroșați și lignificați la nivelul lemnului.

Măduva este relativ subțire, parenchimatice-celulozică, celulele din zona axială sunt dezorganizate, rezultând o cavitate aeriferă de contur neregulat.

### **Tulpină aeriană – treime mijlocie (Fig. 23)**

Conturul secțiunii transversale devine aproape circular.

Structura se menține în general asemănătoare cu cea de la nivelul mai sus analizat, cu următoarele deosebiri:

- în scoarța hipodermică, evidențiată încă de Brick (cit. de Chermezon, 1910) ca având celule rotunjite, se mai observă celule palisadice; sclerificarea și lignificarea sunt mai intense, atât la nivelul cordoanelor perifloemice de sclerenchim, la nivelul lemnului, cât și la nivelul razelor medulare interxilemice (Fig. 23);
- procambiul s-a transformat în cambiu, care a produs deja câteva elemente de liber secundar și mai multe de lemn secundar, în acesta din urmă predominând libriformul.

Lemnul primar rămâne vizibil, cu celule de parenchim celulozic între vase.

### **Tulpină aeriană– treime inferioară (Fig. 24, 25, 28)**

Structura este tipic secundară, dar rezultată numai din activitatea cambiului.

Epiderma este acoperită de o cuticulă crenelată; stomatele proemină vizibil deasupra epidermei.

În scoarță lipsesc cordoanele de colenchim, iar lacunele aerifere sunt numeroase și mari (Fig. 24).

Lemnul tuturor fasciculelor conducătoare și razele medulare (sclerificate și lignificate) dintre ele formează un inel continuu, în timp ce liberul rămâne de tip fascicular, înconjurat astfel complet de elemente sclerificate și lignificate.

În lemnul secundar predomină libriformul, în care sunt dispersate dezordonat sau sunt dispuse în șiruri radiare puține vase.

În multe fascicule se observă clar lemnul primar, cu șirurile de vase separate de parenchim lemnos celulozic (Fig. 25).



Măduva este compactă, multe din celule conținând ursini de oxalat de calciu.

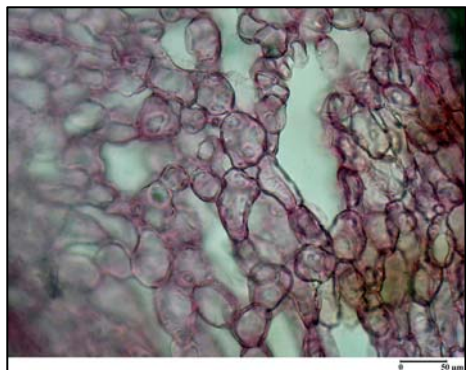


Fig. 20

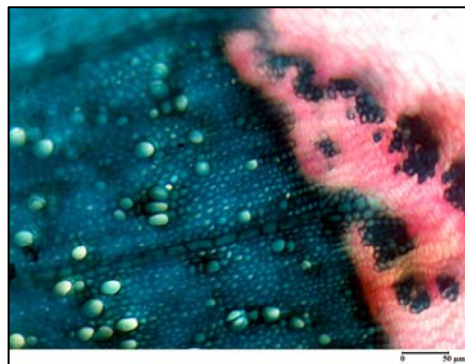


Fig. 21

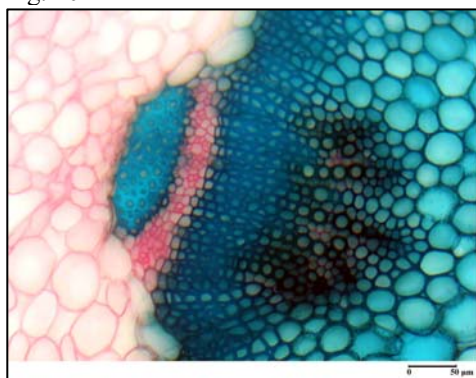


Fig. 22

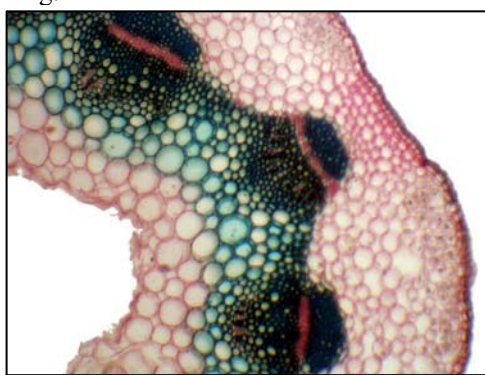


Fig. 23

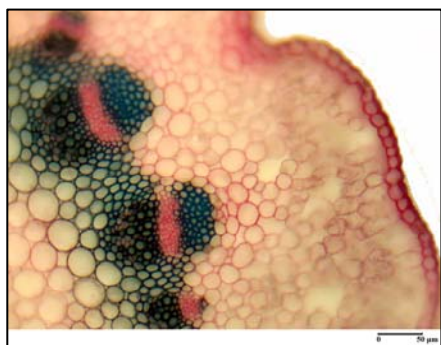


Fig. 24

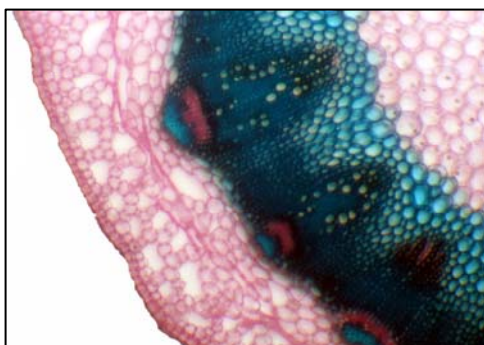


Fig. 25

*Aster tripolium*. Secțiuni transversale prin rizom (Fig. 20, 21) și prin tulpina aeriană, treime superioară (Fig. 22), mijlocie (Fig. 23) și treime inferioară (Fig. 24, 25).

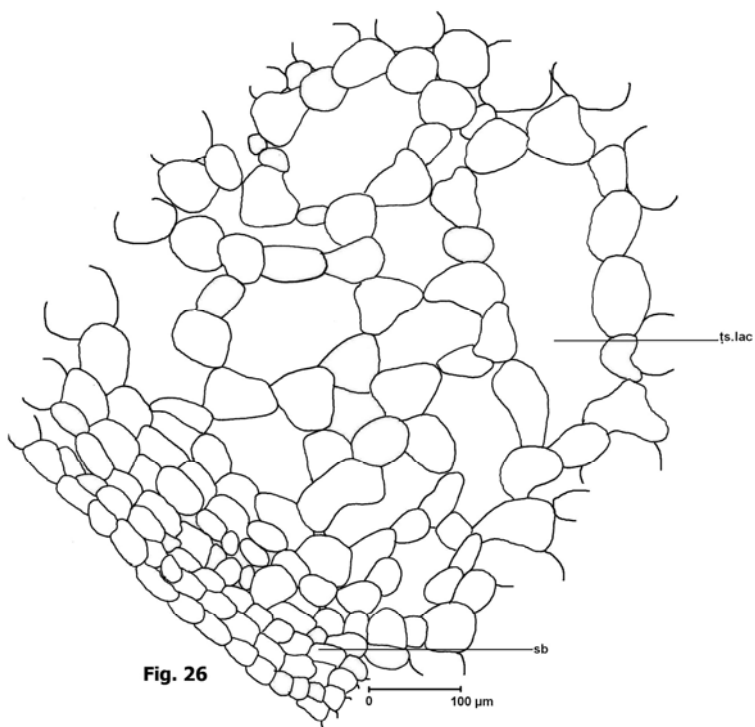


Fig. 26

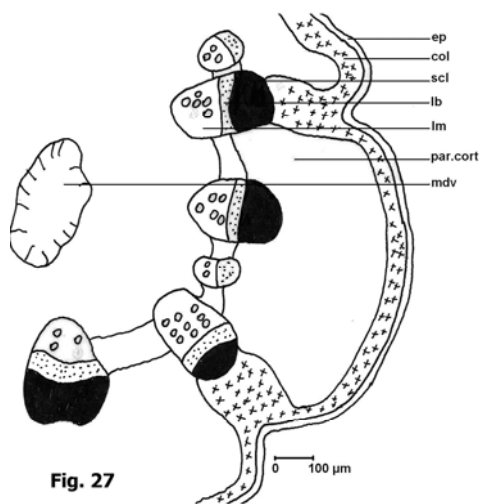


Fig. 27

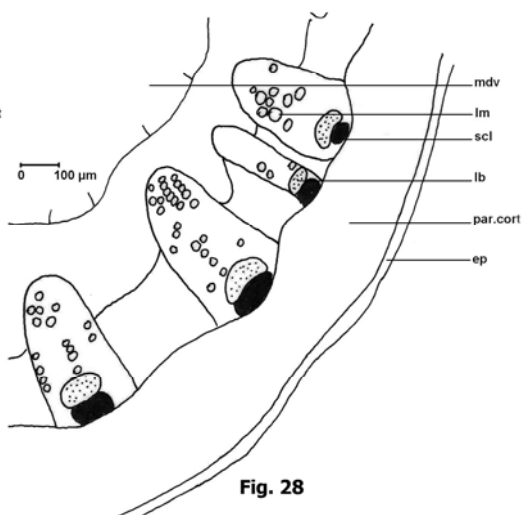


Fig. 28

*Aster tripolium*. Secțiune transversală prin rizom: detaliu (Fig. 26). Secțiune transversală prin tulpina aeriană, treime superioară (Fig. 27) și treimea inferioară (Fig. 28): scheme.

## Frunza

### **Pețiolul (frunză bazală)**

Conturul secțiunii transversale este semicircular, cu fața adaxială plană.

Epiderma prezintă celule izodiametrice, cu peretele extern mai gros decât ceilalți și acoperit de o cuticulă crenelată (Fig. 30).

Stratul hipodermic este colenchimatizat (Fig. 30).

Parenchimul fundamental este de tip celulozic și meatic; pe alocuri se observă lacune aerifere relativ mari (Fig. 30, 42).

În parenchimul fundamental sunt vizibile 5-6 fascicule conducătoare libero-lemnoase de tip colateral deschis dispuse pe un arc, cele marginale fiind mai mici.

Toate fasciculele au structură primară și prezintă atât la fața externă a liberului, cât și la cea internă a lemnului câte un cordon gros de celule colenchimatizate (Fig. 29).

### **Limbul (frunză bazală)**

**Epiderma văzută de față** este formată din celule de contur poligonal, cu pereți laterali dreupți sau ușor curbați; din loc în loc se observă stomate de mai multe tipuri: anizocitic, tetracitic și anomocitic (Fig. 31, 32, 45).

La marginile limbului se observă peri tectori lungi, pluricelulari, uniseriați, aplicați aproape paralel cu țesutul protector (Fig. 46 și 48).

Stomatele sunt prezente în ambele epiderme (dar mai numeroase pe unitatea de suprafață în epiderma inferioară) (Fig. 47), deci limbul este amfistomatic.

**În secțiune transversală – treime superioară**, nervura mediană proemină foarte puțin la fața inferioară, cuprinzând un singur fascicul conducător libero-lemnos, cu structură primară, lipsit de elemente colenchimatizate la cei doi poli (Fig. 33 și 43). Nervurile de ordin inferior nu proemină peste nivelul epidermei și au fascicule cu elemente conducătoare foarte puține.

Ambele epiderme au celule ușor alungite tangențial și acoperite de o cuticulă subțire. În ambele epiderme se observă stomate (Fig. 34).

Mezofilul este slab diferențiat în țesut palisadic, cu celule joase, la fața superioară și țesut lacunos la fața inferioară; pe alocuri, și celulele hipodermice de la fața inferioară sunt de tip palisadic, dar mult mai joase (Fig. 34, 44).

O astfel de structură este mai degrabă de tip omogen, bifacială, inegal heterofacială.

**În treimea mijlocie**, nervura mediană proemină mai puternic la fața inferioară, având un fascicul conducător mai mare (Fig. 35). În rest, structura este aceeași ca și în treimea bazală a limbului (Fig. 36).

În **treimea inferioară (frunză bazală)**, nervura mediană proemină mai vizibil la fața inferioară și puțin la fața superioară, având sub epiderma abaxială (inferioară) câteva straturi de celule de colenchim (Fig. 37, 38, 39).

Cuticula este mai groasă pe ambele fețe ale limbului (Fig. 40), iar mezofilul este tipic omogen, cu celule izodiametrice; deci limbul are o structură bifacială izofacială.

Cât privește mult discutata problemă a succulenței unor plante de sărătură (referindu-ne la specia *Aster tripolium*, ca și Chermezon, 1910; Țopa, 1954; Rațiu Flavia și Nicolau Magdalena, 1967 ș. a.), ca rezultând îndeosebi din puternica dezvoltare a celulelor din țesutul acvifer, nu putem afirma cu tărie prezența acestui caracter de halosucculență la specia investigată de noi. Credem că aceasta trebuie privită ca un rezultat conjugat al factorilor de mediu și nu extrapolată decât cu foarte multă prudență ca fiind un caracter relativ universal al halofitelor (Jennings, 1968).

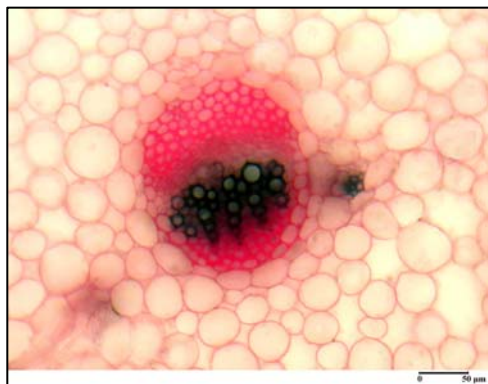


Fig. 29

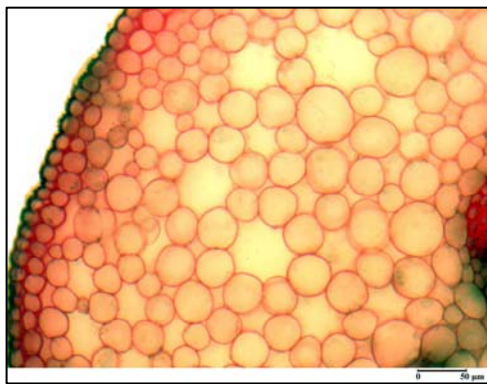


Fig. 30



Fig. 31

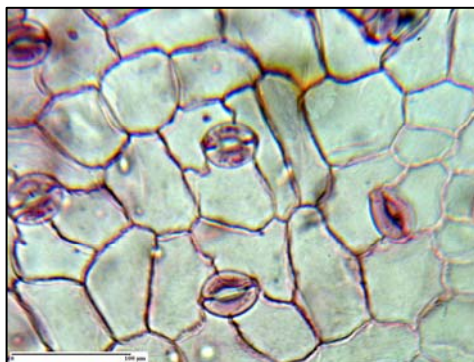


Fig. 32

***Aster tripolium*.** Secțiuni transversale prin pețiol (Fig. 29-30) și prin limbul foliar: epidermă superioară (Fig. 31) și epiderma inferioară (Fig. 32), văzute de față.

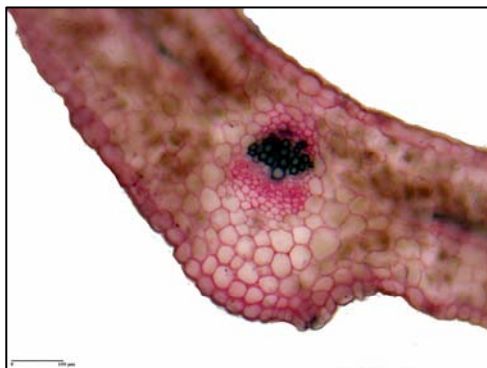


Fig. 33

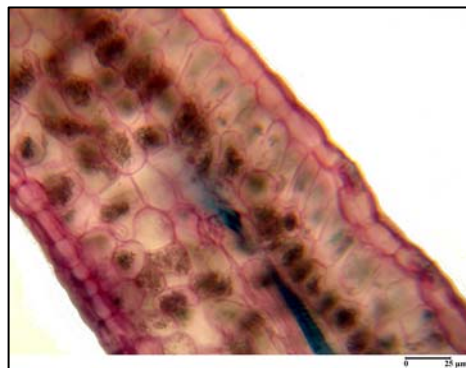


Fig. 34

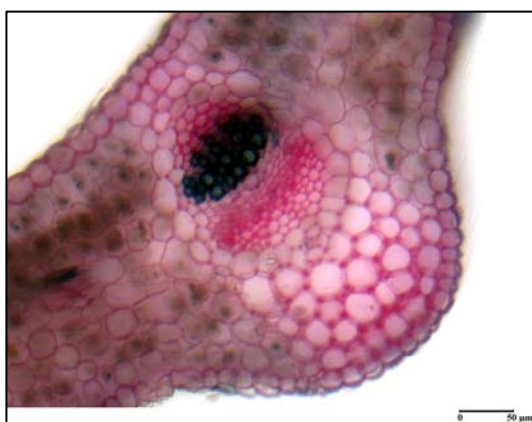


Fig. 35

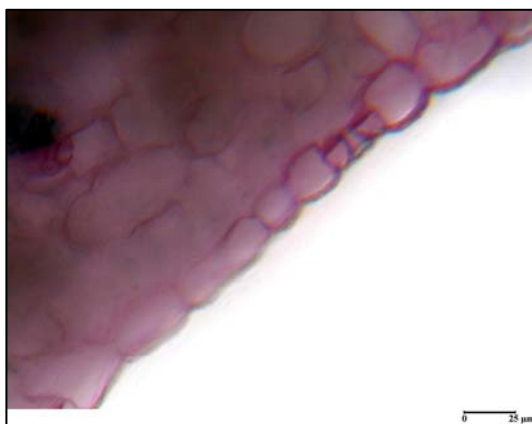


Fig. 36

*Aster tripolium*. Secțiuni transversale prin limbul foliar, treime superioară (Fig. 33, 34) și treime mijlocie (Fig. 35-36).



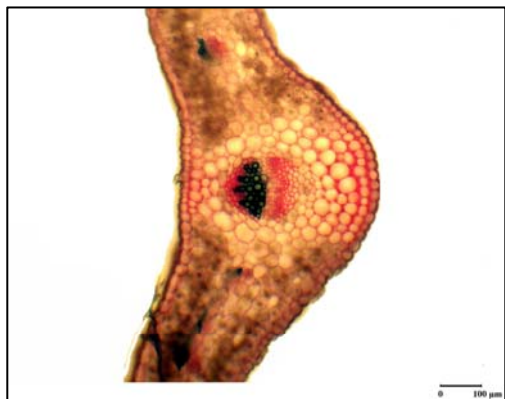


Fig. 37

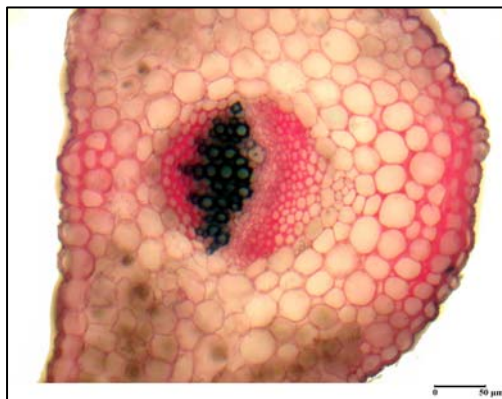


Fig. 38



Fig. 39

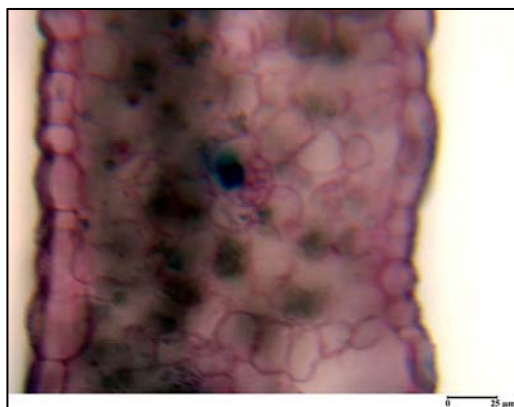
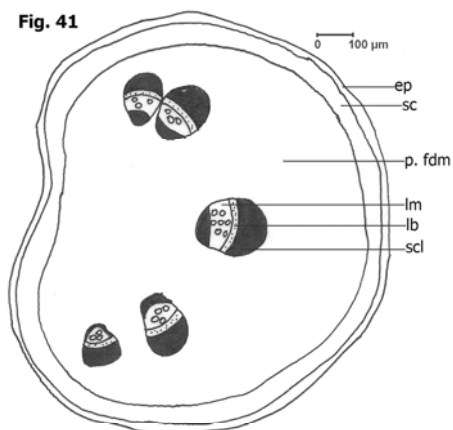


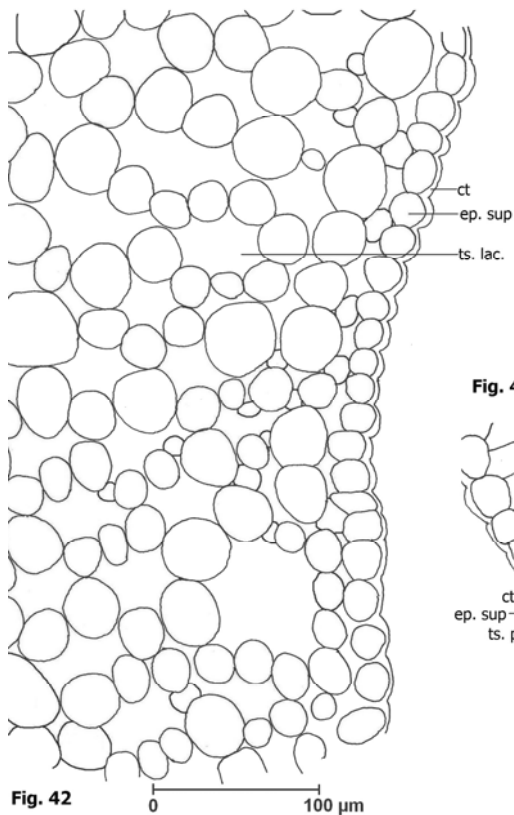
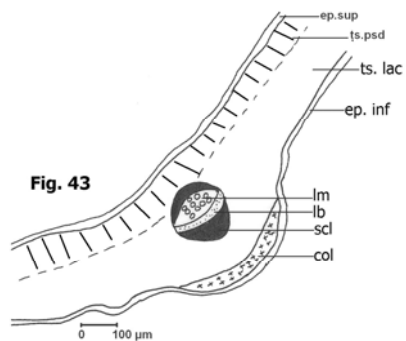
Fig. 40

*Aster tripolium*. Secțiuni transversale prin limbul foliar, treime inferioară (Fig. 37 - 40).

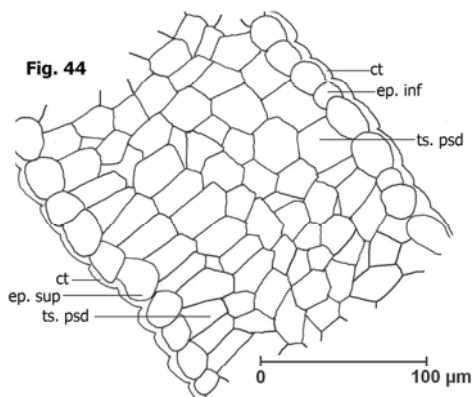
**Fig. 41**



**Fig. 43**

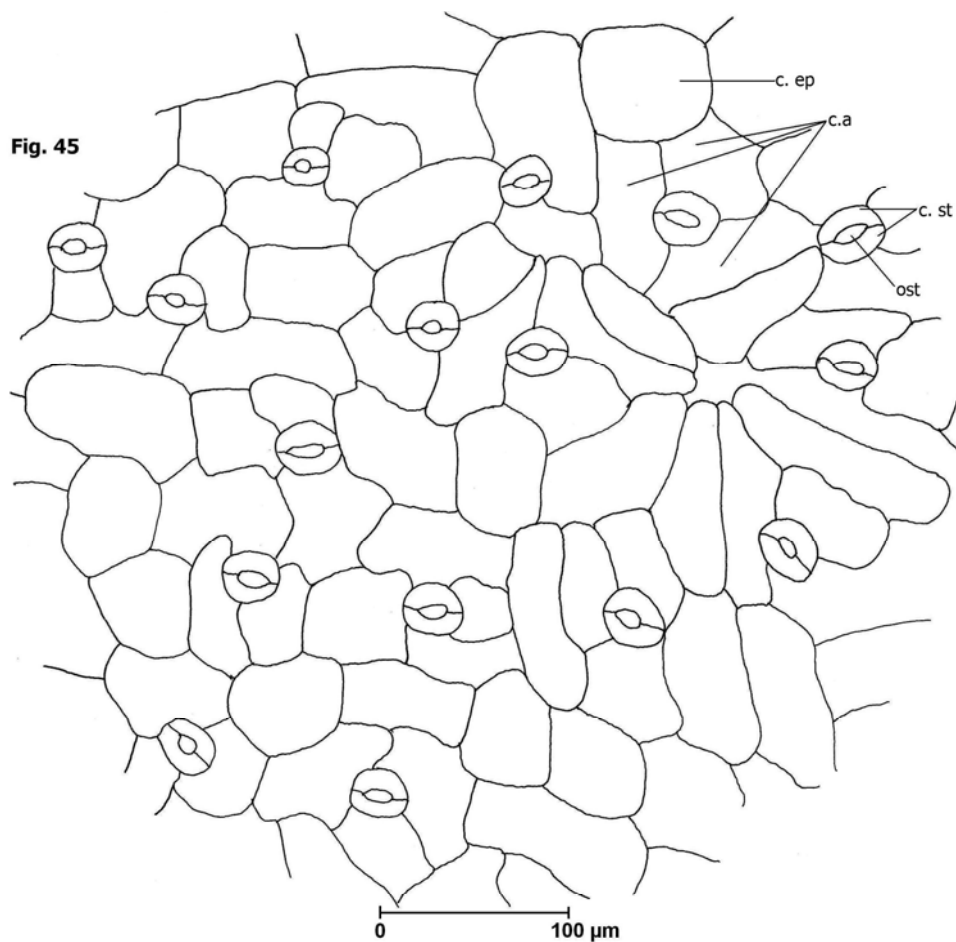


**Fig. 44**

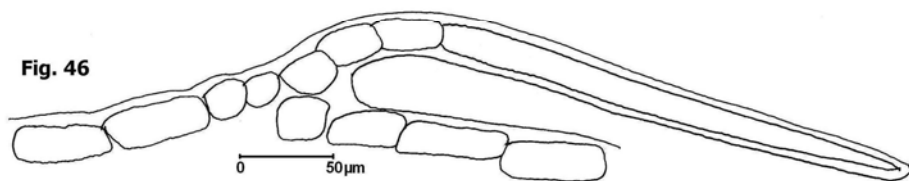


*Aster tripolium*. Secțiuni transversale prin pețiol – schemă (Fig. 41) și detaliu (Fig. 42) și prin limbul foliar, treime superioară – schemă (Fig. 43) și detaliu (Fig. 44).

**Fig. 45**



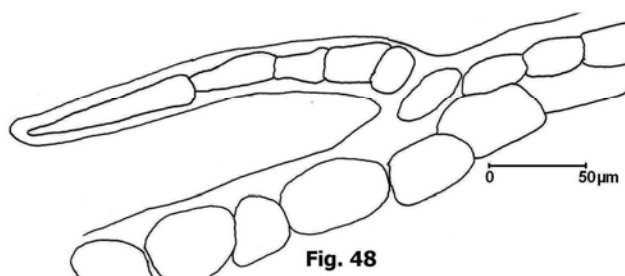
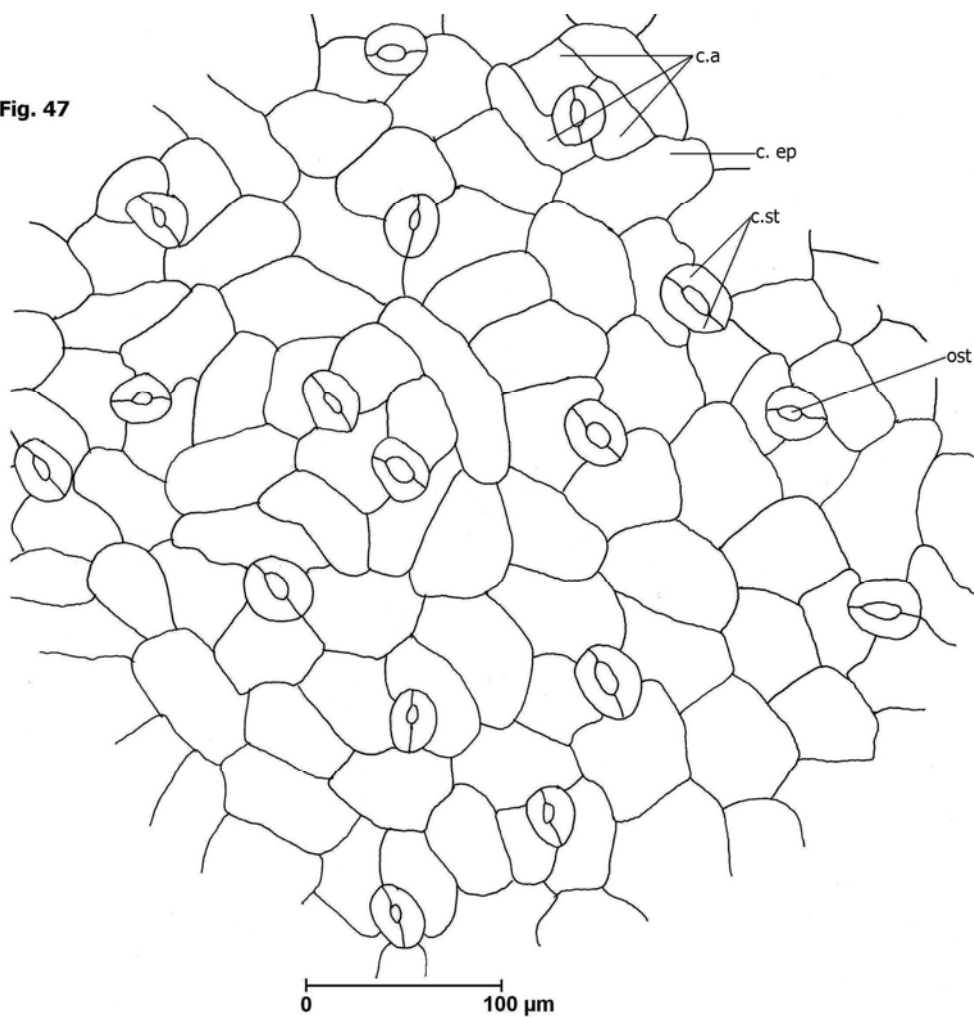
**Fig. 46**



*Aster tripolium*. Epiderma superioară a limbului foliar, văzută de față (Fig. 45); păr tector (Fig. 46).



**Fig. 47**



**Fig. 48**

*Aster tripolium*. Epiderma inferioară a limbului foliar, văzută de față (Fig. 47); păr tector (Fig. 48)

## ***Lactuca saligna* L.**

### **Rădăcină – treime inferioară (Fig. 62)**

Structura este tipic secundară, rezultată îndeosebi din activitatea cambiumului.

Felogenul produce puțin suber, care se exfoliază treptat, iar felodermul este ușor colenchimatizat (Fig. 49).

Cilindrul central este foarte gros, în el observându-se un inel extern subțire de liber secundar și un corp central gros de lemn secundar.

Inelul de liber cuprinde tuburi ciuruite, celule anexe și celule de parenchim liberian, fiind întrerupt din loc în loc de raze parenchimatice-celulozice.

Corpul lemnos cuprinde vase de diametru diferit, dispersate neregulat, separate de o cantitate mare de libriform și foarte puține celule de parenchim lemnos moderat sclerificat și lignificat (Fig. 50).

### **Rădăcină – treime mijlocie (Fig. 51 și 63)**

Grosimea rădăcinii crește îndeosebi pe seama activității cambiumului, care produce un corp lemnos din ce în ce mai bine dezvoltat.

Pe alocuri se observă formarea de rădăcini laterale, pe cale endogenă.

Cantitatea de libriform este mai mare și elementele lui componente au pereți mai groși, deși moderat lignificați (Fig. 52).

Atât în grosimea liberului, cât și în cea a scoarței se observă laticifere.

### **Rădăcină – treime superioară (Fig. 53 și 64)**

Rădăcina este și mai groasă, cu zona axială a corpului lemnos vizibil parenchimatizată, sub forma mai multor raze formate din celule cu pereți foarte subțiri, celulozici (Fig. 54 și 55).

La nivelul inelului de liber sunt vizibile numeroase raze parenchimatice, ce formează un veritabil parenchim de dilatare.

Zona de suber rămâne subțire în tot lungul rădăcinii (Fig. 53).

### **Tulpină – treime superioară**

Conturul secțiunii transversale este circular-costat, cu coaste puțin proeminente.

Epiderma prezintă celule cu peretele extern mai gros decât ceilalți și acoperit de o cuticulă foarte subțire.

Scoarța este subțire, reprezentată de un parenchim asimilator de tip meatic (Fig. 56).

Stratul cel mai intern al scoarței are celule mult mai mari, reprezentând o endodermă tipică (caspariană) (Fig. 57).

Cilindrul central este foarte gros, în el deosebind mai multe fascicule conducătoare libero-lemnoase de tip colateral, separate de raze medulare largi, puternic sclerificate și lignificate la nivelul lemnului.

Liberul formează un inel aproape continuu, în care se observă numeroase laticifere.

Lemnul, împreună cu razele sclerificate și lignificate formează un inel continuu, vasele de origine primară proeminând adânc în zona perimedulară.

La nivelul cilindrului central, atât liberul cât și lemnul au în mică parte o structură secundară. Vasele de lemn primar sunt separate de celule de parenchim lemnos celulozic, iar cele de lemn secundar sunt separate de libriform.

La fața internă a fasciculelor conducătoare se observă insule de liber perimedular (liber intern), având doar structură primară, deci sunt alcătuite numai din tuburi ciuruite și celule anexe.

Măduva este parenchimatice-celulozică, de tip meatic, cu celule mult mai mari decât cele ale scoarței.

Inelul de lemn secundar este foarte gros, cu vase dispersate neregulat în masa fundamentală de libriform. Vasele de lemn primar rămân vizibile, fiind separate de parenchim celulozic, iar la fața internă a inelului de lemn se observă mai multe insule de liber perimedular.

### **Tulpină – treime mijlocie (Fig. 65)**

Structura se menține asemănătoare, cu deosebirea că:

– epiderma și parte din scoarță se exfoliază pe alocuri, iar inelul lemnos este vizibil mai gros, în el distingându-se clar locul fostelor fascicule conducătoare din structura primară (Fig. 58).

### **Tulpină – treime inferioară (Fig. 66)**

Tulpina este mult mai groasă.

Epiderma este formată din celule puternic alungite tangențial.

Scoarța este foarte subțire, celulele endodermei de tip primar, fiind puțin alungite tangențial și cu îngroșările Caspary vizibile în pereții radiari (Fig. 61).

Inelul de lemn secundar este foarte gros, cu vase dispersate neregulat în masa fundamentală de libriform. Vasele de lemn primar rămân vizibile, fiind separate de parenchim celulozic, iar la fața internă a inelului de lemn se observă mai multe insule de liber perimedular (Fig. 59 și 60).

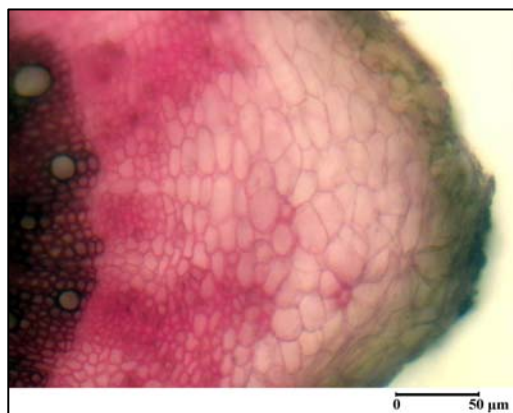


Fig. 49

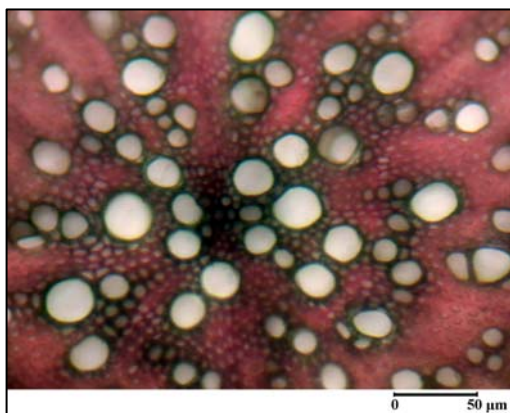


Fig. 50

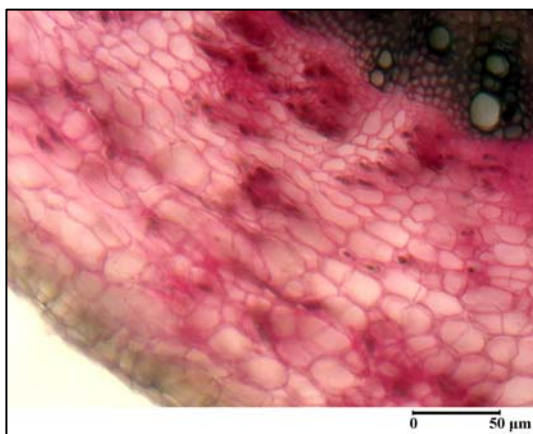


Fig. 51

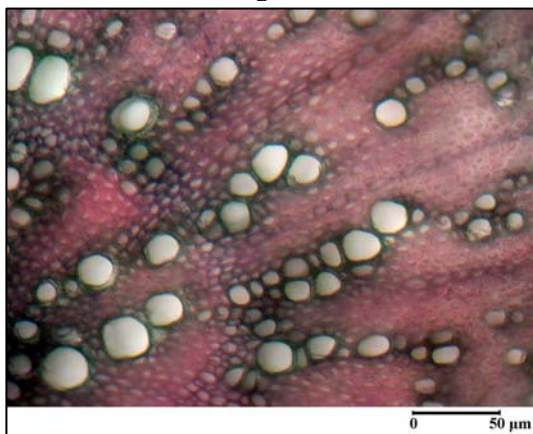


Fig. 52

*Lactuca saligna*. Secțiuni transversale prin rădăcină, treime inferioară (Fig. 49-50) și treime mijlocie (Fig. 51-52).

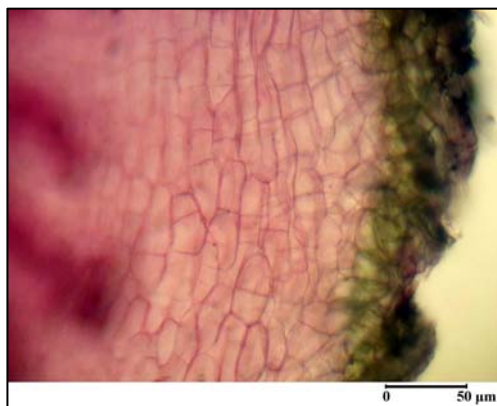


Fig. 53

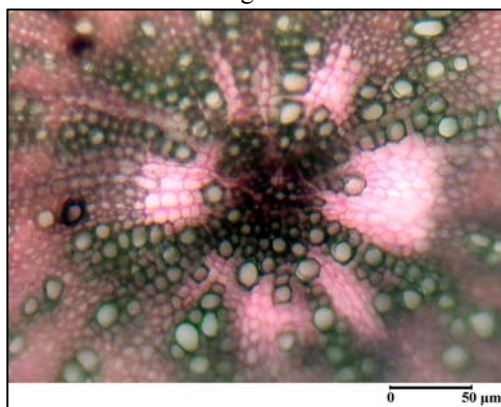


Fig. 54

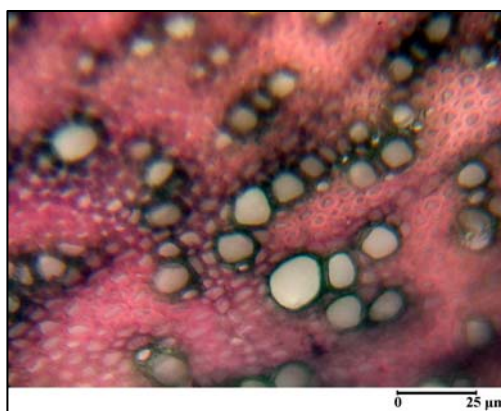


Fig. 55

*Lactuca saligna*. Secțiuni transversale prin rădăcină, treime superioară (Fig. 53, 54, 55)



Fig. 56

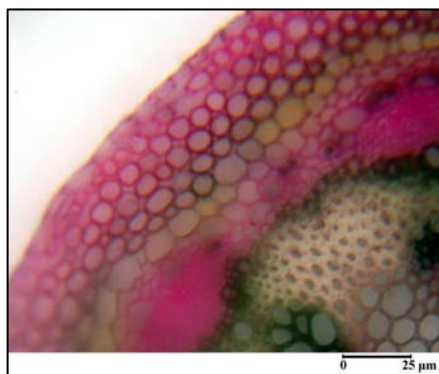


Fig. 57

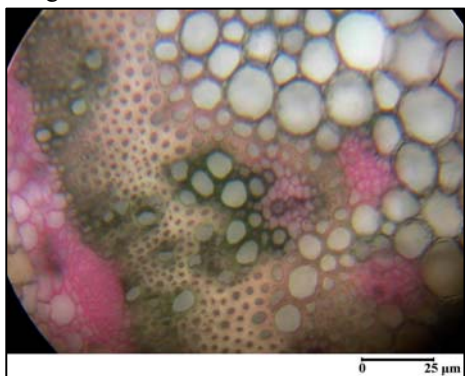


Fig. 58

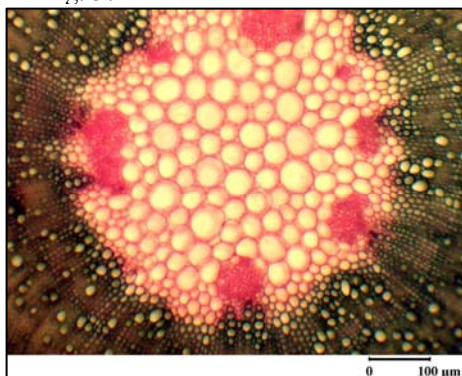


Fig. 59

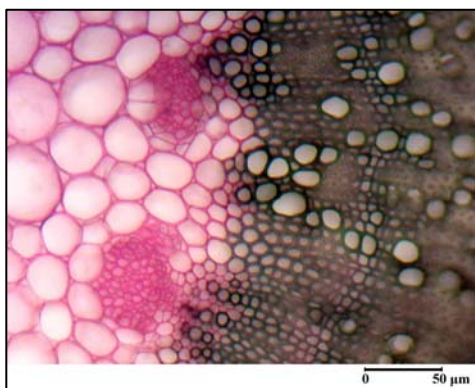


Fig. 60



Fig. 61

***Lactuca saligna*.** Secțiuni transversale prin tulpină, treime superioară (Fig. 56-57), treime mijlocie (Fig. 58) și treime inferioară (Fig. 59-61).



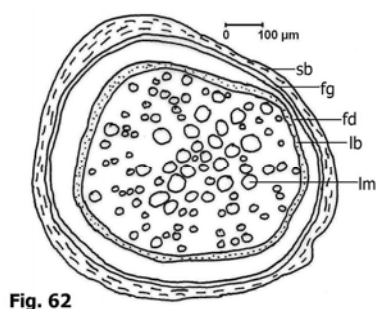


Fig. 62

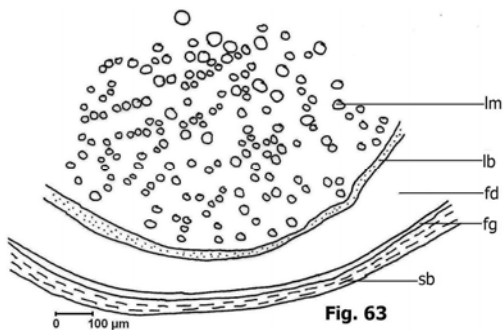


Fig. 63

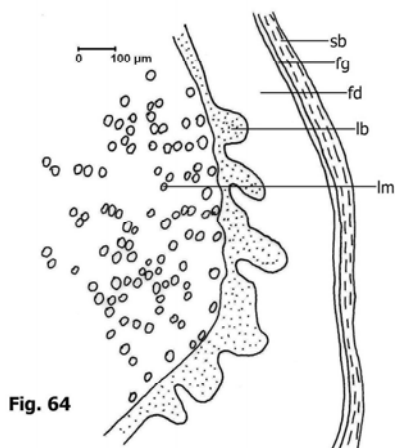


Fig. 64

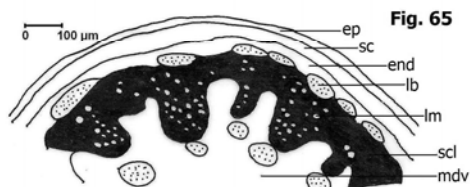


Fig. 65

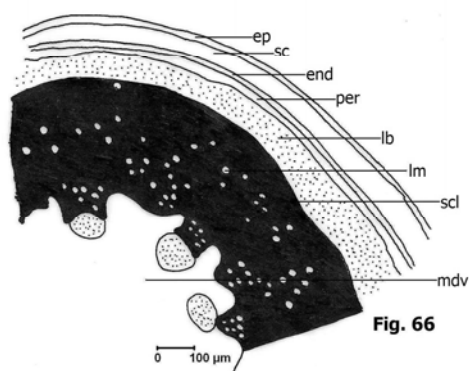


Fig. 66

*Lactuca saligna*. Secțiuni transversale prin rădăcină – treime inferioară (Fig. 62), treime mijlocie (Fig. 63), treime superioară (Fig. 64) și prin tulpină – treime mijlocie (Fig. 65), treime inferioară (Fig. 66): scheme.

## Frunza

### Limbul

**Epiderma văzută de față** (Fig. 74) este formată din celule de contur neregulat, cu pereții laterali sinuoși; din loc în loc se observă stomate de tip anomocitic în ambele epiderme, deci limbul este amfistomatic. Gradul de ondulare a pereților laterali diferă ușor pe cele două fețe ale limbului, fiind mai accentuat pe fața inferioară.

În **secțiune transversală – treimea superioară**, ambele epiderme au celule alungite tangențial, cu peretele extern mai gros decât ceilalți și acoperit de o cuticulă subțire (Fig. 67-69).

În ambele epiderme sunt stomate, cu cameră suprastomatică puțin adâncă (Fig. 68 și 69). Cât privește gradul de afundare a stomatelor, s-a încercat stabilirea unei legături între acest caracter și gradul de halofilie, dar se pare că nu se poate generaliza, din cauza inconstanței prezenței și intensității acestei afundări a stomatelor față de nivelul celulelor epidermice (Chermeson, 1910). Acest caracter pare mai degrabă o xeromorfoză, raportat la uscăciunea mediului. Prezența unor elemente, considerate a priori „consacrate” pentru un grup ecologic de plante și extrapolarea lor la altele, aparținând altor grupe ecologice, nu „scoate” planta dintr-un mediu și o plasează în altul. Să amintim doar punctul de vedere al lui Schimper, care exacerba necesitatea prezenței unor trăsături de xerofitism la halofite, ipoteză analizată ulterior destul de obiectiv de Chermeson (1910).

Oricum, dincolo de aceste discuții de nuanță, este clar că stomatele localizate sub nivelul celulelor epidermice reprezintă un caracter de xeromorfoză (Dickson, 2000). Alături de reducerea suprafeței foliare, îngroșarea peretelui extern al celulelor epidermice, mărirea grosimii cuticulei, mărirea densității perilor și reducerea suprafeței ostiolelor stomatice, contribuie la reducerea pierderilor de apă. Acest caracter, al afundării stomatelor sub nivelul epidermei, a fost corelat cu alte xeromorfoze și de alți autori (Lyshede, 1978; Abulfatih, 2003).

Un studiu relativ recent, asupra mai multor specii aparținând unui ecosistem costier mediteraneean, și anume „machia” (caracterizat prin temperaturi ridicate, veri sectoase și predominanța vegetației de arbuști sclerofili), a scos în evidență, aproape la toate speciile, faptul că stomatele sunt afundate sub nivelul epidermei (Rotondi et al., 2003); dacă nu sunt afundate, atunci sunt bine protejate de peri.



Oricum, noi am recoltat această specie de pe o sărătură uscată. Este într-adevăr o specie xerofilă către mezofilă, mezotermă, heliofilă, variat-alcalinofilă, de la foarte slab la potrivit euhalofilă (Bucur și colab., 1960). Se dezvoltă pe marne salinizate nesolificate, pe soluri salifere și pe sărături de luncă, vale, coastă uscată la suprafață în perioada de vegetație.

Unele celule epidermice au peretele extern foarte proeminent, luând aspectul unor aculei scurți (Fig. 68).

Mezofilul este de tip palisadic (Fig. 69) sub ambele epiderme (1-2 straturi de celule puțin înalte) și de tip lacunos la mijloc, deci limbul are o structură bifacială ecvifacială.

De altfel, se presupune că țesutul palisadic bine dezvoltat la specii xerofile are rolul de a oferi o mai bună eficiență în captarea și utilizarea razelor solare (Rotondi et al., 2003).

Țesuturile conducătoare formează fascicule de mărime diferită, cel din nervura mediană (vizibil proeminentă la fața inferioară a limbului) fiind mai mare, de tip colateral și cu structură primară (Fig. 67).

În **treimea mijlocie** (Fig. 75), nervura mediană cuprinde 3 fascicule conducătoare; cele din nervurile laterale sunt înconjurate de câte o teacă de celule parenchimatică (Fig. 70).

Mezofilul se menține de tip palisadic sub ambele epiderme, doar 1-2 straturi centrale prezentând celule izodiametrice.

Celulele epidermei au peretele extern foarte gros, iar la marginile limbului toate devin ușor aculeiforme (Fig. 71 și 72).

În **treimea inferioară** (Fig. 76), structura se menține aceeași (Fig. 73), de tip bifacial ecvifacial, iar stomatele prezintă veritabile camere suprastomatice.

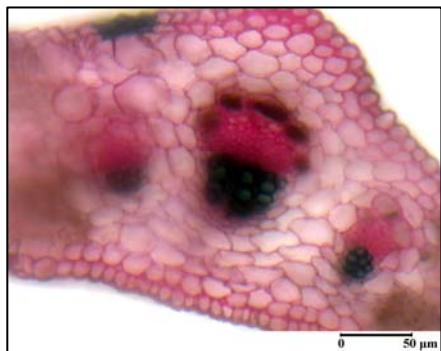


Fig. 67

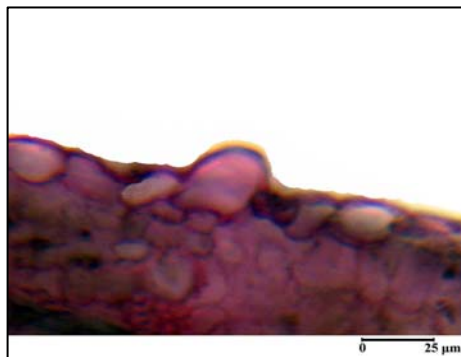


Fig. 68

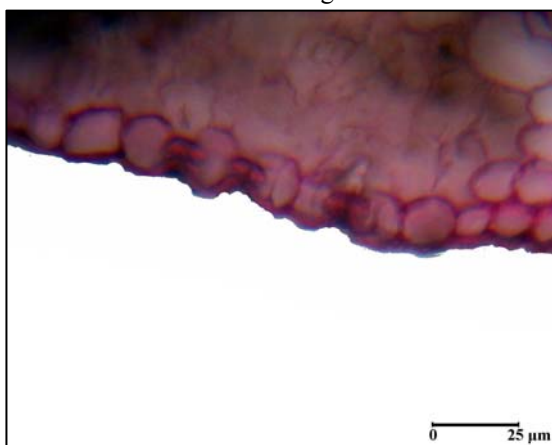


Fig. 69



Fig.70

*Lactuca saligna*. Secțiuni transversale prin limbul foliar, treime superioară (Fig. 67-69) și treime mijlocie (Fig. 70).

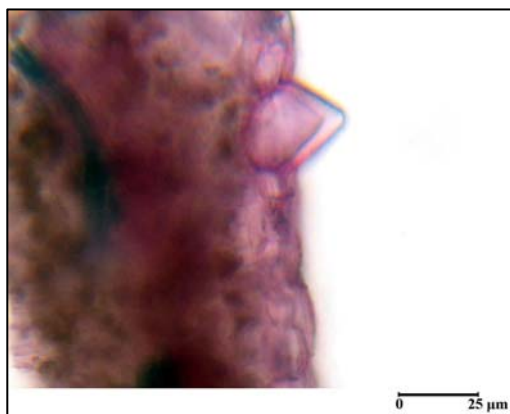


Fig. 71

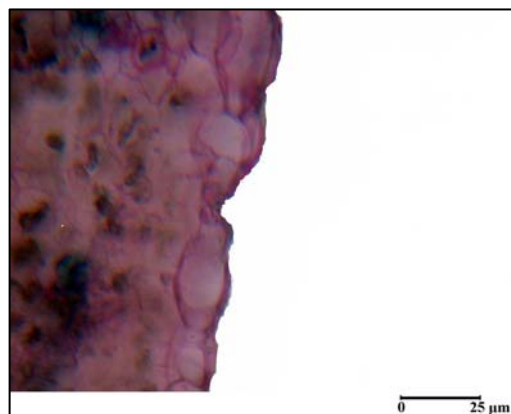


Fig. 72

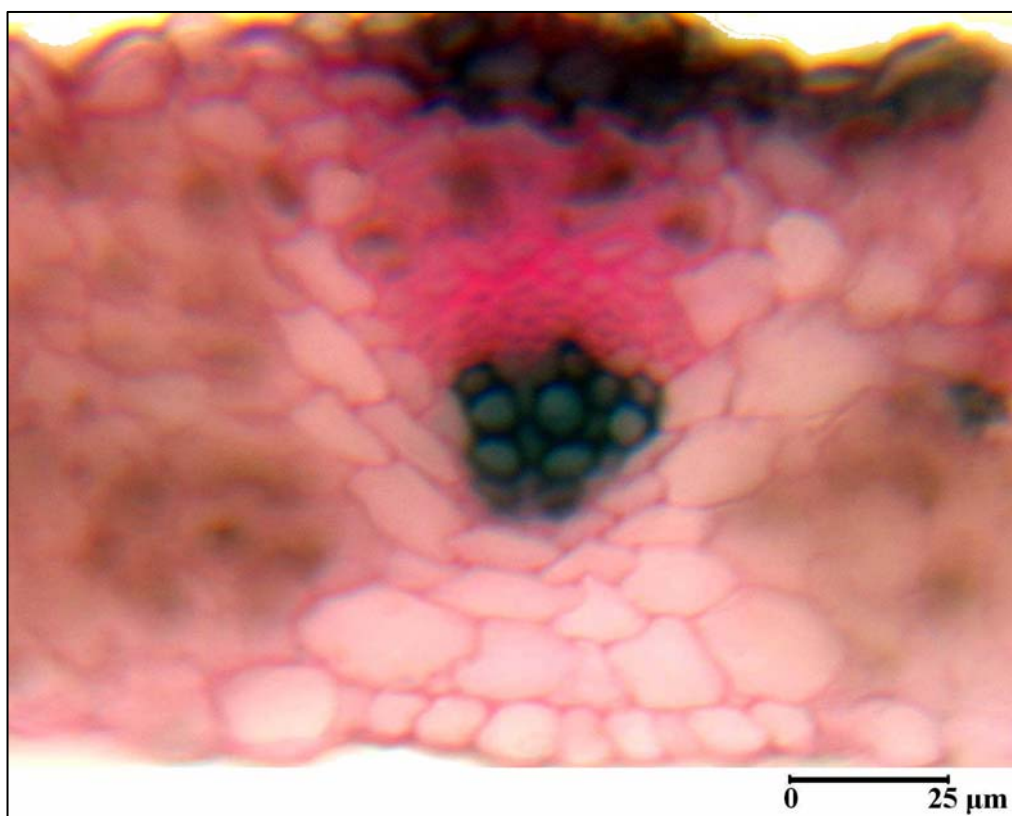


Fig. 73

***Lactuca saligna*.** Secțiuni transversale prin limbul foliar, treime mijlocie (Fig. 71-72) și treime inferioară (Fig. 73).

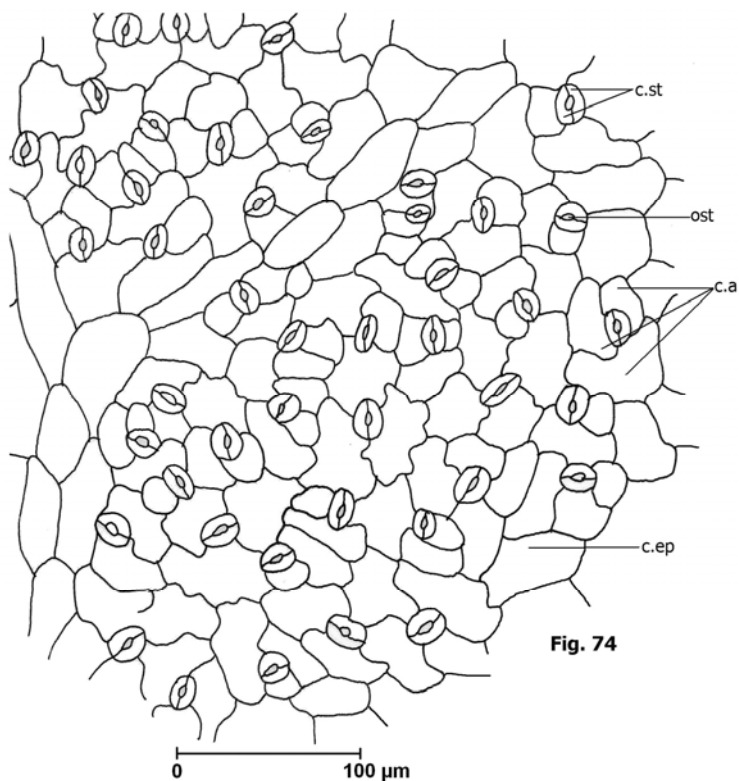


Fig. 74

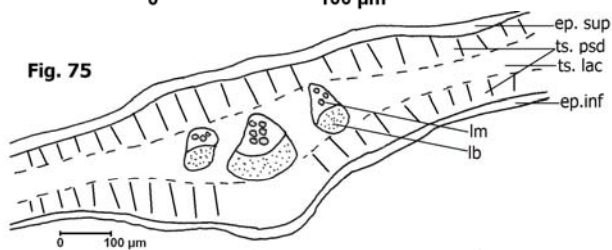


Fig. 75

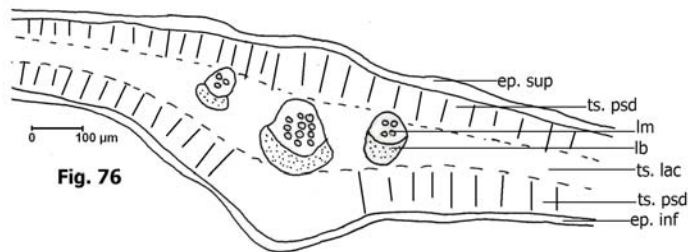


Fig. 76

***Lactuca saligna*.** Epiderma inferioară a limbului foliar, văzută de față (Fig. 74) și secțiuni transversale prin limbul foliar, treime mijlocie (Fig. 75) și treime inferioară (Fig. 76): scheme.

## ***Scorzonera cana* (C. A. Mey.) O. Hoffm.**

### **Rădăcină – treime inferioară (Fig. 77, 78, 88)**

Structura este secundară. Prezintă o pătură de suber (Fig. 77) subțire (5-7 straturi) și un număr foarte mic (6) de benzi radiare de țesuturi conducătoare secundare (Fig. 78). După dispoziția vaselor în axul rădăcinii conchidem că stelul din structura primară este de tip diarh.

### **Rădăcină – treime medie (Fig. 79, 80, 89)**

Structura este asemănătoare cu cea de la vârful organului, cu deosebirea că pătura de suber este mai subțire, felodemul este mai gros, iar numărul benzilor radiare de țesuturi conducătoare secundare (Fig. 79) este mai mic (10); în toate aceste benzi, celulele de parenchim liberian sunt amilifere, iar vasele de lemn variază mult ca diametru și au pereții intens lignificați (Fig. 80). În axul rădăcinii se observă încă vase de lemn primar.

### **Rădăcină – treime superioară (Fig. 81)**

Pătura de suber este foarte groasă (15-20 de straturi), cu celule dreptunghiulare, mult alungite tangențial, având pereții subțiri și moderat suberificați; din loc în loc sunt vizibile lenticele.

Felodermul este, de asemeni, pluristratificat, mai subțire decât suberul, cu celulele moderat colenchimatizate tangențial.

Cilindrul central este foarte gros. Cambiul a format două inele concentrice de țesuturi conducătoare secundare: unul extern de floem și altul intern de xilem, acesta din urmă luând aspectul unui corp central compact, lipsit de măduvă în zona axială.

Atât liberul, cât și lemnul formează, de fapt, mai multe (15) benzi radiare, care se întâlnesc în partea axială a rădăcinii (Fig. 81). Aceste benzi, destul de înguste, sunt separate de raze parenchimatice-celulozice foarte largi. Liberul cuprinde tuburi ciuruite, celule anexe și celule de parenchim liberian, iar lemnul are vase de diametru diferit, cu pereții groși și intens lignificați, printre care se observă puține celule de parenchim lemnos celulozic.

Facem mențiunea că, deși structura rădăcinii este tipic secundară la acest nivel, cilindrul central este puternic parenchimatizat, iar fibrele libriforme lipsesc, **caz rar întâlnit la dicotiledonate**.

### **Rizomul (Fig. 82, 83, 90)**

Structura este tipic secundară, rezultată din activitatea ambelor meristeme laterale: cambiul și felogenul.

Felogenul produce o zonă relativ groasă de suber spre exterior și o altă de feloderm vizibil colenchimatizat spre interior (Fig. 82), toate 3 alcătuind o peridermă care, spre periferie, se exfoliază parțial și de care rămân aderente încă resturi din parenchimul cortical primar.

Cambiul produce două inele concentrice de țesuturi conducătoare secundare: unul extern de liber și altul intern de lemn, ambele străbătute de numeroase raze medulare parenchimatice-celulozice; în felul acesta, țesuturile conducătoare iau aspectul unor benzi radiare înguste, ca și în rădăcină.

Liberul cuprinde tuburi ciuruite, celule anexe și celule de parenchim liberian, numărul acestora din urmă crescând vizibil spre periferia zonei.

Lemnul prezintă vase de diametru diferit, cu pereții îngroșați și lignificați, separate de celule de parenchim celulozic (Fig. 83).

Măduva este groasă, parenchimatice-celulozică, de tip meatic. Pe alocuri se observă formarea, pe cale endogenă, a rădăcinilor adventive.

### **Tulpină – treime superioară (Fig. 84, 92)**

Conturul secțiunii transversale este poligonal-costat, cu coaste rotunjite.

Epiderma prezintă celule izodiametrice și izomorfe, cu pereții intern și extern puternic îngroșați, cel din urmă fiind acoperit de o cuticulă subțire. Din loc în loc sunt stomate și peri secretori scurți, cu glanda unicelulară.

Scoarța este subțire (7-8 straturi) și totdeauna formează cordoane de colenchim tangențial (Fig. 84) în coaste; parenchimul cortical este asimilator, de tip meatic, cu celule de aceeași formă și mărime, lăsând între ele meaturi mici. Scoarța nu se termină cu o endodermă de tip special.

Cilindrul central este gros, cuprinzând un număr mare (aproximativ 20) de fascicule conducătoare, alternând unele mai mari (înfipte adânc în măduvă), cu altele mai mici, toate separate la nivelul xilemului de raze medulare largi, formate din celule cu pereții puternic îngroșați și lignificați; aceste raze, împreună cu arcurile de același tip de la fața internă a lemnului primar formează un inel sinuos în vecinătatea zonei perimedulare.

Fasciculele conducătoare au structură primară; doar în unele, mai mari, încep să apară și fibre lemnoase, în imediata vecinătate a cambiului.

Liberul cuprinde tuburi ciuruite și celule anexe, iar lemnul are vasele dispuse în șiruri radiare, separate de celule de parenchim celulozic. La periferia liberului celor mai multe fascicule se observă un endodermoid amilifer.

Măduva este groasă, parenchimatice-celulozică, de tip meatic, cu celule vizibil mai mari decât cele ale parenchimului cortical.

### **Tulpină – treime mijlocie (Fig. 85, 86, 91)**

Conturul secțiunii transversale se menține poligonal, dar coastele sunt mult atenuate.

Cordoanele de colenchim din coaste sunt mai groase (Fig. 85), perii secretori sunt mai frecvenți, iar la periferia liberului tuturor fasciculelor conducătoare se află câte un cordon de elemente mecanice de tip colenchimatic, cu pereții celulozici.

Structura lemnului rămâne complet primară în unele fascicule și este completată cu începutul celei secundare în alte fascicule.

Inelul sinuos de sclerenchim, dintre fascicule și de la fața lor internă, este intens lignificat (Fig. 86). Cea mai mare parte din măduvă are celule cu pereții ușor îngroșați și lignificați, dar zona axială rămâne parenchimatic-celulozică.

### **Tulpină – treime inferioară (Fig. 87, 93)**

Structura se menține aceeași ca și la nivelul mijlociu, cu deosebirea că în coaste cordoanele de colenchim sunt mai groase (Fig. 87).

### **Pedunculul inflorescenței**

Conturul secțiunii transversale este neregulat-polygonal-costat, cu coaste foarte proeminente. Structura este asemănătoare cu cea a tulpinii propriu-zise, în treimea sa superioară, cu deosebirea că cea mai mare parte din măduvă se dezorganizează, rezultând un canal aerifer central larg.

Structura fasciculelor conducătoare este doar primară, fără cordoane de colenchim la periferia liberului. În plus, față de tulpina propriu-zisă, razele medulare sunt parenchimatic-celulozice, iar printre fasciculele libero-lemnoase normale se află unele foarte mici, formate numai din floem. Procesul de lignificare a vaselor de lemn este mai slab, iar elementele de sclerenchim sunt prezente pe flancurile xilemului unor fascicule conducătoare.





Fig. 77



Fig. 78

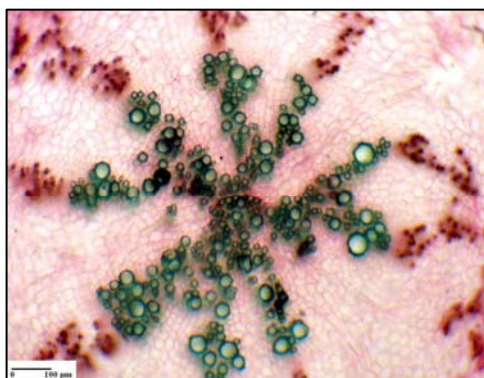


Fig. 79

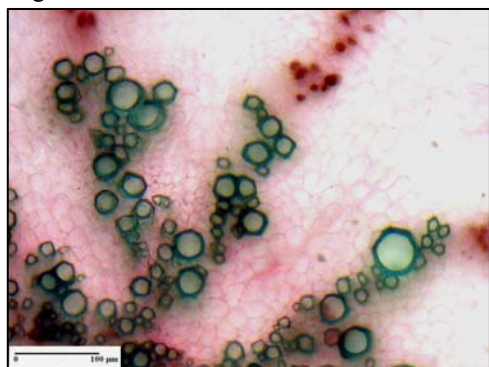


Fig. 80

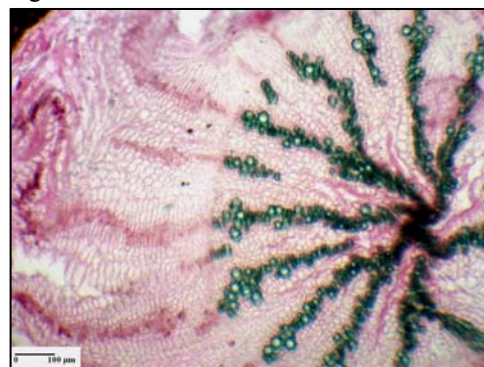


Fig. 81

*Scorzonera cana*. Secțiuni transversale prin rădăcină, treime inferioară (Fig. 77-78), treime mijlocie (Fig. 79, 80) și treime superioară (Fig. 81).





Fig. 82

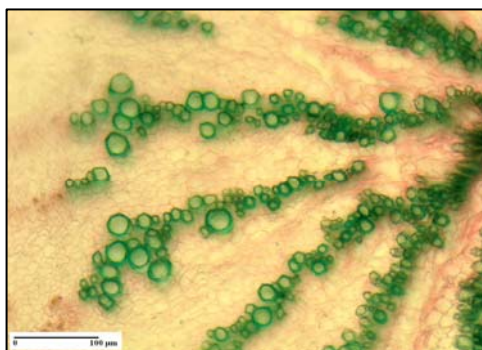


Fig. 83



Fig. 84

*Scorzonera cana*. Secțiuni transversale prin rizom (Fig. 82, 83) și prin tulpina aeriană, treime superioară (Fig. 84).

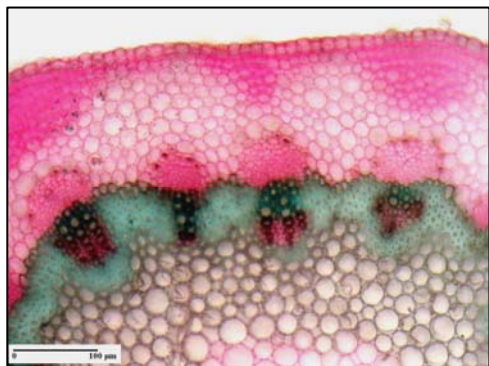


Fig. 85

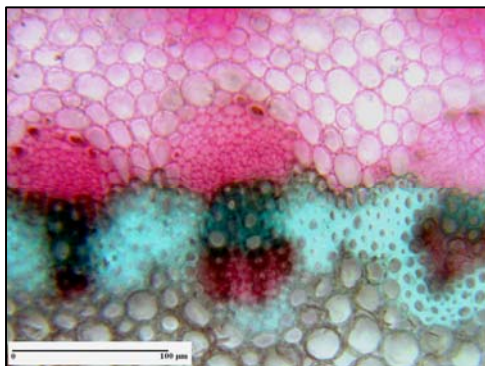


Fig. 86

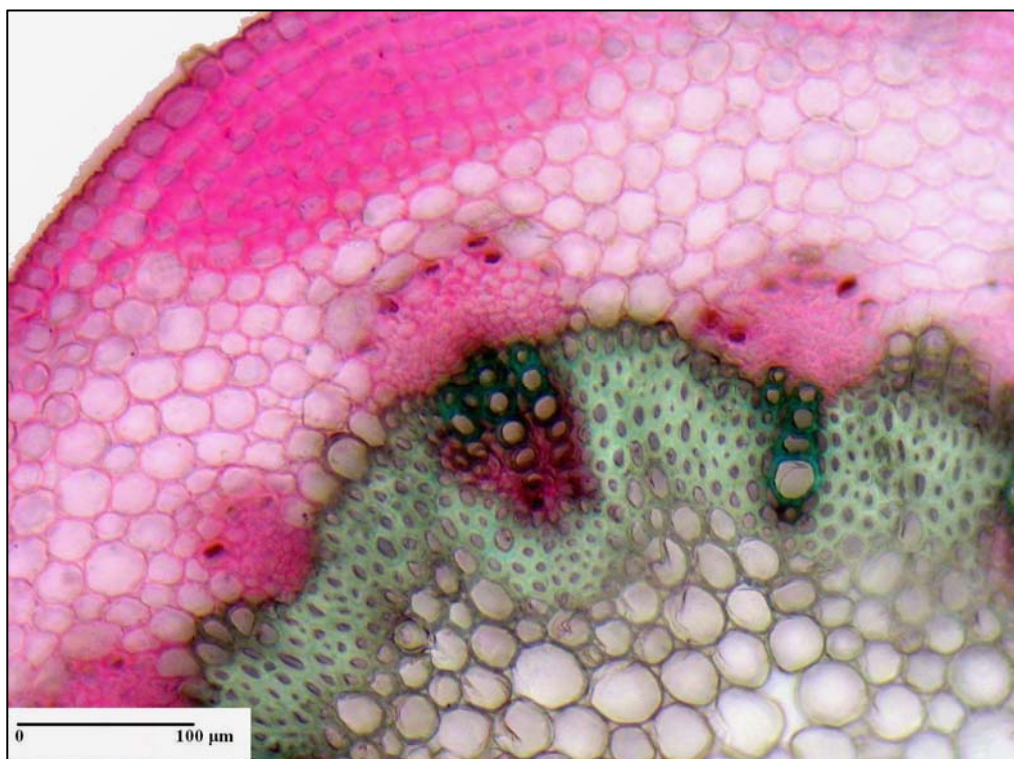


Fig. 87

*Scorzonera cana*. Secțiuni transversale prin tulpina aeriană, treime mijlocie (Fig. 85, 86) și treime inferioară (Fig. 87).

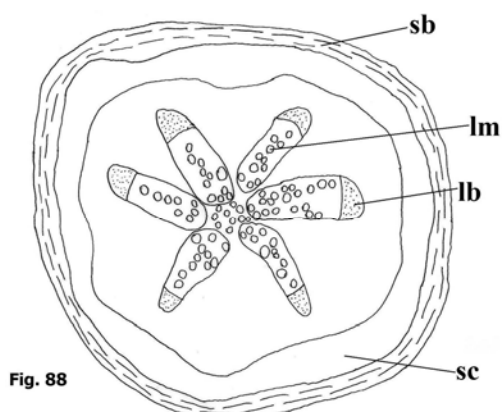


Fig. 88

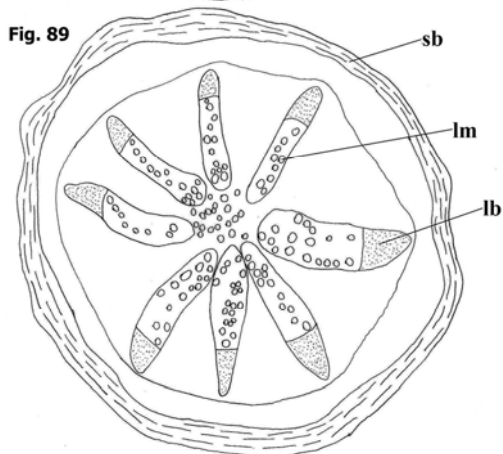


Fig. 89

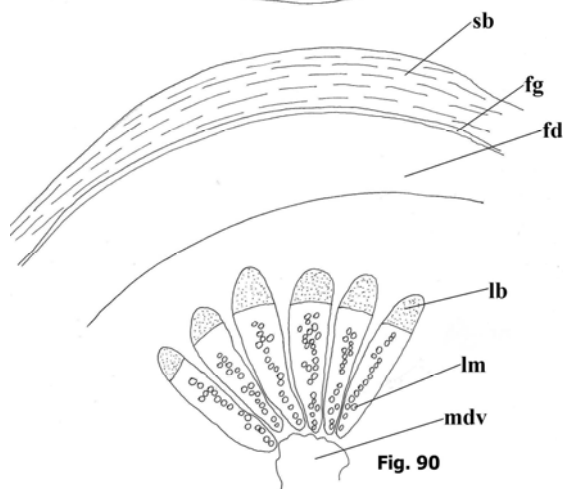
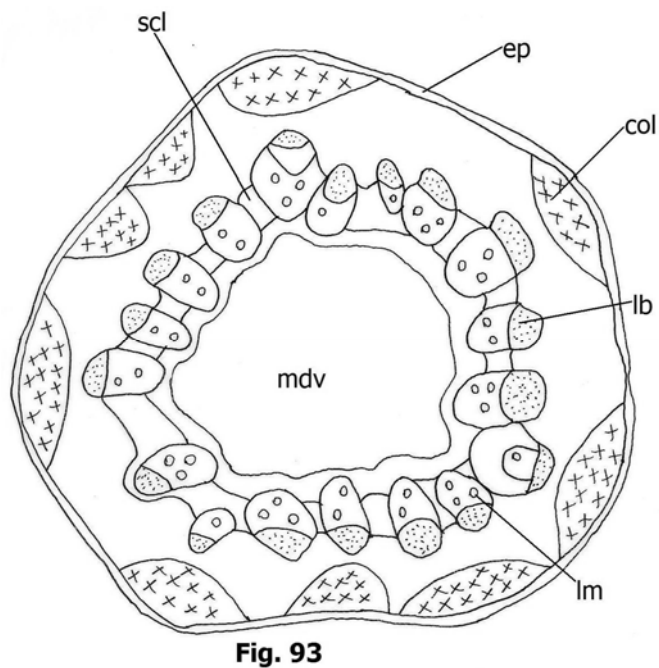
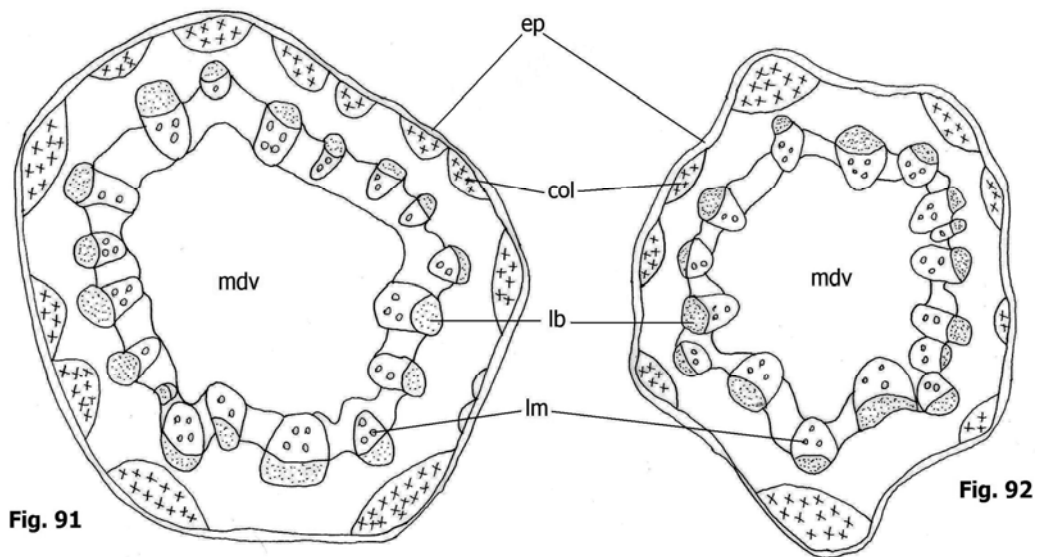


Fig. 90

*Scorzonera cana*. Secțiuni transversale prin rădăcină – treime inferioară (Fig. 88), treime mijlocie (Fig. 89) și prin rizom (Fig. 90): scheme.



*Scorzonera cana*. Secțiuni transversale prin tulpina aeriană, treime mijlocie (Fig. 91), treime superioară (Fig. 92) și treime inferioară (Fig. 93).

### **Frunza (Fig. 94-108)**

**Epiderma văzută de față.** La fața superioară a limbului (Fig. 94, 102) este formată din celule poligonale, cu pereții laterali drepecți; din loc în loc se găsesc stomate de tip anomocitic. În lungul nervurilor, celulele sunt mai mari, cu pereții laterali mai groși, iar stomatele lipsesc. La marginile limbului, unele celule sunt papiliforme.

La fața inferioară a limbului (Fig. 95, 101), unele celule au pereții laterali curbați, iar în lungul nervurilor celulele sunt mai lungi și mai înguste.

Stomatele sunt prezente în ambele epiderme, deci limbul este amfistomatic.

În secțiune transversală prin limb, treimea superioară, (Fig. 96, 97) limbul are forma literei „V”. Ambele epiderme au unele celule alungite tangențial (Fig. 96), cu peretele extern mult mai gros decât ceilalți și acoperit de cuticulă. Stomatele sunt localizate la nivelul celulelor epidermice (Fig. 97). Mezofilul este de tip palisadic la ambele fețe, deci limbul are o structură bifacială izofacială.

Nervura mediană proemină vizibil la fața inferioară a limbului, unde se află și un strat de colenchim hipodermic în dreptul unicului fascicul conducător libero-lemnos.

În treimea mijlocie (Fig. 98, 99) conturul secțiunii transversale se menține același și nervura mediană cuprinde 3 fascicule conducătoare, din care cel mijlociu este mult mai mare; în dreptul lui, către epiderma superioară se schițează o cavitate aeriferă relativ largă.

Mezofilul rămâne de tip palisadic (Fig. 98) sub ambele epiderme. La marginile limbului, unele celule epidermice sunt papiliforme, iar stratul hipodermic este colenchimatizat.

Țesutul palisadic prezent sub ambele epiderme este în concordanță cu poziția frunzelor din rozeta bazală; acestea au o orientare aproape paralelă cu tulpina, ceea ce explică intervenția clorenchimului în exploatarea optimă a luminii, așa cum am arătat într-un studiu anterior (Grigore, Toma, 2007c).

În plus, chiar rozeta de frunze bazale se pare că este o strategie adaptativ-ecologică în sine a halofitelor care au această trăsătură morfologică. Albert (1975) a arătat că la aceste specii, care au capacitatea de a-și reînnoi continuu rozeta bazală pe perioada de creștere, se înregistrează doar modificări nesemnificative ale conținutului de apă odată cu înaintarea în vârstă. Acest autor a presupus că îndepărtarea frunzelor saturate în săruri

este strategia principală la acest tip de plante. Este un mecanism efectiv reglator al conținutului de săruri, prezent la mai multe specii de halofite (Stocker, 1933; Steiner, 1934; Waisel, 1972; Kreeb, 1974). Concentrația de săruri crește treptat în frunze, o dată cu înaintarea în vârstă, până ce frunzele se îngălbenesc. Este posibil ca elementele chimice esențiale (N, P, K) să fie într-o oarecare măsură îndepărtate și retranslocate în frunzele tinere, aflate în continuă creștere. S-a demonstrat că îmbătrânirea frunzelor poate fi accelerată de un conținut ridicat de săruri. N-ar fi exclus ca un asemenea „turnover” foliar să fie, în absența altor mecanisme adaptative ușor decelabile, principalul mecanism de rezistență al acestei specii pe sărături uscate, acolo unde am întâlnit-o de fiecare dată.

Oricum, această specie este caracterizată ca una mezofilă, dar și xerofilă și mai puțin higrofilă, heliofilă, net și puternic alcalinofilă, de la slab la foarte puternic euhalofilă (Bucur și colab., 1960).

Prodan (1922) asocia și el specia cu locurile uscate, expuse soarelui, caracterizând-o astfel: „îl găsim în floare de prin mai până toamna târziu, chiar și pe *căldura cea mai mare, când totul se uscă*. Provine prin locuri ierboase, fânațe expuse soarelui. E foarte variu și vânos<sup>18</sup>”.

**În treimea inferioară**, conturul secțiunii transversale devine mai mult sau mai puțin semilunar, cu un șanț adaxial larg, dar superficial.

Nervura mediană proemină puțin la fața inferioară și prezintă 2 straturi de colenchim hipodermic în dreptul unicului fascicul conducător (Fig. 100); în dreptul acestuia se menține cavitatea aeriferă de la fața adaxială (Fig. 99).

Mezofilul se menține de tip palisadic la ambele fețe, dar celulele sunt mai joase decât la nivelul anterior analizat; pe alocuri, palisada de la fața inferioară este bistratificată.

<sup>18</sup> Datorită părților subterane bine dezvoltate; exprimarea este la genul masculin, deoarece autorul folosea taxonomia epocii, fiind vorba de genul sinonim *Podospermum* (n.n.).





Fig. 94

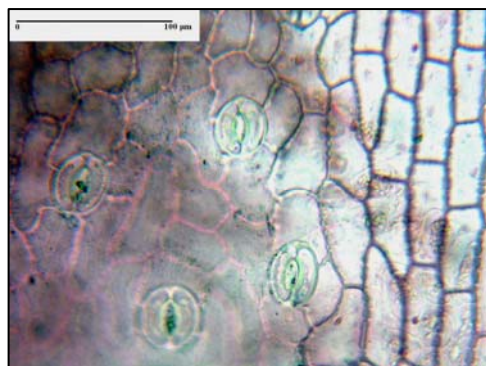


Fig. 95

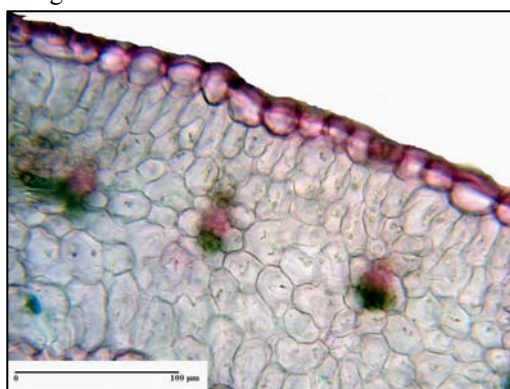


Fig. 96



Fig. 97

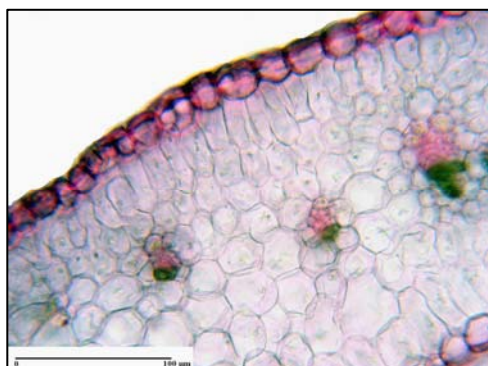


Fig. 98

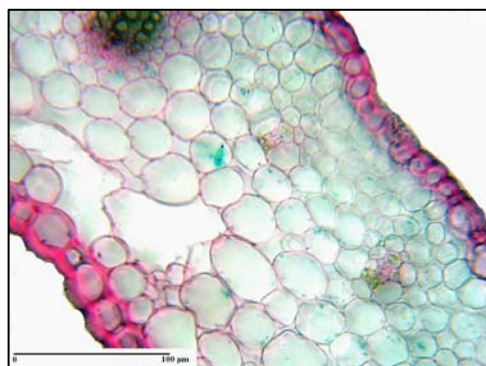


Fig. 99

*Scorzonera cana*. Epiderma limbului foliar, superioară (Fig. 94) și inferioară (Fig. 95), văzută de față și secțiuni transversale prin limbul foliar, treime superioară (Fig. 96, 97) și treime mijlocie (Fig. 98, 99).

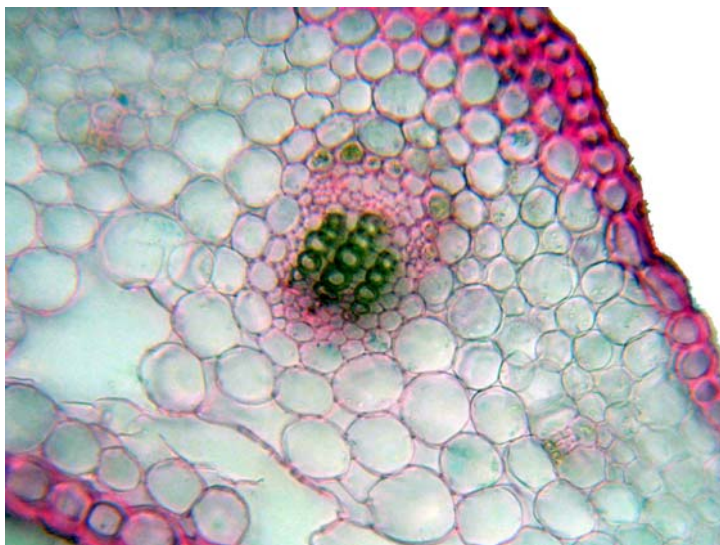


Fig. 100

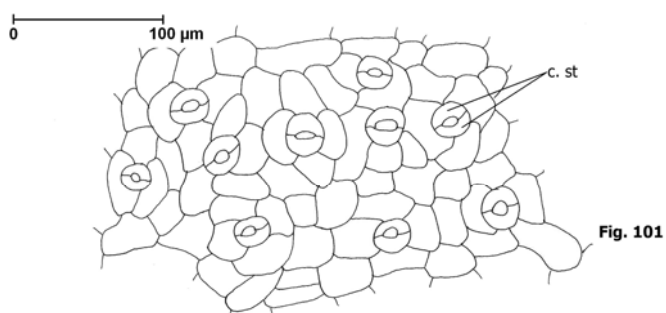


Fig. 101

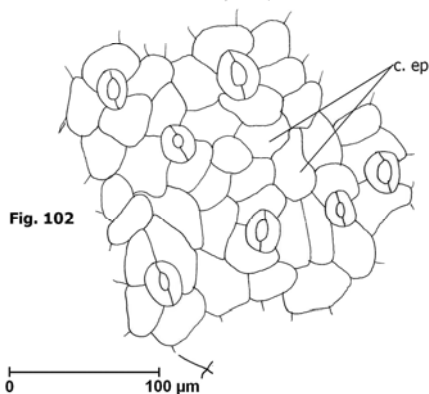


Fig. 102

*Scorzonera cana*. Secțiune transversală prin limbul foliar, treime inferioară (Fig. 100) și epiderma inferioară (Fig. 101) și superioară (Fig. 102), văzute de față.



**Familia *Brassicaceae******Lepidium cartilagineum* (J. C. Mayer) Thell. ssp. *crassifolium* (Waldst. & Kit.) Thell.****Rădăcina** (Fig. 103, 104)

La nivelul analizat are structură tipic secundară, rezultată îndeosebi din activitatea cambiumului.

Felogenul produce puțin suber, cu celule puternic aplatizate radiar. La periferia lui se observă resturi din scoarța primară, parenchimatic-celulozică, în care sunt diseminate numeroase grupe de elemente sclerenchimatice (îndeosebi sclereide), dar mai puține decât în scoarța rizomului.

În cilindrul central, inelul de liber este mult mai subțire decât corpul lemnos, în grosimea lui fiind observate de asemeni grupe de elemente sclerenchimatice în masa fundamentală de parenchim liberian celulozic.

Corpul lemnos central este puternic parenchimatizat, în el fiind observate numeroase lame radiare, continue sau discontinue, de vase (Fig. 103) cu diametru diferit, având pereți groși și intens lignificați (Fig. 104). În axul rădăcinii, vasele au diametru mai mic și celulele de parenchim lemnos lipsesc.

Regiunea rădăcinii din imediata vecinătate a rizomului are un număr mai mare de vase, dispuse în numeroase lame radiare, continue sau discontinue, uneori sinuoase, cele mai multe fiind convergente în axul organului.

**Rizomul** (Fig. 105, 106)

Așa cum am arătat într-o lucrare publicată recent (Grigore și Toma, 2008a), observațiile noastre histo-anatomice completează în primul rând precizările care se fac în *Flora R. P. R.* (1955), volumul III, cu referire la caracterul de perenitate al speciei investigate de noi. Deși se precizează că este o plantă perenă, nu se menționează nimic privitor la organul care asigură perenitatea acestei specii, deci la rizom.

Conturul secțiunii transversale este regulat-costat.

La periferia organului se află o peridermă reprezentată prin mai multe straturi de suber (cu celule aplatizate radiar) și câteva straturi de feloderm. Pe alocuri se observă încă aderențe ale scoarței primare și chiar resturi din epidermă, formată din celule izodiametrice cu peretele extern mai gros decât ceilalți și complet cutinizat. În aceleași locuri este vizibilă, sub epidermă, prezența unui țesut sclerenchimatic format din fibre cu pereții extrem de groși, dar cu peretele secundar nelignificat.

Țesuturile conducătoare formează două inele concentrice de grosime asemănătoare, ambele rezultate din activitatea cambială.

Inelul de liber cuprinde o zonă conducătoare (tuburi ciuruite și celule anexe) în vecinătatea lemnului și o zonă groasă, externă, parenchimatică, în care sunt diseminate numeroase insule (cordoane) de fibre sclerenchimatice, de mărime diferită, fibre care au pereții extrem de îngroșați, dar nelignificați (Fig. 105).

Inelul de lemn cuprinde o zonă internă ce trimite lame radiare adânci în măduvă și o zonă externă, parenchimatică, în care sunt diseminate lame de vase. În ambele categorii de lame xilemice predomină libriformul (fibre cu pereți foarte groși și intens lignificați) (Fig. 106), în care vasele sunt dispersate neregulat.

Măduva este relativ groasă, parenchimatic-celulozică, în ea observându-se mai multe grupe de elemente cu pereții moderat îngroșați și lignificați.

Țesuturile parenchimatice din toate zonele anatomice prezintă celule amilifere.

### **Tulpină aeriană, treime superioară (Fig. 107, 110)**

Conturul secțiunii transversale este regulat-eliptic.

Epiderma prezintă celule izodiametrice, cu peretele extern mai îngroșat decât ceilalți și acoperit de o cuticulă relativ groasă.

Scoarța este parenchimatic-celulozică, de tip meatic, în ea observându-se câteva fascicule conducătoare atipice, cu fibre sclerenchimatice la ambii poli.

Cilindrul central cuprinde numeroase fascicule conducătoare, de mărime diferită, toate separate de raze medulare puternic sclerificate și moderat lignificate. Toate fasciculele prezintă la periferia liberului câte un cordon relativ subțire de fibre sclerenchimatice cu pereții moderat lignificați (Fig. 107).

Liberul cuprinde tuburi ciuruite, celule anexe și foarte puține celule de parenchim, iar lemnul are vasele separate de parenchim celulozic la nivelul structurii primare și de libriform la nivelul structurii secundare; aici vasele sunt mai rare.

Toate fibrele sclerenchimatice, indiferent de poziția lor, au pereții extrem de îngroșați, dar parțial lignificați.

Măduva este groasă, parenchimatic-celulozică, de tip meatic.

### **Tulpină aeriană, treime mijlocie (Fig. 108, 111)**

Conturul secțiunii transversale este circular, cu câteva coaste puternic atenuate.

Structura este asemănătoare cu cea de la nivelul anterior analizat, cu următoarele deosebiri:

- toate fibrele sclerenchimatice (perifloemice, libriforme și din razele medulare) au pereții puternic îngroșați și lignificați (Fig. 108);
- lemnul este mult mai gros și împreună cu razele medulare formează un inel continuu, în care se observă clar diferența între lemnul primar (vase separate de parenchim-celulozic) și lemnul secundar (cu foarte mult libriform și vase dispuse în șiruri radiare discontinue);
- razele sclerificate și lignificate vin în contact cu cordoanele perifloemice de fibre sclerenchimatice, astfel încât liberul ne apare de tip insular aproape pe toată circumferința organului.

Măduva are celule cu pereții ușor lignificați în zona sa centrală.

### **Tulpină aeriană, treime inferioară (Fig. 190, 112)**

Față de nivelurile superior și mijlociu, tulpina prezintă o măduvă complet lignificată (Fig. 109), iar liberul este de tip insular pe toată circumferința organului.



Fig. 103

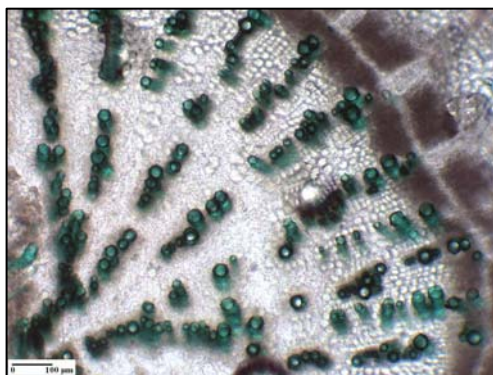


Fig. 104

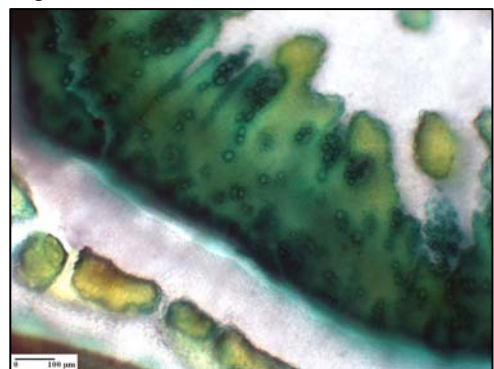


Fig. 105

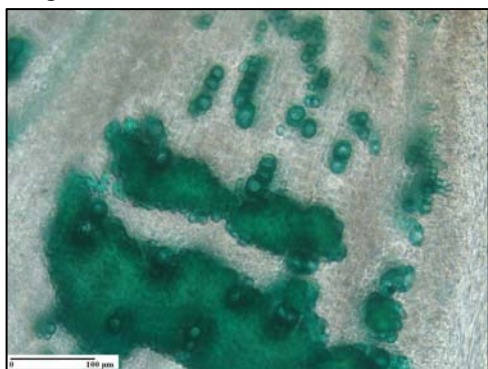


Fig. 106

***Lepidium crassifolium*.** Secțiuni transversale prin rădăcină (Fig. 103-104); și prin rizom (Fig. 105-106).

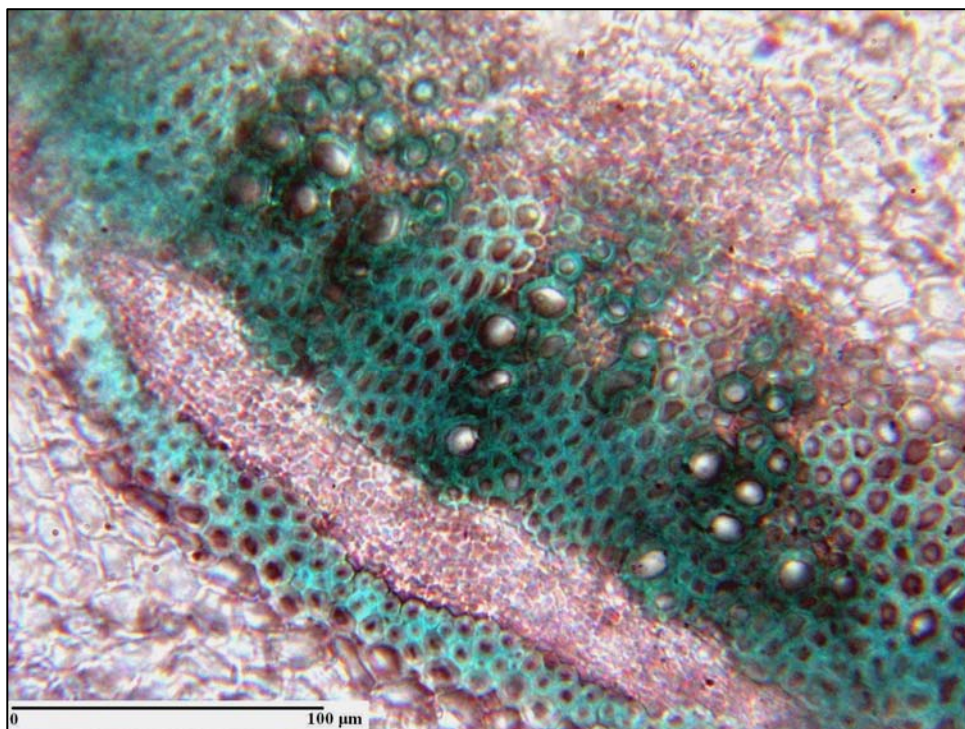


Fig. 107

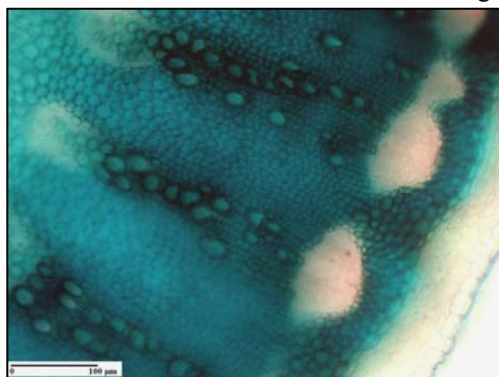


Fig. 108

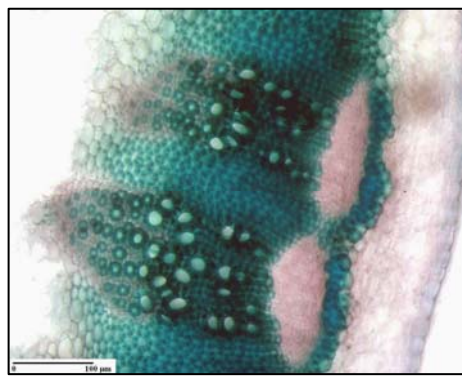


Fig. 109

***Lepidium crassifolium*.** Secțiuni transversale prin tulpina aeriană – treime superioară (Fig. 107), treime mijlocie (Fig. 108) și treime inferioară (Fig. 109).

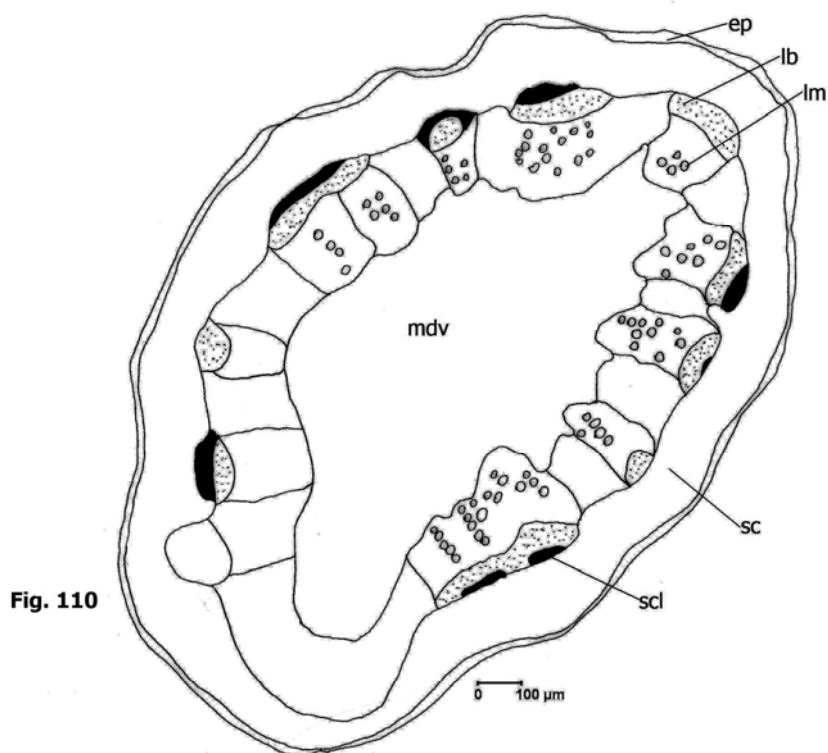


Fig. 110

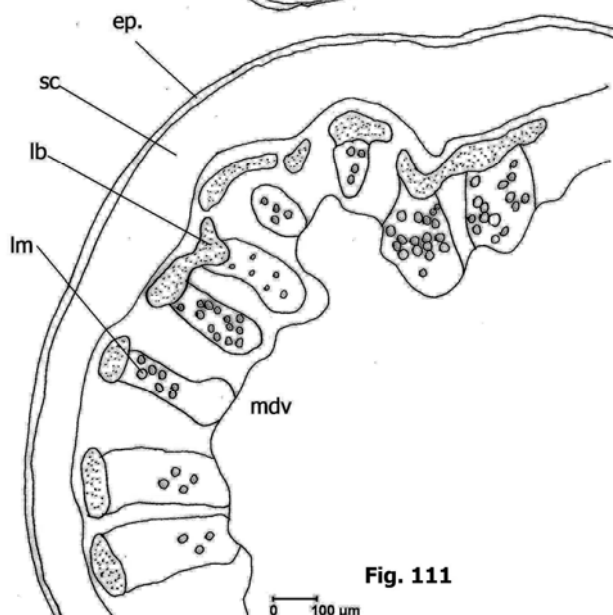
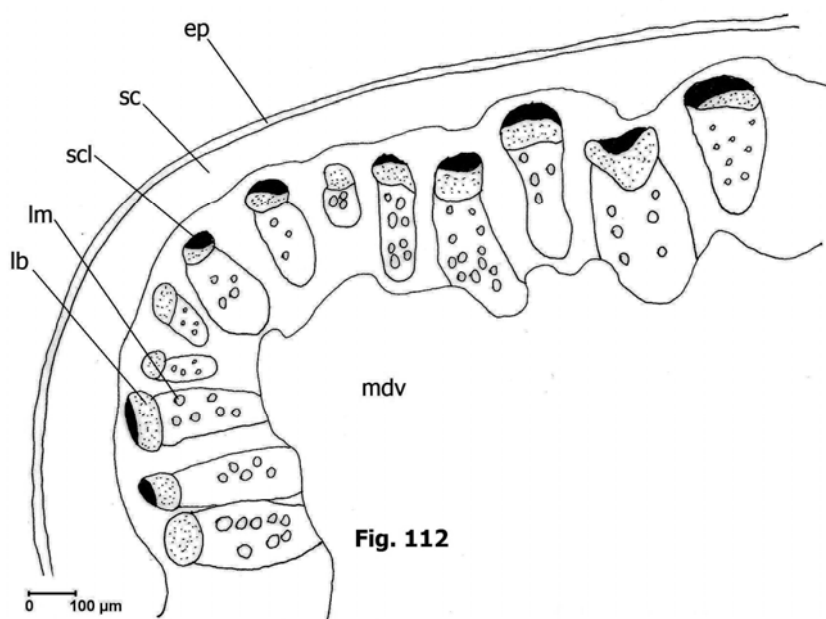


Fig. 111

*Lepidium cartilagineum*. Secțiuni transversale prin tulpină, treime superioară (Fig. 110) și treime mijlocie (Fig. 111): scheme.



*Lepidium cartilagineum*. Secțiune transversală prin tulpină, treime inferioară (Fig. 112): schemă.

## Frunza

### Petioulul (Fig. 113, 114)

Conturul secțiunii transversale este semilunar, cu un șanț adaxial foarte larg și puțin adânc.

Epiderma prezintă celule izodiametrice, cu peretele extern mult mai gros decât ceilalți, dar acoperit de o cuticulă subțire.

În poziție hipodermică se află un strat de celule colenchimatizate (Fig. 114).

În parenchimul fundamental, de tip meatic, se află numeroase fascicule conducătoare (aproximativ 25), de dimensiuni diferite, alternând unele foarte mici cu altele mari și foarte mari, ultimele două categorii având câte un cordon de fibre sclerenchimatice (cu pereții extrem de groși și lignificați) la ambii poli (Fig. 113).

Liberul cuprinde tuburi ciuruite și celule anexe, iar lemnul are vase dispersate neregulat și separate de celule de parenchim celulozic.

Fasciculele cele mai mici au puține vase de lemn și doar câteva fibre sclerenchimatice, perifloemice și chiar perixilemice.

**Limbul** (Fig. 115, 116, 117)

**Epiderma văzută de față** prezintă celule de contur poligonal, cu pereții laterali drepecți. Stomatele, de tip anizocitic, sunt numeroase pe unitatea de suprafață și prezente pe ambele fețe ale limbului, deci acesta este amfistomatic.

În **secțiune transversală** (Fig. 115, 116, 117), nervura mediană proemină slab la fața inferioară a limbului și cuprinde câteva (5-6) fascicule conducătoare, dintre care unul foarte mare, cu fibre sclerenchimatice la ambii poli (Fig. 115); astfel de fascicule, dar de mărime intermediară, se află pe toată lățimea limbului.

Epiderma prezintă celule izodiametrice, cu pereții intern și extern mult mai groși decât cei laterali; peretele extern este acoperit de o cuticulă relativ groasă. Din loc în loc se observă stomate.

Mezofilul este de tip palisadic (2-3 straturi) sub ambele epiderme (Fig. 116, 117), între cele două palisade se află 2-3 straturi de celule izodiametrice, formând țesutul lacunos. Deci limbul are o structură bifacială ecvifacială. O asemenea structură a fost evidențiată și la alte specii de *Brassicaceae*, cum ar fi *Cakile maritima* sau *Eryngium maritimum* (Toma, Flenchea -Teodorescu, Rășcanu, Zaharia, 1979) sau la *Lepidium ruderales* (Chermeson, 1910). O asemenea structură, cu celule palisadice înalte, poate conferi un relativ caracter de succulență frunzelor.

Ceea ce atrage în mod deosebit atenția este numărul extrem de mare de fascicule conducătoare, de mărime foarte diferită, cele mai mici fiind lipsite de fibre sclerenchimatice la cei doi poli.

Această specie rară este una mezofilă către higrofilă, puternic alcalinofilă, de la potrivit la puternic euhalofilă. Crește pe grinduri ușoare de luncă sau de coastă, pe lăcoviști adânc salinizate, uscate vara la suprafață (Bucur și colab., 1960). Șerbănescu (1965) o încadra în categoria halofitelor de asociații sodice, iar solul pe care vegetează este bogat în apă, cu un pH de 9-10. Noi am recoltat-o de pe un sol nisipos-argilos, bogat în apă, dar cu un regim hidric fluctuant, uneori fiind posibilă chiar o perioadă de uscăciune. Dar credem că specia este mai degrabă legată de umiditate crescută în sol, ceea ce se explică prin prezența indivizilor în apropierea zonelor umede din apropierea sursei de apă; în plus, în regiunile mai înalte și mai uscate nu am întâlnit-o deloc.

Și Prodan (1922) era de aceeași părere și anume că planta are nevoie de un oarecare grad de umezeală. Firește, adaptarea unei specii nu se rezumă numai la trăsăturile ei morfo-anatomice. Pentru specia investigată de noi s-a înregistrat un conținut ridicat de prolină în frunze, care activează ca un compus osmotice activ în citoplasmă („osmolyte”) (Mile et al., 2002), ceea ce permite o mai bună toleranță la săruri.





Fig. 113

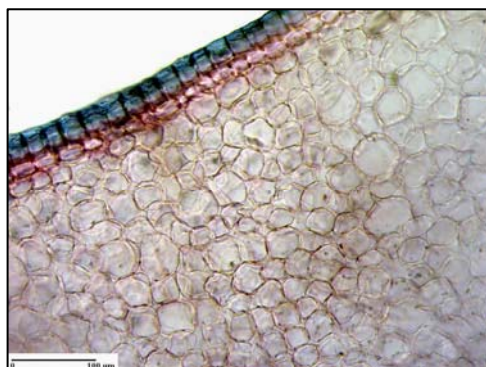


Fig. 114



Fig. 115

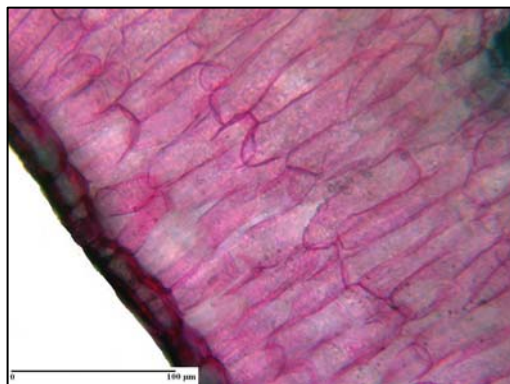
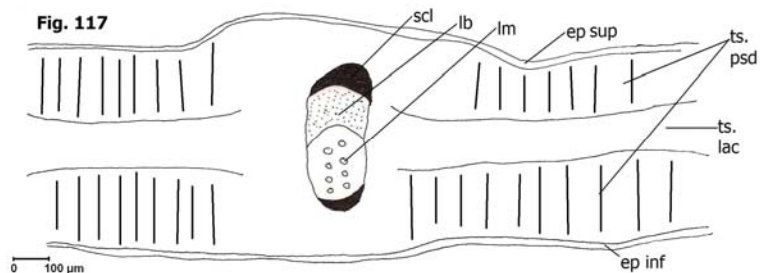


Fig. 116



***Lepidium crassifolium*.** Secțiuni transversale prin pețiol (Fig. 113-114) și prin limbul foliar (Fig. 115, 116, 117).



## ***Lepidium latifolium* L.**

### **Rizomul** (Fig. 118, 119, 120, 124)

Observațiile noastre histo-anatomice completează în primul rând precizările care se fac în *Flora R. P. R.* (1955), volumul III, cu referire la caracterul de perenitate al speciei pe care am investigat-o. Deși se precizează că este o plantă perenă, nu se menționează nimic privitor la organul care asigură perenitatea plantei, adică la rizom. Noi am evidențiat și analizat, deci, din punct de vedere histo-anatomic și rizomul la această specie.

Structura secundară este rezultatul activității ambelor meristeme laterale.

Felogenul, diferențiat în poziție hipodermică, produce o pătură relativ groasă (5-6 straturi) de suber și o pătură mai subțire (3 straturi) de feloderm moderat colenchimatizat tangențial. La periferia suberului sunt vizibile încă, pe alocuri, aderențe ale epidermei.

În grosimea parenchimului cortical, de tip celulozic și meatic, sunt dispersate numeroase grupe de elemente sclerenchimatice, cu pereții extrem de îngroșați și intens lignificați (Fig. 120); rareori aceste elemente mecanice sunt solitare, dispersate dezordonat.

Pe seama activității cambiumului a rezultat un inel relativ subțire de liber secundar (în contact cu el aflându-se cele mai interne grupe de elemente sclerenchimatice) și un inel gros de lemn secundar.

În inelul de liber secundar se disting zone radiare de elemente conducătoare (unele cu pereți colenchimatiizați), separate de raze medulare largi, parenchimatice-celulozice, ale căror celule au o dispoziție strict radiară; toate zonele liberiene se află în dreptul cordoanelor interne de elemente sclerenchimatice (Fig. 118).

În inelul gros de lemn secundar, vasele sunt solitare ori grupate puține la un loc la partea internă a inelului, într-un parenchim celulozic bogat (Fig. 119), sau sunt împlântate într-o masă compactă de libriform; acesta din urmă formează două inele concentrice spre exterior, separate de o zonă subțire de parenchim celulozic, în care sunt dispersate și câteva vase. La fața internă a inelului de lemn secundar sunt prezente numeroase cordoane de elemente sclerenchimatice, dispuse de asemenea concentric, dar separate de parenchim celulozic cu puține vase.

Toate fibrele libriformului au pereți puternic îngroșați, dar mai puțin lignificați decât elementele mecanice din scoarță.

Măduva este relativ groasă, parenchimatice-celulozică, de tip meatic.

**Tulpină aeriană, treime superioară (Fig. 121, 125)**

La acest nivel s-a trecut deja la structura secundară, dar numai pe seama cambiumului.

Epiderma are celulele acoperite de o cuticulă subțire; din loc în loc se observă puține stomate, cu cameră suprastomatică puțin adâncă.

Parenchimul cortical este relativ compact și format din celule mici; celulele stratului intern sunt mai mari, alungite tangențial, amintind de un endodermoid.

Fasciculele conducătoare prezintă la periferia liberului câte un cordon subțire de fibre sclerenchimatice cu pereții moderat îngroșați, dar nelignificați (Fig. 121).

Cea mai mare parte a lemnului este de origine primară, vasele fiind separate de parenchim celulozic; spre liber, lemnul este deja de origine secundară, în el predominând libriformul puternic sclerificat, dar nelignificat; doar la contactul direct cu liberul se află un arc concav de elemente cu pereții moderat sclerificați și intens lignificați.

Razele medulare sunt puternic sclerificate, dar nelignificate.

**Tulpină aeriană, treime mijlocie (Fig. 122, 126)**

Celulele epidermice sunt adesea izodiametrice, dar acoperite de o cuticulă groasă.

Cordoanele de sclerenchim perifloemic au puține fibre, cu pereții mai subțiri și foarte slab lignificați (Fig. 122).

Țesuturile conducătoare sunt de tip fascicular, deși au început de structură secundară.

**Tulpină aeriană, treime inferioară (Fig. 123, 127)**

Structura este secundară, dar rezultată numai din activitatea cambiumului.

Epiderma prezintă celule de grosime diferită, toate fiind ușor alungite tangențial, cu pereții intern și extern mai îngroșați decât ceilalți, peretele extern este acoperit de o cuticulă relativ groasă. Din loc în loc se observă stomate, cu o cameră suprastomatică puțin adâncă.

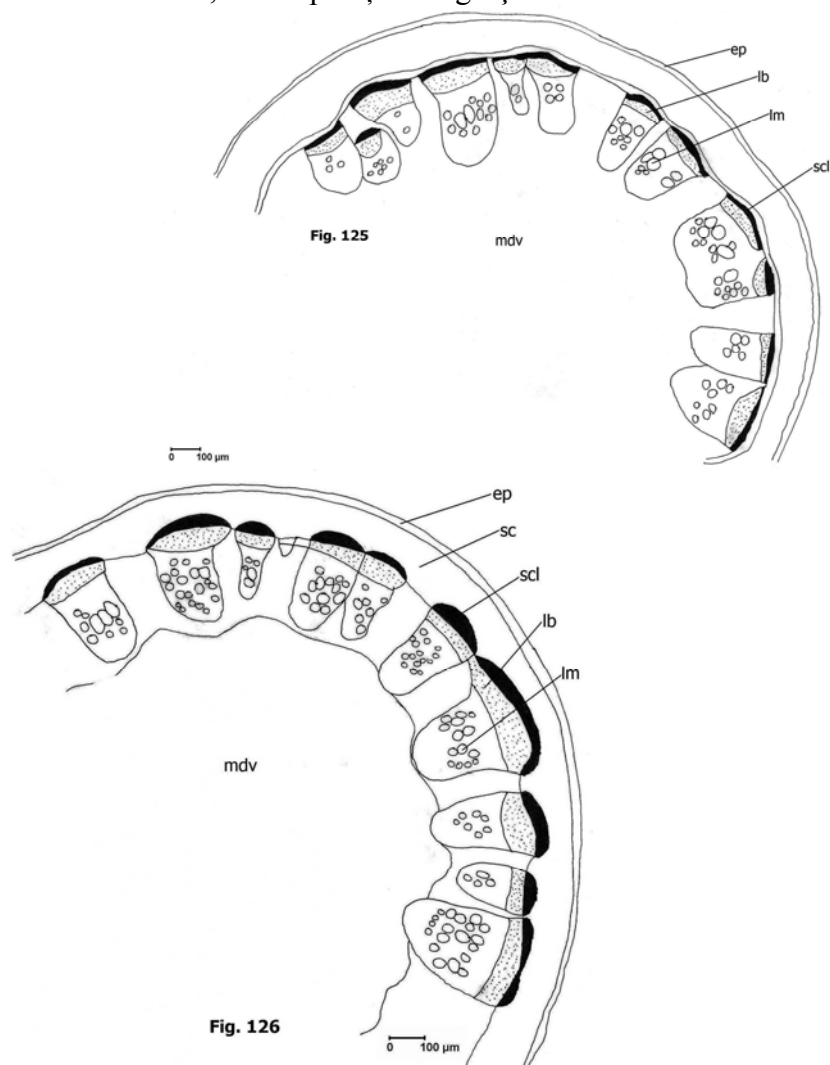
Scoarța este subțire, cu celule mici, cele de la periferia cordoanelor de sclerenchim perifloemic fiind vizibil aplatizate radier.

Din activitatea cambiumului a rezultat un inel relativ subțire de liber secundar, străbătut de numeroase raze medulare parenchimatice-celulozice, care fac ca liberul propriu-zis să ne apară de formă fasciculară, având la periferie câte un cordon de fibre sclerenchimatice cu pereții foarte puternic îngroșați și lignificați (Fig. 123).

Inelul de lemn secundar este mult mai gros, în el predominând libriformul, intens sclerificat și lignificat.

În grosimea inelului de lemn secundar alternează zone radiare în care predomină vasele separate de zone formate numai din libriform. La fața internă a zonelor radiare de vase și de libriform este vizibil lemnul primar, cu vase de calibru mai mic și separate de celule de parenchim celulozic. La fața internă a lemnului primar se disting cordoane subțiri de fibre sclerenchimatice.

Măduva este foarte groasă, parenchimatic-lignificată, de tip meatic sau de tip lacunos, pereții celulelor fiind moderat îngroșați. În grosimea măduvei sunt vizibile mai multe raze parenchimatic- lignificate, dar cu celule mai mari, având pereții mai groși.



*Lepidium latifolium* Secțiune transversală prin tulpina aeriană, treime superioară (Fig. 125) și treime mijlocie (Fig. 126): scheme.

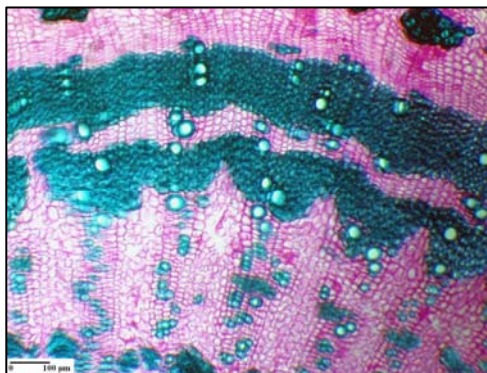


Fig. 118



Fig. 119

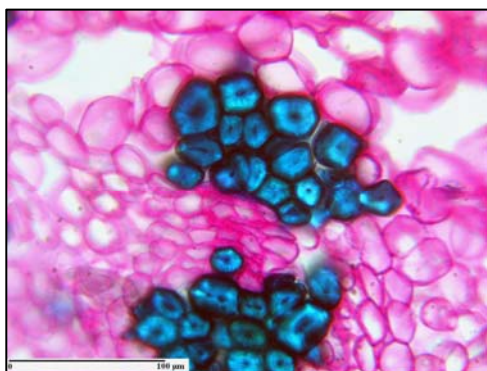


Fig. 120



Fig. 121



Fig. 122

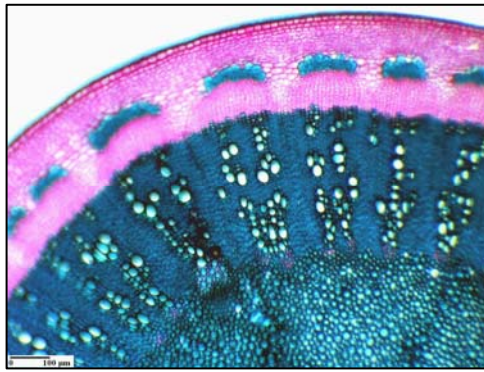
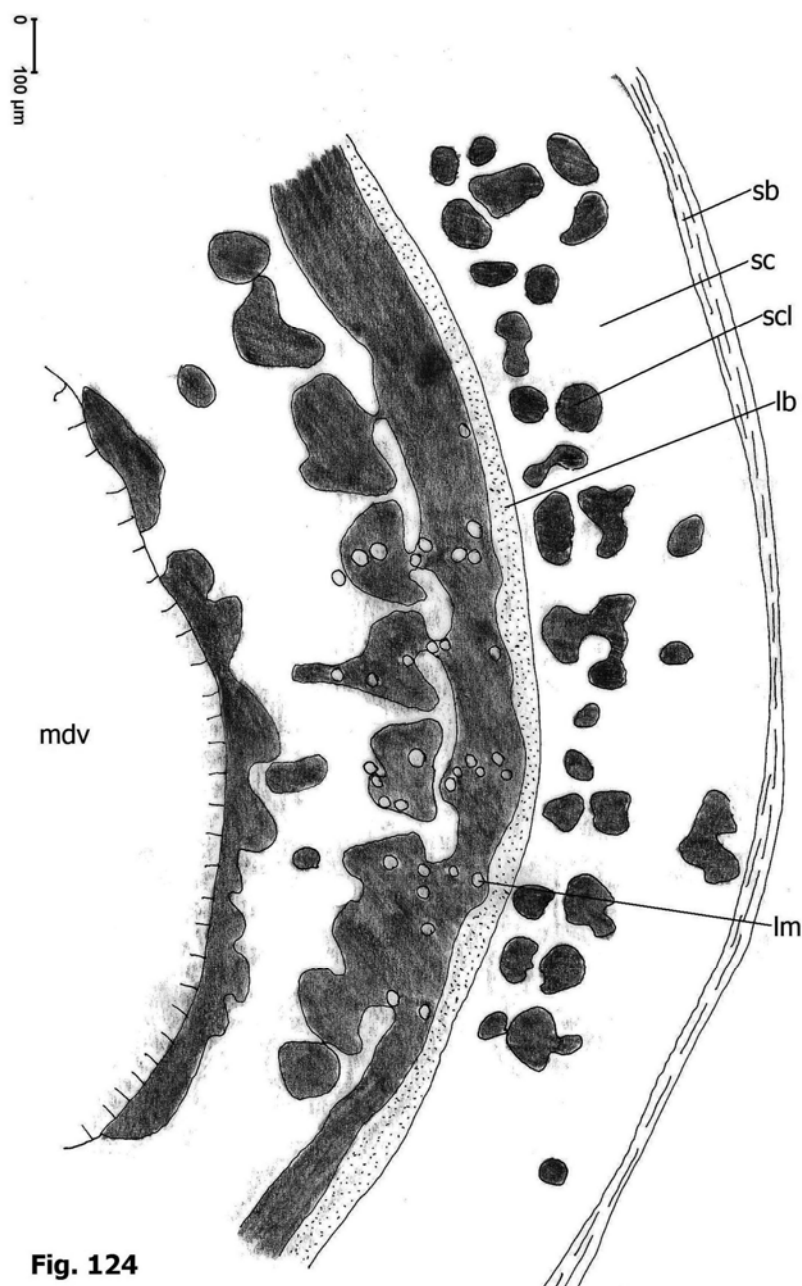


Fig. 123

***Lepidium latifolium*.** Secţiuni transversale prin rizom (Fig. 118, 119, 120) şi prin tulpină aeriană, treime superioară (Fig. 121), treime mijlocie (Fig. 122) şi treime inferioară (Fig. 123).



*Lepidium latifolium*. Secțiune transversală prin rizom (Fig. 124): schemă.

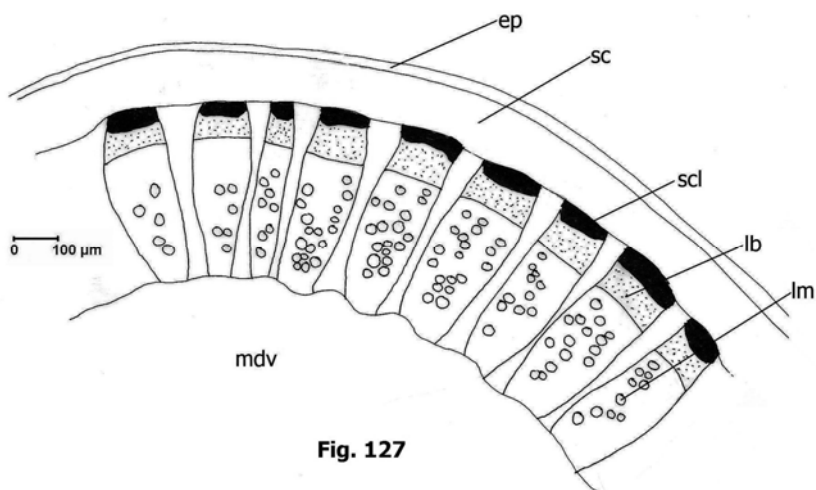


Fig. 127

*Lepidium latifolium*. Secțiune transversală prin tulpina aeriană, treime inferioară (Fig. 127): schemă.

## Frunza

### Limbul (Fig. 128-135)

**Epiderma văzută de față** (Fig. 134) este formată din celule de contur poligonal, cu pereții laterali drepecți ori slab curbați. Stomatele sunt de tip anizocitic, localizate în ambele epiderme, deci limbul este amfistomatic; suprafața celulelor epidermice este traversată de numeroase striuri cuticulare. În lungul nervurilor, celulele sunt mai lungi, cu striuri cuticulare mai vizibile.

**În secțiune transversală, treime superioară** (Fig. 128, 129, 135), nervura mediană proemină foarte puțin la fața inferioară a limbului și prezintă un fascicul conducător mare, cu structură primară, având vasele cu pereții nelignificați; la cei doi poli se află câte 1-2 straturi de fibre sclerenchimatice cu pereții îngroșați, dar nelignificați (Fig. 128). Ambele epiderme au celule cu peretele extern foarte gros și acoperit de cuticulă.

Nervurile laterale, de diferite ordine, sunt mai mici, cu foarte puține vase de lemn și cu puține fibre sclerenchimatice la polul liberian (doar la fasciculele mai mari). Între nervurile laterale, celulele epidermice sunt mai alungite tangențial, cu pereții intern, dar mai ales extern, vizibil îngroșați.

Subliniem în mod deosebit grosimea ieșită din comun a peretelui epidermic extern, acoperit de o cuticulă striată, pe toată suprafața frunzei (Fig. 128).

Mezofilul este compact, aproape în întregime și la ambele fețe de tip palisadic (Fig. 129), dar cu celulele relativ joase. Doar la mijlocul mezofilului celulele dintre nervurile laterale sunt izodiametrice. Deci, limbul are o structură bifacială ecvifacială, cu mezofilul centric heterogen.

În ambele epiderme, stomatele au cameră suprastomatică vizibilă, iar coastele externe ale celulelor stomatice sunt puternic cutinizate.

Credem că acest caracter, stomatele afundate, reprezintă o ușoară xeromorfoză. Planta a fost recoltată din locuri mai înalte și mai uscate; așadar, factorii locali influențează trăsăturile morfo-anatomice și, uneori, comparații cu aceeași specie recoltată din altă stațiune pot fi utile, dar trebuie privite și cu prudență.

Iată care este părerea noastră: speciile cu un spectru ecologic larg (în speță eurihalofile) nu au adaptări foarte stricte și foarte bine individualizate în comparație cu halofitele obligatorii<sup>19</sup>, care au strategii precise, chiar unice, pentru a face față condițiilor vitrege de trai. Acesta este motivul pentru care adesea este foarte greu de caracterizat exact, didactic, o specie care nu aparține „extremelor” din punct de vedere ecologic<sup>20</sup>.

Aproape că putem formula o ipoteză privind adaptările histo-anatomice „extreme”: cu cât o specie este mai strict adaptată la un anumit factor de mediu și are un spectru ecologic mai restrâns, cu atât prezintă adaptări mai simple de evidențiat, mai clare și mai ușor de corelat cu funcția și rolul lor; specii intermediare, cu spectru ecologic mai larg, au trăsături anatomice mai „voalate”, mai vagi, mai puțin individualizate, exprimând tranziția între două „extreme”, între doi factori ecologici (deși, mai degrabă este vorba despre același factor, dar cu valori diferite). Ni se pare mai logic, altfel spus, ca un factor ecologic fluctuant, mediu ca intensitate sau constanță, să modeleze adaptări la fel de inconstante și vagi. Deși, ca preocupări pragmatice, poate că, din contră, aceste forme, să le spunem, „intermediare”, sunt mai pline de interes, datorită faptului că printre ele sunt specii care pot fi luate în calcul pentru ameliorarea sau exploatarea unor terenuri cu salinitate medie.

În **treimea mijlocie** (Fig. 130), nervura mediană proemină vizibil la fața inferioară și puțin la fața superioară a limbului. Fasciculul conducător

<sup>19</sup> Deși termenul de halofită „obligatorie” nu este foarte fericit ales, deși des uzitat (așa cum am discutat în lucrarea noastră – Grigore, 2008b), îl folosim pentru a face totuși distincția utilă între halofite care nu vegetează decât pe sărături puternice și cele cu un spectru ecologic mai larg, cum este și specia de față.

<sup>20</sup> Se știe că e mai simplu să se vorbească despre adaptările grupurilor ecologice „clasice”: hidrofitele au adaptări bine definite la mediul acvatic, xerofitele trădă adaptări la uscăciune etc.

median are vasele și fibrele mecanice de la cei doi poli cu pereții moderat îngroșați, dar nelignificați.

Ambele palisade sunt tristratificate, celulele straturilor hipodermice fiind ușor mai înalte (Fig. 130).

În **treimea inferioară** (Fig. 131, 132, 133), nervura mediană proemină și mai puternic la fața inferioară a limbului, iar de o parte și de alta a sa se află mai multe fascicule, între care două vizibil mai mari, toate cu cordoane de elemente sclerenchimatice la ambii poli (Fig. 131). Parenchimul din zona nervurii mediane este format numai din celule izodiametrice (Fig. 133).

La marginile limbului, celulele palisadice sunt mai joase (Fig. 132), formând doar 1-2 straturi, iar celulele epidermice au peretele extern mult mai gros. În plus, multe din fasciculele conducătoare laterale au fibre sclerenchimatice la ambii poli.

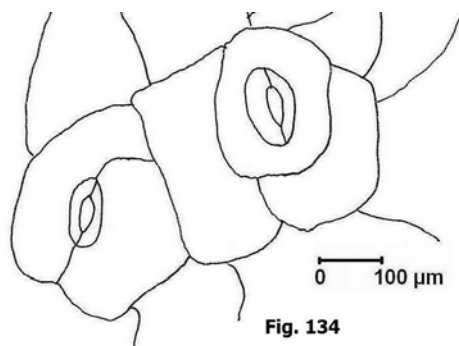


Fig. 134

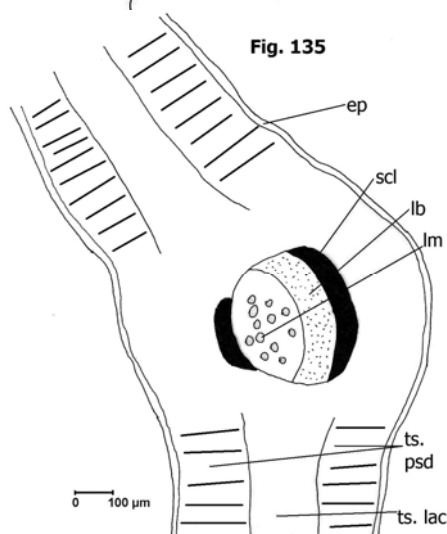


Fig. 135

*Lepidium latifolium*. Epiderma, văzută de față (Fig. 134) și secțiune transversală prin limbul foliar, treime superioară (Fig. 135): schemă.





Fig. 128



Fig. 129

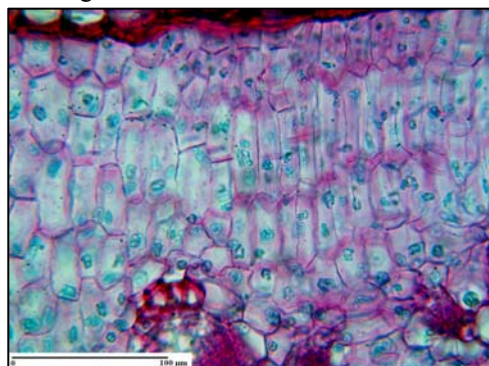


Fig. 130

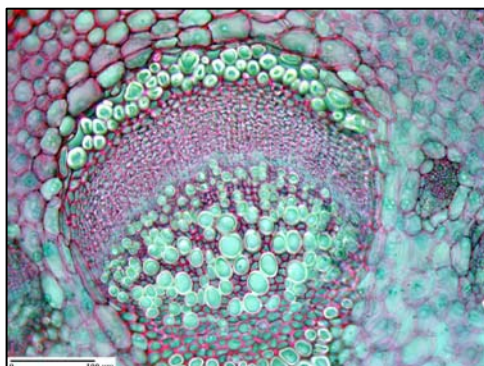


Fig. 131

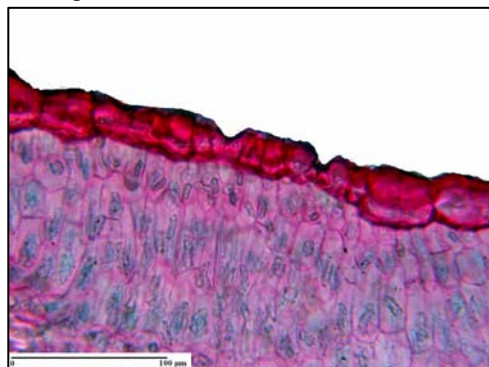


Fig. 132



Fig. 133

*Lepidium latifolium*. Secțiuni transversale prin limbul foliar, treime superioară (Fig. 128, 129), treime mijlocie (Fig. 130) și treime inferioară (Fig. 131, 132, 133).

***Lepidium perfoliatum* L.****Rădăcina** (Fig. 136, 137, 144)

La nivelul analizat, structura este tipic secundară, rezultată mai cu seamă din activitatea cambiumului.

Felogenul produce puțin suber netipic, care se exfoliază treptat, observându-se doar sub formă de aderențe la suprafața organului.

Parenchimul cortical este restrâns la câteva straturi de celule izodiametrice (Fig. 136).

Inelul de liber secundar cuprinde două zone distincte:

- una internă, mai subțire, de liber conducător (tuburi ciuruite, celule anexe);
- alta externă, mai groasă, în care predomină parenchimul liberian și în care sunt dispersate grupe compacte de fibre liberiene, cu peretele moderat îngroșat, dar intens lignificat.

Pe toată circumferința organului, în inelul liberian alternează zone de țesut conducător cu raze medulare parenchimatice-celulozice.

Corpul central lemnos (Fig. 137) ocupă cea mai mare parte din grosimea rădăcinii și prezintă două zone distincte:

- una centrală, mai subțire, în care vasele sunt dispersate într-o masă comună de parenchim celulozic;
- alta externă, mult mai groasă, lignificată, în care predomină libriformul, iar vasele sunt dispersate neregulat, fie solitare, fie formând șiruri radiare discontinue.

Toate fibrele libriforme au pereții puțin îngroșați, dar intens lignificați.

**Rizomul** (Fig. 139,145)

Am investigat rizomul la această specie, evidențiind în acest fel caracterul de plantă perenă, deși în *Flora R. P. R.* (1955), volumul III, nu se menționează nimic de rizom, și deci, nici de perenitatea acestei specii.

Structura rizomului este secundară, rezultată în cea mai mare parte din activitatea cambiumului.

Felogenul s-a diferențiat doar pe anumite porțiuni și în poziție hipodermică, dând un suber format din puține straturi de celule netipice și nu totdeauna suprapuse în șiruri radiare.

Pe cea mai mare parte a circumferinței organului, epiderma este exfoliată, iar felodermul nu diferă de parenchimul cortical subiacent; doar pe alocuri el prezintă celule de colenchim tangențial tipic.

Întreaga structură este asimetrică, ceea ce se traduce prin grosimea diferită a ţesuturilor şi zonelor anatomice, prin lignificarea inegală a aceluiaşi ţesut pe circumferinţa organului, prin lărgimea diferită a razelor medulare.

Parenchimul cortical este relativ compact, pe alocuri fiind deja străpuns de primordiile rădăcinilor adventive.

Din activitatea cambiului rezultă zone masive de liber secundar (în care predomină parenchimul), iar la limita dintre acestea şi zonele de lemn secundar se distinge un cambiu foarte gros, pluristratificat.

La nivelul lemnului secundar, separat de raze medulare foarte largi, predomină libriformul, intens lignificat, vasele fiind dispuse în şiruri radiare discontinue (Fig. 138). La faţa internă a zonelor de lemn secundar rămâne vizibil lemnul primar, cu vase de diametru mai mic, separate de celule de parenchim celulozic.

### **Tulpina aeriană, treime superioară (Fig. 139, 146)**

Celulele epidermice prezintă pereţii intern şi, mai ales, extern puternic înroşaţi; peretele extern este acoperit de o cuticulă subţire. Datorită grosimii foarte mari a peretelui extern, lumenul celulelor epidermice este foarte redus, având aspect dreptunghiular. Pe alocuri se observă stomate.

Parenchimul cortical este foarte subţire, cu celulele mult aplatizate radial şi vizibil alungite tangenţial.

La nivelul cilindrului central, structura este deja secundară, dar de tip fascicular (Fig. 139). Liberul cuprinde tuburi ciuruite, celule anexe şi puţine celule de parenchim liberian. Cambiul este pluristratificat. Lemnul primar prezintă vase separate de parenchim celulozic, iar în lemnul secundar vasele sunt separate de libriform.

Toate fasciculele conducătoare sunt separate de raze medulare largi, formate din celule cu pereţi foarte groşi şi în cea mai mare parte intens lignificaţi. La periferia tuturor fasciculelor se află câte un cordon relativ subţire de fibre sclerenchimatice, asemănătoare celor din razele medulare şi din lemnul secundar.

Măduva este groasă, de tip meatic, în ea proeminând adânc lemnul primar al fasciculelor conducătoare.

### **Tulpina aciană, treime mijlocie (Fig. 140, 147)**

Faţă de nivelul anterior analizat:

- toate fibrele sclerenchimatice au pereţi intens lignificaţi;

- lemnul secundar împreună cu raze puternic sclerificate și lignificate formează un inel continuu, în care vasele sunt dispersate neregulat (Fig. 140);
- lemnul primar pătrunde adânc în măduvă, iar parenchimul perimedular de la acest nivel este lignificat.

### **Tulpina aeriană, treime inferioară (Fig. 141-143, 148)**

Structura se menține aceeași ca și la nivelul mijlociu, cu deosebirea că:

- inelul lemnos este mai gros, iar frecvența vaselor variază pe circumferința organului, fiind solitare sau grupate în șiruri radiare scurte; tot lemnul primar este limitat la fața internă de o zonă de parenchim lignificat;
- la nivelul epidermei se observă rari peri tectori unicelulari, relativ lungi (Fig. 143), cu peretele verucos-îngroșat și cu vârful obtuz; aceste formațiuni lipseau la nivelurile superioare ale tulpinii.

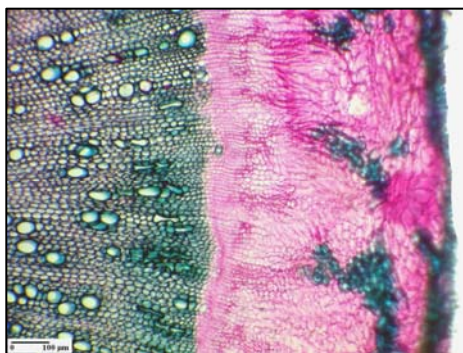


Fig. 136

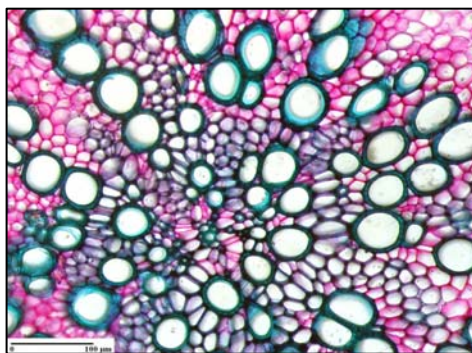


Fig. 137

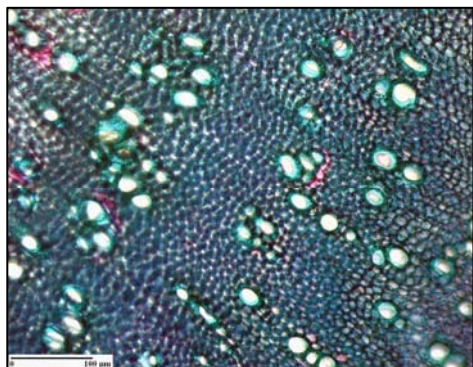


Fig. 138



Fig. 139

***Lepidium perfoliatum*.** Secțiuni transversale prin rădăcină (Fig. 136, 137), prin rizom (Fig. 138) și prin tulpină aeriană, treime superioară (Fig. 139).



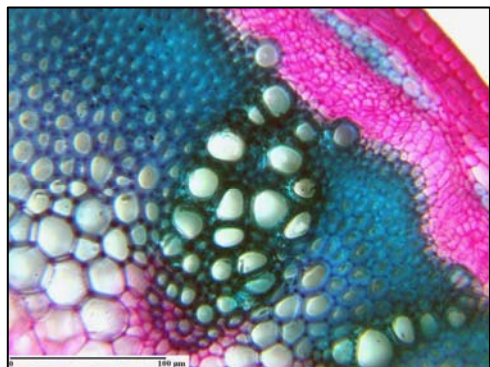


Fig. 140

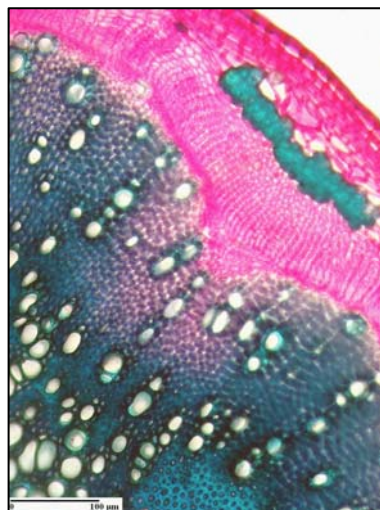


Fig. 141



Fig. 142

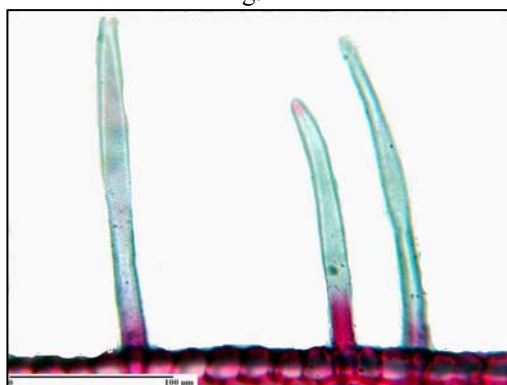


Fig. 143

*Lepidium perfoliatum*. Secțiune transversală prin tulpina aeriană, treime mijlocie (Fig. 140) și treime inferioară (Fig. 141-143).

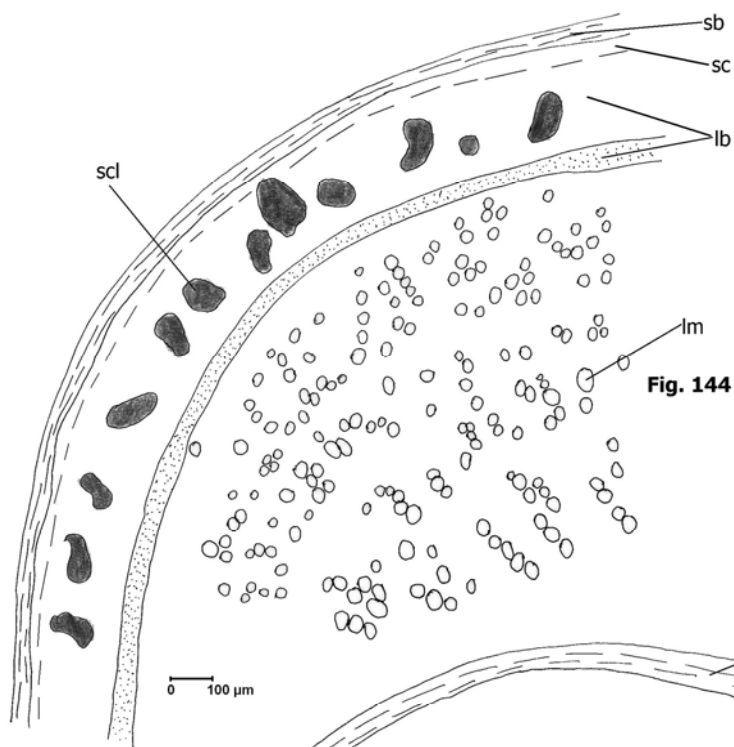


Fig. 144

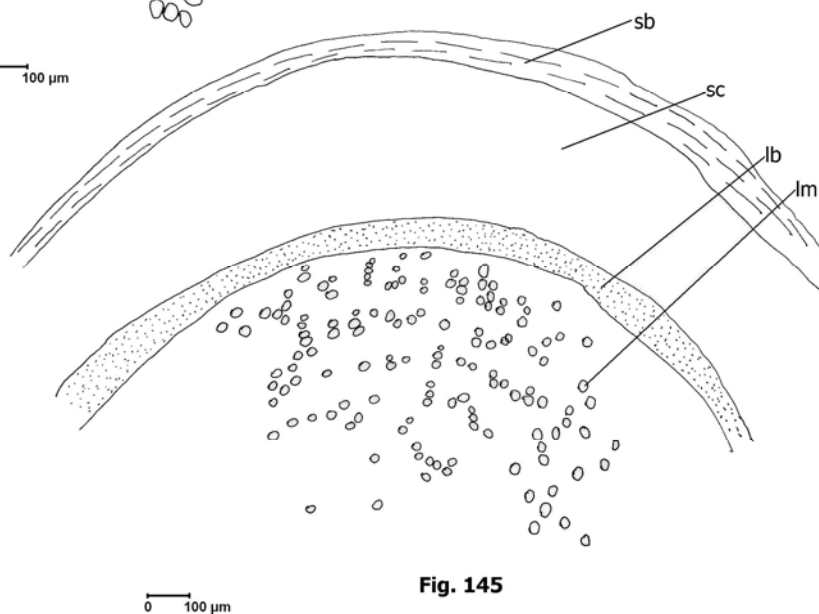
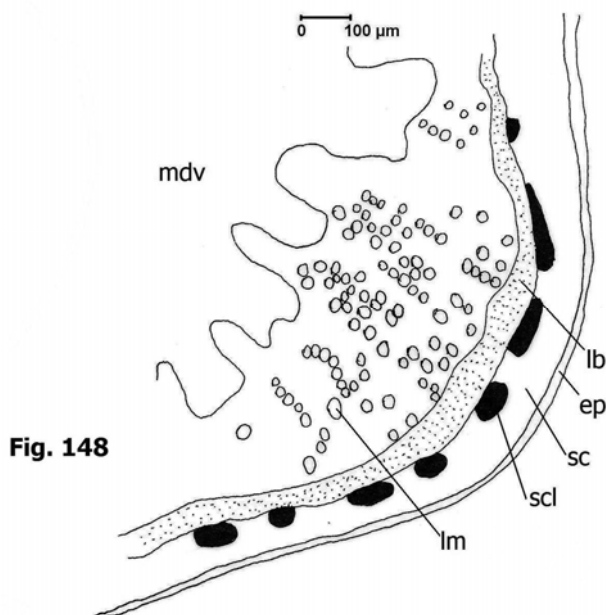
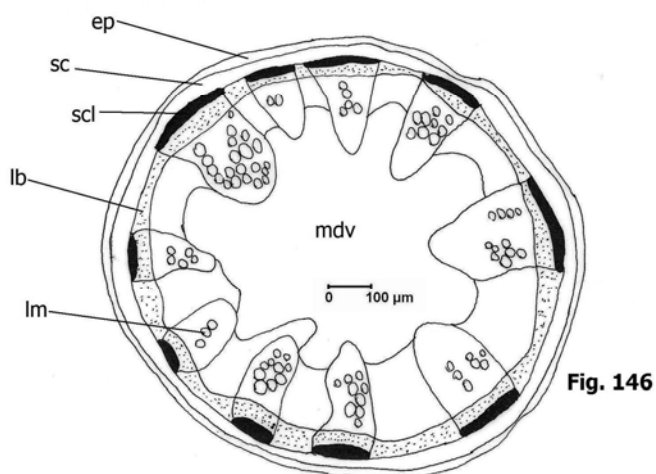
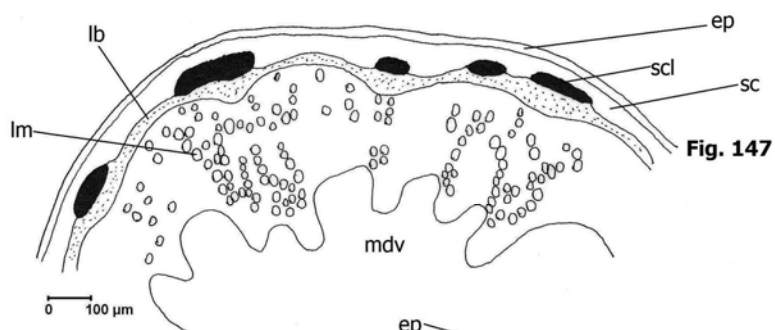


Fig. 145

*Lepidium perfoliatum*. Secțiuni transversale prin rădăcină (Fig. 144) și prin rizom (Fig. 145): scheme.



*Lepidium perfoliatum*. Secțiuni transversale prin tulpina aeriană, treime superioară (Fig. 146), treime mijlocie (Fig. 147) și treime inferioară (Fig. 148): scheme.

**Frunza** (Fig. 149-151)

**Epiderma** văzută de față are celulele de contur neregulat, cu pereții laterali sinuoși. Stomatele, de tip diacitic, sunt prezente în ambele epiderme, deci limbul este amfistomatic. Pereții laterali ai celulelor epidermice de la fața superioară a limbului sunt mai puțin ondulați. Din loc în loc se observă foarte rari peri tectori unicelulari.

În **secțiune transversală** prin limbul foliar, nervura mediană și nervurile laterale de ordinul I proemină la ambele fețe ale limbului (Fig. 149), dar mai ales la cea inferioară, toate având câte un fascicul conducător mare, înconjurat de celule izodiametrice (Fig. 150); la fața internă a lemnului sunt vizibile mai multe fibre sclerenchimatice cu pereți nelignificați. Epiderma are celule cu peretele extern gros, acoperit de o cuticulă fin striată.

Mezofilul este relativ subțire, de tip palisadic, cu celulele straturilor hipodermice relativ joase. Celule palisadice joase (Fig. 151) sunt vizibile și în dreptul nervurii mediane, la fața superioară. Deci, limbul are o structură bifacială ecvifacială.

Stomatele nu prezintă cameră suprastomatică.

Această specie este mai apropiată ca cerințe ecologice de *L. crassifolium*, preferând soluri argiloase, umede, puțin sărate (Prodan, 1922).



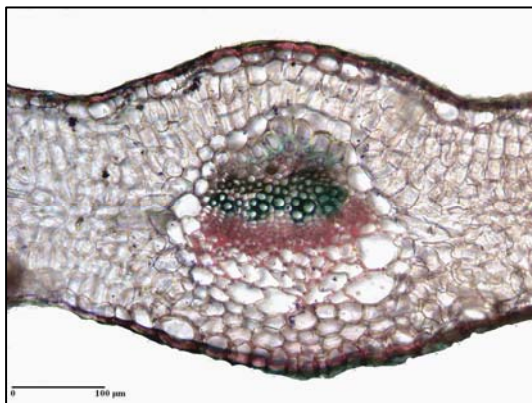


Fig. 149

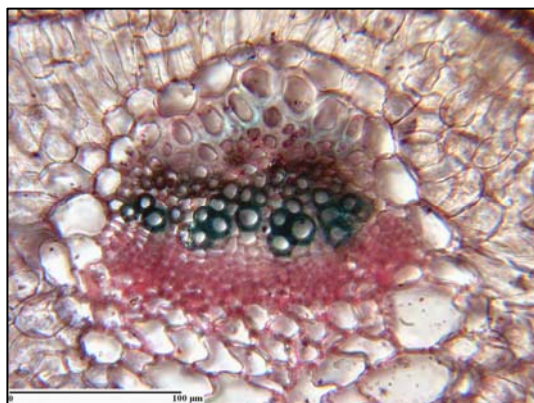


Fig. 150

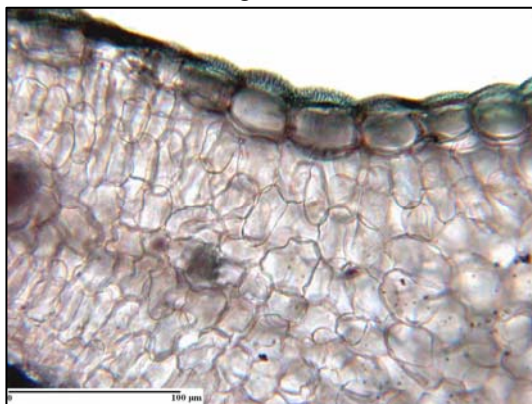


Fig. 151

*Lepidium perfoliatum*. Secțiuni transversale prin limbul foliar (Fig. 149-151).

## **Familia *Caryophyllaceae***

### ***Spergularia media* (L.) C. Presl**

#### **Rădăcină – treime inferioară (Fig. 152, 153, 160)**

La acest nivel, structura este secundară, rezultat al activității ambelor meristeme laterale: cambiul și felogenul.

Felogenul a produs deja mai multe (5–) straturi de suber spre exterior și mai puține straturi de feloderm spre interior, ambele țesuturi secundare având elemente cu dispoziție radiară (Fig. 152). În felul acesta, o parte din scoarța primară s-a exfoliat o dată cu rizoderma, ca și cele mai vechi straturi de celule suberoase.

Scoarța primară este groasă, parenchimatic-celulozică, de tip meatic; din loc în loc, unele celule ale straturilor interne se dezorganizează, rezultând cavități aerifere mari, de contur neregulat (Fig. 152). Așa cum am arătat într-un articol publicat anterior, formarea aerenchimului este corelată cu umiditatea excesivă din sol (Grigore și Toma, 2006a). Această adaptare la higrofilie, pe care am discutat-o mai pe larg în rândurile anterioare, se explică prin spectrul ecologic al speciei. Aceasta este o specie frecvent mezofilă către higrofilă, potrivit alcalinofilă, de la slab la potrivit halofilă. Se dezvoltă prin ochiurile de sărătură neînierbate de luncă, cu sol reavăn slab salinizat; este o specie cu tulpini și frunze ușor succulente (Bucur și colab., 1960). Șerbănescu (1965) aprecia că este o specie ce vegetează pe soluri mai mult sau mai puțin umede, în asociații clorurice. După cum afirmam, succulența în general este asociată cu ionii de clor (Waisel, 1972).

În scoarța internă se observă 2 arcuri opuse de fascicule conducătoare libero-lemnoase, cu structură primară; între aceste arcuri pot fi observate și grupe de elemente liberiene separate de raze parenchimatice.

Cambiul a produs puține elemente conducătoare secundare:

- un inel subțire de liber, cu elemente puternic colenchimatizate (tuburi ciuruite, celule anexe și puține celule de parenchim liberian;
- un corp lemnos central, cu numeroase vase de diametru diferit și dispersate neregulat, separate de elemente libriforme și foarte puține celule de parenchim lemnos celulozic (Fig. 153).

#### **Rădăcină – treime mijlocie (Fig. 154, 155, 161)**

Structura generală se menține aceeași, cu deosebirea că numărul fasciculelor conducătoare libero-lemnoase din scoarța internă este mult mai mare, toate fiind dispuse pe un cerc și având doar structură primară (Fig. 154).

În axul rădăcinii (Fig. 155) sunt vizibile 2 raze parenchimatic-celulozice, iar în dreptul lor, 2 grupe de vase de lemn primar, ceea ce ar dovedi că structura primară este de tip *diarh*.

### **Rădăcină – treime superioară** (Fig. 156, 162)

Deși grosimea rădăcinii este vizibil mai mare, corpul lemnos central inițial (Fig. 156) rămâne de aceeași grosime ca și inelul de liber de la periferia lui. La acest nivel și corpul lemnos central este vizibil parenchimatizat, predominând celulele de parenchim lemnos față de elementele libriforme.

### **Tulpină – treime superioară** (Fig. 157, 163)

Conturul secțiunii transversale este eliptic-circular, cu câteva coaste puțin proeminente.

Epiderma prezintă celule mari, izodiametrice, cu peretele intern puternic bombat și cu cel extern mai gros, acoperit de o cuticulă striată. Din loc în loc se observă peri secretori pluricelulari, uniseriați, de lungime diferită, cu glanda unicelulară, sferică (Fig. 157), amintind de perii întâlniți la reprezentanții familiilor *Primulaceae* și *Geraniaceae*, aceștia fiind descriși și de Chermeson (1910) la specia *Spergularia marginata*. Din loc în loc se observă și stomate.

Scoarța are grosime diferită pe circumferința organului, numărul straturilor de celule parenchimatice variind de la 4 la 6.

Cilindrul central este gros și începe cu un periciclu de două tipuri: sclerenchimatic (1-2 straturi) spre exterior și parenchimatic (1-2 straturi) spre interior.

Țesuturile conducătoare formează 2 inele concentrice: unul extern mai subțire de liber și altul intern mai gros de lemn, ambele cu structură primară. Liberul este format din tuburi ciuruite și celule anexe, iar lemnul are vasele dispuse în șiruri radiare, separate de parenchim celulozic.

Măduva este parenchimatic-celulozică, de tip meatic.

### **Tulpină – treime mijlocie** (Fig. 158)

Structura generală se menține aceeași, cu următoarele deosebiri:

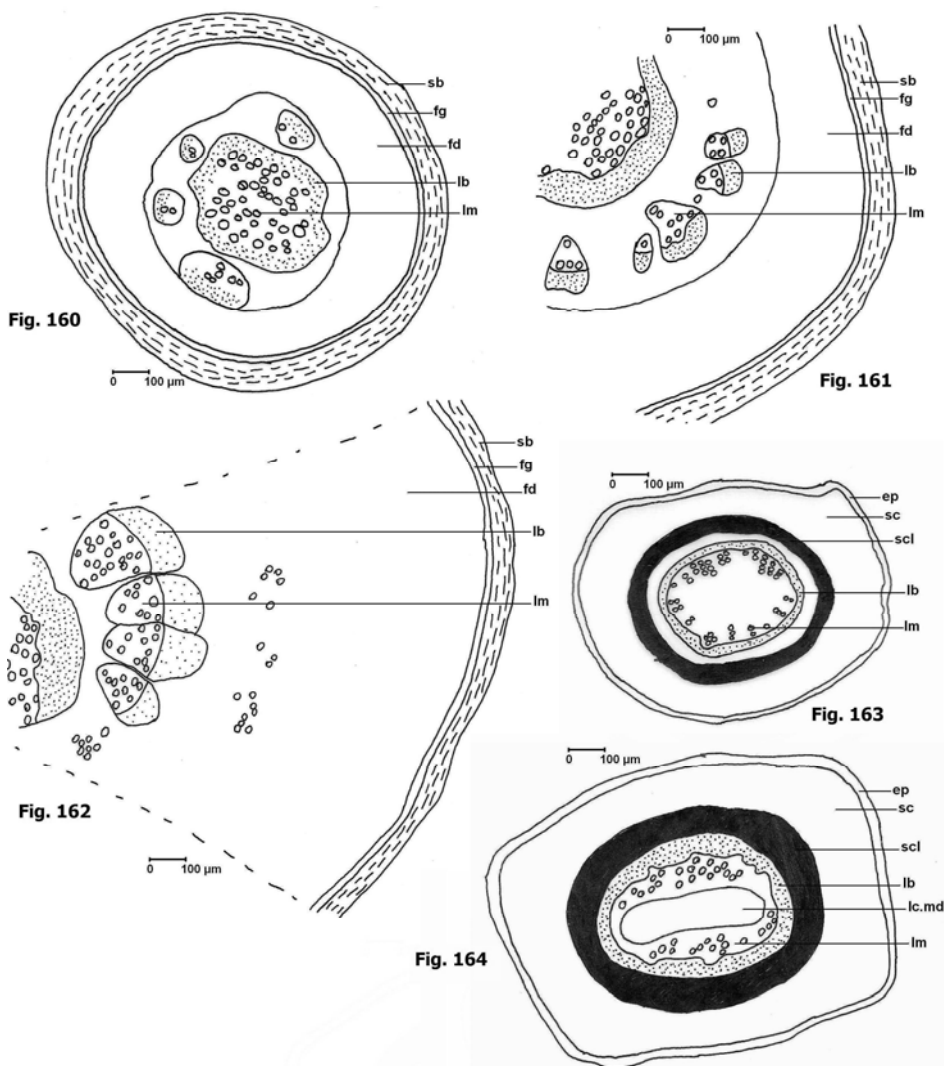
- perii secretori sunt foarte rari sau lipsesc;
- celulele epidermice au peretele extern mai gros;
- inelul periciclic este aproape în totalitate de tip sclerenchimatic și intens lignificat (Fig. 158);
- unele celule din parenchimul cortical conțin ursini de oxalat de calciu.

### **Tulpină – treime inferioară** (Fig. 159, 164)

Structura se menține asemănătoare cu cea de la nivelurile anterior analizate, dar conturul secțiunii transversale devine aproape dreptunghiular, iar

lignificarea sclerenchimului periciclic și a lemnului este mai intensă (Fig. 159). În plus, în grosimea lemnului se observă, pe alocuri, și puține elemente de libriform (Fig. 159), dovadă că a funcționat deja țesutul cambial.

Parenchimul perimedular de la fața internă a lemnului este vizibil colenchimatizat, ca și elementele inelului de liber.



*Spergularia media*. Secțiuni transversale prin rădăcină, treime inferioară (Fig. 160), treime mijlocie (Fig. 161) și treime superioară (Fig. 162), precum și prin tulpină, treime superioară (Fig. 163) și treime inferioară (Fig. 164): scheme.



Fig. 152

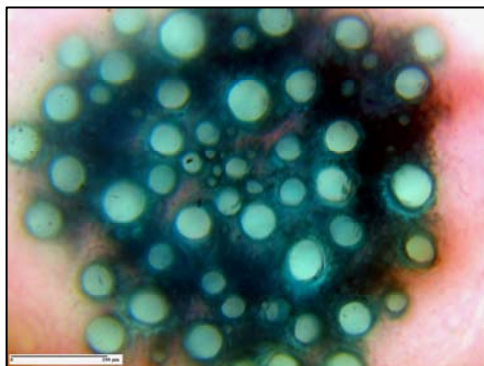


Fig. 153



Fig. 154

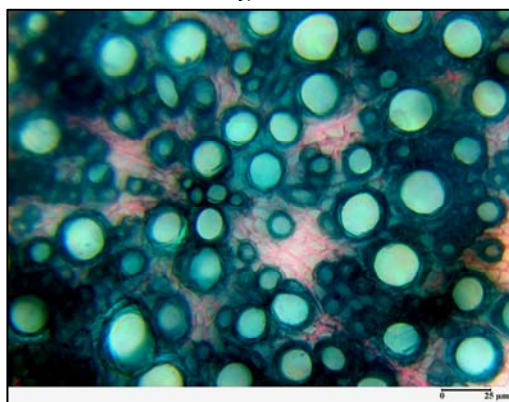


Fig. 155

*Spergularia media*. Secțiuni transversale prin rădăcină, treime inferioară (Fig. 152-153) și treime mijlocie (Fig. 154-155).

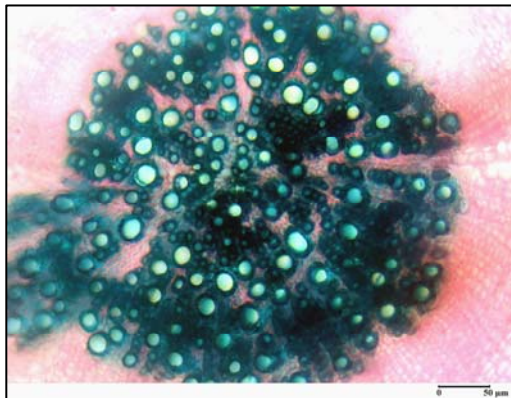


Fig. 156



Fig. 157



Fig. 158



Fig. 159

*Spergularia media*. Secțiuni transversale prin rădăcină, treime superioară (Fig. 156) și prin tulpină, treime superioară (Fig. 157), treime mijlocie (Fig. 158) și treime inferioară (Fig. 159).

**Frunza (Fig. 171-174)**

**Limbul. Epiderma văzută de față** este formată din celule de contur neregulat, cu pereții laterali onduțați (Fig. 171). Din loc în loc se observă stomate de tip diacitic în ambele epiderme, deci limbul este amfistomatic (așa cum a subliniat și Zarrinkamar în 2001).

În secțiune transversală prin limbul foliar cilindric – treime superioară (Fig. 165-167), conturul este circular.

Epiderma prezintă celule mari, cu peretele extern mai gros decât ceilalți, dar acoperit de o cuticulă subțire, caracter evidențiat și de Chermezon (1910) pentru *Spergularia lebeliana*. Din loc în loc se observă stomate, cu celule foarte mici în comparație cu cele tipic epidermice (Fig. 167).

Mezofilul este în cea mai mare parte de tip palisadic, pe toată circumferința secțiunii (Fig. 165, 172). Celulele mezofilului central sunt mult mai mari, uneori izodiametrice, amintind de un țesut lacunos tipic. Multe celule din mezofil conțin ursini de oxalat de calciu (Fig. 166). După dispoziția țesuturilor foliare, această specie pare să fie una de tip C<sub>3</sub> (Frey și Kürschner, 1983).

Țesutul conducător este reprezentat de o bandă de fascicule libero-lemnoase, din care cel median este ceva mai mare și înconjurat de câteva elemente colenchimatizate.

În treimea mijlocie (Fig. 168), structura se menține aceeași, cu deosebirea că și cele mai multe celule ale mezofilului intern sunt înalte, de aspect palisadic, dar foarte sărace în cloroplaste (Fig. 173).

În treimea inferioară (Fig. 169-170), conturul secțiunii transversale este semicircular, cu fața adaxială plană.

Mezofilul este în totalitate de tip lacunos (Fig. 169, 170 și 174), iar țesutul conducător formează 3 fascicule, din care cel median este mult mai mare.





Fig. 165



Fig. 166

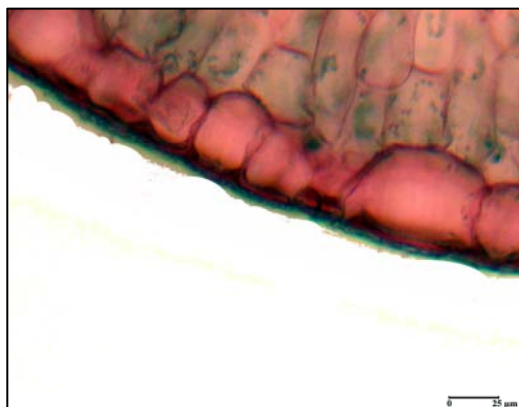


Fig. 167

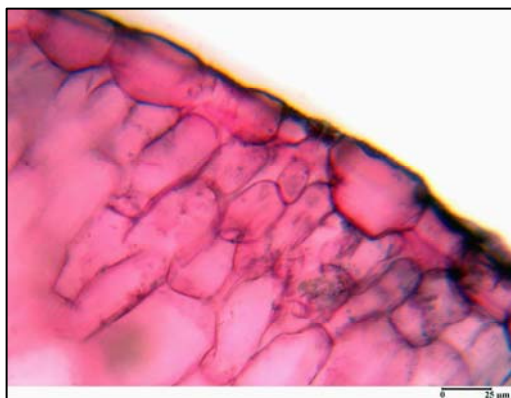


Fig. 168

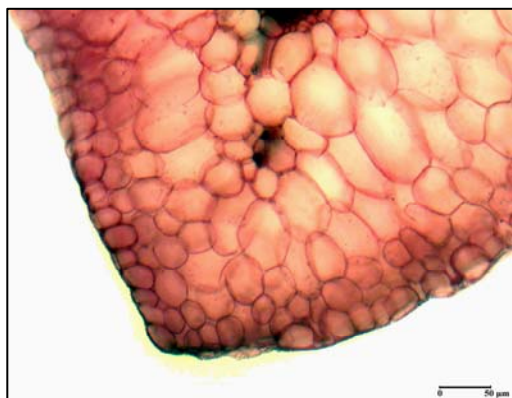


Fig. 169

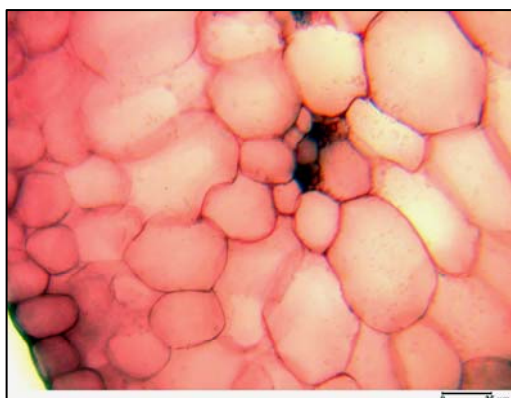
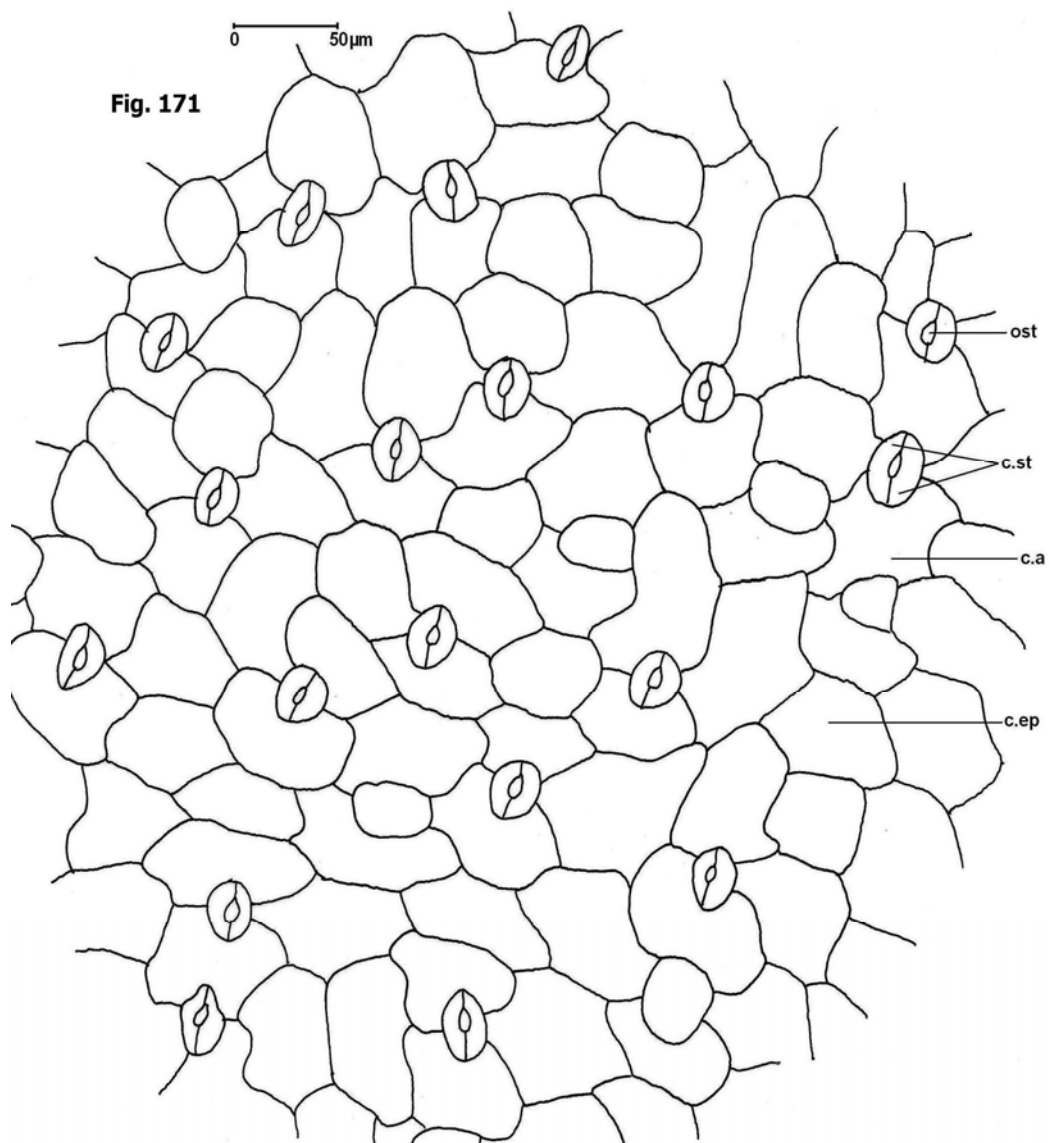


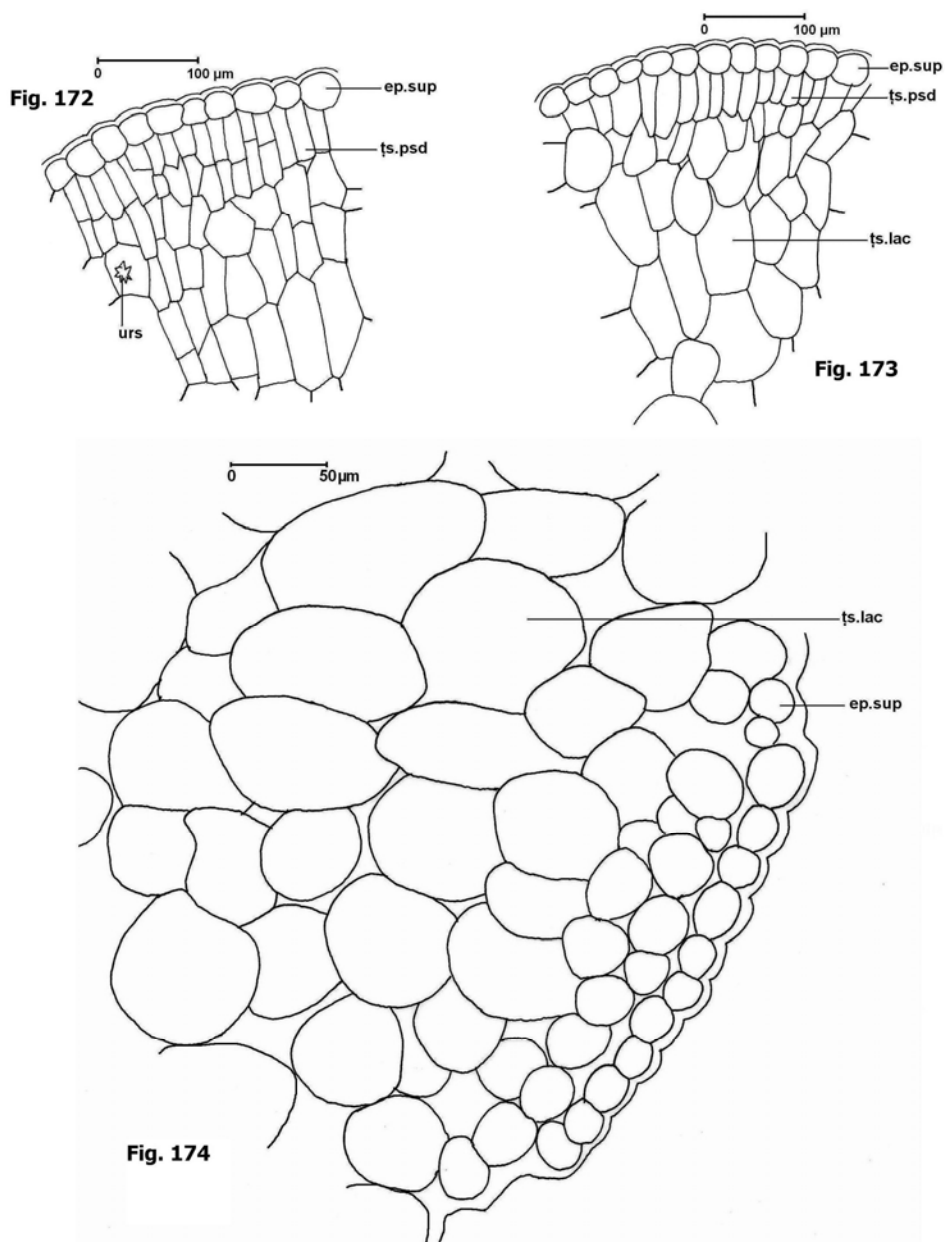
Fig. 170

*Spergularia media*. Secțiuni transversale prin limbul foliar, treime superioară (Fig. 165-167), treime mijlocie (Fig. 168) și treime inferioară (Fig. 169-170).





*Spergularia media*. Epiderma superioară, văzută de faţă (Fig. 171).



*Spergularia media*. Secțiuni transversale prin limbul foliar, treime superioară (Fig. 172), treime mijlocie (Fig. 173) și treime inferioară (Fig. 174): detalii.

## **Familia *Chenopodiaceae***

### ***Atriplex littoralis* L.**

#### **Rădăcină – treime inferioară**

La exterior se află o zonă relativ subțire de suber, format din celule cu pereți subțiri, dar suberificați, iar la fața internă a țesutului protector secundar se află o zonă parenchimatic-celulozică cu valoare de feloderm (straturile externe) și o altă de parenchim cortical (straturile interne).

Cilindrul central este foarte gros, în el observându-se:

- un corp lemnos axial compact, prezentând la exterior două inele de țesut liberian; aceasta reprezintă structura primară și structura secundară normală, rezultată din activitatea cambiului normal;

- un număr de 3-4 inele de țesuturi conducătoare rezultate din activitatea cambiilor supranumerare, fiecare din ele având la fața internă lemn (mult mai gros) și la fața externă liber (mult mai subțire).

În fiecare inel, lemnul este în totalitate sclerificat și lignificat, cu puține vase dispersate neregulat; fibrele lemnoase, care predomină în structura lemnului, au peretele puternic îngroșat și moderat lignificat.

Liberul constă din tuburi ciuruite, celule anexe și celule de parenchim liberian.

Ultimul inel de țesuturi conducătoare este în curs de formare încă, fiind inegal ca grosime pe circumferința rădăcinii.

Noi am evidențiat acest fenomen, al cambiilor supranumerare și la alte specii de *Chenopodiaceae* (Grigore și Toma, 2005, 2006b, 2007b, 2008b), și l-am dezbătut mai pe larg într-o lucrare recentă (Grigore, 2008b).

Trebuie spus că fenomenul policambiei (cunoscut și ca fenomenul cambiilor supranumerare, al cambiilor succesive sau adiționale) este considerat de unii autori (Hérail, 1885; Metcalfe și Chalk, 1972; Șerbănescu-Jitariu și Toma, 1980; Fahn și Zimmermann, 1982) o anomalie de structură. Acesta constă, pe scurt, în următoarea succesiune de evenimente histologice: structura generală tipică este rezultatul activității unui cambiu „normal”, care produce în general puține vase de lemn și de liber secundar; ulterior, pe seama periciclului ia naștere un cambiu adițional (supranumerar), care va da un inel de parenchim fundamental, în care sunt dispuse pe un cerc fasciculele libero-lemnoase, cu liberul spre exterior și lemnul spre interior (ca și în tulpină); fiecare cambiu „anormal” (succesiv) ia naștere apoi din parenchimul liberian produs de cambiul anterior (Esau și Cheadle, 1969; Kishore S. Rajput și Karumachi S.Rao, 1999).

Cu toate acestea, nu există un model uniform care să guverneze formarea cambiilor succesive. Primul cambiu supranumerar poate lua naștere în zona parenchimului liberian primar, între periciclu și liberul secundar (Hayward, 1967). Formarea inelelor, activarea formării cambiilor secundare succesive reprezintă un proces progresiv, centrifug. În plus, autorul susmenționat sugerează faptul că modul în care sunt distribuite elementele vasculare trădează faptul că aceste cambii secundare, terțiare, cuaternare etc., nu apar ca inele complete, ci constau din sectoare discrete, derivate din periciclu.

#### **Rădăcină – treime mijlocie (Fig. 182)**

Structura generală se menține aceeași, cu același număr de inele conducătoare concentrice. Vasele de lemn din zona axială au diametrul mai mic, dar cu pereții mai intens lignificați. Libriformul are fibre cu pereți extrem de puternic îngroșați, dar numai parțial lignificați.

#### **Rădăcină – treime superioară (Fig. 175, 176, 183)**

La acest nivel rădăcina este mai groasă, în structura sa deosebind 5 (6) inele concentrice de țesuturi conducătoare, dar liberul nu mai formează inele continue, ci discontinue, sub formă de insule înconjurate complet de lemn (Fig. 176); acesta din urmă este puternic sclerificat și lignificat, în el predominând libriformul.

În zona axială a rădăcinii, lemnul inițial (primar și secundar normal) este fragmentat în două lame, datorită unei benzi de celule parenchimatice-celulozice; această bandă împarte și liberul inițial, rezultând 4 fascicule de o parte și de alta a lemnului (Fig. 175).

#### **Tulpină – treime superioară (Fig. 177, 184)**

Conturul secțiunii transversale este circular – costat (adesea pentagonal), cu coaste proeminente și vizibil rotunjite.

Epiderma prezintă celule izodiametrice, cu peretele extern ușor mai îngroșat decât ceilalți și acoperit de o cuticulă subțire. Din loc în loc se observă stomate și **peri veziculari** („bladders”) (Freitas și Breckle, 1993a), localizați mai cu seamă în valecule. Aceștia au fost observați și de Chermezon (1910), care a studiat structura histo-anatomică a unor specii de *Atriplex* (*A. portulacoides* L., *A. littoralis* L., *A. hastata* L. var. *salina* Gr. et G.), fiind numiți de el „peri acviferi”.

Scoarța este reprezentată de cordoane de colenchim angular în coaste (2-3 straturi hipodermice – Fig. 177) și parenchim asimilator în valecule (3-4 straturi, din care cel puțin stratul extern are celule de aspect palisadic).

Parenchimul cortical intern este incolor, având celule mari, cu pereții foarte subțiri (Fig. 177), unele conținând ursini de oxalat de calciu.

Cilindrul central cuprinde un număr mare (14-16) de fascicule conducătoare libero-lemnoase, de tip colateral deschis, de mărime diferită; fasciculele cele mai mari proemină adânc în măduvă.

Fasciculele conducătoare sunt separate de raze medulare înguste, parenchimatic-celulozice la nivelul liberului și sclerificat-lignificate la nivelul lemnului; în felul acesta, lemnul ne apare inițial sub forma unui inel continuu de țesut sclerificat și lignificat la nivelul structurii secundare.

### **Tulpină – treime mijlocie** (Fig. 178, 179, 185)

Conturul secțiunii transversale rămâne circular-costat, cu un număr mai mare (7) de coaste, dar mai puțin proeminente, totdeauna cu câte un cordon gros de colenchim angular sub epidermă (Fig. 179).

Epiderma prezintă celule ușor alungite tangențial în valecule și izodiametrice în coaste, totdeauna cu peretele extern vizibil mai îngroșat și acoperit de o cuticulă subțire; celulele din coaste sunt izodiametrice, cu peretele extern bombat, mai îngroșat și acoperit de o cuticulă mai groasă.

În cilindrul central, pe lângă fasciculele conducătoare menționate la nivelul precedent analizat, se observă un inel gros de libriform, în care sunt localizate numeroase fascicule (lame) de vase lemnoase și insule de elemente liberiene la exterior (Fig. 178).

Insulele liberiene au elemente vizibil colenchimatizate, iar la exteriorul lor se observă cordoane (calote) de fibre sclerenchimatice cu pereții îngroșați, dar celulozici.

Cambiul supranumerar, care a dat naștere lemnului și liberului menționate deja, este continuu și pluristratificat.

Stratul cel mai intern al scoarței reprezintă un endodermoid cu celule foarte mari și alungite tangențial, care vin în contact cu fasciculele (insulele) liberiene (Fig. 178).

### **Tulpină – treime inferioară** (Fig. 180, 181, 186)

Conturul secțiunii transversale este circular, iar cordoanele de colenchim sunt mult mai subțiri, formate din celule cu pereții puțin îngroșați.

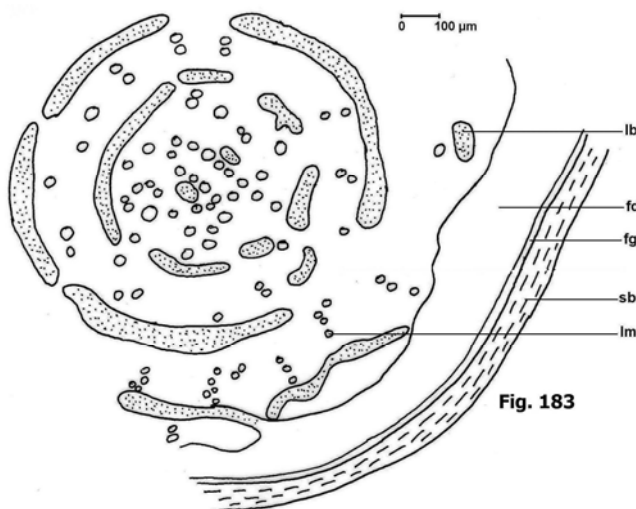
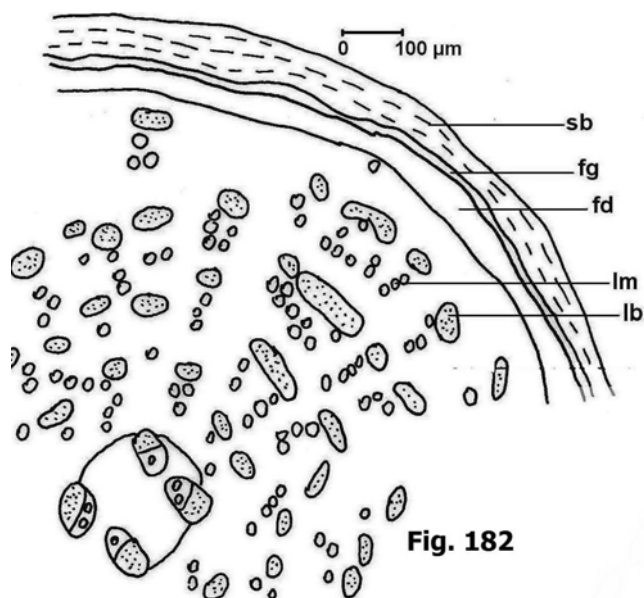
Parenchimul cortical de tip palisadic nu mai este vizibil; toată scoarța (de altfel, subțire) este omogenă, de tip meatic.

La acest nivel, numărul celulelor oxalifere este mai mic.

Pe alocuri se observă formarea unui felogen, pe seama unui strat cortical intern, care a produs deja 2–3 straturi de suber; în dreptul acestor zone discontinue de suber se schițează și lenticile, care au determinat ruperea și exfolierea locală a epidermei. Formarea felogenului mai în profunzimea scoarței este considerată, de altfel, un fenomen larg răspândit la multe specii ale familiei *Chenopodiaceae* (Fahn, 1963).

În urma activității cambiilor supranumerare au rezultat 3–4 inele concentrice de țesuturi conducătoare, liberul fiind sub formă de inele înconjurate complet de țesut lemnos. Structura de tip fascicular, observată la nivelurile anterioare, nu mai este atât de vizibilă (Fig. 180-181).

Libriformul este mai intens sclerificat și lignificat, vasele de lemn sunt dispersate mai neregulat, iar fasciculele din structura primară inițială sunt complet înfipte în măduva parenchimatic-celulozică (Fig. 180).



*Atriplex littoralis*. Secțiuni transversale prin rădăcină, treime mijlocie (Fig. 182) și treime superioară (Fig. 183): scheme.

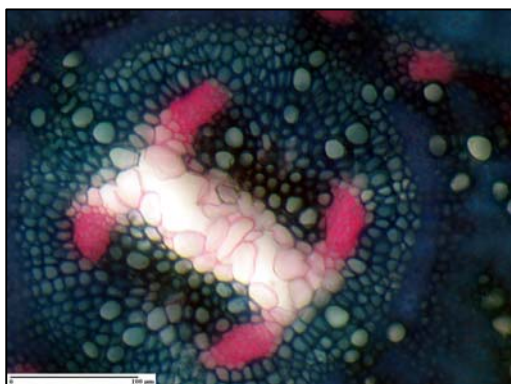


Fig. 175

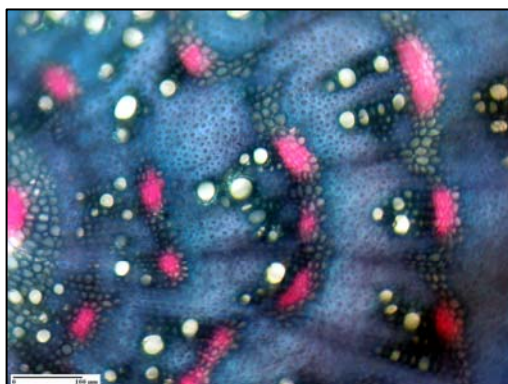


Fig. 176



Fig. 177

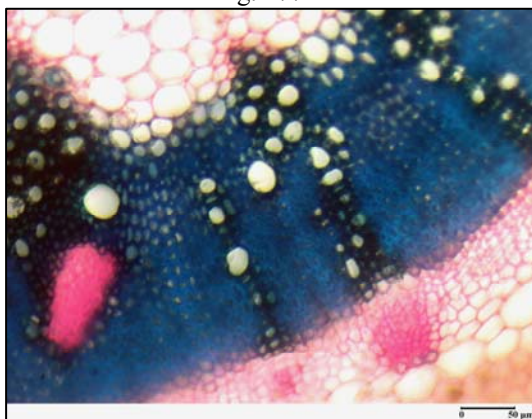


Fig. 178

*Atriplex littoralis*. Secțiuni transversale prin rădăcină, treime superioară (Fig. 175-176), prin tulpină, treime superioară (Fig. 177) și treime mijlocie (Fig. 178).

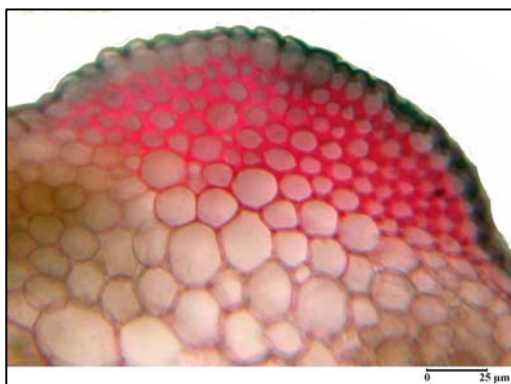


Fig. 179

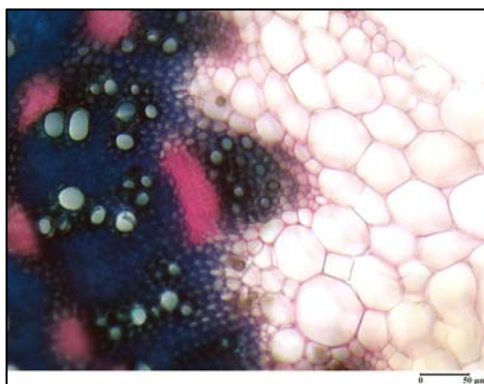


Fig. 180

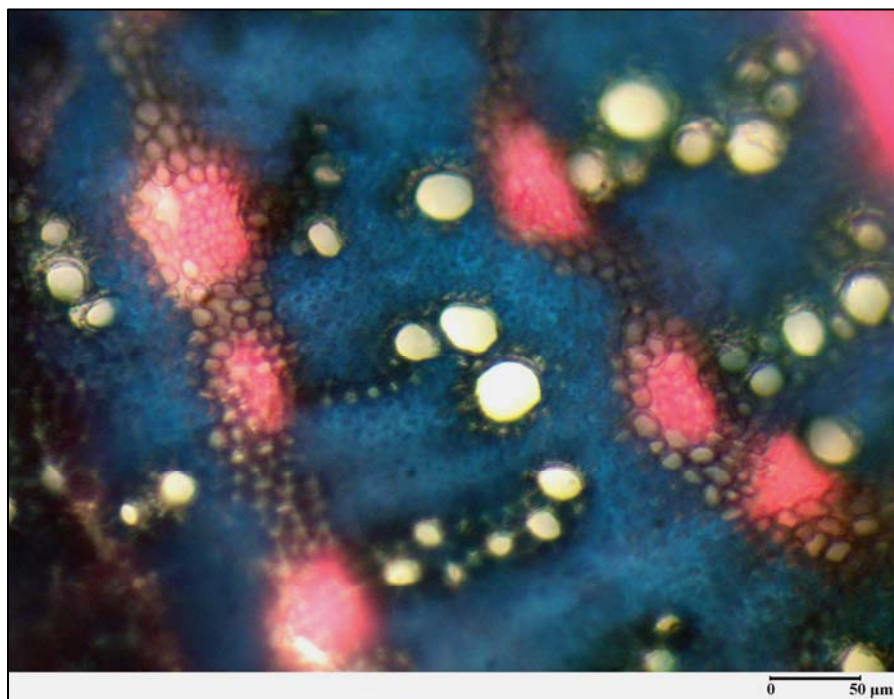
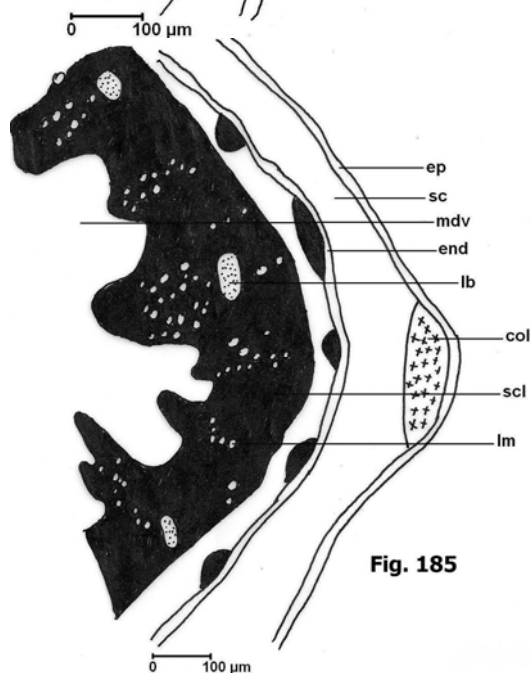
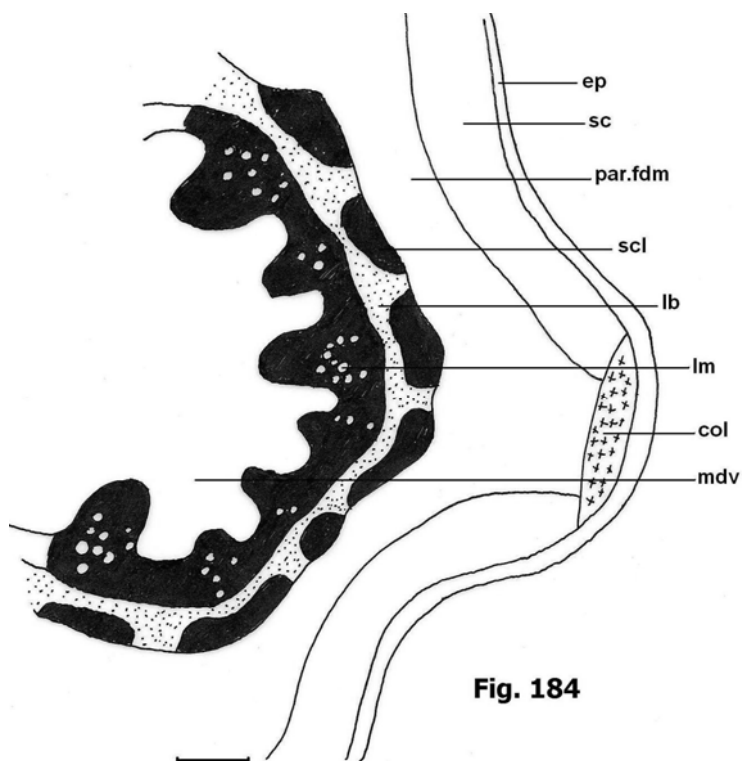


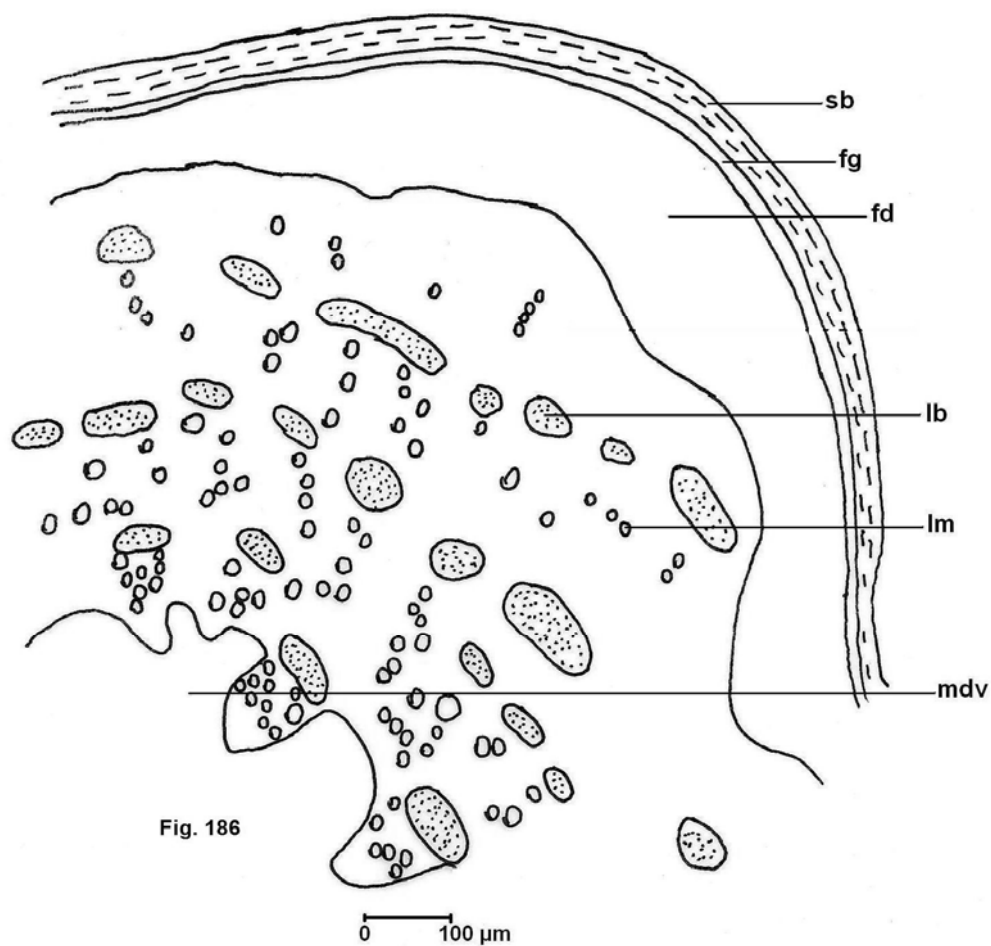
Fig. 181

*Atriplex littoralis*. Secțiune transversală prin tulpină, treime mijlocie (Fig. 179) și treime inferioară (Fig. 180-181).





*Atriplex littoralis*. Secțiuni transversale prin tulpină, treime superioară (Fig. 184) și treime mijlocie (Fig. 185): scheme.



*Atriplex littoralis*. Secțiune transversală prin tulpină, treime inferioară (Fig. 186).

**Frunza (Fig. 187-198)****Limbul foliar**

**Epiderma văzută de față** prezintă celule de contur poligonal, cu pereții laterali drepecți. Prin transparență se observă ursini de oxalat de calciu.

Stomatele, de tip anomocitic sau de tip anizocitic, sunt prezente în ambele epiderme, deci limbul este amfistomatic (Fig. 187, 188, 194).

În secțiune transversală – **treimea superioară** (Fig. 189, 195), nervura mediană proemină puțin la fața inferioară a limbului, având un fascicul conducător relativ mic, de tip colateral, cu structură primară; vasele de lemn sunt dispersate neregulat, iar elementele liberiene sunt vizibil colenchimatizate.

Ambele epiderme au celulele alungite tangențial, fiind adesea mai mari la fața superioară a limbului (Fig. 189). În ambele epiderme, din loc în loc se observă stomate, cu cameră suprastomatică puțin adâncă, așa cum a observat și Chermezon (1910).

Mezofilul este de tip palisadic sub ambele epiderme, dar având celule mai înalte sub cea superioară (Fig. 189 și 198).

În mijlocului mezofilului, celulele sunt mai joase și mai largi, unele fiind chiar izodiametrice și conținând mari ursini de oxalat de calciu.

Fasciculele conducătoare din nervurile laterale sunt în număr mare și totdeauna mai mici decât cele din nervura mediană.

Așadar, structura generală a limbului este bifacială, inegal ecvifacială: sub epiderma inferioară se află un strat de celule relativ joase, sub cea superioară, 2-3 straturi de celule palisadice mai înalte.

În **treimea mijlocie** (Fig. 190, 191, 196), structura generală este asemănătoare cu cea din treimea superioară a limbului, cu deosebirea că celulele epidermei inferioare din dreptul nervurii mediane sunt mai mici, cu peretele extern mai gros și acoperit de o cuticulă mai groasă; sub ambele epiderme se află câte 1-2 straturi de colenchim, fapt subliniat și de Chermezon (1910).

Țesuturile conducătoare din nervura mediană formează 3 fascicule libero-lemnoase separate de parenchim celulozic.

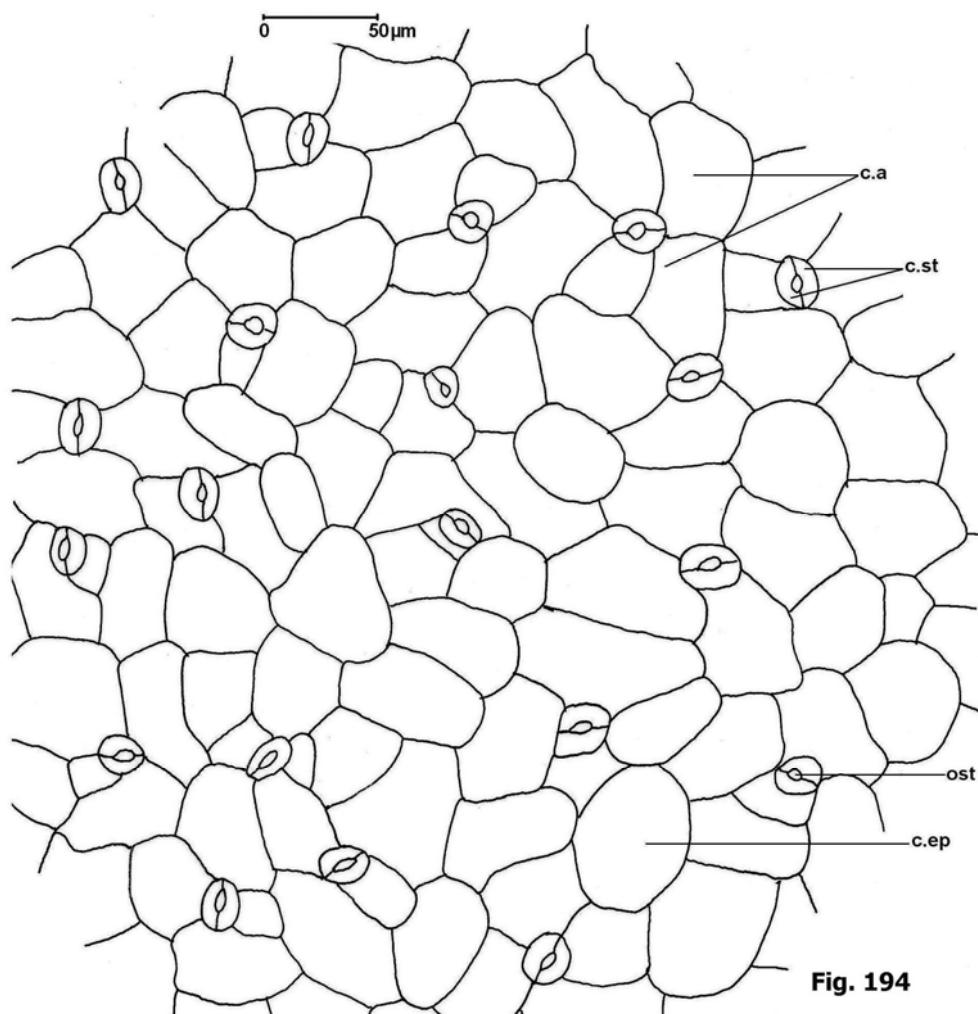
Țesutul palisadic de la fața superioară are celule vizibil mai înalte, cel puțin în vecinătatea nervurii mediane (Fig. 191).

Parenchimul asimilator de la fața inferioară nu mai este tipic palisadic, celulele stratului hipodermic fiind foarte joase; tipul palisadic de celule se menține sub ambele epiderme doar la marginile limbului foliar.

În **treimea inferioară** (Fig. 192, 193, 197), limbul este mai îngust, nervura mediană având 4 fascicule conducătoare: 3 pe un arc abaxial și unul adaxial, opus celor dintâi, toate cu lemnul față în față.

Structura mezofilului se menține aceeași (Fig. 192), cu țesut palisadic având celule mai vizibil alungite perpendicular pe epidermă (Fig. 193).

La marginile limbului, țesutul palisadic este pluristratificat sub ambele epiderme, având celule relativ înalte; doar 1–2 straturi din mijlocul mezofilului au celulele izodiametrice. La acest nivel al limbului, celulele cu ursini de oxalat de calciu sunt mult mai rare.



**Fig. 194**

*Atriplex littoralis*. Fig. 194: Epiderma superioară, văzută de față.

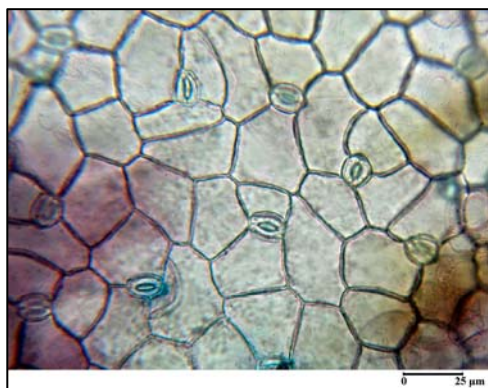


Fig. 187

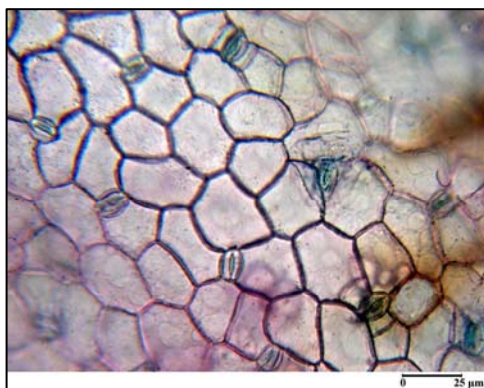


Fig. 188

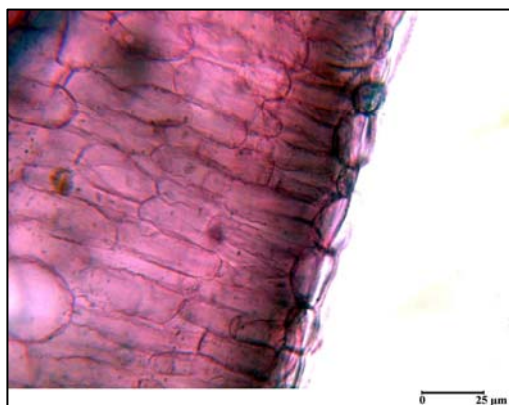


Fig. 189

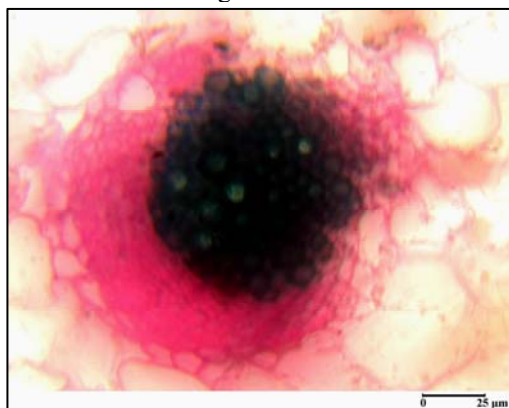


Fig. 190

*Atriplex littoralis* Epiderma superioară (Fig. 187) și inferioară (fig. 188), văzute de față; secțiune transversală prin limbul foliar, treime superioară (Fig. 189) și treime mijlocie (Fig. 190).

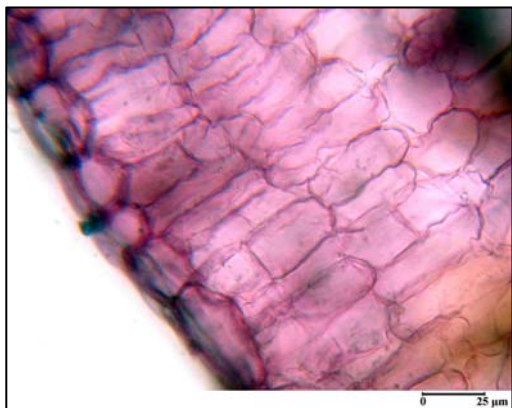


Fig. 191

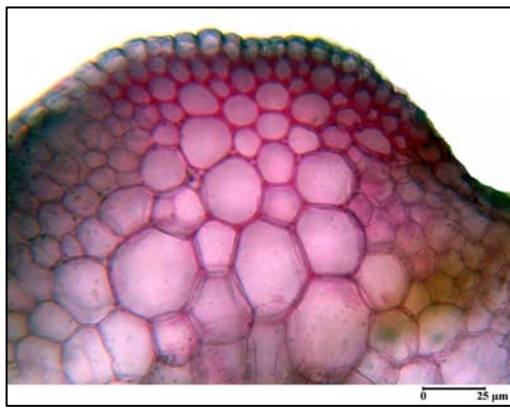


Fig. 192

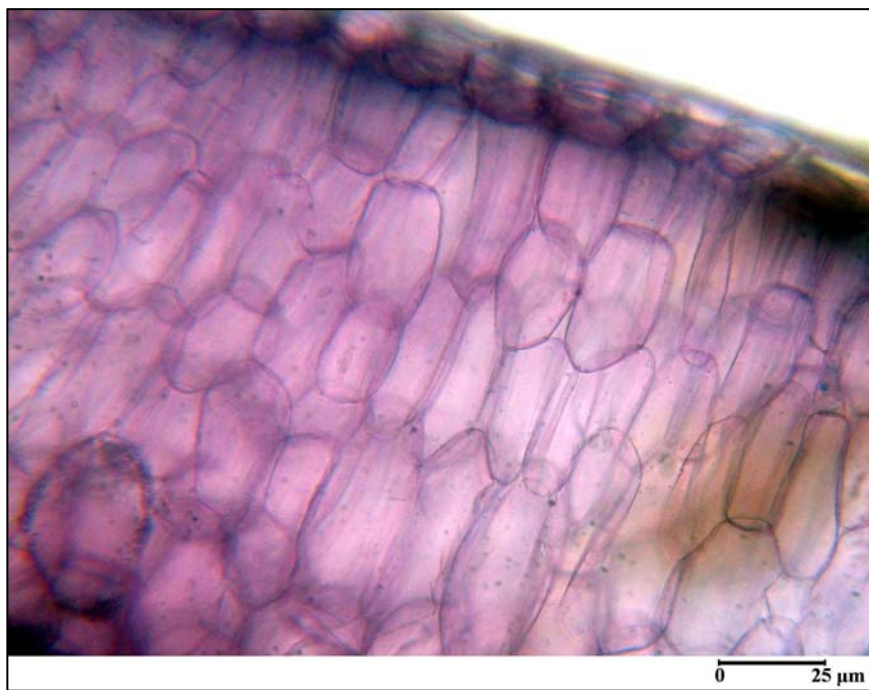
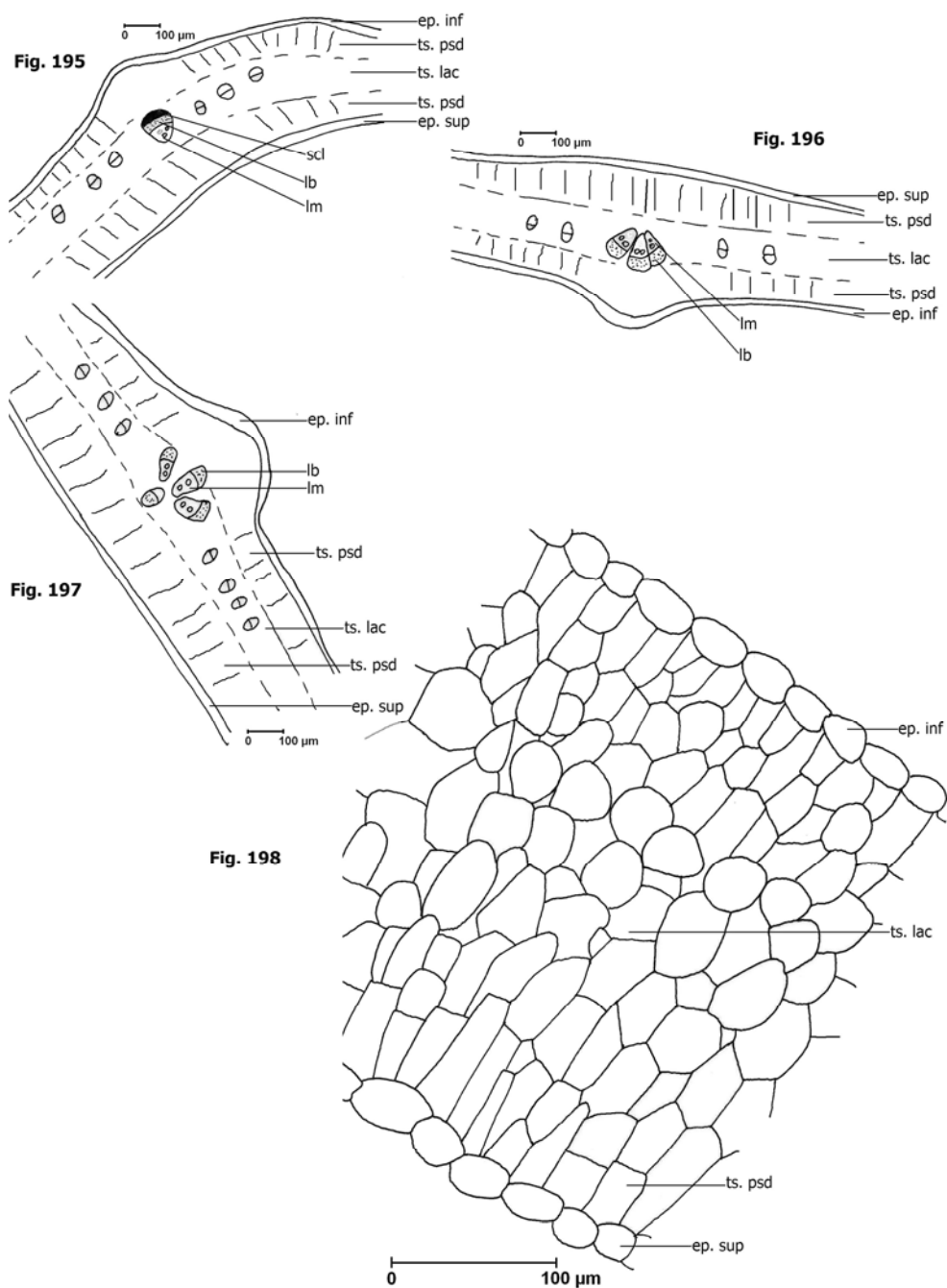


Fig. 193

*Atriplex littoralis*. Secțiuni transversale prin limbul foliar, treime mijlocie (Fig. 191) și treime inferioară (Fig. 192-193).



*Atriplex littoralis*. Secțiuni transversale prin limbul foliar, treime superioară (Fig. 195, 198), treime mijlocie (Fig. 196) și treime inferioară (Fig. 197).

***Atriplex prostrata* Boucher ex DC****Rădăcină – treime inferioară (Fig. 199, 205)**

Trecerea de la structura primară la cea secundară se face de timpuriu, pe seama ambelor meristeme laterale: cambiul și felogenul.

Felogenul formează puține straturi de suber spre exterior și ceva mai multe straturi de feloderm spre interior. Celulele de suber sunt alungite tangențial, având pereți subțiri, dar intens suberificați. Celulele de feloderm sunt puternic alungite tangențial și turtite radiar, având pereții slab colenchimatizați. Chiar la acest nivel se poate evidenția fenomenul de policambie. Structura secundară tipică este generată de cambiul normal, care produce puține vase de lemn și de liber secundar. Ulterior, pe seama periciclului ia naștere un cambiu supranumerar, care va da un inel de parenchim fundamental celulozic, în care sunt dispuse pe un cerc fascicule libero-lemnoase, cu liberul spre exterior și lemnul spre interior.

Structura primară este mai adesea de tip diarh, iar în primul inel produs de cambiul supranumerar vasele au o dispoziție neregulată, sunt de diametru mare, cu pereții moderat îngroșați și lignificați; între vase, celulele de parenchim lemnos au pereții celulozici, iar libriformul este reprezentat prin fibre cu pereții moderat îngroșați și lignificați. Treptat, se formează un al doilea cambiu supranumerar, care produce un inel relativ compact de lemn spre interior și altul de liber spre exterior. În inelul de lemn predomină libriformul, celulele de parenchim fiind foarte rare, ca și vasele; acestea din urmă au diametru diferit și sunt dispersate neregulat. Inelul de liber cuprinde tuburi ciuruite, celule anexe și celule de parenchim liberian.

**Rădăcină – treime mijlocie (Fig. 200, 206)**

La acest nivel sunt vizibile patru inele de lemn și tot atâtea inele de liber, structura generală prezentând o vizibilă asimetrie, pe una din fețele secțiunii fiind vizibile doar două inele de lemn și tot atâtea de liber. Toate inelele de lemn sunt intens lignificate, în ele predominând libriformul, iar vasele sunt dispersate neregulat. Inelele de liber sunt în totalitate celulozice, cuprinzând zone de liber conducător (tuburi ciuruite și celule anexe) separate de zone de parenchim liberian (Fig. 200). Pe alocuri, inelele de lemn sunt străpunse de raze parenchimatice-celulozice, iar în inelele de liber pătrund benzi subțiri de elemente cu pereți lignificați.

**Rădăcină – treime superioară (Fig. 201, 207)**

La acest nivel se observă 6 – 7 inele concentrice de lemn, în totalitate lignificat, separate de tot atâtea inele de liber, complet celulozice. Inelele de



lemn și cele de liber sunt mai sinuoase, de grosime diferită, pe alocuri fragmentate sau în contact unele cu altele. În porțiunea centrală predomină țesutul lemnos (Fig. 201), liberul formând mici insule înconjurate complet de elemente cu pereții îngroșați și lignificați; o asemenea situație poate fi observată și spre exteriorul rădăcinii, unde inelele de liber celulozic sunt fragmentate de benzi radiare de țesut lignificat.

Centrul organului este ocupat de un masiv lemnos compact, intens lignificat, având de o parte și de alta, deci în poziție opusă, 2 fascicule de liber vizibil colenchimatizat.

### **Tulpină – treime superioară** (Fig. 202, 209)

Conturul secțiunii transversale este circular-eliptic.

Epiderma prezintă celule izodiametrice sau ușor alungite tangențial, de mărime diferită și cu peretele extern ușor mai îngroșat decât ceilalți, acoperit de o cuticulă subțire.

Scoarța este relativ subțire, de tip colenchimatic (1-3 straturi) spre exterior și de tip parenchimatic în rest. Zona de colenchim este discontinuă și prezintă celule cu pereții extern și intern mai îngroșați decât ceilalți, deci putem vorbi de un colenchim tangențial. Parenchimul cortical este de tip meatic (Fig. 202), mărimea celulelor crescând de la exterior spre interior; unele celule din straturile interne conțin ursini de oxalat de calciu.

Centrul tulpinii este ocupat de o măduvă parenchimatic-celulozică, ale cărei celule axiale se dezorganizează, rezultând o cavitate aeriferă de contur neregulat. În jurul acestei cavități aerifere centrale se află un inel de parenchim fundamental, în care sunt înfipte mai multe (aproximativ 15) fascicule conducătoare libero-lemnoase de tip colateral, dispuse pe un cerc și având dimensiuni diferite. Mărimea celulelor dintre fascicule crește treptat spre cavitatea aeriferă centrală, cele localizate chiar în vecinătatea acesteia prezentând vizibili pereți periclini de diviziune. Fiecare fascicul conducător (Fig. 202) prezintă lemnul format din vase separate de puține celule de parenchim celulozic și liberul alcătuit din tuburi ciuruite și celule anexe, cele dintâi fiind vizibil colenchimatizate. În lemnul situat în vecinătatea liberului se observă și câteva elemente libriforme, cu pereții moderat îngroșați, dar intens lignificați.

În restul cilindrului central se observă o situație asemănătoare cu cea din rădăcină: 2-3 inele de liber, rezultate în urma activității unor cambii supranumerare. Aceste inele sunt pe alocuri discontinue, astfel încât liberul ne apare sub formă insulară în cea mai mare parte a cilindrului central. Lemnul este complet lignificat, cu vase și libriform, iar liberul este complet celulozic, mai redus cantitativ decât lemnul și format din tuburi ciuruite, celule anexe și puține elemente de parenchim liberian.

Secțiunile efectuate chiar la **baza organului** (Fig. 204, 210) ne arată aceeași structură ca și în cazul rădăcinii, rezultată din activitatea mai multor cambii supranumerare, așa încât numărul inelelor concentrice de liber și de lemn este mai mare (3-4), în vreme ce în treimea mijlocie (Fig. 203) și în cea superioară (Fig. 202), structura este normală. Totdeauna, inelele de lemn sunt foarte groase, iar cele de liber mult mai subțiri, în ele observându-se insule de liber conducător separate de puține celule de parenchim celulozic. În jurul cavității aerifere centrale se află resturi din parenchimul medular dezorganizat (unele celule conținând ursini de oxalat de calciu), precum și o zonă perimedulară cu celule foarte mari, dispuse în serii radiare și cu vizibili pereți periclini de diviziune; unele din aceste celule conțin ursini de oxalat de calciu.

O observație interesantă și constantă este aceea că am evidențiat în cilindrul central al organelor vegetative axiale de la speciile de halofite investigate de noi o mare cantitate de libriform, cu pereți groși, **lignificați**.

Lignificarea masivă vizibilă în cilindrul central al rădăcinilor speciilor afectate de policambie ar putea fi indusă de salinitatea excesivă a solului (Bickenbach, 1932). Kozłowski (1997) era de părere că salinitatea mărește cantitatea de fibre. Trebuie să ne gândim că în contextul unor adaptări multiple a plantelor la salinitate, fiecare specie răspunde prin anumite modificări metabolice. N-ar fi exclus ca lignina să fie un astfel de răspuns, în sensul măririi rezistenței pereților celulari la presiunea osmotică ridicată din soluția solului. Chiar și așa, însă, contribuția jucată de lignină în asigurarea rezistenței la săruri halofitelor trebuie privită cu prudență, deoarece legătura dintre aceasta și salinitate nu este întotdeauna relevantă.

Pe de o parte, la unele soiuri de orez (rezistente, respectiv sensibile, la salinitate), o valoare ridicată a salinității (40 mM NaCl) mărește conținutul de lignină (Seung et al., 2004). În aceeași idee, observații histochemice la soiuri de grâu tolerante la săruri și la soiuri sensibile la săruri, au confirmat o lignificare mai intensă în celulele radiculare ale soiurilor tolerante, comparativ cu cele sensibile (Jbir et al., 2001).

Pe de altă parte, salinitatea ridicată poate reduce conținutul de lignină în internodurile de la *Suaeda maritima* (Hagège et al., 1988). La *Atriplex prostrata*, cultivată în soluții cu 0,5 și 1,0% NaCl, suprafața lignificată în al treilea și în al patrulea internod descrește în comparație cu plantele cultivate în soluție 0,0% NaCl (Wang et al., 1997).

În plus, corelații foarte interesante se pot face între lignină, extensină și condiții de salinitate crescută. S-a observat, în general, că la *Atriplex prostrata* (Wang et al., 1997) conținutul de extensină (o glicoproteină ce intră în compoziția peretelui celular) se mărește la plantele cultivate în condiții de salinitate. Astfel, în primul și în al doilea internod, plantele

cultivate în soluții de 2,0% NaC au înregistrat cel mai ridicat nivel de extensină în țesutul vascular, în scoartă, epidermă și măduvă. Nivelul de extensină a crescut în țesutul vascular pe măsură ce și salinitatea a crescut în al treilea internod; acesta a mai crescut în țesutul vascular și măduva din al patrulea internod. Rezultatele studiului lui Wang și colab. (1997) au arătat că a existat o cantitate mai mare de extensină solubilă în internodurile tinere (primul și al doilea) decât în cele în vârstă (al treilea și al patrulea). Acest lucru este explicat prin faptul că moleculele de extensină tind să se lege una de alta sau de alți componenți ai peretelui celular; în plus, extensina este strâns corelată cu depunerea ligninei și poate asigura suportul mecanic în celulele supuse unui stress de compresiune sau de torsiune, determinat de creșterea suprafeței vasculare sau de transportul lichidelor vasculare (Tiré et al., 1994; Li și Showalter, 1996). Deci, atât lignina, cât și extensina servesc la sporirea rezistenței peretelui celular. Lignina este, în general, localizată în xilem, iar extensina mai mult în floem (Ye și Varner, 1991; Showalter, 1993). În internodurile tinere, unde țesutul vascular nu este intens dezvoltat, conținutul de extensină solubilă este mărit de stresul salin, în special în parenchimul medular, care are o cantitate mică de extensină în condiții normale. În internodurile în vârstă, unde xilemul și floemul sunt bine dezvoltate, nu se observă o creștere în măduvă, ci în țesutul vascular. Astfel, suprafața lignificată (xilemul) este redusă, în schimb suprafața liberului s-a mărit în condiții saline; ceea ce poate fi corelat cu faptul că anumite substanțe organice sunt sintetizate pentru a menține potențialul osmotic în condiții saline, așa încât floemul este mult mai dezvoltat pentru a transloca aceste substanțe organice. În consecință, extensina devine abundentă în tulpină, dar conținutul de lignină scade. Aceste rezultate ar putea sugera că extensina poate înlocui lignina pentru a spori rezistența pereților celulari în condiții de stres salin. Mai mult, se știe că lignina este o componentă importantă în peretele celular secundar, iar extensina este o componentă obișnuită în peretele celular primar. Aceste observații ar putea fi corelate cu faptul că plantele supuse stresului salin pot rămâne la stadii juvenile de dezvoltare din cauza întârzierii în creștere și astfel „proporția” peretelui celular primar este mărită.

Ca o observație generală, putem afirma, cel puțin ca urmare a analizei speciilor de halofite luate de de noi în studiu, că lignificarea are o proporție mai ridicată la nivelul rădăcinii decât la cel al tulpinii, aspect pe care l-am menționat în rândurile de mai sus. În opinia noastră, aceasta nu reprezintă un fapt întâmplător, ci poate fi plasat în contextul poziției și rolului jucat de rădăcină în viața plantei. Excluzând poate speciile de halofite de coaste maritime, supuse impulverizațiilor saline, putem spune că rădăcina este organul cel mai expus la salinitate. În acest sens este logic să

susținem prezența la nivelul rădăcinii a unor mecanisme (structuri) generale capabile să controleze și să gestioneze pătrunderea apei sărate în corpul plantei și, eventual, reținerea ei la acest nivel.

Toate aceste detalii sunt în sprijinul importanței rădăcinii, a rolului jucat de aceasta la plantele expuse unor condiții de salinitate ridicată. În acord cu ceilalți autori, și părerea noastră este că lignina joacă un rol major în asigurarea rezistenței pereților celulari, în celule care trebuie să suporte presiuni osmotice destul de ridicate. Aceste realități fac, deci, din rădăcină o interfață cheie între salinitatea de la nivelul rizosferei și planta ca întreg. După cum spuneam, nu întâmplător tulpina multor specii de halofite nu este afectată de policambie, cel puțin nu în totalitate, deci proporția ligninei este mult mai scăzută (Grigore și Toma, 2006b, 2007b).

Nu este simplu, însă, de găsit o explicație convenabilă în ceea ce privește semnificația ecologică sau ecofiziologică a acestui fenomen. Halofitele sunt un grup ecologic heterogen; habitatele variază foarte mult și este greu de stabilit corelații. Mai degrabă speciile luate fiecare în parte pot oferi surse de interpretări.

Carlquist (2007) pune în discuție implicațiile fenomenului în depozitarea și recuperarea produșilor fotosintezei și a apei. El este de părere că alternanța între complexe vasculare (vascular increments) și parenchim, determinată de cambiile succesive, ar oferi un plan histologic „ideal” pentru stocarea apei și recuperarea produșilor fotosintezei și a apei.

Oarecum în același sens, noi am emis încă din 2006 o ipoteză privind semnificația ecologică a policambiei la halofite, date care au fost publicate (Grigore și Toma, 2006b). Acum, ca și atunci, afirmăm că prezența fenomenului de policambie la halofite ar putea avea legătură cu factorii de mediu modelatori. Astfel, sunt cunoscute anumite mecanisme reglatoare ale conținutului de săruri. Unul dintre acestea este diluția sării prin creștere a organului (Greenway și Thomas, 1965), altul este cel referitor la reținerea sărurilor în rădăcini și tulpini (Black, 1956; Eshel și Waisel, 1965; Jacoby, 1964, 1965), precum și retransportarea sărurilor în interiorul rădăcinilor și eliminarea lor în mediu (Willert, 1968, Cooil et al., 1965). Toate acestea ar putea fi corelate cu o suprafață internă sporită, dacă ne gândim doar la capacitatea ridicată de reținere, de stocare a apei cu sărurile din ea, în rădăcină și tulpină. Pe de altă parte, suberul de la exteriorul rădăcinii ar putea întârzia absorbția apei. Deci, sărurile pătrund mai greu în corpul rădăcinii, dar o dată ajunse aici ele ar fi împrăștiate în această suprafață sporită. S-ar putea ca, literalmente, distribuția apei în restul organelor plantei să fie „întârziată”. Mărirea suprafeței ar însemna inevitabil un spațiu de dispersie a sărurilor, care sunt diluate totodată, fiind astfel, în cele din urmă, mai puțin nocive pentru plantă. Fără îndoială că și numărul și

diametrul vaselor de lemn pot juca un rol în acest mecanism. De aceea putem privi policambia, prin efectele sale (multe vase, suprafață „internă” ridicată), ca un „compromis” benefic pentru plantă între necesitatea limitării creșterii (controlată de ABA) și necesitatea impunerii unei strategii de diluție a sărurilor în corpul plantei, mai puțin în regiunile superioare ale tulpinii. Vârful tulpinii, ca regiune de creștere, ar fi astfel protejată de efectele nocive ale sărurilor, căci se cunoaște că țesuturile tinere sunt mai sensibile la săruri, ca și înflorirea, ca etapă deosebit de importantă în viața plantei (Waisel, 1972).

Fig. 205

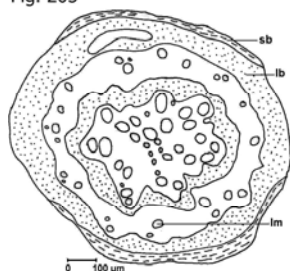


Fig. 206

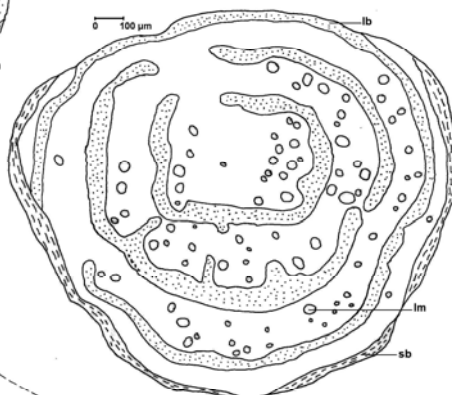
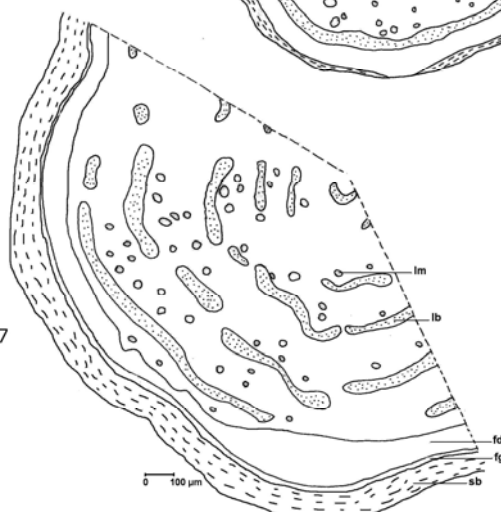


Fig. 207



*Atriplex prostrata*. Secțiuni transversale prin rădăcină, treime inferioară (Fig. 205), treime mijlocie (Fig. 206) și treime superioară (Fig. 207): scheme.



Fig. 199

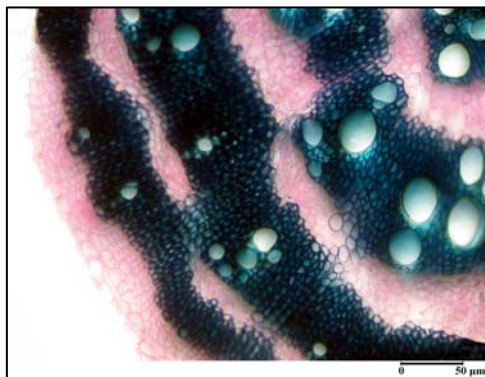


Fig. 200

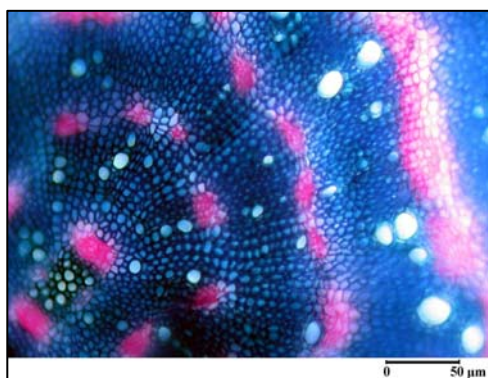


Fig. 201

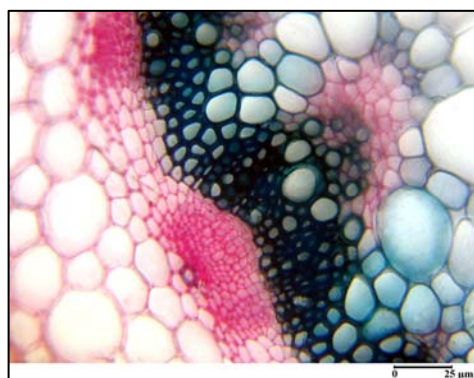


Fig. 202

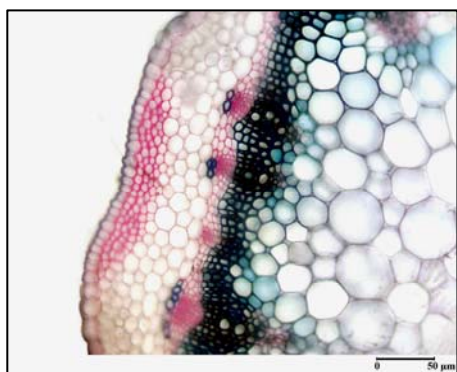


Fig. 203

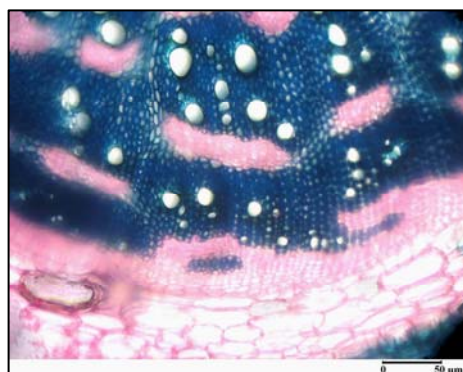


Fig. 204

***Atriplex prostrata*:** Secțiuni transversale prin rădăcină, treime inferioară (Fig. 199), treime mijlocie (Fig. 200) și treime superioară (Fig. 201), precum și prin tulpină, treime superioară (Fig. 202), treime mijlocie (Fig. 203) și inferioară (Fig. 204).

Fig. 208

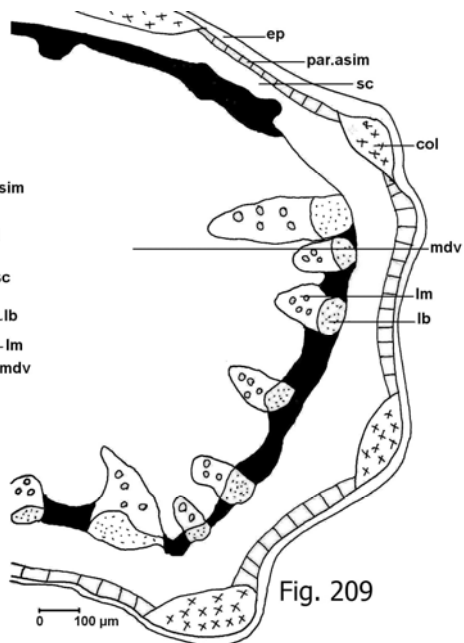
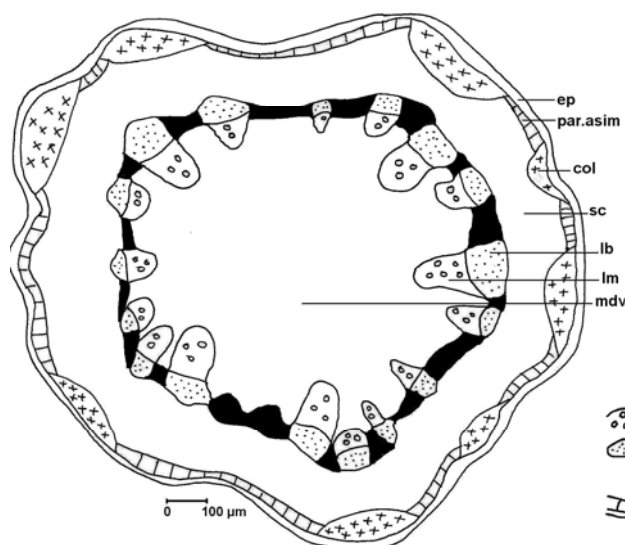


Fig. 209

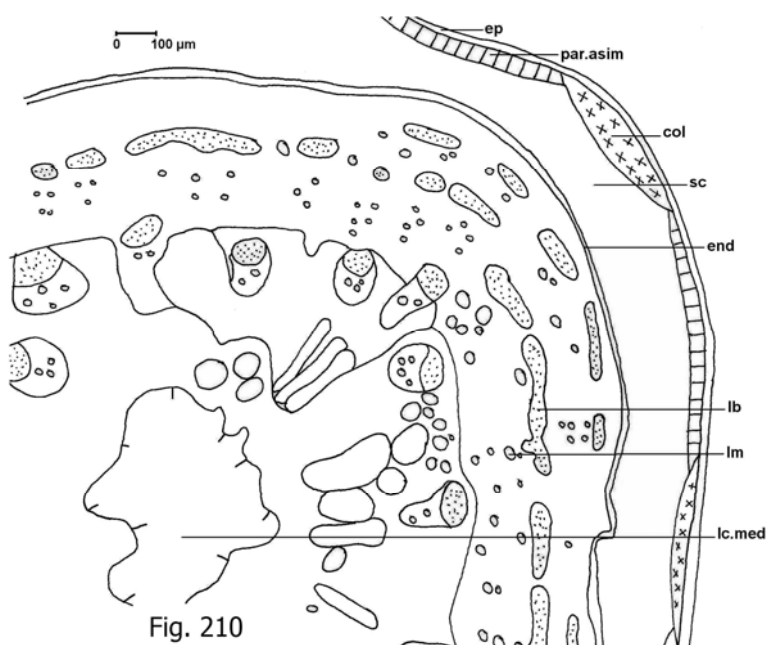


Fig. 210

*Atriplex prostrata*. Secțiuni transversale prin tulpină, treime superioară (Fig. 208), treime mijlocie (Fig. 209) și treime inferioară (Fig. 210): scheme.

### **Frunza (Fig. 217-220)**

#### **Petiolul (Fig. 211, 217)**

Conturul secțiunii transversale este semicircular, cu fața adaxială concavă, rezultând astfel un șanț larg și puțin adânc, delimitat de cele două creste latero-adaxiale (Fig. 217).

Epiderma prezintă celule izodiametrice, cu pereții intern și extern mai groși decât ceilalți, peretele extern este acoperit de o cuticulă subțire (Fig. 211). Din loc în loc se observă puține stomate. Sub epidermă, la fața adaxială și la cea abaxială, dar și în cele două creste latero-adaxiale, se observă puține celule de colenchim (Fig. 211). În parenchimul fundamental, de tip meatic, se observă mai multe fascicule conducătoare de tip colateral și de mărime diferită: câte două în fiecare creastă latero-adaxială și mai multe dispuse pe o elipsă centrală, cu liberul orientat spre epidermă. Toate fasciculele prezintă câte un cordon de elemente mecanice cu pereți celulozici la periferia liberului (Fig. 211). Structura fasciculului este asemănătoare cu cea din nervura mediană a limbului. Unele celule din parenchimul fundamental conțin ursini de oxalat de calciu.

#### **Limbul (Fig. 212-220)**

**Epiderma văzută de față** este formată din celule poligonale, cu pereții laterali drepecți (Fig. 212, 213, 217). Din loc în loc, în ambele epiderme se observă stomate de tip anomocitic; așadar, limbul este amfistomatic, numărul de stomate pe unitatea de suprafață fiind mai mare în epiderma inferioară (Fig. 219).

În **secțiune transversală**, nervura mediană, ca și nervurile laterale de ordinul întâi, proemină vizibil la fața inferioară și foarte puțin la fața superioară a limbului (Fig. 214). Nervura mediană cuprinde: celule epidermice mici, izodiametrice, 1-3 straturi de celule hipodermice colenchimatizate angular, parenchim fundamental de tip meatic și, în centru, patru fascicule conducătoare de tip colateral-deschis, din care trei formează un arc abaxial și unul – opus lor, la fața adaxială, înspre treimea inferioară mai ales (Fig. 219). Toate fasciculele au la periferia liberului câte un cordon relativ gros de elemente mecanice cu pereții groși, dar celulozici. Lemnul este format din vase cu dispoziție neregulată, separate de celule de parenchim lemnos celulozic. Liberul cuprinde tuburi ciuruite și celule anexe. Nervurile laterale prezintă doar câte un fascicul conducător.



Ambele epiderme au celule cu peretele extern ușor mai îngroșat decât ceilalți și acoperit de o cuticulă foarte subțire. Din loc în loc, în ambele epiderme se află stomate, cu câte o cameră suprastomatică puțin adâncă (caracter de xerofitism, așa cum aprecia și Chermezon în 1910).

Mezofilul este relativ omogen, format din celule ușor alungite perpendicular pe cele două epiderme și celule izodiametrice la mijloc (Fig. 215).

Așadar, limbul are o structură bifacială ecvifacială, cu ambele palisade de sub cele două epiderme formate de celule relativ joase și largi. Unele celule ale mezofilului conțin ursini de oxalat de calciu (Fig. 216).

Se pare că, dincolo de posibilitatea de a fi o trăsătură a familiei *Chenopodiaceae*, acizii organici și cristalele de oxalat de calciu ar putea fi corelate cu metabolismul halofitelor. Se știe că absorbția cationilor de către plante este echilibrată în parte de absorbția anionilor anorganici și, parțial, de sinteza internă de anioni organici (Waisel, 1972). Este nevoie de o echilibrare prin intermediul anionilor organici pe perioada proceselor de creștere, atunci când nitrații și sulfații sunt asimilați, sau când cationii sunt absorbiți în exces. La multe specii de halofite intervine o echilibrare cu ajutorul acizilor organici. În special la specii de *Atriplex*, asemenea acizi organici pot fi produși în exces. Plantele cu un asemenea tip de metabolism pot conține cantități apreciabile de depozite de cristale de oxalat de calciu.

Există, deci, date care indică faptul că sinteza oxalatului este legată de echilibrul ionic. Cristalele de oxalat de calciu pot fi privite ca manifestarea unui efort pentru a menține echilibrul ionic (Franceschi și Horner, 1980). Analizele chimice ale frunzelor de la multe specii de halofite au scos în evidență că acidul oxalic era în cantități apreciabile, corespunzător unor valori ridicate de oxalat de calciu (Osmond, 1967).

La *Atriplex halimus*, oxalatul de calciu este compusul predominant al conținutului total de acizi organici. Doar în condiții de cultivare în soluții ionice slabe conținutul acestui acid a fost scăzut (Mozafar et. al, 1970). Aceeași situație este valabilă și pentru alte specii, atunci când potențialul hidric din țesuturi este de asemeni scăzut (Zolhevitch și Koretskaya, 1959).

Osmond (1963) afirma că oxalatul de calciu este prezent în celulele foliare ca un antagonist pentru sodiu și potasiu.

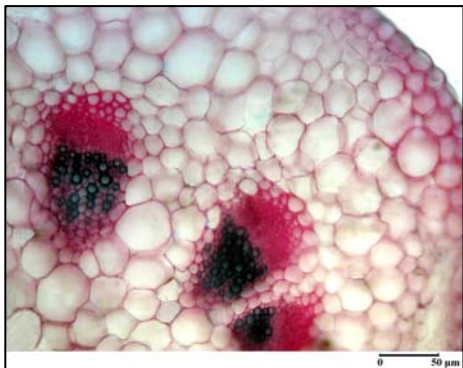


Fig. 211

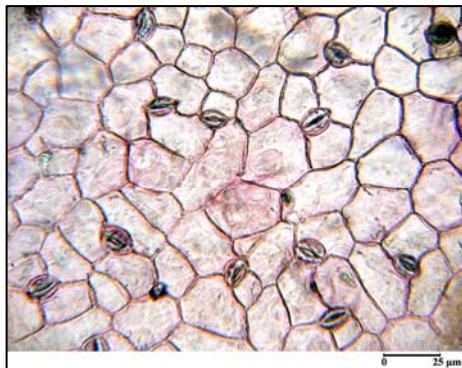


Fig. 212

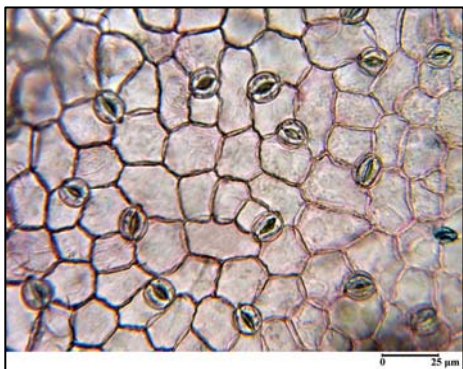


Fig. 213

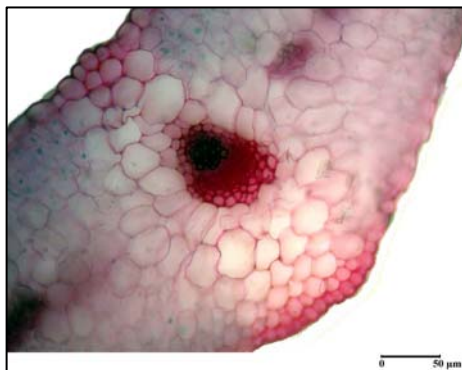


Fig. 214

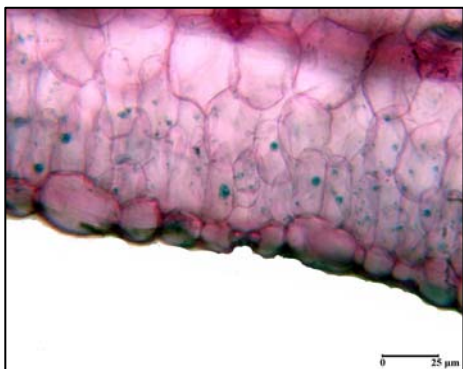


Fig. 215

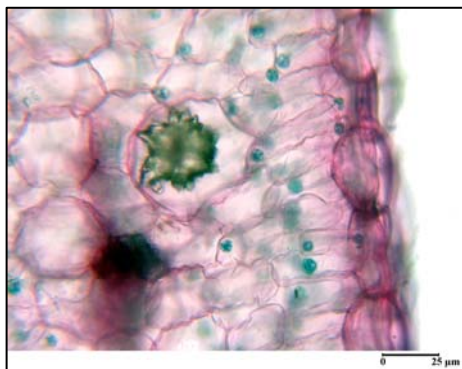


Fig. 216

*Atriplex prostrata*. Secțiune transversală prin pețiol (Fig. 211); epiderma superioară (Fig. 212) și epiderma inferioară (Fig. 213), văzute de față; secțiune transversală prin limbul foliar, treime superioară (Fig. 214), treime mijlocie (Fig. 215) și treime inferioară (Fig. 216).

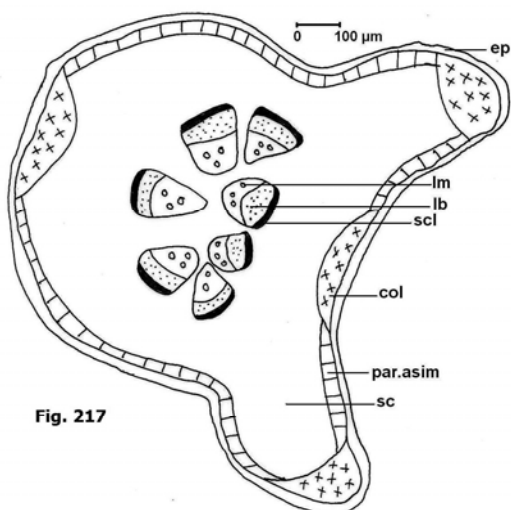


Fig. 217

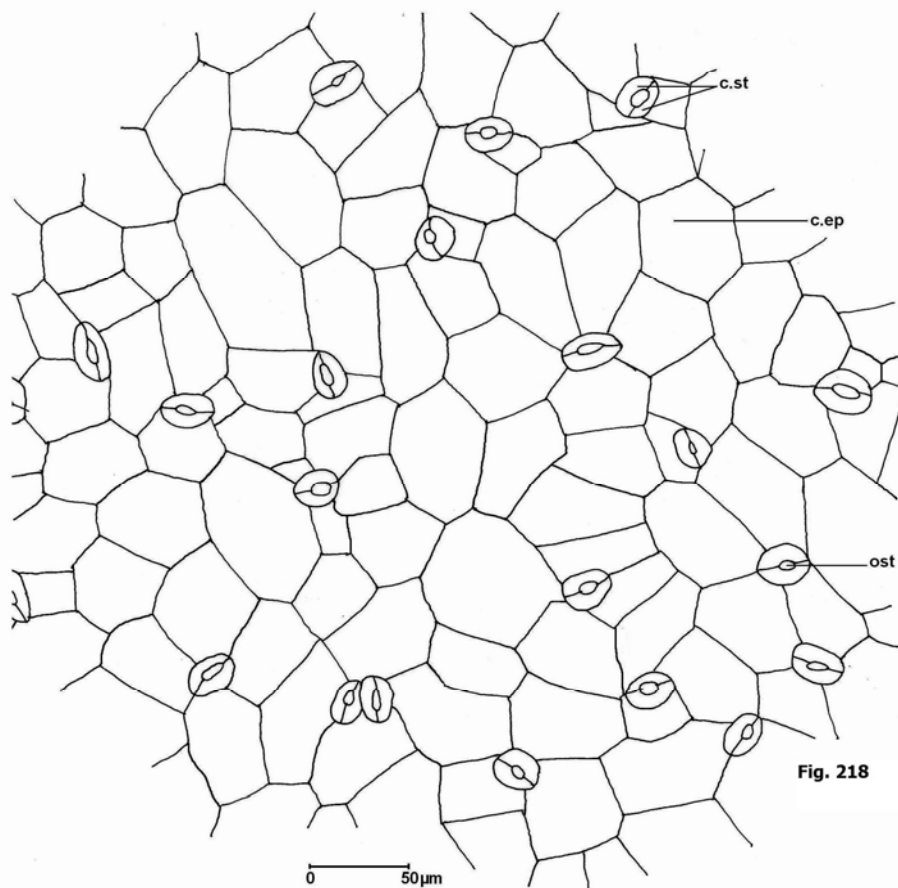
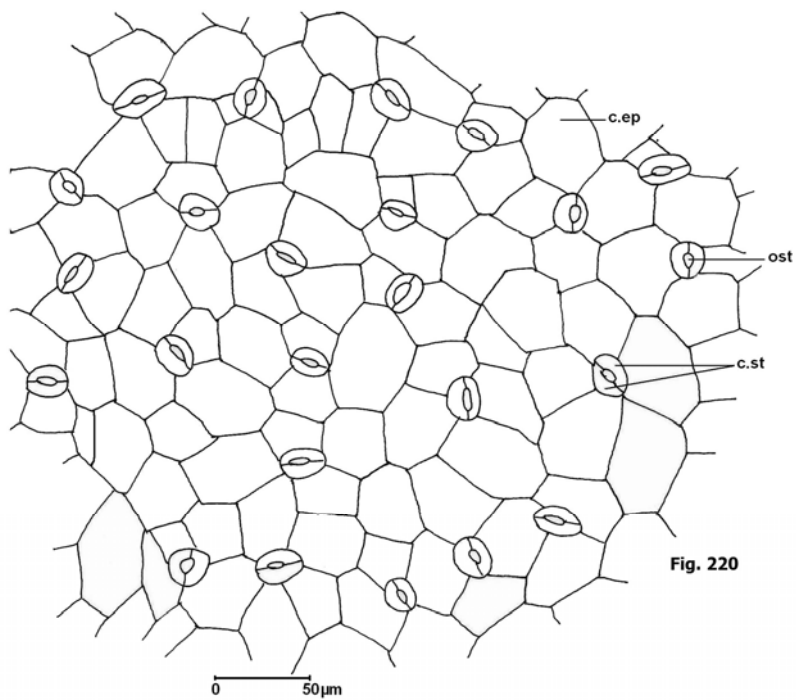
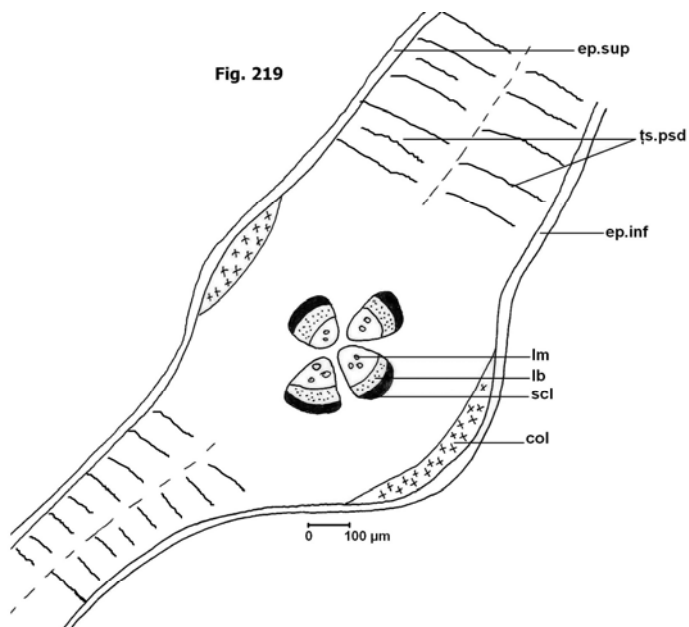


Fig. 218

*Atriplex prostrata*. Secțiune transversală prin pețiol (Fig. 217) și epiderma superioară, văzută de față (Fig. 218).



*Atriplex prostrata*. Secțiune transversală prin limbul foliar, treime inferioară (Fig. 219) – schemă și epiderma inferioară, văzută de față (Fig. 220).

### *Atriplex tatarica* L.

#### **Rădăcină – treime inferioară** (Fig. 221, 222, 229)

Structura este secundară, rezultat al activității ambelor meristeme laterale: cambiul și felogenul.

Felogenul formează un suber pluristratificat (3-5 straturi) tipic, ale cărui straturi externe se exfoliază în mod inegal pe circumferința organului.

Cambiul formează un masiv lemnos central, compact, în întregime sclerificat și lignificat, înconjurat de țesut liberian, ce formează 3 arcuri foarte apropiate între ele (Fig. 221).

Lemnul constă din vase de diametru diferit, separate de mult libriform; doar în axul rădăcinii se disting câteva vase de lemn primar, separate de puține celule de parenchim lemnos celulozic (Fig. 222).

Liberul este format din tuburi ciuruite, celule anexe și puține celule de parenchim liberian, toate cu pereți subțiri, celulozici.

Structura secundară este completată de țesuturi rezultate din activitatea cambiilor supranumerare (în număr de 2, la acest nivel), cambii care produc mai mult lemn spre interior și mai puțin liber spre exterior.

Lemnul formează 2 cercuri aproape continue, care cuprind o mare cantitate de libriform, în care sunt dispersate puține vase de diametru diferit.

#### **Rădăcină – treime mijlocie** (Fig. 223, 228)

Structura de la acest nivel se datorează activității unui număr de 4 cambii supranumerare, care formează tot atâtea zone groase de lemn (Fig. 223), ce înconjoară arcuri concentrice foarte subțiri de țesut liberian.

Zona de suber este mult mai groasă (7-8 straturi), exfolierea straturilor externe fiind neuniforma pe circumferința rădăcinii.

Pe alocuri se observă formarea de rădăcini laterale, care străbat toate zonele conducătoare, precum și pătura de suber.

#### **Rădăcină – treime superioară**

La limita dintre tulpină și rădăcină structura este mixtă, dar existența unei măduve parenchimatice și a unor fascicule conducătoare libero-lemnoase individualizate ne determină să apreciem că ea se apropie mai mult de tulpină. Spre baza organului, se constată o parenchimatizare a zonei axiale, luând aspectul unei măduve, iar țesuturile conducătoare inițiale formează 4 fascicule libero-lemnoase, cu vasele de lemn dispuse în șiruri radiare, separate de puține celule de parenchim lemnos; liberul are toate elementele cu pereții vizibil colenchimatizați.

În jurul acestei structuri primare se află 4 fascicule concentrice de țesut lemnos puternic sclerificat și intens lignificat, în care sunt înfipte tot atâtea zone concentrice de mici insule liberiene. Alcătuirea liberului și a lemnului este asemănătoare cu cea de la nivelul rădăcinii.

Toate aceste țesuturi sunt rezultatul activității cambiilor supranumerare, care în mod normal formează fascicule conducătoare, însă marea dezvoltare a țesutului lemnos estompează structura fasciculară în favoarea celei inelare.

La periferia cilindrului central se află o zonă aproape continuă de parenchim cortical primar, acoperită de o pătură groasă (3-7) de suber, formată din celule cu pereți moderat îngroșați, dar intens suberificați.

### **Tulpină – treime superioară (Fig. 224, 230)**

Conturul secțiunii transversale este neregulat-eliptic-costat, cu coaste foarte proeminente, cuprinzând cordoane de colenchim.

Epiderma prezintă celule ușor înalte, cu peretele extern puternic bombat și acoperit de o cuticulă groasă. La nivelul epidermei se observă numeroși peri tectori.

Scoarța este colenchimatică (Fig. 224), totdeauna mai groasă în coaste și se continuă cu câteva straturi de parenchim spre interior, stratul cel mai profund este format din celule cu nisip de oxalat de calciu, sub care se află un endodermoid.

Periciclul este parenchimatic, de el sprijinindu-se cordoanele perifloemice de fibre sclerenchimatice.

În cilindrul central se află mai multe (20-24) fascicule lobero-lemnoase, de mărime diferită, separate de raze medulare sclerificate și lignificate, în contact direct cu cordoanele de fibre perifloemice; în acest fel, țesutul liberian formează insule înconjurate complet de elemente sclerificate și lignificate (Fig. 224).

La nivelul lemnului se disting atât elemente de origine primară (puține vase separate de parenchim lemnos celulozic), cât și elemente de origine secundară, reprezentate de vase separate de fibre libriforme.

Măduva este parenchimatic-celulozică, de tip meatic.

### **Tulpină – treime mijlocie (Fig. 225)**

Conturul secțiunii transversale este poligonal-costat (adesea hexagonal). Structura generală este asemănătoare cu cea de la nivelul analizat anterior, cu următoarele deosebiri:

- celulele epidermice au peretele extern în cea mai mare parte cutinizat;

- sub endodermoid s-a format deja o zonă uni- sau bistratificată de suber;
- între endodermoid și suber se află un strat discontinuu de fibre sclerenchimatice (Fig. 225);
- în cilindrul central sunt prezente mai multe (15) fascicule conducătoare, de mărime diferită, dispuse pe un cerc; la periferia lor se află un inel foarte gros de fibre sclerenchimatice, cu peretele extrem de gros și intens lignificat; în acest inel mecanic se disting, din loc în loc, șiruri de vase lemnoase separate de celule de parenchim moderat sclerificat și slab lignificat;
- toate fasciculele conducătoare au liberul în contact direct cu inelul mecanic, iar razele medulare sunt moderat sclerificate și lignificate;
- măduva este parenchimatice-lignificată, de tip meatic în poziție centrală, iar zona perimedulară, parenchimatice-celulozică, separă lemnul primar al fasciculelor conducătoare.

### **Tulpină – treime inferioară (Fig. 226, 227, 231)**

Structura se caracterizează prin următoarele trăsături:

- conturul secțiunii transversale este aproape circular, cu câteva coaste slab proeminente și cu puțin colenchim;
- în parenchimul cortical, sunt numeroase celulele cu nisip oxalifer sau cu ursini de oxalat de calciu;
- pătura de suber cuprinde 1-3 straturi de celule de mărime diferită, dar dispuse radiar;
- o pătură foarte subțire de țesut liberian;
- un inel foarte gros de sclerenchim (Fig. 226), în care sunt dispersate dezordonat numeroase fascicule conducătoare cu benzi de lemn puternic alungite radiar (vase și celule de parenchim lignificat); liberul acestor fascicule formează insule înconjurate complet de elemente cu pereți sclerificați și lignificați (Fig. 227);
- numărul fasciculelor conducătoare de la fața internă a inelului de sclerenchim rămâne constant (15), toate având în cea mai mare parte structură primară; doar, fasciculele mai mari au și câteva elemente de origine secundară în imediata vecinătate a liberului;
- măduva prezintă numeroase celule cu ursini de oxalat de calciu.



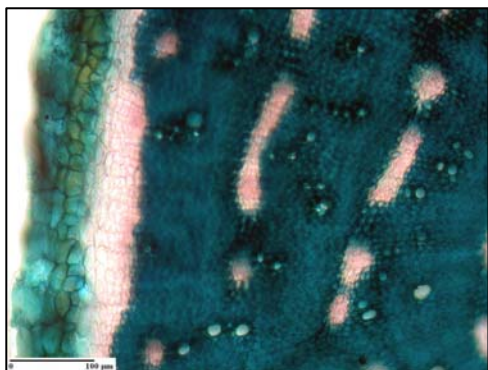


Fig. 221



Fig. 222

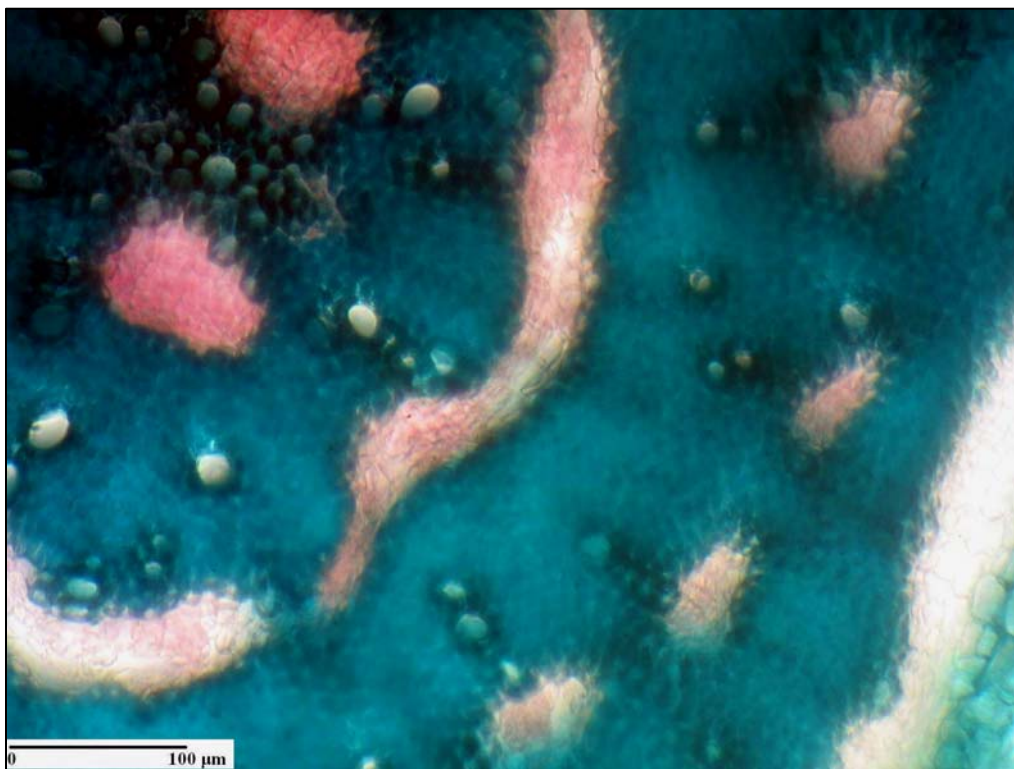


Fig. 223

*Atriplex tatarica*. Secţiuni transversale prin rădăcină, treime inferioară (Fig. 221, 222) şi treime mijlocie (Fig. 223).



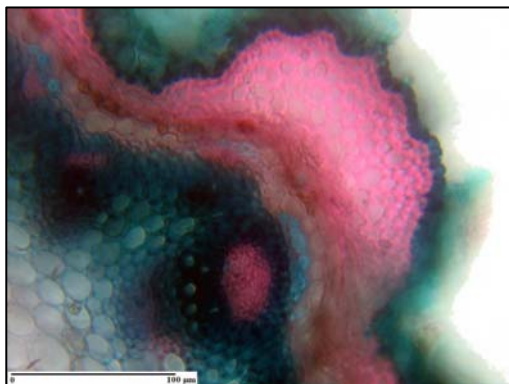


Fig. 224



Fig. 225

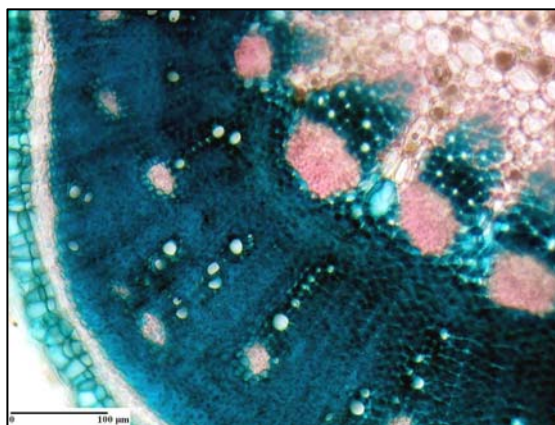


Fig. 226

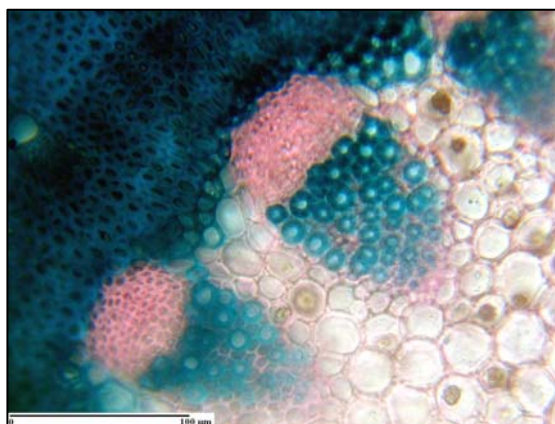


Fig. 227

*Atriplex tatarica*. Secțiuni transversale prin tulpină, treime superioară (Fig. 224), treime mijlocie (Fig. 225) și treime inferioară (Fig. 226, 227).

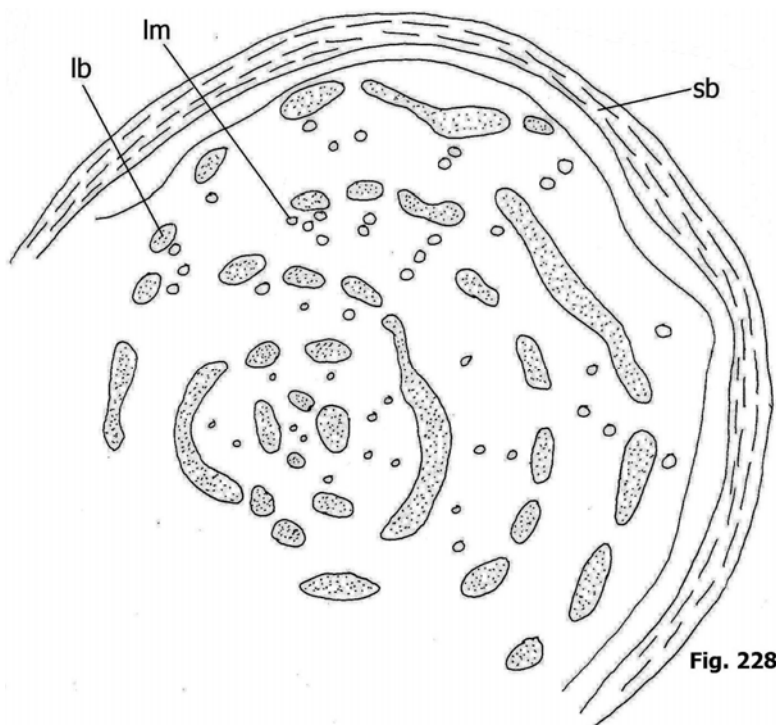


Fig. 228

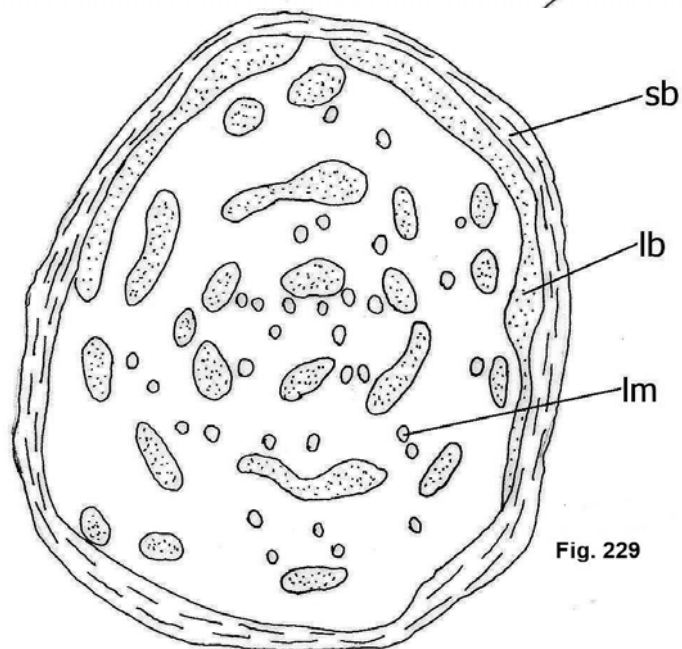


Fig. 229

*Atriplex tatarica*. Secțiuni transversale prin rădăcină, treime mijlocie (Fig. 228) și treime inferioară (Fig. 229): scheme.

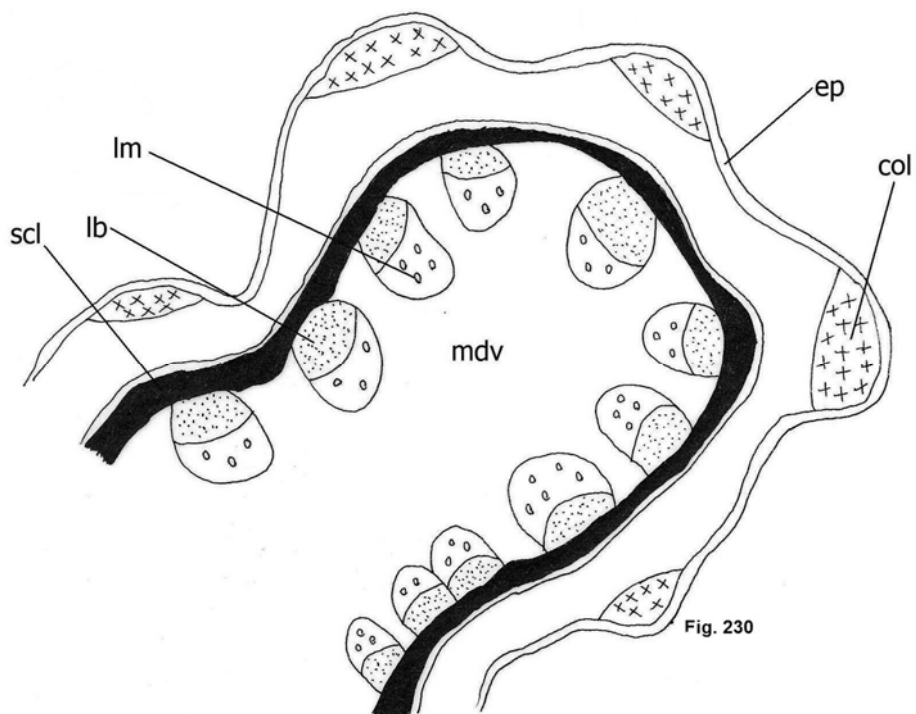


Fig. 230

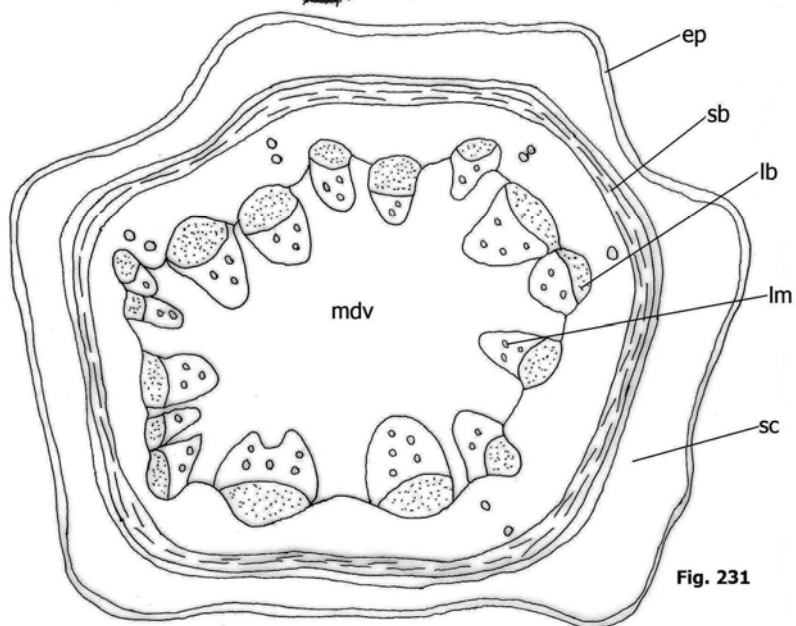


Fig. 231

*Atriplex tatarica*. Secțiuni transversale prin tulpină, treime superioară (Fig. 230) și treime inferioară (Fig. 231).

### Frunza (Fig. 232-236)

**Epiderma superioară, văzută de față** (Fig. 233) prezintă celule de contur poligonal, cu pereții laterali drepți (plani); prin transparență se observă ursini de oxalat de calciu.

Ceea ce atrage atenția în mod deosebit este rețeaua de nervuri, în ochiurile căreia sunt insule cu celule epidermice, încojurate de delule dreptunghiulare, perpendiculare pe nervuri (Fig. 233); ultimile nervuri, înconjurare de astfel de celule, realizează niște protuberanțe adânc înfipite în insulele de celule epidermice. Toată această structură se observă mișcând viza micrometrică: într-un plan sunt vizibile celulele epidermice și în alt plan, celulele tecilor perifasciculare, perpendiculare pe nervuri.

Aceste celule perpendiculare pe nervuri reprezintă de fapt „coroanele” de celule ce înconjoară nervurile, aranjament tipic ce poartă numele de *Kranz anatomy* (Waisel, 1972). Există mai multe tipuri, clasificări și variații ale acestui tip de anatomie; tipul menționat de noi corespunde celui *atriplicoid* (Jacobs, 2001; Muhaidat et al., 2007) și a fost evidențiat și la alte specii de *Atriplex*: *A. lampa* (Pyykkö, 1966) și *A. buehnanii* (Troughton și Card, 1974); o structură asemănătoare a fost pusă în evidență și la *Atriplex sibirica* de către Gamaley (1985), Frey și Kürschner (1983).

De un real interes sunt implicațiile ecologice, adaptative și evolutive care se pot face cu referire la aceste structuri anatomice foliare, aspecte pe care le-am pus în discuție într-un articol publicat anterior (Grigore și Toma, 2007a).

**Epiderma inferioară, văzută de față** (Fig. 232) este formată din celule de același tip, dar mai mici, iar din loc în loc se observă stomate. Prin transparență sunt vizibile mici și numeroși ursini de oxalat de calciu.

În **secțiune transversală** (Fig. 234-236) **prin limb**, nervura mediană proemină vizibil la fața inferioară, față la care se observă numeroși peri veziculari foarte mari (Fig. 235-236), care secretă săruri; asemenea peri sunt foarte rari la fața superioară și mai ales în dreptul nervurii mediane. Nervura mediană cuprinde un fascicul libero-lemnus înconjurat parțial (la fața externă a lemnului) de o teacă de celule cu dispoziție radiară. În parenchimul fundamental al nervurii mediane sunt vizibile celule cu ursini de oxalat de calciu. Numărul fasciculelor conducătoare din nervurile laterale este mic, dar toate înconjurare de câte o teacă asimilatoare de celule mari, alungite și dispuse radiar față de fascicule (Fig. 234).

Mezofilul este relativ compact, cu celule izodiametrice sau pe alocuri, ușor alungite perpendicular pe epidermă, luând aspectul unor celule palisadice. Multe din celulele mezofilului conțin ursini de oxalat de calciu.

În **treimea inferioară**, la bază, nervura mediană proemină ușor și la fața superioară, unde sub epidermă se află 2-3 straturi tipice de colenchim. În parenchimul fundamental al nervurii mediane sunt 4 fascicule conducătoare, din care 3 pe un arc abaxial și unul opus acestui arc, cu lemnul spre fața abaxială. Parenchimul asimilator rămâne tot compact, dar omogen, cu toate celulele izodiametrice.

La acest nivel al limbului foliar, trebuie să evidențiem două aspecte:

În primul rând, prezența perilor secretori. Acești peri acumulatori de săruri sunt prezenți la multe specii de halofite din familia *Chenopodiaceae*, mai ales la cele de *Atriplex*. Au fost evidențiați de mulți autori (Pyykko, 1966; Baumeister, Kloos, 1974; Troughton, Card, 1974; Fahn, 1988; Freitas, Breckle, 1993; Lüttge, 1971; Toderich et al., 2002; Waisel, 1972) și sunt formați din două celule: o celulă pedicel, mică și una veziculară („bladder”), mare. Structura celei-pedicel este asemănătoare cu cea a celulelor ce aparțin altor tipuri de glande; ea conține o citoplasmă densă, bogată în mitocondrii, reticul endoplasmic și numeroase vezicule mici, precum și cloroplaste. Celulele-pedicel sunt conectate cu celulele veziculare sau cu cele ale mezofilului prin numeroase plasmodesme.

S-a demonstrat că, în cazul acestor celule veziculare, concentrația sodiului și a clorului este mai mare decât cea din celulele mezofilului și mai mare decât cea a mediului extern. De regulă, conținutul de sodiu este mai mare decât cel de potasiu. De asemenea, veziculele manifestă o electronegativitate mai mare decât restul celulelor mezofilului și decât cea a soluției externe. Deci, direcția fluxului de săruri este dinspre mediul extern, prin mezofil, spre aceste structuri secretoare. De vreme ce acest proces are loc împotriva gradientului de concentrație, se pare că procesul reclamă un consum energetic.

Acești peri au fost evidențiați și la *Atriplex leucoclada* (Bonnier și Leclerc du Sablon, 1905); autorii erau de părere că acești peri se umplu cu apă în perioadele umede, iar în cele secetoase rezervele sunt consumate; pereții acestor celule, golite și aplatizate, formează un înveliș care protejează planta împotriva deshidratării.

Este o certitudine faptul că perii veziculari reprezintă un important mecanism ce intervine în toleranța la săruri. La *Atriplex halimus*, acești peri joacă un rol important în îndepărtarea sării din frunze, prevenind astfel acumularea ionilor toxici în parenchim și în țesuturile vasculare. În acest fel

se menține în celulele frunzelor un nivel relativ constant al sărurilor (Mozafar și Goodin, 1970). În plus, s-a demonstrat că în interiorul acestor celule veziculare concentrațiile de Na și K sunt foarte ridicate și cresc dacă plantele sunt supuse unor tratamente saline. Și conținutul de Cl se mărește în aceste condiții, ceea ce echilibrează mare parte din ionii de Na și K în peri. Se mai presupune că perii măresc transpirația, ceea ce duce la acumularea sărurilor în interiorul lor.

Acest tip de structură secretoare a fost evidențiat și la alte genuri din familia *Chenopodiaceae*, precum *Chenopodium* (Brian și Cattlin, 1968).

Structurile secretoare de săruri la *Chenopodiaceae* sunt foarte interesante, iar semnificația lor ecologică a fost pusă în discuție de Waisel (1972). Se pare că sunt mecanisme bine puse la punct, care atestă dependența de factorii pedologici, în special de tipul și concentrația salinității<sup>21</sup>.

*Atriplex tatarica* ar putea fi considerată, de fapt, o specie ruderală; el are un spectru ecologic larg, fiind mezofilă către xerofilă, alcalinofilă obligată și neohalofilă, de la slab la puternic și chiar foarte puternic tolerantă. Se dezvoltă bine pe locuri cu multe substanțe nutritive, foarte ruderalizate prin târlire, îngrășate cu bălegar, potrivit de umede, dar și uscate, când poate suporta concentrații mai mari de săruri (prin concentrarea acestora, n.n) (Bucur și colab., 1961).

---

<sup>21</sup> Putem să privim aceste glande ca un alt exemplu în favoarea „ipotezei” adaptărilor „extreme” din punct de vedere histo-anatomic: se știe că glandele sunt mai active în condiții de salinitate *crescută*, deci când un factor de mediu este puternic ca intensitate; nu mai vorbim de faptul că sunt glande care devin active, trecând din starea „latentă” atunci plantele când sunt cultivate în soluții saline, caz întâlnit la graminee sau la specii de *Glaux*. Firește, studii suplimentare vor putea să încline balanța în favoarea sau în defavoarea acestei observații.

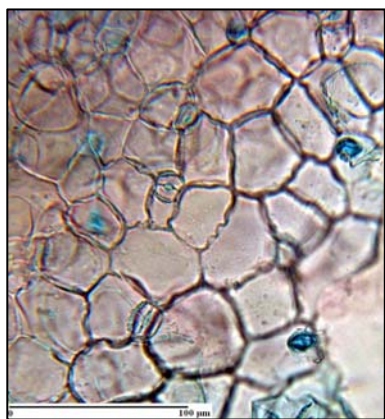


Fig. 232

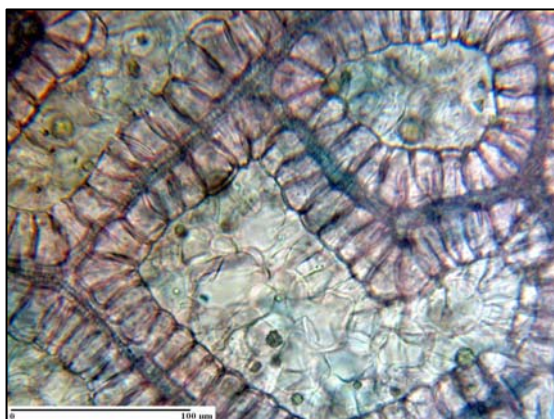


Fig. 233

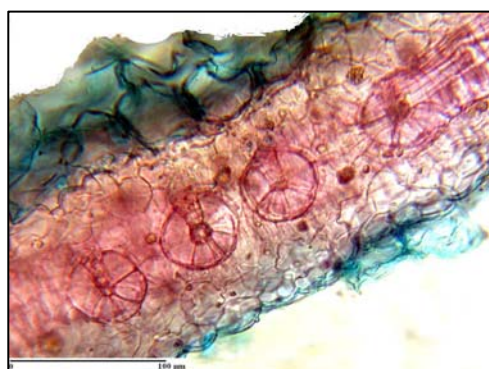


Fig. 234

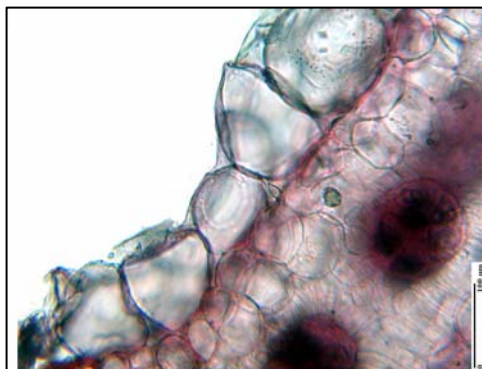


Fig. 235

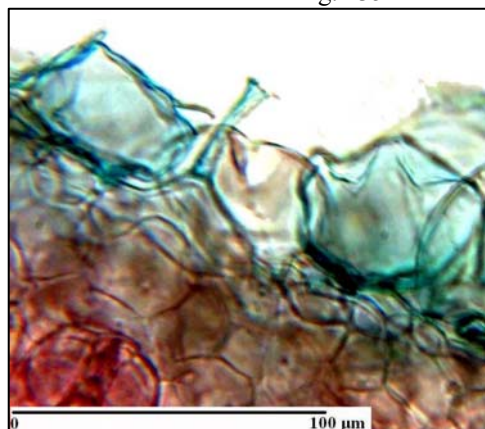


Fig. 236

*Atriplex taratica*. Epiderma inferioară (Fig. 232) și cea superioară (Fig. 233) văzute de față, precum și secțiuni transversale prin limbul foliar (Fig. 234-236).



### ***Bassia hirsuta* (L.) Asch.**

#### **Rădăcină – treime inferioară** (Fig. 237, 238, 247)

Structură este secundară, rezultat al activității ambelor meristeme laterale.

Suberul (Fig. 238) prezintă 3-4 straturi de celule în curs de exfoliere și se află în imediata vecinătate a inelului de liber secundar.

Țesuturile conducătoare formează un inel subțire de liber și un corp lemnos central foarte gros, cu 2 subzone:

- una axială, subțire, cu vase puține, dar de diametru mare, și cu mult libriform (Fig. 237);
- alta externă, foarte groasă, cu puține vase, dar mai largi spre interior, dispersate neregulat, și cu foarte mult libriform; acesta din urmă are fibre cu pereți extrem de groși, dar moderat lignificați.

Întregul corp lemnos și inelul liberian, sunt străbătute de numeroase raze medulare, mai adesea uniseriate, care la nivelul lemnului au celule cu pereți puternic îngroșați, dar slab lignificați.

#### **Rădăcină – treime mijlocie** (Fig. 239, 240, 248)

La acest nivel, se schițează și o zonă perifloemică specială, discontinuă, uni- sau bistratificată, ale cărei celule seamănă mai mult cu elementele unei endoderme de tip terțiar (îngroșări în formă de potcoavă). Astfel de elemente cu pereții îngroșați ar putea aparține unui veritabil țesut mecanic, localizat în poziție periciclică, la periferia inelului liberian (Fig. 240).

Corpul lemnos este mai gros, mai intens lignificat și cu vase mai numeroase, păstrând tot o dispoziție neregulată. În zona axială, parte din celule se dezorganizează, rezultând o cavitate aeriferă de contur neregulat (Fig. 239).

#### **Rădăcină – treime superioară** (Fig. 241-249)

Periderma este tipică, dar are grosime diferită pe circumferința organului, celulele suberului prezentând pereți puțin îngroșați, dar intens lignificați.

Zona de elemente mecanice este mai groasă (2-3 straturi) și aproape continuă, pereții celulelor componente (alungite tangențial) fiind intens lignificați (Fig. 241).

Corpul lemnos este și mai gros, intens lignificat și cu mai multe vase pe unitatea de suprafață; în zona axială, pereții celulelor sunt mai subțiri, fie lignificați, fie celulozici.

Este interesant faptul că rădăcina acestei specii, din ceea ce am reușit noi să observăm, este neafectată de policambie; din ce cunoaștem, sau cel



puțin dintre toate speciile de *Chenopodiaceae* analizate de noi, este singura specie cu structură secundară „normală”, cel puțin la nivelul rădăcinii.

**Tulpină – treime superioară** (Fig. 242, 243, 250, 252, 253)

Epiderma prezintă celule cu peretele extern bombat, mai gros decât ceilalți și acoperit de o cuticulă groasă. Din loc în loc sunt peri bicelulari, cu celula terminală bicornută și cu peretele extern bombat (Fig. 252, 253).

Scoarța este subțire, ușor colenchimatizată pe alocuri, unele celule interne, foarte mari, conținând nisip de oxalat de calciu.

Cilindrul central cuprinde:

- un inel subțire, extern de liber secundar;
- un inel intern, mult mai gros de lemn secundar;

Elementele liberului secundar sunt vizibil colenchimatizate. La periferia inelului de liber se află mai multe (10) cordoane groase de fibre sclerenchimatice (cu pereții extrem de groși și lignificați) (Fig. 242), ce corespund tot atâtor fascicule conducătoare libero-lemnoase din structura primară; lemnul primar al unora dintre aceste fascicule este încă vizibil în zona perimedulară (Fig. 243).

În inelul de lemn secundar predomină libriformul, în care puținele vase, de diametru diferit, sunt dispersate neregulat. Zona externă a inelului de lemn secundar este nelignificată.

Măduva este subțire, parenchimatic-celulozică, de tip meatic.

**Tulpina – treime mijlocie** (Fig. 244, 251)

Perii sunt mai numeroși.

În scoarța externă alternează cordoane de colenchim tangențial cu zone de clorenchim, având celule izodiametrice. Scoarța internă are celule foarte mari, alungite tangențial, cu pereți mai îngroșați.

Cordoanele de fibre perifloemice sunt mai groase (Fig. 244).

Inelul de lemn secundar este mai gros și mai intens lignificat, vasele sunt mai frecvente pe unitatea de suprafață, iar fibrele libriforme au pereți mai îngroșați și intens lignificați.

În zona perimedulară este vizibil lemnul al celor 10-12 fascicule conducătoare din structura primară, având vase dispuse în șiruri radiare separate de celule de parenchim celulozic.

**Tulpină – treime inferioară** (Fig. 245, 246, 254)

Perii sunt mai mari (Fig. 254) și cuticula este mai groasă.

Zonele de parenchim asimilator sunt mai subțiri; celulele cu nisip oxalifer sunt mai frecvente.

Între cordoanele de fibre perifloemice (Fig. 246) se găsește un strat discontinuu de celule mecanice, puternic alungite tangențial și având îndeosebi pereții tangențiali îngroșați, lumenul fiind abia vizibil.

Inelul de lemn este mai gros și mai lignificat, iar lemnul primar din poziție perimedulară este complet lignificat, chiar mai intens decât lemnul secundar (Fig. 245).

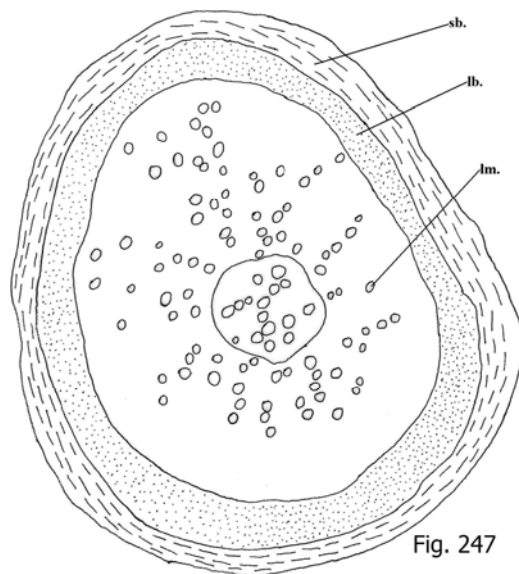


Fig. 247

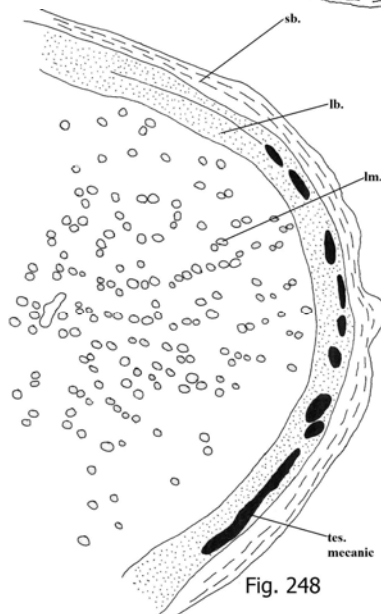


Fig. 248

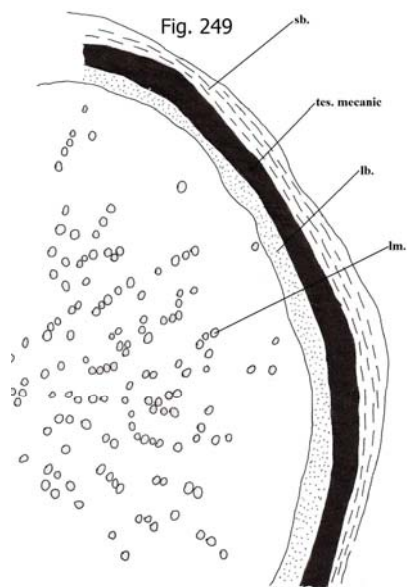


Fig. 249

***Bassia hirsuta***. Secțiuni transversale prin rădăcină, treime inferioară (Fig. 247), treime mijlocie (Fig. 248) și treime superioară (Fig. 249): scheme

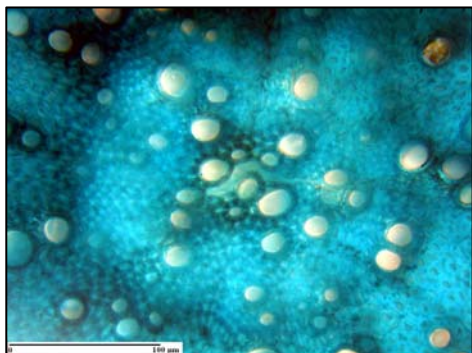


Fig. 237

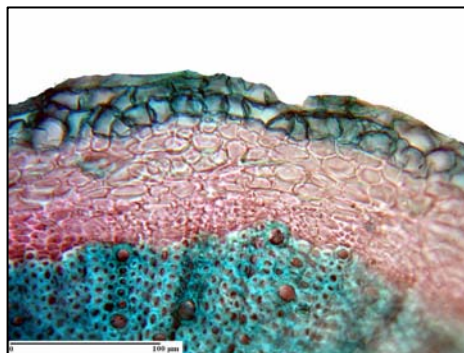


Fig. 238



Fig. 239

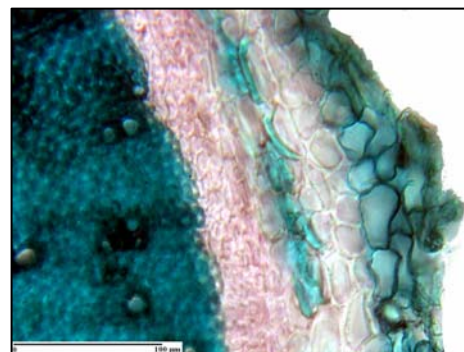


Fig. 240

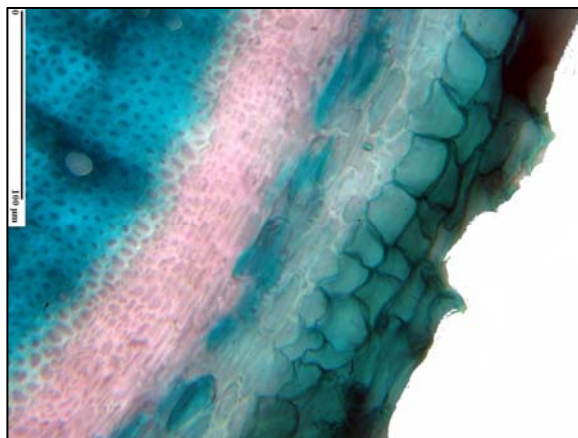


Fig. 241

*Bassia hirsuta*. Secțiuni transversale prin rădăcină, treime inferioară (Fig. 237, 238), treime mijlocie (Fig. 239, 240) și treime superioară (Fig. 241).



Fig. 242

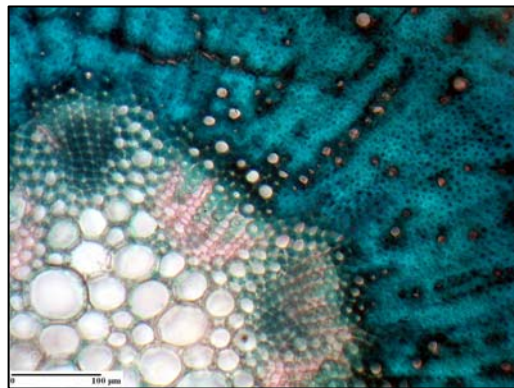


Fig. 243

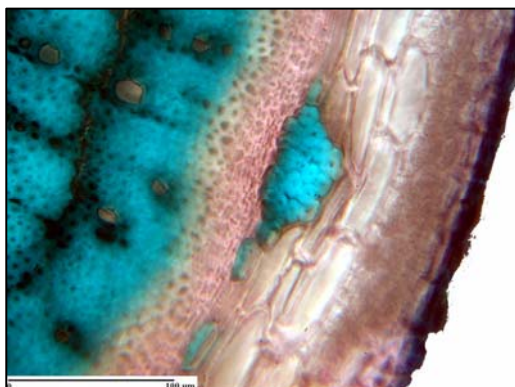


Fig. 244

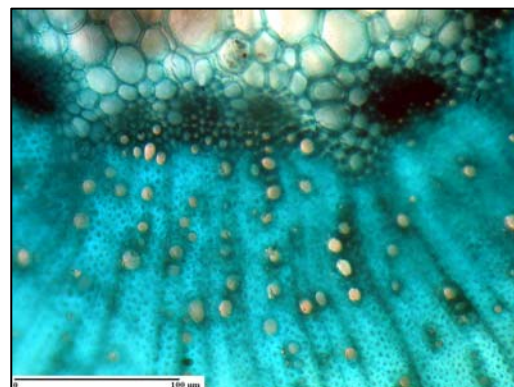


Fig. 245

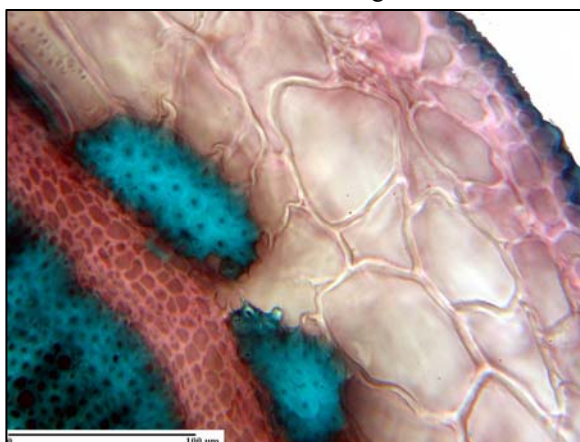


Fig. 246

*Bassia hirsuta*. Secțiuni transversale prin tulpină, treime superioară (Fig. 242, 243), treime mijlocie (Fig. 244) și treime inferioară (Fig. 245, 246).

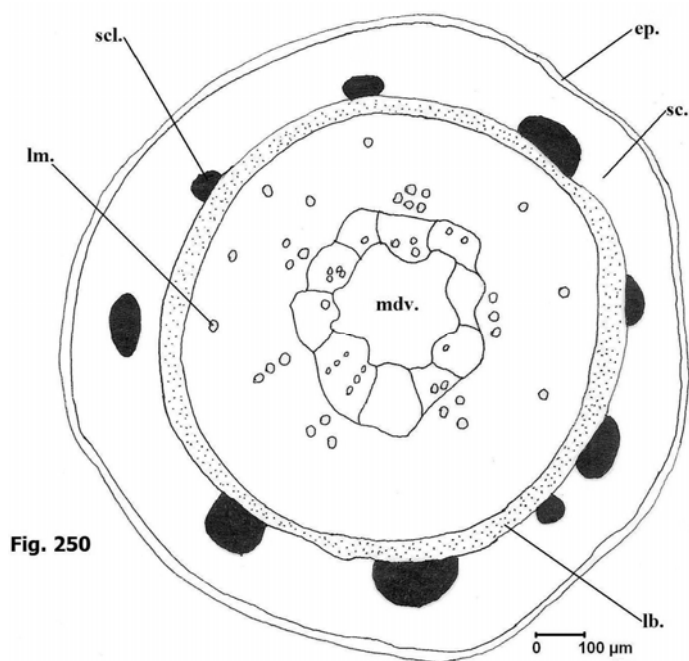


Fig. 250

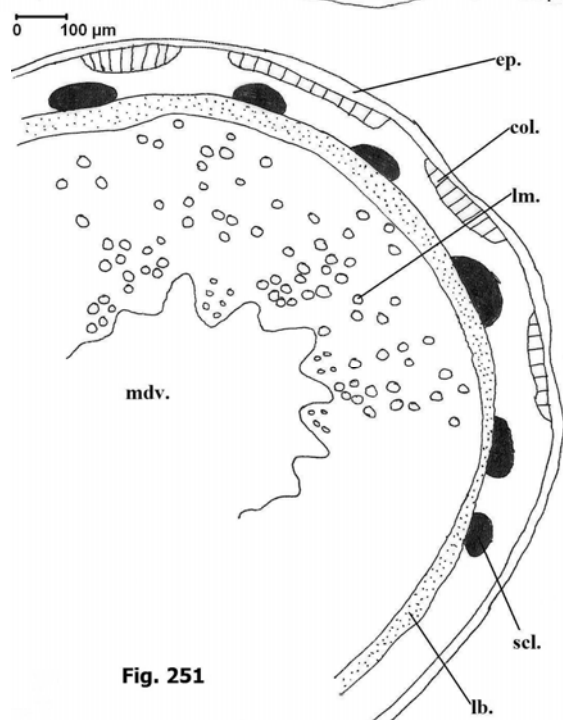
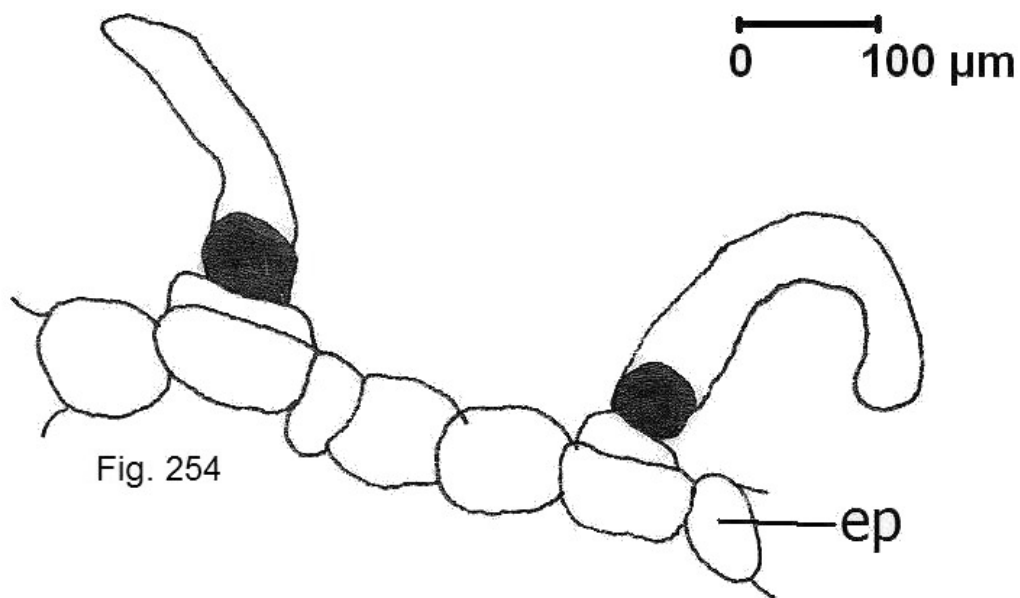
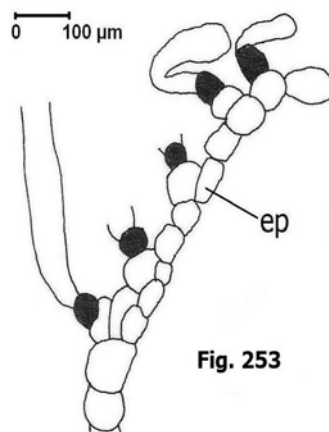
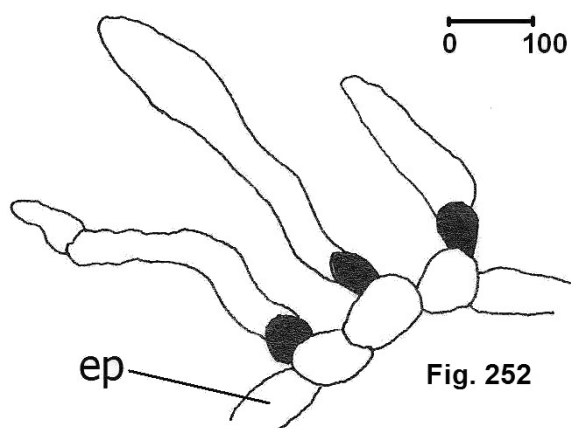


Fig. 251

*Bassia hirsuta*. Secțiuni transversale prin tulpină, treime superioară (Fig. 250) și treime mijlocie (Fig. 251): scheme.





***Bassia hirsuta*.** Peri tectori din epiderma tulpinii, treime superioară (Fig. 252-253) și treime inferioară (Fig. 254): scheme.

## Frunza

**Epiderma văzută de față** (Fig. 255) are celulele de contur poligonal, cu pereții laterali drepecți. Din loc în loc se observă stomate, mai adesea de tip paracitic. Prin transparență se observă numeroși ursini de oxalat de calciu. În unele celule epidermice foarte mari se observă o formațiune de contur circular.

În **secțiune transversală prin limb** (Fig. 256, 257), conturul limbului este dreptunghiular, cu unghiurile rotunjite. Celulele epidermice sunt mari, cu peretele extern mai gros decât ceilalți și acoperit de o cuticulă subțire. Din loc în loc sunt vizibile stomate, localizate ușor sub nivelul extern al celulelor epidermice. La nivelul epidermei sunt prezenți aceiași peritectori menționați la tulpină; celula lor bazală este una epidermică obișnuită, pe care se suprapune o alta, dreptunghiular-trapezoidală, a cărei proiecție se observă pe secțiune superficială.

Mezofilul este foarte gros, de tip palisadic, bi- sau tristratificat (Fig. 256, 257), cu celule înalte; unele dintre ele conțin ursini de oxalat de calciu. Țesutul palisadic înconjoară o zonă centrală subțire, formată din celule mari, alungite tangențial și lipsite de cloroplaste. Țesutul palisadic și aceste celule acvifere centrale conferă de fapt limbului suculența caracteristică.

Țesuturile conducătoare formează un fascicul mic median și 2 arcuri opuse, formate fiecare din câte 3-5 fascicule mai mici.

Cu privire la apartenența acestei specii la tipul fotosintetic  $C_3$  sau  $C_4$ , aceasta pare să corespundă tipului *sympegmoid* sau *austrobassoid* (de tip  $C_3$ ), însă nu ne putem pronunța cu siguranță deoarece, pe de o parte, nu am putut compara figurile secțiunilor transversale ale speciei noastre cu cele ale altor autori, iar pe de altă parte, datele din literatura străină atestă atât prezența fotosintezei de tip  $C_3$ , cât și a celei de tip  $C_4$  la speciile acestui gen. În plus, mai nou, există și inconsecvențe taxonomice, câtă vreme genul *Kochia*, despre care există unele precizări, a fost inclus în genul *Bassia*. De pildă, *Kochia prostrata* este o specie  $C_4$  (Pyankov et al., 2001; Muhaidat, Sage și Dengler, 2007), la fel ca și *K. scoparia* (Pyankov et al., 2001).

Specia investigată de noi, încadrată de Șerbănescu (1965) în grupa asociațiilor clorurice, se dezvoltă în sărături foarte puternice și foarte umede. Pe măsură ce umiditatea scade, deci pe măsură ce se îndepărtează de apă, *Bassia hirsuta* se rărește până ce dispare; excesul de apă este un factor fără de care specia nu poate trăi. Noi am recoltat-o de pe un sol umed, argilos-nisipos. Este foarte util să se rețină ideea că există o strânsă, și nu de puține ori complicată, corelație între umiditate, ionii de clor și suculență, idee pe care o vom dezbate mai pe larg în paginile următoare.



Fig. 255



Fig. 256

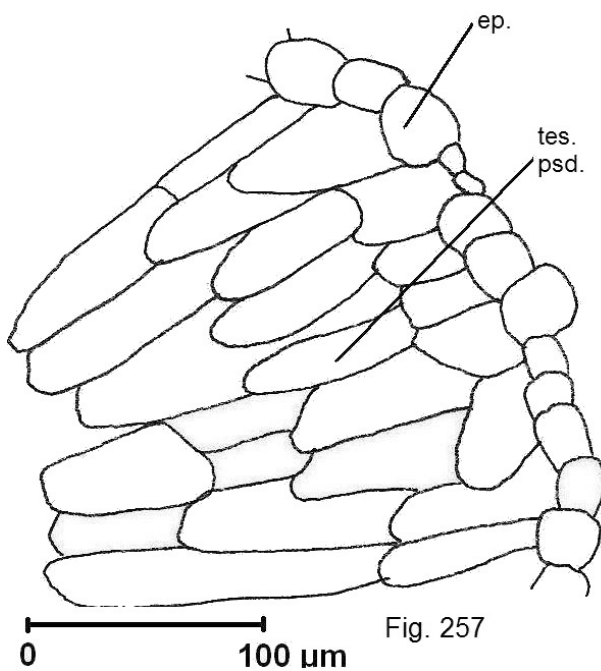


Fig. 257

*Bassia hirsuta*. Epiderma văzută de față (Fig. 255); Secțiuni transversale prin limbul foliar (Fig. 256, 257).



## ***Camphorosma annua* Pall.**

### **Rădăcină – treime inferioară (Fig. 258, 259, 265)**

Conturul secțiunii transversale este neregulat-circular, cu coaste puțin proeminente. La nivelul analizat, structura este tipic secundară, rezultat al activității ambelor meristeme laterale, structură continuată apoi datorită activității unui număr de 2 cambii supranumerare (Fig. 258).

La periferia rădăcinii se află o pătură relativ subțire (3-4 straturi) de suber tipic, păturile lui externe fiind în curs de exfoliere, de ele aderând, pe alocuri, încă resturi din parenchimul cortical primar.

Față de alte specii de *Chenopodiaceae*, distincția între structura secundară normală și cea terțiară, ulterioară, este greu de făcut; doar numărul și diametrul vaselor din zona centrală, separate de elemente cu pereții mai puțin îngroșați și slab lignificați, reprezintă mărturia structurii secundare. Din activitatea ambelor cambii supranumerare rezultă 2 arcuri aproape închise de libriform intens lignificat, în grosimea căruia se disting vase dispersate neregulat și de calibru diferit (Fig. 259). Aceste arcuri sunt ușor strangulate din loc în loc, dând impresia unui număr de fascicule lemnoase foarte apropiate, separate de raze parenchimatice-lignificate. La periferia fiecăruia dintre cele 2 arcuri sclerificate și lignificate se află câte un arc mai subțire de țesut celulozic, reprezentat de elemente liberiene. Pe unele secțiuni se observă formarea de rădăcini laterale, în dreptul deschiderii arcurilor de țesuturi conducătoare.

### **Rădăcină – treime superioară (Fig. 260, 266)**

Structura se menține în general asemănătoare, cu deosebirea că au funcționat deja 3 cambii supranumerare, rezultând tot atâtea inele lemnoase și inele liberiene, cele dintâi mult mai groase și puternic lignificate. Ca și la nivelul anterior analizat, liberul formează arcuri discontinue în zonele centrală și externă ale organului (Fig. 260). Pătura de suber este mai groasă (3-5 straturi), iar în inelele de liber se recunosc celule de parenchim mult mai mari și localizate în vecinătatea imediată a următorului inel lemnos. În toată grosimea rădăcinii, dar mai ales în inelele externe de lemn, fibrele libriforme au pereții extrem de groși și intens lignificați.

Structura secundară se recunoaște după numărul mare de vase pe unitatea de suprafață și după elementele libriforme dintre ele, cu pereții moderat îngroșați și slab lignificați.

### **Tulpină – treime superioară (Fig. 261, 267)**

Conturul secțiunii transversale este neregulat-poligonal, cu coastele rotunjite.

Epiderma are celule izodiametrice, cu peretele extern puternic bombat, mai îngroșat decât ceilalți și acoperit de o cuticulă groasă. Din loc în loc se observă stomate și rari peri tectori pluricelulari.

Scoarța este moderat colenchimatizată în toată grosimea ei, celulele straturilor externe fiind mai mici și cu pereții mai îngroșați.

Cilindrul central este de tip fascicular la o tulpină foarte tânără, dar țesuturile lui conducătoare devin curând de tip inelar, cu un început de structură secundară. La periferia inelului de liber se află o zonă continuă de fibre sclerenchimatice, cu pereți puternic îngroșați și intens lignificați; această zonă este mai groasă din loc în loc, unde formează cordoane ce corespund fasciculelor conducătoare din structura primară (Fig. 261).

Lemnul primar se distinge prin vase cu dispoziție mai regulată și separate de celule de parenchim celulozic. În lemnul secundar predomină libriformul, ale cărui fibre au pereții extrem de puternic îngroșați.

La o analiză mai atentă observăm că la fața internă a inelului „lemnos”, sclerificat și lignificat, există un număr de fascicule libero-lemnoase, localizate în dreptul coastelor tulpinale.

Din cele menționate, rezultă că fasciculele din structura primară rămân în poziție perimedulară, iar cambiul a format 2 zone concentrice de lemn și, respectiv, de liber secundar.

Măduva este parenchimatic-celulozică, de tip meatic, celulele având pereții moderat îngroșați, ca și cei ai celulelor corticale.

### **Tulpină – treime mijlocie** (Fig. 262, 268)

Conturul secțiunii transversale devine tipic circular, cuticula este mai groasă, procesul de lignificare este mai intens, inelul de lemn secundar este mai gros, în masa lui fundamentală de libriform observându-se vasele dispersate neregulat. La fața internă a inelului de lemn secundar sunt vizibile fasciculele din structura primară, dar formate numai din elemente lemnoase, cu pereți puternic lignificați; aceste fascicule alternează cu unele în care șirurile radiare de vase sunt separate de parenchim lemnos celulozic.

### **Tulpină – treime inferioară** (Fig. 263, 264, 269)

La periferia organului se observă, din loc în loc, lenticile mari, cu mult țesut suberos și cu puțin parenchim de umplutură; între lenticile se menține epiderma, cu o cuticulă groasă.

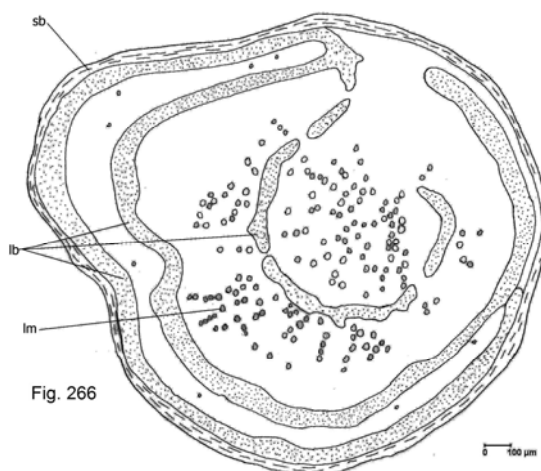
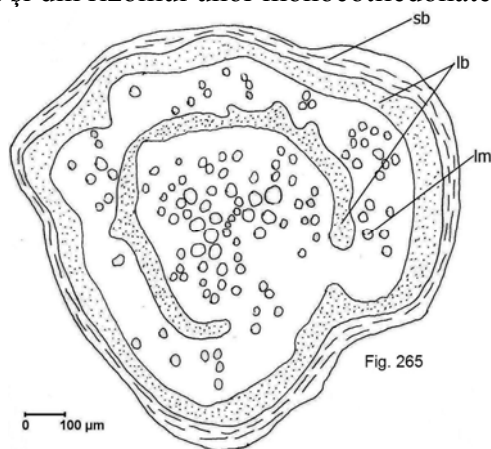
În scoarță, multe celule au pereți anticlini de diviziune.

Măduva este relativ subțire, de contur neregulat, cu unele celule centrale în curs de dezorganizare.

Țesuturile conducătoare secundare formează 2 inele concentrice, dintre care cel lemnos mult mai gros, cu numeroase vase dispersate neuniform în

masa fundamentală de libriform. Inelul de liber, mult mai subțire, este fragmentat pe alocuri de unele raze cu elemente parenchimatic-lignificate. La fața internă a inelului de lemn secundar se observă încă lemnul primar al fasciculelor inițiale, proeminând puternic în măduvă și având între vase puține celule de parenchim celulozic (Fig. 264).

La acest nivel al tulpinii s-a format și un cambiu supranumerar, din a cărui activitate a rezultat un inel relativ gros de lemn și un altul, mai subțire, de liber; în inelul de lemn, vasele sunt rare, iar la periferia inelului de liber se observă mai multe cordoane foarte subțiri de fibre sclerenchimatice, cu pereții moderat îngroșați și slab lignificați (Fig. 263). Între aceste cordoane se disting și elemente mecanice puternic alungite tangențial, cu pereții laterali și intern foarte îngroșați, amintind de celulele endodermei de tip terțiar din rădăcina și din rizomul unor monocotiledonate.



***Camphorosma annua*.** Secțiuni transversale prin rădăcină, treime inferioară (Fig. 265) și treime superioară (Fig. 266): scheme.



Fig. 258



Fig. 259

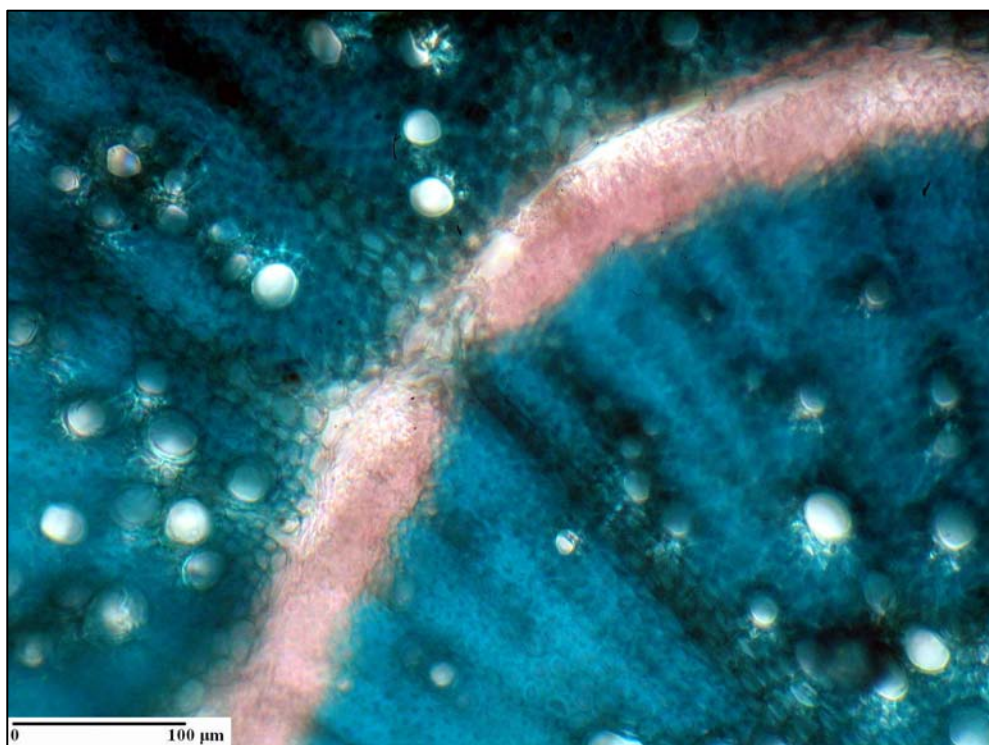


Fig. 260

*Camphorosma annua*. Secțiuni transversale prin rădăcină, treime inferioară (Fig. 258, 259) și treime superioară (Fig. 260).

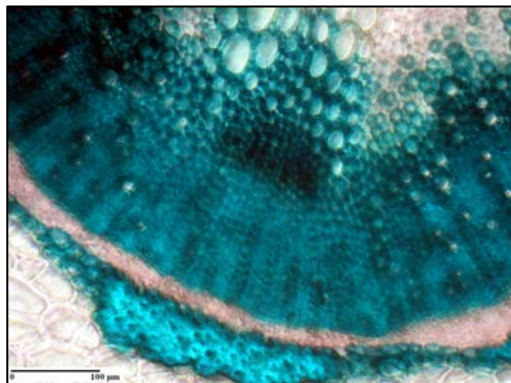


Fig. 261

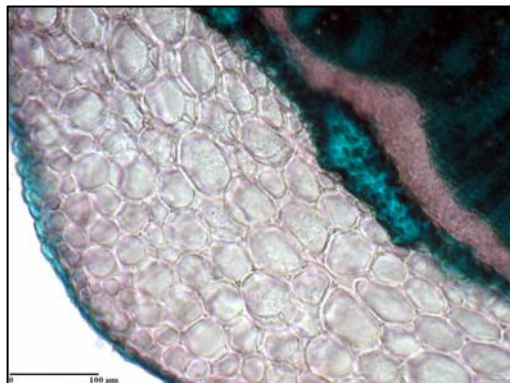


Fig. 262

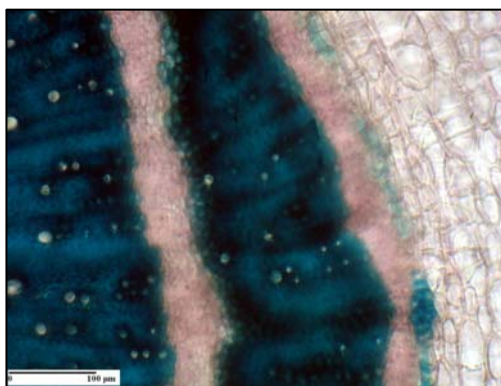


Fig. 263

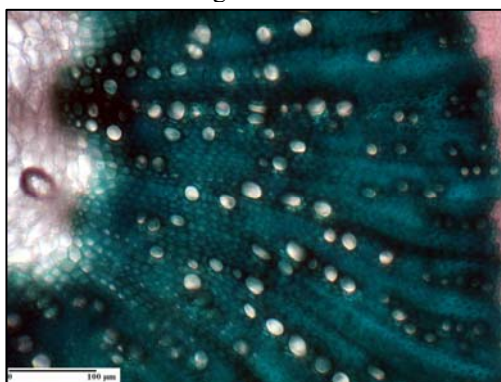


Fig. 264

*Camphorosma annua*. Secţiuni transversale prin tulpină, treime superioară (Fig. 261), treime mijlocie (Fig. 262) şi treime inferioară (Fig. 263-264).

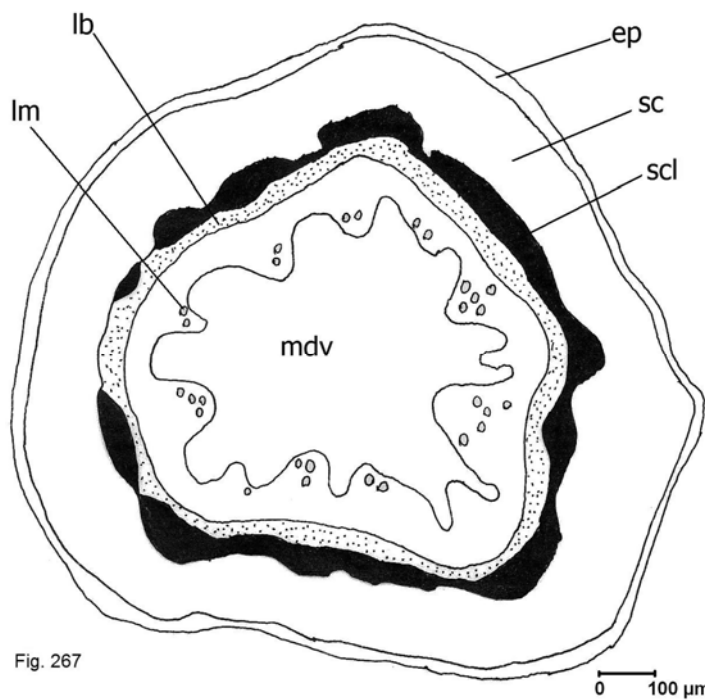


Fig. 267

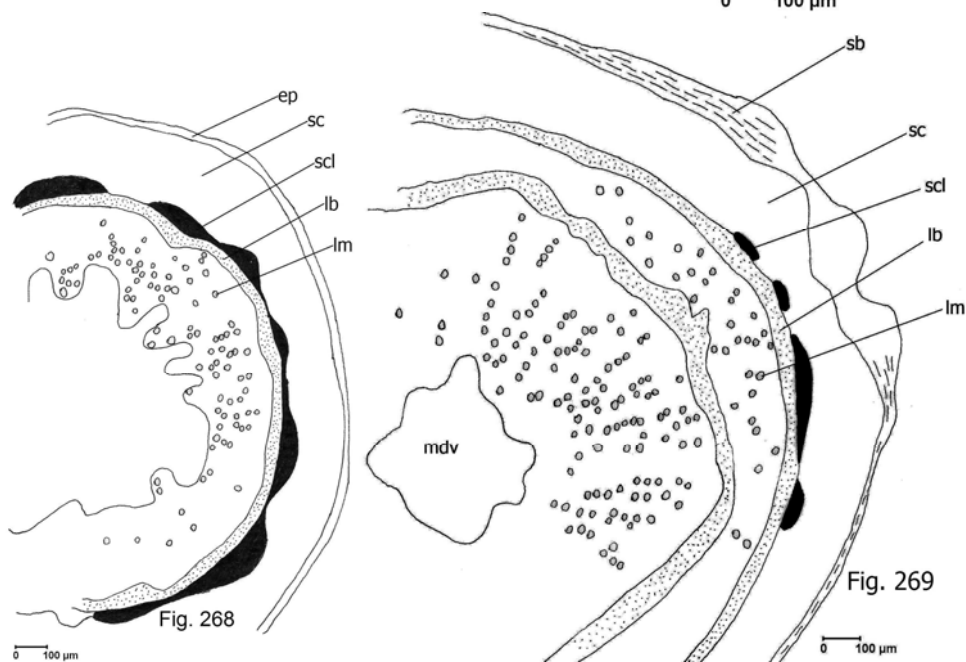


Fig. 268

Fig. 269

*Camphorosma annua*. Secțiuni transversale prin tulpină, treime superioară (Fig. 267), mijlocie (Fig. 268) și treime inferioară (Fig. 269): scheme.

**Frunza (Fig. 270-272)**

**Epiderma văzută de față** (Fig. 272) are celule de contur poligonal, cu pereții laterali drepți. Din loc în loc sunt prezente stomate de tipuri diferite: paracitic, tetracitic, anomocitic. Prin transparență se observă numeroși ursini de oxalat de calciu. Pe alocuri este vizibilă baza unor peri tectori, având dimensiuni mult mai mari decât celulele înconjurătoare.

**În secțiune transversală** (Fig. 270, 271), conturul limbului este eliptic.

Epiderma are celulele mari, izodiametrice, cu peretele extern gros; cuticula este foarte subțire. Din loc în loc se observă stomate și puțini peri tectori pluricelulari, asemănători cu cei de la *Bassia hirsuta*.

Sub epidermă se observă un strat de celule izodiametrice, mult mai mici decât cele epidermice, cu toți pereții subțiri, reprezentând o hipodermă parenchimatică (Fig. 270, 271).

Perpendicular pe această hipodermă se află un strat de celule palisadice relativ joase, bogate în cloroplaste (Fig. 271). La fața internă a stratului palisadic există un strat de celule izodiametrice, relativ mici, cu toți pereții moderat îngroșați, dar celulozici, reprezentând un veritabil țesut mecanic, întrerupt pe alocuri de niște celule parenchimatice foarte mari.

Acest aranjament al țesuturilor foliare caracterizează tipul anatomic *kochioid*, așa cum a fost descris și pus în discuție de mai mulți autori (Gamaley, 1985; Voznesenskaya, 1999; Jacobs, 2001; Grigore și Toma, 2007b; Muhaidat et al., 2007; Pyankov et al., 1997;), deci este vorba de o specie C<sub>4</sub>. ca și *C. monspeliaca* (Frey și Kürschner, 1983), sau *C. lessingii* (Pyankov et al., 2001).

În parenchimul fundamental cu celule foarte mari, având rol acvifer, se află un fascicul conducător median de tip colateral, cu un cordon de fibre sclerenchimatice la periferia liberului.

La fața internă a inelului mecanic și în contact direct cu el sunt alte fascicule conducătoare, extrem de mici, reduse adesea la elemente liberiene; dacă ele au și vase de lemn, acestea prezintă pereți celulozici.

Această specie este una mezofilă către xerofilă (Bucur și colab., 1960), puternic heliofilă, puternic și foarte puternic alcalinofilă, de la potrivit la foarte puternic euhalofilă. Se dezvoltă pe sărături de luncă și de coastă, uscate în straturile superficiale tot timpul perioadei de vegetație.

Șerbănescu (1965) aprecia că este vorba de o specie de sărături sodice, de cele mai multe ori foarte puternice. Uneori preferă soluri argiloase, compacte, altele nisipoase, situație în care, în timpul verii devin foarte compacte, prin cimentarea sărurilor. Țesuturile acvifere foliare pot, în aceste circumstanțe ecologice, să explice adaptarea plantelor la condiții de uscăciune.





Fig. 270



Fig. 271

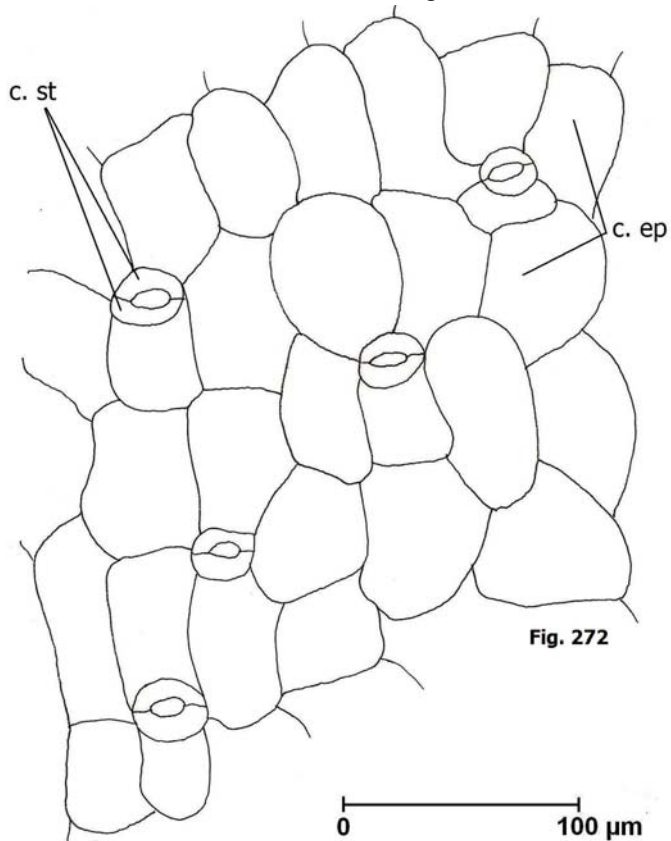


Fig. 272

*Camphorosma annua*. Secțiuni transversale prin limbul foliar (Fig. 270-271) și epiderma, văzută de față (Fig. 272).



## ***Halimione verrucifera* (M. Bieb.) Aellen**

### **Rădăcină – treime inferioară (Fig. 273, 274, 285)**

Structura este tipic secundară și terțiară.

Felogenul produce câteva straturi de suber (Fig. 274) cu celule mari, spre exterior, și tot atâtea straturi de feloderm, colenchimatizat tangențial, spre interior; datorită colenchimatizării, felodermul diferă astfel de parenchimul cortical primar.

Scoarța primară este de tip meatic, multe celule conținând ursini de oxalat de calciu.

Cilindrul central are structura caracteristică reprezentanților familiei *Chenopodiaceae*, structură rezultată în cea mai mare parte din activitatea cambiilor supranumerare.

Axul rădăcinii este ocupat de un masiv lemnos complet sclerificat și lignificat, în care se observă 3 lame radiare de vase de lemn primar, dispuse pe un singur șir; după aceste lame de lemn primar se poate considera că stelul din structura primară este de tip triarh (Fig. 273).

Acest masiv lemnos central compact este înconjurat de 3 fascicule de liber, care alternează cu cele 3 lame radiare de xilem primar și sunt separate de elemente de parenchim celulozic.

Urmează 2 inele sinuoase de lemn, rezultate în urma activității cambiilor supranumerare, separate de zone de liber, în totalitate celulozic, rezultate în urma activității acelorăși țesuturi cambiale.

Inelele de lemn sunt puternic sclerificate și lignificate, în ele predominând libriformul, iar vasele având diametru diferit; mai adesea, aceste vase sunt grupate câteva la un loc și în dreptul lor la periferie, se găsesc insule de liber; aceste insule (8-10) sunt separate de lame radiare formate din elemente sclerificate și lignificate.

Cel de-al 2-lea inel (extern) de lemn este în curs de edificare încă, având puține vase, iar la exteriorul lor cambiul a produs puține elemente liberiene.

### **Rădăcină – treime mijlocie (Fig. 275, 276, 286)**

Structura generală se menține aceeași, cu deosebirea că s-a format și cel de-al 2-lea inel discontinuu (de tip insular) de liber, înconjurat la exterior de lemnul celui de-al 3-lea inel.

Ca și la nivelul precedent, partea din centru a stelului are un aspect ușor trilobat al lemnului suprapus celor 3 fascicule de liber (Fig. 275).

În plus, cantitatea de suber este mai mare (Fig. 276), ca și frecvența celulelor oxalifere din scoarța primară.

**Rădăcină – treime superioară** (Fig. 277, 278, 287)

Spre baza rădăcinii, pătura de suber este mult mai groasă (Fig. 277), felodermul este mai puternic colenchimatizat, cantitatea de celule oxalifere din parenchimul cortical primar este foarte mare, iar în cilindrul central se observă 4 inele de lemn și tot atâtea inele de insule liberiene; ultimul liber format, cel mai extern, are puține elemente produse de ultimul cambiu supranumerar. În inelele de lemn sunt puține vase, predominând libriformul, extrem de puternic sclerificat și lignificat (Fig. 278).

**Tulpină – treime superioară** (Fig. 279, 288)

Conturul secțiunii transversale este circular-costat, cu coaste proeminente (Fig. 279), ce separă valecule (șanțuri) largi și puțin adânci.

Epiderma prezintă celule izodiametrice sau ușor alungite tangențial, cu pereții intern și extern mai groși decât ceilalți; peretele extern este acoperit de o cuticulă groasă. Deasupra epidermei se află numeroase și mari formațiuni secretoare de săruri (peri veziculare – Fig. 279) (Baumesteir and Kloos, 1975), întâlniți la mulți alți reprezentanți ai familiei *Chenopodiaceae*, îndeosebi la specii ale genului *Atriplex*, cu rol evident în procesul de eliminare a sărurilor din corpul plantei. Abundența lor impresionantă la acest nivel al organului, comparativ cu celelalte niveluri, ar putea să fie corelată cu faptul că țesuturile sunt mai tinere; se cunoaște faptul că organele mai tinere sunt mai sensibile la acțiunea nocivă a sărurilor, ceea ce ar putea explica prezența unui mecanism mai eficient și mai specializat în eliminarea sărurilor.

Scoarța formează cordoane de colenchim angular în coaste (Fig. 279) și este parenchimatic-asimilatoare, de tip meatic, în rest; celulele straturilor interne sunt mult mai mari, unele din ele conținând ursini de oxalat de calciu (Fig. 279).

Cilindrul central cuprinde mai multe (8) fascicule conducătoare libero-lemnoase, de mărime diferită, cu cea mai mare parte a lemnului și a liberului de origine primară: în vecinătatea liberului, vasele de lemn sunt separate de puține elemente libriforme.

La periferia fasciculelor și între ele se află un țesut sclerenchimatic ce formează un inel gros (Fig. 279), cu celule având pereții extrem de îngroșați și intens lignificați; în felul acesta, liberul fasciculelor conducătoare ne apare sub formă de insule înconjurate complet de țesut sclerificat și lignificat.

La periferia inelului de sclerenchim se observă primul cambiu supranumerar (de origine periciclică), care a format pe alocuri câteva vase de lemn spre interior și mai multe elemente de liber spre exterior; acesta din urmă, împreună cu cambiul realizează un inel aproape continuu.

Măduva este parenchimatic-celulozică, unele celule conținând ursini de oxalat de calciu.

### **Tulpină – treime mijlocie** (Fig. 280-283, 289)

Conturul secțiunii transversale este aproape circular, coastele fiind mult atenuate și cu cordoane de colenchim mai subțiri.

La suprafața epidermei sunt mai puține formațiuni secretoare de săruri.

Cilindrul central este mai gros decât la nivelul anterior analizat, cuprinzând un inel gros, puternic sclerificat și lignificat de parenchim fundamental (Fig. 281 și 282) și o măduvă (Fig. 280) în care proemină puternic cele 8 fascicule conducătoare din structura primară.

Unele celule din zona centrală a măduvei au pereți lignificați și valoare de hidrocite, fapt explicat și prin caracterul xerofil al plantei, recoltată, chiar de pe o sărătură uscată.

În inelul sclerificat și lignificat, din loc în loc se observă vase de lemn cu dispoziție neregulată, dar adesea formând șiruri radiare discontinue; fiecare din aceste șiruri are la periferie câte o insulă de țesut liberian.

Primul șir de vase lemnoase, împreună cu insula (calota) liberiană corespunzătoare, formează un inel gros de „fascicule” înfipte în masa fundamentală de libriform (Fig. 283).

Al doilea inel de fascicule este mult mai subțire, având și el insulele (calotele) liberiene înconjurată de țesut sclerenchimatic intens lignificat.

Pe alocuri, la fața internă a scoarței primare se observă câteva celule de sclerenchim, adesea solitare, localizate la periferia ultimului inel (în formare) de cambiu supranumerar și elemente liberiene formate târziu.

### **Tulpină – treime inferioară** (Fig. 284, 290-292)

La acest nivel s-au format deja 2 zone relativ groase de suber (Fig. 284), separate de o zonă de parenchim cu două tipuri de celule:

- unele externe, înalte (2-3 straturi), de tip palisadic, imediat sub pătura periferică de suber;
- altele interne, izodiametrice sau alungite în direcții diferite, lăsând spații aerifere mai mari între ele, unele conținând ursini de oxalat de calciu (în imediata vecinătate a zonei interne de suber).

Parenchimul dintre cele 2 zone de suber și, mai ales, pătura externă, cu celule palisadice, joacă rolul unui țesut acvifer.

Cât privește cilindrul central, acesta este mult mai gros decât la nivelurile anterior analizate, cuprinzând un număr de 4-5 inele de insule liberiene, celulozice, care corespund, de fapt, împreună cu lemnul de la fața internă, tot atâtor inele de fascicule conducătoare de tip colateral, înfipte în masa fundamentală de libriform, extrem de puternic sclerificat și lignificat.

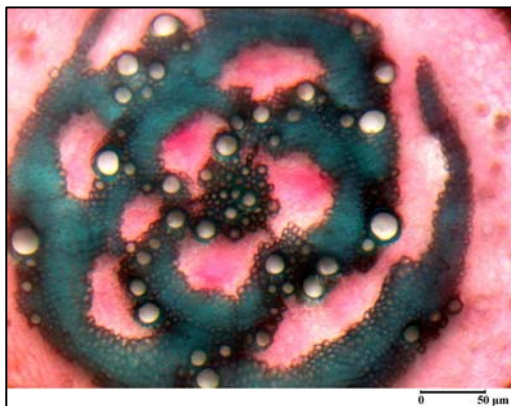


Fig. 273

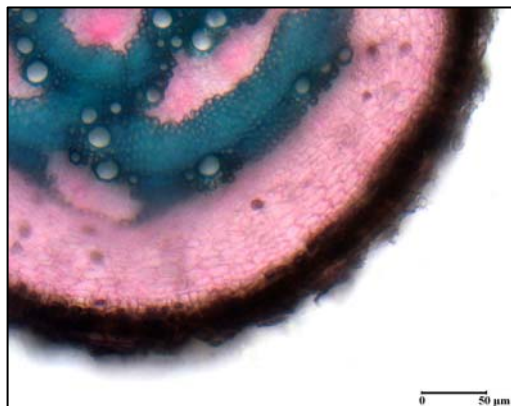


Fig. 274



Fig. 275



Fig. 276

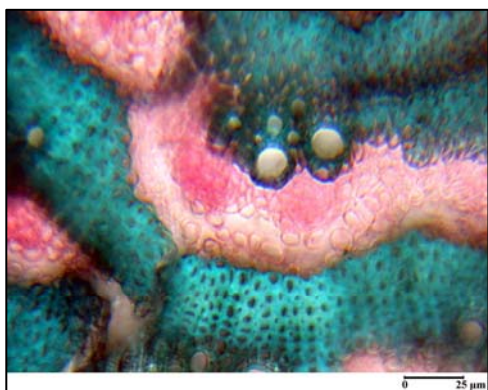


Fig. 277



Fig. 278

***Halimione verrucifera***. Secțiuni transversale prin rădăcină, treime inferioară (Fig. 273-274), treime mijlocie (Fig. 275, 276) și superioară (Fig. 277, 278).



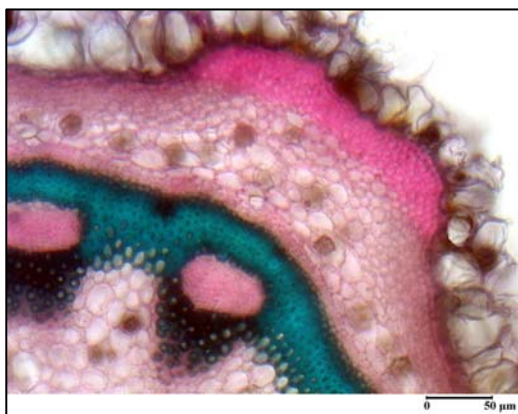


Fig. 279



Fig. 280

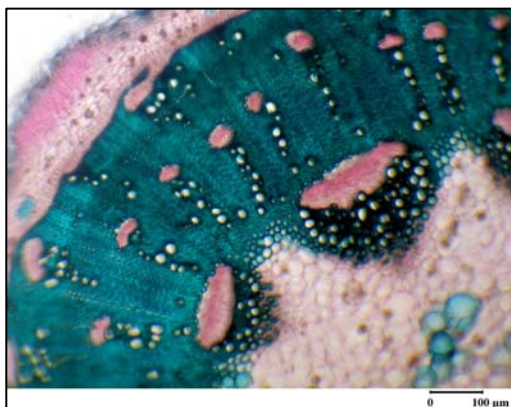


Fig. 281

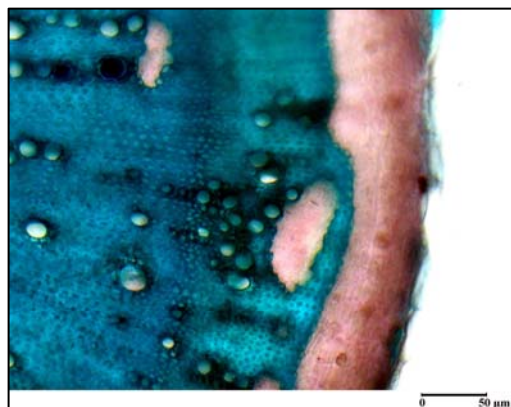


Fig. 282



Fig. 283

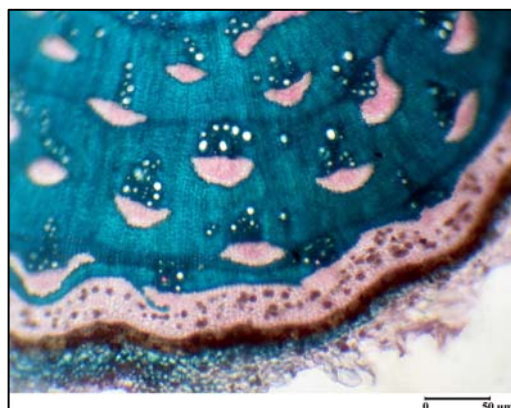
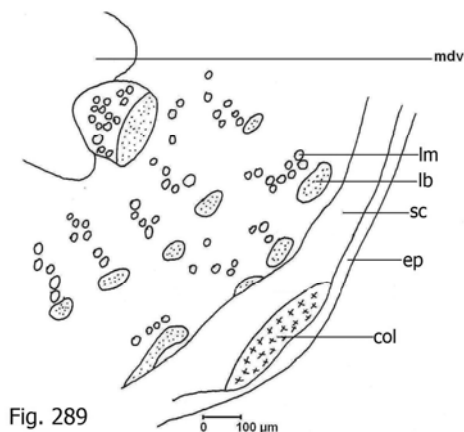
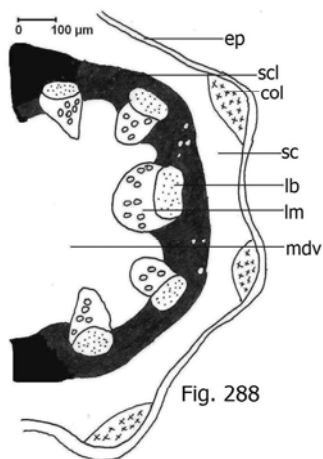
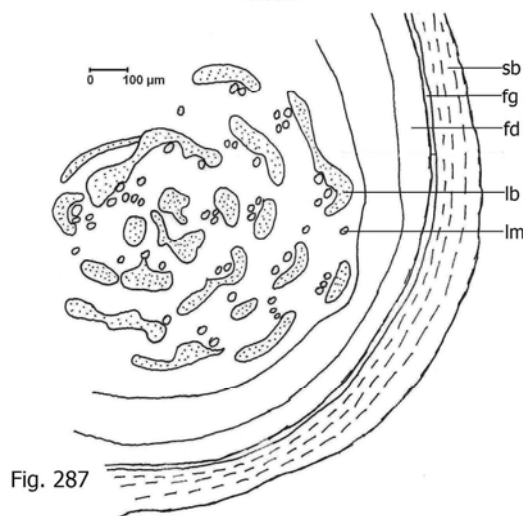
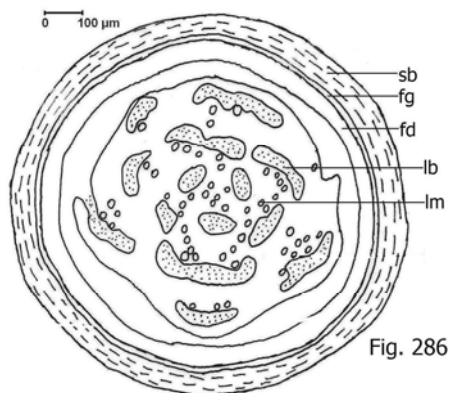
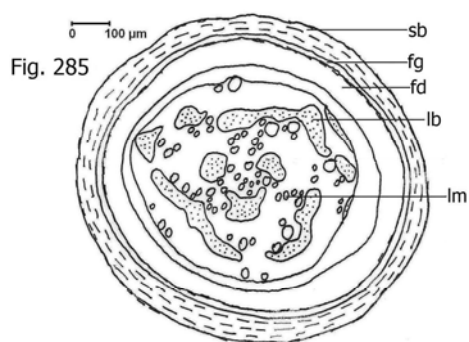


Fig. 284

*Halimione verrucifera*. Secțiuni transversale prin tulpină, treime superioară (Fig. 279), treime mijlocie (Fig. 280-283) și treime inferioară (Fig. 284).



*Halimione verrucifera*. Secțiuni transversale prin rădăcină, treime inferioară (Fig. 285), treime mijlocie (Fig. 286) și treime superioară (Fig. 287); secțiuni transversale prin tulpină, treime superioară (Fig. 288) și treime mijlocie (Fig. 289); scheme.

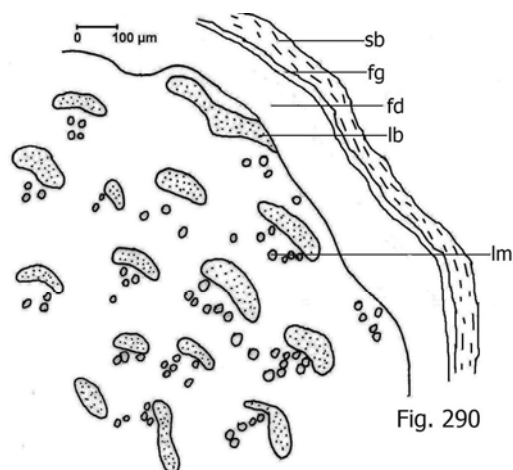


Fig. 290

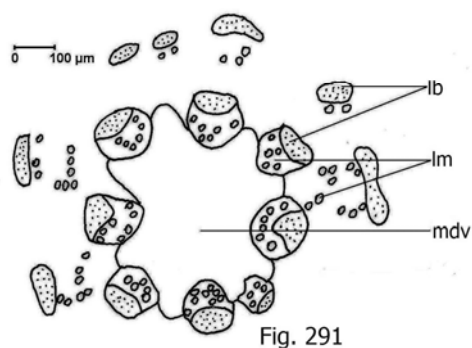


Fig. 291

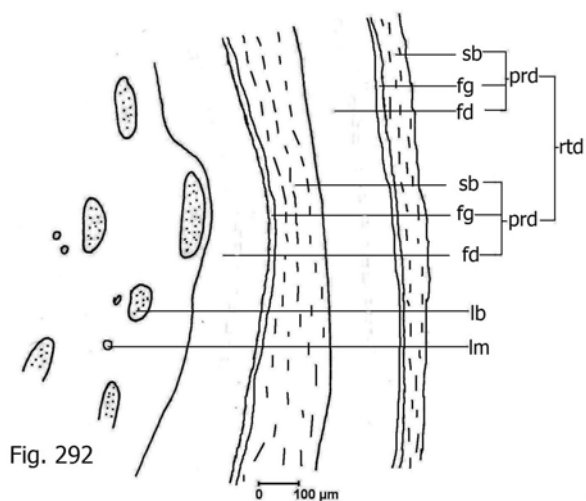


Fig. 292

*Halimione verrucifera*. Secțiuni transversale prin tulpină, treime inferioară (Fig. 290-292) (scheme).

**Frunza (Fig. 293-304)****Petioulul (Fig. 293, 294, 299, 300)**

Conturul secțiunii transversale este semieliptic, modificat de 2 creste latero-adaxiale, care delimitează un șanț larg și relativ adânc (Fig. 299).

Epiderma prezintă celule ușor alungite tangențial, cu pereții intern și extern groși, cel din urmă fiind acoperit de o cuticulă subțire.

Deasupra epidermei se află numeroase formațiuni secretoare de săruri, cu rol evident în procesul de eliminare a excesului de săruri din corpul plantei (Baumeister, Kloos, 1974) (Fig. 300).

Sub epidermă, la fața abaxială și la cea adaxială, dar și în coastele latero-adaxiale se găsește câte un cordon gros de colenchim angular (Fig. 293); în rest, între aceste cordoane de colenchim se află parenchim asimilator relativ compact, multe celule fiind ușor alungite perpendicular pe epidermă, reprezentând chiar un țesut asimilator de tip palisadic.

În parenchimul fundamental intern, cu celule foarte mari (unele conținând ursini de oxalat de calciu), se află 3-4 fascicule conducătoare dispuse pe un arc, la care se adaugă 2 fascicule mai mici în cele 2 coaste latero-adaxiale.

Toate fasciculele sunt de tip colateral și au structură primară, prezentând la periferia liberului câte un cordon de elemente colenchimatizate (Fig. 294).

**Limbul (Fig. 295-298, 301-304)**

**Epiderma văzută de față** este formată din celule de contur poligonal, cu pereții laterali drepți (Fig. 295 și 301). Din loc în loc se observă stomate, iar prin transparență, ursini de oxalat de calciu.

Stomatele sunt prezente în ambele epiderme, deci limbul este amfistomatic.

În **secțiune transversală, treimea superioară** (Fig. 296), se observă că nervurile proemină puțin la fața inferioară a limbului, iar nervura mediană are un cordon hipodermic de țesut colenchimatic. Deasupra epidermei au fost evidențiate formațiuni secretoare de săruri (denumite „bladders” de către Baumeister și Kloos, 1974; Fahn, 1988; Freitas și Breckle, 1993a; 1993b; Lüttge, 1971; Toderich et al, 2002; Waisel, 1974). Fasciculele conducătoare sunt de tip colateral, cu structură primară și prezintă la periferia liberului câte un cordon gros de elemente colenchimatizate.

Mezofilul este relativ compact, celulele straturilor hipodermice (uneori și următoarele) fiind de tip palisadic, dar relativ joase; la mijloc se află



celule mari de țesut lacunos, unele conținând ursini de oxalat de calciu (Fig. 296). După conformația mezofilului, limbul are o structură bifacială ecvifacială (izofacială).

În **treimea mijlocie** (Fig. 297-303), nervura mediană proemină la ambele fețe ale limbului și sub ambele epiderme prezintă țesut colenchimatic (Fig. 297, 303). Ca și la nivelul precedent, semnalăm prezența structurilor cu rol în eliminarea sărurilor.

Structura mezofilului se menține aceeași, cu țesut palisadic bistratificat (dar cu celule joase) sub ambele epiderme.

În **treimea inferioară** (Fig. 298, 302, 304) limbul este mai gros și cu nervura mediană puternic proeminentă la ambele lui fețe. Perii secretori de săruri au o răspândire relativ dezordonată (Fig. 298 și 304).

Nervura mediană cuprinde 4 fascicule conducătoare de tip colateral, toate cu colenchim la periferia liberului (Fig. 302).

Facem câteva precizări suplimentare referitoare la acești peri secretori: ei sunt numiți și peri veziculari, glande în sens larg, „hidatode epidermice” sau „hidatode active” de către Haberlandt (1914); sau, mai scurt, „bladders”, un termen mai greu traductibil în română, sensul cel mai apropiat de realitate fiind cel de „veziculă”, care ar putea însă părea cam vag și imprecis. De fapt, această „veziculă” reprezintă partea superioară a părului, cea care este mai vizibilă și care acumulează efectiv sărurile. Ea este în legătură directă cu cea de-a doua celulă a părului, „pedicelul” (sau „piciorul” părului) („stalk cell”), care o unește de celulele mezofilului.

Cert este că la nivelul „veziculei” concentrația sărurilor este mai ridicată comparativ cu cea de la nivelul celulelor din mezofil (Baumeister și Kloos, 1974; Mozafar și Goodin, 1970, care se referă la *Atriplex halimus* L.; Waisel, 1972 în legătură cu specii ale genului *Atriplex*; Albert, 1975). După acumularea acestor săruri în partea superioară a părului, prin ruperea veziculei sărurile sunt depozitate pe suprafața frunzei și ulterior sunt îndepărtate.

Anatomia foliară a acestei specii nu prezintă trăsături particulare, de tipul *Kranz anatomy*, așa că această specie este una de tip C<sub>3</sub>, ca și *H. portulacoides* (Frey și Kürschner, 1983).

Perii veziculari sunt asemănători ca structură cu cei pe care i-am evidențiat și analizat noi la *Atriplex tatarica*.

*Halimione verrucifera* este o specie de sărături puternice, uscate, fiind mezofilă către xerofilă, heliofilă, foarte puternic alcalinofilă strictă, de la puternic la foarte puternic euhalofilă (Bucur și colab, 1960).

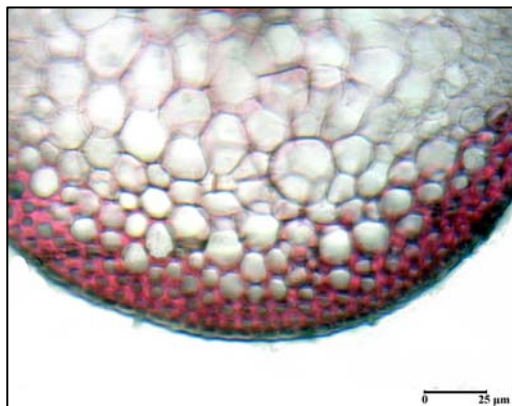


Fig. 293



Fig. 294

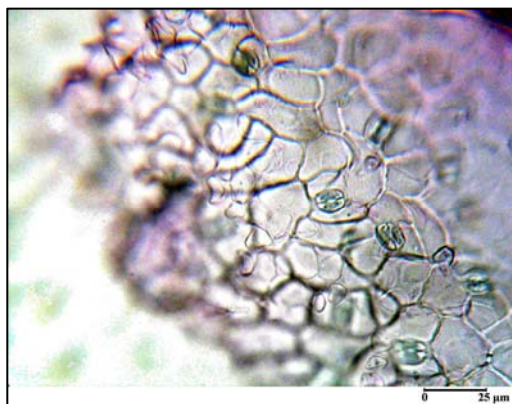


Fig. 295

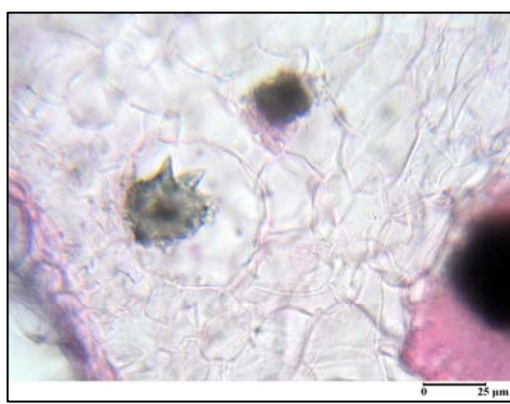


Fig. 296

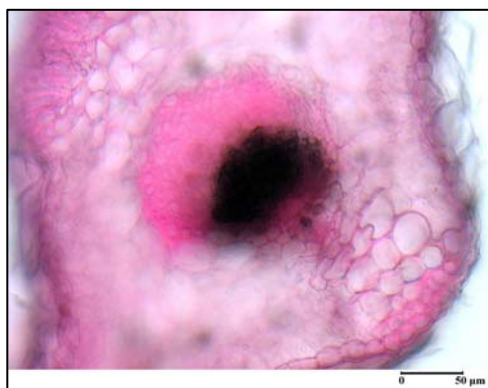


Fig. 297

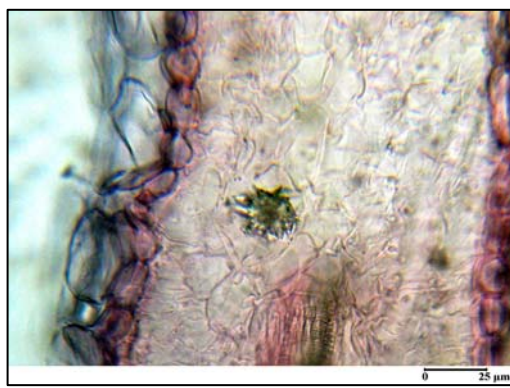


Fig. 298

***Halimione verrucifera*** Secțiuni transversale prin pețiol (Fig. 293-294); epiderma superioară, văzută de față (Fig. 295) și secțiuni transversale prin limbul foliar, treime superioară (Fig. 296), mijlocie (Fig. 297) și treime inferioară (Fig. 298).

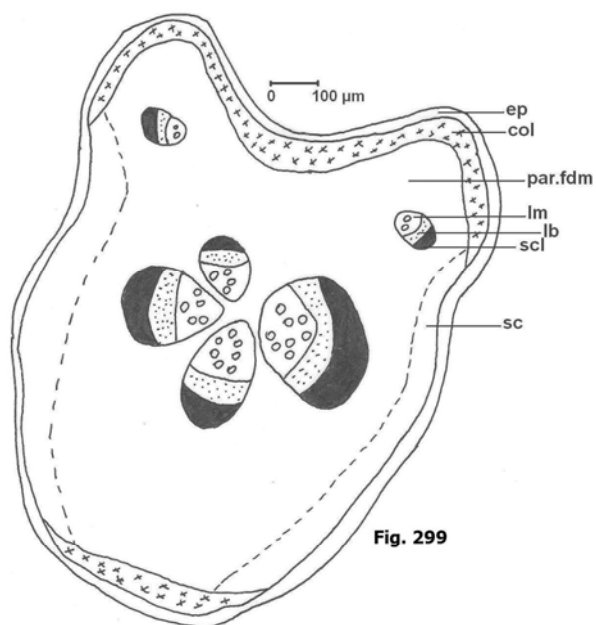


Fig. 299

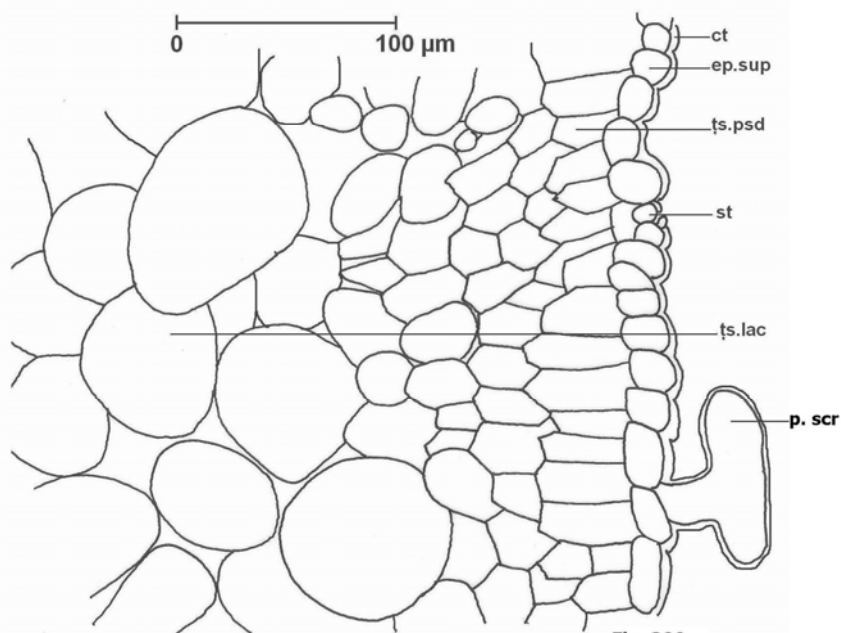
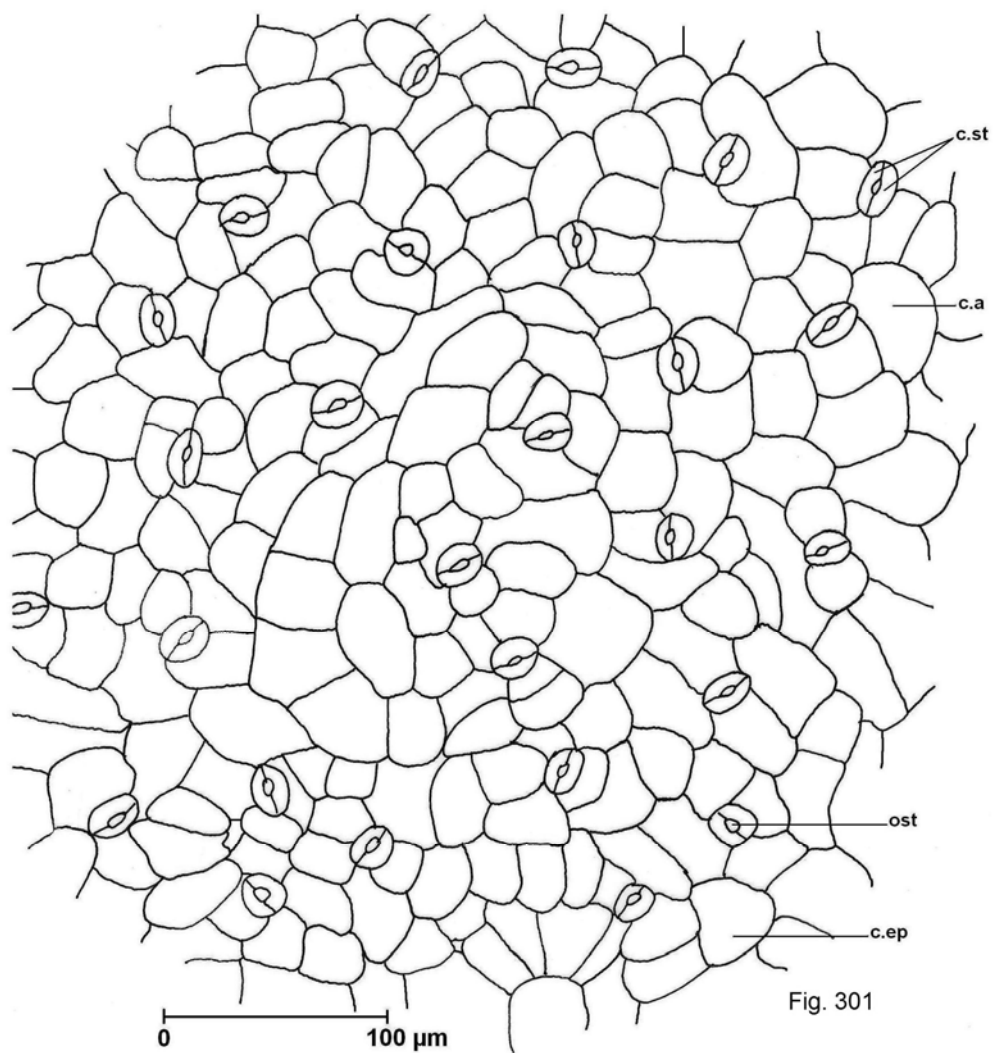


Fig. 300

*Halimione verrucifera*. Secțiuni transversale prin petioli (Fig. 299 – schemă și Fig. 300 – detaliu).



*Halimione verrucifera*. Epiderma superioară, văzută de față (Fig. 301).

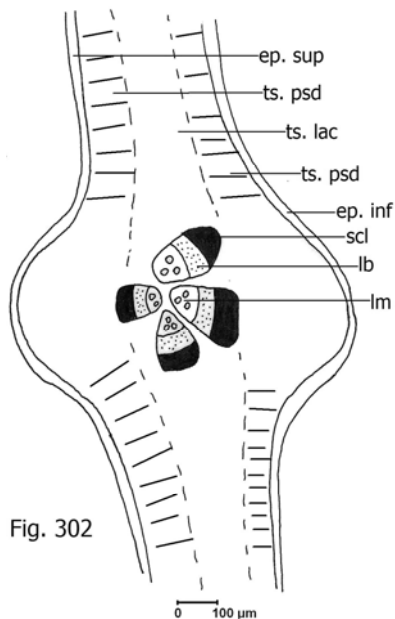


Fig. 302

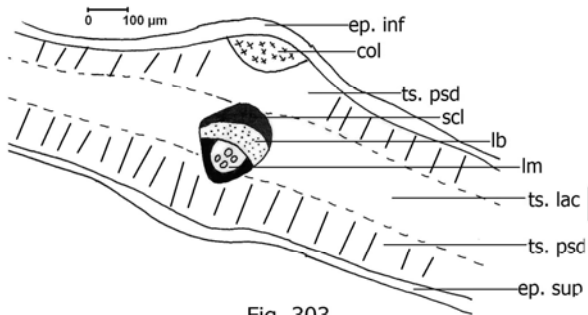


Fig. 303

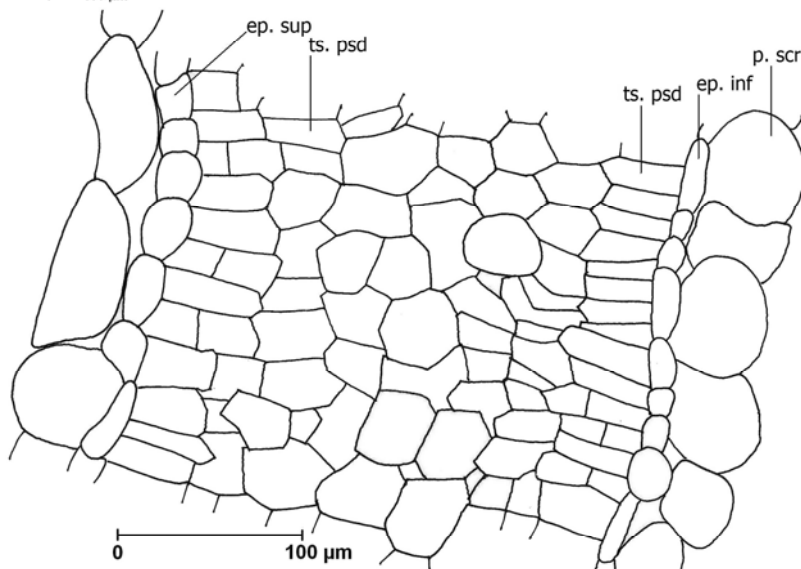


Fig. 304

*Halimione verrucifera*. Secțiuni transversale prin limbul foliar, treime inferioară (Fig. 302, 304) și treime mijlocie (Fig. 303). Fig. 302-303: scheme; Fig. 304: detaliu

***Petrosimonia oppositifolia* (Pall.) Litv.****Rădăcină – treime inferioară** (Fig. 305, 317)

La acest nivel structura secundară este completată de cea rezultată în urma activității cambiilor supranumerare (de regulă două), țesuturile conducătoare formând inele incomplete sau arcuri de floem și de xilem.

În poziție centrală se observă lemnul secundar compact, având de o parte și de alta două insule de floem secundar (Fig. 305). În jurul acestei structuri secundare normale se află zone de xilem cu vase dispuse neregulat, separate de mult libriform puternic sclerificat și intens lignificat; la fața externă a fiecărei zone de xilem se află floemul terțiar, cu tuburi ciuruite, celule anexe și celule de parenchim, unele dintre acestea din urmă conținând ursini de oxalat de calciu.

La periferia rădăcinii se află 2-3 straturi de suber netipic (celulele nu au o dispoziție strict radiară), aflat în curs de exfoliere parțială.

**Rădăcină – treime mijlocie** (Fig. 306, 318)

La acest nivel rădăcina este mai groasă, structura generală păstrându-se aceeași, dar există mai multe (3-4) zone concentrice de xilem și de floem (Fig. 306); acesta din urmă este mai subțire și adesea discontinuu formând arcuri larg deschise sau insule.

Suberul este mai gros, dar tot netipic, pe alocuri parțial exfoliat.

**Tulpină – treime superioară** (Fig. 307-310, 319, 320)

La acest nivel structura este tipic primară.

Epierma prezintă celule izodiametrice și izomorfe, cu peretele extern acoperit de o cuticulă groasă.

Scoarța este groasă și chiar colenchimatizată în poziție hipodermică (Fig. 307). În rest este formată din celule foarte mari, cu meaturi între ele, constituind un veritabil țesut acvifer (Fig. 308-309). Pe alocuri, în poziție hipodermică lipsește colenchimul, locul lui fiind luat de celule alungite perpendicular pe epidermă, amintind de țesutul palisadic al frunzei; la fața internă a acestui țesut palisadic se află o bandă de celule clorofiliene rotunjite, mult mai mici decât celelalte celule ale parenchimului cortical (Fig. 308-309).

Cilindrul central cuprinde câteva (5) fascicule libero-lemnoase, separate de raze medulare largi, parenchimatice-celulozice. Lemnul are vasele dispuse în șiruri radiare (Fig. 310) separate de parenchim celulozic, iar liberul cuprinde tuburi ciuruite și celule anexe. Prin forma și mărimea

celulelor, zonele de liber diferă puțin de razele medulare, astfel încât împreună formează un inel aproape continuu.

La fața externă a fasciculelor libero-lemnoase s-a edificat deja o zonă groasă de cambiu supranumerar, care a produs câteva vase la fața internă, separate de celule de parenchim celulozic, și mai multe grupe de elemente liberiene spre exterior. Întreg cilindrul central este înconjurat de 1-2 straturi de elemente moderat colenchimatizate.

### **Tulpină – treime mijlocie (Fig. 311-313, 321)**

La acest nivel conturul secțiunii transversale este neregulat-circular, cu coaste atenuate.

Epiderma are celulele cu toți pereții îngroșați, cel extern fiind acoperit de o cuticulă groasă.

Parenchimul cortical intern nu are elemente colenchimatizate. Multe celule din scoarță sunt puternic aplatizate, așa încât lumenul abia mai este vizibil (Fig. 312).

Măduva este groasă, unele celule fiind oxalifere.

Structura primară a stelului evidențiază vase de xilem dispuse în șiruri radiare, separate de celule de parenchim celulozic (Fig. 313). Țesutul liberian primar este înfipt în masa fundamentală de țesut lignificat.

Din activitatea unui cambiu supranumerar a rezultat un inel relativ gros de xilem spre interior și un inel mai subțire de floem spre exterior. În grosimea inelului de xilem se observă puține vase, dispersate neregulat, între ele predominând libriformul, puternic sclerificat și intens lignificat (Fig. 311).

### **Tulpină – treime inferioară (Fig. 314- 316, 322)**

Epiderma prezintă celule alungite tangențial, cu peretele extern acoperit de o cuticulă relativ groasă.

Scoarța este subțire, de tip colenchimatic în poziție hipodermică, cu celule vizibil alungite tangențial și aplatizate radiar (Fig. 316).

Cilindrul central este foarte gros și aproape în totalitate lignificat, exceptând insulele de floem, cu elemente având pereții celulozici.

Centrul organului este ocupat de o măduvă parenchimatic-celulozică, cu unele celule în curs de dezorganizare, rezultând câteva cavități aerifere de mărime diferită și de contur neregulat (Fig. 315).

În zona perimedulară sunt înfipte mai multe (10) fascicule conducătoare cu structură primară, vasele de lemn formează șiruri radiare separate de parenchim celulozic, iar liberul este înconjurat de elemente cu pereții lignificați, aparținând lemnului și țesuturilor adiacente. Doar unele fascicule au și un început de structură secundară la nivelul xilemului, unde se observă fibre libriforme cu pereții îngroșați și lignificați.

Între aceste fascicule, de tip colateral, și inelul de floem se află un inel gros de xilem secundar compact, în care vasele sunt dispersate neregulat, între ele predominând libriformul, puternic sclerificat și intens lignificat (Fig. 314). În grosimea inelului de xilem terțiar sunt prezente numeroase insule de floem, fără o dispoziție strict circulară; totuși, se pot aproxima un număr de trei zone concentrice de insule liberiene, ceea ce dovedește că au funcționat trei cambii supranumerare.

Ultimul cambiu supranumerar a produs un inel extern de elemente parenchimatic-celulozice, unele cu valoare de vase liberiene, iar la fața internă, vase de lemn în curs de edificare, cu pereții nelignificați, separate de celule de parenchim celulozic.

Chiar la baza tulpinii, structura este asemănătoare, dar insulele de floem sunt mai mici și dispersate mai neregulat, libriformul este mai puternic sclerificat, cuticula este mai groasă, scoarța este mai puternic colenchimatizată, iar din loc în loc se observă lenticele, cu țesutul de umplutură vizibil suberificat.

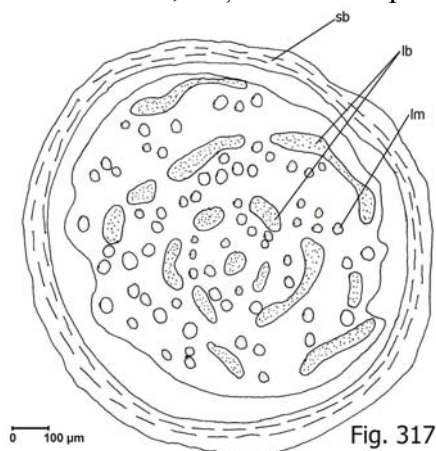


Fig. 317

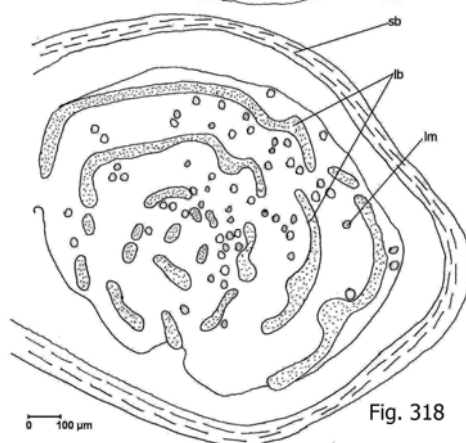


Fig. 318

*Petrosimonia oppositifolia*. Secțiuni transversale prin rădăcină, treime inferioară (Fig. 317) și treime mijlocie (Fig. 318): scheme.





Fig. 305

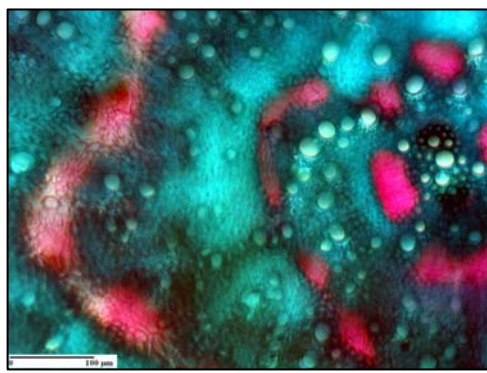


Fig. 306



Fig. 307

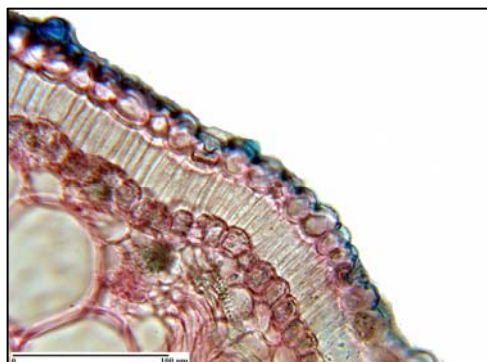


Fig. 308

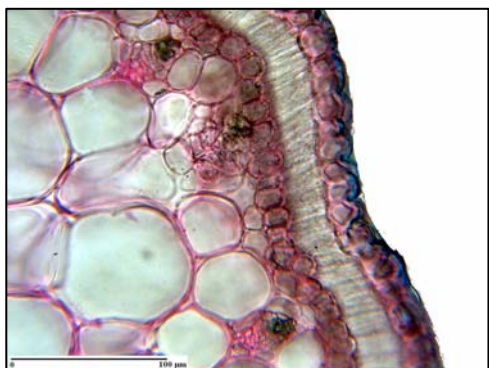


Fig. 309



Fig. 310

***Petrosimonia oppositifolia***. Secțiuni transversale prin rădăcină, treime inferioară (Fig. 305) și treime mijlocie (Fig. 306) și secțiuni transversale prin tulpină, treime superioară (Fig. 307-310).

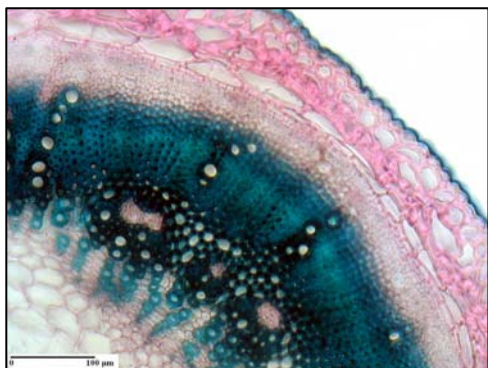


Fig. 311



Fig. 312

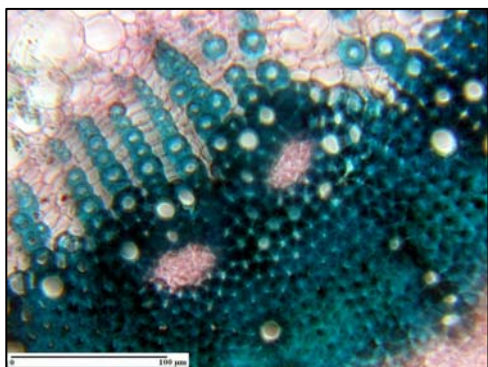


Fig. 313

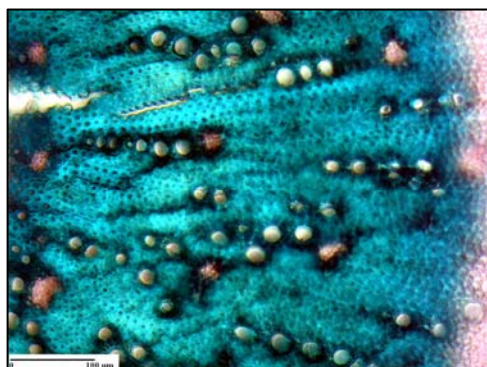


Fig. 314

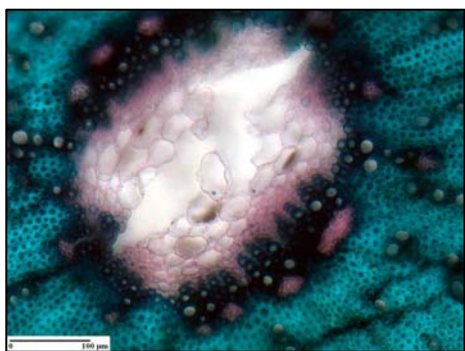


Fig. 315

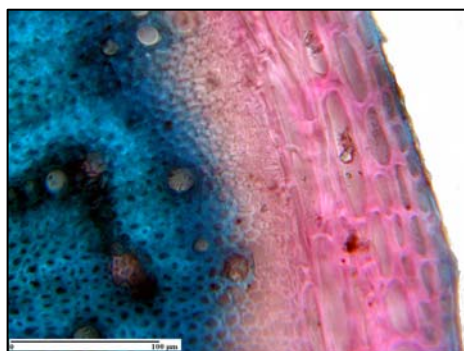
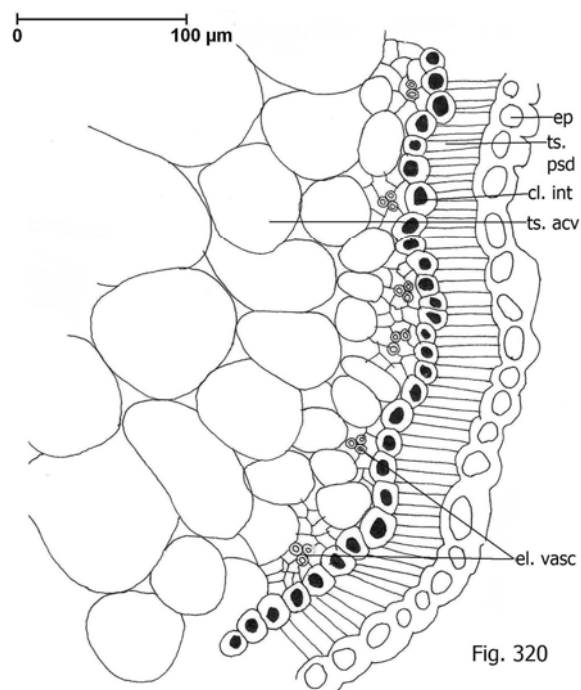
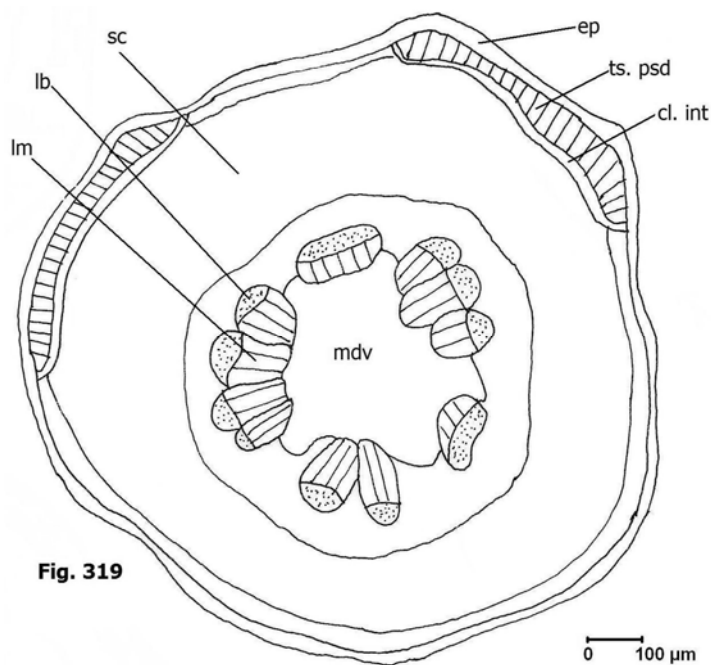
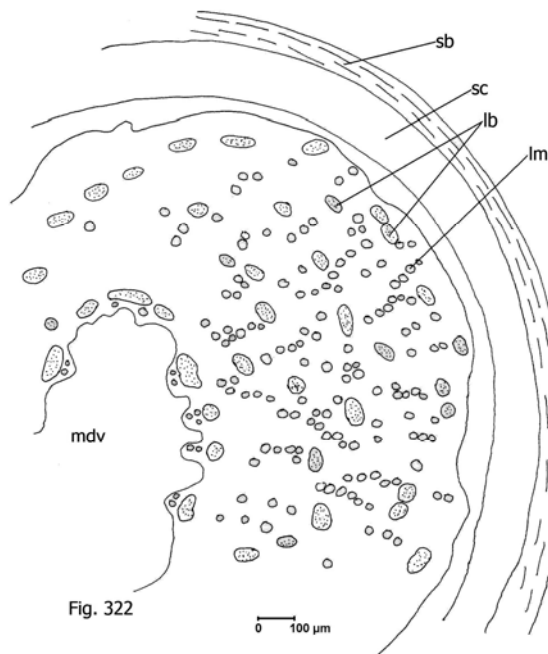
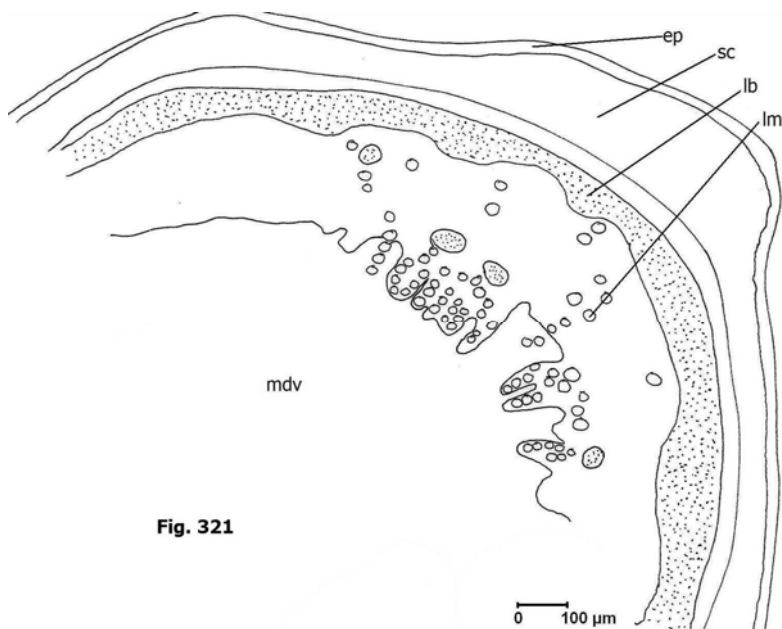


Fig. 316

*Petrosimonia oppositifolia*. Secțiuni transversale prin tulpină, treime mijlocie (Fig. 311-313) și treime inferioară (Fig. 314-316).



*Petrosimonia oppositifolia*. Secțiuni transversale prin tulpină, treime superioară (Fig. 319-320) (scheme).



*Petrosimonia oppositifolia*. Secțiuni transversale prin tulpină, treime mijlocie (Fig. 321) și treime inferioară (Fig. 322): scheme.

**Frunza (Fig. 323-326)**

**În secțiune transversală prin limb**, conturul limbului este semicircular, cu fața adaxială plană.

Epiderma prezintă celule izodiametrice, izomorfe, cu peretele extern acoperit de o cuticulă subțire.

Sub ambele epiderme, exceptând zonele marginale (latero-adaxiale), se află țesut asimilator de tip palisadic, unistratificat, cu celule foarte joase; la fața internă a țesutului palisadic se află un strat de celule asimilatoare izodiametrice, aparținând țesutului lacunos (Fig. 323, 326).

Masa fundamentală a limbului foliar este reprezentată de un parenchim acvifer format din celule foarte mari, cu pereții relativ subțiri și cu meaturi între ele. În acest parenchim fundamental acvifer se află 3 fascicule conducătoare libero-lemnoase, de tip colateral, cu structură primară, cel median având dimensiuni mai mari (Fig. 324).

În afară de aceste fascicule centrale, imediat sub clorenchimul intern se află mai multe (aproximativ 25) fascicule conducătoare extrem de mici, cu puține vase de lemn, în contact direct cu cel asimilator. Local, la fața abaxială clorenchimul lipsește (Fig. 325), parenchimul acvifer aflându-se în contact cu epiderma, ca și la marginile limbului.

La *Petrosimonia oppositifolia* și *P. triandra* (specie pe care o vom pune în discuție în rândurile următoare), am evidențiat tipul anatomic *kochioid*, ce caracterizează plantele de tip C<sub>4</sub>. Secțiunile transversale trebuie analizate cu multă atenție, deoarece continuitatea/discontinuitatea clorenchimului intern sunt factori de „diagnostic” cert. Acest tip este foarte asemănător cu cel *salsoloid*, singura diferență fiind faptul că, în acest caz, straturile concentrice sunt continue (Gamaley, 1985; Voznesenskaya, 1999; Jacobs, 2001; Muhaidat et al., 2007; Pyankov et al., 1997; Pyankov et al., 2001), ca și specia *P. brachiata*, investigată de Frey și Kürschner (1983).





Fig. 323



Fig. 324

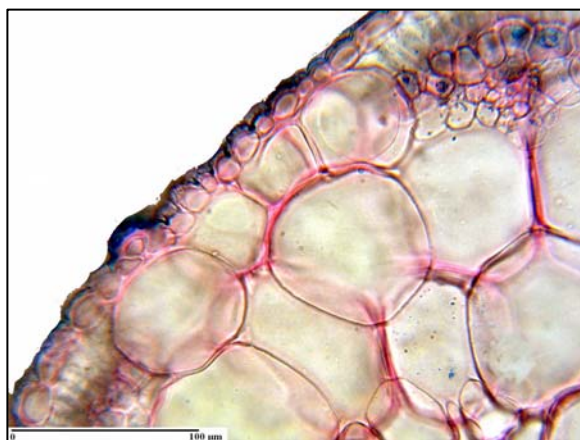


Fig. 325



Fig. 326

*Petrosimonia oppositifolia*. Secţiuni transversale prin limbul foliar (Fig. 323-326).

***Petrosimonia triandra* (Pall.) Simonk.****Rădăcină – treime mijlocie** (Fig. 327, 334)

La acest nivel structura este tipică pentru cele mai multe specii din familia *Chenopodiaceae*, având în vedere fenomenul de policambie și țesuturile rezultate din activitatea cambiilor supranumerare.

În partea centrală a rădăcinii (Fig. 327) se distinge încă structura primară, de tip diarh, după care urmează o structură relativ omogenă, reprezentată prin mai multe zone concentrice de fascicule libero-lemnoase, între care se află raze sclerificate și lignificate.

Vasele lemnoase din structura primară au diametrul mic, iar pereții sunt intens lignificați; vasele din fasciculele rezultate în urma activității cambiilor supranumerare succesive au diametrul mult mai mare și peretele foarte gros, dar foarte slab lignificat, fiind dispersate neregulat și cu mult libriform între ele.

Liberul fasciculelor conducătoare formează benzi tangențiale subțiri, întrerupte din loc în loc de șiruri înguste de celule mecanice cu pereții puternic îngroșați și moderat lignificați, ca și cei ai libriformului din structura lemnului.

La nivelul secționat se observă aproximativ 4 inele (cercuri) concentrice de țesuturi conducătoare, rezultate din activitatea unui număr de 4 cambii supranumerare.

La periferia rădăcinii, țesuturile corticale primare s-au exfoliat, pe alocuri observându-se doar resturi din țesutul suberos netipic, rezultat din activitatea felogenului.

**Rădăcină – treime inferioară** (Fig. 333)

În structura generală se disting 6-7 inele concentrice de țesuturi conducătoare, rezultate din activitatea tot atâtor zone cambiale supranumerare. Se observă o mare cantitate de libriform, un număr mai mic de vase lemnoase dispersate neregulat și numeroase benzi tangențiale subțiri de țesut liberian, care marchează locul și numărul fasciculelor conducătoare ce au luat naștere din activitatea cambiilor supranumerare.

Toate elementele mecanice de sclerenchim (libriform) au peretele extrem de gros și în cea mai mare parte intens lignificat.

**Tulpină – treime superioară** (Fig. 328-330, 335)

Epiderma prezintă celule mici, cu toți pereții îngroșați, cel extern fiind acoperit de o cuticulă relativ subțire (Fig. 329). Din loc în loc se află peri protectori.

Scoarța este relativ subțire, cu un strat hipodermic moderat colenchimatizat și alte 3-4 straturi de celule mai mari, cu meaturi vizibile între ele

(Fig. 330), stratul cel mai intern reprezentând un endodermoid amilifer, format din celule mai mici, alungite tangențial.

Cilindrul central cuprinde câteva (5-7) fascicule conducătoare libero-lemnoase, de mărime diferită, separate de raze medulare parenchimatic-celulozice (Fig. 328).

Toate fasciculele conducătoare prezintă liber format din tuburi ciuruite și celule anexe și lemn format din șiruri radiare de vase, separate de celule de parenchim celulozic; așadar, structura este tipic primară.

La periferia fasciculelor conducătoare și-a făcut apariția deja primul cambiu supranumerar, de origine periciclică, care începe să funcționeze bifacial, dând pe alocuri lemn spre interior și liber spre exterior; procesul de traheogeneză este încă în derulare, unele vase de lemn având pereții foarte subțiri, celulozici.

De subliniat este faptul că acest prim cambiu supranumerar formează un inel continuu, pluristratificat, care va produce fascicule libero-lemnoase, iar pe alocuri, raze medulare.

Măduva este relativ subțire, parenchimatic-celulozică, de tip meatic, formată din celule mari și cu pereți foarte subțiri în comparație cu cele ale parenchimului cortical (Fig. 328).

### **Tulpină – treime mijlocie** (Fig. 331, 336)

La acest nivel celulele epidermice au cuticula mai groasă.

Scoarța este mai subțire, cu multe celule aplatizate radiar și cu pereții foarte groși, endodermoidul având celulele extrem de mult alungite tangențial și cu pereții relativ subțiri.

Cilindrul central este foarte gros, în el distingându-se:

- structura primară, în poziție perimedulară, cu lemn având șiruri de vase separate de celule de parenchim celulozic (Fig. 331);
- structura secundară, reprezentată de lemn cu puține vase și mult libriform, iar din loc în loc, insule de liber;
- structura terțiară, rezultată din activitatea cambiumului supranumerar, caracterizată printr-o cantitate foarte mare de libriform, puternic sclerificat, dar puțin lignificat, în care sunt dispersate neregulat vase lemnoase; la periferia acestui inel gros de xilem terțiar se observă un inel subțire de elemente liberiene.

### **Tulpină – treime inferioară** (Fig. 332, 337)

Structura se menține aceeași, cu deosebirea că cilindrul central este mult mai gros, cuprinzând o cantitate mare de libriform, relativ puține vase de lemn, dispersate neregulat sau formând șiruri radiare discontinue, și puține insule foarte mici de țesut liberian (Fig. 332).

În măduvă se observă celule cu ursini de oxalat de calciu.



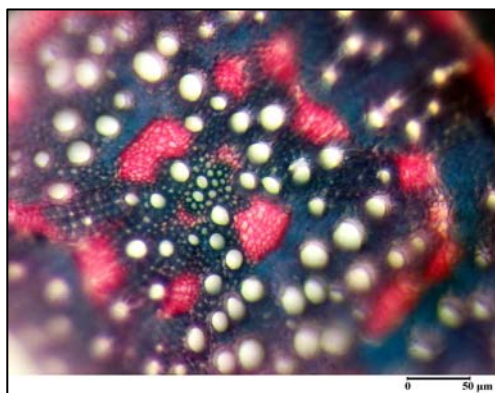


Fig. 327

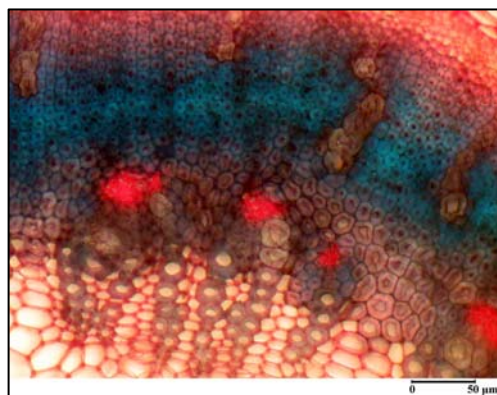


Fig. 328

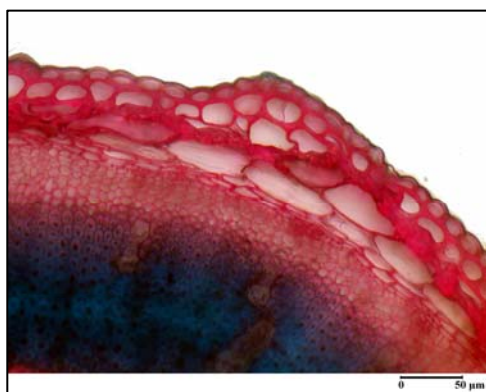


Fig. 329

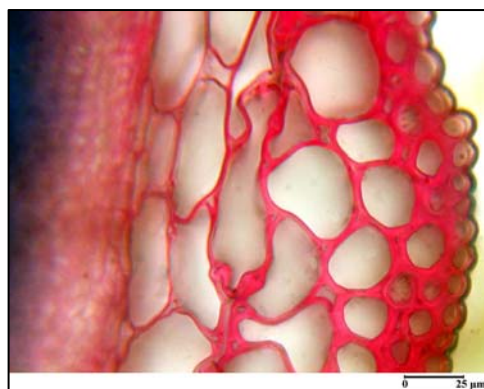


Fig. 330

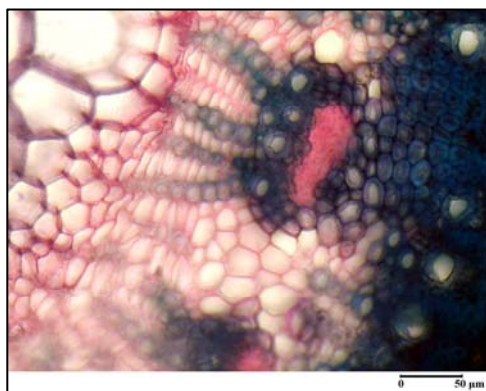


Fig. 331

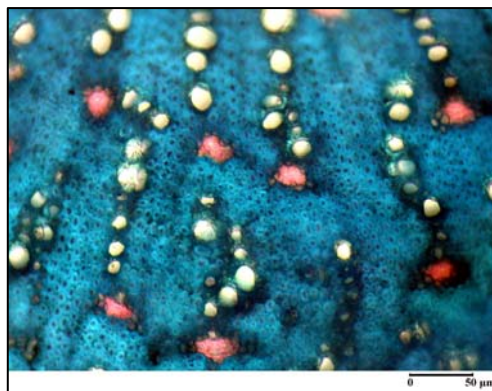
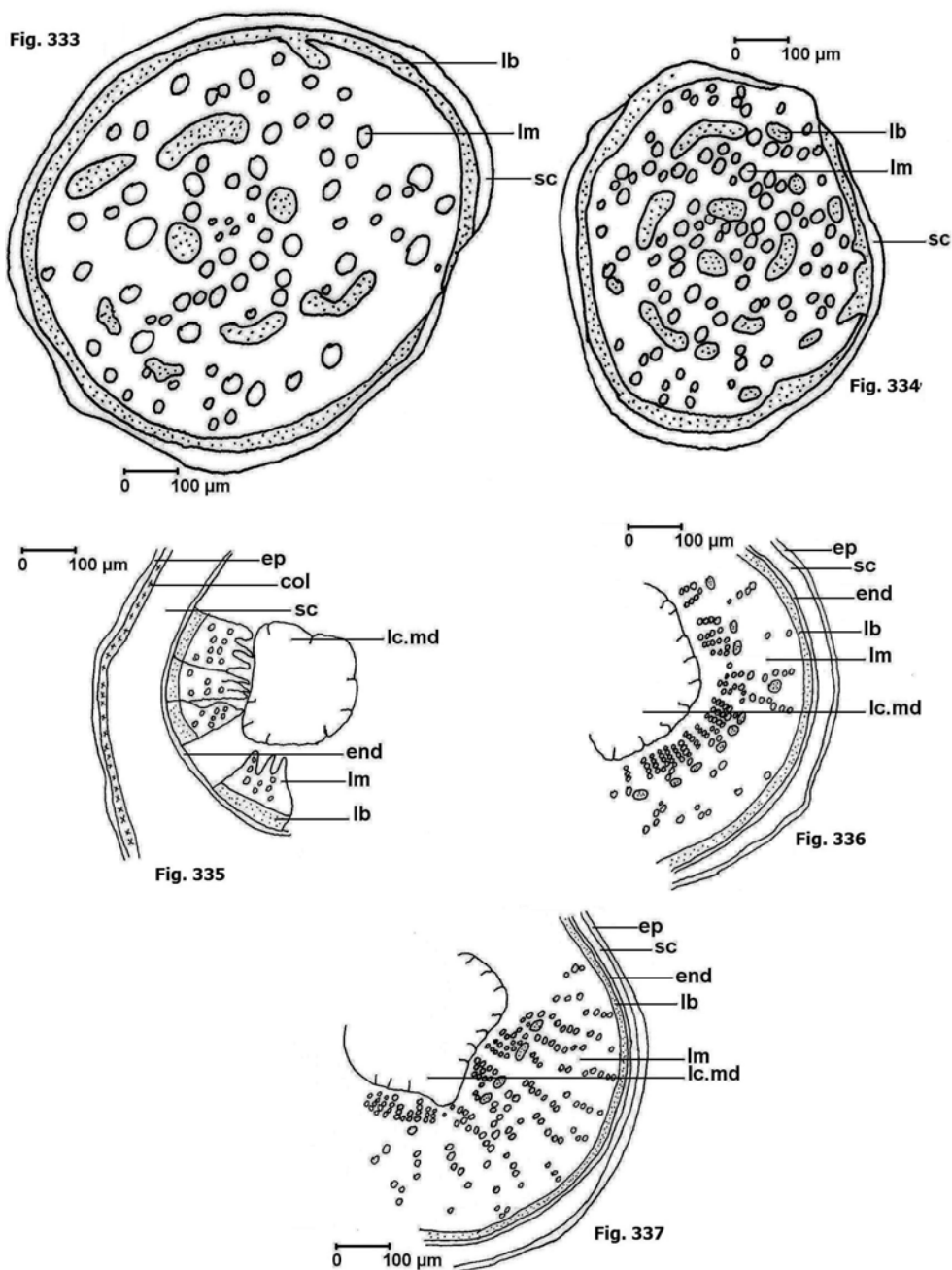


Fig. 332

*Petrosimonia triandra*. Secțiuni transversale prin rădăcină, treime mijlocie (Fig. 327) și prin tulpină, treime superioară (Fig. 328-330), treime mijlocie (Fig. 331) și treime inferioară (Fig. 332).



*Petrosimonia triandra*. Secţiuni transversale prin rădăcină, treime inferioară (Fig. 333), treime mijlocie (Fig. 334) şi treime superioară (Fig. 335); secţiune transversală prin tulpină, treime mijlocie (Fig. 336) şi treime inferioară (Fig. 337): scheme.

**Frunza (Fig. 338-349)****Limb**

**Epiderma văzută de față** (Fig. 343) prezintă celule poligonale, cu pereții laterali drepecți. Din loc în loc se observă stomate de tip anomocitic sau de tip tetracitic. Prin transparență se observă celule cu ursini de oxalat de calciu.

În secțiune transversală, **treimea superioară** (Fig. 338, 339, 344, 345), conturul limbului este circular.

Structura este foarte asemănătoare cu cea a limbului foliar de la *P. oppositifolia*. În țesutul palisadic (Fig. 339, 345), unele celule prezintă ursini de oxalat de calciu.

La fața internă a clorenchimului intern (Fig. 339) se observă numeroase grupe mici de elemente de contur circular cu pereții îngroșai și lignificați, de diametru foarte mic, amintind de vasele lemnoase ale fasciculelor conducătoare (Fig. 339, 345). Pe alocuri, astfel de grupe de elemente vasculare se află și în interiorul parenchimului central unde, împreună cu câteva celule mici din jur, formează veritabile fascicule conducătoare (Fig. 338).

În **treimea mijlocie** (Fig. 340, 346, 347) structura se menține, în linii mari, asemănătoare cu cea din treimea superioară, adică: țesut acvifer, parenchim asimilator subiacent (ce înglobează mici și, în mare parte nediferențiate fascicule conducătoare), parenchim central (cu veritabile fascicule conducătoare) (Fig. 340).

În **treimea inferioară** (Fig. 341, 342, 348, 349), conturul secțiunii prin limb este semicircular, cu fața adaxială plană (Fig. 348).

Epiderma are celule neuniforme: unele mari, altele mai mici; în plus, unele celule au peretele extern concav (de formă semilunară), mai îngroșat decât ceilalți, acoperit de o cuticulă foarte subțiri (Fig. 342).

În poziție hipodermică se află un strat de celule care, prin forma lor, constituie un țesut palisadic (Fig. 342 și 349). Acest țesut este întrerupt uneori, în dreptul coastelor latero-adaxiale și la fața abaxială, de celule foarte mari, de formă eliptică; unele celulele sunt de 2-3 ori mai înalte decât celulele epidermice. Acest țesut este întrerupt în dreptul coastelor latero-adaxiale și, uneori, pe fața abaxială, de câte o celulă de formă circulară sau eliptică.

Acestei palisade îi urmează un strat clorenchimatic intern, adesea unistratificat, în care unele celule sunt oxalifere. În legătură directă cu

stratul de celule asimilatoare se află numeroase și extrem de mici fascicule conducătoare, cu foarte puține elemente de floem și de xilem, acesta din urmă având însă elemente cu pereți subțiri și slab lignificați. Urmează un parenchim de tip meatic, cu celule foarte mari, având pereții foarte subțiri.

Partea centrală a limbului este un parenchim de tip meatic, cu celule foarte mari, având pereții foarte subțiri, constituind un veritabil țesut acvifer. Prezența acestui țesut cu rol acvifer trebuie pusă în legătură cu factorii de mediu locali, ținând seama de faptul că planta a fost colectată de pe o sărătură uscată, rezerva de apă fiind astfel explicabilă. Pentru xerofitism pledează și reducerea suprafeței foliare, tot în sensul micșorării transpirației și reținerii apei în corpul plantei. În plus, apa poate servi și la procesul de diluție a sărurilor, micșorându-le concentrația. Acest aspect, alături de alte date, arată că diluția sărurilor prin creșterea conținutului de apă pe parcursul maturării frunzei este un fenomen de adaptare larg răspândit printre halofite, care includ chiar specii xerofite, precum graminee și ciperacee (Albert, 1975).

În acest parenchim central se află 3 fascicule conducătoare libero-lemnoase, din care cel median este mai mare, având vasele de lemn dispuse în șiruri radiare paralele între ele și perpendiculare față de epidermă (Fig. 341); în fasciculele laterale, mult mai mici, poziția liberului și a lemnului este diferită.

Acest tip de anatomie foliară corespunde, de asemeni, ca și la *P. oppositifolia*, tipului kochioid.

Așadar, *P. triandra* este o specie de sărături uscate; din asemenea habitate am colectat-o și noi. Este o specie xerofilă, heliofilă strictă, de la slab la puternic și foarte puternic euhalofilă, ce se dezvoltă pe sărături uscate sau pe sărături ce se uscucă puternic și repede în stratul de la adâncimea de 10-20 cm. Este o plantă cu frunze filiforme, ușor ceroase, scorțoase și succulente (Bucur și colab, 1961). Prezența țesuturilor acvifere explică supraviețuirea speciei în condiții de uscăciune, dar și posibilul efect de diluție pe care apa îl are asupra sărurilor concentrate.

Șerbănescu (1965) aprecia că este vorba de o specie de sărături clorurice, cu umiditate scăzută în timpul verii.

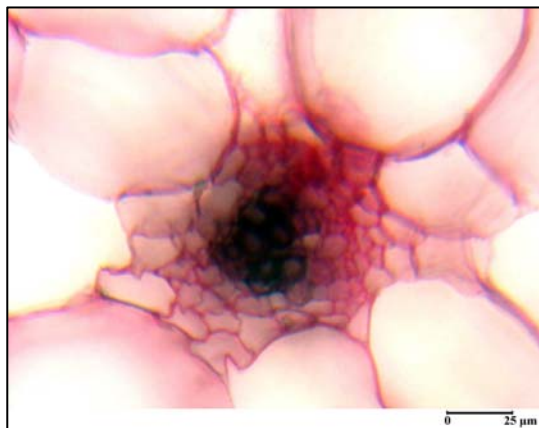


Fig. 338

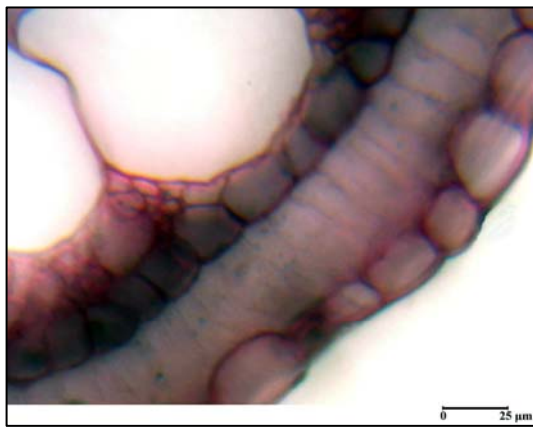


Fig. 339

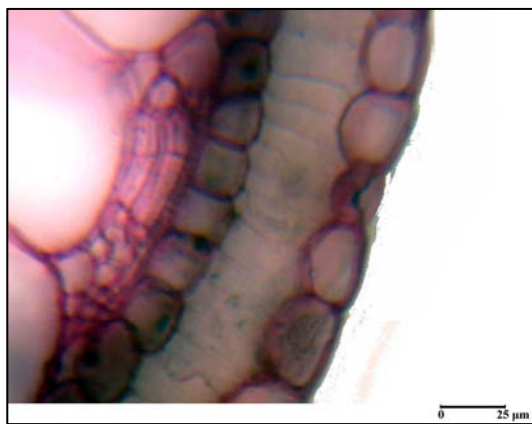


Fig. 340

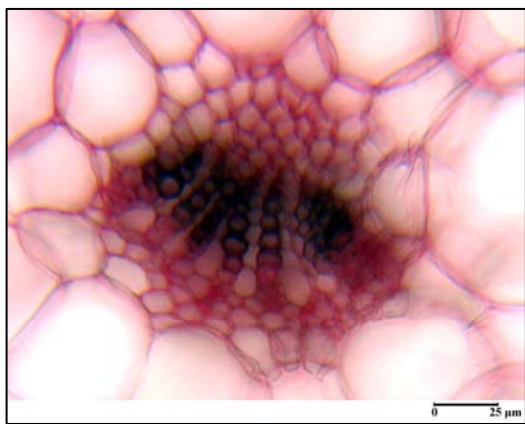


Fig. 341

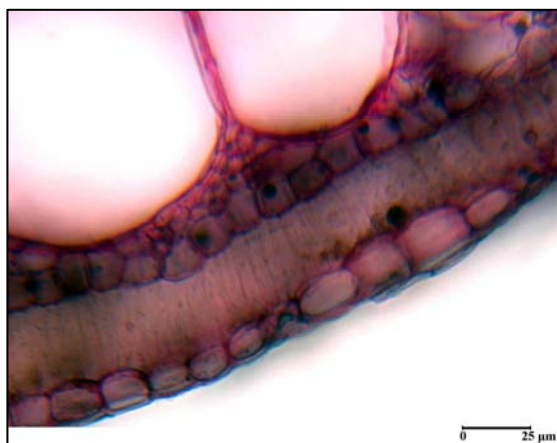


Fig. 342

*Petrosimonia triandra*. Secțiuni transversale prin limbul foliar, treime superioară (Fig. 338-339), treime mijlocie (Fig. 340) și treime inferioară (Fig. 341, 342).

Fig. 343

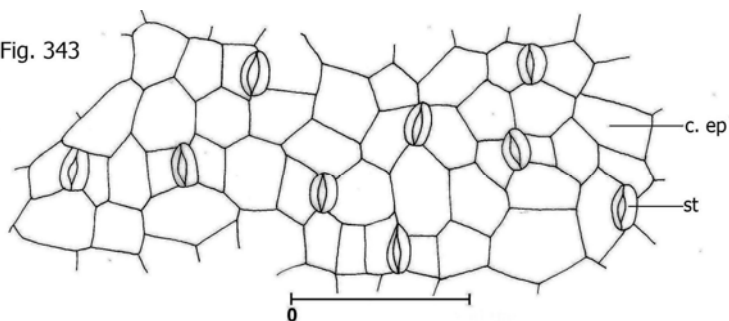


Fig. 344

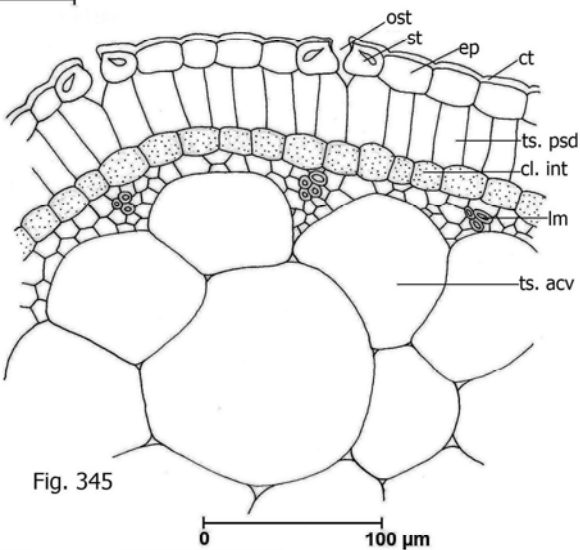
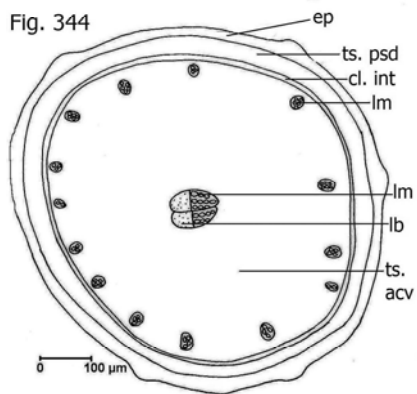


Fig. 345

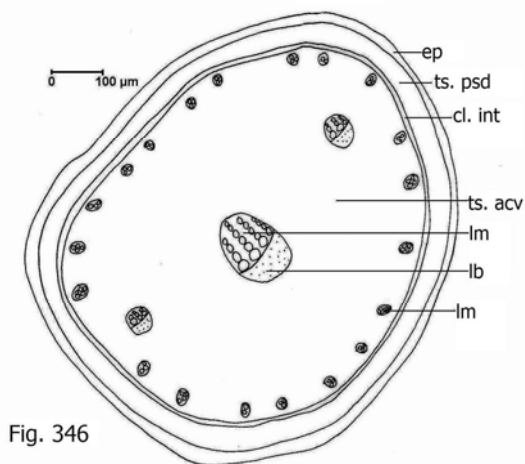
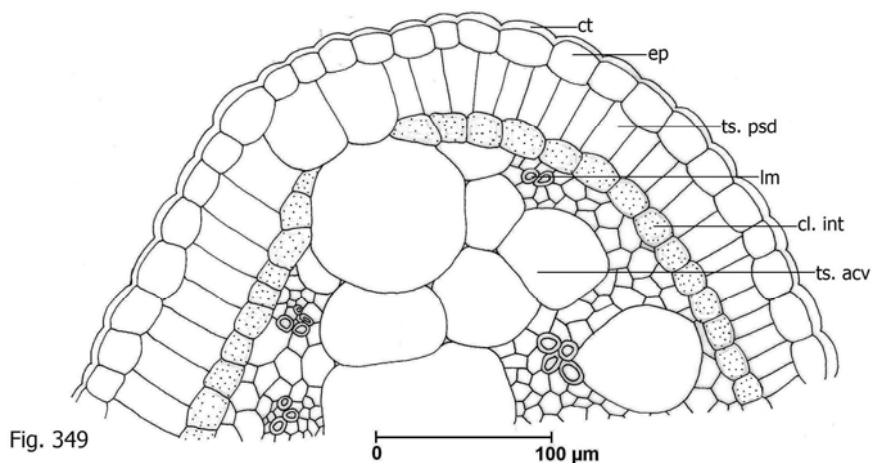
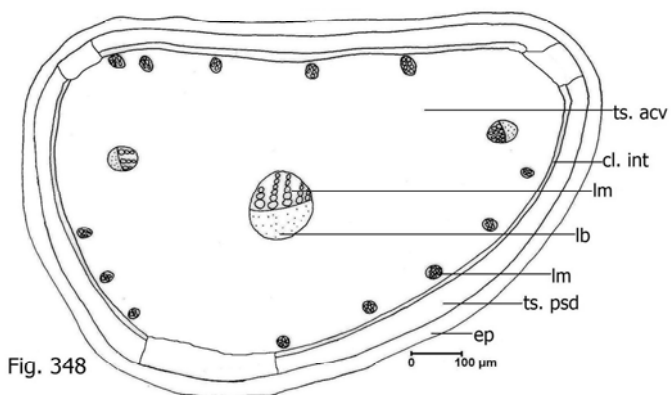
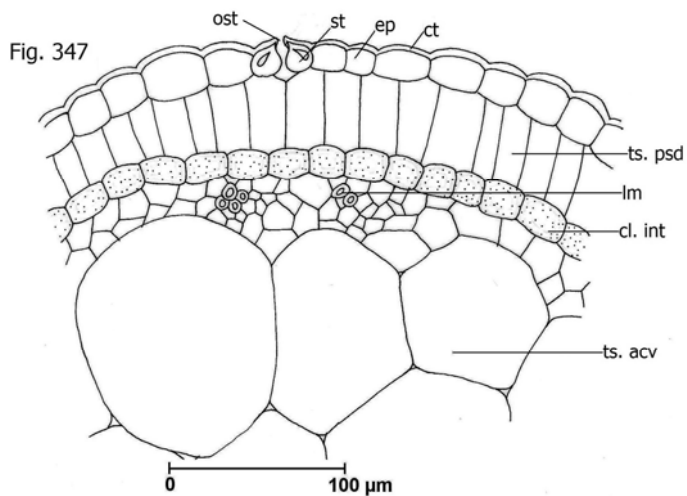


Fig. 346

***Petrosimonia triandra*.** Epiderma văzută de față (Fig. 343); secțiuni transversale prin limbul foliar, treime superioară (Fig. 344 – schemă; Fig. 345 – detaliu); și treime mijlocie (Fig. 346): schemă.



*Petrosimonia triandra*. Secțiuni transversale prin limbul foliar, treime mijlocie (Fig. 347 – detaliu) și treime inferioară (Fig. 348 – schemă, Fig. 349 – detaliu).



### ***Salicornia europaea* L.**

#### **Rădăcină – treime inferioară (Fig. 350, 362)**

Structura secundară se datorează ambelor meristeme laterale: felogenul și cambiul.

Felogenul produce o zonă relativ subțire (3-5 straturi) de celule suberoase tipice, dar fără o dispoziție strict radiară.

Cambiul produce puțin liber și mai mult lemn secundar în jurul celor 3 fascicule de lemn primar ale stelului triarh.

Cilindrul central este foarte gros, însă rezultă îndeosebi din activitatea cambiilor supranumerare. Acestea produc mai cu seamă vase de lemn (dispersate neregulat) și celule de libriform, iar în masa fundamentală, sclerificată și lignificată, sunt dispersate numeroase (20-25) și mici insule de liber; dispoziția acestora nu este ciclică, tipică, deci pot fi considerate ca fiind rezultatul activității unui număr de 3-4 cambii supranumerare (Fig. 350). Ultimul cambiu supranumerar format a generat un țesut sclerificat, dar nelignificat, în vecinătatea imediată a peridermei; acest țesut poate fi considerat ca un feloderm de tip mecanic, totdeauna mai gros decât suberul de la periferia lui.

#### **Rădăcină – treime mijlocie (Fig. 351, 352, 363)**

Structura rămâne asemănătoare cu cea din treimea inferioară, cu deosebirea că elementele libriformului au pereții extrem de îngroșați și lignificați, lumenul devenind adesea filiform (punctiform). Unele din insulele liberiene sunt foarte apropiate, formând veritabile arcuri suprapuse (Fig. 351, 352).

#### **Rădăcină – treime superioară (Fig. 364)**

Arcurile de țesut liberian sunt mai largi, rezultate din contopirea unora dintre insulele menționate la nivelurile inferioare ale rădăcinii; aceste arcuri sunt foarte subțiri și dispoziția lor reflectă activitatea unui număr de 4-5 cambii supranumerare.

Deși această specie este una de habitate umede, poate să surprindă, la prima vedere, absența formațiunilor aerifere de la nivelul acestui organ. Unele studii au arătat că este una din puținele specii care are aerenchim slab dezvoltat, de aproximativ 3-6%, aceasta chiar și în condiții de hipoxie (Pearson și Havill, 1988). Ca urmare, se pare că există adaptări metabolice la bălțire. Plantulele acestei specii din solurile saline inundate nu sunt afectate de anaerobioză (Schat et al., 1987, cit. de Keiffer et al., 1994). În



plus, *S. europaea* este foarte tolerantă la acumularea ionilor de sulf (Ingold și Havill, 1984). Mai există și alte fenomene care pot explica slaba dezvoltare a aerenchimului la specia investigată de noi. Sistemul radicular superficial, extins în straturile aerobe ale solului, împreună cu o mișcare internă corespunzătoare a oxigenului, se pare că intervin în supraviețuirea unor specii de higrohalofite (inclusiv *Salicornia*) în condiții de băltire (Pearson și Havill, 1988; Mahall și Park, 1976).

**Tulpina propriu-zisă (sub segmentul cărnos, nearticulată)** (Fig. 353-361, 365-367)

Suberul are grosime diferită pe circumferința organului și este în bună parte în curs de exfoliere, cu celule netipice.

Structura primară este reprezentată, la nivelul cilindrului central, de fascicule (6-7) libero-lemnoase, ce prezintă insule liberiene înconjurată complet de elemente sclerificate și lignificate. Măduva este în cea mai mare parte în curs de dezorganizare, rezultând o cavitate aeriferă centrală (Fig. 353).

Structura rezultată în urma activității cambiilor supranumerare este reprezentată de un inel foarte gros de libriform, în care sunt înfipite mai multe insule liberiene mici (Fig. 354). La fața lor internă sunt puține vase de lemn, al căror diametru nu diferă prea mult de cel al fibrelor lemnoase; ele se deosebesc însă prin peretele ceva mai subțire și mai puțin lignificat. Fibrele liberiene au peretele extrem de gros, foarte intens lignificat. Ultimele elemente de libriform au pereții slab lignificați sau complet celulozici.

La periferia acestui stel gros se află 2-3 straturi de celule cu pereții moderat îngroșați, dar lignificați, din care cel extern are celule mult alungite tangențial, luând aspectul unei endoderme (Fig. 355), pe care am menționat-o la rădăcină, iar celelalte 2 straturi ar avea valoare de periciclu.

**Segment tulpinal cărnos (internod mare)** (Fig. 356-358, 365)

Epiderma are celule alungite tangențial, cu peretele extern mai îngroșat decât ceilalți și acoperit de o cuticulă striată, relativ groasă.

Scoarța este foarte groasă, diferențiată în parenchim asimilator de tip palisadic (bistratificat sau tristratificat), cu celule înalte (Fig. 356), parenchim acvifer de tip meatic, cu celule foarte mari (Fig. 358) și endodermă de tip primar (Fig. 357); aceasta din urmă, ca și stratul de la periferia ei, prezintă celule foarte mici, alungite tangențial. Celulele endodermei au toți pereții, dar mai ales cei laterali, moderat îngroșați și lignificați, fapt ce ne determină să-o considerăm mai degrabă de tip secundar.

În grosimea parenchimului acvifer, la limita dintre acesta și parenchimul asimilator, se află numeroase fascicule conducătoare foarte

mici, cu dispoziția neregulată a lemnului și a liberului, de aceea secțiunea transversală ne arată vase inelate și spiralate secționate longitudinal.

Diferențierea scoarței în parenchim palisadic extern și parenchim lacunos (acvifer) intern a determinat pe unii autori să considere că această structură aparține limbului foliar și că doar cilindrul central ar ține de structura particulară a tulpinii.

Cilindrul central este foarte subțire și începe cu un strat de celule periciclice, extrem de mici, cu toți pereții moderat îngroșați, dar intens lignificați. În acest cilindru central distingem o măduvă axială (multe din celule s-au dezorganizat, rezultând o cavitate aeriferă mai mult sau mai puțin romboidală în secțiune transversală), un număr de 6 fascicule conducătoare libero-lemnoase și un inel foarte gros de sclerenchim (Fig. 357), la periferia lor, în care sunt înfipte câteva insule foarte mici de elemente liberiene.

Aceasta dovedește că imediat după structura primară s-a edificat o zonă cambială, din activitatea căreia a rezultat foarte mult libriform, care vine în contact cu razele medulare sclerificate și lignificate și cu țesutul lemnos al fasciculelor conducătoare; în felul acesta liberul este complet înconjurat de țesut sclerificat și lignificat. Ultimele elemente de libriform, de asemenea cu pereții foarte groși, nu sunt lignificate; ele se află între periciclu și inelul sclerificat și lignificat de la fața externă a fasciculelor conducătoare.

În legătură cu anatomia acestei specii se impun mai multe discuții. *Salicornia* este un gen foarte interesant, controversat și „intrigant” prin problematicile ridicate din punct de vedere structural.

Suculența este una din trăsăturile cele mai caracteristice acestui gen, fiind practic prima trăsătură asociată cu morfologia și ecologia lui.

Însă, oarecum legat de suculență, la acest taxon mai există o problemă destul de controversată chiar și în zilele noastre: care este originea acestor țesuturi suculente și, mai ales, formațiunile vegetative supraterrane ar trebui considerate tulpină sau frunze? Spunem aceasta, gândindu-ne în primul rând la morfologia și anatomia speciei *Salicornia europaea*, caracterizată uneori ca plantă afilă, alteori cu frunze mici, extrem de reduse, sau concrescute parțial cu tulpina.

Halofitele suculente sunt clasificate, în general, în două categorii: cele cu frunze suculente și cele cu tulpini suculente. Dar iată că, cel puțin din punct de vedere morfologic, dacă nu chiar și anatomic, distincția între cele două organe nu poate fi făcută cu ușurință.

Unii autori (De Fraine, 1912; Halket, 1928; James și Kyhos, 1961) privesc aceste organe suculente ca fiind frunze după origine, în vreme ce alții (Fahn și Arzee, 1959; Fahn, 1963) le privesc ca fiind tulpini, scoarța lor

fiind succulentă. Opinia noastră, vorbind din punct de vedere strict histo-anatomic, este că natura acestor organe cărnoase este foliară, pentru aceasta pledând structura tipică de limb, cu epidermă, țesut palisadic bi- sau tristratificat și parenchim acvifer care înconjoară cilindrul central. În plus, prezența a numeroase fascicule conducătoare la limita dintre țesutul palisadic și cel lacunos ar fi o dovadă că întreaga structură aparține unei perechi de frunze opuse, strâns alipite la fața externă a tulpinii.

Anderson (1975), care face studii pe *Salicornia virginica*, se referă la acest țesut succulent ca la o frunză, arătând că, de fapt, așa-numita tulpină afilă nu este altceva decât o tulpină cu două frunze aplatizate, care înconjoară fiecare internod.

Originea foliară a acestor țesuturi succulente este susținută și de Duval-Jouve (1868) (cit. de Fahn și Arzee, 1959).

Keller (1951) (cit. de Fahn și Arzee, 1959) este de părere că la speciile de *Salicornia* formațiunea aceasta succulentă provine din fuziunea și alipirea frunzelor cu tulpina. Concluziile lui s-au bazat pe studierea unor anomalii, cum ar fi plantule cu 3 cotiledoane și noduri unifoliolate, aranjament asimetric al țesutului succulent internodal la unele plante care au fost cultivate.

Leisle (1949), studiind anatomia și ecologia unor halofite și xerofite cu frunze reduse, precizează că la *Anabasis aphylla* acest țesut succulent derivă din fuziunea frunzelor opuse.

Cooke (1911), studiind anatomia speciei *Salicornia australis*, se referă la această formațiune succulentă ca reprezentând de fapt baza frunzelor ce înconjoară tulpina propriu-zisă.

Chermeson (1910), care a investigat specia *Salicornia fruticosa*, afirmă că stratul de celule care mărginește țesutul acvifer la interior este format din celule distincte, aplatizate tangențial, ceea ce ar reprezenta de fapt epiderma superioară a frunzei sudate cu tulpina.

Problemele ridicate de definirea și caracterizarea acestor țesuturi succulente sunt legate, așa cum am pus și noi în discuție (Grigore, 2008b), și de lipsa unui limbaj uniform și a unei caracterizări constante structurilor evidențiate la nivelul acestor țesuturi cărnoase, succulente. Acesta este motivul pentru care nici noi nu preferăm folosirea unui termen precis, constant, ci mai degrabă apelăm la expresia generică „țesut succulent”, „formațiune succulentă”, care poate părea un pic cam vagă. De fapt, folosim această sintagmă pentru a desemna totalitatea țesuturilor cuprinse de la epidermă și până în interior, la nivelul a ceea ce pare și a fost descris ca cilindru central (tulpină propriu-zisă); deși, punctul nostru de vedere este că această formațiune are origine foliară.

De exemplu, Cross (1909) studiază aceeași specie, *Salicornia australis*, și caracterizează planta ca fiind **complet** (subl. n.) lipsită de

frunze, deși secțiunea transversală prin „tulpină” este destul de asemănătoare cu cea prezentată de Cooke (1911).

Suculența conferită plantei de aceste formațiuni este o trăsătură comună multor specii de halofite.

*Salicornia europaea* este o higo-halofită, fiind recoltată, ca și *Suaeda maritima*, de pe o sărătură umedă, nisipoasă, colmatabilă uneori, iar prezența suculenței, alături de efectul dilutiv pe care l-am mai amintit, intervine și în menținerea turgescenței celulare, adică un alt mijloc responsabil de poziția erectă a plantei, fiind cunoscut faptul că țesuturile mecanice sunt rudimentare, slab dezvoltate la această specie. „Îndată ce turgescența nu mai este asigurată, prin absența apei, planta pierе în mod fatal”, scrie Prodan (1922), referindu-se la *Salicornia*. Din acest motiv, specia este legată de medii puternic saline, clorurice, dar umede; este vorba, practic, de un lanț microecologic închis, adică salinitatea clorurică a solului induce suculența, având și rol atât de diluție a ionilor toxici, cât și de menținere a presiunii osmotice, a turgescenței, ceea ce permite plantei absorbția sevei brute pe de o parte, dar și poziția erectă a plantei, pe de altă parte. În lipsa apei din sol, planta poate muri fie din cauza concentrării sărurilor în celule, cu efect letal, fie din cauza pierderii, reversibile sau nu, a portului erect. Iată, deci, că și bilanțul hidric, alături de cel al sărurilor, nu trebuie nicidecum neglijat.

Așadar, *Salicornia europaea* este o specie higrofilă, de la potrivit la puternic halofilă, dezvoltându-se pe lăcoviști salinizate, umede de luncă în profunzime și mai puțin umede la suprafață (Bucur și colab., 1960), având aproximativ aceleași exigențe ecologice ca și *Suaeda maritima*. Ambele sunt specii care formează asociații clorurice (Șerbănescu, 1965). În plus, vorbind de importanța apei pentru *Salicornia* trebuie spus că germinarea semințelor se face, în majoritatea cazurilor, sub apa de precipitații, când sărurile sunt foarte diluate, conform aceluiași autor.

**Segmente tulpinale articulate, imbricate, mici** (Fig. 359-361, 366-367)

Axul organului este ocupat de câteva fascicule conducătoare mici și de o măduvă centrală, redusă la câteva (3-5) celule. Vasele de lemn (6) au pereții puternic îngroșați, dar nelignificați.

Cea mai mare parte din grosimea organului este parenchimatic-celulozică, cu celule ce formează însă țesuturi diferite:

- 2 benzi largi și opuse, cu structură de limb foliar, având 2 straturi de celule palisadice;
- 2 raze foarte largi, cu toate celulele alungite radiar, care ajung până în vecinătatea stelului.

La fața internă a celor 2 benzi de parenchim palisadic se află un țesut lacunos tipic, cu celule izodiametrice mari, având valoare de parenchim acvifer; în acesta din urmă, și mai ales la limita între cele 2 țesuturi, se află numeroase fascicule conducătoare mici; în plus, la nivelul parenchimului palisadic am observat mai multe traheoidioblaste, înalte cât toată grosimea țesutului palisadic, saculiforme, cu îngroșări (Fig. 359-361); în lungul acestor elemente se observă numeroase benzi paralele, îngroșate; acestea, împreună cu starea de turgescență conferită de bogăția apei, ar putea contribui la funcția de susținere a plantei în poziție verticală.

Prezența a numeroase fascicule conducătoare la limita dintre țesutul palisadic și cel lacunos ar fi o dovadă că întreagă structură aparține unei perechi de frunze opuse, strâns lipite la fața externă a tulpinii.

Epiderma prezintă celule izomorfe, izodiametrice, cu peretele extern acoperit de o cuticulă groasă. Din loc în loc se află stomate înconjurate de celule epidermice cu pereții laterali fin undulați.

Cu referire la aceste traheoidioblaste (numite așa de către Anderson, 1974), putem afirma că, deși evidențiate de mult timp, aceste structuri au născut controverse și interpretări diferite, care rețin atenția chiar și în zilele noastre.

Ele au fost evidențiate de Anderson (1974) la *S. virginica*, de Chermezon (1910) la *S. fruticosa* și *S. herbacea*, de Cooke (1911) la *S. australis*, de Keshavarzi și Zare (2006), la *S. europaea*, de Fahn și Arzee (1959) la *Arthrocnemum glaucum*.

Trebuie spus că rolul acestor formațiuni atât de interesante rămâne deocamdată discutabil. Funcția lor a fost, rând pe rând, presupusă de autorii care au investigat diferite specii ale genului *Salicornia*.

Astfel, Duval-Jouve (1868) le-a evidențiat la *S. fruticosa*, numindu-le „*les grandes cellules spiralées*” și le-a atribuit un rol aerifer, ceea ce l-a determinat să le numească, chiar în anumite locuri ale aceluiași articol, „*les cellules aerifères*”. Acestea se deosebesc de celulele palisadice prin lungimea lor mare, prin conformație, fiind întotdeauna într-un număr mult mai mic decât celulele parenchimului palisadic, în masa cărora sunt localizate. Aproape întotdeauna sunt situate pe direcția și dedesubtul stomatelor, *fără să fie însă în contact* (subl. n.) cu vreuna dintre acestea. Pe materialul analizat de Duval-Jouve, toate aceste traheide sunt pline cu aer; autorul a ajuns la această constatare observând că prin simpla presarea a traheidelor pe preparatul histologic, aerul este eliberat la exterior, în mediul apos.

Mangin (1882) credea că aceste traheide au un rol de susținere, afirmând că nu sunt în contact cu stomatele, deși este adevărat că acestea se termină în dreptul stomatelor, la o mică distanță de camerele substomatice.

Tot un rol mecanic (de susținere) este atribuit acestor traheide și de către Van Tieghem (1898), considerându-le ca elemente ale stereomului cortical.

De Bary (1884) include traheidele de la *Salicornia* în categoria traheidelor izolate, localizate în afara fasciculelor conducătoare; nu le conferă în mod explicit o funcție anume, dar faptul că sunt menționate la acest capitol s-ar putea să echivaleze cu faptul că funcția lor este de conducere.

Dangeard (1888) a evidențiat aceste traheide la *Salicornia peruviana*, *S. virginica* și *Arthrocnemum ambiguum*; conform opiniei acestui autor, celulele spiralate transversale ar aparține, de asemeni, stereomului cortical.

Warming (1909) le numește „*water-storing tracheids*”, fiind de părere că acestea ar juca același rol ca și vasele de lemn din fasciculele conducătoare, de vreme ce ele sunt pline cu apă, pe care o cedează fără să fie distruse.

De Fraine (1912) cercetează anatomia genului *Salicornia* și numește aceste formațiuni „*spiral cells*”, arătând că ele vin rareori în contact cu epiderma, nefiind în mod direct conectate nici cu fasciculele conducătoare; pe baza observațiilor proprii, ajunge la concluzia că acestea sunt elemente ce depozitează apa.

Cooke (1911) era de părere că acestea au rol aerifer, iar Keshavarzi și Zare (2006) consideră că ele intervin în transportul apei către țesuturile periferice. Un rol în bilanțul hidric le atribuie și Anderson (1974).

Keshavarzi și Zare (2006) descriu aceste formațiuni ca pe niște celule spiralate mari, incolore, care sunt localizate printre celulele palisadice ale organelor foliare, lungimea lor fiind paralelă cu cea a celulelelor palisadice. Grosimea acestor elemente este foarte variabilă, însă lungimea lor este de 200-350 μm la *Salicornia europaea* și de circa 150-250 μm la *Arthrocnemum macrostachyum*. Epiderma este rareori în contact cu aceste traheide și nu există o legătură între ele și sistemul conducător. Forma lor este cilindrică, iar capetele sunt uneori oblice.

În anumite situații, aceste traheide au fost interpretate ca fiind glande secretoare de săruri la specia *Salicornia europaea* (Bercu și Bavaru, 2005). Anderson (1975) este de părere că acestea nu ar trebui considerate glande, deoarece nu au demonstrat un conținut ridicat de săruri prin teste histochimice. Așa cum arătam în altă parte (Grigore și Toma, 2008b), în ceea ce ne privește, în acord cu ultimul autor citat, nu credem că aceste elemente structurale ar putea fi glande secretoare de săruri, deoarece *S. europaea* nu este o crinohalofită, ci dispune de alte mecanisme reglatoare ale sării. În plus, pe preparatele analizate de noi, aceste structuri nu sunt în contact direct cu epiderma, eventual cu stomatele sau cu alte formațiuni implicate în secreție. Ele nu pot constitui glande în sensul strict al

termenului, în conformitate cu definiția lui Fahn (1988): „glandele salifere sunt **celule** epidermice specializate sau trichomi specializați, care joacă un rol activ în secreția de soluții de săruri minerale...”. Este drept că, în unele situații, aceste traheide conectează țesutul acvifer cu epiderma, ca în cazul speciei *Arthrocnemum fruticosum* și se presupune că ar avea rol în absorbția picăturilor de rouă de către epidermă (Saadeddin și Doddema, 1986), dar aceasta nu este valabil pentru materialul analizat de noi. În tot cazul, se pare că aceste „sclereide”, cum le numește Waisel (1972), ating dimensiuni mai mari la plantele expuse unor condiții ridicate de salinitate, cu NaCl îndeosebi, deci se pare că sunt halosensibile.

Saadeddin și Doddema (1986), evidențiind aceste structuri histologice, oferă o succintă, dar potrivită caracterizare a părții supratereane a unei plante suculente, articulată. Astfel, aceasta constă „dintr-o tulpină cu două frunze opuse, decusate, la fiecare nod, baza fiecărei perechi, suculentă, amplexicaulă, prelungită în partea din josul tulpinii și fuzionată cu aceasta, formând un cilindru suculent discontinuu, în jurul internodurilor”. Frunzele sunt formate dintr-un strat asimilator palisadic și un țesut acvifer **conectat** (subl. n.) cu epiderma printr-un număr mare de traheoidioblaste („vessel-like tracheoid idioblasts”, în original).

Pirwitz (1931) a demonstrat că aceste celule sunt pline cu apă, sunt vii și conțin nucleu, fiind capabile de plasmoliză. Aceste observații au fost confirmate ulterior prin tehnici de microscopie electronică (Hess et al., 1975).

Weber și colab. (1977) au atribuit și ei acestor traheide un rol acvifer, dar au particularizat acest aspect, arătând că ele pot funcționa ca un rezervor de apă ușor sărată atunci când plantele cresc într-un mediu puternic salinizat. Conform acestor autori, fluxul de apă sărată care se deplasează din țesutul acvifer poate fi redus în concentrație, printre altele, de membranele traheidelor izolate. Hess și colab. (1975) au sugerat de asemeni, că și în aceste traheide concentrația în clor este scăzută.

S-a mai atribuit un rol acestor traheoidioblaste. De mult timp s-a observat că numeroase specii de halofite, inclusiv *Salicornia*, sunt capabile să absoarbă apa prin intermediul părților aeriene atunci când sunt supuse unor inundații temporare. Această absorbție se pare că este capabilă să înlocuiască pierderile anterioare de apă. Saadeddin și Doddema (1986) au sugerat că un asemenea mecanism ar putea fi operativ și la *Arthrocnemum fruticosum*, prin absorbția picăturilor de rouă de către părțile aeriene ale plantei. Cu toate acestea, rămâne deschisă discuția dacă există conexiuni certe între aceste traheide și epidermă, pe de o parte, și între acestea și elementele conducătoare, pe de altă parte. Această specie din familia *Chenopodiaceae* este de tip C<sub>3</sub> (Frey și Kürschner, 1983; Muhaidat, Sage și Dengler, 2007).

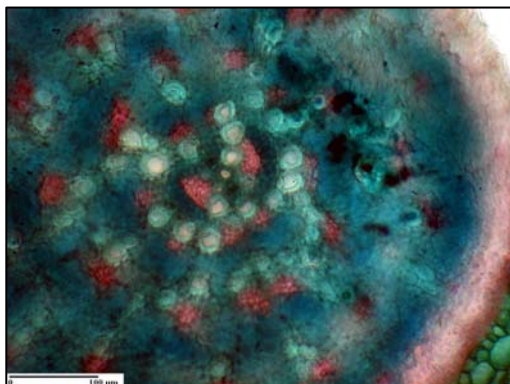


Fig. 350

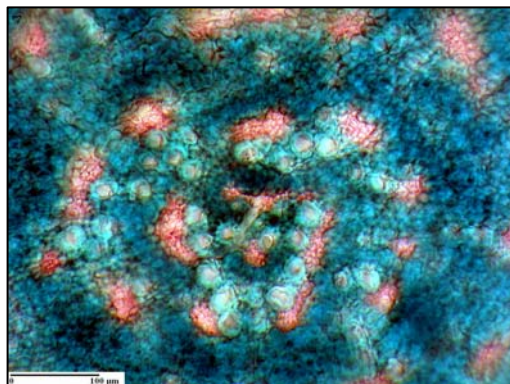


Fig. 351

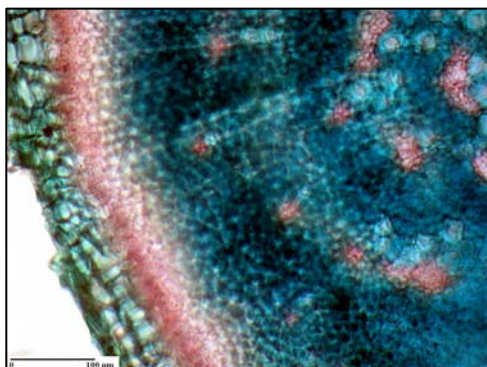


Fig. 352



Fig. 353

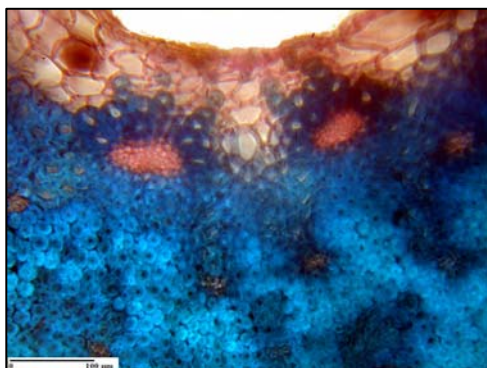


Fig. 354

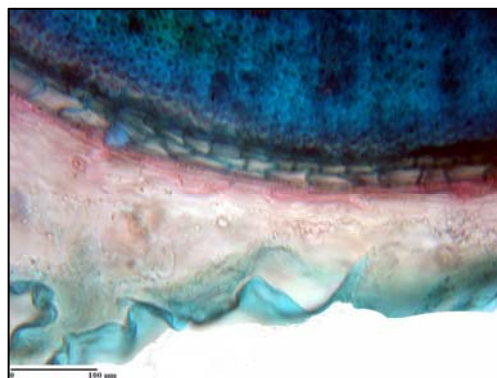


Fig. 355

*Salicornia europaea*. Secțiuni transversale prin rădăcină, treime inferioară (Fig. 350) și treime mijlocie (Fig. 351, 352); secțiuni transversale prin tulpina nearticulată (Fig. 353-355).





Fig. 356

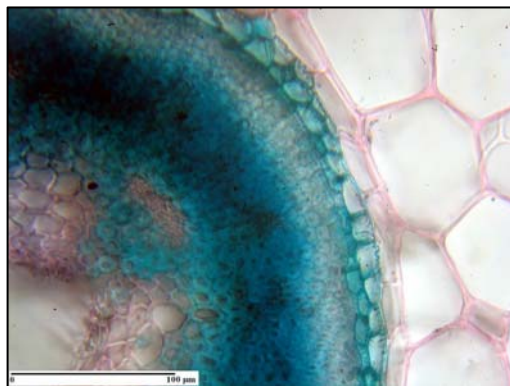


Fig. 357

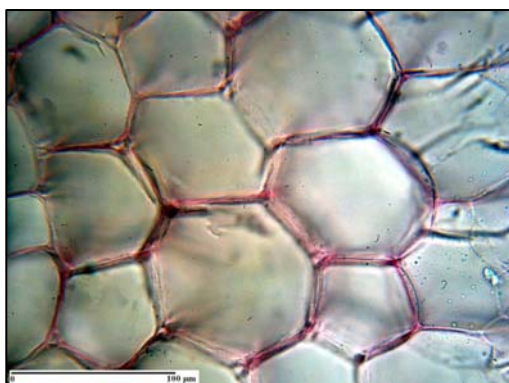


Fig. 358



Fig. 359



Fig. 360

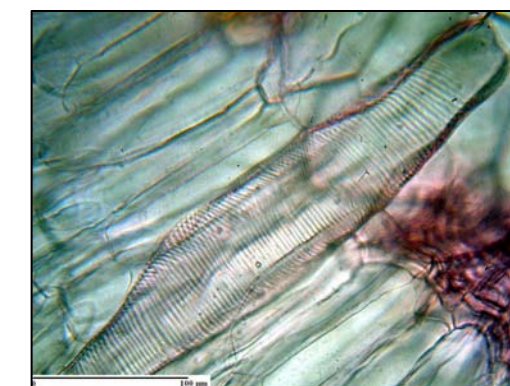


Fig. 361

*Salicornia europaea*. Secţiuni transversale printr-un segment succulent mare (Fig. 356-358) şi printr-un segment succulent mic (Fig. 359-361).

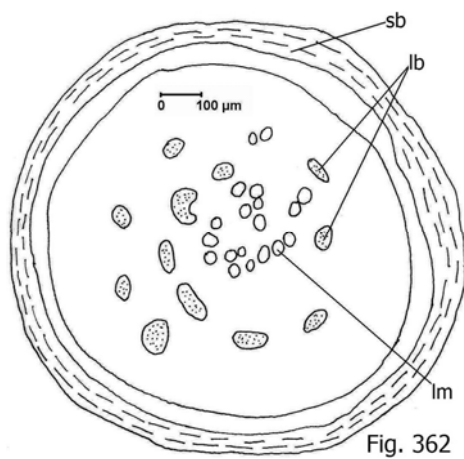


Fig. 363

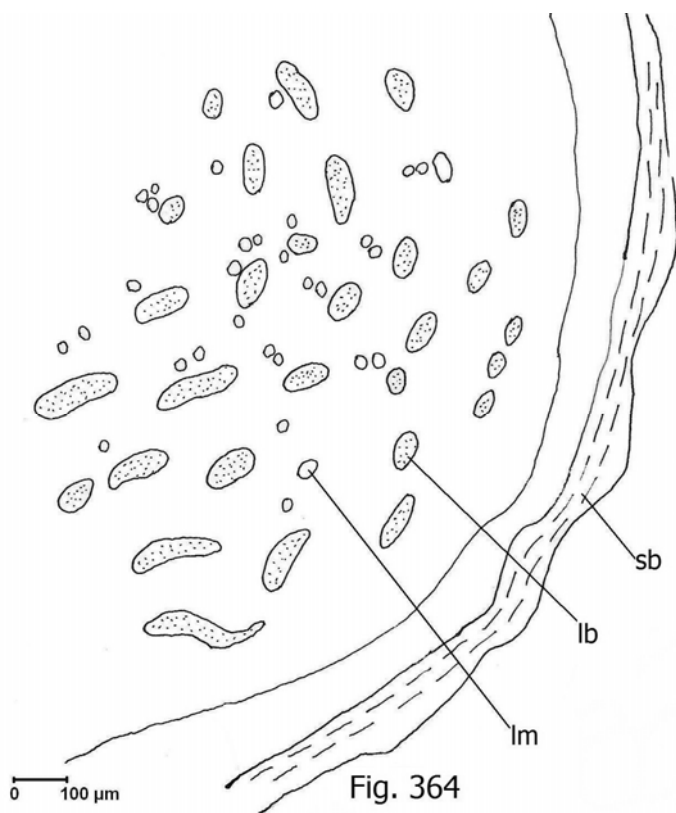
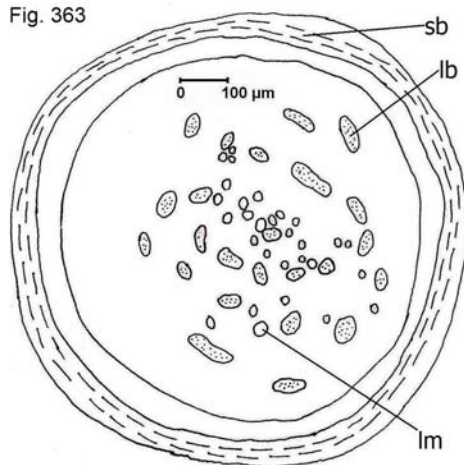


Fig. 364

*Salicornia europaea*. Secțiuni transversale prin rădăcină, treime inferioară (Fig. 362), treime mijlocie (Fig. 363) și treime superioară (Fig. 364).

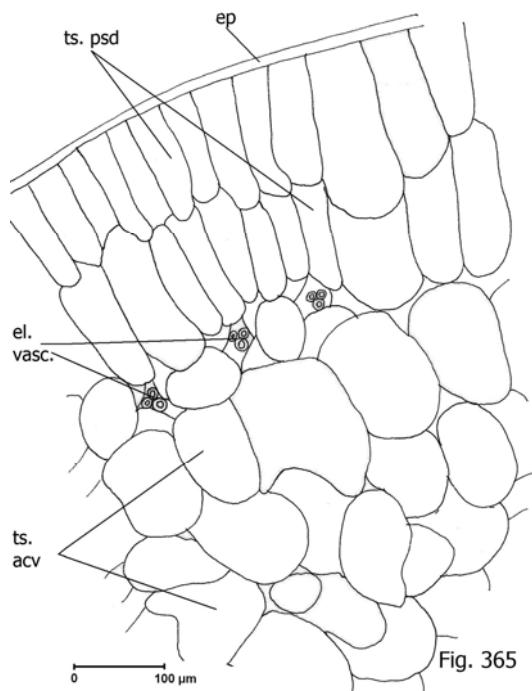


Fig. 365

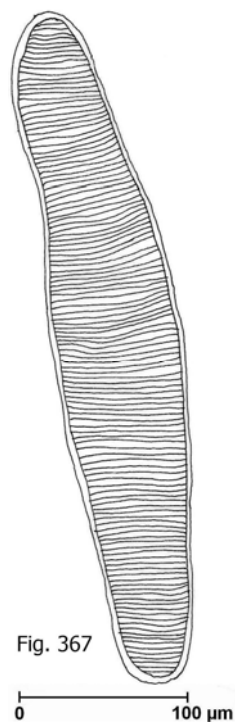


Fig. 367

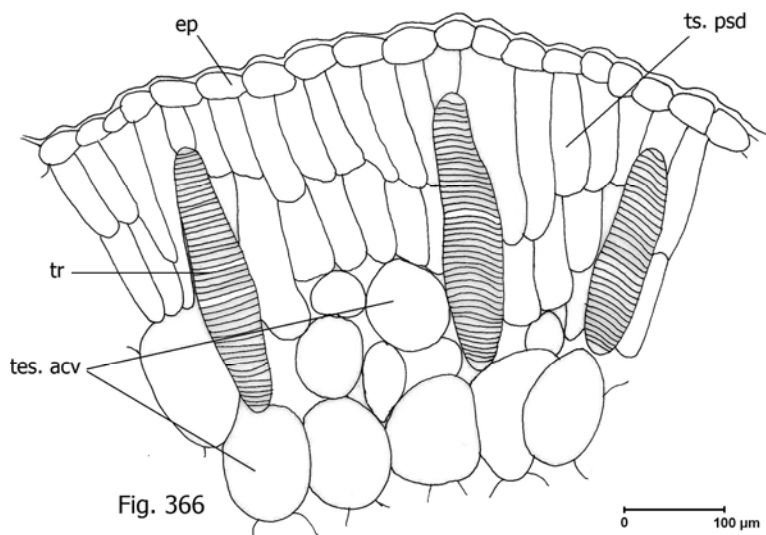


Fig. 366

*Salicornia europaea*. Secțiuni transversale printr-un segment succulent mare (Fig. 365) și printr-un segment succulent mic (Fig. 366, 367).

***Suaeda maritima* (L.) Dumort.****Rădăcină** (Fig. 368, 369)

La nivelul analizat, structura este secundară, însoțită de țesuturile provenite din activitatea cambiilor supranumerare.

Structura primară se recunoaște încă în axul rădăcinii, unde se observă cele 2 fascicule de lemn, opuse și unite la mijloc printr-un vas mare de metaxilem. Așadar, stelul primar este detip diarh.

Structura secundară, rezultată din activitatea cambiului normal, este puțin importantă și de tip fascicular la nivelul țesuturilor conducătoare; sunt vizibile cel puțin 6 fascicule, al căror lemn formează un inel intern, iar liberul formează insule înconjurate complet de țesut sclerificat și lignificat; lemnul, razele medulare și libriformul primului inel de xilem rezultă în urma activității cambiului supranumerar.

În urma activității cambiilor supranumerare rezultă un număr de 5 inele de țesuturi conducătoare, fiecare din ele având cea mai mare parte ocupată de libriform, cu puține vase dispersate neregulat în el, și numeroase insule de liber, separate de parenchim, celulozic sau slab lignificat; aceste insule nu sunt echidistante și nici de aceeași mărime (Fig. 368).

La o analiză mai atentă putem distinge mai multe șiruri radiare de vase lemnoase în dreptul insulelor liberiene, separate de o cantitate foarte mare de libriform; fibrele acestuia din urmă au pereții extrem de îngroșați și moderat lignificați.

Felogenul formează o peridermă relativ groasă, cu suber de grosime diferită (4-7 straturi) spre exterior și feloderm cu celule dispuse radiar spre interior; celulele de suber au pereții moderat îngroșați, dar intens lignificați, nepăstrând o dispoziție strict radiară pe toată circumferința organului (Fig. 369).

Și la această specie, destul de apropiată ca spectru ecologic de *Salicornia europaea*, sistemul radicular superficial poate explica supraviețuirea plantei pe perioade de băltire mai mult sau mai puțin îndelungate (Justin și Armstrong, 1987).

**Tulpină – treime superioară** (Fig. 370, 371)

Epiderma are celule izodiametrice, cu peretele extern mai gros și aproape în totalitate cutinizat (Fig. 371); cuticula formează un relief striat.

Scoarța este foarte subțire, colenchimatizată (Fig. 371), cu cele mai multe celule aplatizate radiar. Stratul cel mai intern reprezintă o endodermă tipic primară, cu celulele mult alungite tangențial, având vizibile îngroșările Caspary în pereții radiari.

Cilindrul central este gros și începe cu un periciclu pluristratificat, format din celule mici. Sub periciclu se află un inel gros de fibre sclerenchimatice, cu pereții extrem de groși și lignificați; în grosimea acestui inel pot fi observate mai multe fascicule conducătoare foarte mici, cu liberul înconjurat complet de elemente sclerificate și lignificate; vasele de lemn ale acestor fascicule au diametrul mai mare decât cel al fibrelor libriforme, dar pereții lor sunt de asemeni foarte groși.

La fața internă a inelului de sclerenchim și în contact direct cu acesta se află mai multe (10) fascicule libero-lemnoase, separate de raze medulare largi, formate din celule cu pereții puțin îngroșați și nelignificați spre măduvă și din celule cu pereții puternic îngroșați dar nelignificați în vecinătatea inelului de sclerenchim (Fig. 370).

Toate fasciculele conducătoare au un început de structură secundară, vizibilă cel puțin la nivelul lemnului unde, printre vasele cu pereții extrem de groși, se află și câteva fibre libriforme.

La nici una din speciile de *Chenopodiaceae* investigate de noi și de alți autori nu s-au întâlnit vase de lemn ce au pereții îngroșați, dar slab lignificați, ca și cei ai fibrelor libriforme.

Măduva este groasă, parenchimatice-celulozică, de tip meatic.

### **Tulpină – treime mijlocie** (Fig. 372, 373)

Structura diferă de cea observată la nivelul precedent prin următoarele trăsături:

- scoarța externă este colenchimatizată angular (Fig. 373);
- inelul de sclerenchim este mai gros și mai intens lignificat (Fig. 372);
- vasele de lemn au pereții intens lignificați, dar mai subțiri;
- structura secundară rămâne ne semnificativă.

### **Tulpină – treime inferioară** (Fig. 374, 375)

Structura este asemănătoare cu cea de la nivelul mijlociu al tulpinii, cu deosebirea că unele celule de parenchim cortical intern sunt extrem de mari, alungite tangențial.

Stratul periciclic de sub endodermă are celule foarte mici, izodiametrice, cu pereții extern și laterali mai groși și lignificați, ca și cel intern al celulelor endodermice (Fig. 374).

În inelul de sclerenchim sunt numeroase fascicule conducătoare, cu insule de liber înconjurat complet de țesut lignificat și sclerificat (Fig. 375). Vasele de lemn, dispuse în șiruri radiare au pereții extrem de groși, dar moderat sau slab lignificați. Numărul fasciculelor rămâne constant (18), cu structură secundară (ne semnificativă) doar în cele mai mari.



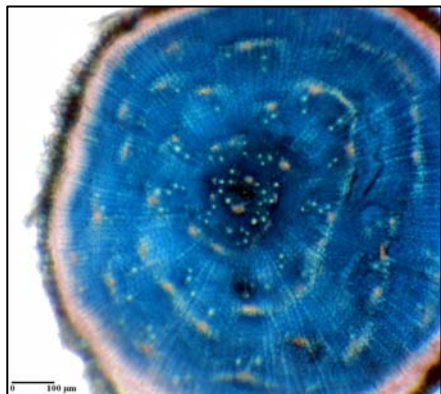


Fig. 368

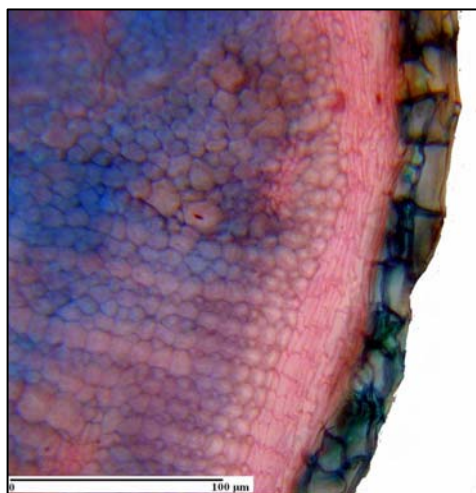


Fig. 369



Fig. 370

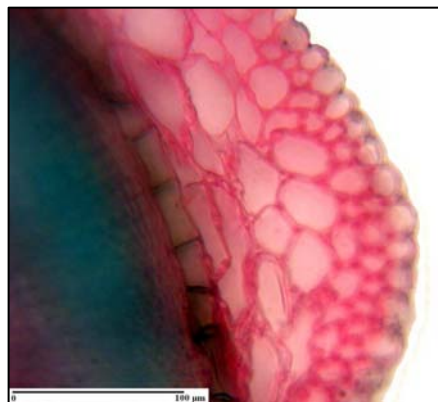


Fig. 371



Fig. 372

*Suaeda maritima*. Secțiuni transversale prin rădăcină (Fig. 368, 369) și prin tulpină, treime superioară (Fig. 370, 371) și treime mijlocie (Fig. 372).

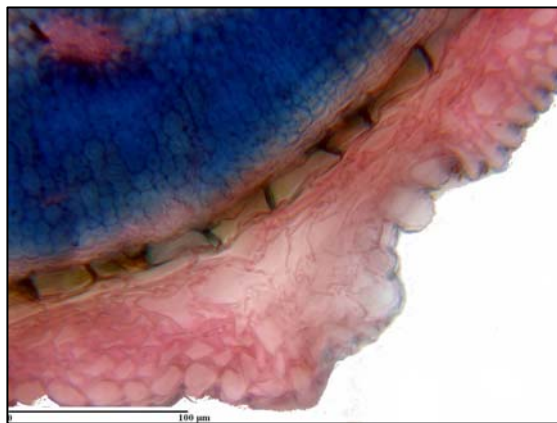


Fig. 373

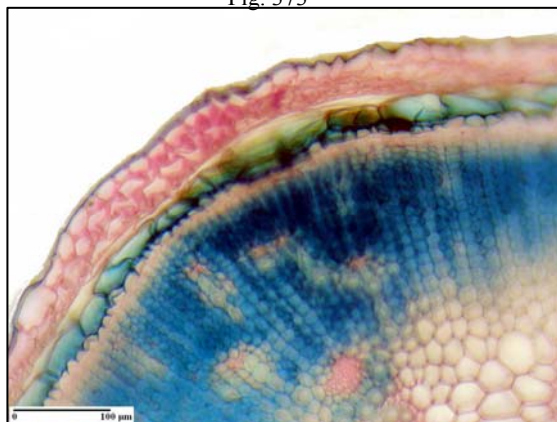


Fig. 374

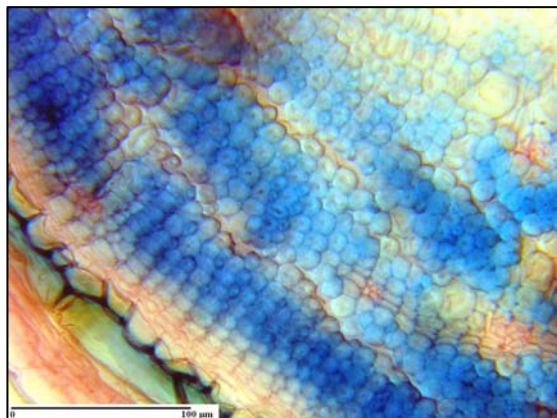


Fig. 375

*Suaeda maritima*. Secțiuni transversale prin tulpină, treime mijlocie (Fig. 373) și treime inferioară (Fig. 374, 375).

**Funza (Fig. 376-378)**

**Epiderma văzută de față** (Fig. 376, 377) prezintă celule izodiametrice de contur poligonal, cu pereții laterali drepecți. Din loc în loc se observă puține stomate de tip anomocitic. În lungul nervurilor, celulele sunt vizibil alungite.

**În secțiune transversală prin limb** (Fig. 378), conturul limbului este aproximativ eliptic.

Epiderma prezintă celule alungite tangențial, cu peretele extern bombat și doar ușor mai îngroșat decât ceilalți. Din loc în loc se observă stomate.

Mezofilul este aproape în întregime de tip palisadic (Fig. 378), format din celule foarte mari, dispuse în 2-3 straturi; doar la mijlocul mezofilului celulele sunt izodiametrice ori ușor alungite tangențial. În țesutul lacunos se află mai multe fascicule conducătoare dispuse pe o bandă, din care cel median este ceva mai mare. Parenchimul acvifer conferă succulența frunzei.

Acest tip de aranjament al țesuturilor foliare a fost identificat, la aceeași specie, de Warming (1897), Monteil (1906), Chermeson (1910), Paulsen (1912), Polić și colab. (2009), corespunzând tipului anatomic *austrobassoid* (Fisher et al., 1997; Jacobs, 2001), caracteristic plantelor cu fotosinteză de tip C<sub>3</sub> (Velkie și Caldwell, 1970; Carolin, Jacobs și Wesk, 1975; Winter, 1981; Venkatesalu și Chellappan, 1988; Mateu Andrés, 1989; Fisher et al., 1997). Multe specii ale genului *Suaeda* pot fi însă de tip C<sub>4</sub> (Sage, Li și Monson, 1999), aparținând tipului *suaedoid*. Există o bogată literatură în acest sens, dar și unele inconsecvențe în folosirea terminologiei (nu tocmai unitare)<sup>22</sup>; într-o lucrare anterioară (Grigore și Toma, 2008b) am înadtrat structura anatomică foliară de la *S. maritima* în tipul *sympegmoid* (tot de tip C<sub>3</sub>), însă, în lumina noilor lucrări consultate, credem că este corect ca acest aranjament să fie considerat de tip *austrobassoid*.

Pentru aceste diferențe între tipul *suaedoid* și *austrobassoid*, și implicațiile lor pentru cele două tipuri de activități fotosintetice (C<sub>3</sub>, respectiv C<sub>4</sub>), a se vedea lucrarea lui Fisher și colab. (1997).

Asociată adesea cu *Salicornia europaea*, și *Suaeda maritima* este o specie higrofilă, foarte puternic alcalinofilă strictă, de la potrivit până la

<sup>22</sup> Diferențele între aceste tipuri anatomice (C<sub>3</sub>) sunt foarte mici; adesea, însă, unii autori preiau termeni de la alți autori precedenți, aducând mici modificări. În plus, unele lucrări consultate de noi sunt lipsite de figuri ale secțiunilor transversale prin frunză, așa că nouă, ca anomiști, ne este și mai dificil să ne pronunțăm clar, deoarece nu putem confrunța explicațiile din text cu imagini privind topografia țesuturilor care definesc anumite aranjamente foliare, fie de tip C<sub>3</sub>, fie de tip C<sub>4</sub>.



puternic și foarte puternic euhalofilă. Se dezvoltă pe lăcoviști salinizate umede de luncă, ușor colmatabile sau nu; este o plantă cu rădăcină superficială, cu tulpini și frunze suculente (Bucur și colab, 1960).

Prodan (1922) o încadra, alături de *Salicornia*, în categoria halofitelor cu „țesuturi mecanice rudimentare, care recurg prin urmare la turgescență pentru a-și asigura existența”.

Șerbănescu (1965) o încadra în categoria halofitelor de asociații clorurice foarte puternice, umede mai ales în timpul primăverii, până la începutul verii.

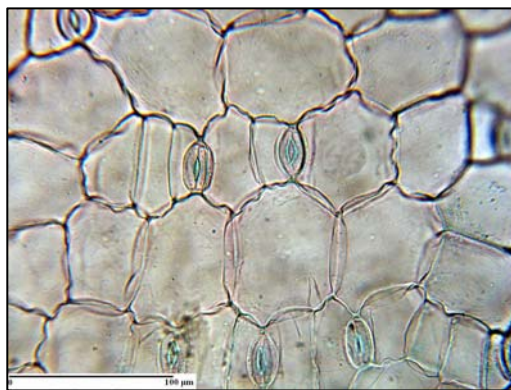


Fig. 376

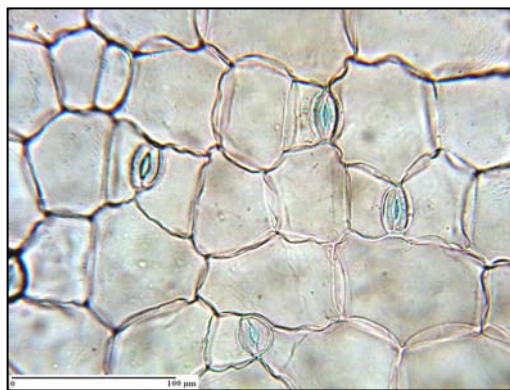


Fig. 377

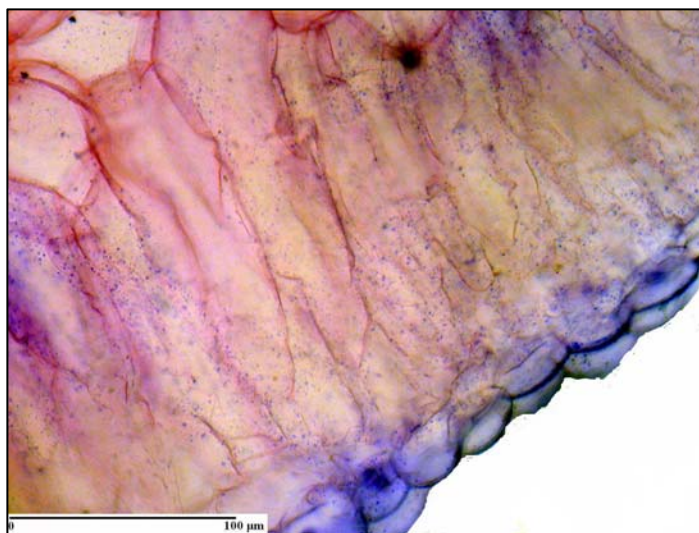


Fig. 378

***Suaeda maritima*.** Epiderma, văzută de față (Fig. 376-377) și secțiune transversală prin limbul foliar (Fig. 378).

*Familia Cyperaceae****Bolboschoenus maritimus* (L.) Palla ssp. *compactus* (Hoffm.)  
Drobow****Rizomul** (Fig. 379)

Epiderma prezintă celule izodiametrice sau ușor alungite tangențial, cu peretele intern vizibil bombat și cu peretele extern mai gros decât ceilalți.

Hipoderma este de tip sclerenchimatic, formată din celule cu pereți foarte îngroșați, intens lignificați și străbătuți de numeroase punctuații canaliculare; stratul cel mai intern al hipodermei are celule cu lumenul plin cu tanin.

Parenchimul fundamental este de tip meatic, cu celule mari, de formă poligonală și pline cu granule de amidon; în parenchimul fundamental sunt dispersate dezordonat numeroase fascicule conducătoare de tip colateral închis, înconjurate de câte o teacă sclerenchimatică ale cărei celule au pereții moderat îngroșați și lignificați (Fig. 379).

Liberul este format din tuburi ciuruite și celule anexe, iar lemnul prezintă vase mici de protoxilem și vase mai mari de metaxilem, toate separate de celule de parenchim lemnos lignificat. Fasciculele conducătoare din imediata vecinătate a hipodermei sclerenchimatice sunt foarte mici, unele prezentând doar câteva elemente liberiene.

Menționăm faptul că orientarea liberului și a lemnului nu este totdeauna normală, adică cu liberul spre exterior și lemnul spre interior.

**Tulpină aeriană – treime superioară** (Fig. 380)

Conturul secțiunii transversale este triunghiular.

Epiderma prezintă celule izodiametrice, cu peretele extern vizibil mai îngroșat decât ceilalți și acoperit de o cuticulă foarte subțire.

Parenchimul cortical este asimilator, format din aproximativ 6 straturi de celule, dintre care cele ale straturilor externe sunt tipic palisadice (Fig. 380).

Parenchimul central este de tip meatic, format din celule mari, lipsite de cloroplaste și având valoare de măduvă.

Țesuturile conducătoare formează numeroase fascicule libero-lemnoase de tip colateral închis, dispuse aproximativ pe două cercuri și diferind ca mărime. Toate fasciculele au liber spre exterior și lemn spre interior, fiind înconjurate de câte o teacă sclerenchimatică vizibilă mai cu seamă la periferia liberului, unde celulele ei au îngroșare în formă de

potcoavă, amintind de endoderma de tip terțiar a rădăcinii; la fața internă a lemnului, celulele tecii mecanice au pereții subțiri și ușor lignificați.

Sub epidermă, în dreptul fasciculelor conducătoare, dar nu în contact cu acestea, se află cordoane de fibre sclerenchimatice cu pereți moderat îngroșați și lignificați; asemenea cordoane mecanice sunt prezente și în dreptul celor trei coaste (unghiuri) ale tulpinii.

### **Tulpină aeriană – treime mijlocie (Fig. 381)**

Conturul secțiunii transversale se menține triunghiular; la nivelul epidermei se observă stomate.

Cordoanele hipodermice de sclerenchim sunt mai groase, fasciculele conducătoare sunt mai numeroase și mai mari, în multe din ele observând du-se cavități acvifere.

Parenchimul asimilator rămâne de tip palisadic (3-4 straturi) spre exterior și are celule izodiametrice spre interior, formând benzi interfasciculare.

Toate fasciculele (Fig. 381) împlântate în parenchimul asimilator sunt înconjurate de câte o teacă incompletă parenchimatice-incoloră, care se suprapune tecii sclerenchimatice de la periferia liberului.

### **Tulpina aeriană – treime inferioară (Fig. 382)**

Conturul secțiunii transversale se menține triunghiular, dar cu unghiurile rotunjite.

Față de nivelurile analizate mai sus, subliniem următoarele particularități de structură:

- epiderma are celule mici, cu peretele extern ușor mai îngroșat decât ceilalți;
- în poziție hipodermică se află cordoane largi, dar subțiri, de elemente sclerenchimatice, cu pereții moderat îngroșați și intens lignificați;
- parenchimul fundamental este omogen, de tip meatic, cu celule izodiametrice.

Între fasciculele conducătoare externe, parenchimul se dezorganizează parțial, rezultând cavități aerifere mari (Fig. 382), izodiametrice, în interiorul cărora se observă celule ramificate, astfel încât între ele rămân spații aerifere. Așadar, vorbim în acest caz de cavități aerifere, ceea ce atestă adaptarea tulpinii la mediul de viață mlăștinos. Astfel de cavități aerifere, dar vizibil mai mici, sunt numeroase și în parenchimul fundamental central.



Fig. 379



Fig. 380



Fig. 381

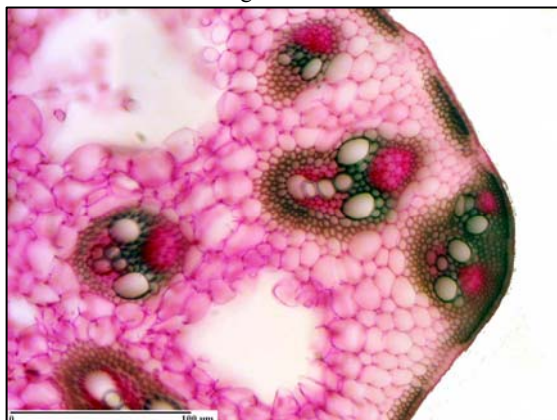


Fig. 382

*Bolboschoenus maritimus*. Secţiuni transversale prin rizom (Fig. 379) şi prin tulpina aeriană, treime superioară (Fig. 380), treime mijlocie (Fig. 381) şi treime inferioară (Fig. 382).

**Frunza (Fig. 383-386)**

**Epiderma, văzută de față** prezintă celule poligonal-alungite, cu pereții laterali drepecți sau ondulați, formând șiruri longitudinale; în lungul acestor șiruri se observă stomate de tip halteriform. În lungul nervurilor, celulele sunt foarte înguste și mai lungi, aici lipsind stomatele.

Prin transparență se observă elementele conducătoare cu îngroșări caracteristice (adesea reticulate). La marginile limbului sunt vizibile celule epidermice aculeiforme, cu pereții groși și cu aculeul scurt, orientat mai mult sau mai puțin paralel cu suprafața limbului foliar.

Stomatele sunt prezente în ambele epiderme, dar mai numeroase în cea inferioară, deci limbul este amfistomatic.

**În secțiune transversală, treime superioară** (Fig. 383, 384), conturul limbului are forma literei „V”, cu brațele divergente, limitând un șanț larg și adânc. Nervura mediană proemină puternic la fața inferioară a limbului.

Epiderma prezintă celule izodiametrice, cu peretele extern mai îngroșat decât ceilalți și acoperit de o cuticulă subțire; din loc în loc se observă stomate. În dreptul nervurii mediane, epiderma are celule mult mai mari, luând aspect de celule buliforme.

Mezofilul este de tip palisadic sub ambele epiderme, formând câte 3-4 straturi de celule relativ joase. La mijlocul limbului, între fasciculele conducătoare, mezofilul are celule izodiametrice; acestea se dezorganizează parțial, rezultând cavități aerifere incomplete între fascicule, ca și la baza tulpinii aeriene.

Fasciculele conducătoare (Fig. 384) sunt numeroase și mari, dimensiunile descrescând spre marginile limbului foliar. În dreptul fasciculelor mari, sub ambele epiderme se află câte un cordon de fibre sclerenchimatice foarte subțiri, cu pereții groși și ușor lignificați. Toate fasciculele sunt înconjurate de câte o teacă parenchimatică: între ea și cordoanele de sclerenchim hipodermic se interpun celule mari, parenchimatic-incolore.

**În treimea mijlocie** (Fig. 385), conturul secțiunii se menține același, dar cu brațele convergente.

**În treimea inferioară** (Fig. 386), limbul este mai gros, iar mezofilul dintre fasciculele conducătoare este persistent (Fig. 386), sau doar pe alocuri în curs de dezorganizare.

Ambele fețe ale limbului sunt ușor vălurate, deoarece cordoanele de sclerenchim hipodermic sunt mai groase și localizate în mici depresuni. Tecile parenchimatice perifasciculare sunt mai puțin vizibile.

Această specie este una higrofilă, de mlaștini, alcalinofilă puternică și neohalofilă puternic tolerantă (Bucur și colab, 1961). Este o plantă cu rizom bine dezvoltat, ecotip de fâneată și pășune umedă, dezvoltată pe lăcoviște salinizată de văi umede. Indică lăcoviște calcaroasă argiloasă, humoasă și humoturboasă, pe cale de înțelenire, pe cale de salinizare sau salinizată, umedă primăvara și la începutul verii.

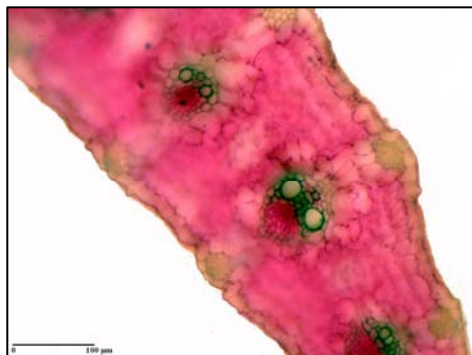


Fig. 383



Fig. 384



Fig. 385

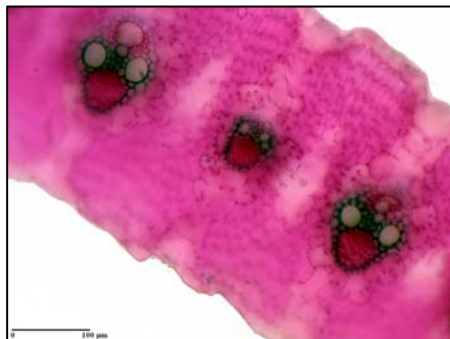


Fig. 386

***Bolboschoenus maritimus***. Secțiuni transversale prin limbul foliar, treime superioară (Fig. 383, 384), treime mijlocie (Fig. 385) și treime inferioară (Fig. 386).



## ***Carex distans* L.**

### **Rizomul (Fig. 387)**

Conturul secțiunii transversale este eliptic, pe alocuri observându-se formarea rădăcinilor adventive pe cale endogenă.

Epiderma are celule ușor alungite tangențial, cu peretele extern mai îngroșat decât ceilalți și acoperit de o cuticulă subțire.

Scoarța este groasă, parenchimatic-amiliferă, de tip meatic. Sub epidermă, din loc în loc se află cordoane de fibre sclerenchimatice, cu pereții puternic îngroșați și intens lignificați.

În grosimea scoarței sunt vizibile, pe alocuri, fascicule conducătoare de tip colateral închis (Fig. 387). Scoarța se termină cu un endodermoid unistratificat, ale cărui celule au toți pereții ușor îngroșați și intens lignificați. Sub acest endodermoid se află un inel de parenchim celulozic, ce se continuă cu un altul lignificat, în grosimea căruia se observă vase de lemn secționate longitudinal.

În parenchimul fundamental central sunt dispersate numeroase fascicule conducătoare, cele mai multe fiind de tip concentric leptocentric, vasele de lemn formând adesea un singur strat în jurul țesutului liberian.

### **Tulpină aeriană – treimea superioară (Fig. 388)**

Conturul secțiunii transversale este mai mult sau mai puțin trapezoidal.

Epiderma prezintă celule ușor alungite tangențial, cu peretele extern foarte gros, dar acoperit de o cuticulă subțire. Din loc în loc sunt vizibile stomate cu o cameră suprastomatică puțin adâncă, delimitată de cele două celule anexe.

Între scoarță și cilindrul central nu există o limită precisă, de aceea vom preciza structura pe două zone:

- una externă, în care alternează cordoane de sclerenchim hipodermic cu benzi de parenchim asimilator; toate cordoanele de sclerenchim vin în contact direct cu fasciculele conducătoare mari; acestea din urmă alternează cu fascicule mici sau foarte mici, toate prezentând la periferie câte o teacă sclerenchimatică uni- sau pluristratificată la cei doi poli.

- alta internă (centrală), cu numeroase cavități aerifere de mărime diferită, separate de celule parenchimatice.

Toate fasciculele conducătoare sunt de tip colateral închis, liberul fiind format din tuburi ciuruite și celule anexe, iar lemnul din vase de protoxilem (înconjurate de celule de parenchim celulozic) și vase de metaxilem (separate de celule de parenchim lignificat) (Fig. 388).

Toate elementele de sclerenchim, dar mai ales cele ale cordoanelor hipodermice au pereți puternic îngroșați și în cea mai mare parte lignificați.

**Tulpină aeriană – treime mijlocie (Fig. 389)**

Conturul secțiunii transversale este trinughiular, având următoarele particularități de structură:

- celulele epidermice au peretele extern mult mai gros, astfel încât lumenul este vizibil redus, de formă dreptunghiulară;
- cordoanele de sclerenchim hipodermic sunt mai groase și mai intens lignificate, ca și tecile perifasciculare (Fig. 389);
- parenchimul central este aproape în întregime dezorganizat, rezultând 1-2 cavități aerifere mari.

**Tulpină aeriană – treime inferioară (Fig. 390)**

Conturul secțiunii transversale se menține asemănător, dar cordoanele de sclerenchim hipodermic sunt mai groase (Fig. 390), inelul de sclerenchim hipodermic este mai gros, iar parenchimul central este persistent, de tip meatic.

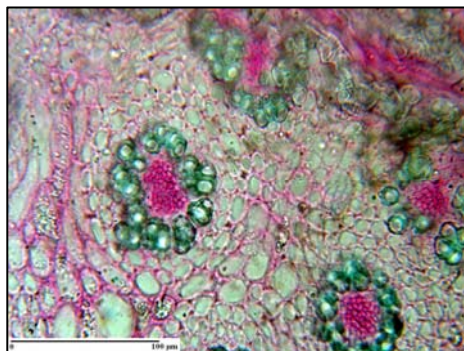


Fig. 387



Fig. 388

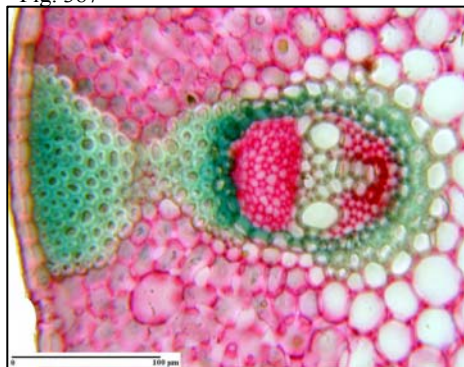


Fig. 389



Fig. 390

*Carex distans*. Secțiuni transversale prin rizom (Fig. 387) și prin tulpina aeriană, treime superioară (Fig. 388), treime mijlocie (Fig. 389) și treime inferioară (Fig. 390).



### **Frunza (Fig. 391-396)**

**Teaca foliară** (Fig. 391) este închisă, având același contur ca și tulpina în secțiune transversală.

Epiderma externă are celule cu peretele extern mai gros decât ceilalți și acoperit de o cuticulă subțire. Epiderma internă are celule izodiametrice, cu peretele extern mai puțin îngroșat și acoperit de o cuticulă mai subțire, „trimițând” între celule lame groase, de formă dreptunghiulară în secțiune transversală.

Mezofilul este omogen în cea mai mare parte, asimilator, exceptând două straturi de sub epiderma internă, ale căror celule sunt incolore sau foarte sărace în cloroplaste. Între fascicule, mezofilul s-a dezorganizat complet, rezultând numeroase cavități aerifere mari (Fig. 391).

Țesuturile conducătoare formează numeroase fascicule libero-lemnoase; cele mai multe sunt mari și în contact direct cu stâlpii (cordoanele) groși de sclerenchim, formați din celule (fibre) cu pereții puternic îngroșați și intens lignificați; asemenea cordoane se află și la fața internă a lemnului, iar pe flancurile fasciculelor se continuă doar cu un strat de celule moderat sclerificate și lignificate.

### **Limbul (Fig. 392-396)**

**Epiderma văzută de față** este formată din celule poligonal-rotunjite, cu pereții laterali fin onduțați, formând șiruri longitudinale în lungul cărora se observă stomate. În epiderma superioară, celulele sunt mai scurte și mai largi, iar stomatele lipsesc, deci limbul este hipostomatic.

În lungul nervurilor, celulele sunt foarte înguste și mult alungite, cu pereții laterali drepecți.

În **secțiune transversală, treimea superioară** (Fig. 392, 393), conturul limbului foliar are forma literei „V”, cu brațele puternic divergente, uneori aflate chiar în același plan (Fig. 392).

Nervura mediană proemină puternic la fața inferioară a limbului; la acest nivel, celula epidermică mediană și cea inferioară au forma unui pâr aculeiform, cu pereții foarte groși; celulele epidermice superioare sunt foarte mari, rezultând un arc de celule buliforme în dreptul nervurii mediane (Fig. 392).

Aceste celule buliforme sunt larg răspândite la graminee, iar rolul și semnificația lor ecologică sunt larg discutate. Au fost folosite și ca un criteriu taxonomic la anumite grupuri de plante (Metcalf, 1971).

S-au făcut multe interpretări în ceea ce privește rolul acestor celule. Haberlandt (1896) afirma că modificările higroscopice în turgescența celulelor buliforme produc mișcări de modificare a suprafeței foliare la frunzele xerofitelor. Alți autori au fost de părere că aceste celule buliforme au rol de depozitarea a apei (Prat, 1948; Eleftheriou și Noistakis, 1978; Vecchia et al., 1998), putând participa la „expansiunea” frunzelor tinere. Implicarea lor în înrularea sau plierea frunzelor mature, din cauza stresului hidric, a fost discutată de alți autori (Shields, 1951; Jane și Chiang, 1991). Se pare că în condiții de pierderi intense de apă, celulele buliforme, împreună cu celulele incolore, își pierd turgescența și permit frunzelor să se înruleze sau să se plieze (Esau, 1965).

Clayton și Renvoize (1986, cit. de Alvarez et al., 2008) au precizat că celulele buliforme favorizează pătrunderea luminii în celulele mezofilului. Deși, în anumite situații, celulele buliforme nu sunt active sau corelate neapărat cu înrularea și mișcările higroscopice ale frunzelor, de vreme ce acumulează mari cantități de siliciu, iar pereții lor externi pot să fie îngroșați și cutinizați, devenind astfel rigizi (Ellis, 1976).

În condiții de stres hidric, unele specii precum: *Loudetiopsis chrysothrix* și *Tristachya leiostachya* au manifestat înrularea frunzelor (Alvarez et al., 2008). Molulia (1994, cit. de Alvarez et al., 2008) era de părere că înrularea frunzelor are valoarea adaptativă, reducând interceptia luminii, transpirația, protejând frunzele de deshidratare și supraîncălzire. Ar fi un mecanism menit să reducă expunerea la razele solare și care poate duce la micșorarea transpirației, prin menținerea stomatelor într-un microclimat cu umiditate ridicată, prevenind uscăciunea (Clarke, 1986; Silva et al., 2001).

Și alte specii, în condiții de stres hidric, prezintă, printre alte adaptări, celule buliforme mari, între care și *Carex ligerica* (Toma și Dumitru, 1973) porumbul (Ristic et al., 1991), fasolea (Silva et al., 1999), tomatele (Sam et al., 2000).

Nawazish et al. (2006) au arătat că celulele buliforme de la o specie recoltată din habitate xerice și saline, *Cenchrus ciliaris*, erau mai dezvoltate în condiții de uscăciune severă și s-a presupus că aceste structuri joacă un rol crucial în medii cu umiditate scăzută și sunt responsabile pentru înrularea frunzelor și controlul pierderilor de apă la suprafața frunzei (Albernethy et al., 1998; Alvarez et al., 2003).

Ellis (1976) sugera prudență în extrapolarea acestor interpretări; Shields (1951) descria sclerenchimul subepidermic și alte elemente ale mezofilului ca fiind mai degrabă implicate în înrularea frunzelor, decât celulele epidermice buliforme, la unele specii de xerofite.

Pentru noi, altă discuție ni se pare provocatoare. Majoritatea interpretărilor făcute în legătură cu aceste celule buliforme converg către caracterul xeric al acestora, către legătura dintre stresul hidric și funcția celulelor buliforme. Dar, interpretările făcute de noi, caracterizarea ecologică făcută de alți autori în legătură cu speciile pe care le-am investigat, cât mai ales observațiile pe care le-am notat în teren, converg în altă direcție: toate speciile de halofite investigate (în plus, și *Puccinellia distans*, *Juncus gerardi*, *Bolboschoenus maritimus*, la care sunt prezente celule buliforme) sunt plantede habitate umede, deci higrohalofite. Deci, o aparentă contradicție? Credem că nu. De fapt, interpretările trebuie făcute integrator, ținând seama de multitudinea factorilor de mediu, de intensitatea lor și, mai ales, de caracterul de permanență sau intermitență al acțiunii asupra plantelor.

Unii autori străini (Sculthorpe, 1967; Font-Quer, 1970, cit. De Arriaga și Jacobs, 2006), folosesc termenul de plante „amfibii” pentru a desemna acele specii care pot trăi pe soluri uscate, inundate însă o anumită perioadă a anului. Aceste specii manifestă, în sens structural și ecologic, trăsături de tranziție între plantele terestre și cele acvatice. Plantele investigate de noi, și la care ne referim, ar putea fi încadrate în aceeași categorie<sup>23</sup>: ele sunt specii de higro-halofite, însă caracterul umed al habitatelor este relativ și nu este constant; am observat aceste specii și în condiții de uscăciune, prin evaporarea apei, datorită unor perioade de secetă prelungită. Doar astfel ne putem explica prezența acestor caractere xerice la plante catalogate ca higrofile; ele sunt, de fapt, dacă este să preluăm această definiție, halofite amfibii. Unele dintre speciile enumerate au și cavități aerifere, ceea ce este un caracter de higrofitism. Este, credem, un aspect care a scăpat multor autori, dar este esențial în a înțelege adaptările unor plante sub influența mai multor factori, nu a unuia singur, care nu are niciodată valori constante, statice.

Firește, problematica pe care am ridicat-o în aceste rânduri este mult mai complicată. Ceea ce poate să fascineze mai mult sunt corelațiile evolutive, deoarece se știe că sunt teorii care sugerează că diferite grupe de angiosperme au „reținut” diferite niveluri de plasticitate care se manifestă sub forma unor abilități caracteristice de a se adapta unor medii acvatice, de pildă.

---

<sup>23</sup> Este o problemă de deplasare a accentului, atunci când interpretăm definiția citată; noi afirmăm că este vorba de specii de locuri umede, care se pot usca temporar; autorii menționați afirmă că este vorba de specii de locuri uscate, inundate temporar; dar, în fond, este vorba de manifestarea aceluiași factor, umiditatea solului, ale cărei valori și durată de acțiune sunt diferite (n. n.)

Exceptând celulele buliforme, epiderma prezintă celule izodiametrice, vizibil mai mici la fața inferioară a limbului unde, din loc în loc, se observă stomate. În ambele epiderme, celulele au peretele extern mai îngroșat decât ceilalți și acoperiți de o cuticulă subțire.

Mezofilul este omogen, format din celule izodiametrice, rotunjite, unele din mijlocul țesutului asimilator fiind mult mai mari (Fig. 393).

Țesuturile conducătoare formează numeroase fascicule de tip colateral închis și de mărime diferită, cele mai multe sprijinindu-se de cele două epiderme prin intermediul unor stâlpi de sclerenchim formați din elemente cu pereți moderat îngroșați și lignificați (Fig. 393).

În **treimea mijlocie** (Fig. 394), conturul secțiunii se menține același, ca de altfel întreaga structură a limbului.

În **treimea inferioară** (Fig. 395-396), față de nivelurile menționate mai sus, celulele epidermice sunt mult mai mari. La marginile limbului, celulele epidermice au peretele extern foarte gros.

Parenchimul asimilator de la fața superioară are celulele ușor înalte (cel puțin în stratul hipodermic), luând un aspect ușor palisadic.

La mijlocul mezofilului sunt vizibile grupe de celule foarte mari, lipsite de cloroplaste, rezultând un parenchim incolor (Fig. 396).

Prodan (1922) aprecia că această specie este una de locuri umede sărate, cu sol argilos, dar și de sol puțin nisipos. Este o specie higrofilă, dar uneori se creează condiții de uscăciune a solului prin desecarea și evaporarea apei, în urma unor perioade de uscăciune prelungite. Despre acest aspect și implicațiile lui anatomo-ecologice vom vorbi în rândurile următoare.



Fig. 391



Fig. 392



Fig. 393



Fig. 394

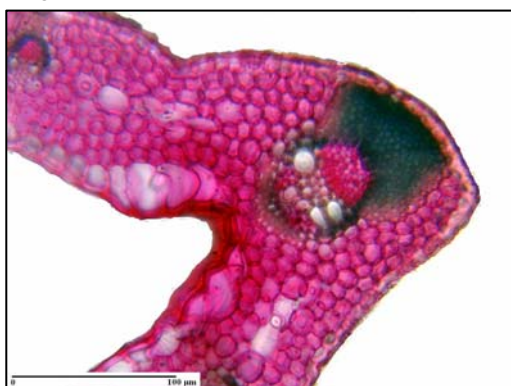


Fig. 395



Fig. 396

***Carex distans*.** Secțiuni transversale prin teaca limbului (Fig. 391) și prin limbul foliar, treime superioară (Fig. 392-393), treime mijlocie (Fig. 394) și treime inferioară (Fig. 395, 396).

*Familia Iridaceae**Iris halophila* Pall.**Rizom** (Fig. 397, 398)

Epiderma prezintă celule izodiametrice, cu peretele extern ușor mai îngroșat decât ceilalți.

Scoarța este foarte groasă, diferențiată în 2 subzone.

- una externă (5-7 straturi), cu celule bogate în granule de amidon, având pereții moderat îngroșați;

- alta internă, mult mai groasă, cu celule bogate în tanin; pe alocuri, această pătură groasă de celule taninifere ne apare cu invaginații adânci în parenchimul fundamental.

Cilindrul central este foarte gros, cu un parenchim fundamental celulozic, de tip meatic, în care se află dispersate numeroase fascicule conducătoare libero-lemnoase (Fig. 397), unele de tip colateral închis spre exterior, altele de tip concentric leptocentric, spre interior, toate având vase de lemn cu pereții îngroșați și intens lignificați. În grosimea parenchimului fundamental am observat și numeroase celule cu cristale simple de oxalat de calciu (Fig. 398); celulele componente sunt bogate în granule de amidon, de mărime și formă foarte diferite.

Pe unele secțiuni, în grosimea scoarței parenchimatice-celulozice am observat numeroase fascicule conducătoare și cristale simple de oxalat de calciu, unele puternic alungite radier.

**Tulpină aeriană – treime superioară (tija, sau axa inflorescenței)** (Fig. 399-401)

Epiderma prezintă celule izodimetrice și izomorfe, cu pereții intern și extern mai îngroșați decât ceilalți; peretele extern este acoperit de o cuticulă relativ groasă. Din loc în loc se observă stomate cu cameră suprastomatică relativ adâncă (Fig. 399). La unele celule epidermice, peretele extern proemină vizibil în partea lui mediană, rezultând un monticul, de unde și aspectul papiliform al acestor celule.

Scoarța este relativ subțire (8-9 straturi), de tip meatic, straturile externe având celule moderat colenchimatizate; din loc în loc se află fascicule conducătoare mici (subțiri), înfipite în parenchimul cortical (Fig. 400) sau în contact direct cu inelul de sclerenchim periciclic, toate fiind de

tip colateral închis și prezentând câte un cordon de fibre sclerenchimatice la periferia liberului.

Cilindrul central începe cu un periciclu pluristratificat, sclerenchimatic, având elemente cu peretele puternic îngroșat și intens lignificat (Fig. 401). În cilindrul central se află numeroase fascicule conducătoare libero-lemnoase de tip colateral închis, dispersate neregulat, cele mai mari aflându-se spre centrul organului, cele mai mici în contact cu inelul de sclerenchim periciclic, între el și cordonul lor perifloemic de celule mecanice (Fig. 401).

Toate fasciculele au la periferia floemului câte un cordon de fibre sclerenchimatice cu peretele puternic îngroșat și intens lignificat. Liberul cuprinde tuburi ciuruite și celule anexe, iar lemnul are vase de diametru diferit, înconjurate ori separate de celule de parenchim lemnos celulozic. Parenchimul fundamental al cilindrului central este în cea mai mare parte lignificat, celulele componente având însă pereți subțiri ori moderat îngroșați.

#### **Tulpină aeriană – treime mijlocie (Fig. 402, 403)**

Structura diferă față de nivelul anterior analizat prin următoarele trăsături:

- în parenchimul cortical (Fig. 402) sunt numeroase fascicule conducătoare, cele mai multe fiind mari și în contact cu inelul de sclerenchim periciclic;
- în cilindrul central, parenchimul fundamental extern este vizibil sclerificat și lignificat.
- inelul de sclerenchim periciclic are elemente cu peretele extrem de îngroșat;
- numărul fasciculelor conducătoare este mult mai mare, toate fiind dispersate neregulat și având structura din treimea superioară a tulpinii.

#### **Tulpină aeriană – treime inferioară (Fig. 404, 405)**

Structura rămâne asemănătoare cu cea de la nivelurile anterior analizate, cu următoarele deosebiri:

- cuticula este mai groasă; stomatele nu mai prezintă cameră suprastomatică (Fig. 405);
- parenchimul cortical este mai subțire, stratul cel mai intern având celule cu pereții mai îngroșați și lignificați;
- inelul de sclerenchim periciclic este mai gros, cu mai puține fascicule înfipte în el;
- parenchimul fundamental al cilindrului central este mai intens lignificat;

- numărul fasciculelor conducătoare este mai mare, toate cu câte un cordon perifloemic de fibre sclerenchimatice mai gros (Fig. 404).

- fasciculele externe ale cilindrului central sunt adânc înfîpte în inelul de sclerenchim trecerea de la acesta la parenchimul sclerificat și lignificat făcându-se treptat.

### **Pedunculul florii și fructului**

Structura este asemănătoare cu cea a tulpinii, din treimea ei superioară, deosebind:

- contur eliptic al secțiunii transversale;
- celule epidermice mici, turtite tangențial și acoperite de cuticulă;
- parenchim cortical subțire (5 straturi), ultimele 2 straturi având celule cu pereți moderat îngroșați și lignificați;
- nu se observă fascicule conducătoare corticale;
- inel de sclerenchim periciclic puternic sclerificat și lignificat, ce cuprinde o serie de fascicule mici, complet înfîpte în el și o serie de fascicule mari, care pătrund cu liberul în el;
- tot parenchimul fundamental al cilindrului central este moderat sclerificat și intens lignificat;
- fasciculele conducătoare, în număr mare sunt dispersate neregulat în parenchimul menționat, cele interne fiind mai vizibile decât cele aflate în contact cu inelul de sclerenchim periciclic.



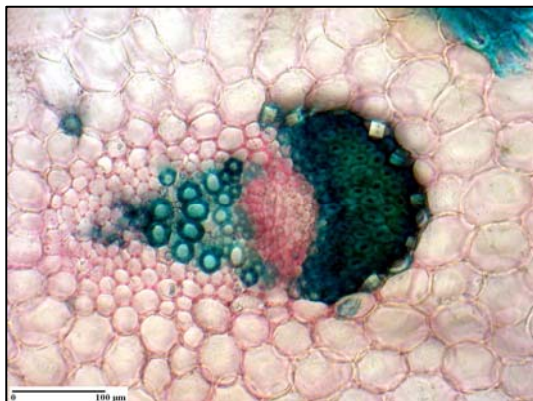


Fig. 397



Fig. 398

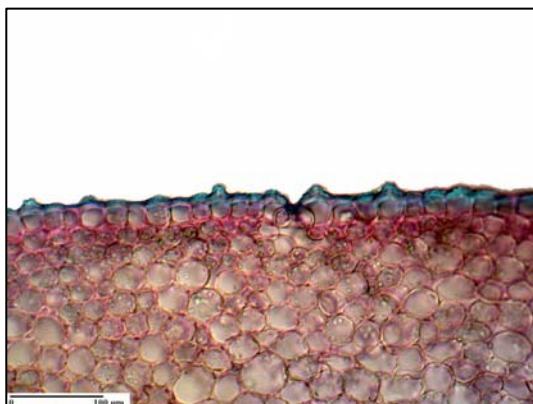


Fig. 399

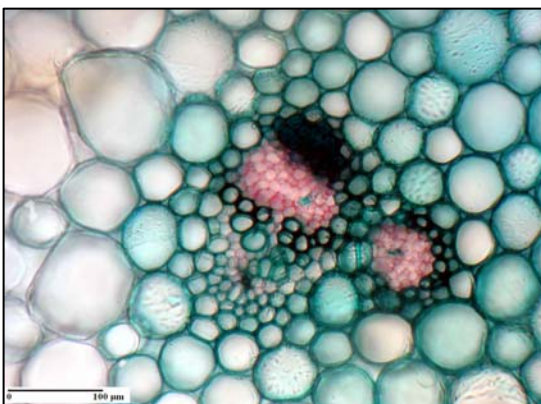


Fig. 400



Fig. 401

*Iris halophila*. Secțiuni transversale prin rizom (Fig. 397-398) și prin tulpina aeriană, treime superioară (Fig. 399-401).

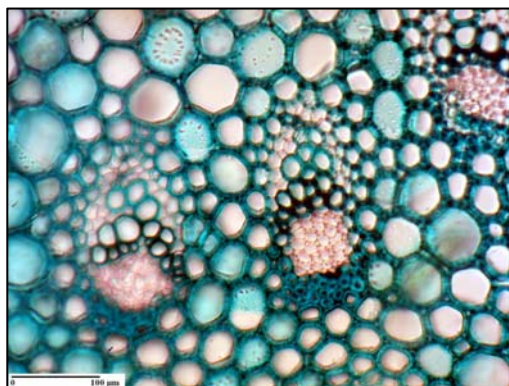


Fig. 402

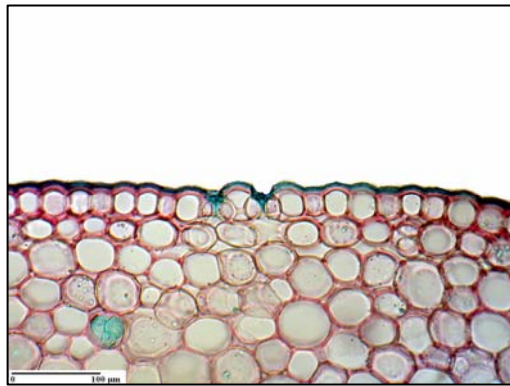


Fig. 403

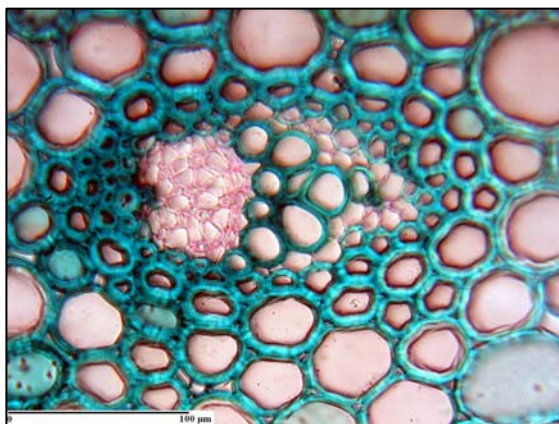


Fig. 404

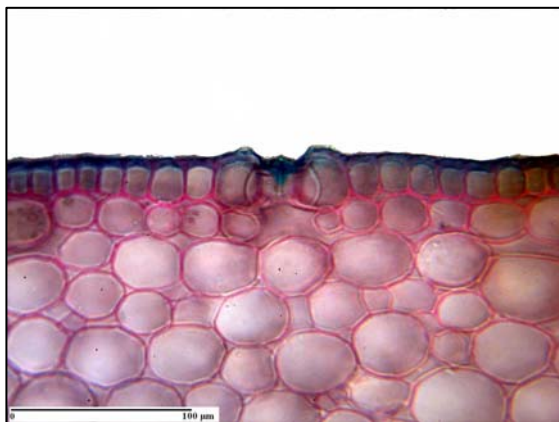


Fig. 405

*Iris halophila*. Secțiuni transversale prin tulpina aeriană, treime mijlocie (Fig. 402, 403) și treime inferioară (fig. 404, 405).

**Frunza (Fig. 406-413)**

**Epiderma inferioară văzută de față** (Fig. 406) are celulele poligonal-alungite, cu pereții laterali drepecți; între ele se află numeroase stomate (Fig. 406). În lungul nervurilor, celulele sunt mai lungi, iar stomatele lipsesc.

În **treimea superioară** (Fig. 407, 408), **limbul** are o structură monofacială. În secțiune transversală are formă de panglică, cu marginile rotunjite, cu un cordon foarte gros de fibre sclerenchimatice sub epidermă.

Epiderma, inferioară pe ambele fețe, are celule izodiametrice, cu peretele extern mult mai gros și acoperit de cuticulă; pe alocuri, celulele au peretele extern foarte bombat, devenind aproape papiliforme (Fig. 408). Din loc în loc se află stomate cu o cameră suprastomatică puțin adâncă.

Mezofilul este de tip palisadic (uni- sau bistratificat) sub epiderma ambelor fețe și de tip lacunos, acvifer, format din celule foarte mici, lipsite de cloroplaste, la mijloc.

Țesuturile conducătoare formează numeroase fascicule libero-lemnoase colateral închise, cu lemnul față în față, cu liberul spre epidermă, cu câte un cordon foarte gros de fibre sclerenchimatice la polul floemic (Fig. 408); cordoanele mecanice (sclerenchim puternic lignificat) sunt separate de epidermă printr-un strat de celule parenchimatice-celulozice foarte mici.

Liberul cuprinde tuburi ciuruite și celule anexe, iar lemnul are vase înconjurate de puține celule de parenchim lemnos celulozic. Între unele fascicule opuse se află câteva elemente de sclerenchim, cu pereții moderat îngroșați, dar nelignificați.

Pe alocuri, celulele parenchimului incolor central sunt în curs de dezorganizare, schișându-se cavități aerifere de contur neregulat. Cordoanele foarte groase de sclerenchim marginal au celule cu pereți extrem de groși, dar celulozici (Fig. 407); sub ele, mezofilul este omogen și relativ compact, în întregime colenchimatizat.

În **treimea mijlocie** (Fig. 240), limbul este mai gros, cu marginile mai ascuțite, structura păstrându-se în general aceeași, cu următoarele deosebiri:

- fasciculele conducătoare diferă ca mărime, alternând unele foarte mari cu altele foarte mici, toate având dispoziție opusă, cu lemnul față în față, îndreptat spre mijlocul limbului, acolo unde ar fi trebuit să fie fața superioară;

- parenchimul asimilator este mai subțire, cu celule mai joase, uneori izodiametrice;

- parenchimul central, incolor, acvifer (Fig. 410) este mai gros, cu celule mai mari, adesea în curs de dezorganizare;
- fasciculele conducătoare mari sunt mult depărtate între ele și separate prin benzi de parenchim de tip meatic, care separă zonele de parenchim acvifer;
- toate fasciculele au cordoanele de sclerenchim perifloemic foarte groase și intens lignificate (Fig. 409);
- la marginile limbului, celulele epidermice au cuticula mai groasă;
- la una din margini, care corespunde nervurii mediane, se află un fascicul foarte mic, suprapus altuia foarte mare, ambele având lemnul orientat spre parenchimul acvifer central, deci spre locul unde la baza frunzei se află încă fața adaxială, care a fost complet înlocuită cu fața abaxială.

În **treimea inferioară** (Fig. 411-413), adică la nivelul tecii, cu jgheab vizibil la fața adaxială, conturul secțiunii transversale are forma literei „V”, cu brațele foarte apropiate, delimitând un șanț adaxial adânc (Fig. 411). Atât nervura mediană, cât și marginile feței adaxiale sunt înguste, cele din urmă fiind reduse doar la cele două epiderme.

Și la acest nivel, fasciculele conducătoare (cu lemnul față în față), alternează unele mari cu altele mai mici, toate fiind puternic alungite și cu câte un cordon perifloemic de fibre sclerenchimatice (Fig. 413).

În nervura mediană, cordonul de sclerenchim celulozic este mai subțire decât la nivelul limbului, fasciculele conducătoare au cordoane perifloemice de elemente mecanice cu pereții extrem de subțiri și slab lignificați, toate cu lemnul îndreptat spre fața adaxială; de la ele și până la șanțul adaxial se află o bandă lată, compactă, de elemente cu meaturi mici între ele. Parenchimul cortical incolor, acvifer, este în curs de dezorganizare (Fig. 412), unele din celulele componente prezentând cristale simple de oxalat de calciu.

Așa cum am precizat într-o contribuție publicată anterior (Grigore și Toma, 2007c), *Iris halophila* este o specie pe care am colectat-o de pe un teren sărăturat cu predispoziție la colmatare, la inundare chiar; la acea dată însă, terenul era uscat. Planta are rizomi groși, rezistenți la asfixie (Bucur și colab., 1960). N-ar fi excuș ca celulele taninifere din scoarța internă să confere plantei tocmai această rezistență la putrezire a rizomului în perioadele inundabile, colmatabile, atunci când el este supus și asfixiei, prin lipsa sau deficiența în oxigen. Se pare deci că această specie are un spectru ecologic mai larg, ea rezistând atât perioadelor cu umiditate ridicată a solului, cum ar fi primăvara, cât și perioadelor de uscăciune din timpul verii. Am remarcat în acest sens adaptări cu valoare xeromorfică (stomate cu cameră suprastomatică, formațiuni acvifere la nivelul limbului foliar).



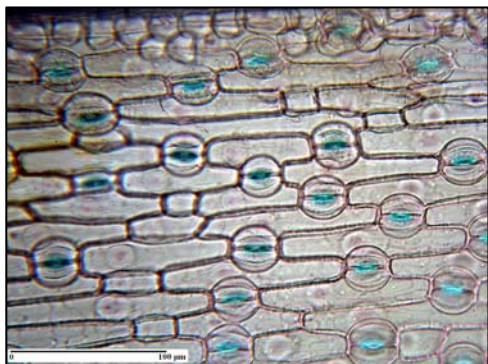


Fig. 406

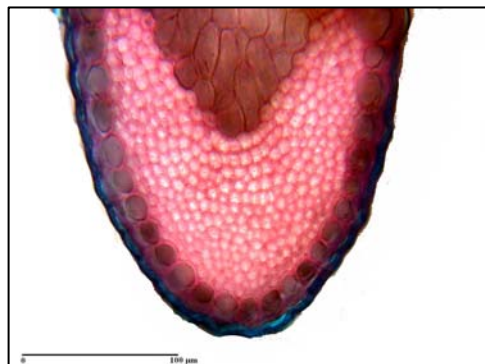


Fig. 407

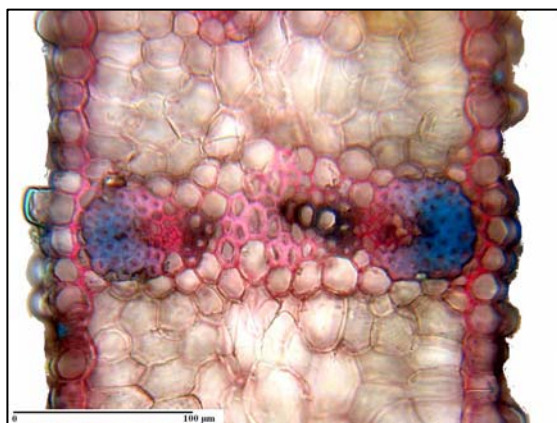


Fig. 408

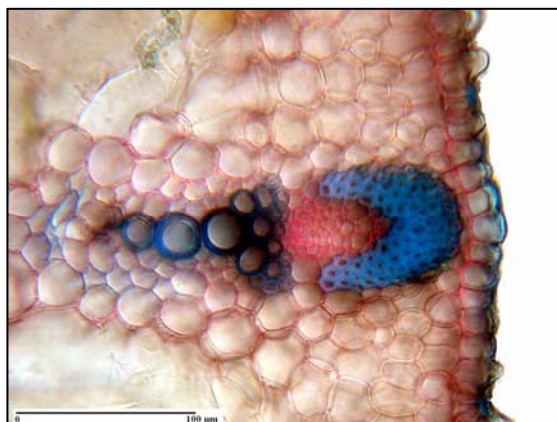


Fig. 409

*Iris halophila*. Epiderma inferioară văzută de față (Fig. 406) și secțiuni transversale prin limbul foliar, treime superioară (Fig. 407, 408) și treime mijlocie (Fig. 409).



Fig. 410

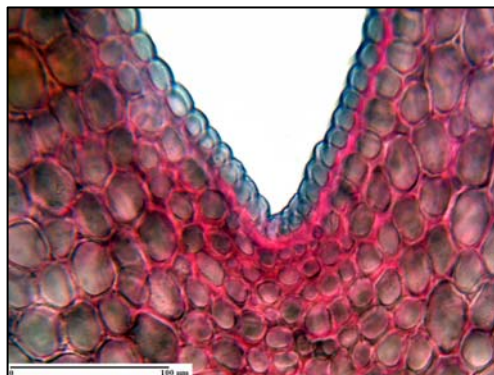


Fig. 411

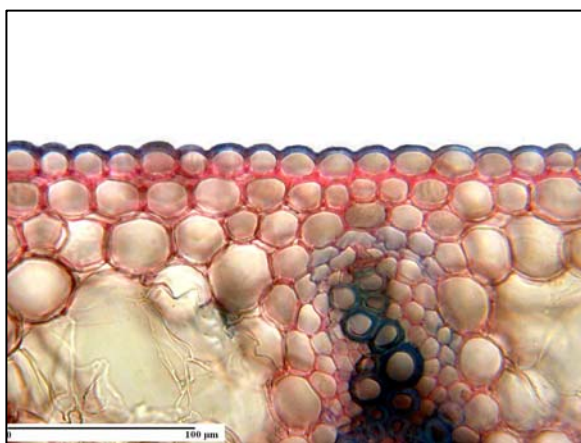


Fig. 412

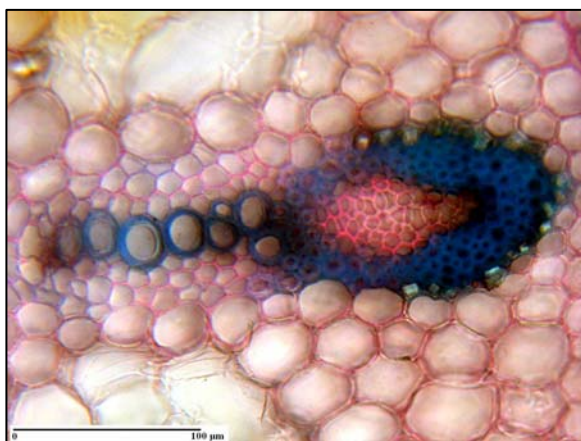


Fig. 413

***Iris halophila***. Secţiuni transversale prin limbul foliar, treime mijlocie (Fig. 410) şi treime inferioară (Fig. 411-413).

## Familia *Juncaceae*

### *Juncus gerardi* Loisel.

#### **Rizomul** (Fig. 414, 415)

Epiderma prezintă celule de mărime diferită, cu peretele extern ușor mai îngroșat decât ceilalți și necutinizat; unele celule proemină ușor sub formă de aculei.

Scoarța este groasă și cuprinde 4 subzone diferite:

- pătură externă, bi- sau tristratificată, cu celule având pereții subțiri și lăsând între ele meaturi foarte mici;
- un inel mecanic cu celule având pereții uniform și moderat îngroșați, dar nelignificați; aceste celule sunt încă pline cu conținut;
- o zonă parenchimatică cu numeroase canale aerifere (Fig. 414), separate de benzi de celule izodiametrice, bogate în granule de amidon și lăsând între ele meaturi;
- o endodermă de tip terțiar, cu celule având pereții intern și laterali puternic îngroșați și intens lignificați; am comentat în rândurile de mai sus semnificația și rolul endodermei, implicată în rezistența și toleranța la săruri.

Cilindrul central este relativ gros și cuprinde numeroase fascicule conducătoare libero-lemnoase, dispersate neregulat în masa fundamentală de parenchim celulozic de tip meatic. Unele din fasciculele externe sunt de tip colateral închis, iar cele mai multe sunt de tip concentric leptocentric (Fig. 415).

#### **Tulpină aeriană – treime superioară** (Fig. 416 și 419)

Epiderma prezintă celule ușor alungite tangențial, cu peretele extern mult mai gros decât ceilalți, dar acoperit de o cuticulă subțire; din loc în loc se observă stomate.

Scoarța este relativ subțire, parenchimatic-asimilatoare, formată din 5-7 straturi de celule izodiametrice, cu meaturi mici între ele.

Cilindrul central cuprinde un inel sinuos de sclerenchim, în care sunt înfipite fasciculele conducătoare și o măduvă foarte groasă, parenchimatic-celulozică, de tip meatic.

Fasciculele conducătoare sunt de 2 categorii:

- unele foarte mici, externe, cu câte un cordon subțire de fibre sclerenchimatice la periferia liberului și cu lemnul inclus în inelul sinuos de sclerenchim;
- altele mult mai mari, incluse complet în inelul sinuos de sclerenchim (mai gros la periferia liberului și între fascicule, mai subțire la fața internă a liberului).

În fasciculele mici este distinct doar liberul, format din tuburi ciuruite și celule anexe, vasele de lemn confundându-se ca formă, mărime și grad de sclerificare cu elementele inelului de sclerenchim.

Fasciculele mari sunt, la rândul lor, de 2 categorii: unele ceva mai mici, altele ceva mai mari, alternând unele cu altele, cele din urmă proeminând vizibil în măduvă.

Ambele categorii de fascicule sunt de tip colateral închis, liberul cuprinde tuburi ciuruite și celule anexe, iar lemnul, două vase mari de metaxilem (între care se observă câteva celule de parenchim lemnos sclerificat și lignificat) și câteva vase de protoxilem (înconjurate de celule de parenchim lemnos celulozic).

Așadar, în ansamblu, fasciculele conducătoare sunt dispuse pe aproximativ 3 cercuri concentrice, cele ale cercului intern fiind adânc înfipite în măduvă, uneori pierzând contactul cu inelul sinuos de sclerenchim.

Măduva are celule mult mai mari decât cele ale scoarței, unele fiind în curs de dezorganizare, lăsând loc unor mici cavități aerifere, de contur neregulat.

#### **Tulpină aeriană – treime mijlocie (Fig. 417, 420)**

Epiderma prezintă celule mai mari, cu peretele extern foarte gros.

Scoarța este mai groasă și în întregime de tip palisadic, cuprinzând aproximativ 4 straturi de celule înalte și bogate în cloroplaste. Stratul intern al scoarței reprezintă un endodermoid (Fig. 417) format din celule izodiametrice, aflate în contact direct cu puținele elemente de sclerenchim ale cordoanelor perifloemice și continuându-se între fasciculele mici.

În cilindrul central sunt puține diferențe față de nivelul mai sus analizat:

- fibrele de sclerenchim perifloemic au pereții mai subțiri și mai slab lignificați;
- vasele de lemn ale fasciculelor mici sunt vizibile, având pereții mult mai subțiri decât ai fibrelor de sclerenchim de la fața lor internă;
- vasele de protoxilem ale fasciculelor mari și mijlocii au pereții mai subțiri și mai slab lignificați;
- zona de sclerenchim de la fața internă a fasciculelor mari este foarte subțire, adesea chiar unistratificată.

În măduvă sunt vizibile mai multe celule în curs de organizare.

#### **Tulpină aeriană – treime inferioară (Fig. 418, 421)**

Structura este mult asemănătoare cu cea din treimea superioară, dar: scoarța este parenchimatic asimilatoare, dar cu celule izodiametrice (Fig. 418); din loc în loc, sunt insule de celule mult mai mari, lipsite de cloroplaste;



inelul de sclerenchim este mai gros, fibrele având pereții extrem de groși și intens lignificați.

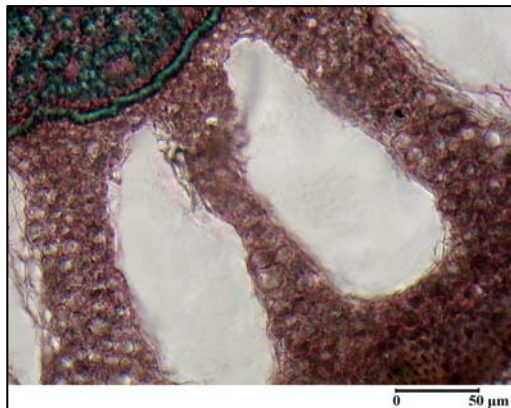


Fig. 414

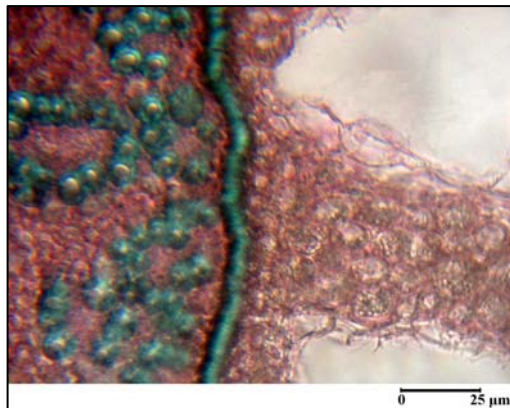


Fig. 415

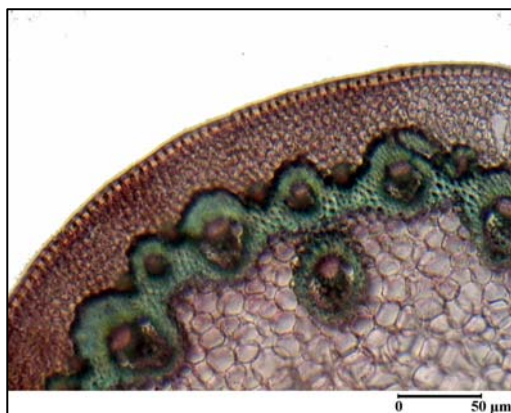


Fig. 416

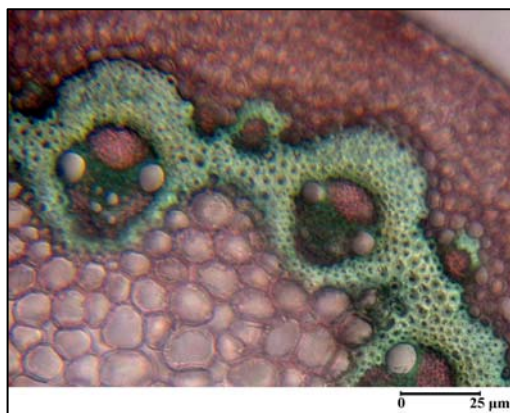


Fig. 417

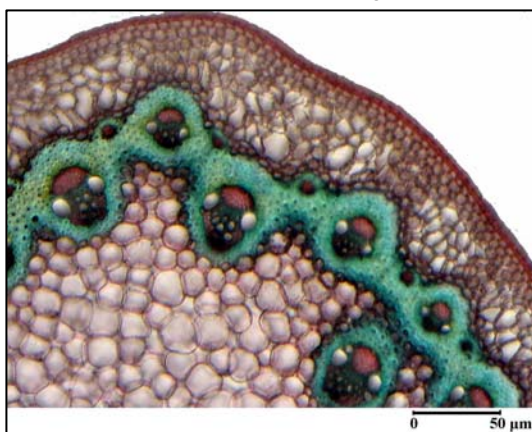


Fig. 418

*Juncus gerardi*. Secțiuni transversale prin rizom (Fig. 414, 415) și prin tulpina aeriană, treime superioară (Fig. 416), treime mijlocie (Fig. 417) și treime inferioară (Fig. 418).

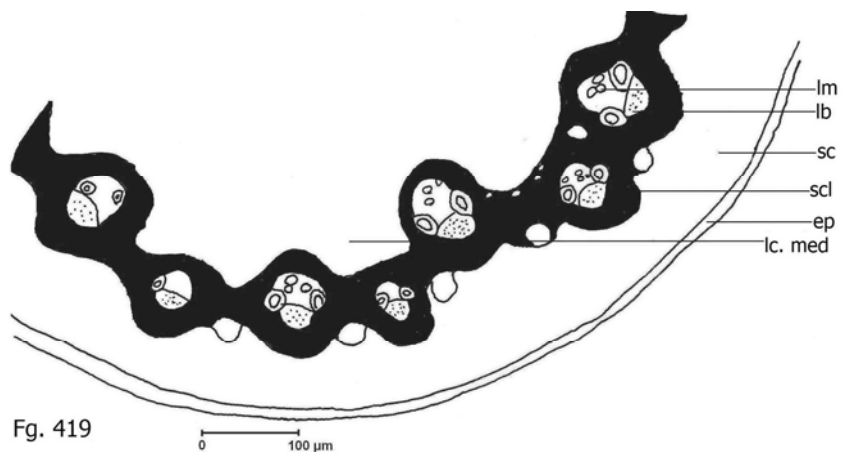


Fig. 419

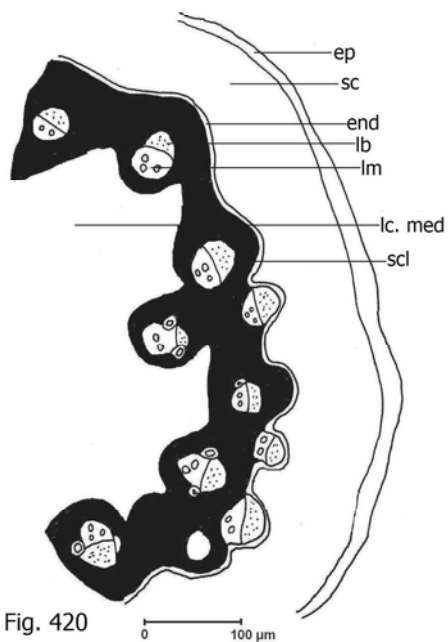


Fig. 420

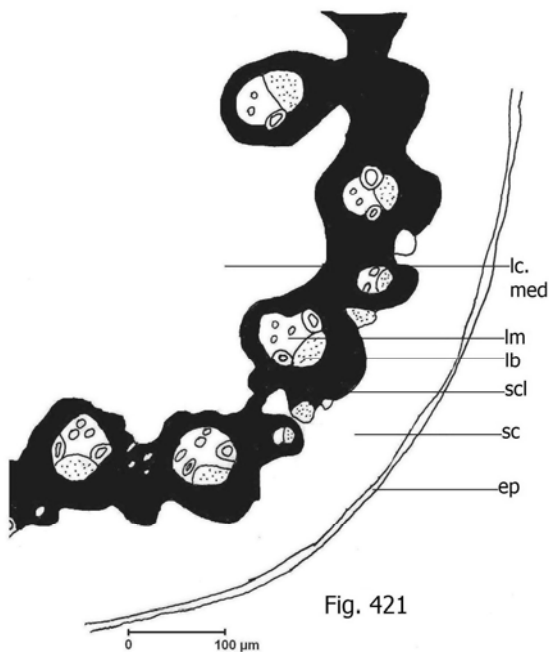


Fig. 421

*Juncus gerardi*. Secțiuni transversale prin tulpina aeriană, treime superioară (Fig. 419), treime mijlocie (Fig. 420) și treime inferioară (Fig. 421): scheme.

**Frunza (Fig. 422-433)****Teaca (Fig. 424-428)<sup>24</sup>**

**Epiderma văzută de față** (Fig. 422, 423, 431, 432) are pe *fața superioară* celule dreptunghiulare, cu pereții laterali ușor ondulați și îngroșați; din loc în loc se observă punctuații simple (Fig. 422 și Fig. 431). La marginile tecii, celulele sunt lungi și mai înguste, cu pereții mai slab ondulați.

Pe *fața inferioară*, celulele sunt de aceeași formă și mărime ca și la fața opusă. Benzile de celule epidermice alternează cu benzi mai late, în care se află atât stomate, cât și celule epidermice mai scurte. Stomatele au celule reniforme și sunt mărginite de câte 2 celule anexe; deci, aparatul stomatic este de tip biperigen (Fig. 423 și Fig. 432).

**În secțiune transversală prin teacă, treime superioară** (Fig. 424, 425, 433)

Conturul secțiunii transversale are formă dreptunghiulară, cu una din laturi ascuțită.

Numărul de stomate în epiderma inferioară este mai mare pe unitatea de suprafață, iar peretele extern al celulelor epidermice este gros; la fața superioară, latura ascuțită prezintă celule asemănătoare celor de la fața inferioară.

Benzile de sclerenchim hipodermic adaxial sunt mici. Numărul fasciculelor conducătoare este mic, distingând 3 grupe a câte 3 fascicule și alte 2 fascicule de mărime intermediară, aflate între ele.

Mezofilul este compact, complet palisadic (fig. 424); doar pe alocuri se observă începutul dezorganizării unor celule, fără a se fi conturat încă veritabile cavități aerifere (Fig. 425).

În **treimea mijlocie** (Fig. 426, 427 434), țesutul palisadic de la fața inferioară cuprinde 2-4 straturi, iar cel de la fața superioară, 2-3 straturi de celule, toate de aceeași mărime.

În **treimea inferioară** (Fig. 428, 434) teaca are formă semilunară, cu fața adaxială vizibil concavă.

Epiderma este total diferită pe cele 2 fețe ale tecii:

---

<sup>24</sup> Cum bine se cunoaște, frunzele speciilor de *Juncus* sunt reduse doar la teci.

- epiderma inferioară prezintă celule mici, ușor alungite tangențial, cu peretele extern mai gros decât ceilalți și acoperit de o cuticulă foarte subțire (Fig. 428); din loc în loc se observă stomate;

- epiderma superioară are celule extrem de mari (Fig. 428), cu peretele extern ușor mai îngroșat decât ceilalți; aceste celule amintesc de cele buliforme ale frunzei de la graminee.

Prezența acestor celule „buliforme” nu a fost menționată, de exemplu, pentru alte două specii de *Juncus*, și anume: *J. acutus* L. și *J. maritimus* Lam. (Burduja C., Toniuc Angela, 1984), prima specie fiind recoltată de pe nisipuri relativ sărate, mai puțin umede, iar a doua din depresiuni mai umede și sărate, dintre dunele de pe grindul Sărăturile. În schimb, astfel de celule „buliforme” sunt menționate la *J. trifidus* (Toma et al., 1989), colectat din etajul subalpin al munților Ceahlău.

*Juncus gerardi* este o plantă mai degrabă apropiată de mezofite, dacă ne gândim că viețuiește pe solonceacuri și solonețuri slab sărate și umede. Prin aspectul extern și prin structură este asemănătoare cu mezofitele de pajiști, alături de care trăiește. Din acest motiv a fost considerată o halomezofită (Șennikov, 1950). Corelat cu aceasta, Chermezon (1910) considera că structura histo-anatomică a speciilor de *Juncus* nu trădează caracteristici în mod deosebit de halofitism (Chermezon, 1910). Acesta este un motiv în plus pentru a nu supraevalua în mod reduționist un factor de mediu, în speță salinitatea solului, ci trebuie luați în calcul și ceilalți modelanți, chiar dacă sunt sau par secundari ca influență.

Mezofilul este relativ omogen și în totalitate de tip palisadic: 2-3 straturi de celule mai înalte la fața superioară și 3 straturi de celule mai joase la fața inferioară; doar la mijlocul tecii, în jurul fasciculelor conducătoare, sunt celule izodiametrice, vizibil mai mici, aspect evidențiat și de Chermezon (1910).

Țesuturile conducătoare formează fascicule libero-lemnoase de tip colateral închis, grupate de regulă câte 3 la un loc (unul mai mare median și 2 laterale mai mici), separate de cavități aerifere mari, rezultate din dezorganizarea locală a mai multor celule de parenchim asimilator.

La baza tecii distingem 7 grupe de astfel de fascicule conducătoare.

Structura fasciculelor conducătoare mari amintește de a celor din tulpină, la periferia liberului aflându-se totdeauna câte un cordon gros de fibre sclerenchimatice (Chermezon, 1910) cu pereții foarte groși, dar lignificați numai în stratul imediat adiacent liberului; așadar, liberul fasciculelor mari este complet înconjurat de elemente cu pereți lignificați.

Fasciculele mici nu au toate câte un cordon perifloemic de fibre mecanice, ci doar elemente lignificate, asemănătoare ca formă, mărime și grad de lignificare cu vasele lemnoase.

Țesuturile mecanice formează 2 insule hipodermice adaxiale la marginile tecii, având elemente cu pereții foarte îngroșați, dar nelignificați. Acestor benzi de sclerenchim li se adaugă cordoanele de sclerenchim perifloemic și celulele de sclerenchim perixilemic în cazul fasciculelor mari, așa cum au observat și alți autori (Chermezon, 1910; Toma et al., 1989).

Această specie este una higrofilă, variat alcalinofilă, de la slab la puternic halofilă, de trecere de la higrohalofite la higrofit. Se dezvoltă pe lăcoviști argiloase și salinizate, cu sol permanent umed, dar și cu sol care se drenează în timpul verii, de la slab la puternic salinizat (Bucur și colab. 1960).

Șerbănescu (1965) caracteriza această specie ca fiind una de sărături clorurice, având exigențe largi, formând fitocenoze compacte în jurul bălților, lacurilor și mlaștinilor mai mult sau mai puțin salinizate; este o specie legată de umiditate accentuată și, în general, de o salinizare și mineralizare slabe.

### **Bracteea inflorescenței (Fig. 429, 430)**

**Epiderma inferioară văzută de față** (Fig. 429) seamănă cu cea de la nivelul tecii foliare, cu deosebirea că stomatele au celule mai scurte, iar pereții celulelor epidermice sunt mai puternic ondulați. Și la fața **superioară**, aspectul general este asemănător cu cel de la nivelul tecii foliare, cu deosebirea că la marginile bractei se află stomate și pe fața superioară.

În **secțiune transversală** (Fig. 430), conturul este trapezoidal, cu fața adaxială vizibil concavă, rezultând un șanț larg, dar puțin adânc.

Structura generală se aseamănă cu cea a tecii, din treimea superioară, mezofilul fiind compact, de tip palisadic (Fig. 430), iar numărul fasciculelor conducătoare relativ mic: 3 grupe de câte 3 fascicule și alte 2 fascicule intermediare.

Toate fasciculele conducătoare, mari și intermediare, sunt înconjurate de sclerenchim, iar la exterior, de către o teacă de celule parenchimatice (Fig. 430). Fasciculul mare, median, vine în contact cu cele două epiderme prin intermediul unor cordoane groase de sclerenchim nelignificat (Fig. 430).

Stomatele din epiderma inferioară sunt foarte rare.

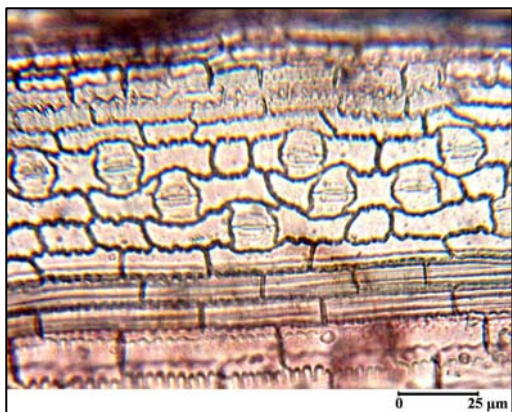


Fig. 422

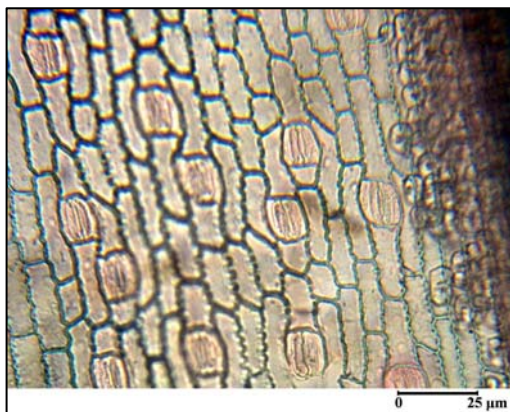


Fig. 423

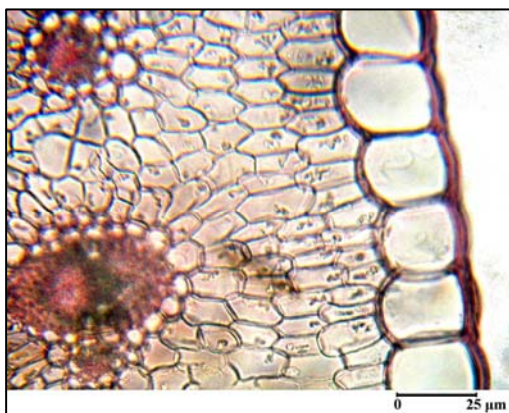


Fig. 424

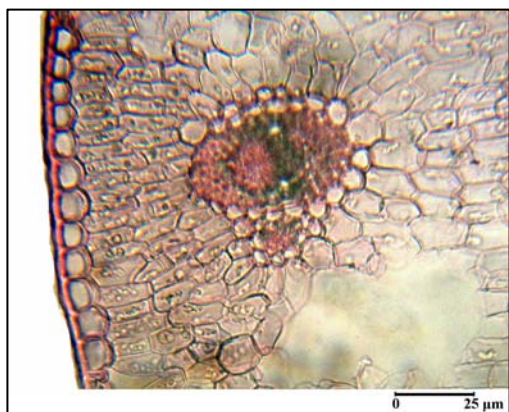


Fig. 425

*Juncus gerardi*. Epiderma superioară (Fig. 422) și epiderma inferioară a tecii foliare (Fig. 423), văzute de față și secțiuni transversale prin teacă, treimea superioară (Fig. 424, 425).



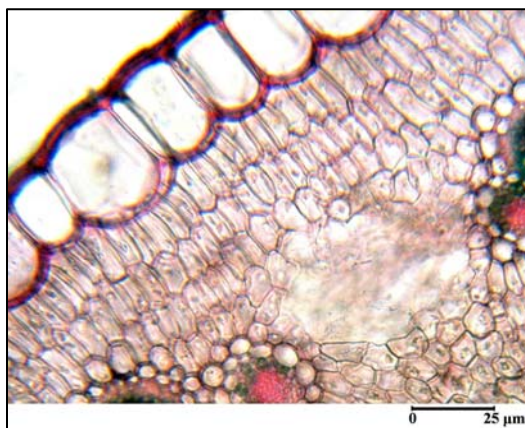


Fig. 426



Fig. 427

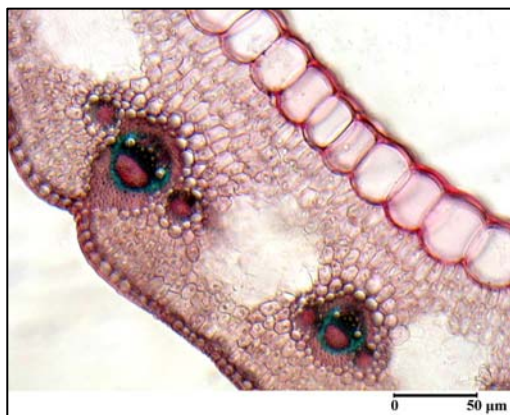


Fig. 428

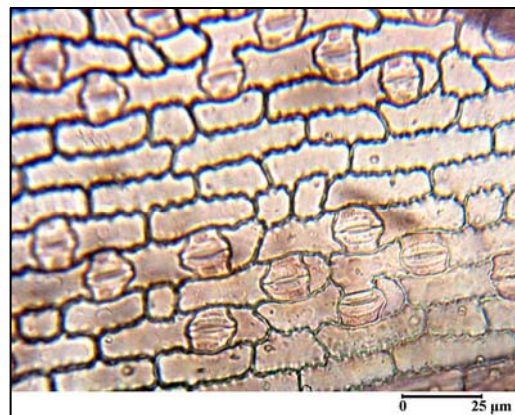


Fig. 429

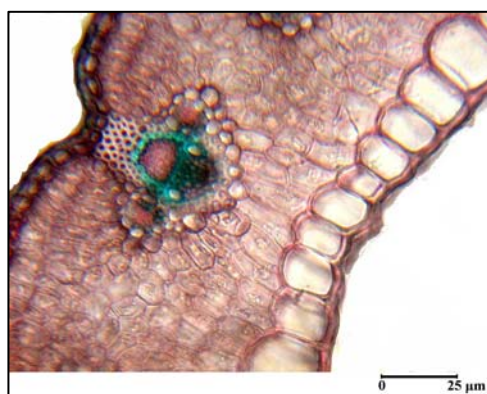


Fig. 430

*Juncus gerardi*. Secțiuni transversale prin teacă, treime mijlocie (Fig. 426, 427) și treime inferioară (Fig. 428); epiderma inferioară, văzută de față (Fig. 429) și secțiune transversală prin bractee (Fig. 430).

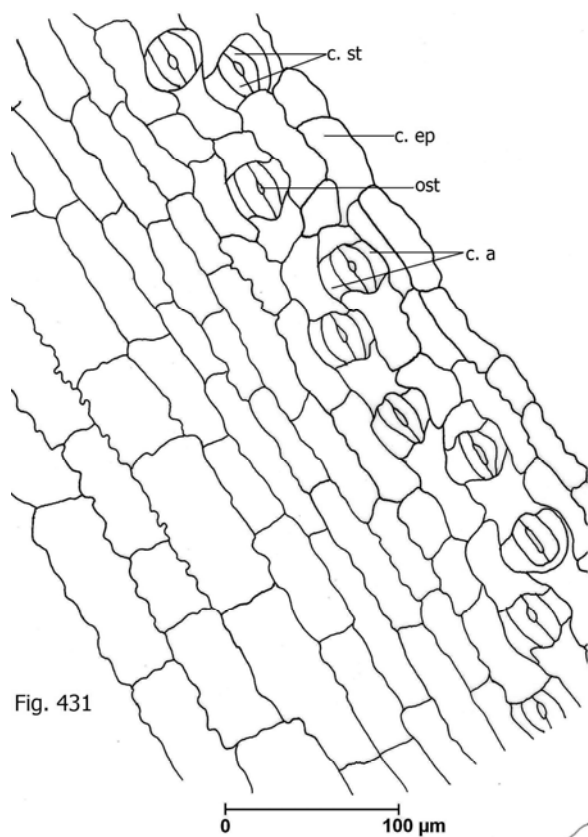


Fig. 431

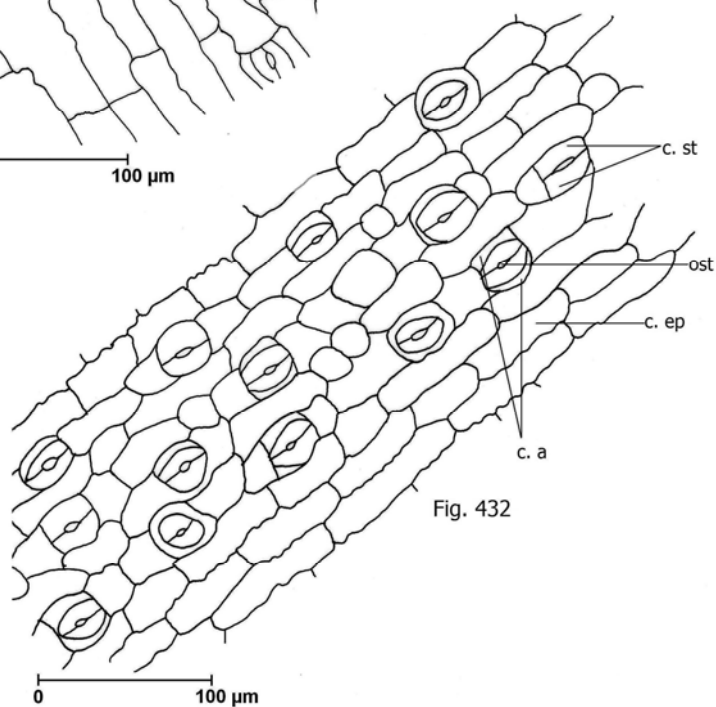
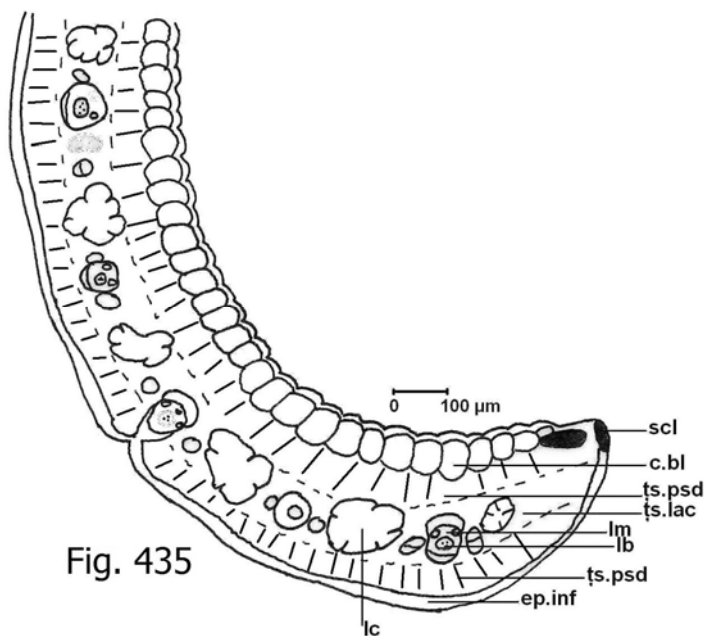
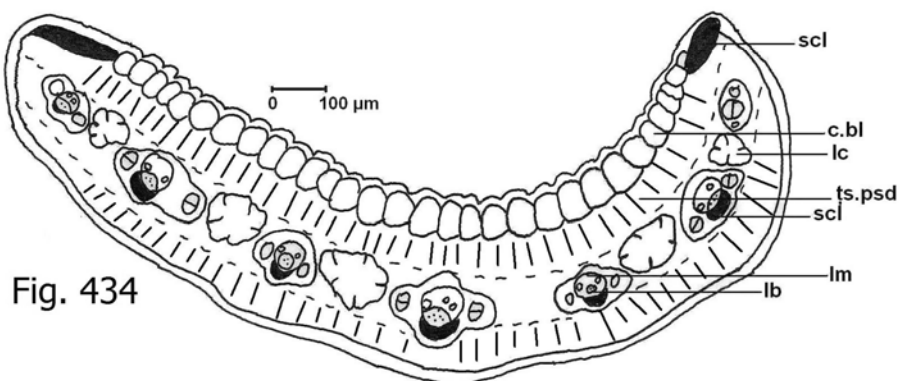
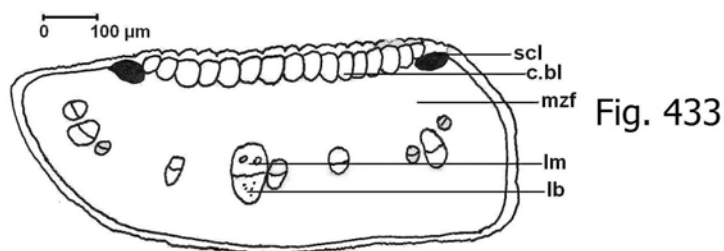


Fig. 432

*Juncus gerardi*. Epiderma superioară (Fig. 431) și epiderma inferioară a tecii (Fig. 432) văzute de față.





*Juncus gerardi*. Secțiuni transversale prin teacă, treime superioară (Fig. 433), treime mijlocie (Fig. 434) și treime inferioară (Fig. 435): scheme.

## Familia *Fabaceae*

### *Trifolium fragiferum* L.

#### **Rădăcină – treime inferioară** (Fig. 436)

Structura este tipic secundară, rezultată din activitatea ambelor meristeme laterale: cambiul și felogenul. Felogenul produce câteva (4-6) straturi de suber tipic spre exterior și mai puține straturi de feloderm spre interior. Nu se poate face o delimitare strictă între feloderm și parenchimul liberian extern, după forma și mărimea celulelor componente.

Cambiul produce 2 inele concentrice de țesuturi conducătoare: unul extern, mult mai gros, de liber secundar și altul intern, mult mai subțire, de lemn secundar, ambele străbătute de mai multe raze medulare parenchimatic-celulozice largi, care vin în contact cu masivul xilemic central, de origine primară. Corpul lemnos central prezintă vase de diametru diferit, dispersate neregulat, separate de fibre libriforme cu pereții extrem de îngroșați, dar celulozici, și de foarte puține celule de parenchim lemnos (Fig. 436).

Inelul de liber cuprinde 3 subzone:

- una internă, foarte subțire, tipic conducătoare, cu tuburi ciuruite și celule anexe, aflată în imediata vecinătate a cambiului;
- una mijlocie, în care predomină fibrele liberiene față de celulele de parenchim liberian;
- una externă, în care predomină celulele de parenchim liberian față de fibre; acestea din urmă sunt fie solitare, fie grupate câteva la un loc.

Toate fibrele liberiene, ca și cele lemnoase de altfel, au pereți puternic îngroșați, dar nelignificați.

#### **Rădăcină – treime mijlocie** (Fig. 437)

Față de nivelul anterior analizat, subliniem următoarele deosebiri:

- pătura de suber este mai groasă;
- numărul razelor medulare este mai mare (Fig. 437).

#### **Rădăcină – treime inferioară** (Fig. 438)

Razele medulare sunt vizibil mai largi, împărțind astfel cilindrul central într-un număr de sectoare (benzi) conducătoare relativ înguste (Fig. 438). În plus, se observă că centrul rădăcinii este ocupat de un parenchim medular, în care sunt dispersate și puține fibre libriforme, dar vasele de xilem lipsesc.

**Rizomul (Fig. 439)**

Structura este secundară, ca și la rădăcină, fiind rezultatul activității ambelor meristeme laterale: felogenul și cambiul. Felogenul ia naștere prin dediferențierea unui strat cortical extern și produce puține straturi de suber și de feloderm, celulele ambelor țesuturi având o dispoziție strict radiară.

Scoarța este un parenchim de tip meatic și amilifer, fără a se termina cu o endodermă de tip special.

Cilindrul central este foarte gros și cuprinde un număr mare (10-14) de fascicule conducătoare, diferite ca mărime, unele fiind străbătute de raze parenchimatice-celulozice, așa încât lasă impresia că sunt mai multe fascicule conducătoare distincte.

Toate fasciculele au o cantitate egală de liber și de lemn, ambele țesuturi prezentând numeroase fibre (lemnoase, respectiv liberiene), cu pereții extrem de groși, dar celulozici. Vasele de lemn sunt solitare ori, mai adesea, grupate în șiruri longitudinale mai mult sau mai puțin paralele (Fig. 439).

La nivelul liberului, zona conducătoare (tuburi ciuruite, celule anexe) este subțire, localizată în imediata vecinătate a cambiului, în rest predominând fibrele sclerenchimatice asupra parenchimului liberian amilifer.

La periferia tuturor fasciculelor se află câte un cordon subțire de fibre sclerenchimatice (în poziție periciclică) cu pereții lignificați. Pe alocuri, lignificarea afectează și unele fibre liberiene din vecinătatea cordoanelor mecanice menționate.

Ca o anomalie de structură menționăm formarea unor arcuri de felogen în grosimea măduvei, felogen care produce 2-3 straturi de suber tipic și care se continuă pe traectul unor raze medulare până la contact cu cordoanele de fibre perifloemice.

**Tulpină aeriană – treime superioară (fig. 440, 441)**

Conturul secțiunii transversale este neregulat poligonal, cu coaste atenuate. Structura este tipic primară.

Epiderma prezintă celule pătrate sau, ușor înalte, cu toți pereții subțiri, cel extern nefiind afectat de cutinizare. Din loc în loc se observă numeroși peri tectori trichelari, cu celula terminală lungă, având pereții foarte groși, încât lumenul devine aproape filiform; celula bazală și cea intermediară sunt dreptunghiulare (Fig. 441).

Scoarța este relativ subțire (4 straturi în dreptul fasciculelor conducătoare) (Fig. 440) și se termină cu un endodermoid cristalifer (cu cristale simple de oxalat de Ca), localizat la periferia fiecărui fascicul conducător.

Cilindrul central cuprinde mai multe (8-10) fascicule conducătoare de tip colateral deschis, toate având la periferia liberului câte un cordon foarte gros de elemente colenchimatizate și fiind separate de raze medulare largi, parenchimatic-celulozice. În toate fasciculele, procesul de traheogeneneză este în curs de derulare, puține vase de lemn având deja pereți groși și lignificați.

Măduva este foarte groasă, parenchimatic-celulozică, de tip meatic.

#### **Tulpină – treimea mijlocie (fig. 443)**

Structura primară este definitivă și începe să se schițeze cea secundară, procesul de traheogeneneză fiind încheiat.

Epiderma are celule cu peretele extern mai gros decât ceilalți și complet cutinizat. Din loc în loc se observă stomate și peri tectori, dar în număr mai mic decât în treimea superioară a tulpinii.

Pe o parte în circumferința tulpinii s-a format deja felogenul, care a produs un strat de suber hipodermic.

Fibrele cordoanelor mecanice perifloemice iau aspectul elementelor de sclerenchim, cu pereți foarte groși, doar parțial lignificați (Fig. 442).

Liberul cuprinde tuburi ciuruite, celule anexe și puține celule de parenchim liberian.

Lemnul are vasele dispuse în șiruri radiare paralele, separate de celule de parenchim celulozic la nivelul lemnului primar și de celule de parenchim lignificat, ori chiar de puține elemente libriforme (cel puțin în unele fascicule), la nivelul lemnului secundar.

La nivelul unor raze medulare se schițează elemente de cambiu interfascicular. La fața internă a celor mai multe fascicule se află câte un arc de elemente colenchimatizate, asemănătoare celor de la periferia liberului și de la fața internă a cordoanelor de sclerenchim.

Măduva este groasă, parenchimatic-celulozică, de tip meatic. În măduvă, multe celule conțin cristale simple de oxalat de calciu; asemenea celule, însă doar cu câte un cristal simplu, se află și la periferia cordoanelor de sclerenchim perifloemic, și la fața internă a cordoanelor de colenchim perixilemic.

#### **Tulpină – treime inferioară (Fig. 443)**

Structura este tipic secundară, rezultată din activitatea ambelor meristeme laterale: cambiumul și felogenul. Felogenul este continuu și a produs deja 3-4 straturi de suber, care au determinat pe alocuri exfolierea epidermei; grosimea suberului diferă pe circumferința tulpinii, motiv pentru care acolo unde este doar unistratificat, epiderma este persistentă.

Parenchimul cortical primar este de tip meatic, iar stratul cel mai intern aflat, în contact cu cordoanele de sclerenchim perifloemic, reprezintă un endodermoid cristalifer.

Cilindrul central este foarte gros, cu numeroase (15) fascicule conducătoare de mărime diferită, toate cu câte un cordon relativ subțire de fibre sclerenchimatice la periferia liberului.

În toate fasciculele conducătoare se distinge lemnul primar, prin dispoziția în șiruri radiare a vaselor, separate de parenchim celulozic și cel secundar, cu vase dispuse dezordonat, separate de fibre lemnoase și de puține celule de parenchim lignificat (Fig. 443).

În măduvă și în zona perixilemică a multora dintre fascicule se observă celule cu cristale simple de oxalat de calciu.

Ca o anomalie, menționăm prezența unui arc de suber netipic, în concavitatea căruia și celulele de parenchim medular au pereții suberificați.

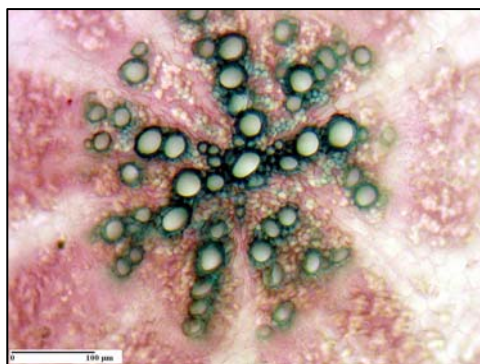


Fig. 436



Fig. 437

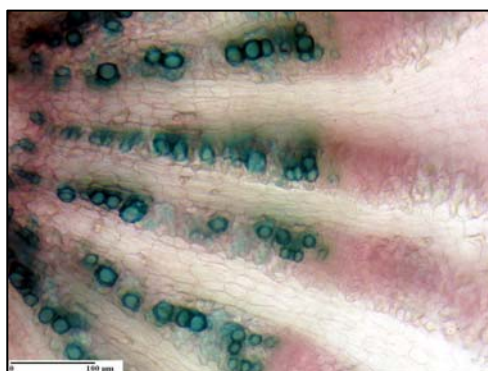


Fig. 438

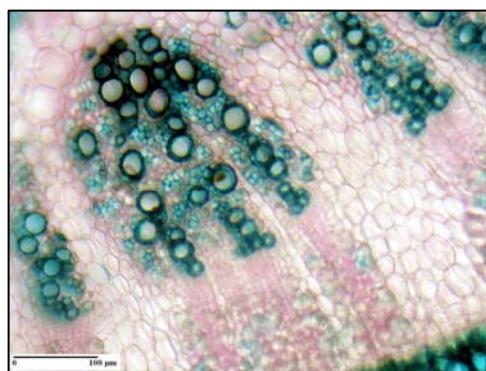


Fig. 439

***Trifolium fragiferum*.** Secțiuni transversale prin rădăcină, treime inferioară (Fig. 436), treime mijlocie (Fig. 437) și treime superioară (Fig. 438), precum și secțiune transversală prin rizom (Fig. 439).



Fig. 440

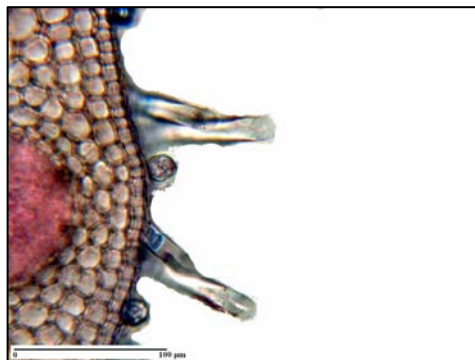


Fig. 441

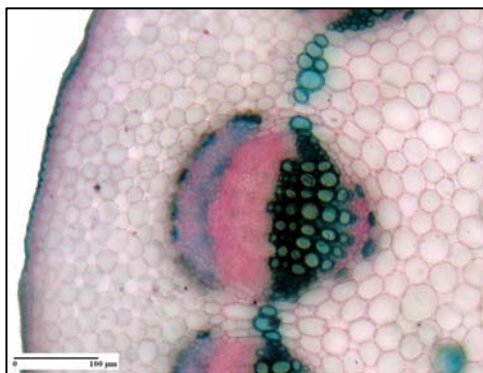


Fig. 442

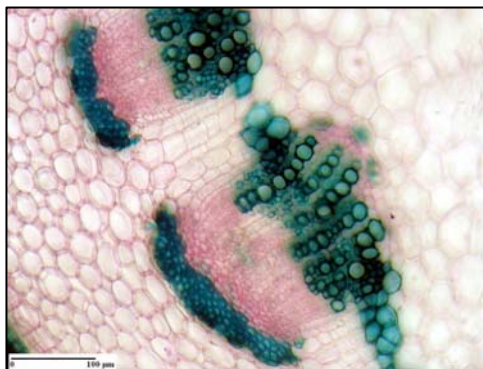


Fig. 443

*Trifolium fragiferum*. Secțiuni transversale prin tulpina aeriană, treime superioară (Fig. 440, 441), treime mijlocie (Fig. 442) și treime inferioară (Fig. 443).

## **Frunza (Fig. 444-448)**

### **Pețiolul**

Conturul secțiunii transversale este circular-ovat, cu o cavitate aeriferă centrală largă.

Epiderma prezintă celule mici, izodiametrice, cu peretele extern gros și complet cutinizat.

Din loc în loc sunt vizibili peri tectori trichelari și se observă puține stomate. În parenchimul fundamental se află 5 fascicule conducătoare libero-lemnoase de mărime diferită, toate având structura celor din tulpina tânără și prezentând la periferia liberului câte un cordon relativ gros de elemente mecanice.

### **Limbul (Fig. 444-448)**

**Epiderma văzută de față** (Fig. 444, 445), prezintă celule de contur poligonal, cu pereții laterali drepecți. Din loc în loc se află stomate de tip anomocitic, iar prin transparență se disting celulele țesutului palisadic subiacent. În lungul nervurilor se observă numeroase cristale simple de oxalat de calciu. Stomatele sunt localizate în ambele epiderme, deci limbul este amfistomatic.

### **Secțiune transversală prin foliolă, treime superioară** (Fig. 446)

Nervura mediană proemină vizibil la fața inferioară a foliolei și prezintă un fascicul conducător libero-lemnos cu structură primară, având la periferia limbului un cordon de celule mecanice.

Ambele epiderme prezintă celule alungite tangențial, cu peretele extern ușor mai îngroșat decât ceilalți și acoperit de o cuticulă subțire, vizibilă mai cu seamă la fața inferioară a foliolei. Din loc în loc se observă stomate, care nu proemină deasupra epidermei.

Mezofilul este diferențiat în țesut palisadic bistratificat, cu celule relativ joase, la fața superioară și țesut lacunos pluristratificat, relativ compact, la fața inferioară; deci limbul are o structură bifacială heterofacială (dorsiventrală). La polii fasciculelor conducătoare din nervurile laterale sunt vizibile celule cu cristale simple de oxalat de calciu.

**În treimea mijlocie**, stratul palisadic hipodermic are celule mai înalte, nervura mediană proemină mai puternic la fața inferioară, țesutul mecanic este prezent la ambii poli ai fasciculelor conducătoare, iar la nivelul epidermei, din loc în loc, se observă și puțini peri tectori trichelari.

**În treimea inferioară** (Fig. 447, 448), ambele straturi palisadice au celule înalte, împreună ocupând cam 50% din grosimea mezofilului.

### **Stipelele**

Conturul secțiunii transversale are forma literei „V”, cu brațele mai mult sau mai puțin paralele și cu capetele foarte subțiri, ușor suprapuse. Între cele două epiderme, mezofilul este omogen, format din celule izodiametrice; pe alocuri, unele celule de la fața adaxială (internă) se dezorganizează, rezultând cavități aerifere mai mari decât lacunele. În mezofilul omogen se observă mai multe fascicule, dintre care 3 mai mari (unul median și două laterale), având structura celor din limbul foliolei.

Fasciculele din părțile terminale (marginale) sunt foarte mici, dar și ele prezintă la periferia floemului câte un endodermoid cristalifer.

Această specie este mezofilă către higrofilă, alcalinofilă și neohalofilă, de la foarte slab la puternic tolerantă, sămânța germinând și în strate slab salinizate<sup>25</sup> (Bucur și colab., 1961).

Este tipul de halofită despre care nu putem spune prea multe din perspectiva adaptărilor evidente la salinitate; este și un bun „exemplu” pentru „teoria” noastră, a adaptărilor „extreme” la salinitate<sup>26</sup>.

---

<sup>25</sup> Acest aspect, al germinării semințelor în medii salinizate, este foarte interesant și intens discutat în zilele noastre; credem că, îndeosebi la specii care nu prezintă adaptări anatomice evidente, rezistența și capacitatea de germinare a semințelor pot constitui cheia supraviețuirii unor specii halofile „neconsacrate” în condiții de salinizare ușoară sau medie.

<sup>26</sup> În treacăt fie spus, dacă este să dăm credit acestor ipoteze, este evident următorul aspect: familii botanice diferite au rezonanțe adaptative diferite față de acest factor – salinitatea solului; este clar că evoluția a selectat, modelat și favorizat specii a căror istorie se leagă practic de salinitate, în vreme ce altele au contacte tangențiale și de multe ori legate de hazard, referitor la salinitate. În acest context, familia *Fabaceae* nu oferă exemple spectaculoase de adaptare la salinitate, dacă este să comparăm, de pildă, cu cea mai „intrigantă” și spectaculoasă familie halofilă, care este cea a *Chenopodiaceelor*.



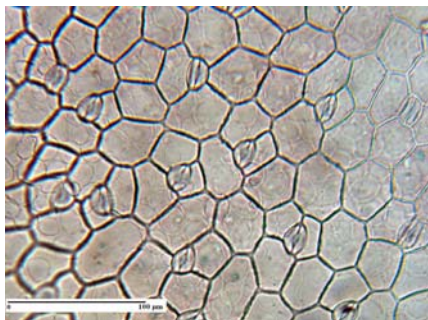


Fig. 444

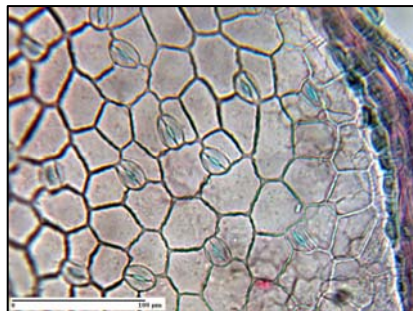


Fig. 445

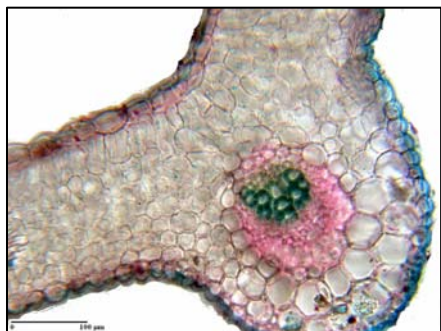


Fig. 446

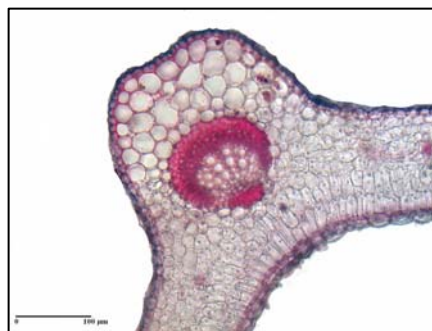


Fig. 447

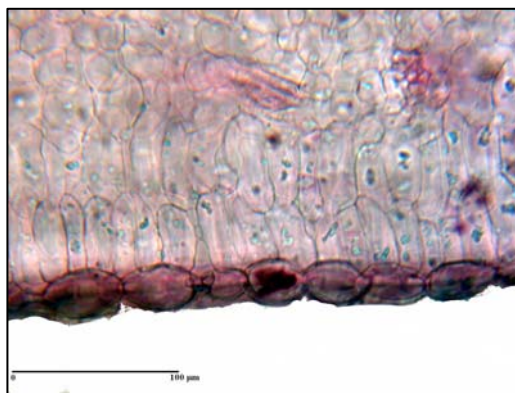


Fig. 448

*Trifolium fragiferum*. Epiderma superioară (Fig. 444) și epiderma inferioară (Fig. 445), văzute de față și secțiune transversală prin limbul foliar, treime superioară (Fig. 446) și treime inferioară (Fig. 447, 448).

*Familia Poaceae****Puccinellia distans* (L.) Parl. ssp. *limosa* (Schur) Jáv.\*****Tulpină aeriană – treime superioară (Fig. 449)**

Epiderma prezintă celule izodiametrice în dreptul stâlpilor de sclerenchim și ușor alungite tangențial în dreptul benzilor de parenchim asimilator; în ambele cazuri, toți pereții, dar mai ales cel extern, sunt îngroșați; peretele extern este acoperit de o cuticulă relativ groasă. Din loc în loc se observă stomate.

Limita dintre scoartă și cilindrul central este greu de stabilit. Putem doar observa că imediat sub epidermă, între stâlpii de sclerenchim sunt vizibile insule (benzi) mici (înguste) de celule asimilatoare. Atât stâlpii hipodermici de sclerenchim, cât și inelul continuu de sclerenchim prezintă elemente (fibre) cu pereții puternic îngroșați și intens lignificați.

Țesuturile conducătoare formează fascicule de tip colateral închis, dispuse pe două cercuri:

- unul extern, cu fascicule mult mai mici, înglobate complet în sclerenchim, unele proeminând în insulele de parenchim asimilator;
- altul intern, cu fascicule mari, care au liberul înglobat în inelul de sclerenchim, iar în rest sunt protejate de o teacă sclerenchimatică unistratificată.

Liberul cuprinde tuburi ciuruite și celule anexe, iar lemnul are vase de protoxilem înconjurate de celule de parenchim celulozic și vase de metaxilem cu celule de parenchim sclerificat și intens lignificat între ele; în fasciculele cele mai mari se observă și lacuna acviferă.

Toate fasciculele mari proemină puternic în parenchimul fundamental celulozic, de tip meatic (Fig. 449).

Parenchimul fundamental central este dezorganizat, rezultând o cavitate aeriferă largă.

**Tulpină aeriană – treime mijlocie (Fig. 450)**

Față de nivelul anterior analizat, insulele de parenchim asimilator sunt mai numeroase, sclerenchimul are fibre cu pereți mai groși și intens lignificați (Fig. 450), iar cavitatea aeriferă centrală, de contur neregulat, este mai mică.

---

\* din cauza unor dificultăți întâmpinate pe teren, legate de colectarea și conservarea ulterioară a materialului, care au condus la alterarea părților subterane ale acestei specii, nu putem prezenta, în lucrarea de față, decât rezultate referitoare la părțile supratereane ale plantei.

**Tulpină aeriană – treime inferioară (Fig. 451)**

Față de nivelul mijlociu, gradul de lignificare este mai puternic, parenchimul dintre fasciculele mari se sclerifică ușor (Fig. 451), iar unele dintre fasciculele mai mici se detașează de inelul de sclerenchim, fiind adânc înfipte în parenchimul fundamental celulozic.

Cavitatea aeriferă centrală este foarte mică sau lipsește.

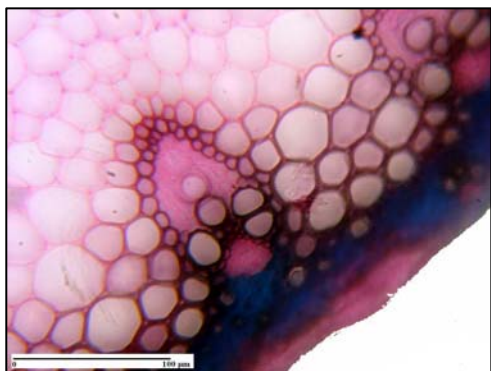


Fig. 449

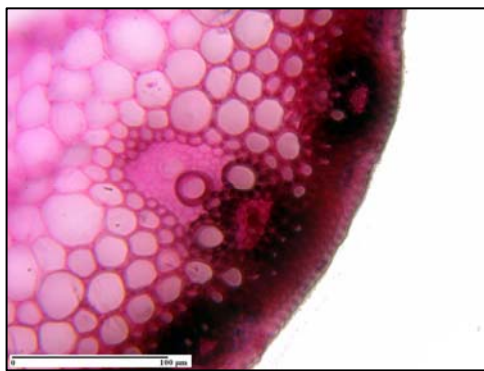


Fig. 450



Fig. 451

*Puccinellia distans*. Secțiuni transversale prin tulpina aeriană, treime superioară (Fig. 449) treime mijlocie (Fig. 450) și treime inferioară (Fig. 451).

### Frunza (Fig. 452-455)

**Epiderma inferioară**, văzută de față, este formată din celule poligonal-alungite (toate având pereții laterali dreapți), ce alternează cu celule foarte scurte. Din loc în loc, mai ales în lungul nervurilor, se observă peri tectori scurți (aculeiformi). În lungul șirurilor de celule epidermice se observă stomate halteriforme. Prin transparență se observă vasele lemnoase, mai cu seamă de tip reticulat.

**Epiderma superioară** diferă de cea inferioară prin faptul că celulele epidermice au pereții laterali des și fin ondulați. Stomatele sunt prezente și pe această față a frunzei, deci limbul este amfistomatic.

**În secțiune transversală prin limbul foliar, în treime superioară** (Fig. 452), conturul are forma literei „V”, cu brațele aproape paralele, delimitând un șanț adaxial foarte adânc. Ambele epiderme au celule cu peretele extern mult mai gros decât ceilalți, dar acoperit de o cuticulă subțire. Din loc în loc se observă peri tectori foarte scurți, unicelulari, aculeiformi, cu peretele gros; acești peri sunt localizați mai cu seamă în dreptul fasciculelor conducătoare (Fig. 452).

Mezofilul este omogen, cu celule izodiametrice, rotunjite, deci limbul are o structură bifacială-izofacială (Fig. 452).

Țesuturile conducătoare formează numeroase fascicule, mari și mijlocii, toate în contact cu epiderma inferioară prin intermediul unor stâlpi de sclerenchim, iar cu epiderma superioară prin intermediul unor stâlpi de parenchim lignificat puțin sclerificat. Toate fasciculele conducătoare sunt parțial înconjurată de câte o teacă sclerenchimatică, formată din celule cu pereți puternic îngroșați și intens lignificați (Fig. 452).

**În treimea mijlocie** (Fig. 453), conturul secțiunii transversale are formă de panglică curbată, luând forma literei „V”, cu brațele foarte depărtate. Fața inferioară este netedă (dreaptă), iar fața superioară este vălurată (aici alternând coaste și valecule). În rest, structura este asemănătoare cu cea de la nivelul anterior analizat, la care se adaugă prezența unor cordoane de sclerenchim la marginile limbului. Gradul de sclerificare a fibrelor sclerenchimatice este mai redus (Fig. 453).

**La treimea bazală** (Fig. 454, 455), limbul este aproape complet închis (răsucit), fața superioară (devenită internă) prezentând aceleași coaste puternice separate de valecule adânci și înguste. Față de nivelurile anterior

analizate se observă **celule buliforme** mari în epiderma superioară din dreptul vâlculelor (Fig. 454-455). La acest nivel, fasciculele conducătoare sunt mai numeroase, alternând de regulă unele mari cu altele mici. Perii tectori sunt mai numeroși la fața superioară, localizați totdeauna pe coaste.

Această specie are un spectru ecologic larg, fiind higrofilă către mezofilă, puternic alcalinofilă, dar și cu forme biologice slab alcalinofile, de la slab la excesiv de euhalofilă, ceea ce și explică, de altfel, marea ei răspândire (Bucur și colab., 1960). Se dezvoltă masiv pe sărături de luncă și de coastă umede până primăvara târziu, datorită apelor subterane aproape de suprafață, colmatărilor, inundațiilor, fiind o plantă foarte rezistentă la asfixie în perioadele umede.

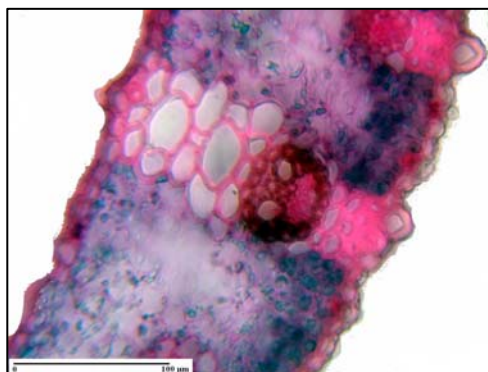


Fig. 452

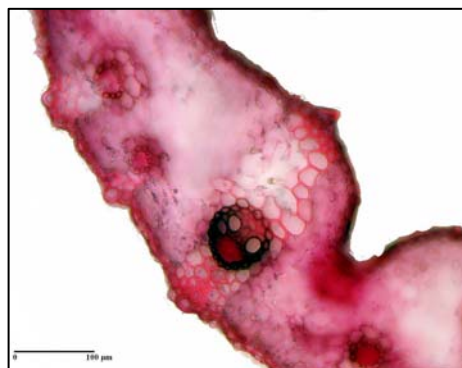


Fig. 453



Fig. 454



Fig. 455

***Puccinellia distans***. Secțiuni transversale prin limbul foliar, treime superioară (Fig. 452), treime mijlocie (Fig. 453) și treime inferioară (Fig. 454, 455).

*Familia Plantaginaceae**Plantago schwarzenbergiana* Schur

**Rădăcina** (Fig. 456- 458, 465)

**În treimea inferioară** (Fig. 456, 465), structura este tipic secundară, rezultată din activitatea ambelor meristeme laterale: cambiul și felogenul.

Felogenul produce mai puține straturi de suber spre exterior și mai multe straturi de feloderm spre interior; suberul se exfoliază treptat și neuniform pe circumferința organului, iar celulele felodermice sunt bogate în granule de amidon.

Cambiul produce un inel relativ gros de liber secundar spre exterior și un corp lemnos secundar în centrul organului. Liberul prezintă tuburi ciuruite și celule anexe în apropierea cambiului și foarte multe celule de parenchim liberian amilifer, dispuse în șiruri radiare, spre exterior. Corpul lemnos central prezintă un număr mare de vase de diametru diferit și dispersate neregulat, având pereții intens lignificați, separate de puține celule de parenchim lemnos celulozic (Fig. 456).

Așadar, lemnul secundar nu prezintă fibre lemnoase, ca la cele mai multe dicotiledonate, sau acestea sunt în număr foarte mic și nu diferă de vasele lemnoase pe secțiuni transversale.

**În treimea mijlocie** (Fig. 457), structura rădăcinii se menține aceeași, cu deosebirea că suberul are mai multe (7-9) straturi, iar în feloderm s-au format cavități aerifere de contur neregulat, rezultate din dezorganizarea locală a unor celule (Fig. 457).

**La limita dintre baza rădăcinii și rizom** (Fig. 458), structura se caracterizează printr-un corp lemnos central puternic parenchimatizat și prin cordoane de fibre sclerenchimatice în grosimea inelului de liber secundar.

Fibrele cordoanelor sclerenchimatice au pereții foarte puternic îngroșați, intens lignificați și străbătuți de multe punctuații canaliculiforme, de formă și mărime diferite în secțiune transversală. Aceste cordoane mecanice nu separă inelul liberian de feloderm, ci sunt localizate în grosimea parenchimului liberian secundar.

La periferia corpului lemnos central predomină fibrele lemnoase, ce formează zone compacte în care sunt dispersate neregulat puține vase. Celulele de suber sunt puternic alungite tangențial, ca și multe celule din feloderm, iar cantitatea de parenchim lemnos celulozic este mult mai mare.

**Rizomul (Fig. 459)**

Tulpina subterană are o structură secundară tipică, rezultată din activitatea ambelor meristeme laterale. Felogenul produce câteva pături de *suber* netipic și mai multe straturi de feloderm, cu celule vizibil colenchimatizate.

Scoarța primară mai persistă pe alocuri, stratul ei extern și epiderma exfoliindu-se în cea mai mare parte. Acolo unde epiderma persistă, la nivelul ei sunt vizibili peri tectori pluricelulari uniseriați, lungi, solitari sau grupați câte 3-4 la un loc.

Cambiul produce în cantitate egală liber secundar spre exterior și lemn secundar spre interior, rezultând 2 inele concentrice discontinue, care le dă țesuturilor conducătoare un aspect fascicular, datorită razelor medulare de lărgime diferită, prezente din loc în loc. La periferia liberului secundar sunt vizibile cordoane mecanice de grosime și formă diferite, formate din elemente asemănătoare celor menționate mai sus; astfel de elemente sclerenchimatice, solitare sau formând grupe mici, au fost observate și în grosimea liberului secundar.

Lemnul secundar prezintă o zonă internă în care se găsesc vase și celule de parenchim lemnos celulozic, iar în zona sa externă predomină libriformul, vasele și celulele de parenchim lemnos celulozic fiind în cantitate mică.

Așadar, se distinge cu ușurință lemnul primar (cu vase și celule de parenchim lemnos celulozic) de cel secundar (cu mult libriform, puține vase și celule de parenchim lemnos celulozic) (Fig. 459).

Măduva este foarte groasă, amiliferă, parenchimatic-celulozică, de tip meatic.

Pe unele secțiuni se poate observa formarea rădăcinilor adventive.

**Tulpină aeriană – treime superioară (Fig. 460, 461, 466)**

Conturul secțiunii transversale este pentagonal, cu unghiurile rotunjite.

Epiderma prezintă celule mari, cu pereții intern și extern foarte puternic îngroșați, cel din urmă fiind acoperit de cuticulă. Din loc în loc se află stomate, localizate la nivelul epidermei.

Scoarța este relativ groasă (7-8 straturi) (Fig. 460), parenchimatic-asimilatoare, cu stratul hipodermic ușor colenchimatizat și stratul cel mai intern de tipul unui endodermoid.

Cilindrul central începe cu un inel de sclerenchim în poziție periciclică (Fig. 460), format din fibre cu pereții puternic îngroșați și intens lignificați; grosimea acestui inel este mai mare în dreptul celor 5 fascicule mari, localizate în dreptul celor 5 coaste ale secțiunii (Fig. 461).

Țesuturile conducătoare formează numeroase fascicule libero-lemnoase, din care 5 mai mari și altele mult mai mici, între ele aflându-se, adesea, doar insule de liber, înfipite în inelul de sclerenchim periciclic ori în contact direct cu el.



**În treimea mijlocie** (Fig. 462, 463, 467), conturul secțiunii transversale devine aproximativ circular, cea mai mare parte a parenchimului medular este lignificată, iar cavitatea aeriferă centrală este bine delimitată. Semnalăm și la acest nivel prezența perilor tectori (Fig. 463).

Structura țesuturilor conducătoare este numai de origine primară. Unele elemente de lemn vin în contact cu inelul de sclerenchim periciclic, astfel încât liberul fasciculelor conducătoare este fragmentat în câteva insule mici (Fig. 462). În structura fasciculelor conducătoare apar și puține fibre lemnoase, unele venind în contact cu inelul de sclerenchim periciclic.

**În treimea inferioară** (Fig. 464, 468), structura se menține aceeași ca și în cea mijlocie, cu deosebirea că inelul de sclerenchim periciclic este mai intens lignificat, iar numărul fibrelor lemnoase din fasciculele conducătoare principale este mai mare. Și la acest nivel au fost evidențiați peri tectori (Fig. 464).

Așadar, vorbim la acest nivel de o structură secundară puțin importantă, care ca și în structura primară rămâne numai de tip fascicular.

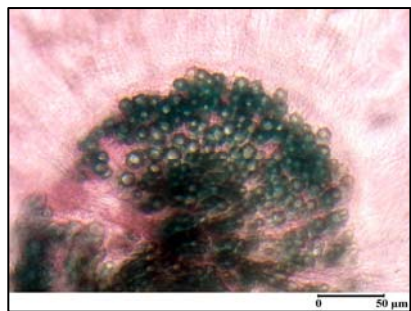


Fig. 456

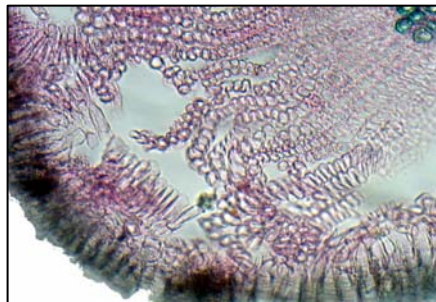


Fig. 457

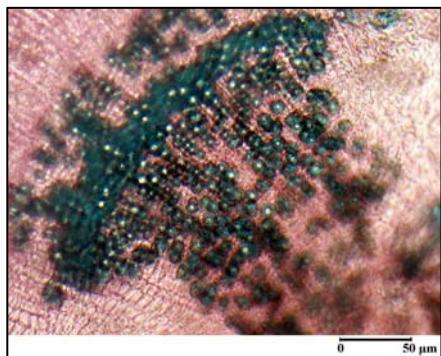


Fig. 458

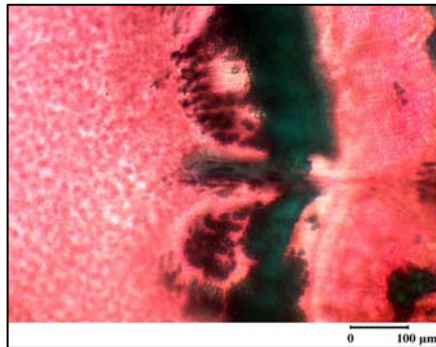


Fig. 459

***Plantago schwarzenbergiana*.** Secțiuni transversale prin rădăcină, treime inferioară (Fig. 456), treime mijlocie (Fig. 457) și treime superioară (Fig. 458); secțiune transversală prin rizom (Fig. 459).

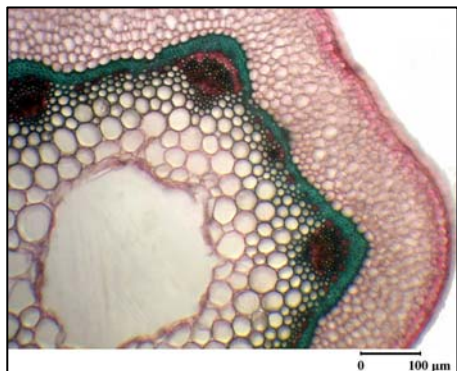


Fig. 460

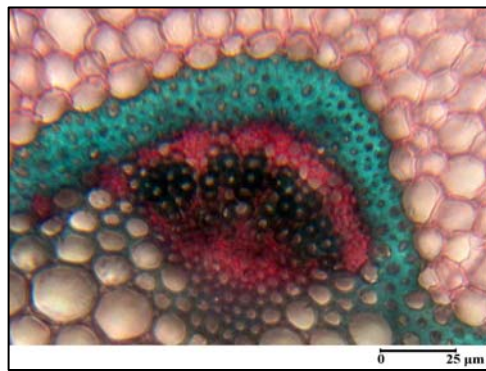


Fig. 461

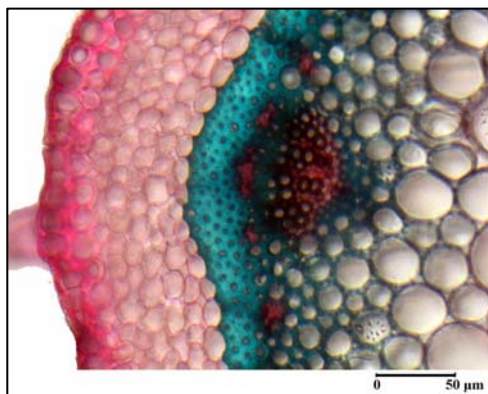


Fig. 462

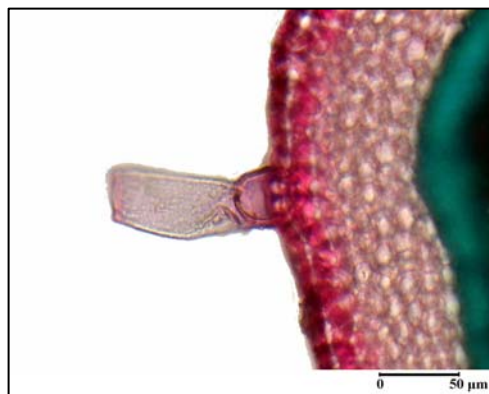
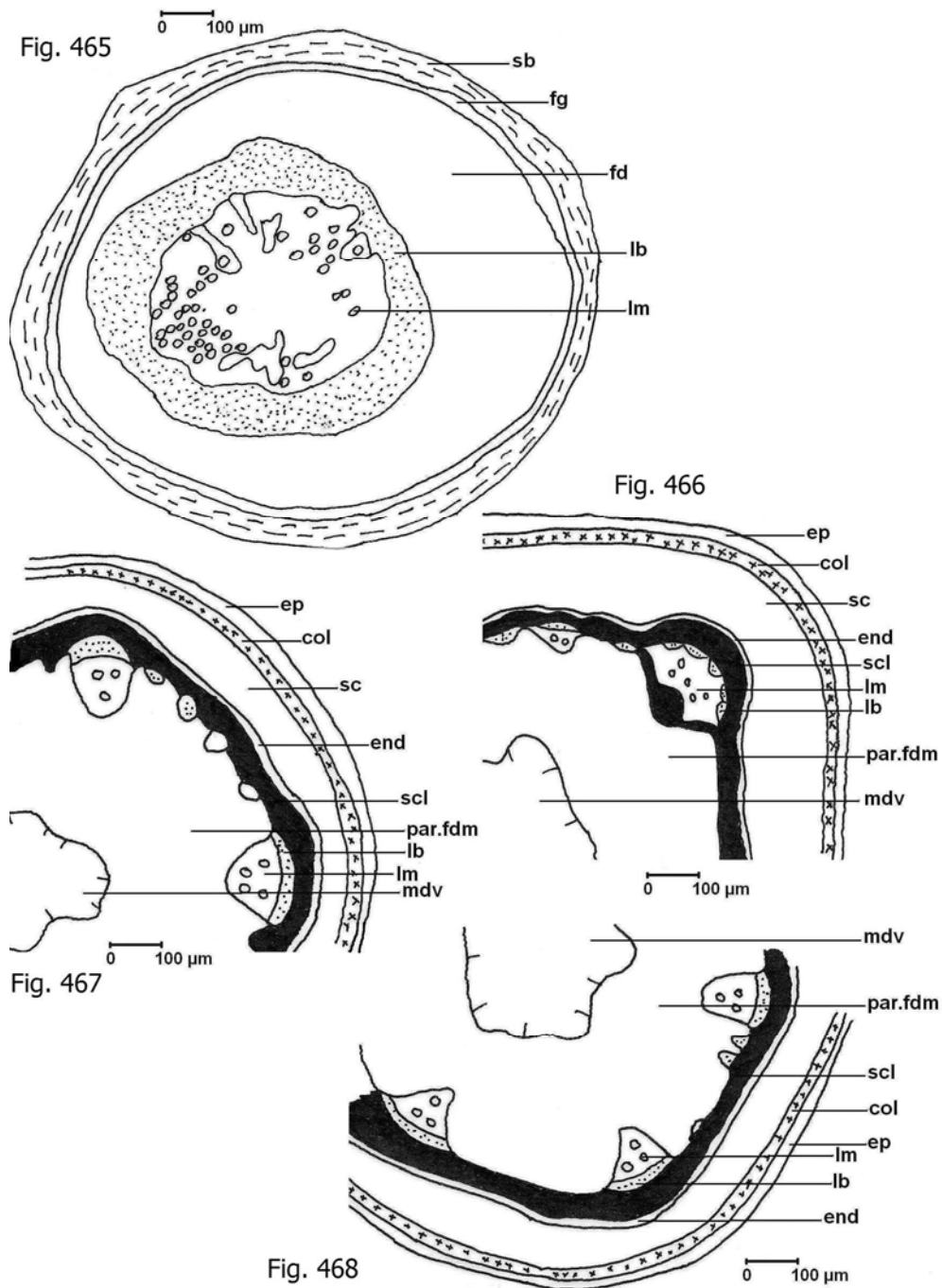


Fig. 463



Fig. 464

*Plantago schwarzenbergiana*. Secțiuni transversale prin tulpina aeriană, treime superioară (Fig. 460, 461), treime mijlocie (Fig. 462, 463) și treime inferioară (Fig. 464).



*Plantago schwarzenbergiana*. Secțiune transversală prin rădăcină, treime inferioară (Fig. 465); Secțiuni transversale prin tulpina aeriană, treime superioară (Fig. 466), treime mijlocie (Fig. 467) și treime inferioară (Fig. 468): scheme.

**Frunza (Fig. 469-489)**

**Petioulul** (Fig. 469, 470, 479, 480)

**În treimea superioară**, conturul secțiunii transversale are forma literei „V”, cu un șanț adaxial larg și adânc (Fig. 479).

Epiderma prezintă celule mari, cu pereții intern și extern vizibil mai îngroșați decât ceilalți; peretele extern este acoperit de o cuticulă striată. Din loc în loc se observă stomate.

Parenchimul fundamental este de tip meatic, fața abaxială având stratul sau straturile (2-3) hipodermice cu celulele colenchimatizate angular; un colenchim asemănător este vizibil și în cele două brațe care delimitează șanțul adaxial.

Țesuturile conducătoare formează mai multe (15) fascicule libero-lemnoase de tip colateral, dintre care 3 sunt mult mai mari, având de jur împrejur sclerenchim. Fasciculele marginale au câte un cordon perifloemic de fibre sclerenchimatice, iar toate celelalte fascicule mici nu prezintă asemenea cordoane mecanice. Fasciculele mari prezintă la periferia sclerenchimului câte un strat de celule parenchimatice ce au îngroșările Caspary în pereții radiari, reprezentând astfel o endodermă de tip primar (Fig. 469), fapt neconsemnat în literatura de specialitate de care am putut dispune.

Lemnul prezintă numeroase vase, separate de puține celule de parenchim celulozic, iar liberul este moderat colenchimatizat, format din tuburi ciuruite și celule anexe. Fibrele de sclerenchim din jurul fasciculelor conducătoare au pereții foarte puternic îngroșați, dar mai puțin lignificați decât cei ai vaselor lemnoase (Fig. 469).

**În treimea mijlocie**, conturul secțiunii transversale se menține același, dar numărul fasciculelor conducătoare este mai mic (13) (Fig. 480).

**În treimea inferioară**, conturul general al secțiunii transversale rămâne același, dar cele 2 brațe se îngustează mult la vârf, unde structura este reprezentată doar de cele 2 epiderme (Fig. 470). Numărul fasciculelor conducătoare se reduce la 9, aproape toate fiind înconjurate de sclerenchim. În parenchimul fundamental sunt vizibile mai multe cavități aerifere.

**Limbul** (Fig. 481-484)

**Epiderma văzută de față** (Fig. 471-474, 481-484) are celule de aceeași formă, dar cu pereții laterali ușor curbați (Fig. 473, 474 și 484). Stomatele sunt mai numeroase pe unitatea de suprafață în epiderma inferioară. Celulele epidermice din dreptul nervurilor sunt de 4-5 ori mai lungi și cu pereții laterali mai groși, totdeauna dreپți.

Pe fața superioară, celulele au contur poligonal, cu pereții laterali drepecți, din loc în loc observându-se stomate de tip anizocitic sau de tip anomocitic (Fig. 471 și 483) și peri tectori (Fig. 472) foarte lungi, pluricelulari, uniseriați, cu celula terminală având vârful ascuțit.

**În secțiune transversală prin limb, treimea superioară** (Fig. 475, 481, 482), conturul general are forma literei „V”, cu brațele foarte depărtate. Ambele epiderme sunt formate din celule izodiametrice, ori ușor alungite tangențial și de mărime diferită, cu peretele extern vizibil mai îngroșat decât ceilalți, dar acoperit de o cuticulă foarte subțire.

Din loc în loc, în epiderma superioară se observă peri lungi, pluricelulari (Fig. 475, 481 și 482), iar în ambele epiderme se observă stomate. În plus, în epiderma inferioară am observat și puțini peri secretori scurți, trichelari, localizați în mici excavații de la fața superioară a limbului; unii peri au glanda unicelulară, iar alții bi ori tetracelulară.

Mezofilul este de tip palisadic la fața superioară, prezentând 2-3 straturi de celule relativ înalte și bogate în cloroplaste; la fața inferioară, celulele sunt mai joase, uneori chiar tot de tip palisadic, dar conțin mai puține cloroplaste. Per ansamblu, se poate considera că limbul foliar are o structură bifacială, heterofacială (dorsiventrală).

Țesuturile conducătoare formează numeroase fascicule, dintre care cel median este ceva mai mare, de tip colateral, cu un cordon de celule mecanice la fața externă a liberului, celule care sunt de tip colenchimatic.

Stratul hipodermic de la fața inferioară a limbului, în dreptul celor 3 nervuri principale reprezintă un colenchim angular tipic. Celule asemănătoare sunt vizibile și la marginile limbului foliar.

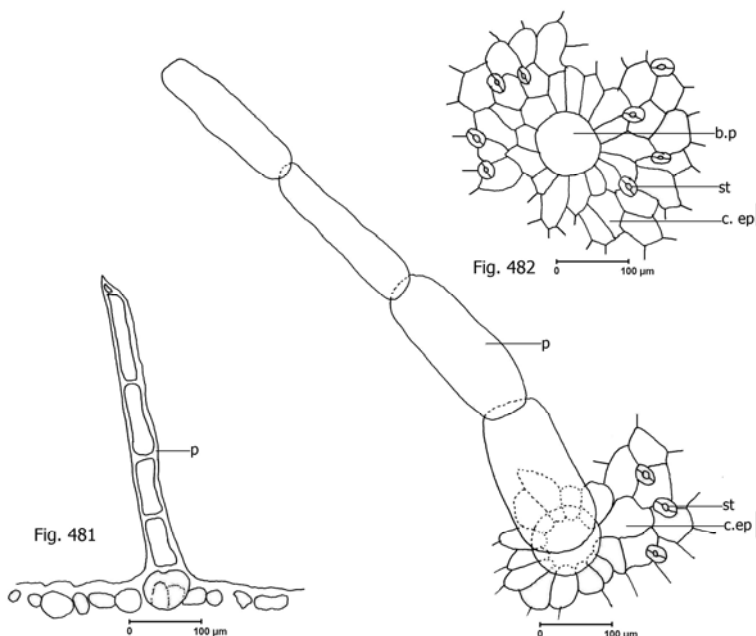
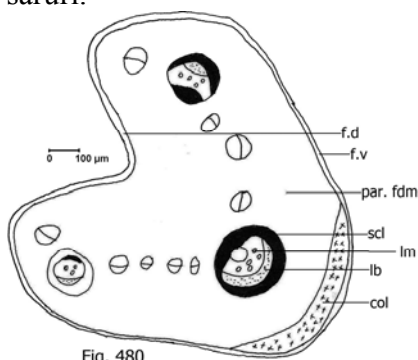
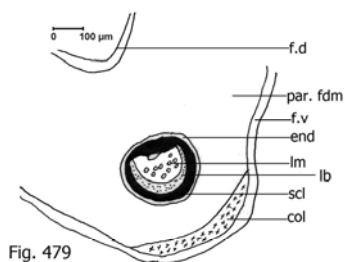
**În treimea mijlocie** (Fig. 476), conturul general rămâne același sau ia forma de panglică, observându-se numai nervura mediană proeminând ușor la fața inferioară și 2 nervuri laterale de ordinul întâi în brațe; cele 3 nervuri proemină ușor la fața inferioară a limbului și au câte un fascicul conducător relativ mare, de tip colateral deschis, cu câte un cordon de celule colenchimatizate la ambii poli. La nivelul epidermei se observă stomate. Semnalăm prezența unor peri secretori la nivelul unor excavații ale epidermei (Fig. 476).

Ambele țesuturi conducătoare sunt de origine primară, având structura celor din pețiol.

Mezofilul este de tip palisadic sub ambele epiderme, dar cu celule foarte joase, deci la acest nivel putem vorbi de o structură bifacială-izofacială, la mijlocul limbului celulele fiind izodiametrice.

**În treimea inferioară** (Fig. 477, 478), conturul secțiunii transversale și structura mezofilului rămân asemănătoare cu cele de la nivelul mijlociu.

Această specie este mezofilă, heliofilă, alcalinofilă. Se dezvoltă numai pe sărături de luncă, drenabile primăvara devreme, slab sau puternic salinizate (Bucur și colab., 1960). Deși pare să nu aibă trăsături anatomice evidente de halofită, trebuie spus că sistemul subteran și rozeta de frunze bazale pot constitui mecanisme de adaptare în sine. S-a demonstrat, însă, la specii halofile de *Plantago* că în celulele lor se pot acumula compuși osmotici activi, cum ar fi sorbitolul (Larher și Stewart, 1979), despre care se știe că sunt implicați în toleranța la săruri.



***Plantago schwarzenbergiana*.** Secțiuni transversale prin pețiol, treime superioară (Fig. 479), treime mijlocie (Fig. 480); Peritectori ai epidermei foliare superioare (Fig. 481, 482).



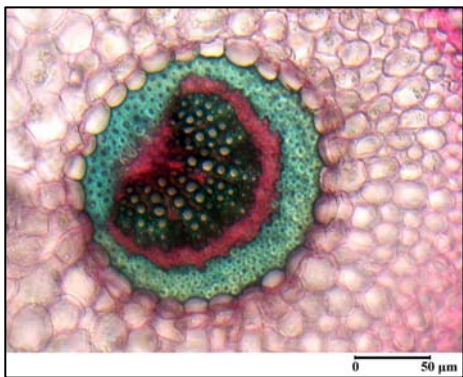


Fig. 469

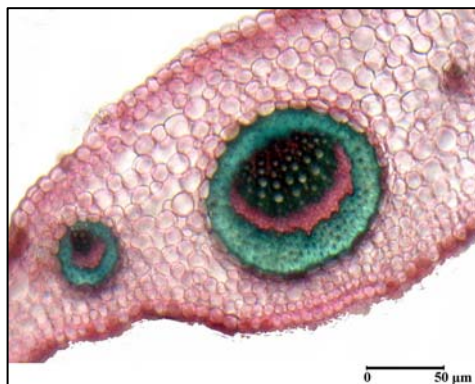


Fig. 470

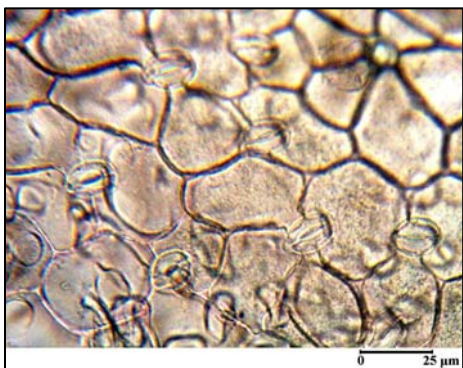


Fig. 471

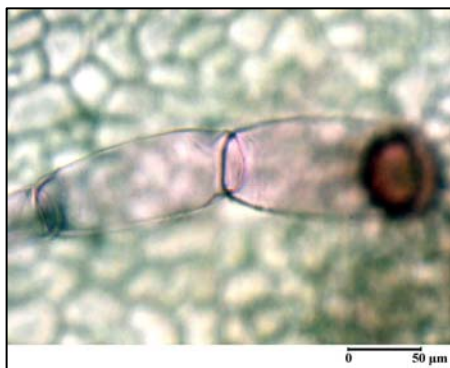


Fig. 472

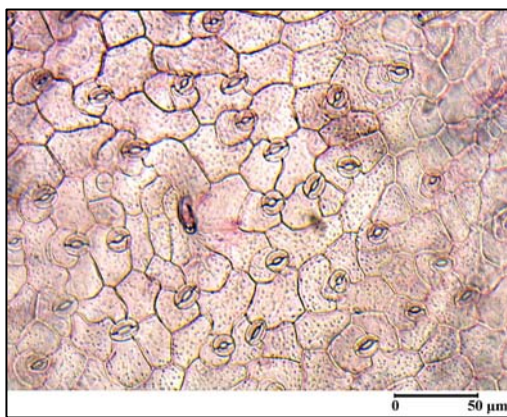


Fig. 473

*Plantago scwarzenbergiana*. Secțiuni transversale prin pețiol, treime superioară (Fig. 469) și treime inferioară (Fig. 470); Epidermă superioară (Fig. 471, 472), văzută de față și epidermă inferioară (Fig. 473), văzute de față.



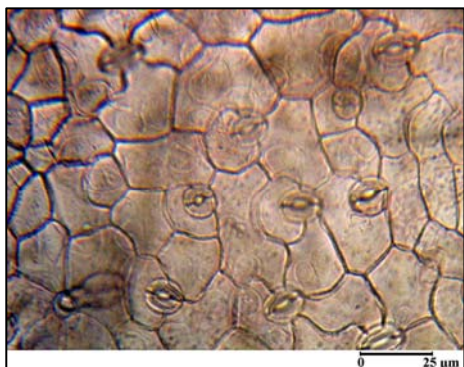


Fig. 474

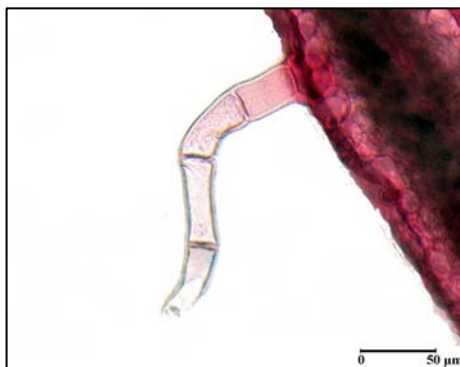


Fig. 475

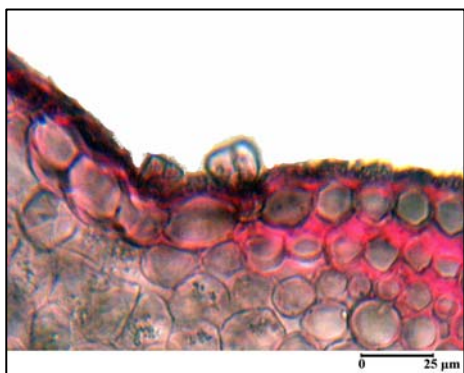


Fig. 476

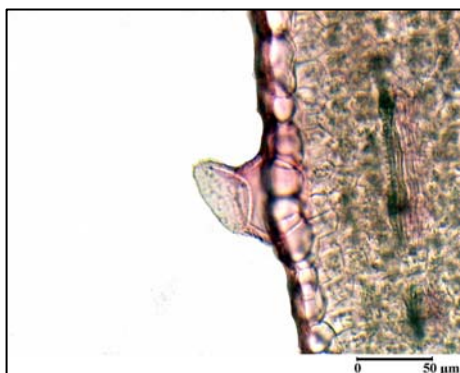


Fig. 477

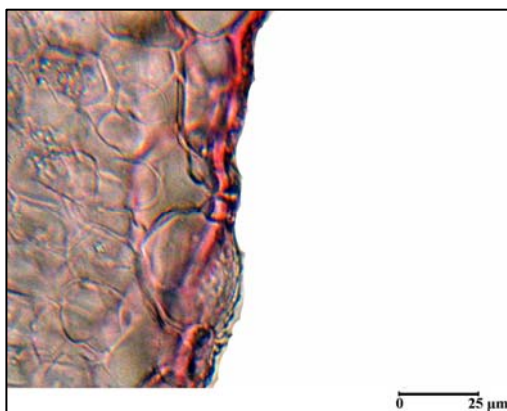


Fig. 478

*Plantago scwarzenbergiana*. Epiderma inferioară, văzută de față (Fig. 474); secțiuni transversale prin limbul foliar, treime superioară (Fig. 475), treime mijlocie (Fig. 476) și treime inferioară (Fig. 477, 478).

Fig. 483

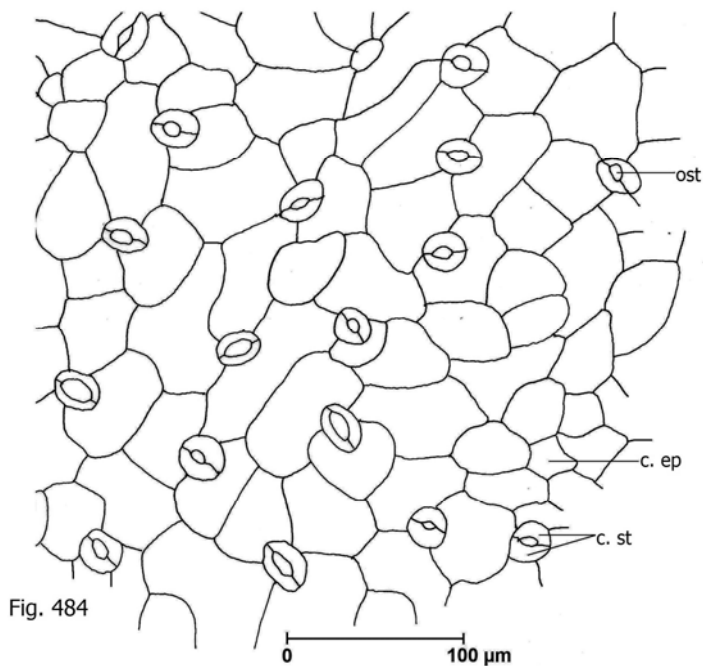
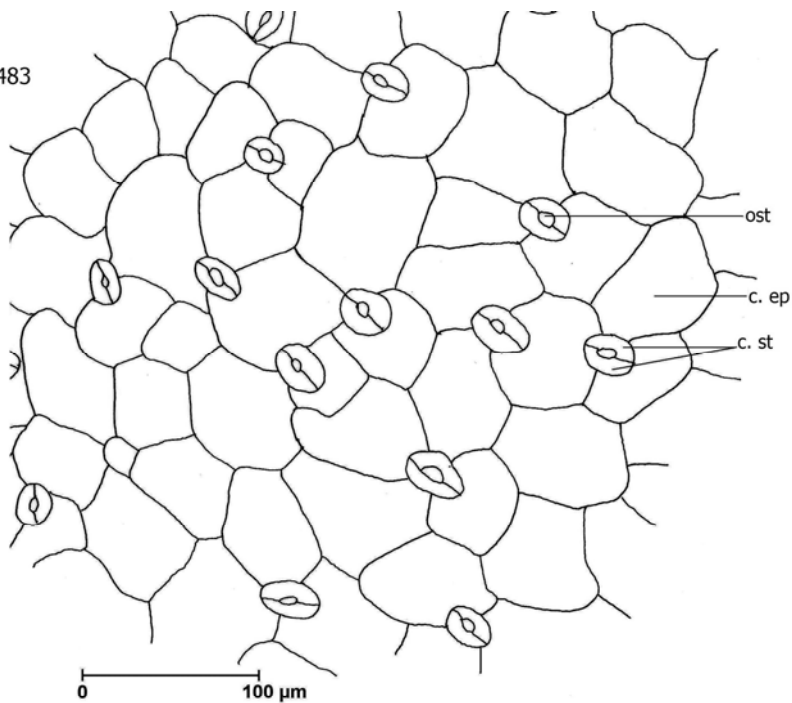


Fig. 484

*Plantago schwarzenbergiana*. Epiderma superioară (Fig. 483) și epiderma inferioară (Fig. 484), văzute de față.

***Familia Polygonaceae******Polygonum patulum* M. Bieb.****Rădăcină – treime inferioară** (Fig. 485, 491)

Structura este tipic secundară, rezultată din activitatea ambelor meristeme laterale: cambiul și felogenul. Felogenul se diferențiază pe seama periciclului, astfel încât țesuturile de la periferia suberului s-au exfoliat în totalitatea lor; doar pe alocuri se observă aderențe de parenchim cortical intern.

Suberul este subțire (2-3 straturi), cu celule vizibil alungite tangențial și cu pereții subțiri, dar suberificați. Felodermul, alcătuit de asemenea din celule alungite tangențial, formează 2-3 straturi.

Cambiul formează un inel periferic foarte subțire de liber secundar (Fig. 485), alcătuit din tuburi ciuruite, celule anexe și celule de parenchim. În zona externă a inelului de liber sunt vizibile fibre sau grupe de fibre liberiene, cu peretele foarte gros, dar slab lignificat.

Corpul lemnos central secundar este foarte gros și în întregime lignificat, în el predominând libriformul; în grosimea lui sunt dispersate puține vase de diametru diferit și celule de parenchim, localizate mai ales în zona centrală; toate elementele libriformului au pereți puternic îngroșați și parțial lignificați.

În **treimea mijlocie** (Fig. 486, 492), față de nivelul anterior analizat, corpul lemnos central este mai intens lignificat (Fig. 486), iar zona axială a acestuia este formată din elemente cu pereții aproape în întregime celulozici.

În **treimea superioară** (Fig. 486), la nivelul peridermei se observă, pe alocuri, lenticile, pătura de suber este mai groasă (3-5 straturi), ca și cea de feloderm, iar în grosimea corpului lemnos central sunt vizibile numeroase raze medulare, formate din celule parenchimatice cu pereți moderat îngroșați, dar lignificați. Cantitatea de libriform este mai mare, fibrele acestuia având pereți extrem de îngroșați, lumenul fiind adesea punctiform; doar axa rădăcinii are elemente cu pereții mai subțiri, celulozici ori slab lignificați (Fig. 487).

**Tulpină – treime superioară** (Fig. 488, 494)

Conturul secțiunii transversale este poligonal-costat, cu coaste puțin proeminente.

Epiderma prezintă celule mari, alungite tangențial, cu peretele extern mai îngroșat decât ceilalți și acoperit de o cuticulă subțire; în dreptul coastelor, celulele sunt izodiametrice și cu peretele extern mai gros, în întregime cutinizat. Din loc în loc sunt vizibile stomate.

Scoarța este formată din 2-3 straturi de celule palisadice, relativ joase, iar stratul intern are celule izodiametrice sau alungite tangențial, reprezentând un adevărat endodermoid (Fig. 488). În coaste, sub epidermă se află câte un cordon de fibre sclerenchimatice cu pereții extrem de îngroșați, dar foarte slab lignificați.

Cilindrul central are țesuturi conducătoare de tip inelar, dar liberul este mai gros în dreptul coastelor tulpinale unde, la periferie, sunt vizibile cordoane de fibre sclerenchimatice asemănătoare celor hipodermice. Liberul cuprinde tuburi ciuruite, celule anexe și foarte puține celule de parenchim. Inelul de lemn secundar este gros, compact, în el predominând libriformul (Fig. 488), format din elemente cu pereții puternic îngroșați și moderat lignificați; vasele sunt rare, uneori deosebindu-se cu greu de fibrele libriforme.

Măduva este relativ subțire, parenchimatic-celulozică, de tip meatic, formată din celule mari, având pereți subțiri.

În **treimea mijlocie** (Fig. 489, 495), conturul secțiunii transversale devine aproape circular, coastele fiind mult atenuate.

Epiderma este acoperită de o cuticulă mai groasă. Cordoanele de sclerenchim hipodermic sunt mai groase (Fig. 489), iar scoarța palisadică este relativ mai subțire, cu celule mai joase; 1-2 straturi interne au celule izodiametrice.

Fasciculele de liber sunt mai groase, unite prin 1-2 straturi de elemente liberiene interfasciculare. Inelul de lemn secundar este mai gros și mai intens lignificat, dar tot cu vase rare; fostele fascicule din structura primară proemină puternic în zona perimedulară, având mai multe vase lemnoase.

Măduva este mai groasă, cu celule mai mari.

În **treimea inferioară** (Fig. 496), coastele sunt ușor proeminente, scoarța este și mai subțire, pierzându-și caracterul de palisadă tipică.

Liberul formează un inel continuu, mai gros totuși în dreptul coastelor, unde în imediata lui vecinătate sunt vizibile cordoane foarte subțiri de fibre sclerenchimatice. Inelul de lemn secundar este foarte gros, cu foarte mult libriform și cu vase dispersate neregulat (Fig. 490).

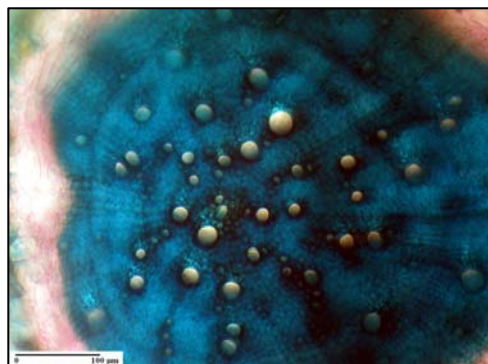


Fig. 485

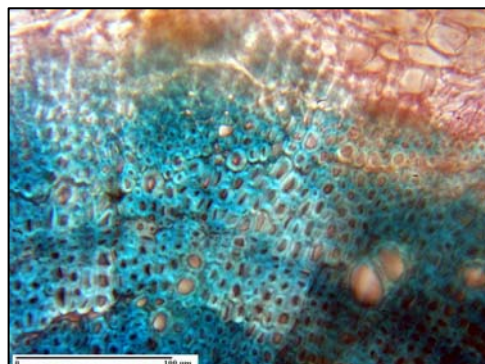


Fig. 486

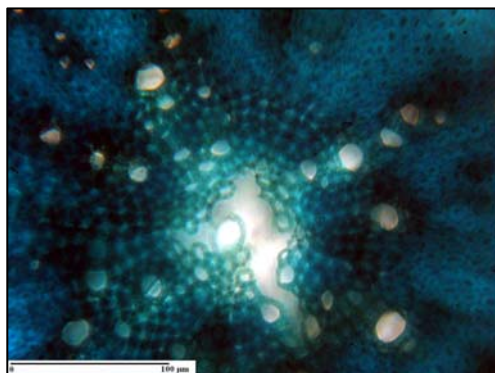


Fig. 487



Fig. 488

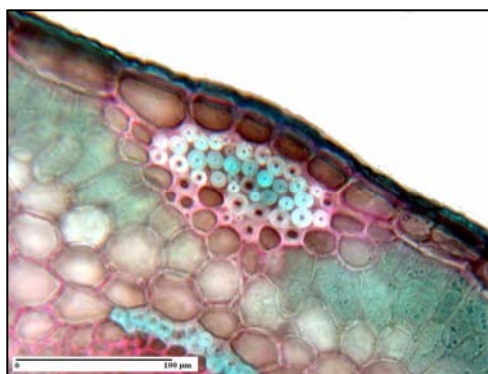


Fig. 489

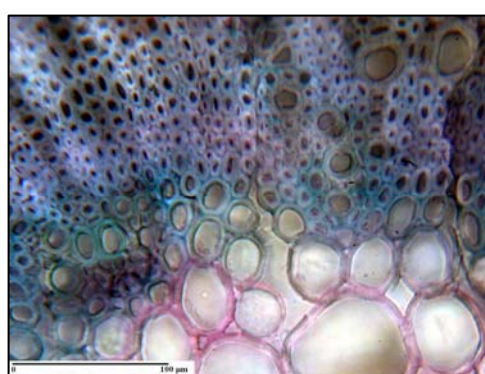


Fig. 490

*Polygonum patulum*. Secțiuni transversale prin rădăcină, treime inferioară (Fig. 485), treime mijlocie (Fig. 486) și treime superioară (Fig. 487); secțiuni transversale prin tulpină, treime superioară (Fig. 488), treime mijlocie (Fig. 489) și treime inferioară (Fig. 490).

Fig. 491

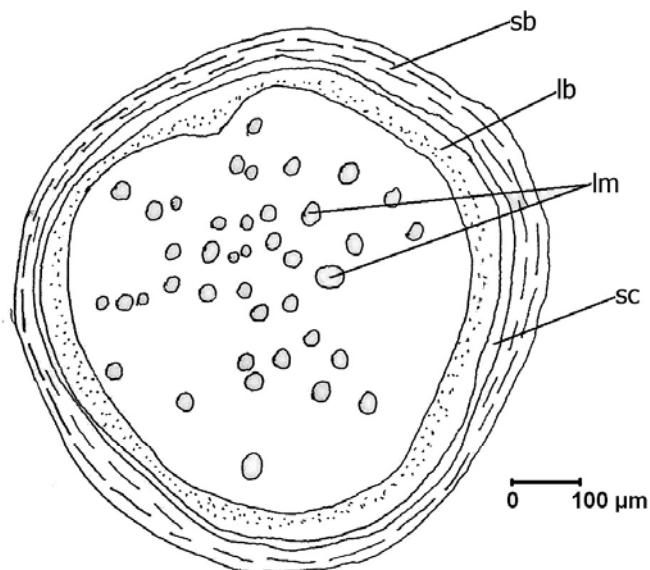
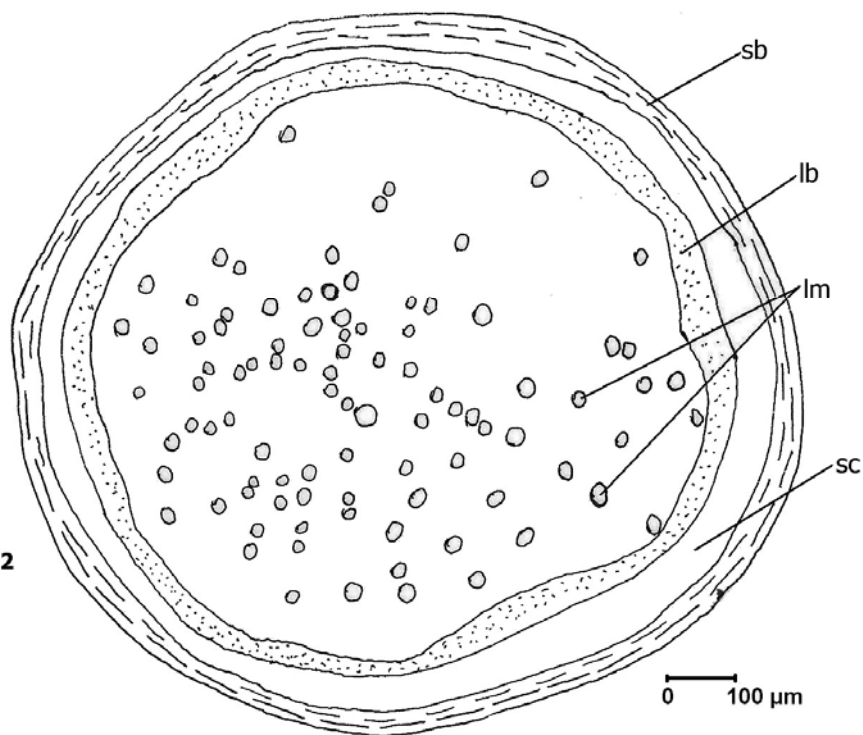
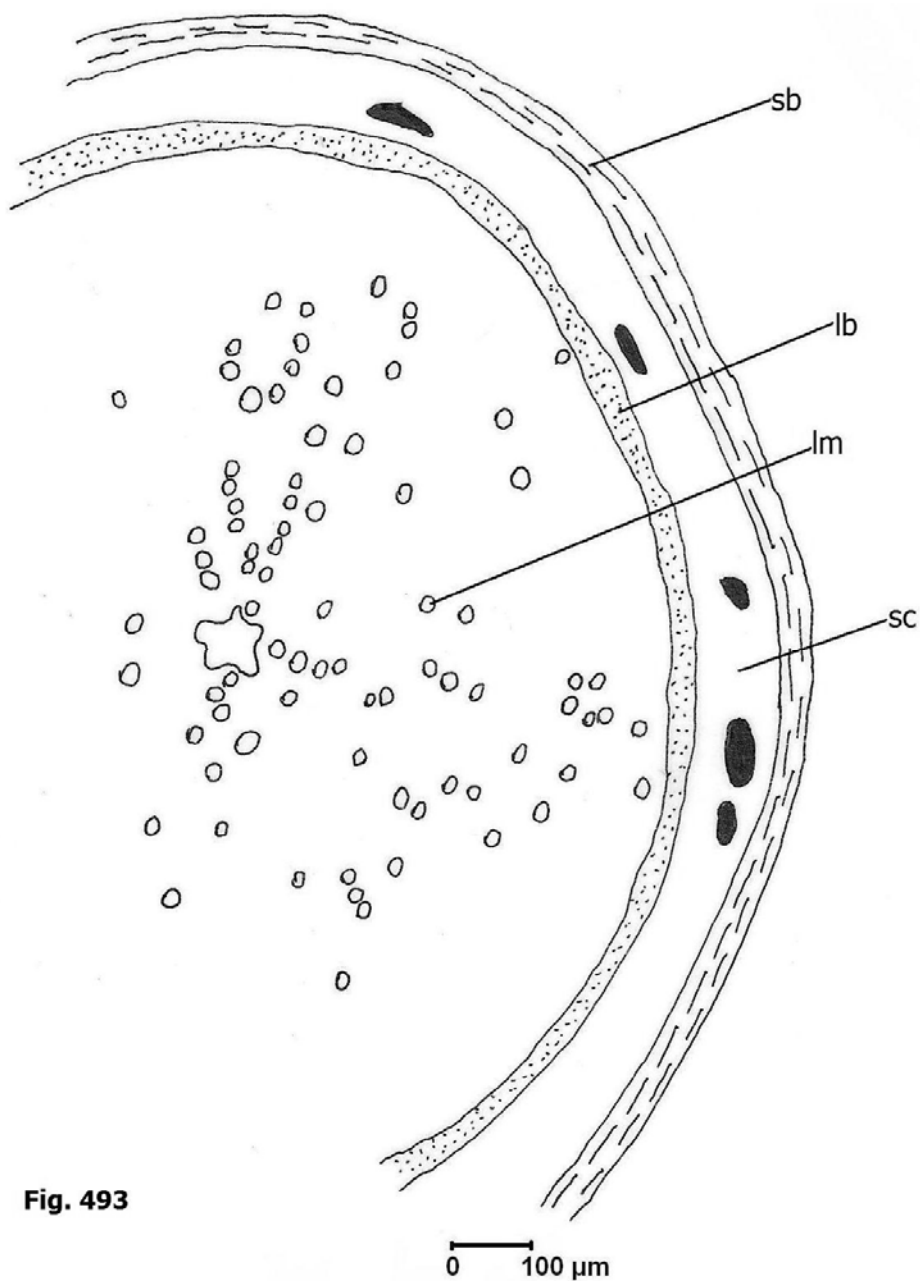


Fig. 492



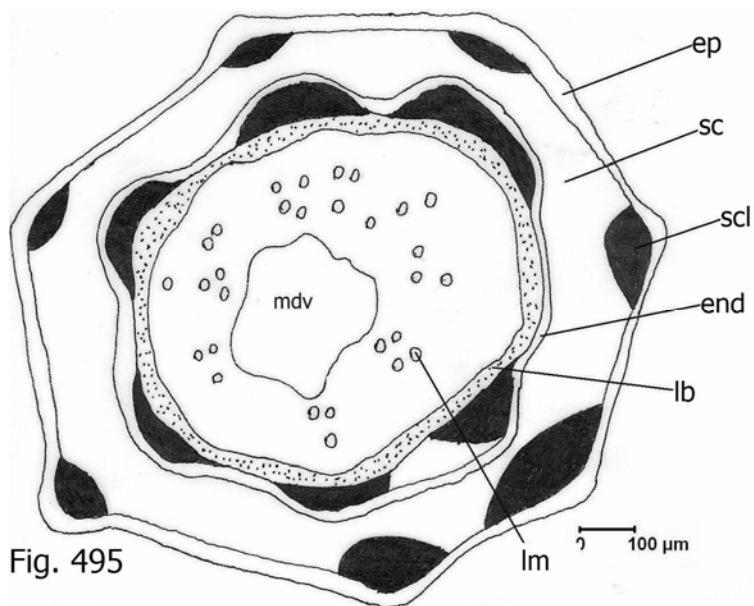
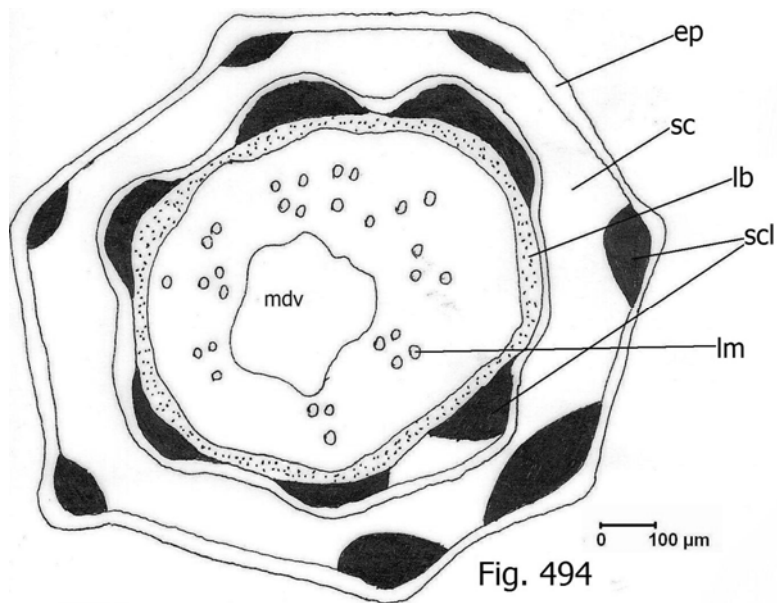
*Polygonum patulum*. Secțiuni transversale prin rădăcină, treime inferioară (Fig. 491) și treime mijlocie (Fig. 492): scheme.



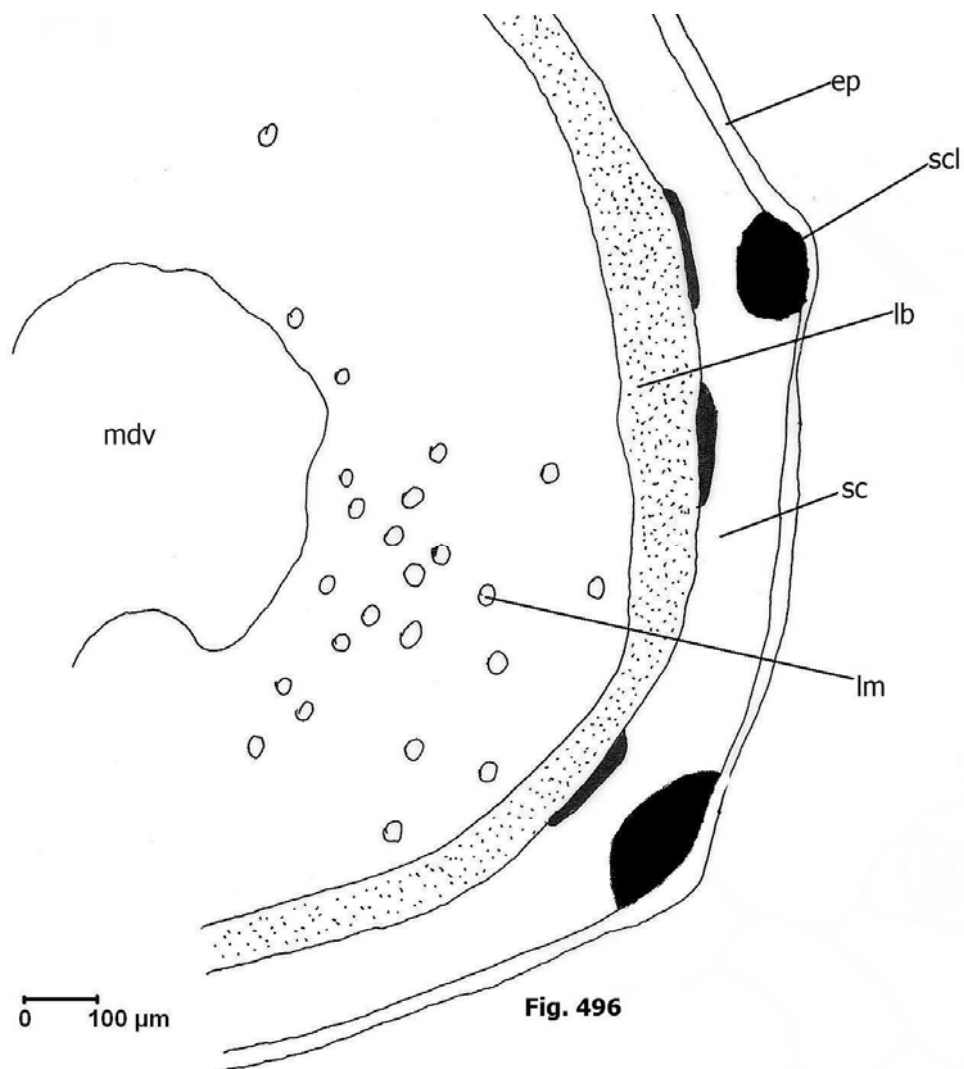
**Fig. 493**

*Polygonum patulum*. Secțiune transversală prin rădăcină, treime inferioară (Fig. 493) (schemă).





*Polygonum patulum*. Secțiuni transversale prin tulpină, treime superioară (Fig. 494) și treime mijlocie (Fig. 495): scheme.



*Polygonum patulum*. Secțiune transversală prin tulpină, treime inferioară (Fig. 496).

**Frunza (Fig. 497-500)**

**Epiderma** (Fig. 497, 498) văzută de față este formată în celule poligonale cu pereții laterali drepecți; din loc în loc se observă stomate, mai adesea de tip anizocitic (Fig. 497-498). În lungul nervurilor, celulele epidermice sunt foarte lungi, cu pereții laterali mai groși. La marginile limbului, celulele au peretele extern puternic îngroșat și bombat, devenind pe alocuri chiar papiliforme. Prin transparență se observă numeroși ursini de oxalat de calciu.

În **secțiune transversală prin limb, treime superioară**, nervura mediană și nervurile laterale de ordinul I ușor proeminente la fața inferioară; în aceste nervuri se află câte un fascicul conducător, cel din nervura mediană fiind totdeauna mai mare și cu fibre de sclerenchim la ambii poli. În dreptul acestui fascicul, sub ambele epiderme se află câte un cordon subțire de fibre sclerenchimatice, cu pereții foarte groși, dar nelignificați.

Epiderma prezintă celule izodiametrice sau ușor alungite tangențial, mai mari la fața superioară a limbului, având totdeauna peretele extern ușor bombat și mai îngroșat decât ceilalți. Din loc în loc se observă stomate în ambele epiderme, deci limbul este amfistomatic.

Mezofilul este de tip palisadic sub ambele epiderme, deci limbul are o structură bifacială ecvifacială. Țesutul palisadic este format la ambele fețe din două straturi de celule, ceva mai înalte însă la fața superioară.

Între cele două palisade se află celule izodiametrice, cele mai multe dintre ele conținând câte un ursin de oxalat de calciu. La marginile limbului, tot mezofilul este de tip palisadic; între acesta și epiderme se află câte un cordon gros de fibre sclerenchimatice; în dreptul lor, celulele epidermice sunt foarte mari, cu peretele extern gros și puternic bombat.

În **treimea mijlocie** (Fig. 499, 500), nervura mediană proemină puternic la ambele fețe, dar mai ales la cea inferioară; între cordoanele de sclerenchim hipodermic și fasciculele conducătoare (având și ele fibre de sclerenchim la cei doi poli), se află celule izodiametrice de parenchim incolor (Fig. 499).

În **treimea inferioară**, nervura mediană proemină și mai puternic, îndeosebi la fața inferioară, iar palisada de la fața superioară este ceva mai groasă, deci cu celule ușor mai înalte decât la fața inferioară.

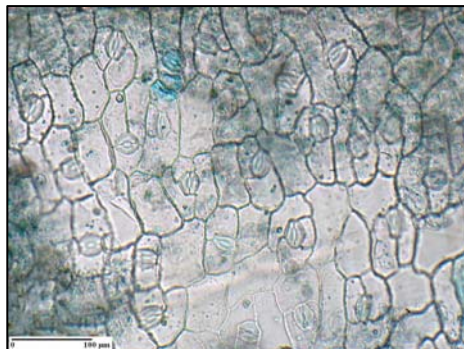


Fig. 497

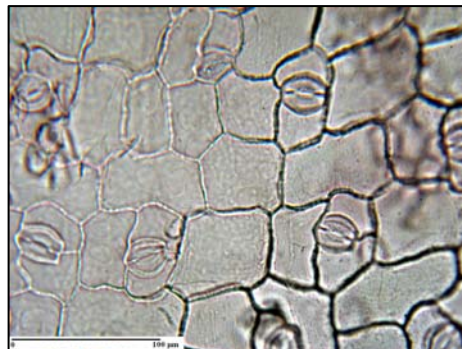


Fig. 498



Fig. 499

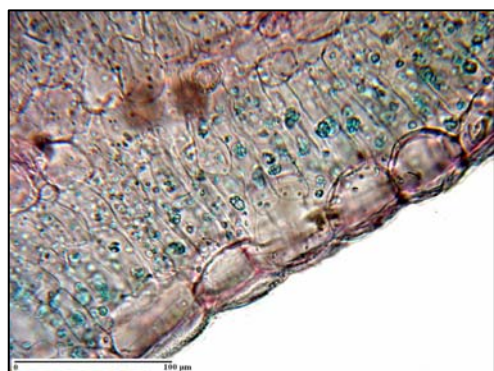


Fig. 500

*Polygonum patulum*. Epidermă foliară superioară (Fig. 497) și epidermă inferioară (Fig. 498), văzute de față; secțiuni transversale prin limbul foliar, treime mijlocie (Fig. 499, 500).

## CONCLUZII

În urma investigării histo-anatomice a organelor vegetative putem formula următoarele concluzii:

La reprezentanții familiei *Chenopodiaceae* (*Atriplex littoralis*, *A. prostrata*, *A. tatarica*, *Camphorosma annua*, *Halimione verrucifera*, *Petrosimonia oppositifolia*, *P. triandra*, *Salicornia europaea*, *Suaeda maritima*) s-a evidențiat fenomenul de **policambie**. La toate speciile amintite, cambiile succesive au putut fi observate în structura ambelor organe vegetative axiale (rădăcină și tulpină), la toate nivelurile. La *Atriplex prostrata* și la *A. littoralis*, acest fenomen se observă doar spre baza celor două organe și excepție face și specia *Bassia hirsuta*, la care nu am evidențiat prezența și activitatea cambiilor supranumerare la nici un nivel al organelor vegetative axiale; este, se pare, singura specie din familia *Chenopodiaceae* neafectată de activitatea cambiilor adiționale.

Cambiile succesive pot să lămurească anumite probleme de filogenie, atunci când apartenența unei specii la un grup sau altul este discutabilă, așa cum afirmă și Carlquist (2002, 2003) în studiile sale asupra anatomiei unor genuri din familiile *Simmondsiaceae*, *Amarantaceae*.

Deși interpretarea policambiei în sens ecologic și adaptativ este foarte dificil de făcut, aceasta și din cauza faptului că lipsesc aproape cu desăvârșire studii în acest sens, am încercat, sub forma unei ipoteze, să explicăm acest fenomen presupunând că el ar putea constitui un mecanism implicat în reglarea conținutului de săruri, având astfel o valoare adaptativ-ecologică. Mărirea suprafeței interne a organelor afectate de policambie ar putea contribui la reținerea, diluția și „întârzierea” transportului apei cu sărurile dizolvate în ea către părțile superioare ale plantei. Mărirea suprafeței ar însemna, inevitabil, un spațiu de dispersie a sărurilor, care sunt diluate totodată, fiind astfel, în cele din urmă, mai puțin nocive pentru plantă. Ipoteza noastră, publicată în 2006, a fost ulterior confirmată de cercetările lui Carlquist (2007), care exprimă aproximativ aceeași idee când, tratând despre policambie, afirmă că „*the alternation of vascular increments with parenchyma provided by the successive cambial mode of construction offers an ideal histological plan for storage and retrieval of photosynthates and water.*” (lucrarea citată, p. 327).

**Lignificarea intensă** ce însoțește activitatea cambiilor supranumerare poate fi stimulată de salinitate și poate conferi și o rezistență mecanică celulelor la presiunea osmotică ridicată a soluției solului.

La speciile de halofite colectate din habitate umede (*Aster tripolium* ssp. *pannonicus*, *Juncus gerardi*, *Spergularia media*) am evidențiat, în special la nivelul organelor vegetative subterane (rizom, rădăcină), dar și la

cele supraterane (tulpină), **formațiuni aerifere**; acestea constituie o trăsătură răspândită la specii din asemenea habitate, conferind rezistența necesară la posibilele perioade de hipoxie a solului (ca exemplu servind *Bolboschoenus maritimus*).

Am evidențiat la unele specii (*Artemisia santonicum*, *Juncus gerardi*, *Lactuca saligna*, *Salicornia europaea*, *Suaeda maritima*, *Bolboschoenus maritimus*) o **endodermă** tipică, caspariană, la nivelul organelor vegetative axiale. În acord cu unii autori, am interpretat această structură ca fiind o barieră ce controlează și limitează pătrunderea de săruri în corpul plantelor; am mai pus în discuție, pe scurt, rolul deosebit de complex pe care îl poate juca, în acest sens, rădăcina în viața plantelor de sărături.

O altă constatare, destul de obișnuită și de discutată la halofite, este cea care se referă la **suculența** organelor aeriene. Noi am pus-o în evidență, sub forma unor țesuturi acvifere și, uneori, sub forma unui țesut palisadic bine dezvoltat, la: *Salicornia europaea*, *Suaeda maritima*, *Petrosimonia oppositifolia*, *P. triandra*, *Spergularia media*. Această trăsătură este destul de răspândită, așa cum s-a putut vedea, în special la *Chenopodiaceae*. La specii de halofite din habitate mai umede (*Suaeda*, *Salicornia*), suculența asigură poziția erectă a plantelor și posibila diluție a sărurilor; în plus, ea poate fi indusă și „întreținută” de ioni de clor, deoarece se știe că cele două specii enumerate au fost încadrate în grupa halofitelor ce edifică asociații clorurice. La xero-halofite (*Petrosimonia oppositifolia*, *P. triandra*), țesuturile acvifere constituie, în același timp, rezerva de apă necesară în perioade de uscăciune, precum și mediu de diluție a sărurilor, cunoscând faptul că în condiții de uscăciune a solului, sărurile sunt mai concentrate. Celule acvifere am mai evidențiat la *Iris halophila* (la nivelul limbului și spre vârful tulpinii aeriene), și la *Atriplex prostrata* (doar în limbul foliar).

**Traheidele** din țesuturile suculente de la *Salicornia* reprezintă formațiuni foarte interesante, dar și controversate în același timp. Deși evidențiate încă de la sfârșitul secolului XIX, și în zilele noastre se mai poartă discuții referitoare la funcția lor. Se presupune că ar fi implicate în bilanțul hidric al plantei, în toleranța la săruri, în susținerea mecanică, sau în depozitarea apei ori a aerului. Ele sunt localizate printre celulele palisadice, aproximativ perpendicular pe epidermă, fără să fi observat însă contacte directe între traheide și epidermă, pe de o parte, între acestea și sistemul conducător, pe de altă parte.

**Perii secretori**, veziculari („bladders”), de la *Atriplex tatarica* și *Halimione verrucifera*, evidențiați la nivelul limbului foliar, reprezintă structuri foarte specializate, care intervin în acumularea și eliminarea ulterioară a excesului de săruri. Ei sunt răspândiți mai ales la reprezentanți ai familiei *Chenopodiaceae*, fiind formați dintr-o celulă-pedicel și una

veziculoasă, în care sunt acumulate sărurile, în vederea eliminării lor la suprafața limbului.

La nivelul limbului foliar de la specii de *Chenopodiaceae* am evidențiat aranjamente particulare ale țesuturilor, care definesc anumite tipuri de structuri, încadrate în denumirea generică de **Kranz anatomy**. Aceste structuri sunt corelate cu fotosinteza de tip  $C_4$ . Astfel, la *Atriplex tatarica* am descris tipul **atriplicoid**, adică o teacă de celule izodiametrice ce formează un strat mai mult sau mai puțin continuu în jurul fasciculelor vasculare. La *Petrosimonia oppositifolia*, *P. triandra* și *Camphorosma annua* am pus în evidență structuri de tip *Kranz anatomy* ce corespund tipului **kochioid**. Aceasta înseamnă, în linii mari, următoarea dispoziție a țesuturilor: epidermă (însoțită de hipodermă la *Camphorosma*), clorenchim extern (țesut palisadic), clorenchim intern (un strat de celule mai mult sau mai puțin cubice) și țesut acvifer central, în care este împlântat de regulă un fascicul conducător mare. Cele două zone de clorenchim sunt dispuse în straturi discontinue pe circumferința organului.

Am reliefat, la nivelul limbului foliar, **celule buliforme** (*Puccinellia distans*, *Juncus gerardii*, *Bolboschoenus maritimus*, *Carex distans*), implicate cel mai adesea în înrularea/derularea frunzelor în condiții de uscăciune. Dar, se pare, rolul lor este mai complex și mai subtil decât la prima vedere. Deși considerate un caracter de xerofitism, noi le-am evidențiat la specii de higro-halofite; am arătat cu acest prilej că relevant nu este un factor ecologic văzut stabil și invariabil, ci fluctuația acestuia pe parcursul unui sezon de vegetație, să spunem. Plantele enumerate mai sus le-am considerat „amfibii”, datorită capacității lor de a supraviețui și unor perioade de uscăciune a solului, ceea ce impune, în plus, și necesitatea unor xeromorfoze.

**Rozeta de frunze bazale** de la unele specii de halofite, precum: *Scorzonera cana* și *Plantago schwarzenbergiana* se dovedește a fi o strategie utilă, pentru a face față unui conținut ridicat de săruri; prin reînnoirea continuă a acestora și prin împiedicarea ulterioară a transportului de săruri în corpul plantei, se poate contura un mecanism simplu, dar eficient pentru a controla conținutul de săruri.

Cu acest prilej aducem completări și la *Flora R.P.R/R.S.R* referitoare la caracterul de perenitate al speciilor halofile de *Lepidium*: *L. crassifolium*, *L. perfoliatum*, *L. latifolium*. În unele situații, în lucrarea menționată, fie nu se pomenește nimic despre caracterul peren al speciei (*L. perfoliatum*), fie se precizează că este vorba despre o plantă perenă, fără a se aminti organul care conferă acest caracter (*L. crassifolium*, *L. latifolium*). Noi am evidențiat și investigat **rizomul**, organ ce conferă, de fapt, perenitatea acestor specii.



În general, din ce am reușit să investigăm, putem afirma că la halofite există unele **adaptări** evidente și bine consolidate, care le permit să supraviețuiască în medii hipersaline. Aceste trăsături caracterizează mai curând halofitele „obligate”, adică specii adaptate unor condiții de salinitate ridicată, specii care definesc cu predilecție sărăturile și care nu se găsesc pe alte tipuri de soluri, decât pe sărături. Aceste observații ne-au permis să formulăm o ipoteză a adaptărilor histo-anatomice „extreme” la halofite. Caracterele mai evidente și mai „spectaculoase”, puse în relație cu o halofilie pronunțată, au fost evidențiate la specii de halofite adaptate la condiții de salinitate sporită (și de regulă la specii care apar constant *numai* în sărături puternice). În acord cu aceste precizări putem numi aceste specii de halofite **extremohalofite**. Din contră, specii de halofite suportante, accidentale sau preferante nu au caractere histo-anatomice pe care să le putem corela, în mod foarte clar, cu factorul salinitate. Ele sunt mai degrabă supuse unor multiple influențe ale factorilor de mediu, printre care și salinitatea solului; dar acesta nu este factorul major care să fi indus sau să inducă adaptări spectaculoase; putem numi aceste specii **mezohalofite**.

Noi folosim și propunem acești termeni înainte de toate în sens etimologic: să considerăm o axă imaginară a salinității solului, care are un minim (corespunzând, să spunem, **glicofitelor**), o medie (mijlocul axei), corespunzând **mezohalofitelor** și un maxim (oricum relativ, niciodată absolut), corespunzând **extremohalofitelor**. Toate aceste categorii de halofite au, în consecință, trăsături mai mult sau mai puțin evidente față de factorul salinitate; ceea ce atestă, logic, dependența de intensitatea acestui factor: mai bine pronunțate în sensul salinității extreme și mai puțin evidente la capătul opus, în direcția *glicofiliei* (cum se poate observa în schema de la pagina 298).

Termenul de extremofil s-a aplicat până acum numai microorganismelor adaptate să supraviețuiască unor condiții extreme de trai (Rainey și Oren, 2006).

Această extrapolare de la microorganisme și caracterul lor extremofil la halofite este, înainte de toate, deschizătoare de noi drumuri. Întrebarea cea mai stringentă și îndrăzneță care se pune este dacă extremofilele actuale s-au adaptat doar recent la condiții extreme de trai, sau pot constitui, de fapt, vestigii ale unor tipuri străvechi de organisme care au evoluat în condițiile extreme ale Pământului primordial.

De fapt, studiul extremofilelor joacă un rol cheie în înțelegerea apariției și evoluției vieții, atât pe Pământ, cât și în întregul Univers unde condiții actuale de mediu simulează foarte bine condițiile arhaice ale Pământului.

Ca o concluzie finală, pe baza trăsăturilor morfo-anatomice ale halofitelor investigate de noi **am clasificat** halofitele, conform aşezării lor pe axa salinităţii, aşa cum putem observa din schema alăturată (pag. 298). *Chenopodiaceele* suculente sunt cele mai bine adaptate la condiţii de salinitate ridicată: *Salicornia*, *Suaeda*, *Halimione*, *Petrosimonia oppositifolia*, *P. triandra*. Ele sunt cel mai apropiate de conceptul de *extremohalofite*. Deoarece nu sunt întâlnite decât pe sărături (adesea chiar foarte puternice), putem să le catalogăm ca *extremohalofite ireversibile*.

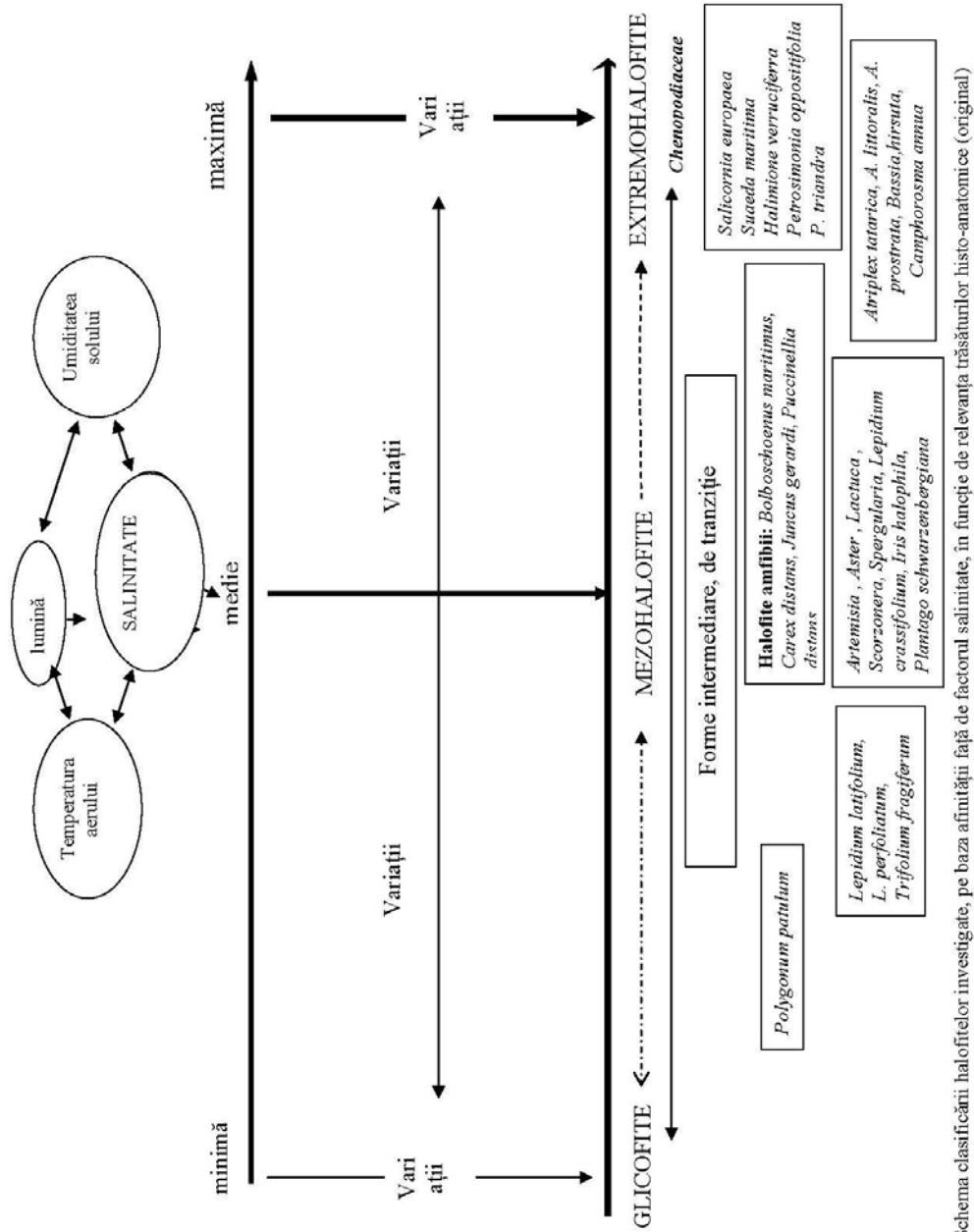
Puţin mai îndepărtat de extrema salinităţii am plasat pe: *Atriplex littoralis*, *A. prostrata*, *A. tatarica*, *Bassia hirsuta*, *Camphorosma annua*. Spectrul ecologic al acestora este ceva mai larg şi nu mai sunt atât de strict dependente de salinitatea crescută, ca celelalte specii de *Chenopodiaceae* enumerate mai sus. Deoarece aceste specii pot trece şi pe sărături (uneori pe nisipuri) mai puţin puternice, putem să le numim *extremohalofite reversibile*. Trebuie spus, de altfel, că familia *Chenopodiaceae*, din punct de vedere evolutiv-adaptativ, este considerată cea mai specializată faţă de factorul salinitate (Hansen, 1956) şi, în consecinţă, cuprinde genuri cu trăsături histo-anatomice foarte spectaculoase.

Ceva mai îndepărtat de acest punct maxim<sup>27</sup> al salinităţii am plasat halofitele amfibii (*Bolboschoenus maritimus*, *Carex distans*, *Juncus gerardi*, *Puccinellia distans*), care de regulă sunt halofite de locuri umede, dar care pot fi expuse şi uscăciunii, la nivelul părţilor subterane, în urma unor perioade de secetă. Ele rămân, totuşi, apropiate de *extremohalofite*; sub rezerva faptului că, pe parcursul acestor perioade de uscăciune rizosferică, sărurile se pot concentra mai mult, ceea ce reclamă strategii de supravieţuire.

Cam în acelaşi plan am încadrat şi speciile: *Artemisia santonicum*, *Scorzonera cana*, *Lactuca saligna*, *Plantago schwarzenbergiana*, de locuri mai uscate şi pe *Aster tripolium* şi *Spergularia media*, de locuri ceva mai umede; *Iris halophila* este o specie ce suportă atât un sol umed, cât şi unul uscat (celulele taninifere de la nivelul rizomului ar putea să asigure rezistenţa acestuia la putrezire, atunci când solul se poate colmata).

Aproape de mezohalofite şi mai îndepărtat de glicofite am plasat speciile *Lepidium latifolium*, *L. perfoliatum* şi *Trifolium fragiferum*; acestea pot suporta o salinitate scăzută, dar nu au trăsături neapărat „spectaculoase”, care să ateste dependenţa de salinitate.

<sup>27</sup> Termenii de minim, mediu şi maxim din schema pe care am realizat-o au o valoare didactică în primul rând, şi nu corespund neapărat realităţii. În esenţă, variaţiile factorilor de mediu imprimă acestor repere un veritabil caracter relativ.



Cel mai îndepărtat de salinitatea crescută pare să fie *Polygonum patulum*, o specie întâlnită mai degrabă accidental în sărături.

Schema de mai sus ilustrează, sintetic, și viziunea noastră asupra halofitelor, asupra clasificării lor ecologice, pe baza caracterelor histo-anatomice: speciile strict adaptate la salinitate prezintă adaptări mai clare și mai relevante față de un anumit factor; formele „intermediare” („de mijloc”) prezintă trăsături din ce în ce mai puțin pronunțate pe măsură ce ne îndepărtăm de „extremele” unui factor ecologic, în speță salinitatea solului.

## ABSTRACT

Salinisation is currently one of the biggest problems facing Earth agriculture. In a continuous increase of world population, obtaining of salt tolerant crops represents a true priority. Halophytes have been defined as salt-tolerant plants having therefore, cellular, biochemical, physiological and anatomical mechanisms allowing them to survive in high salinity conditions.

This work represents an anatomical and ecological monograph of halophyte species from Moldova (North-Eastern Romania), representing the results of investigations conducted over many years. Thus, 26 taxa were investigated; these species belong to different botanical families and constitute a heterogeneous group of plants collected from different saline – some dry, others wet habitats.

Ecological anatomy approach involves a correlation between structure and habitat, between certain well-defined anatomical adaptations and some environmental factors such as salinity, soil moisture or dryness. In some cases, finding such correlations has been proved facile, while in other cases, some anatomical adaptations remain controversial, because their function is not fully elucidated.

In the introductory part of the book, we have discussed some theoretical issues related to definition and classification of halophytes and the relationship between halophytes and salt stress, the latter one being one of the most intensely studied in plant biology field. We are keeping open the question whether anatomical adaptations of halophytes are the result of formative effect of salts, salt stress damage or an expression of positive adaptation, allowing plants to withstand in hypersaline environments.

The proper part of the work refers to the histo-anatomical study of halophyte species. Ecological interpretations were made whenever possible, in concordance with the evidenced and discussed structure. As a general rule, we have seen that in most cases, histo-anatomical features are logically linked to environmental factors, thus being the effect of environmental factors.

We found that taxa included in the *Chenopodiaceae* (*Atriplex littoralis*, *A. prostrata*, *A. tatarica*, *Camphorosma annua*, *Halimione verrucifera*, *Petrosimonia oppositifolia*, *P. triandra*, *Salicornia europaea*, *Suaeda maritima*) show successive cambia phenomenon on vegetative axial organs (root, stem) level. Regarded by many authors as a structural anomaly, the connection of this phenomenon with salinity factor remains unclear. Although the interpretation of this phenomenon is very difficult to be done in ecological and adaptive direction, because here is almost a

completely lack in some studies, so we tried, as a hypothesis, to explain this phenomenon. We have assumed that additional cambia phenomenon might be a mechanism involved in regulation of salt content, thus having an adaptive and ecologic significance. Certainly, it has been sometimes shown the fact that the intense lignification which is provided by the activity of successive cambia can be stimulated by salinity. Therefore, this could confer mechanical resistance of cells to high osmotic pressure of soil solution.

Halophyte species collected from wet habitats (*Aster tripolium* ssp. *pannonicus*, *Juncus grardi*, *Spergularia media*) present aerenchyma, especially in underground organs (rhizome, root). This feature is a common adaptation in species vegetating in such habitats, supplying the plant with oxygen during the possible hypoxia conditions.

Another interesting anatomical feature is a well developed endodermis, evidenced in some species (*Artemisia santonicum*, *Juncus gerardi*, *Lactuca saligna*, *Salicornia europaea*, *Suaeda maritima*, *Bolboschoenus maritimus*), on axial vegetative organs level. We have viewed this structure as a barrier that controls and limits the salt penetration in plant body.

Other adaptation, relatively common on halophytes and intensely discussed, is the shoot succulence. We have evidenced this feature, expressed by a water storage tissue and sometimes by a well-developed palisade tissue, in: *Salicornia europaea*, *Suaeda maritima*, *Petrosimonia oppositifolia*, *P. triandra* and *Spergularia media*. On halophyte species growing in wet habitats (*Suaeda*, *Salicornia*), the succulence ensures the erect position of plant and the potential dilution of toxic salts. In addition, the succulence can be induced and developed by chlorine ions as it is known that the two species listed above have been included in the chloruric plant associations. In xero-halophytes (*Petrosimonia oppositifolia* and *P. triandra*) the water storage tissues constitute, in the same time, a water reservoir needed in the dry seasons. Moreover, at these species, the succulence also facilitates the salt dilution, because in dry conditions salts become more concentrated in root zone.

Traheids occurring in succulent tissues of *Salicornia* are very interesting but also controversial structures. It is assumed that these tracheids are involved in plant water balance, salt tolerance, mechanical support and water or air storage. They are located among the palisade cells, approximately perpendicular to the epidermis, with no direct connection neither with epidermis, on the one hand, neither with vascular system of plant, on the other hand.

The vezicular, salt-secreting hairs (bladders) of *Atriplex tatarica* and *Halimione verrucifera*, evidenced in the leaf structure, are highly specialized structures, involved in the accumulation and subsequent removal of salts in excess. They are characteristic mainly in the *Chenopodiaceae*, and consist in a stalk-cell and a vezicular (bladder) cell, where salts are accumulated in order to be eliminated on leaf surface. The secretory pathway, chosen by many halophyte species (crynohalophytes) represents an important adaptive strategy in salt tolerant plants life.

Another adaptive mechanism related to the C<sub>4</sub> photosynthesis, is the so-called Kranz Anatomy configuration, in the leaf structure of some *Chenopodiaceae* species. Thus, we have described the atriplicoid sub-type on *Atriplex tatarica*, meaning that here is a sheath formed by izodiametric cells that form a layer more or less continuous around the vascular bundles. On *Petrosimonia opositifolia*, *P. triandra* and *Camphorosma annua* we have described the kochioid sub-type included in Kranz anatomy. This means, mainly, the following tissues disposition: epidermis (with hypodermis on *Camphorosma*), external chlorenchyma (palisade tissue), internal clorenchyma (a layer of more or less cubic cells) and central, water storage tissue in which usually here a great vascular bundle is located. The two chlorenchyma tissues are arranged in two discontinuous layers, around the leaf.

We have also evidenced bulliform cells (*Puccinellia distans*, *Juncus gerardi*, *Bolboschoenus maritimus*, *Carex distans*), at leaf epidermis level; these cells are mostly involved in leaves rolling in dry habitat conditions. But, apparently, their role is more complex and subtle than at first sight. Although they are considered a xerophytic character, we have evidenced them on hygro-halophyte species. In such a context, we think that here is not relevant to consider one single environmental factor, seen stable and fixed, but its fluctuation during one growing season. The plants listed above have been called amphibious halophytes, due to their ability to survive in dry soil conditions, and this real possibility requires, in addition, the presence of xeromorphic features.

In general, as a result of our investigations, we can say that there are some obvious anatomical adaptations of halophytes, well defined, enabling them to survive in hypersaline environments. These features characterize the „obligatory” halophytes – species adapted to high salinity conditions, which are strictly restricted to salty areas, and are not found on other soil types than the saline ones. These observations allowed us to formulate a hypothesis regarding the „extreme” adaptations of halophytes to salinity. The most evident and „spectacular” characters, linked to halophilous profile



were observed on halophyte species adapted to higher salinity conditions (and usually on the species that occur only in high salinized areas).

Following our investigations and given interpretations, we have proposed a new system of halophytes classification, based on the relevance of anatomical adaptations correlated with the intensity of environmental factors (most oftenly, soil salinity). Thus, the *Chenopodiaceae* succulent species best adapted to high salinity conditions (*Salicornia*, *Suaeda*, *Halimione*, *Petrosimonia oppositifolia* and *P. triandra*) were nominated as extremohalophytes; in addition, because they grow only in very salinized environments, we applied to them the term irreversible halophytes.

*Atriplex littoralis*, *A. prostrata*, *A. tatarica*, *Bassia hirsuta*, *Camphorosma annua* species, which have a large ecological spectrum and they are not so strictly related to increased salinity, were called by us as reversible halophytes. These species may also pass in less salinized environments.

The supporting, accidental or preferential halophytes which don't have histo-anatomical characters very clearly correlated to salinity factor were called mesohalophytes. They are more subjected to multiple influences of environmental factors, including soil salinity, but this is not the major factor inducing spectacular adaptations within this group of halophyte species. In the mesohalophytes group, the above mentioned amphibious halophytes could be included.

Our investigations and observations suggest that here is a relevant correlation between histo-anatomical features of halophytes and ecological factors of environments where they vegetate.

## BIBLIOGRAFIE

1. ADAMS P., THOMAS J.C., VERNON D.M., BOHNERT H. J., JENSEN R.G., 1992 – Distinct cellular and organismic responses to salt stress. *Plant Cell. Physiol.*, **33**: 1215-1223
2. ALBERNETHY G. A., FOUNTAIN D. W., MCMANUS M. T., 1998 – Observations on the leaf anatomy of *Festuca novae-zelandiae* and biochemical responses to a water deficit. *New Zeal. J. Bot.*, **36**, 1: 113-123
3. ALVAREZ J. M., ROCHA J. F., MACHADO S. R., 2003 – Ultrastructural aspects of bulliform cells in two Cerrado Grass species. *Proc. Of the XIX Congr. Brazil. Soc. Microscopy and Microanalysis* (abstract)
4. ALVAREZ J. M., ROCHA J. F., MACHADO S. R., 2008 – Bulliform cells in *Loudetiopsis chrysothrix* (Ness) Conert and *Tristachya leiostachya* Nees (Poaceae): Structure in relation to function. *Braz. Arch. Biol. Technol.*, **51**, 1: 113-119
5. AMZALLAG G. N. , 1994 – Influence of parental NaCl treatment on salinity tolerance of offspring in *Sorghum bicolor* (L.) Moench. *New Phytol.*, **128**: 715-723
6. AMZALLAG G. N., LERNER H. R., POJAKOFF-MAYBER, 1990 – Induction of increased salt tolerance in *Sorghum bicolor* by NaCl pretreatment. *J. Exp. Bot.*, **41**: 29-34
7. ANDERSON C. E., 1974 – A review of structure in several North Carolina salt marsh plants. In: *Ecology of Halophytes* (ed. by R. J. REIMOLD, W. H. QUEEN), Academic Press, New York, London: 307-344
8. ANDREI M., 1978 – *Anatomia plantelor*. Edit. Did. și Pedag., București
9. ANDREI M., 1997 – *Morfologia generală a plantelor*. Edit. Enciclop., București
10. ARESCHOUG F., 1878 – *Jemförande undersökningar öfver bladets anatomi*, Lunds Universitets Aarsskrift
11. ARRIAGA M. O., JACOBS W. L., 2006 – An anatomo-ecological experiment in *Austrostipa aristiglumis*, a lowland Stipoid species. *Telopea*, **11**, 2: 161-170
12. ARMSTRONG W., 1979 – Aeration in higher plants. *Adv. Bot. Res.*, **7**: 225-332 (abstract)
13. BARTELS DOROTHEA, SUNKAR R., 2005 – Drought and salt tolerance in plants. *Crit. Rev. Plant Sci.*, **24**: 23-58

14. BARY de, A., 1884 – *Comparative anatomy of the vegetative organs of the Phanerogams and Ferns*. Clarendon Press, Oxford
15. BATALIN A., 1884 – Wirkung des Chlornatriums auf die Entwicklung von *Salicornia herbacea* L. Bull. Congrès internat. St. Pétersburg
16. BAUMEISTER W., KLOOS G., 1974 – Über die Salzsekretion bei *Halimione portulacoides* (L.) Aellen. Flora, **163**: 310-326
17. BERCU RODICA, BAVARU ELENA, 2005 – Contribuții la cunoașterea anatomiei speciei *Salicornia europaea* L. (*Chenopodiaceae*). Lucr. Șt. Univ. Șt. Agr. Med. Vet. „Ion Ionescu de la Brad” Iași, ser. Hort., anul XLVII, **1**, 48: 625-630
18. BICKENBACH K., 1932 – Zur Anatomie und Physiologie einiger Strand und Dünenpflanzen. Beiträge zum Halophytenproblem. Beitr. Z. Biol. Pflanz., **15**: 334-370
19. BINZEL M.L., HESS F.D., BRESSAN R.A., HASEGAWA P. M., 1988 – Intracellular compartmentation of ions in salt adapted tobacco cells. Plant Physiol., **86**: 607-614
20. BLACK R. F., 1956 – Effect of NaCl in watercultures on the ion uptake and growth of *Atriplex hastata*. Australian J. Biol. Sci., **9**: 65-80
21. BOHNERT H.J., JENSEN R. G., 1996 – Strategies for engineering water-stress tolerance in plants. Trends Biotechnol., **14**: 89-97
22. BOHNERT H.J., BO S., 1999 – Transformation and compatible solutes. Scientia Hortic., **78**:237-260
23. BONNETT H. T., 1968 – The root endodermis: fine structure and function. J. Cell Biol., **37**: 199-205
24. BONNIER G., LECLERC DU SABLON L., 1905 – *Cours de Botanique. Phanérogames*. Librairie Générale de l'Enseignement, Paris
25. BOODLE L. A., 1904 – Succulent leaves in the Wall-Flower (*Cheiranthus cheiri*). New Phytol., **3**: 39-46
26. BRAUN Y., HASSIDIM M., LERNER H.R., REINHOLD L., 1986 – Studies on H<sup>+</sup> – translocating ATPase in plants of varying resistance to salinity. I. Salinity during growth modulates the proton pump in the halophyte *Atriplex nummularia*. Plant Physiol., **81**: 1050-1056
27. BRECKLE S.- W., 1995 – How do halophytes overcome salinity? In: *Biology of Salt Tolerant Plants* (ed. by M. A. KHAN, I. A. UNGAR), Department of Botany, University of Karachi, Pakistan: 199-213
28. BUCUR N., DOBRESCU C., TURCU GH., LIXANDRU GH., TEȘU C., DUMBRAVĂ I., AFUSOAI, 1957 – Contribuții la studiul halofiliei plantelor din pășuni și fânețe de sărătură din Depresiunea Jijia-Bahlui (partea a I-a). Stud. și Cerc. (Biol. și Șt. Agric.) Acad.R.P.Române, filiala Iași, **8**, 2: 277-317

29. BUCUR N., DOBRESCU C., TURCU GH., LIXANDRU GH., TEȘU C., 1960 – Contribuții la studiul halofiliei plantelor din pășuni și fânețe de sărătură din Depresiunea Jijia-Bahlui (partea a II-a). Stud. și Cerc. (Biol. și Șt. Agricole) Acad. R.P.Române, filiala Iași, **11**, 2: 333-347
30. BUCUR N., DOBRESCU C., TURCU GH., LIXANDRU GH., TEȘU C., 1961 – Contribuții la studiul halofiliei plantelor din pășuni și fânețe de sărătură din Depresiunea Jijia-Bahlui (partea a III-a). Stud. și Cerc. (Biol. și Șt. Agricole) Acad. R.P.R., filiala Iași, **12**, 1: 169-190
31. BURDUJA C., TONIUC ANGELA, 1984 – Données céno-écologiques et histo-anatomiques sur les espèces *Juncus acutus* L. et *J. maritimus* Lam. Acta Botanica Horti Bucurestiensis. Volum omagial dedicat Centenarului Herbarului Grădinii Botanice București: 93-96
32. CAROLIN R. C. S., JACOBS W. L., WESK M., 1975 – Leaf structure in *Chenopodiaceae*. Bot. Jahrb. Syst. Pflanzen. Pflanzengeographie, **95**: 226-255
33. CARLQUIST S., 1975 – Wood anatomy of *Onagraceae*, with notes on alternative modes of photosynthate movement in dicotyledonous woods. Ann. Missouri Bot. Garden., **62**: 386-424
34. CARLQUIST S., 2002 – Wood anatomy and successive cambia in *Simmondsia* (*Simmondsiaceae*): evidence for inclusion in *Caryophyllales* S. L., Madrono, **49**, 3: 158-164
35. CARLQUIST S., 2003 – Wood and stem anatomy of woody *Amaranthaceae* S. S.: Ecology, systematics and the problems of defining rays in dicotyledons. Bot. J. Linn. Soc., **143**: 1-19
36. CARLQUIST S., 2007 – Successive cambia revisited: ontogeny, histology, diversity, and functional significance. J. Torrey Bot. Soc., **134**, 2: 301-332
37. CASAS A. M., BRESSAN R.A., HASEGAWA P. M., 1991 – Cell growth and water relations of the halophyte *Atriplex nummularia* L., in response to NaCl. Plant Cell Rep., **10**: 81-84
38. CHAPMAN V. J., 1937 – Note on a dune drainage system. Mem. Proc. Manch. Lit. and Phil. Soc., **81**; 77-85
39. CHAPMAN V. J. , 1942 – The new perspective in the halophytes. Quart. Rev. Biol., **17** (4); 291-311
40. CHAPMAN V. J., 1960 – *Salt marshes and salt deserts of the world*. Plant Science Monographs, Interscience Publishers, Inc., New York
41. CHERMEZON H., 1910 – Recherches anatomiques sur les plantes littorales. Ann. Sci. Nat., sér.9, Bot., **20**: 117-129, 270-274, 299-307
42. CHIFU T., MÂNZU C., ZAMFIRESCU O., ȘURUBARU B., 2001 – *Botanică Sistematică. Cormobionta*, Edit. Univ. „Al. I. Cuza” Iași

43. CIOCĂRLAN V., 2009 – *Flora ilustrată a României*. Edit. Ceres, București
44. CLARKSON D. T., ROBARDS A. W., 1975 – The endodermis, its structural development and physiological role. In: *The development and function of roots* (ed. by J. G. TORREY, D. T. CLARKSON), Academic Press, London: 415-436
45. CLARKSON D. T., ROBARDS A. W., SANDERSON J., PETERSON C. A., 1978 – Permeability studies on epidermal-hypodermal sleeves isolated from roots of *Allium cepa* (onion). *Can. J. Bot.*, **56**: 1526-1532
46. CLARKSON D. T., ROBARDS A. W., STEPHENS J. E., STARK M., 1987 – Suberin lamellae in the hypodermis of maize (*Zea mays*) roots: development and factors affecting the permeability of hypodermal layers. *Plant Cell and Environ.*, **10**: 83-93
47. CLEMENTS F. E., 1920 – *Plant indicators. The relation of Plant Communities to process and practice*. Carnegie Institution of Washington
48. COOIL B.J., de la FUENTE R.K., de la PENA R.S., 1965 – Absorption and transport of sodium and potassium in squash. *Plant. Physiol.*, **40**: 625-632
49. COLMER T. D., 2003 – Long-distance transport of gases in plants: a perspective on internal aeration and radical oxygen loss from roots. *Plant, Cell and Environ.*, **26**: 17-36
50. COLMER T. D., FLOWERS T. J., 2008 – Flooding tolerance in halophytes. *New Phytol.*, **179**: 964-974
51. COOKE F. W., 1911 – Observations on *Salicornia australis*. *Trans. Proc. New Zeal. Inst.*, **44**: 349-362
52. COOPER A., 1982 – The effects of salinity and waterlogging on the growth and cation uptake of salt marsh plants. *New Phytol.*, **90**: 263-275
53. CROSS B. D., 1909 – Observations on some New Zealand halophytes. *Trans. Proc. New Zeal. Inst.*, **42**: 545-574
54. CUTLER D. F., 1969 – *Anatomy of the Monocotyledons. IV. Juncales*. Clarendon Press, Oxford
55. DANGEARD P. A., 1888 – Note sur la gaine foliaire des *Salicornieae*. *Bull. Soc. Bot. France*, **35**: 157-160
56. DAVIDESCU D., CALANCEA L., DAVIDESCU VELICIA, LIXANDRU GH., ȚÂRDEA C., 1981 – *Agrochimie*. Edit. Did. și Pedag., București
57. DICKISON W. C., 2000 – *Integrative Plant anatomy*, Harcourt Academic Press, Sandiego, San Francisco, New York, Boston, London, Toronto, Sydney, Tokyo

58. DUVAL-JOUE M., 1868 – Des *Salicornia* de l'Hérault. Observations anatomiques et morphologiques. Bull. Soc. Bot. France, **15**: 132-140
59. ELEFThERIOU E. P., NOISTAKIS B., 1978 – A comparative study on the leaf anatomy of the grasses *Andropogon ischaemum* and *Chrysopogon gryllus*. Phytol., **19**: 27-36
60. ELLENBERG H., 1974 – *Zeigerwerte der Gefasspflanzen Mitteleuropas*. 5 Scripta Geobotanica, **9**: 7-97
61. ELLIS R. P., 1976 – A procedure for standardizing comparative leaf anatomy in the Poaceae. I. The leaf-blade as viewed in transverse section. Bothalia, **12**: 65-409 (abstract)
62. ENSTONE D. E., PETERSON C. A., 1997 – Suberin deposition and band plasmolysis in the corn (*Zea mays* L.) root exodermis. Can. J. Bot., **75**: 1188-1199
63. ENSTONE D. E., PETERSON C. A., 1998 – Effects of exposure to humid air on epidermal viability and suberin deposition in maize (*Zea mays* L.) roots. Plant Cell and Environ., **21**: 837-844
64. ESAU K., 1965 – *Plant anatomy* (second edition). John Wiley and Sons, New York, London, Sydney
65. ESAU K., CHEADLE V. I., 1969 – Secondary growth in *Bougainvillea*. Ann. Bot., **33**: 807-819
66. ESHEL Y., WAISEL Y., 1965 – The salt relations of *Prosopis farcta* (Banks et Sol.). Eig. Israel. J. Bot., **14**: 50-51
67. FAHN A., 1963 – The fleshy cortex of articulated *Chenopodiaceae*. J. Indian Bot. Soc., **42A**: 39-45
68. FAHN A., 1964 – Some anatomical adaptations of desert plants. Phytomorphology, **14**: 93-102
69. FAHN A., 1988 – Secretory tissues in vascular plants. New. Phytol., **108**: 229-257
70. FAHN A., ARZEE T., 1959 – Vascularization of articulated *Chenopodiaceae* and the nature of their fleshy cortex. Am. J. Bot., **46**: 330-338
71. FAHN A., ZIMMERMANN M.H., 1982 – Development of the successive cambia in *Atriplex halimus* (Chenopodiaceae). Bot. Gaz., **143**, 3: 353-357
72. FISHER D. D., SCHENK H. J., THORSCH J. A., FERREN W. R. Jr., 1997 – Leaf anatomy and subgeneric affiliation of C<sub>3</sub> and C<sub>4</sub> species of *Suaeda* (Chenopodiaceae) in North America. Am. J. Bot., **84** (9): 1198-1210
73. FLEET D. S. van, 1961 – Histochemistry and function of the endodermis. Bot. Rev., **27**: 165-220

74. FLOWERS T.J., HAJIBAGHERI M.A., CLIPSON N.J.W., 1986 – Halophytes. *Quarterly Rev. Biol.*, **61**: 313-337
75. FLOWERS T. J., YEO A. R., 1995 – Breeding for salinity resistance in crop plants: where next? *Austral. J. Plant Physiol.*, **22**: 875-884
76. FLOWERS T. J., COLMER T. D., 2008 – Salinity tolerance in halophytes. *New Phytol.*, **179**: 945-963
77. FRAINE E. de, 1912 – The anatomy of the genus *Salicornia*. *Linn. J. Bot. Soc.*, **41**: 317-348
78. FRANCESCHI V. R., HORNER H. T., 1980 – Calcium oxalate crystals in plants. *Bot. Rev.*, **46** (4): 361-427 (abstract)
79. FREITAS H., BRECKLE S.-W., 1993a – Progressive cutinization in *Atriplex* bladder stalk cells. *Flora*, **188**, 3: 287-290.
80. FREITAS H., BRECKLE S.-W., 1993b – Accumulation of nitrate in bladder hairs of *Atriplex* species. *Plant. Physiol. and Biochem.*, **31**: 887-892
81. FREY W., KÜRSCHNER H., 1983 – Photosyntheseweg und Zonierung von Halophyten an salzseen in der Türkei, in Jordanien und in Iran. *Flora*, **173**: 293-310
82. FREY-WYSSLING A., 1935 – *Die Stoffausscheidung der Hoheren Pflanzen*. Verlag von Julius Springer, Berlin
83. GAMALEY I. B., 1985 – Variații kranț – anatomii u rastenij pustyni Gobi i Karakumi (The variations of the Kranz-anatomy in Gobi and Karakum plants). *Bot. J. SSSR*, **70**: 1302-1314
84. GARTWAITE A. J., von BOTHMER R., COLMER T. D., 2003 – Diversity in root aeration traits associated with waterlogging tolerance in the genus *Hordeum*. *Funct. Plant Biol.*, **30**: 875-889
85. GARTWAITE A. J., ARMSTRONG W., COLMER T. D., 2008 – Assessment of O<sub>2</sub> diffusivity across the barrier to radial O<sub>2</sub> loss in adventitious roots of *Hordeum marinum*. *New Phytol.*, **179**: 405-416
86. GIBBS J., GREENWAY H., 2003 – Mechanisms of anoxia tolerance in plants. I. Growth, survival and anaerobic catabolism. *Funct. Plant Biol.*, **30**: 1-47 (abstract)
87. GINZBURG C., 1966 – Xerophytic structures in the roots of desert plants. *Ann. Bot.*, **30** 119: 403-418
88. GLENN E. P. , BROWN J. J., BLUMWALD E., 1999 – Salt tolerance and crop potential of halophytes. *Crit. Rev. Plant Sci.*, **18**: 227-255
89. GORENFLOT R., 1994 – *Biologie végétale. Plantes supérieures. 1. Appareil végétatif (ed. 4)*. Ed. Masson, Paris
90. GREENWAY H., THOMAS D.A., 1965 – Plant response to saline substrates. V. Chloride regulation in the individual organs of *Hordeum vulgare* during treatment with sodium chloride. *Austral. J. Biol. Sci.*, **18**:



- 505- 524
91. GREENWAY H., MUNNS R., 1980 – Mechanisms of salt tolerance in nonhalophytes. *Ann. Rev. Plant Physiol.*, **31**: 149-190
  92. GRIGORE M. N., 2008a – *Halofitotaxonomia. Lista plantelor de sărătură din România*. Edit. Pim, Iași
  93. GRIGORE M. N., 2008b – *Introducere în Halofitologie. Elemente de anatomie integrativă*. Edit. Pim, Iași
  94. GRIGORE M. N., TOMA C., 2005 – Contributions to the knowledge of the anatomical structure of some halophytes (I). *Stud. Cerc. St., Univ. Bacău, ser. Biol.*, **10**: 125-128
  95. GRIGORE M. N., TOMA C., 2006a – Ecological anatomy elements related to *Asteraceae* halophytes species. *Stud. Com. Muz. Șt. Nat. „Ion Borcea” Bacău*, **21**: 94-98
  96. GRIGORE M. N., TOMA C., 2006b – Evidencing the successive cambia phenomenon on some halophyllous representatives among *Chenopodiaceae* and its possible ecological-adaptive implications. *Stud. Com. Muz. Șt. Nat. „Ion Borcea” Bacău*, **21**: 87-93
  97. GRIGORE M. N., TOMA C., 2007a – Histo-anatomical strategies of *Chenopodiaceae* halophytes: adaptive, ecological and evolutionary implications. *WSEAS Transactions on Biology and Biomedicine*, **12**, 4: 204-218
  98. GRIGORE M. N., TOMA C., 2007b – Aspects on the ecological and functional anatomy of some halophyte species from the *Chenopodiaceae* family. *Proceedings of The 1<sup>st</sup> International Conference ENVIRONMENT – NATURAL SCIENCES- FOOD INDUSTRY IN EUROPEAN CONTEXT*. Baia Mare, November 16<sup>st</sup>-17<sup>st</sup> 2007: 257-264
  99. GRIGORE M. N., TOMA C., 2007c – Histo-anatomical investigations in some halophyte species of Moldavia. *Proceedings of The 1<sup>st</sup> International Conference ENVIRONMENT – NATURAL SCIENCES – FOOD INDUSTRY IN EUROPEAN CONTEXT*. Baia Mare November 16<sup>st</sup>-17<sup>st</sup> 2007: 239-244
  100. GRIGORE M. N., TOMA C., 2008a – A histo-anatomical study on some halophyllous species of the *Lepidium* genus. *Studia Univ. “Vasile Goldiș”, ser. Șt. Vieții (Life Sciences series)*, **18**: 27-31
  101. GRIGORE M. N., TOMA C., 2008b – Ecological anatomy of halophyte species from the *Chenopodiaceae* family. *Advanced Topics on Mathematical Biology and Ecology (Proceedings of the 4<sup>th</sup> WSEAS International Conference on Mathematical Biology and Ecology – MABE '08, Acapulco, Mexico, January 25-27, 2008)*: 62- 67
  102. GRIGORE M. N., TOMA C., 2008c – Polymorphic histo-anatomical

- adaptations of halophytes under different natural stress factors. *Physiol. Plant.*, **133**, 3 (abstract)
103. GRIGORE M. N., TOMA C., 2008d – Ecological anatomy investigation related to some halophyte species from Moldavia. *Rom. J. Biol. Plant Biol.*, **53**, 1: 23-30
  104. GUȘULEAC M., 1933 – Urme de vegetație halofilă în Bucovina. *Bul. Fac. Șt. Cernăuți*, **7**, 1-2: 329-339
  105. HABERLANDT G., 1914 – *Physiological plant anatomy*. Macmillan and Co, London
  106. HAGEGE D., KEVERS C., BOUCAUD J., GASPAR T., 1988 – Activités peroxydasiques, production d'éthylène, lignification et limitation de croissance chez *Suaeda maritima* cultivé en l'absence de NaCl. *Plant. Physiol. and Biochem.*, **26**: 609-614
  107. HAJIBAGHERI M. A., HARVEY D. M. R., FLOWERS T. J., 1987 – Quantitative ion distribution within root cells of salt-sensitive and salt-tolerant maize varieties. *New Phytol.*, **105**: 367-379
  108. HALKET A.C., 1928 – The morphology of *Salicornia* – an abnormal plant. *Ann. Bot.*, **42**: 523-530
  109. HANSEN H. M., 1956 – *Life forms as age indicators*, A. Rasmussens Bogtrykkeri, Ringkjøbing
  110. HASEGAWA P.M., BRESSAN R. A., ZHU J.-K., BOHNERT H. J., 2000 – plant cellular and molecular responses to high salinity. *Ann. Rev. Plant. Physiol. Plant Mol. Biol.*, **51**: 463-499
  111. HASSIDIM M., BRAUN Y., LERNER H. R., REINHOLD L., 1990 –  $\text{Na}^+/\text{H}^+$  and  $\text{K}^+/\text{H}^+$  antiport in root membrane vesicles isolated from the halophyte *Atriplex* and the glycophyte cotton. *Plant Physiol.*, **94**: 1795-1801
  112. HAYWARD H.E., 1967 – *The structure of economic plants*. Verlag J. Cramer, New York
  113. HENSLOW G., 1895a – The origin of Plant-Structures by Self-Adaptation to the environment, exemplified by Desert or Xerophilous plants. *J. Linn. Soc. Bot.*, **30**: 218-263
  114. HENSLOW G., 1895b – *The origin of Plant-Structures by Self-Adaptation to the environment*. London, Kegan Paul, Trench, Trübner, & Co, Ltd, Paternoster House, Charing Cross Road
  115. HÉRAIL J., 1885 – Recherches sur l'anatomie comparée de la tige des Dicotylédones. *Ann. Sci. Nat., sér. 7, Bot.*, **12**: 203-314
  116. HESS W. M., HANSEN D. J., WEBER D. J., 1975 – Light and electron microscopy localization of chloride ions in cells of *Salicornia pacifica* var. *utahensis*. *Can. J. Bot.*, **53**: 1176-1187

117. HILL T. G., HANLEY J. A., 1914 – The structure and water content of shingle beaches. *Journ. Ecol.*, **2**: 21-38
118. HOLMBERG N., BULOW L., 1998 – Improving stress tolerance in plants by gene transfer. *Trends Plant Sci.*, **3**: 61-66
119. INGOLD A., HAVILL D. C., 1984 – The influence of sulphide on the distribution of higher plants in salt marshes. *J. Ecol.*, **72**: 1043-1054
120. IVERSEN J., 1936 – *Biologische Pflanzentypen als Hilfsmittel in der Vegetationsforschung*. Dissertation, Medd. fra Skalling Laboratoriet, Copenhagen
121. JACOBS S.W.L., 2001 – Review of leaf anatomy and ultrastructure in the *Chenopodiaceae* (*Caryophyllales*). *J. Torrey Bot. Soc.*, **128**: 236-253
122. JACOBY B., 1964 – Function of bean roots and stems in sodium retention. *Plant. Physiol.*, **39**: 445-449
123. JACOBY B., 1965 – Sodium retention in excised bean stems. *Physiol. Plant.*, **18**: 730-779
124. JAMES L., KYHOS D.W., 1961- The nature of fleshy shoot of *Allenrolfea* and allied genera. *Am. J. Bot.*, **48**: 101-108
125. JANE W. N., CHIANG S.H. T., 1991 – Morphology and development of bulliform cells in *Arundo formosana* Hack., Taiwan, **36**: 85-97
126. JBIR N., CHAIBI W., AMMAR S., JEMMALI A., AYADI A., 2001 – Effet du NaCl sur la croissance et la lignification des racines de deux espèces de blé différant par leur sensibilité au sel *Comp. Rend. Acad. Sci. Paris (series III), Sci. de la Vie*, **324**, 9: 863-868
127. JENNINGS D.H., 1976 – The effect of sodium chloride on higher plants. *Biol. Rev.*, **51**: 453-486
128. JESCHKE W. D., KLAGGES S., HILPERT A., BHATTI A. S., SARWAR G., 1995 – Partitioning and flows of ions and nutrients in salt-treated plants of *Leptochloa fusca* L. Kunth. 1. Cations and chloride. *New Phytol.*, **130**: 23-35
129. JUSTIN S. H. F. W., ARMSTRONG W., 1987 – The anatomical characteristics of roots and plant response to soil flooding. *New Phytol.*, **106**: 465-495
130. KEARNEY T. H., 1904 – Are plants of sea and dunes true halophytes? *Bot. Gaz.*, **37**: 424-436
131. KEIFFER C. H., MCCARTHY B. C., UNGAR I. A., 1994 – Effect of salinity and waterlogging on growth and survival of *Salicornia europaea* L., an inland halophyte. *Ohio J. Sci.*, **94**, 3: 70-73
132. KESHAVARZI MARYAM, ZARE G., 2006 – Anatomical study of *Salicornieae* Dumort. (*Chenopodiaceae* Vent.) native to Iran. *Int. J. Bot.*, **2**, 3: 278- 285

133. KHAN M. A., DUKE N.C., 2001 – Halophytes – a resource for the future. *Wet. Ecol. Management*, **6**: 455-456
134. KOZLOWSKI T.T., 1997- Response of woody plants to flooding and salinity. *The Physiology Monograph*, **1**: 1-29
135. KOYRO H.- W., GEISSLER N., HUSSIN S., HUCHZERMEYER B., 2006 – Mechanisms of cash crop halophytes to maintain yields and reclaim saline solis in arid areas. In: *Ecophysiology of high salinity tolerant plants* (ed. by M. A. KHAN, D. J. WEBER), Springer: 345-366
136. LARHER I. A., STEWART G. R., 1979 – Sorbitol, a compatible osmotic solute in *Plantago maritima*. *New Phytol.*, **82**: 671-678
137. LEISLE F.F., 1949 – K ekologii i anatomii galofitov i kserofitov s reduțirovanii listiami (Ecologia și anatomia unor halofite și xerofite cu frunze reduce). *Bot. J. SSSR.*, **34**, 3: 253-266
138. LESAGE P., 1890 – Recherches expérimentales sur les modifications des feuilles chez les plantes maritimes. *Rev. Gén. Bot.*, **2**: 55-65,106-121, 163-173
139. LI S., and SHOWALTER A. M., 1996 – Immunolocalization of extension and potato tuber lectin in carrot, tomato, and potato. *Physiol. Plant.*, **97**: 708-718
140. LÜTTGE U., 1971 – Structure and function of plant glands. *Ann. Rev. Plant. Physiol.*, **22**: 23-44
141. MAHALL B. E., PARK R. B., 1976 – Ecotone between *Spartina foliosa* Trin and *Salicornia virginica* L. in salt marshes of Northern San Francisco Bay. 3. Sol aeration and tidal immersion. *J. Ecol.*, **64**: 811-819
142. MANGIN L., 1882 – Sur le development des cellules spiralées. *Bull. Soc. Bot. France.*, **29**: 14-17
143. MARCUM K. B., 2001 – Growth and physiological adaptations of grasses to salinity stress. In *Handbook of Plant and Crop Physiology*, second edition (ed. by M. PESSARAKLI), Marcel Dekker, Inc., New York, Basel: 623-636
144. MARSCHNER H., 2002 – *Mineral nutrition of higher plants* (second edition), Academic Press, San Diego
145. MATEU A. I., 1989 – Anatomia foliar en plantas de saladares mediterraneos costeros. *Dicotyledoneas. Candollea*, **44**: 435-452 (abstract)
146. McDOUGALL W. B., 1941 – *Plant Ecology* (third edition), Lea & Febiger, Philadelphia
147. METCALFE C.R., CHALK L., 1950, 1972 – *Anatomy of the Dicotyledons*. Clarendon Press, Oxford, **2**: 1075-1084
148. METCALFE C. R., 1960, 1971 – *Anatomy of the Monocotyledons. I. Gramineae, V. Cyperaceae*. Clarendon Press, Oxford

149. MILE O., MESZAROS I., VERES SZ., LAKATOS G., 2002 – Ecophysiological study on the salt tolerance of a pannonian endemism (*Lepidium crassifolium* (W. et K.)) in inland saline area. *Acta Biol. Szeged.*, **46**, 3-4: 249-250
150. MITTLER R., 2006 – Abiotic stress, the field environment and stress combination. *Trends Plant Sci.*, **11**: 15-19
151. MONTEIL P., 1906 – *Anatomie comparée de la feuille des Chénopodiacées*, Thèse, Ecole Supérieure de Pharmacie, no. 9, Université de Paris
152. MOȚIU TAMARA, TOMA C., TIRON ANA, NIȚĂ MIHAELA, 1987 – Contribuții la cunoașterea structurii organelor vegetative de *Limonium gmelinii* (Willd.) O. Ktze. *An. Șt. Univ. „Al. I. Cuza” Iași*, s. IIa (Biol. Veget.), **33**: 11-14
153. MOZAFAR A., GOODIN J. R., OERTLI J. J., 1970 – Na and K interaction in increasing the salt tolerance of *Atriplex halimus* L. I. Yield characteristics and osmotic potential. *Agron. J.*, **62**: 478-481
154. MUHAIDAT R., SAGE R. F., DENGLER N. G., 2007 – Diversity of Kranz anatomy and biochemistry in C<sub>4</sub> eudicots. *Am. J. Bot.*, **94**, 3: 362-381
155. MUNNS R., 2002 – Comparative physiology of salt and water stress. *Plant Cell and Environ.*, **25**: 239-250
156. MUNNS R., 2005 – Genes and salt tolerance bringing them together. *New Phytol.*, **167**: 645-663
157. MUNNS R., TESTER M., 2008 – Mechanisms of salinity tolerance. *Ann. Rev. Plant Biol.*, **59**: 651-681
158. MURARIU ALEXANDRINA, 2007 – *Fiziologie vegetală*. **2**, Edit. Univ. „Al. I. Cuza”, Iași
159. NAGAHASHI G., THOMSON W. W., LEONARD R. T., 1974 – The Casparian strip as a barrier to the movement of lanthanum in corn roots. *Science*, **183**: 670-671 (abstract)
160. NAPP-ZINN KL., 1973,1974 – *Anatomie des Blattes. II. Angiospermen*. In *Handbuch der Pflanzenanatomie, VIII, 2 A<sub>1-2</sub>*, Gebrüder Borntraeger, Berlin, Stuttgart
161. NAPP-ZINN KL., 1988 – *Anatomie des Blattes. II. Angiospermen, 2 B. Experimentelle und ökologische Anatomie des Angiospermenblattes*. In *Handbuch der Pflanzenanatomie, VIII, 2B*, Gebrüder Bontraeger, Berlin, Stuttgart
162. NAWAZISH S., HAMEED M., NAURIN S., 2006 – Leaf anatomical adaptations of *Cenchrus ciliaris* L. from the Salt Range, Pakistan against drought stress. *Pakistan J. Bot.*, **38**, 5: 1723-1730

163. NIU X., BRESSAN R. A., HASEGAWA P. M., PARDO J. M., 1995 – Ion homeostasis in NaCl stress environments. *Plant Physiol.*, **109**: 735-742
164. NIU X., NARASIMHAN M. L., SALZMAN R. A., BRESSAN R. A., HASEGAWA P. M., 1993 – NaCl regulation of plasma membrane H<sup>+</sup> – ATPase gene expression in a glycophyte and a halophyte. *Plant Physiol.*, **103**: 713-718
165. NUCCIO M. L., RHODES D., McNEIL S. D., HANSON A. D., 1999 – Metabolic engineering of plants for osmotic stress resistance. *Curr. Opin. Plant Biol.*, **2**: 128-134
166. OOSTING H. J., 1948 – *The study of plant communities. An introduction to Plant Ecology*. W. H. Freeman and Company, San Francisco, California
167. OSMOND C. B., 1963 – Oxalates and ionic equilibria in Australian saltbushes (*Atriplex*). *Nature (London)*, **198**: 503-504
168. OSMOND C. B., 1967 – Acid metabolism in *Atriplex*. I. Regulation of oxalate synthesis by the apparent excess cation absorption in leaf tissue. *Austral. J. Biol. Sci.*, **20**: 575-587
169. PASTERNAK D., 1990 – *Fodder production with saline water*. The Institute for applied research, Beer-Sheva/Israel: Ben Gurion University of the Negev
170. PĂTRUȚ D. I., POP ADELINA, IOAN C., 2005 – *Biodiversitatea halofitelor din Câmpia Banatului*. Edit. Eurobit, Timișoara
171. PEARSON J., HAVILL D.C., 1988 – The effect of hypoxia and sulphide on culture-grown wetland and non-wetland plants. I. Growth and nutrient uptake. *J. Exp. Bot.*, **39**: 363-374
172. PETERSON C. A., MURRMANN M., STEUDLE E., 1993 – Location of the major barriers to water and ion movement in young roots of *Zea mays* L. *Planta*, **190**: 127-136
173. PIRWITZ K., 1931 – Physiologische und anatomische Untersuchungen an Speichertracheiden und Velamina. *Planta*, **14**: 19-76
174. POLIĆ D., LUKOVIĆ J., ZORIĆ L., BOŽA P., MERKULOV L., KNEŽEVIĆ A., 2009 – Morpho-anatomical differentiation of *Suaeda maritime* (L.) Dumort. 1827. (*Chenopodiaceae*) populations from inland and maritime saline area. *Centr. Eur. J. Biol.*, **41**, 1: 117-129
175. POLJAKOFF-MAYBER A., 1975 – Morphological and anatomical changes in plants as a response to salinity stress. In: *Plants in saline environments*, (ed. by A. POLJAKOFF-MAYBER, J. GALE), Springer Verlag, Berlin, Heidelberg, New York: 97-117
176. POLJAKOFF-MAYBER A., GALE J., 1975a – *Plants in saline environments*. Springer-Verlag, Berlin, Heidelberg, New York

177. PONT F. M. du, LEONARD R. T., 1977 – The use of lanthanum to study the functional development of the Casparian strip in corn roots. *Protoplasma*, **91**: 315-323
178. PRAT K., 1948 – General features of the epidermis in *Zea mays*. *Ann. Missouri. Bot. Garden.*, **35**: 341-351 (abstract)
179. PRODAN I., 1939 – *Flora pentru detrmnarea și descrierea plantelor ce cresc în România*. II. (ediția a II-a). Edit. Cartea Românească, Cluj-Napoca: 253-305
180. PYANKOV V., VOZNESENSKAYA V., KONDRATSCHUK ALEXANDRA V., BLACK C. C., 1997 – A comparative anatomical and biochemical analysis in *Salsola* (*Chenopodiaceae*) species with and without a Kranz type leaf anatomy: a possible reversion of C<sub>4</sub> to C<sub>3</sub> photosynthesis. *Am. J. Bot.*, **84**, 5: 597-606
181. PYANKOV V., ARTYUSHEVA E.G., EDWARDS G.E., BLACK C. C. Jr., SOLTIS P. I., 2001 – Phylogenetic analysis of tribe *Salsoleae* (*Chenopodiaceae*), based on ribosomal ITS sequences: implications for the evolution of photosynthesis types. *Am. J. Bot.*, **88**, 7: 1189-1198
182. PYYKKÖ M., 1966 – The leaf anatomy of East Patagonian xeromorphic plants. *Ann. Bot. Fennici*, **3**, 3: 453-622
183. RAINEY F. A., OREN A., 2006 – *Methods in Microbiology*, vol. 35: *Extremophiles*. Academic Press, Amsterdam, Boston, Heidelberg, London, New York, Oxford, Paris, San Diego, San Francisco, Singapore, Sydney, Tokyo
184. RAJPUT K. S., KARUMANCHI S. RAO, 2003 – Cambial variant and xylem structure in the stem of *Cocculus hirsutus* (*Menispermaceae*). *IAWA J.*, **24**, 4: 411-420
185. RAMADE F., 1994 – *Éléments d'écologie. Écologie fondamentale* (ed. 2), Ediscience International, Paris
186. REINHARDT D. H., ROST T. L., 1995 – Salinity accelerates endodermal development and induces an exodermis in cotton seedling roots. *Environ. Exp. Bot.*, **35**: 563-574
187. RISTIC Z., CASS D. D., 1991 – Leaf anatomy of *Zea mays* L. in response to water shortage and high temperature: a comparison of drought-resistant and drought-sensitive lines. *Bot. Gaz.*, **152**, 2: 173-185
188. ROTONDI A., ROSSI F., ASUNIS C., CESARACCIO C., 2003 – Leaf xeromorphic adaptations of some plants of a coastal Mediterranean macchia ecosystem. *J. Medit. Ecol.*, **4**, 3-4: 23-35
189. SAADEDDIN R., DODDEMA H., 1986 – Anatomy of the 'Extreme' halophyte *Arthrocnemum fruticosum* (L.) Moq. in relation to its physiology. *Ann. Bot.*, **57**: 531-544

190. SAGE R. F., LI M., MONSON R. K., 1999 – The taxonomic distribution of C<sub>4</sub> photosynthesis. In *C<sub>4</sub> Plant Biology* (ed. by R. F. SAGE, R. K. MONSON), Academic Press, San Diego, London, Boston, New York, Sydney, Tokyo, Toronto: 551-584
191. SAIRAM R. K., TYAGI A., 2004 – Physiology and molecular biology of salinity stress tolerance in plants. *Curr. Sci.*, **86**: 407-421
192. SAM O., JEREZ E., DELL'AMICO J., RUIZ-SANCHEZ M. C., 2000 – Water stress induced changes in anatomy of tomato leaf epidermis. *Biol. Plant.*, **43**, 2: 275-277
193. SANDERSON J., 1983 – Water uptake by different regions of the barley root: pathways of radial in relation to development of the endodermis. *J. Exp. Bot.*, **34**: 240-253
194. SCHIMPER A.F.W., 1891 – Die indo-malaysche Strandflora. *Bot. Mittheil. a.d. Tropen*
195. SCHIMPER A.F.W., 1898 – *Pflanzengeographie auf physiologischer Grundlage*. G. Fischer Verlag, Jena
196. SCHIMPER A.F.W., 1903 – *Plant geography upon a physiological basis*. Clarendon Press, Oxford
197. SCHRATZ E., 1934 – Beiträge zur Biologie der Halophyten. I. Zur Keimungsphysiologie. *Jahrb. f. Wiss. Bot.*, **80**: 112-142
198. SCHREIBER L., HARTMANN K., SKRABS M., ZEIER J., 1999 – Apoplastic barriers in roots: chemical composition of endodermal and hypodermal cell walls. *J. Exp. Bot.*, **50**, 337: 1267-1280
199. SCHULZE E.-D., BECK E., MÜLLER-HOHENSTEIN KLAUS, 2005 – *Plant Ecology*. Springer Verlag, Berlin, Heidelberg
200. SERRANO R., CULIANZ-MACIA A., MORENO V., 1999 – Genetic engineering of salt and drought tolerance with yeast regulatory genes. *Sci. Hortic.*, **78**: 261-269
201. SEUNG GON WI, JAE SUNG KIM, JIN HONG KIm, MYUNG HWA BAEK, DAEHWA YANG, MYUNG CHUL LEE, BYUNG YEOUP CHUNG, 2004 – Effects of salinity on lignin and hydroxycinnamic acid contents in rice. *Korean J.. Crop. Sci.*, **49**, 5: 368-372
202. SHIELDS L. M., 1951 – The involution mechanism in leaves of certain xeric grasses. *Phytomorphology*, **1**: 225-241
203. SHINOZAKI K., YAMAGUCHI-SHINOZAKI K., 1996 – Molecular responses to drought and cold stress. *Curr. Opin. Biotechnol.*, **7**: 161-167
204. SHINOZAKI K., YAMAGUCHI-SHINOZAKI K., 1997 – Gene expression and signal transduction in water-stress response. *Plant Physiol.*, **115**: 327-334
205. SHULAEV V., CORTES D., MILLER G., MITTLER R., 2008 – Metabolomics for plant stress response. *Physiol. Plant.*, **132**: 199-208



206. SILVA H., MARTINEZ J. P., BAGINSKY C., PINTO M., 1999 – Effect of water deficit on the leaf anatomy of six cultivars of the common bean, *Phaseolus vulgaris*. Rev. Chil. Hist. Natural, **72**, 2: 219-235
207. SILVA S., SOARES A. M., OLIVEIRA L. E. M., MAGALHAES P. C., 2001 – Respostas fisiologicas de gramineas promissoras para revegetacao ciliar de reservatorios hidreletricos, submetidas a deficiencia hidrica. Ciencia Agrotecnica, **25**: 124-133
208. SIMEANU C.G., 2001 – Anatomico-morphological study of the *Atriplex prostrata* Bouker ex D.C. species. An. Șt. Univ. Craiova, VI (XLII): 11 -14
209. SIMEANU C.G., 2001 – The morphology and the anatomy of the *Bupleurum tenuissimum* L. species. An. Șt. Univ. Craiova, VI (XLII): 15-18
210. SIMEANU C. G., 2004 – *Studiu morfologic și anatomic al plantelor halofile din Oltenia*. Teză de Doctorat, Univ. București
211. SOUKUP A., ARMSTRONG W., SCHREIBER L., ROCHUS F., VOTRUBOVA O., 2007 – Apoplastic barriers to radial oxygen loss and solute penetration: a chemical and functional comparison of the exodermis of two wetland species, *Phragmites australis* and *Glyceria maxima*. New Phytol., **173**: 264-278
212. STEWARD F. C., SUTCLIFFE J. F., 1959 – Plants in relation to inorganic salts. In *Plant Physiology* (ed. by F.C. Steward), 2: 253-478, Academic Press, New York
213. STOCKER O., 1928 – Das Halophytenproblem. Ergeb. Biol., **3**: 265-353
214. STOREY R., PITMAN M. G., STELZER R., CARTER C., 1983 – X-ray micro-analysis of cells and cell compartments of *Atriplex spongiosa*. J. Exp. Bot., **34**: 778-794
215. ȘENNIKOV A.P., 1950 – *Ecologia rastenij*. Izdat. Sovetskaia Nauka, Moskva
216. SHOWALTER A. M., 1993 – Structure and function of plant cell wall proteins. Plant Cell, **5**: 9-23
217. SUZUKI N., MITTLER R., 2006 – Reactive oxygen species and temperature stresses: a delicate balance between signaling and destruction. Physiol. Plant., **126**: 45-51
218. ȘERBĂNESCU I., 1965 – Asociațiile halofite din Câmpia Română. Com. Geol., Instit. Geol. St. Tehn. Econ., seria C, Pedologie, nr. 15, București: 1-148
219. ȘERBĂNESCU-JITARIU G., TOMA C., 1980 – *Morfologia și anatomia plantelor*. Edit. Did. și Pedag., București
220. TAZUKE A., 1997 – Growth of cucumber fruit as affected by the addition of NaCl to nutrient solution. J. Jap. Soc. Hort. Sci., **66**: 519-526

221. TIEGHEM van P., 1889 – *Éléments de Botanique. I. Botanique générale*. Ed. Masson et Cie, Paris
222. TIRÉ C., De RYCKE M., De LOOSE D., INZÉ D., Van MONTAGU M., and ENGLER G, 1994 – Extensin gene expression is induced by mechanical stimuli leading to local cell wall strenghtening in *Nicotiana plumbaginifolia*. *Planta*, **195**: 175-181
223. TODERICH K.N., TSUKATANI T., BLACK C.C., TAKABE K., KATAYAMA Y, 2002 – Adaptation of plants to metal/salt contaminated environments: glandular structure and salt excretion. Kyoto Institute of Economic Research, Kyoto University, Discussion Paper no. 552
224. TOMA C., 1969 – Cercetări de histo-anatomie comparată la speciile de *Trifolium* L. din flora României. I. Frunza. 1. Limbul. An. şt. Univ. Iaşi, s. II-a (Biol.), **15**, 2: 279-283
225. TOMA C., 1970 – Recherches d'histo-anatomie comparée chez les espèces de *Trifolium* L. de Roumanie. III. La racine. An. Şt. Univ. Iaşi, s. II-a (Biol.), **16**, 1: 62-72
226. TOMA C., DUMITRU EMILIA, 1973 – Contribuţii la studiul histo-anatomic al organelor vegetative de la *Carex ligerica* J. Gay. Stud şi Com. Muz. Şt. Nat. Suceava, **3**: 165-180
227. TOMA C, GOSTIN IRINA, 2000 – *Histologie vegetală*. Ed. Junimea, Iaşi
228. TOMA C, FLENCHEA-TEODORESCU GEORGETA, RĂŞCANU SILVIA, ZAHARIA MARIA, 1979 – Trăsăturile anatomo-ecologice ale unor plante litorale (*Cakile maritima* Scopp şi *Eryngium maritimum* L.). Culegere de Stud. şi artic. de Biol., Univ. „Al.I.Cuza” (Grăd. Bot.) Iaşi, **1**: 273-287
229. TOMA C., MOŢIU TAMARA, NIŢĂ MIHAELA, 1986 – Structura organelor vegetative de *Lolium perenne* în funcţie de gradul de sărăturare a solului. An. Şt. Univ. „Al. I. Cuza” Iaşi, s. IIa (Biol.) (supl.), **32**: 6-10
230. TOMA C., MOŢIU TAMARA, NIŢĂ MIHAELA, 1987 – Structura organelor vegetative de *Puccinellia distans* (L.) Park. în funcţie de gradul de sărăturare a solului. Culegere de Stud. şi artic. de Biol., Univ. „Al. I. Cuza” (Grăd. Bot.) Iaşi, **1**: 117-126
231. TOMA C., MOŢIU TAMARA, NIŢĂ MIHAELA, FILIPESCU GEORGETA, 1989 – Cercetări anatomo-ecologice asupra unor plante ierboase din etajul subalpin al munţilor Căliman. An. Şt. Univ. „Al. I. Cuza” Iaşi, s. II-a (Biol.) (supl.), **35**: 5-26
232. TOMA C., RUGINĂ R., SENIATINSCHI V., 1972 – Contribuţii la diferenţierea anatomică a speciilor de *Iris* L. din flora României. I. Lucr. şt. Inst. Pedag. Constanţa, ser. Şt. nat., Bot.: 63-94

233. TOMA C., NIȚĂ MIHAELA, ZAVALACHE VERONICA, 1991 – Research of ecological, compared and ontogenetic anatomy upon some infraunits of *Salsola kali* L. An. Șt. Univ. „Al. I. Cuza” Iași, s. II-a (Biol.), **37**: 5 -21
234. TOMA C., NIȚĂ MIHAELA, IVĂNESCU LĂCRĂMIOARA, 1994 – Données d'ordre anatomo-écologique et histo-taxonomique concernant quelques mauvaises herbes (*Amaranthus blitoides* S. Watson et *Atriplex hastata* L.) An. Șt. Univ. „Al. I. Cuza” Iași, s. II-a (Biol. veget.), **40**: 7-17
235. TOMA LIANA-DOINA, 1998 – *Fiziologie vegetală*. Edit. „Ion Ionescu de la Brad”, Iași
236. TROUGHTON J. H., CARD K.A., 1974 – Leaf anatomy of *Atriplex buehneri*. New. Zeal. Bot. J., **12**: 167-177
237. ȚOPA E., 1939 – *Vegetația halofitelor din nordul României în legătură cu cea din restul țării*. Bul. Fac. Șt. Cernăuți, **13**: 1-78 (+ planșe)
238. VAN ANDEL O. M., 1953 – The influence of salts on the exudation of tomato plants. Bot. Neerl., **2**: 445-521
239. Van EIJK M., 1939 – Analyse der Wirkung des NaCl auf die Entwicklung Sukkulenze und Transpiration bei *Salicornia herbacea*, sowie Untersuchungen über den Einfluss der Salzaufnahme auf die Wurzelatmung bei *Aster tripolium*. Rec. Trav. Bot. Neerl., **36**: 559-657
240. VECCHIA F. D., ASMAR T. F., CALAMASSI R., RASCIO N., VAZZANA C., 1998 – Morphological and ultrastructural aspects of dehydration and rehydration in leaves of *Sporobolus stapfianus*. Pl. Growth Reg., **24**: 219-228
241. VENKATESALU V., CHELLAPPAN K. P., 1988 – Photosynthetic studies in succulent halophytes. Geobios (Jodhpur), **15**: 49-52 (abstract)
242. VOZNESENSKAYA E. V., 1999 – Anatomy, chloroplast structure and compartmentation of enzymes relative to photosynthetic mechanisms in leaves and cotyledons of species in the tribe *Salsoleae* (*Chenopodiaceae*). Journ. Exp. Bot., **50**, 341: 1779-1795
243. WASEL Y., 1972 – *Biology of halophytes*. Academic Press, New York, London
244. WANG L. – W., SHOWALTER A. M., UNGAR. A., 1997 – Effect of salinity on growth, ion content, and cell wall chemistry in *Atriplex prostrata* (*Chenopodiaceae*). Am. J. Bot., **84**, 9: 1247-1255
245. WARMING E., 1895 – *Plantefamfund. Grundtræk af den økologiske Planetegeografi*, Kjöbenhavn, Philipsens
246. WARMING E., 1897 – Halophyt-studier. D. Kgl. Danske Vidensk. Selsk. Skr., 6, Raekke, naturvidenskabeling og matematisk Afd. VIII, 4: 173-272

247. WARMING E., GRAEBNER P., 1902 – *Lehrbuch der Ökologischen Pflanzengeographie*. Verlag von Gebrüder Borntraeger, Berlin
248. WARMING E., 1909 – *Oecology of Plants. An introduction to the study of plant-communities*. Clarendon Press, Oxford
249. WARMING E., GRAEBNER P., 1914 – *Eug. Warming's Lehrbuch der Ökologischen Pflanzengeographie*. Verlag von Gebrüder Borntraeger, Berlin
250. WEBER D. J., RASMUSSEN H. P., HESS W. M., 1977 – Electron microprobe analyses of salt distribution in the halophyte *Salicornia pacifica* var. *utahensis*. Can. J. Bot., **55**: 1516-1523
251. WEIGL J., LÜTTGE U., 1962 – Microautoradiographische Untersuchungen über die Aufnahme von  $^{35}\text{SO}_4^-$  durch Wurzeln von *Zea mays* L. Die Funktion der primären Endodermis. Planta, **59**: 15-28
252. WELKIE G. W., CALDWELL M. M., 1970 – Leaf anatomy of species in some dicotyledon families as related to C<sub>3</sub> and C<sub>4</sub> pathways of carbon fixation. Can. J. Bot., **48**: 2135-2146
253. WIESSNER J., 1899 – Über die Formen der Anpassung der Blätter an die Lichtstärke. Biol. Centralbl., **19**: 1-14
254. WILLERT D.J. V., 1968 – Tagesschwankungen des Ionengehaltes in *Salicornia europaea* in Abhängigkeit vom Standort und von der Überflutung. Ber. d. dtsh. bot. Ges., **81**: 442-449
255. WINTER K., 1981 – C<sub>4</sub> plants of high biomass in arid regions of Asia – occurrence of C<sub>4</sub> photosynthesis in *Chenopodiaceae* and *Polygoniaceae* from the Middle East and USSR. Oecologia, **48**: 100-106
256. YEO A. R., 1998 – Molecular biology of salt tolerance in the context of whole-plant physiology. J. Exp. Bot., **49**: 915-929
257. ZAMFIRACHE MARIA-MAGDALENA, 2005 – *Fiziologie vegetală. I*, Edit. Azimuth, Iași
258. ZARRINKAMAR F., 2001 – Foliar anatomy of the *Caryophyllaceae* family in Arasbaran (NW. Iran). Iran. J. Bot., **9**, 1: 93-102
259. ZHU J. K., 2001 – Plant salt tolerance. Trends Plant Sci., **6**: 66-71
260. ZHU J. K., 2002 – Salt and drought stress signal transduction in plants. Ann. Rev. Plant Biol., **53**: 247-273
261. ZHU J. K., 2003 – Regulation of ion homeostasis under salt stress. Curr. Opin. Plant Biol., **6**: 441-445
262. ZOLKEVITCH V. N., KORETSKAYA T. F., 1959 – Metabolism of pumpkin roots during drought. Fiziol. Rast., **6**: 690-700
263. YE Z. H., and VARNER J. E., 1991 – Tissue-specific expression of cell wall protein in developing soybean tissues. Plant Cell, **3**: 23-37
264. YENSEN N. P. , BIEL K. Y., 2006 – Soil remediation via salt-conduction and the hypotheses of halosynthesis and photoprotection. In:

- Ecophysiology of high salinity tolerant plants* (ed. by M. A. KHAN, D. J. WEBER), Springer, Dordrecht: 313-344
265. \* \* \*, *Flora R.P.R. / R.S. Române*. 1952, 1953, 1955, 1957, 1961, 1964, 1965, 1966, 1972, vol. I, II, III, V, VIII, IX, X, XI, XII, Edit. Acad. R.P.R., București
266. \* \* \*, FAO, 2007 – *The state of food and agriculture*, Food and Agriculture Organization of the United Nations, Rome, Electronic Publishing Policy and Support Branch, Communication Division
267. \* \* \*, United Nations, 2008 – *The Millennium Development Goals Report*. New York, Published by the United Nations Department of Economic and Social Affairs (DESA)



Marius-Nicușor Grigore  
Constantin Toma

# HALOFITELE

## ASPECTE DE ANATOMIE ECOLOGICĂ



Halofitele alcătuiesc un grup ecologic de plante, ce prezintă interesante adaptări anatomice – unele dintre ele mult discutate și controversate în legătură cu factorul salinitate.

În acest context, prezenta monografie constituie o combinație inedită datorită modalității de abordare. Pe de o parte, este o lucrare de fitoanatomie, în sensul ideii fundamentate și individualizate de Școala de Anatomie Vegetală ieșeană, iar pe de altă parte, o lucrare care depășește cu mult simplele descrieri anatomice. Cartea are modesta, dar îndrăzneța intenție de a promova un gen de anatomie modernă, care să rămână tangențială cu preocupările interdisciplinare de ecologie, ecofiziologie și implicații ale stresului salin – o tendință generală care domină momentan climatul științific mondial al biologiei vegetale.

[www.editura.uaic.ro](http://www.editura.uaic.ro)



9 789737 035424

Editura Universității „Alexandru Ioan Cuza” Iași